

**PRŮZKUMY \* ZAMĚŘENÍ \* PROJEKTY**

ul. 28. října 66/201

709 00 Ostrava - Mariánské Hory



# **ZPRÁVA**

## **STATICKÉ POSOUZENÍ**

### **STÁVAJÍCÍHO STAVU NOSNÝCH KONSTRUKCÍ**

#### **OBJEKTU**

**ČESKÝ DŮM**  
**HLAVNÍ TŘÍDA 113**  
**FRÝDEK – MÍSTEK**

Vypracovali:

Ing. Radan Sležka

Ing. Martin Sležka

**OBSAH**

|          |  |           |
|----------|--|-----------|
| <b>1</b> | <b>ÚVOD .....</b>  | <b>3</b>  |
| 1.1      | Objekt .....   | 3         |
| 1.2      | Vlastník a objednatel .....                                | 3         |
| 1.3      | Popis a rozsah prací .....                                 | 3         |
| 1.4      | Situace .....  | 4         |
| <b>2</b> | <b>KONSTRUKČNÍ ŘEŠENÍ OBJEKTU .....</b>                    | <b>5</b>  |
| <b>3</b> | <b>PROHLÍDKA STAVU OBJEKTU .....</b>                       | <b>6</b>  |
| <b>4</b> | <b>STATICKE POSOUZENÍ NOSNÝCH KONSTRUKCÍ OBJEKTU .....</b> | <b>8</b>  |
| 4.1      | Zatížení .....   | 8         |
| 4.2      | Stropní konstrukce .....                                   | 8         |
| 4.2.1    | Posudek prutových prvků stropů nad 1. PP – 2. NP .....     | 9         |
| 4.2.2    | Posudek vestavby ocelové konstrukce nad 1.NP .....         | 11        |
| 4.3      | Střešní konstrukce .....                                   | 14        |
| 4.3.1    | Dřevěná střecha .....                                      | 14        |
| 4.3.2    | Ocelová střecha .....                                      | 17        |
| 4.4      | Základové konstrukce .....                                 | 24        |
| 4.4.1    | Základové poměry .....                                     | 24        |
| 4.4.2    | Posudek základů .....                                      | 25        |
| <b>5</b> | <b>ZÁVĚREČNÉ VYHODNOCENÍ STATICKÝCH POSUDKŮ .....</b>      | <b>26</b> |
| 5.1      | Stropní konstrukce .....                                   | 26        |
| 5.1.1    | Dřevěné stropní konstrukce včetně I nosníků .....          | 26        |
| 5.1.2    | I nosníky cihelných kleneb .....                           | 26        |
| 5.1.3    | Ocelové nosníky žb stropů a stropů z hrušek .....          | 26        |
| 5.1.4    | ŽB stropy .....  | 26        |
| 5.1.5    | Ocelová vestavba stropní konstrukce nad 1. NP .....        | 27        |
| 5.2      | Střešní konstrukce .....                                   | 27        |
| 5.2.1    | Dřevěná střecha .....                                      | 27        |
| 5.2.2    | Ocelová střecha .....                                      | 27        |
| 5.3      | Základové konstrukce .....                                 | 27        |

**Seznam příloh**

|                     |   |                  |
|---------------------|---|------------------|
| <b>Příloha č. I</b> | <b>Statické posouzení stropů .....</b>  | <b>(71 x A4)</b> |
|                     | <i>Výpočet celkového zatížení stropních konstrukcí - viz příloha I.a....</i>      | <i>(4xA4)</i>    |
|                     | <i>Výpočet zatížení plochých střech - viz příloha I.b....</i>                     | <i>(6xA4)</i>    |
|                     | <i>Posudek dřevěných stropních trámů - viz příloha I.c. ....</i>                  | <i>(7xA4)</i>    |
|                     | <i>Posudek ocelových I nosníků dřevěných stropů - viz příloha I.d. ....</i>       | <i>(7xA4)</i>    |
|                     | <i>Posudek ocelových I nosníků klenbových a žb stropů - viz příloha I.e. ....</i> | <i>(13xA4)</i>   |
|                     | <i>Posudek železobetonových stropních konstrukcí - viz příloha I.f. ....</i>      | <i>(6xA4)</i>    |
|                     | <i>Výpočet únosnosti žb průřezu – výstup Beton EC - viz příloha I.g. ....</i>     | <i>(11xA4)</i>   |
|                     | <i>Rekapitulace výsledků statického posouzení- viz příloha I.h. ...</i>           | <i>(1xA4)</i>    |
|                     | <i>Výpočet zatížení stropní vestavby- viz příloha I.ch....</i>                    | <i>(1xA4)</i>    |
|                     | <i>Posudek ocelového vlnitého plechu stropní vestavby - viz příloha I.i. ....</i> | <i>(1xA4)</i>    |
|                     | <i>Posudek ocelové konstrukce stropní vestavby- viz příloha I.j. ....</i>         | <i>(14xA4)</i>   |

|                       |  |           |
|-----------------------|--|-----------|
| <b>Příloha č. II</b>  | Statické posouzení dřevěného krovu .....                                 | (47 x A4) |
|                       | Výpočet zatížení střechy - viz příloha II.a....                          | (3xA4)    |
|                       | Posudek krokví - viz příloha II.b....                                    | (17xA4)   |
|                       | Posudek nárož. krokví, stř. vaznic, sloupů a pásků - viz příloha II.c    | (14xA4)   |
|                       | Posudek vazných trámů- viz příloha II.d....                              | (13xA4)   |
| <b>Příloha č. III</b> | Statické posouzení ocelové konstrukce zastřešení .....                   | (56 x A4) |
|                       | Výpočet zatížení střechy - viz příloha III.a....                         | (3xA4)    |
|                       | Posudek dřevěného záklopu - viz příloha III.b....                        | (2xA4)    |
|                       | Posudek dřevěných vaznic - viz příloha III.c....                         | (19xA4)   |
|                       | Posudek dřevěných krokví ve valbě - viz příloha III.d....                | (13xA4)   |
|                       | Posudek ocelových vazníků - viz příloha III.e....                        | (19xA4)   |
| <b>Příloha č. IV</b>  | Statické posouzení základů.....  | (23 x A4) |
|                       | Výpočet zatížení do základových spár - viz příloha IV.a....              | (3xA4)    |
|                       | Posudek základového pásu obvodové stěny (ZP1) - viz příloha IV.b....     | (5xA4)    |
|                       | Posudek základového pásu obvodové stěny (ZP2) - viz příloha IV.c....     | (5xA4)    |
|                       | Posudek základové patky sloupu oc. vestavby (ZP3) - viz příloha IV.d.... | (5xA4)    |
|                       | Posudek základové patky sloupu oc. vestavby (ZP4) - viz příloha IV.e.... | (5xA4)    |

### **Seznam norem, směrnic a použitých podkladů:**

- [1] Rozpracované zaměření stávajícího stavu objektu a místní šetření na stavbě  
 [2] Stavebně technický průzkum, zak. č. 4086.1, 02/2025, Marpo s.r.o.

ČSN EN 1990 - Zásady navrhování konstrukcí  
 ČSN EN 1991-1 - Zatížení konstrukcí  
 ČSN EN 1992-1-1 - Navrhování betonových konstrukcí  
 ČSN EN 1993-1-1 - Navrhování ocelových konstrukcí  
 ČSN EN 1995-1-1 - Navrhování dřevěných konstrukcí  
 ČSN EN 1996-1 - Navrhování zděných konstrukcí  
 ČSN EN 206-1 - Beton - specifikace, vlastnosti a shoda  
 Technický průvodce 51 - Statické tabulky - J.Hořejší-J.Šafka a kol.  
 ČSN ISO 13822 (73 0038) - Zásady navrhování konstrukcí - Hodnocení existujících konstrukcí.  
 ČSN 73 0038 – Hodnocení a ověřování existujících konstrukcí – doplňující ustanovení.

# 1 ÚVOD

## 1.1 Objekt

obec: Frýdek-Místek [598003]  
ulice: Hlavní třída  
č.p./ č. o.: 113  
k.ú. : Místek [634824]  
parc. č.: 153  
účel stavby: objekt občanské vybavenosti  
ochrana nemov.: chráněná ložisková území  
rok výstavby : původní část přelom 19. a 20. století, přístavba a vnitřní úpravy v roce 1977  
(uděleno stavební povolení)

## 1.2 Vlastník a objednatel

Statutární město Frýdek-Místek,  
Radniční 1148,  
73801 Frýdek-Místek

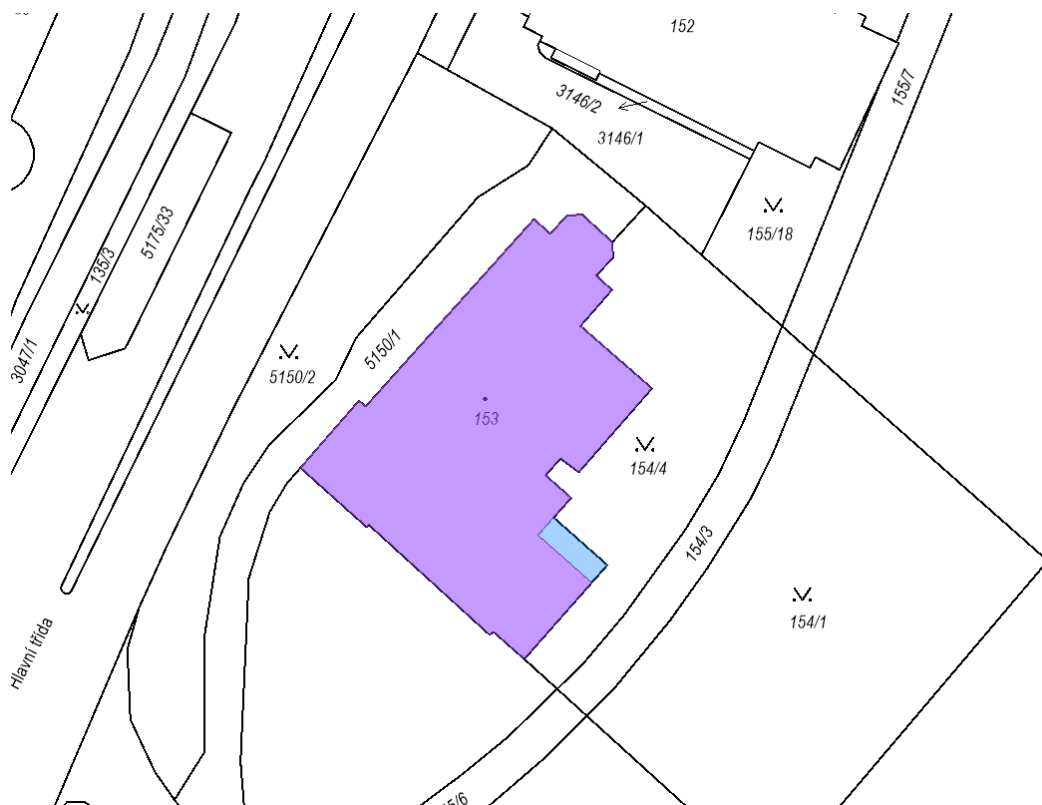
## 1.3 Popis a rozsah prací

Na základě poptávky objednatele ze dne 28.08.2024 na provedení stavebně technického průzkumu, zaměření skutečného stavu, prohlídky fasád s návrhem na provizorní zajištění z hlediska bezpečnosti a statickém posouzení se zaměřením na poruchy (dále jen dílo) objektu Českého domu na ul. Hlavní třída č.p. 113 ve Frýdku -Místku, nabídky ze dne 10.09.2024, její aktualizace dle ze dne 30.9.2024 (zaslané elektronickou poštou) a uzavřené smlouvy o dílo č. 24sml012 ze dne 31.10.2024, byl stanoven rozsah prací.

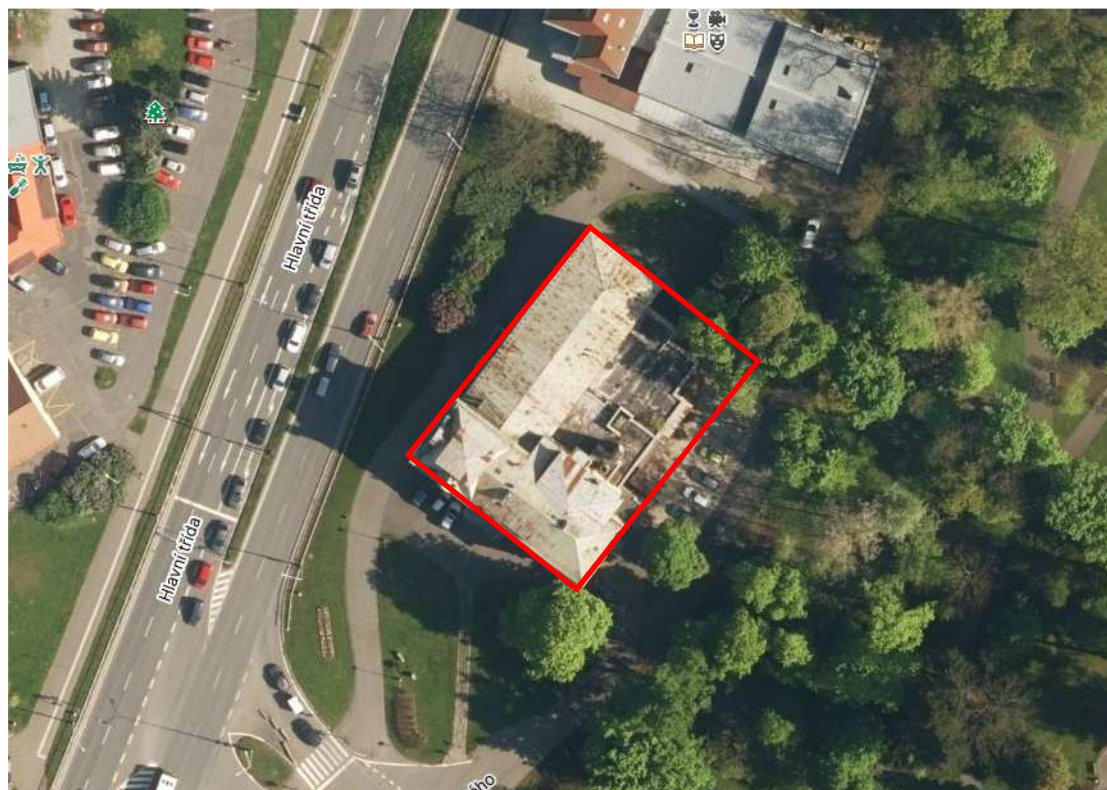
Tato část díla se týká pouze jedné části ve smlouvě definovaném rozsahu a to části 1.1.4. -statickém posouzení objektu se zaměřením na poruchy.



## 1.4 Situace



Obr. č. 1: Mapa katastrálního území - (bez měřítka)  
Zdroj: [www.cuzk.cz](http://www.cuzk.cz)



Obr. č. 2: Mapa – letecký snímek - (bez měřítka)  
Zdroj: [www.mapy.cz](http://www.mapy.cz)

## 2 KONSTRUKČNÍ ŘEŠENÍ OBJEKTU

V průběhu let byl objekt Českého domu různě upravován, některé části byly doplňovány případně odbourávány a během své historie tak objekt prošel několika rozsáhlejšími rekonstrukcemi, což je patrné na fragmentech dochované projektové dokumentace.

V současné době lze objekt konstrukčně a také provozně rozdělit do tří částí, které také odpovídají různým obdobím realizace, případně rekonstrukce.

Původní část objektu byla postavená na přelomu 19. a 20. století, jedná se o část objektu s členitou historickou fasádou, kterou představují dvě křídla s podélnými osami ve směru JV-SZ a SV-JZ, které svírají půdorys ve tvaru písmene „L“. Dostavovaná část objektu se nachází na východní straně objektu v prostoru sevřeném těmito křídly historické budovy a pochází přibližně z roku 1977.

Historická část s podélnou osou ve směru JV-SZ, tedy s orientací podélné osy kolmo na ulici Hlavní třída je z větší části podsklepená o 2.NP se zastřešením pomocí dřevěného krovu. Základové konstrukce jsou provedeny z kamenného zdiva, nosné svislé konstrukce v 1. PP částečně z kamenného a z cihelného zdiva, v NP jsou svislé nosné konstrukce již čistě cihelné. Stropní konstrukce jsou nad 1.PP provedeny z cihelných kleneb do válcovaných I nosníků, stropy nad 1. a 2.NP jsou provedeny jako dřevěné trámové s rákosníky ukládanými do válcovaných I nosníků nebo na příčně orientované nosné zdivo. Konstrukce krovu je klasická vaznicová soustava se stojatou stolicí se vzpěradlovou vazbou, nad větší částí půdorysu sedlového tvaru s ukončením valbou, nad menší částí objektu (cca čtvercová západní část) je střecha provedená jako mansardová, jehlanovitá. Střešní krytina je lehká plechová na celoplošné bednění. V minulosti byl v krovu požár, jehož pozůstatky jsou patrné na některých prvcích krovu, část pravděpodobně více poškozených prvků byla nahrazena novými.

Historická část s podélnou osou ve směru SV-JZ, tedy s orientací podélné osy souběžně s ulicí Hlavní třída, je nepodsklepený, původně jednopodlažní prostor sálu. Původní základové konstrukce pod obvodovými stěnami jsou provedeny z kamenného zdiva, nosné svislé konstrukce v NP jsou z cihelného zdiva. V průběhu jedné z rekonstrukcí byla do volného prostoru sálu provedena vestavba 2.NP se změnou způsobu zastřešení. Nové vestavěné konstrukce jsou řešeny jako ocelové, stropní konstrukce je samonosná na nových ocelových sloupech založených do nových betonových patek. Nad 2.NP byla provedená nová lehká ocelová konstrukce krovu z vazníků s jednostrannou valbou, po obvodě jsou vazníky uloženy na nový betonový věnec. Střešní krytina je lehké plechová.

Mezi dvě historická křídla objektu byla cca v 70.tých letech 20. století vestavěna jednopodlažní podsklepená část - zázemí provozu restaurace (kuchyně, kanceláře, skladby, kotelná apod.). Tato část objektu byla postavená částečně v místě, kde již stály některé původní části objektu, takže některé konstrukce byly ponechány a využity. Jedná se zejména o svislé zdivo z plných cihel a základy pod ním. Svislé nosné novější části jsou provedeny z cihel děrovaných typu CDm a z bloků typů CD IVA nebo INA, přičemž bylo zjištěno, že zejména v nosných pilířích 1.NP jsou děrované cihly ve větším množství špatně otočené dutinami ve vodorovném směru, zdivo tak má sníženou únosnost. Stropní konstrukce jsou vesměs montované z žb panelů nebo PZD desek ukládaných do ocelových nosníků. Zastřešení je provedeno plochou jednoplášťovou střechou s větracím systémem do atiky, krytina je z asfaltových lepenek.

Z provedeného průzkumu a ověřování stavu svislých nosných konstrukcí bylo v objektu zjištěno mnoho zazděných původních otvorů, např. některé průchody mezi jednotlivými částmi objektu, některá okna apod. Také zde bylo dodatečně zřízeno množství prostupů jak zdivem, tak stropy.

### 3 PROHLÍDKA STAVU OBJEKTU

Objekt byl prohlédnut z hlediska výskytu vad a poruch vyskytujících se na fasádách – viz zpráva 4086.1 – expedice 12/2024. Dále byl prohlédnut objekt v interiéru v rámci provedení stavebně technického průzkumu – viz zpráva 4086.2 – expedice 01/2025.

Vizuální prohlídkou bylo zjištěno mnoho nedostatků a poruch, a to jak v interiéru, tak v exteriéru. Na některé nedostatky pak bylo naraženo také při provádění vlastních sond.

Níže jsou uvedeny jen ty nejzávažnější nedostatky.

V suterénu bylo vizuální prohlídkou a odběrem vzorků zjištěna vysoká vlhkost zdiva a lokální drobení cihel. Vlivem vlhkosti dochází ke korozi ocelových nosníků a také lokálně ke korozi výztuží v železobetonových panelech. V nadzemních podlažích byly zjištěny lokality s trhlinami na obvodovém a vnitřním nosném zdivu a lokality s viditelnými stopami po zatékání jak na konstrukcích stropů, tak i stěnách. Omítky jsou v podlažích plošně poškozené vypráskáním, a to jak na zdech, tak na stropních konstrukcích a podhledech. V krovu byly zjištěny azbestové roury v komínových tělesech, které byly ověřeny i v druhém nadzemním podlaží a procházejí pravděpodobně až do suterénu. Stav dřevěných prvků krovu vykazuje na mnoha místech závažné napadení dřevokaznými činiteli, lokálně dochází až k úplné destrukci dřeva.

Při prohlídce byly zjištěny tyto další poruchy:

Koroze patek ocelových sloupů, podkladních plechů pod patkou a ocelových šroubů, které jsou volné (v sondě **K6**).

Dutina v rohu betonové patky vyplněná násypem (v sondě **K8**).

Deformace zdiva po délce objektu na obou podélných fasádách u křídla podél s ulicí Hlavní třída. K deformaci muselo dojít již před rekonstrukcí, kdy byla provedená vestavba ocelového stropu a nový ocelový krov. Po rekonstrukci však dále došlo k vytržení kotev ocelových sloupů ze zdiva ve 2.NP (svislého ztužení deformované obvodové stěny) v místě napojení příček na obvodovou stěnu. V kombinaci dvou měření bylo zjištěno, že maximální odchylky od svislice od paty zdi na uliční fasádě se pohybují v rozmezí 50-70 mm a nachází se jak ve vrcholu zdi, tak také na římse mezi 1.NP a 2.NP. Stěna se tedy nejen mírně naklání po výšce objektu směrem ven, ale také mírně boulí po délce objektu. Deformace po délce a ani po výšce objektu není pravidelná či symetrická, nikde však nedošlo k lomu zdiva či vzniku nadměrných trhlin.

Z exteriéru budovy bylo prohlídkou zjištěno celoplošné poškození omítek, jejich opadání, vydutí apod. Dále koroze oplechování u atik apod., lokální trhliny ve zdivu nebo poškození zdiva soklu.

U jednopodlažní přístavby z východní strany objektu (od parku) jsou plošně velmi silně poškozené omítky včetně zdiva, poškození je odhadem v ploše cca 60-70 %.

Silné až velmi silné poškození omítek se vyznačuje výskytem většího množství trhlin, výskytem vydutých ploch většího rozsahu a zejména pak opadáváním omítek, a to nejen vrchních vrstev, ale také podkladních vrstev s tím, že lokálně došlo až k obnažení cihelného zdiva, které pak vykazuje rovněž lokální poškození (trhlínky a vydrolování cihel, vyplavování pojiva apod.). Mezi tyto poruchy je nutné také zařadit poškození omítek výzdoby fasád, trhliny na různých profilacích, reliéfech a podobně.

Mírné až střední poškození omítek je charakterizováno lokálním výskytem trhlin, lokálním výskytem vydutých ploch menšího rozsahu a povrchovým poškozením vrchní vrstvy omítek, případně odlupováním povrchového nátěru.

## 4 **STATICKÉ POSOUZENÍ NOSNÝCH KONSTRUKCÍ OBJEKTU**

Staticky jsou posouzeny všechny zkoumané nosné konstrukce krovu, stropů a základů. Posudek stávajících nosných stropních konstrukcí, konstrukce krovu a základových konstrukcí je proveden podle současně platných norem a předpisů ČSN uvedených v seznamu použité literatury a norem. Při výpočtech a posudku bylo využito výpočetního systému SCIA Engineer 20 [s1], Fine EC [s2] a Geo5 [s3] v kombinaci s ručními výpočty v tabulkách MS Excel [s4]. Posuzované konstrukce byly staticky posouzeny na mezní stav únosnosti a mezní stav použitelnosti se zohledněním skutečného statického modelu konstrukce.

### 4.1 **Zatížení**

Pro stanovení celkového zatížení posuzovaných prvků byly komplexně řešeny navazující konstrukce v základní kombinaci nejnepríznivějšího zatížení, případně jako reakce navazujících konstrukcí.

Zatížení stálé (*součinitel stálého zatížení pro nepříznivý stav  $\gamma_G = 1,35$* ):

- viz statický výpočet dle ČSN EN 1991-1-1
- vlastní váha stávajících konstrukcí byla stanovena dle provedeného místního šetření a zejména průzkumu - viz podklady [1, 4, 5].

Zatížení nahodilé (*součinitel nahodilého zatížení pro nepříznivý stav  $\gamma_Q = 1,50$* ):

a) užité:

- střecha, půda bez využití (kat. H) - 0,75 kN/m<sup>2</sup>
- provozy kuchyně, kanceláře (kat. B) – 2,00 kN/m<sup>2</sup>
- prostory se stoly, lavicemi (kat. C1) – 3,00 kN/m<sup>2</sup>
- plochy bez překážek, sály, výstavní plochy (kat. C3, C4) - 5,00 kN/m<sup>2</sup>
- přemístitelné přčky do 3,0 kN/m – 1, 20 kN/m<sup>2</sup>

b) klimatické:

- sníh - III. oblast:  $s_k = 1,50$  kN/m<sup>2</sup>,  $\mu_1 = 0,72 - 0,80$ ,  $\mu_2 = 2,80$  (návěj, sesuv)
- vítr - II. oblast:  $q_p = 0,297$  kN/m<sup>2</sup> (pro plochou střechu)
- vítr - II. oblast:  $q_p = 0,683$  až 0,780 kN/m<sup>2</sup> (pro šikmé krovy)

Výpočet zatížení vybraných částí stavebních konstrukcí je uveden v přílohách:

*Výpočet celkového zatížení stropních konstrukcí - viz příloha I.a.*

*Výpočet zatížení plochých střech - viz příloha I.b.*

*Výpočet zatížení stropu ocelové vestavby - viz příloha I.ch.*

*Výpočet zatížení šikmých střech dřevěného krovu - viz příloha II.a.*

*Výpočet zatížení šikmé střechy ocelového krovu - viz příloha III.a.*

*Výpočet zatížení do základových spár - viz příloha IV.a.*

Stálé zatížení bylo stanoveno pro vybrané typové skladby konstrukcí charakteristické pro každý typ stropní konstrukce v jednotlivých podlažích. Označení posuzovaných stropních konstrukcí odpovídá pozicím vybraných provedených sond dle stavebně technického průzkumu.

### 4.2 **Stropní konstrukce**

Stávající dřevěné trámové stropy a vestavěná železobetonová stropní konstrukce byly posouzeny na stávající zatížení podlahy a předpokládaný provoz – výstavní sály, volné

dispozice , taneční sály apod., případně kancelářské plochy a zázemí kuchyně. Současně byla také posouzena žb konstrukce stropu vynášejícího plochou střešní konstrukci. Zvlášť byla posouzena ocelové konstrukce vestavěného stropu nad 1.NP.

#### **4.2.1 Posudek prutových prvků stropů nad 1. PP – 2. NP**

Výpočty a posouzení vybraných částí stavebních konstrukcí je uveden v přílohách:

*Posudek dřevěných stropních trámů - viz příloha I.c.*

*Posudek ocelových I nosníků dřevěných stropů - viz příloha I.d.*

*Posudek ocelových I nosníků klenbových a žb stropů - viz příloha I.e.*

*Posudek železobetonových stropních konstrukcí - viz příloha I.f.*

*Výpočet únosnosti žb průřezu – výstup Beton EC - viz příloha I.g.*

*Rekapitulace výsledků statického posouzení- viz příloha I.h.*

Předpokladem statického posudku je bezvadnost konstrukce!

#### **ZÁVĚR POSUDKŮ:**

Posudkem stávající stropní konstrukce bylo zjištěno, že téměř všechny dřevěné trámy jsou vyhovující z hlediska zatížení stávajícím stálým zatížením a uvažovaným užitným zatížením. Při celkovém vyhodnocení stavu stropních konstrukcí je nutno zohlednit rovněž zdravotní stav dřevěných prvků stropů, kterým je v některých závažných případech až rozpad trámů zejména v zazděných částech, jedná o stropy v sondách NV 21, NV 24, NV 26 a NV 29 - viz [2]. Dřevěné stropy lze tedy považovat za zcela vyhovující až po sanaci (odstranění napadených částí a jejich zesílení). V případě sondy NV 23, která je staticky nevyhovující, došlo v minulosti k přetížení novou skladbou podlahy, po jejím odstranění a nahrazení podlahou ve váze srovnatelné s okolními podlahami, bude také tento strop vyhovující.

V případě ocelových I nosníků vynášející dřevěné trámy platí v případě sondy NV 22 shodně přetížení podlahou jako u sondy NV 23 – viz výše u dřevěných stropů. V sondy NV 25 je nevyhovující pouze průhyb a to jen o 5%, rovněž tak v případě sondy NV 28 při uvažovaném přetížení konstrukcí mansardy o 9%, což lze vzhledem ke stáří objektu zanedbat a strop považovat za vyhovující.

V případě ocelových I nosníků vynášející cihelné klenby jsou nevyhovující dvě sondy NV 3 a NV 5. U sondy NV 3 je strop přetížení novou podlahou z betonových mazanin, v případě sondy NV 5 jsou nosníky nevyhovující v případě, kdy zanedbáme působení dodatečně vložených sloupků z L, pokud budeme se sloupky uvažovat jako s podporou, která zkracuje rozpětí nosníku, pak jsou stropní nosníky vyhovující. V případě, kdy by z dispozičních důvodů bylo vhodné sloupky v 1. PP odstranit, je nutné provést odlehčení podlahy. Ve všech případech u stropních I nosníků nad 1. PP byla navíc zjištěna koroze, která nosníky mírně oslabuje: Většinou se jedná o oslabení většího charakteru o cca 0,5 – 1,0 mm, ale pouze v oblasti u uložení do nosného zdiva, I nosníky však vykazují velmi nízkou využitelnost ve smyku v rozmezí 20-25%, takže rezerva v únosnosti v oblasti uložení je vysoká a mírné oslabení I nosníků nemá výrazný vliv na jejich celkovou únosnost.

U ocelových I a U nosníků vynášející žb stropy jsou nevyhovující dvě sondy NV 8 a NV 9, které navíc také vykazují větší míru oslabení vlivem koroze o 0,5 – 1 mm a to po celé délce nosníků. Přetížení stropních nosníků je tedy ve skutečnosti ještě větší a tyto stropy bude nutné sanovat – zesílit, vložit další nosníky apod. Ostatní sondy NV 10, NV 12, NV 15 a NV 19 jsou

vyhovující s dostatečnou rezervou v únosnosti, takže i mírné oslabení vlivem koroze nepředstavuje pro tyto stropy problém.

Sonda NV 16 - strop z hurdiskových desek je vyhovující.

Další stropy provedené z žb prvků jsou vesměs vyhovující s dostatečnou nebo mírnou rezervou, pouze PZD deska v případě sondy NV 10 je nevyhovující. Jedná se však o nedodržení konstrukčních požadavků – malá plocha tažené výztuže, v případě kdy požadavky ČSN EN 1992-1-1 na plochu výztuže nebudeme uvažovat, je deska na hranici únosnosti. Přesto tyto PZD desky doporučuji ze stropních konstrukcí vybourat, neboť s ohledem na současné stálé zatížení je zřejmé, že při jiné skladbě podlahy by byla opět nevyhovující.

Níže je uvedená přehledná tabulka – rekapitulace posudků.

#### REKAPITULACE POSUDKU STROPNÍCH KONSTRUKCÍ

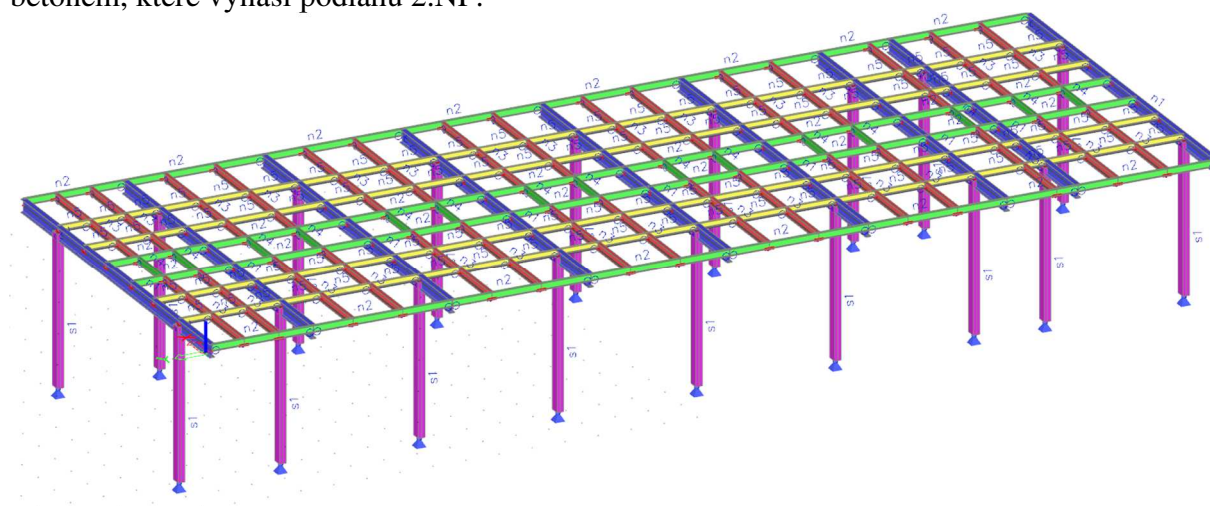
| číslo sondy                                       | označ. prvku | číslo zatížení       | nosný prvek          | osová vzdálenost | světél rozpětí | využití MSÚ | využití MSP | využití MSS | z á v ě r  |
|---|--------------|----------------------|----------------------|------------------|----------------|-------------|-------------|-------------|------------|
| -   | -            | -                    | -                    | m                | m              | %           | %           | %           | -          |
| 1   | 2            | 3                    | 4                    | 5                | 6              | 7           | 8           | 9           | 10         |
| <b>Dřevěné stropní trámy</b>                      |              |                      |                      |                  |                |             |             |             |            |
| NV 21   | T2           | ZC21                 | trám 205/220         | 0,85             | 3,25           | 57          | 57          | 53          | VYHOVUJE   |
| NV 23   | T3           | ZC23                 | trám 190/205         | 0,91             | 3,20           | 95          | 107         | 83          | NEVYHOVUJE |
| NV 24   | T2           | ZC24                 | trám 200/230         | 1,03             | 3,16           | 61          | 57          | 61          | VYHOVUJE   |
| NV 26   | T3           | ZC26                 | trám 195/215         | 1,01             | 3,19           | 26          | 30          | 23          | VYHOVUJE   |
| NV 27   | T3           | ZC27                 | trám 160/200         | 0,97             | 3,40           | 38          | 51          | 31          | VYHOVUJE   |
| NV 29   | T3           | ZC29                 | trám 185/215         | 0,97             | 3,32           | 27          | 33          | 24          | VYHOVUJE   |
| NV 30   | T3           | ZC30                 | trám 165/215         | 0,81             | 3,28           | 28          | 33          | 25          | VYHOVUJE   |
| <b>I nosníky vynášející dřevěné stropní trámy</b> |              |                      |                      |                  |                |             |             |             |            |
| NV20  | I1           | ZC21                 | I 450                | 3,27             | 8,97           | 97          | 99          | 19          | VYHOVUJE   |
| NV22  | I1           | ZC23                 | I 450                | 2,97             | 9,00           | 111         | 116         | 22          | NEVYHOVUJE |
| NV25  | I1           | ZC24                 | I 450                | 3,08             | 9,33           | 99          | 105         | 19          | NEVYHOVUJE |
| NV28  | I1           | ZC26                 | I 400                | 3,01             | 9,33           | 59          | 73          | 10          | VYHOVUJE   |
| NV28  | I1           | ZC26+P <sub>30</sub> | I 400                | 3,01             | 9,33           | 89          | 109         | 13          | NEVYHOVUJE |
| NV31  | I1           | ZC30                 | I 400                | 3,39             | 9,00           | 64          | 77          | 12          | VYHOVUJE   |
| <b>I nosníky vynášející cihelné klenby</b>        |              |                      |                      |                  |                |             |             |             |            |
| NV1,2   | I1           | ZC1                  | I 220                | 1,22             | 4,20           | 90          | 90          | 21          | VYHOVUJE   |
| NV3   | I1           | ZC3                  | I 240                | 1,47             | 4,93           | 110         | 118         | 25          | NEVYHOVUJE |
| NV4   | I1           | ZC4                  | I 220                | 1,25             | 4,27           | 90          | 91          | 21          | VYHOVUJE   |
| NV5   | I1           | ZC4                  | I 220                | 1,42             | 4,30           | 106         | 108         | 25          | NEVYHOVUJE |
| NV5a  | I1           | ZC4                  | I 220-zkrácené rozp. | 1,12             | 3,45           | 68          | 56          | 20          | VYHOVUJE   |
| <b>I a U nosníky vynášející žb stropy</b>         |              |                      |                      |                  |                |             |             |             |            |
| NV8   | I1           | ZC7                  | IPN240               | 1,53             | 5,40           | 107         | 139         | 25          | NEVYHOVUJE |
| NV9   | I1           | ZC6                  | IPN240               | 1,60             | 5,40           | 112         | 146         | 26          | NEVYHOVUJE |
| NV10  | I1           | ZC10                 | IPE200               | 1,41             | 3,80           | 84          | 93          | 23          | VYHOVUJE   |
| NV10  | I1           | ZC10                 | U180                 | 1,23             | 5,42           | 48          | 85          | 7           | VYHOVUJE   |
| NV12  | I1           | ZC12                 | IPE180               | 1,76             | 3,55           | 60          | 67          | 17          | VYHOVUJE   |
| NV15  | I1           | 15+ST3               | IPN220               | 2,70             | 4,38           | 61          | 72          | 16          | VYHOVUJE   |
| NV19  | I1           | 19+ST3               | IPN240               | 1,60             | 5,40           | 45          | 59          | 10          | VYHOVUJE   |
| <b>I vynášející stropy z hurdisek</b>             |              |                      |                      |                  |                |             |             |             |            |
| NV16  | I1           | 16+ST3               | IPN200               | 1,42             | 4,16           | 55          | 66          | 14          | VYHOVUJE   |
| <b>žb stropy - PZD desky</b>                      |              |                      |                      |                  |                |             |             |             |            |
| NV6   | d            | ZC6                  | PZD 300 x 105        | -                | 2,77           | 66,4        |             | 45          | VYHOVUJE   |
| NV7   | d            | ZC6                  | PZD 600 x 100        | -                | 2,60           | 80,7        |             | 42,7        | VYHOVUJE   |
| NV10  | I            | ZC10                 | PZD300x85-segment    | -                | 1,05           | 300         |             | 300         | NEVYHOVUJE |
| NV11  | d            | ZC11                 | PZD 600 x 110        | -                | 3,30           | 80,4        |             | 40          | VYHOVUJE   |
| NV12  | d            | ZC12                 | PZD 300 x 90         | -                | 2,50           | 95,2        |             | 44,2        | VYHOVUJE   |
| NV13  | I            | ZC13                 | PZD500x220-segment   | -                | 4,00           | 69,3        |             | 79,8        | VYHOVUJE   |
| NV14  | d            | ZC14                 | PZD 300 x 90         | -                | 2,69           | 86          |             | 36          | VYHOVUJE   |
| NV15  | d            | ZC15                 | PZD 300 x 90         | -                | 2,35           | 66,7        |             | 31,9        | VYHOVUJE   |
| NV17  | d            | ZC17                 | PZD 600 x 100        | -                | 2,60           | 54,3        |             | 27,5        | VYHOVUJE   |
| NV18  | d            | ZC18                 | PZD 600 x 110        | -                | 2,50           | 36,6        |             | 21,2        | VYHOVUJE   |
| NV19  | d            | ZC19                 | PZD 600 x 110        | -                | 2,66           | 38,7        |             | 25,4        | VYHOVUJE   |



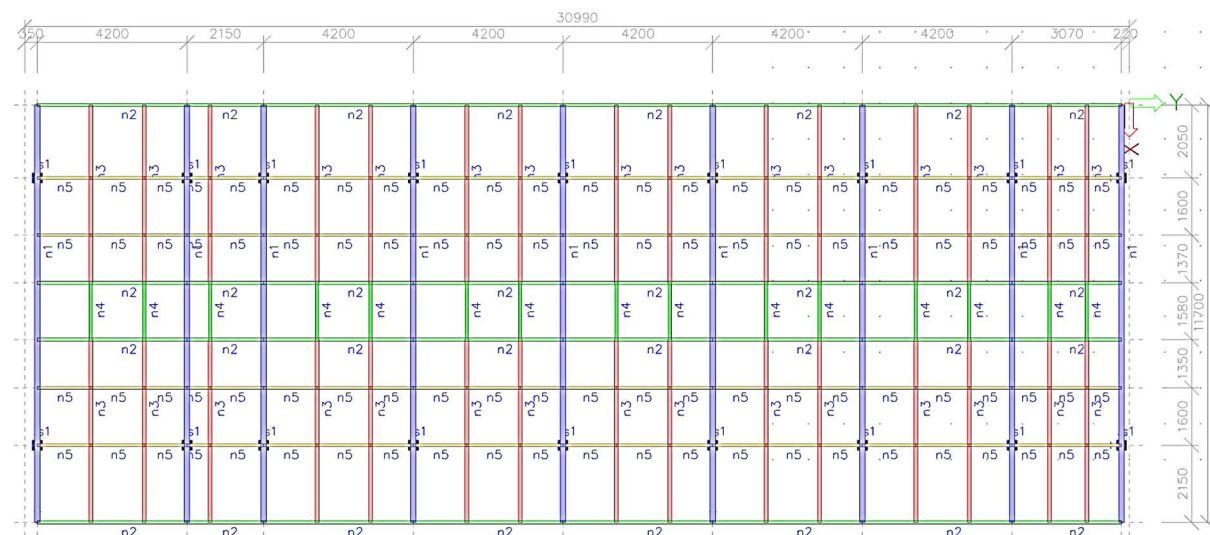
#### 4.2.2 Posudek vestavby ocelové konstrukce nad 1.NP

Nad sálem v 1.NP byla několika dílčími sondami (NV 33 – NV 39) určena dodatečně provedená (vložená) stropní konstrukce. Jedná se o plechobetonovou stropní desku, kterou vynáší ocelová konstrukce uložená na sloupy provedené z dvojice sloupů z UE 300 (s1). Sloupy jsou ve dvou podélných řadách, každá z řady je na straně obvodového zdiva, jednotlivé sloupy jsou osově vzdáleny do 4,20 m (viz schéma níže). V příčném směru jsou na sloupy uloženy hlavní nosníky z I 400 (n1) a v poli rovnoběžně s nimi nosníky I 200 (n4) a IPE 220 (n3). Ve druhém směru jsou mezi ně vloženy nosníky převážně I 160 (n6) nebo I 200 (n2). Jednotlivé spoje jsou řešeny pomocí šroubů anebo svarů.

Na tuto ocelovou konstrukci jsou uloženy nosné ocelové vlnité/trapézové plechy (11 001) vylité betonem, které vynáší podlahu 2.NP.



Obrázek č. 3: Statické schéma konstrukce - axonometrie

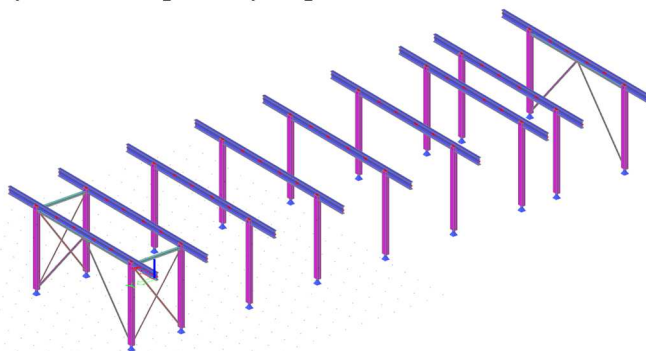


Obrázek č. 4: Statické schéma konstrukce - půdorys

**POZOR!:** Průzkumem nebylo zjištěno žádné propojení konstrukce se zděným obvodovým pláštěm, ani žádná jiná forma zajištění konstrukce proti vodorovným posunům (tzn. např. zavětrování ve svislých rovinách). Současná konstrukce tedy postrádá zajištění proti vodorovným posunům. Aby bylo možné provést posudek konstrukce jako celku, bylo nutné přidat podpory ve vodorovné rovině (XY), které bude nutné pro další fungování konstrukce



doplnit. Ztužení může být provedeno například křížovými ztužidly ve svislé rovině, tzn. zavětrování dvou příčných a dvou podélných polí, viz zobrazení níže.



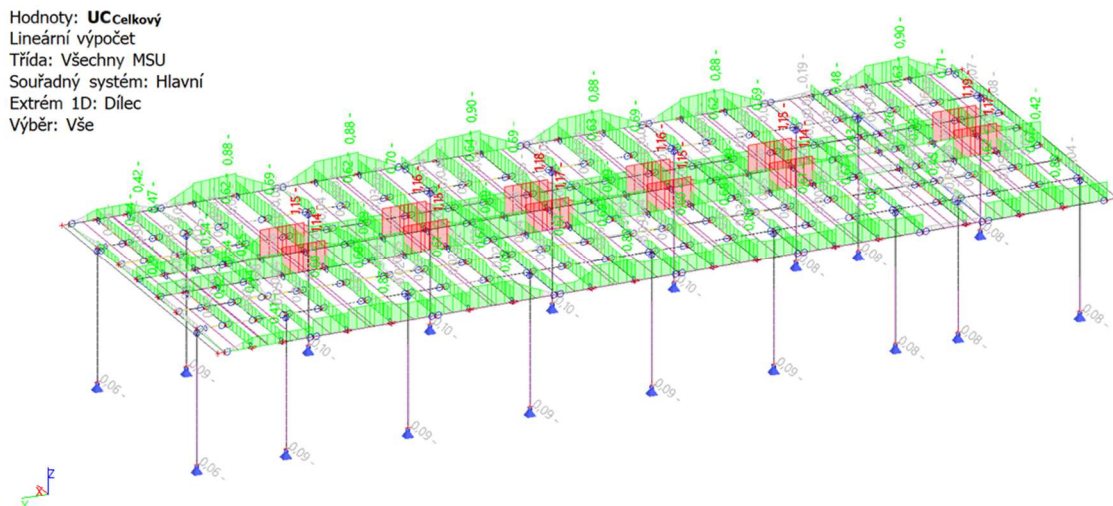
Obrázek č. 5: Příklad doplnění ztužení ve svislé rovině

**Platnost statického posudek je tedy podmíněna provedením doplnění zajištění konstrukce proti vodorovným posunům!**

Předpokladem statického posudku je bezvadností konstrukce!

#### VÝSLEDKY POSUDKU:

- prvek (VSŽ) vlnitý plech **11 001** (600/50/0,8 mm), ocel tř. 11 373  $\approx$  S 235
  - o využití na mezní stav únosnosti .....  $\mu_{MSÚ} = 128 \%$  - **NEVYHOVUJE**;
  - o využití na mezní stav použitelnosti .....  $\mu_{MSP} = 100 \%$  - **VYHOVUJE**;
- prvek (s1) sloup válcovaných profilů **2x UE 300 (box)**, ocel tř. S 235
  - o využití na mezní stav únosnosti .....  $\mu_{MSÚ} = 10 \%$  - **VYHOVUJE**;
- prvek (n1) hlavní nosník z válcovaného profilu **I 400**, ocel tř. S 235
  - o využití na mezní stav únosnosti .....  $\mu_{MSÚ} = 49 \%$  - **VYHOVUJE**;
  - o využití na mezní stav použitelnosti .....  $\mu_{MSP} = 41 \%$  - **VYHOVUJE**;
- prvek (n2) nosník z válcovaného profilu **I 200**, ocel tř. S 235
  - o využití na mezní stav únosnosti .....  $\mu_{MSÚ} = 119 \%$  - **NEVYHOVUJE**;
  - o využití na mezní stav použitelnosti .....  $\mu_{MSP} = 112 \%$  - **NEVYHOVUJE**;
- prvek (n3) nosník z válcovaného profilu **IPE 200**, ocel tř. S 235
  - o využití na mezní stav únosnosti .....  $\mu_{MSÚ} = 71 \%$  - **VYHOVUJE**;
  - o využití na mezní stav použitelnosti .....  $\mu_{MSP} = 76 \%$  - **VYHOVUJE**;
- prvek (n4) nosník z válcovaného profilu **I 200**, ocel tř. S 235
  - o využití na mezní stav únosnosti .....  $\mu_{MSÚ} = 8 \%$  - **VYHOVUJE**;
  - o využití na mezní stav použitelnosti .....  $\mu_{MSP} = 3 \%$  - **VYHOVUJE**;
- prvek (n5) nosník z válcovaného profilu **I 160**, ocel tř. S 235
  - o využití na mezní stav únosnosti .....  $\mu_{MSÚ} = 15 \%$  - **VYHOVUJE**;
  - o využití na mezní stav použitelnosti **nerozhoduje, jedná se o sekundární dílec**;



Obrázek č. 6: Schématické znázornění posudku MSÚ (viz příloha č. I.j)

Podrobný posudek vlnitého plechu viz příloha č. I.i.

Podrobný posudek ocelových prvků vestavby viz příloha č. I.j.

Posudky byly provedeny za běžných teplotních podmínek!

### ZÁVĚR POSUDKU:

Z výše uvedených výsledků plyne, že nevyhovujícími prvky konstrukce stropní vestavby jsou nosný vlnitý plech (VSŽ) a některé podélné nosníky (n2), ostatní prvky jsou vyhovující na uvažovaný stav.

Platnost statického posudek je podmíněna provedením doplnění zajištění konstrukce proti vodorovným posunům!

Předpokladem statického posudku je bezvadnost konstrukce!

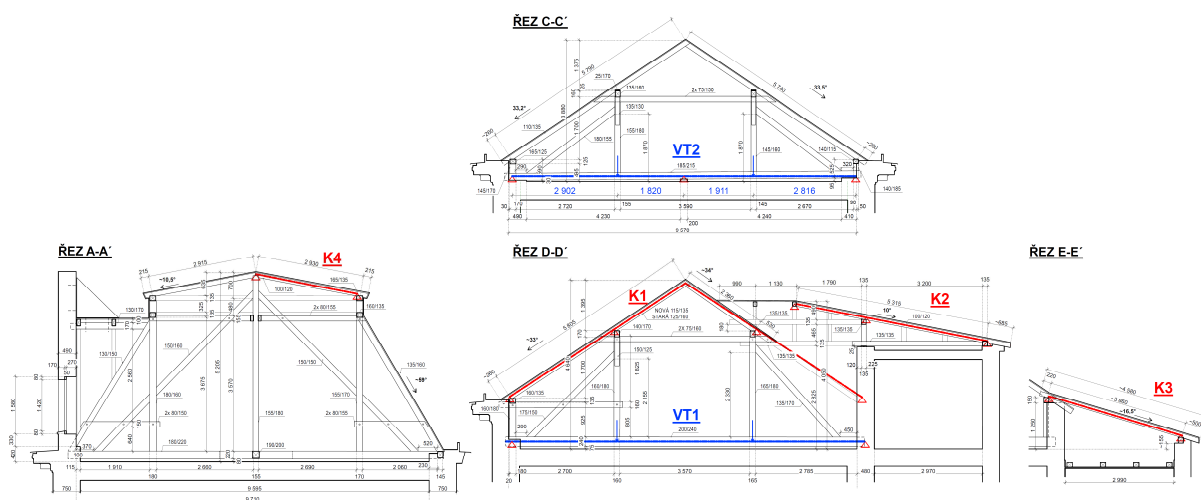
### 4.3 Střešní konstrukce

#### 4.3.1 Dřevěná střecha

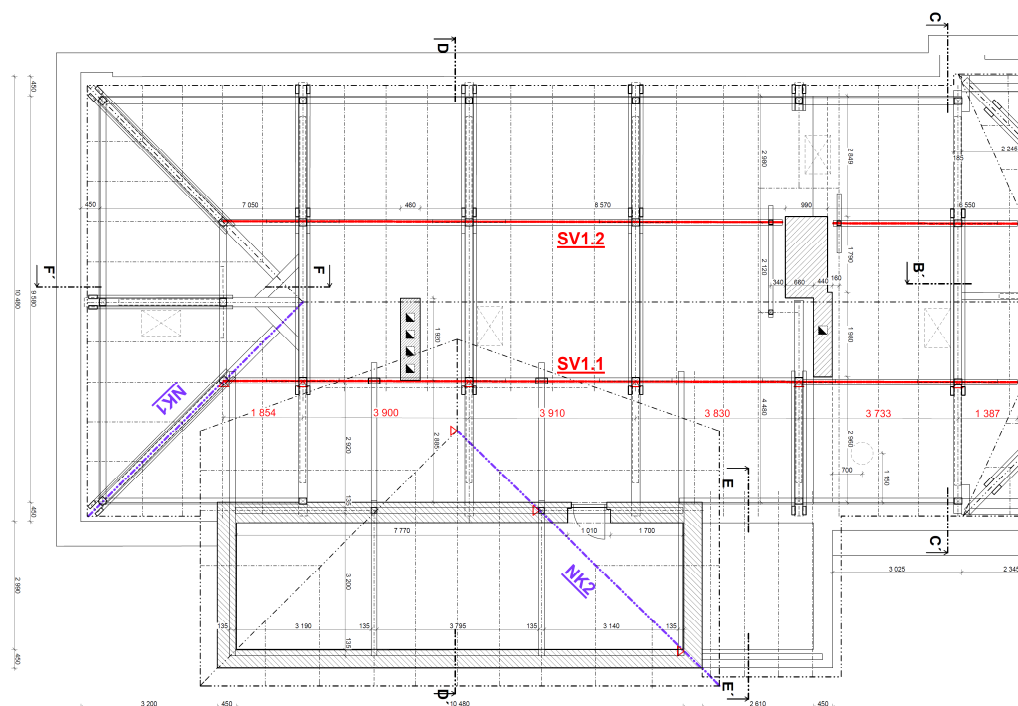
Jedná se o dřevěný krov vaznicové soustavy, část konstrukce v rozsahu cca 2/3 je řešená jako sedlová střecha (viz ŘEZ C-C ), s jednostrannou valbou, která navazuje v části cca 1/3 krovu na střechu mansardovou (viz ŘEZ A-A ), doplněnou o dva zděné vikýře. Střešní konstrukce je provedená jako stojatá stolice se středními vaznicemi. Pozednice jsou uloženy přes sloupky na obvodové zdivo, vaznice středové jsou podepírány sloupky, které jsou uloženy v plných vazbách na vazné trámy. Ze sloupků jsou do vaznic provedeny roznášecí pásy. Sloupky jsou zajištěny šikmými vzpěrami z vazných trámů. Pod středovou vaznicí a pod pozednicí jsou vloženy kleštiny. Krokve jsou ukládány u obvodového zdiva na pozednice a v poli na středové vaznice. Spoje jsou provedeny pomocí tesařských skob (kramlí), ocelovými kovanými hřeby a svorníky (novější vyměněné prvky jsou sbíjeny pomocí hřebíků). Cca 50 % prvku krovu včetně veškerého bednění bylo v minulosti vyměněno z důvodu rozsáhlého požáru. Ostatní ponechané prvky byly v minulosti opatřeny protipožárním nátěrem, který dnes opadává a na konstrukci jsou již jen jeho pozůstatky. Část z původních ponechaných prvků byla také zasažena požárem a je ohořelá.

Krov nad prostorem schodiště je řešen celý nově, jako valbová nízká střecha s nárožními krokviemi, které podporuje sloupek uložený na nosné zdivo přes trámek - viz ŘEZ D-D..

Nad prostorem vedle schodiště je nízká pultová střecha - viz ŘEZ E-E.



Obrázek č. 7: Vyznačení posuzovaných prvků (K, VT) - ŘEZY

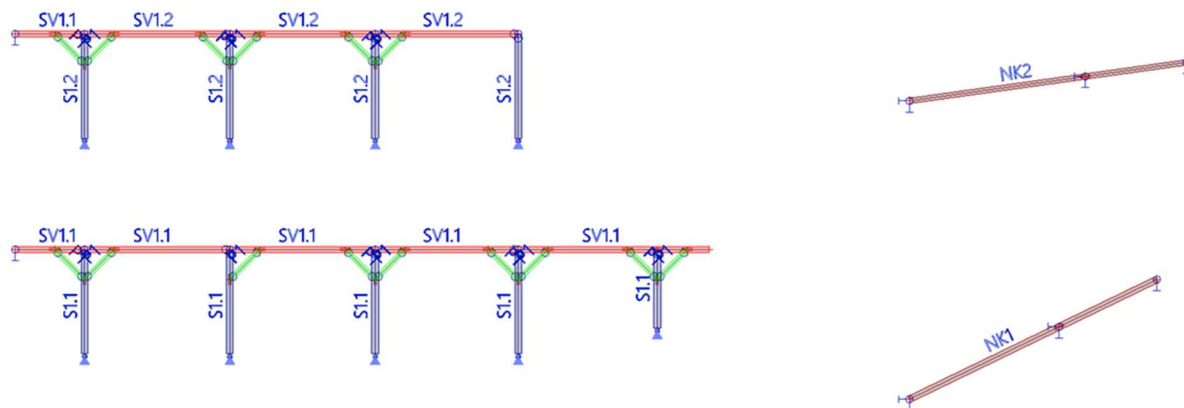


Obrázek č. 8: Vyznačení posuzovaných prvků (SV, NK) - PŮDORYS

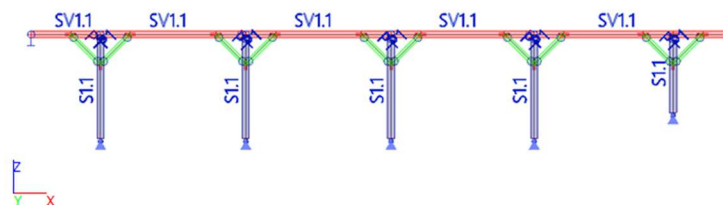
**VÝSLEDKY POSUDKU:**

- prvek (K1) dřevěná krokev **110/135 mm** po max 1,0 m, dřevo tř. C 24
  - o využití na mezní stav únosnosti .....  $\mu_{MSÚ} = 49 \%$  - **VYHOVUJE**;
  - o využití na mezní stav použitelnosti .....  $\mu_{MSP} = 42 \%$  - **VYHOVUJE**;
- prvek (K2) dřevěná krokev **100/120 mm** po max 1,0 m, dřevo tř. C 24
  - o využití na mezní stav únosnosti .....  $\mu_{MSÚ} = 65\%$  - **VYHOVUJE**;
  - o využití na mezní stav použitelnosti .....  $\mu_{MSP} = 78 \%$  - **VYHOVUJE**;
- prvek (K3) dřevěná krokev **110/135 mm** po max 1,0 m, dřevo tř. C 24
  - o využití na mezní stav únosnosti .....  $\mu_{MSÚ} = 232 \%$  - **NEVYHOVUJE**;
  - o využití na mezní stav použitelnosti .....  $\mu_{MSP} = 236 \%$  - **NEVYHOVUJE**;
- prvek (K4) dřevěná krokev **100/120 mm** po max 1,0 m, dřevo tř. C 24
  - o využití na mezní stav únosnosti .....  $\mu_{MSÚ} = 83 \%$  - **VYHOVUJE**;
  - o využití na mezní stav použitelnosti .....  $\mu_{MSP} = 60 \%$  - **VYHOVUJE**;
- prvek (NK1) dřevěná nárožní krokev **140/170 mm**, dřevo tř. C 24
  - o využití na mezní stav únosnosti .....  $\mu_{MSÚ} > 300 \%$  - **NEVYHOVUJE**;
  - o využití na mezní stav použitelnosti .....  $\mu_{MSP} = 177 \%$  - **NEVYHOVUJE**;
- prvek (NK2) dřevěná nárožní krokev **120/140 mm**, dřevo tř. C 24
  - o využití na mezní stav únosnosti .....  $\mu_{MSÚ} > 300 \%$  - **NEVYHOVUJE**;
  - o využití na mezní stav použitelnosti .....  $\mu_{MSP} > 300 \%$  - **NEVYHOVUJE**;
- prvek (SV1.1) dřevěná středová vaznice **140/170 mm**, dřevo tř. C 24
  - o využití na mezní stav únosnosti .....  $\mu_{MSÚ} > 300 \%$  - **NEVYHOVUJE**;
  - o využití na mezní stav použitelnosti .....  $\mu_{MSP} = 181 \%$  - **NEVYHOVUJE**;
- prvek (SV1.2) dřevěná středová vaznice **140/170 mm**, dřevo tř. C 24
  - o využití na mezní stav únosnosti .....  $\mu_{MSÚ} = 105 \%$  - **NEVYHOVUJE**;
  - o využití na mezní stav použitelnosti .....  $\mu_{MSP} = 109 \%$  - **NEVYHOVUJE**;
- prvek (S1.1) dřevěný sloupek **160/180 mm**, dřevo tř. C 24
  - o využití na mezní stav únosnosti .....  $\mu_{MSÚ} = 122 \%$  - **NEVYHOVUJE**;
  - o využití na mezní stav použitelnosti .....  $\mu_{MSP} = 45 \%$  - **VYHOVUJE**;

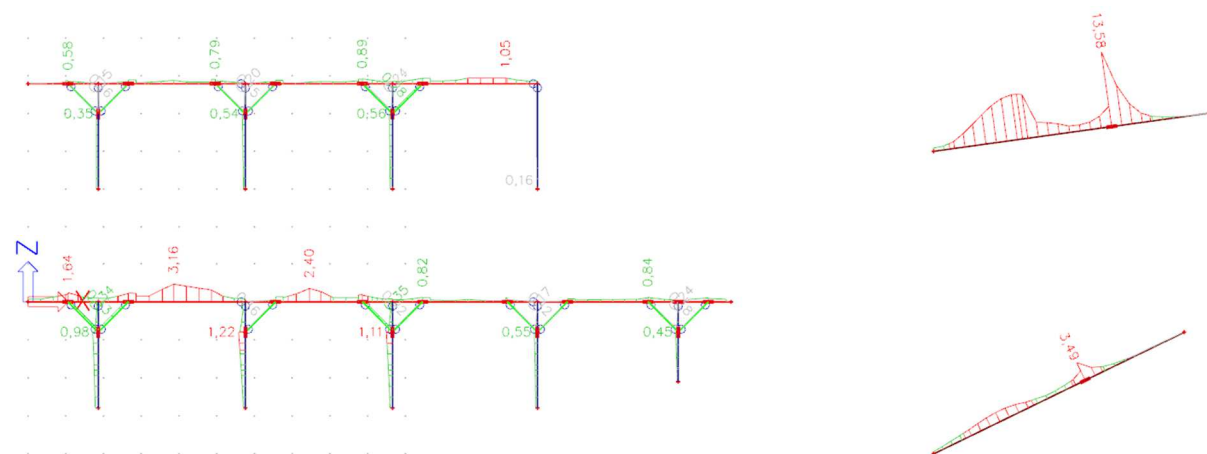
- prvek (S1.2) dřevěný sloupek **160/180 mm**, dřevo tř. C 24
  - využití na mezní stav únosnosti .....  $\mu_{MSÚ} = 56 \%$  - **VYHOVUJE**;
  - využití na mezní stav použitelnosti .....  $\mu_{MSP} = 13 \%$  - **VYHOVUJE**;
- prvek (P1) dřevěný pásek **150/125 mm**, dřevo tř. C 24
  - využití na mezní stav únosnosti .....  $\mu_{MSÚ} = 43 \%$  - **VYHOVUJE**;



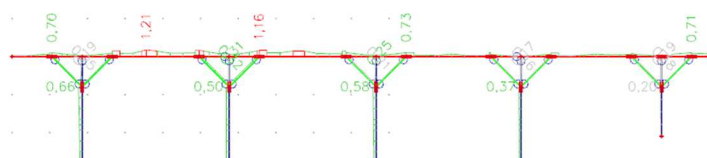
Obrázek č. 9a: Statické schéma (SV, NK) – stávající stav



Obrázek č. 9b: Statické schéma (SV1.1) – doplnění pásku



Obrázek č. 10a: Posudek prvků (SV, NK) – stávající stav



Obrázek č. 10b: Posudek prvku (SV1.1) – doplnění pásku

- prvek (VT1) dřevěný vazný trám **200/240 mm**, dřevo tř. C 24
  - využití na mezní stav únosnosti .....  $\mu_{MSÚ} > 300 \%$  - **NEVYHOVUJE**;
  - využití na mezní stav použitelnosti .....  $\mu_{MSP} > 300 \%$  - **NEVYHOVUJE**;

- prvek (VT2) dřevěný vazný trám 185/215 mm, dřevo tř. C 24
  - využití na mezní stav únosnosti .....  $\mu_{MSU} = 175 \%$  - **NEVYHOVUJE**;
  - využití na mezní stav použitelnosti .....  $\mu_{MSP} = 79 \%$  - **VYHOVUJE**;

*Podrobný posudek dřevěných krokví viz příloha č. II.b.*

*Podrobný posudek dřevěných nárožních krokví, stř. vaznic, sloupů a pásků viz příloha č. II.c.*

*Podrobný posudek dřevěných vazných trámů viz příloha č. II.d.*

Posudky byly provedeny za běžných teplotních podmínek!

### **ZÁVĚR POSUDKU:**

Z výše uvedených výsledků plyne, že nevyhovujícími prvky konstrukce dřevěného krovu jsou krokve (K3), obě nárožní krokve (NK1, NK2), středové vaznice (SV1) ve třech polích, dva sloupky (S1.1) a dále nevyhovují vazné trámy (VT1, VT2).

Jedinými prvky, které staticky vyhovují, jsou krokve (K1, K2, K4), sloupky (S1.2) a pásky. Pokud by byl doplněn pásek u druhého sloupku vaznice (SV1.1) budou všechny sloupy (S1.1) vyhovující (viz obr. č. 7b a 8b). Lze tedy říct, že 2/3 dřevěné střechy sestávající ze střechy sedlové s jednostrannou valbou, nízké sedlové střechy s valbou a malé ploché střechy jsou jako celek Nevyhovující na stávající stav.

Prvky mansardové střechy, díky velkému sklonu ve větší půdorysné části nepřenáší významné svislé zatížení a tudíž je lze považovat za vyhovující, neboť jsou pro tento typ střechy v běžných dimenzích. Vazné trámy jsou navíc částečně opřeny do stropních I nosníků.

Předpokladem statického posudku je bezvadnost konstrukce, což v případě dřevěných konstrukcí hraje také významnou roli – viz [2] výsledky posouzení zdravotního stavu konstrukce krovu !

### **4.3.2 Ocelová střecha**

Nad severozápadní částí budovy je provedena sedlová střecha, která je na severovýchodním štítu ukončená valbou. Střešní plášť je proveden z plechové krytiny, dále pokračuje papírová asfaltová lepenka na celoplošné dřevěné bednění tl. 25 mm.

Nosná konstrukce krovu je provedena jako ocelový příhradový vazník, běžný vazník je vazník sedlový a do posledního vazníku ve valbě jsou šroubovány nárožní pultové vazníky.

Vazníky jsou uloženy pouze na obvodové zdivo pomocí zabetonovaných ocelových tyčí přes kotevní roznášecí plotny.

Sloupky, pásnice, diagonály a zavětrování jsou provedeny z tyčí tvaru rovnoramenného L různých dimenzí (svislé zavětrování v hřebeni je provedeno pomocí tyčí z ocelových kulatin).

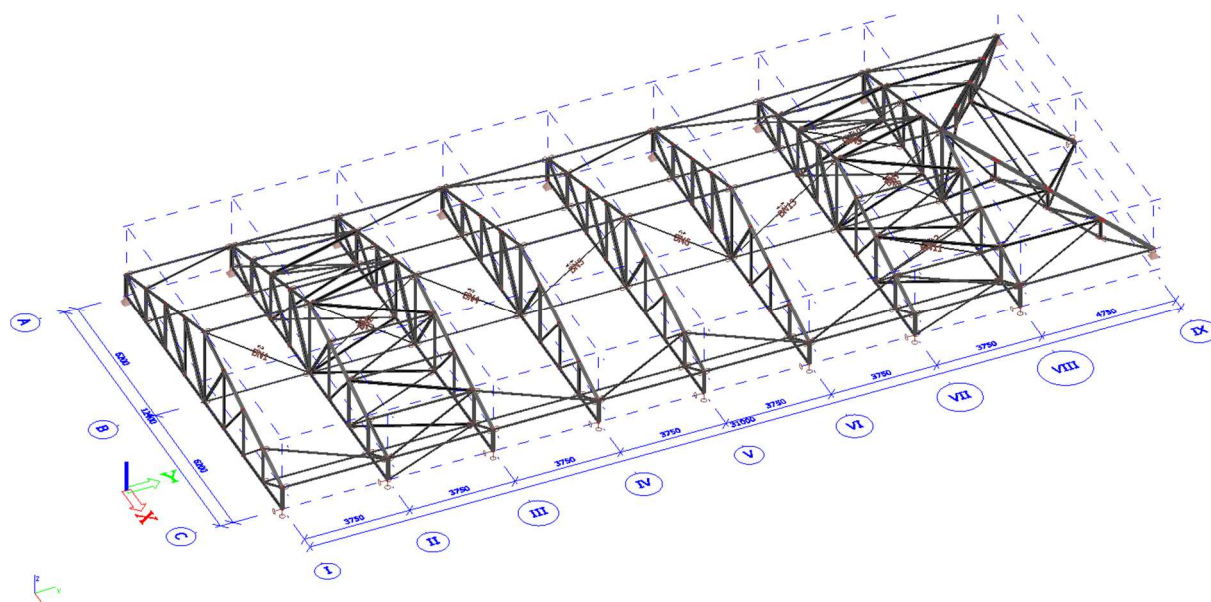
Spoje prvků vazníku jsou provedeny především svařováním přes spojovací plotny, zavětrování je převážně šroubováno na vazníky přes navařené spojovací plotny, lokálně jsou šrouby nahrazeny svary.

Na vrchní pásnici vazníku jsou ukládány dřevěné vazničky, které vynášejí střešní plášť. Podlaha v prostoru krovu není pochozí, je provedený pouze zateplený podhled, který je vynášený dřevěnými trámkami.

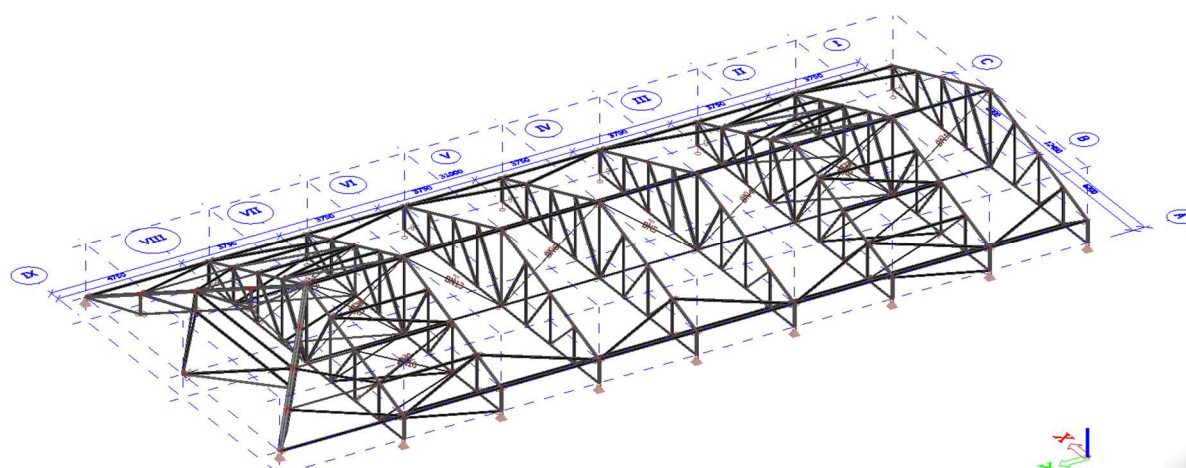
Dřevěné prvky nejeví známky napadení dřevokaznými činiteli. Ocelová konstrukce v interiéru nejeví známky koroze, ochranné nátěry nejsou poškozené. Koroze byla zjištěna pouze na převislých koncích horní pásnice vazníků, jedná se o korozi mírnou, bez oslabení

průřezu prvků. Dále byla zjištěna silná deformace, vrcholového sloupku jednoho z běžných vazníků, k deformaci pravděpodobně došlo již během montáže.

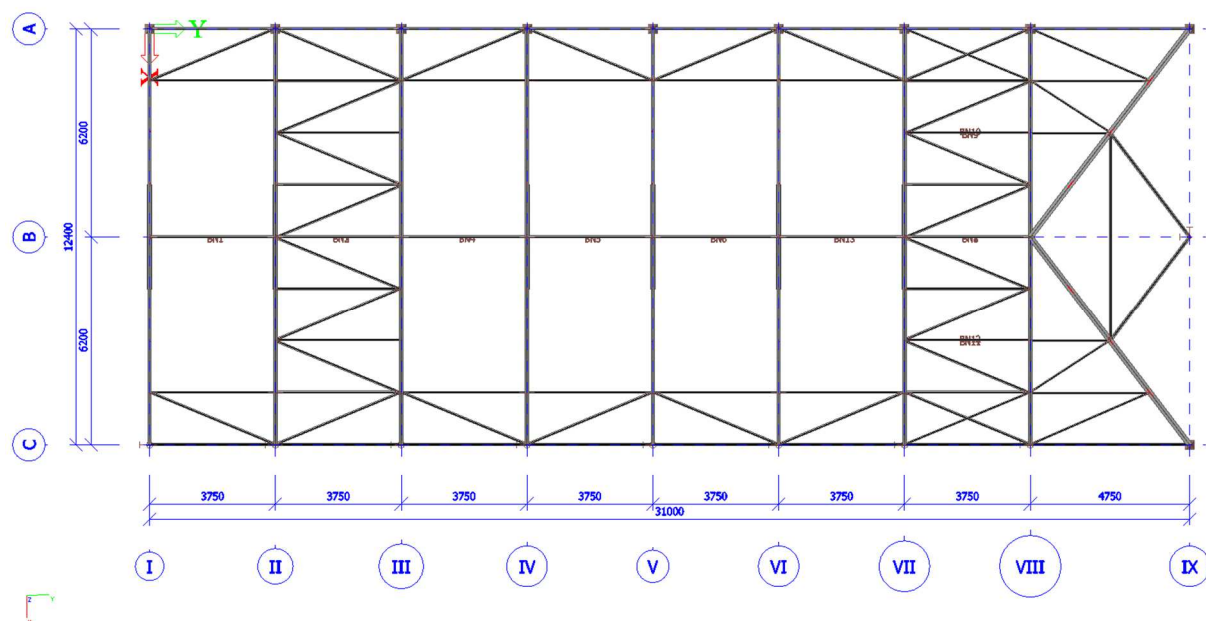




*Obrázek č. 11a: Statické schéma konstrukce – axonometrie*

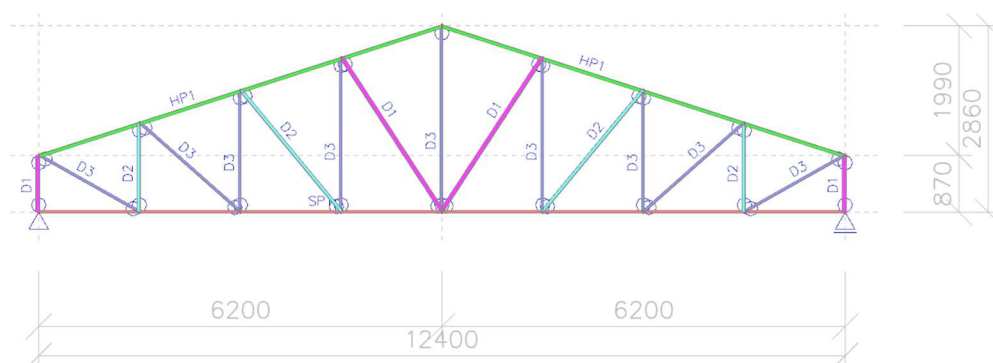


Obrázek č. 11b: Statické schéma konstrukce – axonometrie



*Obrázek č. 12: Statické schéma konstrukce - půdorys*





Obrázek č. 13: Statické schéma sedlového vazníku

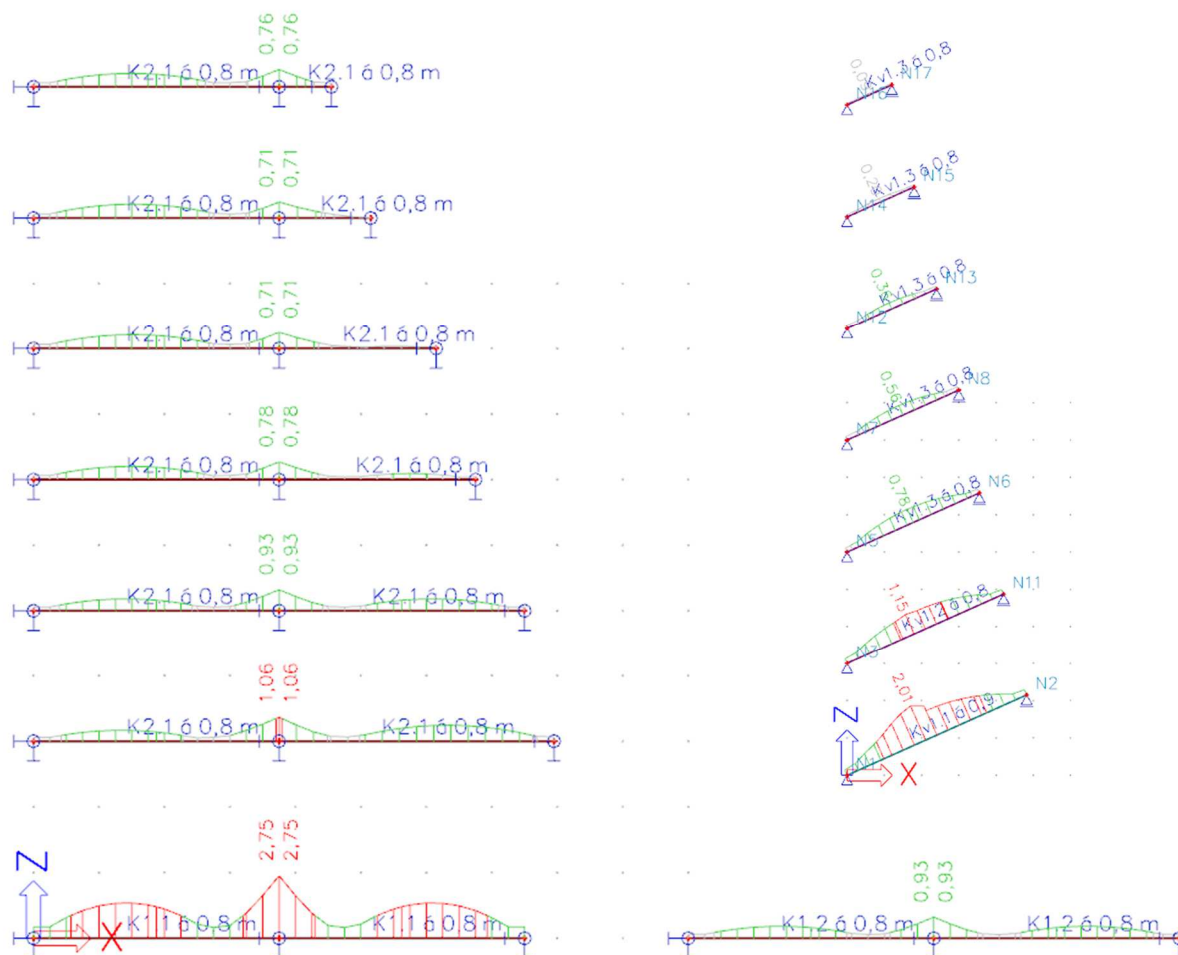


Obrázek č. 14: Statické schéma nárožního vazníku

Předpokladem statického posudku je bezvadností konstrukce!

#### VÝSLEDKY POSUDKU:

- prvek (Zk) dřevěný záklop z prken tl. 25 mm, dřevo tř. C 24
  - o využití na mezní stav únosnosti .....  $\mu_{MSÚ} = 31 \%$  - **VYHOVUJE**;
  - o využití na mezní stav použitelnosti .....  $\mu_{MSP} = 52 \%$  - **VYHOVUJE**;
- prvek (K1.1) dřevěná vaznice 100/120 mm po max 0,80 m, dřevo tř. C 24  
(vaznice do 5,0 m od stěny, s uvážením sněhové návěje a sesuvu sněhu)
  - o využití na mezní stav únosnosti .....  $\mu_{MSÚ} = 275 \%$  - **NEVYHOVUJE**;
  - o využití na mezní stav použitelnosti .....  $\mu_{MSP} = 166 \%$  - **NEVYHOVUJE**;
- prvek (K1.2) dřevěná vaznice 100/120 mm po max 0,80 m, dřevo tř. C 24  
(vaznice za 5,0 m od stěny, bez uvážení sněhové návěje a sesuvu sněhu)
  - o využití na mezní stav únosnosti .....  $\mu_{MSÚ} = 93 \%$  - **VYHOVUJE**;
  - o využití na mezní stav použitelnosti .....  $\mu_{MSP} = 52 \%$  - **VYHOVUJE**;
- prvek (K2.1) dřev. vaz. ukončené valbou 100/120 mm po max 0,80 m, dřevo tř. C 24
  - o využití na mezní stav únosnosti .....  $\mu_{MSÚ} = 106 \%$  - **NEVYHOVUJE**;
  - o využití na mezní stav použitelnosti .....  $\mu_{MSP} = 92 \%$  - **VYHOVUJE**;

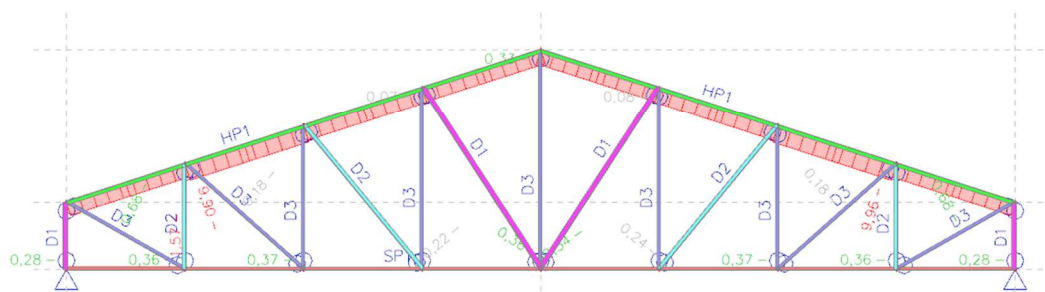


Obrázek č. 15: Posudek dřevěných vaznic (K1, K2) a krokví ve valbě (Kv1)

- prvek (**Kv1.1**) dřevěná vaznice **100/120 mm** po max 0,90 m, dřevo tř. **C 24**
  - o využití na mezní stav únosnosti .....  $\mu_{MSÚ} = 201 \%$  - **NEVYHOVUJE**;
  - o využití na mezní stav použitelnosti .....  $\mu_{MSP} > 300 \%$  - **NEVYHOVUJE**;
- prvek (**Kv1.2**) dřevěná vaznice **100/120 mm** po max 0,80 m, dřevo tř. **C 24**
  - o využití na mezní stav únosnosti .....  $\mu_{MSÚ} = 115 \%$  - **NEVYHOVUJE**;
  - o využití na mezní stav použitelnosti .....  $\mu_{MSP} = 242 \%$  - **NEVYHOVUJE**;
- prvek (**Kv1.3**) dřevěná vaznice **100/120 mm** po max 0,80 m, dřevo tř. **C 24**
  - o využití na mezní stav únosnosti .....  $\mu_{MSÚ} = 78 \%$  - **VYHOVUJE**;
  - o využití na mezní stav použitelnosti .....  $\mu_{MSP} = 147 \%$  - **NEVYHOVUJE**;
- **VAZNÍK v ose (I)**
  - prvek (**HP1.1**) horní pásnice vazníku **2xL50/50/5 (S235)**:
    - o využití na mezní stav únosnosti .....  $\mu_{MSÚ} > 300 \%$  - **NEVYHOVUJE**;
  - prvek (**SP1.1**) spodní pásnice vazníku **2xL40/40/4 (S235)**:
    - o využití na mezní stav únosnosti .....  $\mu_{MSÚ} = 157 \%$  - **NEVYHOVUJE**;
  - prvek (**D1.1**) diagonála vazníku **2xL63/63/6 (S235)**:
    - o využití na mezní stav únosnosti .....  $\mu_{MSÚ} = 36 \%$  - **VYHOVUJE**;
  - prvek (**D2.1**) diagonála vazníku **2xL50/50/5 (S235)**:
    - o využití na mezní stav únosnosti .....  $\mu_{MSÚ} = 36 \%$  - **VYHOVUJE**;
  - prvek (**D3.1**) diagonála vazníku **2xL40/40/4 (S235)**:
    - o využití na mezní stav únosnosti .....  $\mu_{MSÚ} = 68 \%$  - **VYHOVUJE**;
  - vazník jako celek

- využití na mezní stav použitelnosti
  - mezní průhyb  $\delta_{lim} = L/250$ , tzn.  $12\,400\text{ mm} / 250 = 49,6\text{ mm}$ ;
  - skutečný průhyb  $w_z = 10,4\text{ mm}$ ;
  - posudek s nadvýšením  $w_z / \delta_{lim} = 0,21$ :  $\mu_{MSP} = 21\% - \text{VYHOVUJE.}$

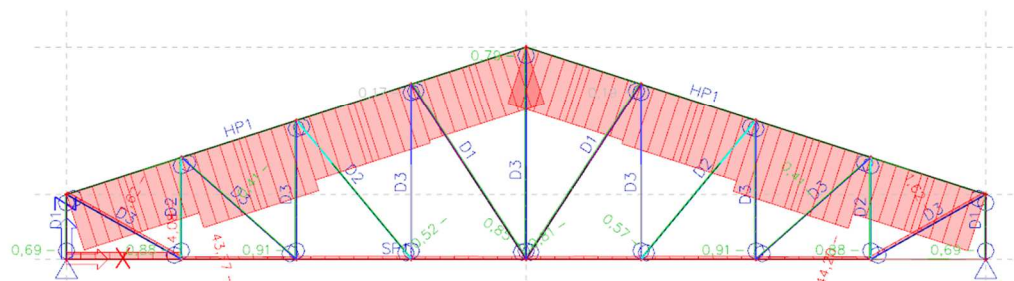
## VAZNÍK (I)



Obrázek č. 16a: Vazník v ose (I) - znázornění posudku MSÚ (viz příloha č. III.e)

- **VAZNÍK v ose (II, III)**
  - prvek (HP1.2) horní pásnice vazníku 2x L50/50/5 (S235):
    - využití na mezní stav únosnosti .....  $\mu_{MSÚ} > 300\% - \text{NEVYHOVUJE;}$
  - prvek (SP1.2) spodní pásnice vazníku 2x L40/40/4 (S235):
    - využití na mezní stav únosnosti .....  $\mu_{MSÚ} > 300\% - \text{NEVYHOVUJE;}$
  - prvek (D1.2) diagonála vazníku 2x L63/63/6 (S235):
    - využití na mezní stav únosnosti .....  $\mu_{MSÚ} = 85\% - \text{VYHOVUJE;}$
  - prvek (D2.2) diagonála vazníku 2x L50/50/5 (S235):
    - využití na mezní stav únosnosti .....  $\mu_{MSÚ} = 88\% - \text{VYHOVUJE;}$
  - prvek (D3.2) diagonála vazníku 2x L40/40/4 (S235):
    - využití na mezní stav únosnosti .....  $\mu_{MSÚ} = 162\% - \text{NEVYHOVUJE;}$
  - vazník jako celek
    - využití na mezní stav použitelnosti
      - mezní průhyb  $\delta_{lim} = L/250$ , tzn.  $12\,400\text{ mm} / 250 = 49,6\text{ mm}$ ;
      - skutečný průhyb  $w_z = 25\text{ mm}$ ;
      - posudek s nadvýšením  $w_z / \delta_{lim} = 0,50$ :  $\mu_{MSP} = 50\% - \text{VYHOVUJE.}$

## VAZNÍK (II, III)

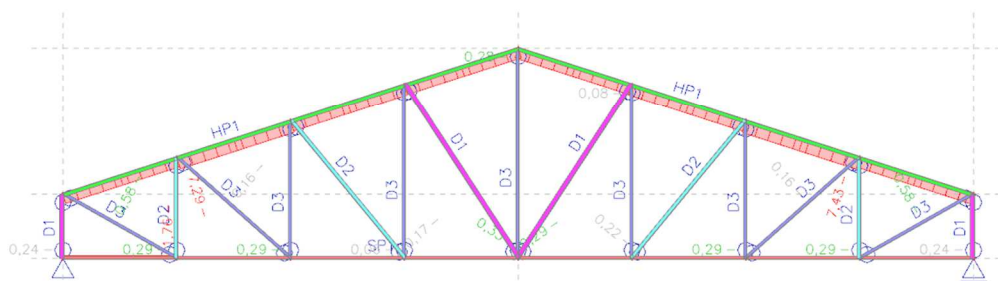


Obrázek č. 16b: Vazník v ose (II, III) - znázornění posudku MSÚ (viz příloha č. III.e)

- **VAZNÍK v ose (IV - VI)**
  - prvek (HP1.3) horní pásnice vazníku 2x L50/50/5 (S235):
    - využití na mezní stav únosnosti .....  $\mu_{MSÚ} > 300\% - \text{NEVYHOVUJE;}$

- prvek (SP1.3) spodní pásnice vazníku 2x L40/40/4 (S235):
  - využití na mezní stav únosnosti .....  $\mu_{MSÚ} = 176 \%$  - **NEVYHOVUJE**;
- prvek (D1.3) diagonála vazníku 2x L63/63/6 (S235):
  - využití na mezní stav únosnosti .....  $\mu_{MSÚ} = 33 \%$  - **VYHOVUJE**;
- prvek (D2.3) diagonála vazníku 2x L50/50/5 (S235):
  - využití na mezní stav únosnosti .....  $\mu_{MSÚ} = 29 \%$  - **VYHOVUJE**;
- prvek (D3.3) diagonála vazníku 2x L40/40/4 (S235):
  - využití na mezní stav únosnosti .....  $\mu_{MSÚ} = 58 \%$  - **VYHOVUJE**;
- vazník jako celek
  - využití na mezní stav použitelnosti
    - mezní průhyb  $\delta_{lim} = L/250$ , tzn.  $12\,400\text{ mm} / 250 = 49,6\text{ mm}$ ;
    - skutečný průhyb  $w_z = 10,3\text{ mm}$ ;
    - posudek s nadvýšením  $w_z / \delta_{lim} = 0,21$ :  $\mu_{MSP} = 21 \%$  - **VYHOVUJE**.

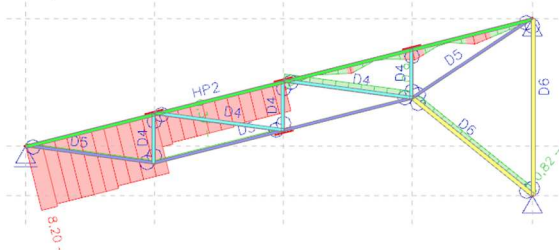
## VAZNÍK (IV–VI)



Obrázek č. 16c: Vazník v ose (IV - VI) - znázornění posudku MSÚ (viz příloha č. III.e)

## - NÁROŽNÍ VAZNÍK

- prvek (HP2) horní pásnice vazníku 2x L50/50/5 (S235):
  - využití na mezní stav únosnosti .....  $\mu_{MSÚ} > 300 \%$  - **NEVYHOVUJE**;
- prvek (D4) diagonála vazníku 2x L50/50/5 (S235):
  - využití na mezní stav únosnosti .....  $\mu_{MSÚ} = 91 \%$  - **VYHOVUJE**;
- prvek (D5) diagonála vazníku 2x L40/40/4 (S235):
  - využití na mezní stav únosnosti .....  $\mu_{MSÚ} = 37 \%$  - **VYHOVUJE**;
- prvek (D6) diagonála vazníku L63/63/6 (S235):
  - využití na mezní stav únosnosti .....  $\mu_{MSÚ} = 82 \%$  - **VYHOVUJE**;
- vazník jako celek
  - využití na mezní stav použitelnosti
    - mezní průhyb  $\delta_{lim} = L/250$ , tzn.  $7\,670\text{ mm} / 250 = 30,7\text{ mm}$ ;
    - skutečný průhyb  $w_z = 4,0\text{ mm}$ ;
    - posudek s nadvýšením  $w_z / \delta_{lim} = 0,13$ :  $\mu_{MSP} = 13 \%$  - **VYHOVUJE**.



Obrázek č. 17: Nárožní vazník - znázornění posudku MSÚ (viz příloha č. III.e)

Podrobný posudek dřevěného záklopu vaznic viz příloha č. II.b.

*Podrobný posudek dřevěných vaznic viz příloha č. II.c.*

*Podrobný posudek dřevěných krokví ve valbě viz příloha č. II.d.*

*Podrobný posudek ocelových vazníků viz příloha č. II.e.*

Posudky byly provedeny za běžných teplotních podmínek!

### **ZÁVĚR POSUDKU:**

Z výše uvedených výsledků plyne, že nevyhovujícími prvky konstrukce ocelové střechy jsou dřevěné vaznice mezi (I) a (III) sedlovým vazníkem, dále od vrcholu první dřevěná vaznice (K1.3), dále dvě nejdelší krokve ve valbě (Kv1.1) a (Kv1.2). Obecně pak nevyhovuje žádná z horních pásnic (HPi) vazníků a u vazníků v osách (II až VII) nevyhovuje navíc spodní pásnice, u vazníků v osách (II, III) nevyhovuje první krajní diagonála (D3).

Střešní konstrukce jako celek je NEvyhovující na stávající stav!

Předpokladem statického posudku je bezvadnost konstrukce!

## **4.4 Základové konstrukce**

Základové konstrukce byly posouzeny v rozsahu dvou obvodových kamenných základových pásů dle informací zjištěných sondami K3 a K4, dále dvou základových patek pod ocelovými sloupy vestavby mapovanými sondami K6 a K8.

Sondy K3 a K4 mapují středové základové pásy a vzhledem k tomu, že nebylo zjištěno rozšíření základů oproti stěnám v 1. PP bude uvažována šířka obvodových základových pásů odpovídat tloušťce stěn v 1. PP.

Základové pásy mapované sondami K3 a K4 jsou z kamene.

Základové patky mapované sondami K6 a K8 jsou z betonu.

V případě sond K3 a K4 se jedná o kamenné základové pásy tl. 865 a 950 mm pod zděnými obvodovými stěnami tl. 650 až 800 mm, s uvažovanou hloubkou základové spáry v úrovni cca -3,00 m ( ±0,00 je uvažována podlaha 1.NP).

Podrobnější popis viz kapitola 2 zprávy stavebně-technického průzkumu [2].

### **4.4.1 Základové poměry**

Informace o základových poměrech byly převzaty laboratorních zkoušek provedených v rámci STP a dále z blízkého archivního vrtu č. ID 482488.

Tabulka č. 1 – vzorky ze sond **K 1, K 2, K 4**

|  |                      |
|--|----------------------|
| <b>Třída G1 GW</b>                     | <b>Šířka základů</b> |
| <b>Štěrk dobře zrněný</b>              | <b>cca 0,5 – 1 m</b> |
| modul přetvárnosti $E_{def}$ (MPa)     | 360-500              |
| převodní součinitel $\beta$ ( 1 )      | 0,90                 |
| tab. výpočtová únosnost $R_{dt}$ (MPa) | 0,50 – 0,80          |

Tabulka č. 2 – vzorky ze sond **K 8, K 10**

|  |                      |
|--|----------------------|
| <b>Třída G3 G-F</b>                      | <b>Šířka základů</b> |
| <b>Štěrk z příměsí jemnozrnné zeminy</b> | <b>cca 0,5 – 1 m</b> |
| modul přetvárnosti $E_{def}$ (MPa)       | 90-100               |
| úhel vnitřního tření $\varphi_{ef}$ (°)  | 33-38                |
| převodní součinitel $\beta$ ( 1 )        | 0,83                 |
| tab. výpočtová únosnost $R_{dt}$ (MPa)   | 0,30 – 0,45          |

Tabulka č. 3: Základní litologická data z archivního vrtu č. ID 482488, Z=285,7 m n. m.

| Hloubka [m]  | Popis  | Stratigrafie  | Hladina [m] |
|--------------|--|---------------|-------------|
| 0.00 - 1.60  | <b>navážka</b> ulehly hlinitý šedá, hnědá  | Holocén       |             |
| 1.60 - 2.00  | <b>hlína</b> jemnozrnný písčité tuhy šedá, hnědá,<br><b>organický detrit [zbytky]</b>                                | Holocén       |             |
| 2.00 - 4.90  | <b>štěrk</b> hrubozrnný hlinitý písčité max. velikost<br>částic 2 dm šedá, hnědá,<br><b>pískovec</b> zvodnělý ulehly | Holocén       |             |
| 4.90 - 10.00 | <b>jíl</b> hlinitý vápnitý pevný   | Křída svrchní |             |

#### 4.4.2 Posudek základů

Při výpočtech a posudcích bylo využito ručně algoritimizovaného výpočtu v programu MS excel a výpočetních softwarů společnosti Fine s.r.o. (GEO5 -Patky).

Předpokladem statického posudku je bezvadnost konstrukce!

#### VÝSLEDKY POSUDKU:

- prvek (**ZP1\_K3**) obvodový kamenný zákl. pás, **b = 0,94 m, zemina v z. s. G3:**
  - o využití na mezní stav únosnosti .....  $\mu_{MSÚ} = 79 \%$  - **VYHOVUJE.**
  - o sedání základu .....  $u_z = 3,3 \text{ mm}$ .
- prvek (**ZP2\_K4**) obvodový kamenný zákl. pás, **b = 0,85 m, zemina v z. s. G1:**
  - o využití na mezní stav únosnosti .....  $\mu_{MSÚ} = 79 \%$  - **VYHOVUJE.**
  - o sedání základu .....  $u_z = 2,3 \text{ mm}$ .
- prvek (**ZP3\_K6**) betonová zákl. patka, **b/d/h = 1,0/1,4/0,4 m, zemina v z. s. G3:**
  - o využití na mezní stav únosnosti .....  $\mu_{MSÚ} = 31 \%$  - **VYHOVUJE.**
  - o **nutná výztuž při spodním povrchu  $A_{nut, x} = 644 \text{ mm}^2$  (např. 6x ØR 12),  $A_{nut, y} = 460 \text{ mm}^2$  (např. 5x ØR 12) – nutno dodatečně ověřit**
  - o sedání základu .....  $u_z = 1,6 \text{ mm}$ .
- prvek (**ZP4\_K8**) betonová zákl. patka, **b/d/h = 1,1/1,26/0,65 m, zem. v z. s. G3:**
  - o využití na mezní stav únosnosti .....  $\mu_{MSÚ} = 31 \%$  - **VYHOVUJE.**
  - o **nutná výztuž při spodním povrchu  $A_{nut, x} = 988 \text{ mm}^2$  (např. 7x ØR 14),  $A_{nut, y} = 862 \text{ mm}^2$  (např. 6x ØR 14) – nutno dodatečně ověřit**
  - o sedání základu .....  $u_z = 1,9 \text{ mm}$ .

Podrobný posudek základových konstrukcí viz příloha č. IV.b – IV.e.

#### ZÁVĚR POSUDKU:

Základové konstrukce jsou vyhovující na stávající stav z hlediska únosnosti. Limitujícím je pouze vyztužení patek a technický stav základových konstrukcí, tzn. v případě sondy K6 a K8, kde je patka výšky pouze 0,40 a 0,65 m, je nutné prokázat vyztužení při spodním povrchu patky (viz výše), dále v případě sondy K8 byl zjištěn defekt v základové patce, konkrétně se jedná o přítomnost dutiny vzniklé špatnou betonáží. Bude nutné provést kontrolu všech zbylých základových patek!

Předpokladem statického posudku je bezvadnost konstrukce!



## 5 ZÁVĚREČNÉ VYHODNOCENÍ STATICKÝCH POSUDKŮ

Níže jsou stručně uvedeny výsledky statických posudků pro jednotlivé typy nosných konstrukcí. Předpokladem statických posudků je bezvadnost posuzovaných konstrukcí! Proto je nutno výsledky statického posouzení dát do souvislostí ze závěry [2], kdy zejména v případě dřevěných konstrukcí výsledky posouzení zdravotního stavu hrají také významnou roli.

### 5.1 Stropní konstrukce

#### 5.1.1 Dřevěné stropní konstrukce včetně I nosníků

Posudkem stávající stropní konstrukce bylo zjištěno, že téměř všechny dřevěné trámy jsou vyhovující z hlediska zatížení stávajícím stálým zatížením a uvažovaným užitným zatížením. Při celkovém vyhodnocení stavu stropních konstrukcí je nutno zohlednit rovněž zdravotní stav dřevěných prvků stropů, kterým je v některých závažných případech až rozpad trámů zejména v zazděných částech, jedná o stropy v sondách NV 21, NV 24, NV 26 a NV 29 - viz [2]. Dřevěné stropy lze tedy považovat za zcela vyhovující až po sanaci (odstranění napadených částí a jejich zesílení). V případě sondy NV 23, která je staticky nevyhovující, došlo v minulosti k přetížení novou skladbou podlahy, po jejím odstranění a nahrazení podlahou ve váze srovnatelné s okolními podlahami, bude také tento strop vyhovující.

V případě ocelových I nosníků vynášející dřevěné trámy platí v případě sondy NV 22 shodně přetížení podlahou jako u sondy NV 23 – viz výše u dřevěných stropů. V sondy NV 25 je nevyhovující pouze průhyb a to jen o 5%, rovněž tak v případě sondy NV 28 při uvažovaném přetížení konstrukcí mansardy o 9%, což lze vzhledem ke stáří objektu zanedbat a strop považovat za vyhovující.

#### 5.1.2 I nosníky cihelných kleneb

V případě ocelových I nosníků vynášející cihelné klenby jsou nevyhovující dvě sondy NV 3 a NV 5. U sondy NV 3 je strop přetížení novou podlahou z betonových mazanin, v případě sondy NV 5 jsou nosníky nevyhovující v případě, kdy zanedbáme působení dodatečně vložených sloupků z L, pokud budeme se sloupky uvažovat jako s podporou, která zkracuje rozpětí nosníku, pak jsou stropní nosníky vyhovující. V případě, kdy by z dispozičních důvodů bylo vhodné sloupky v 1. PP odstranit, je nutné provést odlehčení podlahy. Ve všech případech u stropních I nosníků nad 1. PP byla navíc zjištěna koroze, která nosníky mírně oslabuje: Většinou se jedná o oslabení většího charakteru o cca 0,5 – 1,0 mm, ale pouze v oblasti u uložení do nosného zdiva, I nosníky však vykazují velmi nízkou využitelnost ve smyku v rozmezí 20-25%, takže rezerva v únosnosti v oblasti uložení je vysoká a mírné oslabení I nosníků nemá výrazný vliv na jejich celkovou únosnost.

#### 5.1.3 Ocelové nosníky žb stropů a stropů z hurdisek

U ocelových I a U nosníků vynášející žb stropy jsou nevyhovující dvě sondy NV 8 a NV 9, které navíc také vykazují větší míru oslabení vlivem koroze o 0,5 – 1 mm a to po celé délce nosníků. Přetížení stropních nosníků je tedy ve skutečnosti ještě větší a tyto stropy bude nutné sanovat – zesílit, vložit další nosníky apod. Ostatní sondy NV 10, NV 12, NV 15 a NV 19 jsou vyhovující s dostatečnou rezervou v únosnosti, takže i mírné oslabení vlivem koroze nepředstavuje pro tyto stropy problém.

Sonda NV 16 - strop z hurdiskových desek je vyhovující.

#### 5.1.4 ŽB stropy

Další stropy provedené z žb prvků jsou vesměs vyhovující s dostatečnou nebo mírnou rezervou, pouze PZD deska v případě sondy NV 10 je nevyhovující. Jedná se však o nedodržení

konstrukčních požadavků – malá plocha tažené výztuže, v případě kdy požadavky ČSN EN 1992-1-1 na plochu výztuže nebudeme uvažovat, je deska na hranici únosnosti. Přesto tyto PZD desky doporučuji ze stropních konstrukcí vybourat, neboť s ohledem na současné stálé zatížení je zřejmé, že při jiné skladbě podlahy by byla opět nevyhovující.

#### **5.1.5 Ocelová vestavba stropní konstrukce nad 1. NP**

Z výše uvedených výsledků plyne, že nevyhovujícími prvky konstrukce stropní vestavby jsou nosný vlnitý plech (VSŽ) a některé podélné nosníky (n2), ostatní prvky jsou vyhovující na uvažovaný stav.

Platnost statického posudek je podmíněna provedením doplnění zajištění konstrukce proti vodorovným posunům!

### **5.2 Střešní konstrukce**

#### **5.2.1 Dřevěná střecha**

Z výše uvedených výsledků plyne, že nevyhovujícími prvky konstrukce dřevěného krovu jsou krokve (K3), obě nárožní krokve (NK1, NK2), středové vaznice (SV1) ve třech polích, dva sloupky (S1.1) a dále nevyhovují vazné trámy (VT1, VT2).

Jedinými prvky, které staticky vyhovují, jsou krokve (K1, K2, K4), sloupky (S1.2) a pásy. Pokud by byl doplněn pásek u druhého sloupku vaznice (SV1.1) budou všechny sloupky (S1.1) vyhovující (viz obr. č. 7b a 8b). Lze tedy říci, že 2/3 dřevěné střechy sestávající ze střechy sedlové dvou valem a malé ploché střechy jsou jako celek nevyhovující na stávající stav.

Prvky mansardové střechy díky velkému sklonu ve větší části půdorysné plochy nepřenáší významné svislé zatížení a tudíž je lze považovat za vyhovující, neboť jsou pro tento typ střechy v běžných dimenzích. Vazné trámy jsou navíc částečně opřeny do stropních I nosníků.

#### **5.2.2 Ocelová střecha**

Z výše uvedených výsledků plyne, že nevyhovujícími prvky konstrukce ocelové střechy jsou dřevěné vaznice mezi (I) a (III) sedlovým vazníkem, dále od vrcholu první dřevěná vaznice (K1.3), dále dvě nejdelší krokve ve valbě (Kv1.1) a (Kv1.2). Obecně pak nevyhovuje žádná z horních pásnic (HPi) vazníků a u vazníků v osách (II až VII) nevyhovuje navíc spodní pásnice, u vazníků v osách (II, III) nevyhovuje první krajní diagonála (D3).

Střešní konstrukce jako celek je nevyhovující na stávající stav!

### **5.3 Základové konstrukce**

Základové konstrukce jsou vyhovující na stávající stav z hlediska únosnosti. Limitujícím je pouze vyztužení patek a technický stav základových konstrukcí, tzn. v případě sondy K6 a K8, kde je patka výšky pouze 0,40 a 0,65 m, je nutné prokázat vyztužení při spodním povrchu patky (viz výše), dále v případě sondy K8 byl zjištěn defekt v základové patce, konkrétně se jedná o přítomnost dutiny vzniklou špatnou betonáží. Bude nutné provést kontrolu všech zbylých základových patek!

V Ostravě 14. 04. 2025

vypracoval:

Ing. Radan Sležka  
Ing. Martin Sležka



**ZATÍŽENÍ STROPŮ****PODLAHY NA CIHELNÝCH KLENBÁCH DO I NOSNÍKŮ****SONDA NV 1, NV 2**

Zg\_1,2 STÁLÉ ZATÍŽENÍ STROPU -  $g_n$  /  $g_d$  - plošné  
skladba - popis vrstev

**STROP NAD 1. PP**

|                                       | tloušťka<br>[m] |   | obj.hmot.<br>$\gamma$ [kN.m <sup>3</sup> ] |   | zatížení [kN.m <sup>-2</sup> ] |            |                       |
|---------------------------------------|-----------------|---|--|---|--------------------------------|------------|-----------------------|
|                                       |                 |   |  |   | charakteristické               | $\gamma_d$ | návrhové              |
| PVC                                   | 0,002           | x | 14,00                                      | = | 0,028                          | 1,35       | 0,038                 |
| betonová mazanina - souvrství         | 0,130           | x | 22,00                                      | = | 2,860                          | 1,35       | 3,861                 |
| násyp - stavební suť - průměrná výška | 0,100           | x | 15,00                                      | = | 1,500                          | 1,35       | 2,025                 |
| cihlená klenba - zdivo z plných cihel | 0,160           | x | 18,00                                      | = | 2,880                          | 1,35       | 3,888                 |
| omítka - vápenná                      | 0,030           | x | 18,00                                      | = | 0,540                          | 1,35       | 0,729                 |
|                                       |                 |   |  |   | $g_k =$                        | $g_d =$    | [kN.m <sup>-2</sup> ] |
|                                       |                 |   |  |   | 7,81                           | 10,54      |                       |

**SONDA NV 3**

Zg\_3 STÁLÉ ZATÍŽENÍ STROPU -  $g_n$  /  $g_d$  - plošné  
skladba - popis vrstev

**STROP NAD 1. PP**

|                                       | tloušťka<br>[m] |   | obj.hmot.<br>$\gamma$ [kN.m <sup>3</sup> ] |   | zatížení [kN.m <sup>-2</sup> ] |            |                       |
|---------------------------------------|-----------------|---|--|---|--------------------------------|------------|-----------------------|
|                                       |                 |   |  |   | charakteristické               | $\gamma_d$ | návrhové              |
| PVC                                   | 0,002           | x | 14,00                                      | = | 0,028                          | 1,35       | 0,038                 |
| betonová mazanina - souvrství         | 0,120           | x | 22,00                                      | = | 2,640                          | 1,35       | 3,564                 |
| násyp - stavební suť - průměrná výška | 0,125           | x | 15,00                                      | = | 1,875                          | 1,35       | 2,531                 |
| cihlená klenba - zdivo z plných cihel | 0,160           | x | 18,00                                      | = | 2,880                          | 1,35       | 3,888                 |
| omítka - vápenná                      | 0,035           | x | 18,00                                      | = | 0,630                          | 1,35       | 0,851                 |
|                                       |                 |   |  |   | $g_k =$                        | $g_d =$    | [kN.m <sup>-2</sup> ] |
|                                       |                 |   |  |   | 8,05                           | 10,87      |                       |

**SONDA NV 4**

Zg\_4 STÁLÉ ZATÍŽENÍ STROPU -  $g_n$  /  $g_d$  - plošné  
skladba - popis vrstev

**STROP NAD 1. PP**

|   | tloušťka<br>[m] |   | obj.hmot.<br>$\gamma$ [kN.m <sup>3</sup> ] |   | zatížení [kN.m <sup>-2</sup> ] |            |                       |
|---|-----------------|---|--|---|--------------------------------|------------|-----------------------|
|   |                 |   |  |   | charakteristické               | $\gamma_d$ | návrhové              |
| keramická dlažba                              | 0,030           | x | 22,00                                      | = | 0,660                          | 1,35       | 0,891                 |
| betonová mazanina - souvrství + cement. potěr | 0,105           | x | 22,00                                      | = | 2,310                          | 1,35       | 3,119                 |
| násyp - stavební suť - průměrná výška         | 0,115           | x | 15,00                                      | = | 1,725                          | 1,35       | 2,329                 |
| cihlená klenba - zdivo z plných cihel         | 0,160           | x | 18,00                                      | = | 2,880                          | 1,35       | 3,888                 |
| omítka - vápenná                              | 0,025           | x | 18,00                                      | = | 0,450                          | 1,35       | 0,608                 |
|   |                 |   |  |   | $g_k =$                        | $g_d =$    | [kN.m <sup>-2</sup> ] |
|   |                 |   |  |   | 8,03                           | 10,83      |                       |

**SONDA NV 5**

Zg\_5 STÁLÉ ZATÍŽENÍ STROPU -  $g_n$  /  $g_d$  - plošné  
skladba - popis vrstev

**STROP NAD 1. PP**

|   | tloušťka<br>[m] |   | obj.hmot.<br>$\gamma$ [kN.m <sup>3</sup> ] |   | zatížení [kN.m <sup>-2</sup> ] |            |                       |
|---|-----------------|---|--|---|--------------------------------|------------|-----------------------|
|   |                 |   |  |   | charakteristické               | $\gamma_d$ | návrhové              |
| keramická dlažba                              | 0,030           | x | 22,00                                      | = | 0,660                          | 1,35       | 0,891                 |
| betonová mazanina - souvrství + cement. potěr | 0,070           | x | 22,00                                      | = | 1,540                          | 1,35       | 2,079                 |
| násyp - stavební suť - průměrná výška         | 0,190           | x | 15,00                                      | = | 2,850                          | 1,35       | 3,848                 |
| cihlená klenba - zdivo z plných cihel         | 0,160           | x | 18,00                                      | = | 2,880                          | 1,35       | 3,888                 |
| omítka - vápenná                              | 0,025           | x | 18,00                                      | = | 0,450                          | 1,35       | 0,608                 |
|   |                 |   |  |   | $g_k =$                        | $g_d =$    | [kN.m <sup>-2</sup> ] |
|   |                 |   |  |   | 8,38                           | 11,31      |                       |

**PODLAHY NA ŽB STROPECH****SONDA NV 6**

Zg\_6 STÁLÉ ZATÍŽENÍ STROPU -  $g_n$  /  $g_d$  - plošné  
skladba - popis vrstev

**STROP NAD 1. PP**

|                               | tloušťka<br>[m] |   | obj.hmot.<br>$\gamma$ [kN.m <sup>3</sup> ] |   | zatížení [kN.m <sup>-2</sup> ] |            |                       |
|-------------------------------|-----------------|---|--|---|--------------------------------|------------|-----------------------|
|                               |                 |   |  |   | charakteristické               | $\gamma_d$ | návrhové              |
| keramická dlažba              | 0,010           | x | 22,00                                      | = | 0,220                          | 1,35       | 0,297                 |
| cementová malta               | 0,020           | x | 22,00                                      | = | 0,440                          | 1,35       | 0,594                 |
| betonová mazanina - souvrství | 0,115           | x | 22,00                                      | = | 2,530                          | 1,35       | 3,416                 |
| násyp - škvára                | 0,050           | x | 9,00                                       | = | 0,450                          | 1,35       | 0,608                 |
| žb plný panel                 | 0,105           | x | 24,00                                      | = | 2,520                          | 1,35       | 3,402                 |
| omítka - vápenná              | 0,010           | x | 18,00                                      | = | 0,180                          | 1,35       | 0,243                 |
|                               |                 |   |  |   | $g_k =$                        | $g_d =$    | [kN.m <sup>-2</sup> ] |
|                               |                 |   |  |   | 6,12                           | 8,26       |                       |

**SONDA NV 7**

Zg\_7 STÁLÉ ZATÍŽENÍ STROPU -  $g_n$  /  $g_d$  - plošné  
skladba - popis vrstev

**STROP NAD 1. PP**

| skladba - popis vrstev        | tloušťka | x | obj.hmot.              |   | zatížení [kN.m <sup>-2</sup> ] |                |                  |                            |
|-------------------------------|----------|---|------------------------|---|--------------------------------|----------------|------------------|----------------------------|
|                               | [m]      |   | γ [kN.m <sup>3</sup> ] |   | charakteristické               | γ <sub>d</sub> | návrhové         |                            |
| keramická dlažba              | 0,010    | x | 22,00                  | = | 0,220                          | 1,35           | 0,297            |                            |
| cementová malta               | 0,010    | x | 22,00                  | = | 0,220                          | 1,35           | 0,297            |                            |
| betonová mazanina - souvrství | 0,110    | x | 22,00                  | = | 2,420                          | 1,35           | 3,267            |                            |
| násyp - škvára                | 0,085    | x | 9,00                   | = | 0,765                          | 1,35           | 1,033            |                            |
| žb plný panel                 | 0,100    | x | 24,00                  | = | 2,400                          | 1,35           | 3,240            |                            |
| omítka - vápenná              | 0,010    | x | 18,00                  | = | 0,180                          | 1,35           | 0,243            |                            |
|                               |          |   |                        |   | g <sub>k</sub> =               | 5,99           | g <sub>d</sub> = | 8,08 [kN.m <sup>-2</sup> ] |

**SONDA NV 10**

Zg\_10 STÁLÉ ZATÍŽENÍ STROPU -  $g_n$  /  $g_d$  - plošné  
skladba - popis vrstev

**STROP NAD 1. PP**

| skladba - popis vrstev                           | tloušťka | obj.hmot. | zatížení [kN.m <sup>-2</sup> ] |                  |                |                  |                            |
|--|----------|-----------|--------------------------------|------------------|----------------|------------------|----------------------------|
|  | [m]      |           | γ [kN.m <sup>3</sup> ]         | charakteristické | γ <sub>g</sub> | návrhové         |                            |
| betonová mazanina - souvrství                    | 0,015    | x         | 22,00                          | =                | 0,330          | 1,35             | 0,446                      |
| žb dutinový panel - přepočtená objemová hmotnost | 0,085    | x         | 21,00                          | =                | 1,785          | 1,35             | 2,410                      |
| omítka - vápenná                                 | 0,010    | x         | 18,00                          | =                | 0,180          | 1,35             | 0,243                      |
|  |          |           |                                | q <sub>k</sub> = | 2.30           | q <sub>d</sub> = | 3.10 [kN.m <sup>-2</sup> ] |

**SONDA NV 11**

Zg\_11 STÁLÉ ZATÍŽENÍ STROPU -  $g_n$  /  $g_d$  - plošné  
skladba - popis vrstev

**STROP NAD 1. PP**

| skladba - popis vrstev        | tloušťka |   | obj.hmot.                      |   | zatížení [kN.m <sup>-2</sup> ] |            |          |                            |
|-------------------------------|----------|---|--------------------------------|---|--------------------------------|------------|----------|----------------------------|
|                               | [m]      |   | $\gamma$ [kN.m <sup>-3</sup> ] |   | charakteristické               | $\gamma_d$ | návrhové |                            |
| keramická dlažba              | 0,010    | x | 22,00                          | = | 0,220                          | 1,35       | 0,297    |                            |
| cementová malta               | 0,010    | x | 22,00                          | = | 0,220                          | 1,35       | 0,297    |                            |
| betonová mazanina - souvrství | 0,090    | x | 22,00                          | = | 1,980                          | 1,35       | 2,673    |                            |
| násyp - škvára                | 0,095    | x | 9,00                           | = | 0,855                          | 1,35       | 1,154    |                            |
| žb plný panel                 | 0,110    | x | 24,00                          | = | 2,640                          | 1,35       | 3,564    |                            |
| omítka - vápenná              | 0,010    | x | 18,00                          | = | 0,180                          | 1,35       | 0,243    |                            |
|                               |          |   |                                |   | $g_k =$                        | 5,88       | $g_d =$  | 7,93 [kN.m <sup>-2</sup> ] |

**SONDA NV 12**

Zg\_12 STÁLÉ ZATÍŽENÍ STROPU -  $g_n$  /  $g_d$  - plošné  
skladba - popis vrstev

**STROP NAD 1. PP**

| skladba - popis vrstev        | tloušťka | x | obj.hmot.              | = | zatížení [kN.m <sup>-2</sup> ] |                       |                       |
|-------------------------------|----------|---|------------------------|---|--------------------------------|-----------------------|-----------------------|
|                               | [m]      |   | γ [kN.m <sup>3</sup> ] |   | charakteristické               | γ <sub>g</sub>        | návrhové              |
| PVC                           | 0,002    |   | 14,00                  |   | 0,028                          | 1,35                  | 0,038                 |
| betonová mazanina - souvrství | 0,145    | x | 22,00                  | = | 3,190                          | 1,35                  | 4,307                 |
| žb plný panel                 | 0,090    | x | 24,00                  | = | 2,160                          | 1,35                  | 2,916                 |
| omítka - vápenná              | 0,015    | x | 18,00                  | = | 0,270                          | 1,35                  | 0,365                 |
|                               |          |   |                        |   | g <sub>k</sub> = 5,62          | g <sub>d</sub> = 7,59 | [kN.m <sup>-2</sup> ] |

**PODLAHY NA DŘEVĚNÝCH STROPECH****SONDA NV 21**

Zg\_21 STÁLÉ ZATÍŽENÍ STROPU -  $g_n$  /  $g_d$  - plošné  
skladba - popis vrstev

**STROP NAD 1. NP**

| skladba - popis vrstev                        | tloušťka |   | obj.hmot.                     |   | zatížení [kN.m <sup>-2</sup> ] |            |          |                            |
|---|----------|---|-------------------------------|---|--------------------------------|------------|----------|----------------------------|
|   | [m]      |   | $\gamma$ [kN.m <sup>3</sup> ] |   | charakteristické               | $\gamma_g$ | návrhové |                            |
| PVC   | 0,002    | x | 14,00                         | = | 0,028                          | 1,35       | 0,038    |                            |
| dřevotřískové desky                           | 0,020    | x | 7,50                          | = | 0,150                          | 1,35       | 0,203    |                            |
| dřevovláknité desky                           | 0,015    | x | 2,30                          | = | 0,035                          | 1,35       | 0,047    |                            |
| násyp - písek                                 | 0,065    | x | 16,00                         | = | 1,040                          | 1,35       | 1,404    |                            |
| násyp - stavení suť                           | 0,080    | x | 15,00                         | = | 1,200                          | 1,35       | 1,620    |                            |
| dřev. konstr. - záklop, trám - přepočtená tl. | 0,075    | x | 5,00                          | = | 0,375                          | 1,35       | 0,506    |                            |
|   |          |   |                               |   | $g_k =$                        | 2,83       | $g_d =$  | 3,82 [kN.m <sup>-2</sup> ] |

**SONDA NV 23**

Zg\_23 STÁLÉ ZATÍŽENÍ STROPU -  $g_n$  /  $g_d$  - plošné  
skladba - popis vrstev

**STROP NAD 1. NP**

| skladba - popis vrstev                        | tloušťka | x | obj.hmot.               | = | zatížení [kN.m <sup>-2</sup> ] |                       |                       |
|---|----------|---|-------------------------|---|--------------------------------|-----------------------|-----------------------|
|   | [m]      |   | γ [kN.m <sup>-3</sup> ] |   | charakteristické               | γ <sub>d</sub>        | návrhové              |
| samonivelační stěrka                          | 0,002    | x | 22,00                   | = | 0,044                          | 1,35                  | 0,059                 |
| cementový potěr                               | 0,015    | x | 22,00                   | = | 0,330                          | 1,35                  | 0,446                 |
| keramická dlažba                              | 0,010    | x | 22,00                   | = | 0,220                          | 1,35                  | 0,297                 |
| cementová malta                               | 0,030    | x | 22,00                   | = | 0,660                          | 1,35                  | 0,891                 |
| betonová mazanina - souvrství                 | 0,065    | x | 22,00                   | = | 1,430                          | 1,35                  | 1,931                 |
| betonová deska do prolamovaného plechu        | 0,095    | x | 22,00                   | = | 2,090                          | 1,35                  | 2,822                 |
| plech prolamovaný                             | 0,001    | x | 78,00                   | = | 0,078                          | 1,35                  | 0,105                 |
| dřev. konstr. - záklop, trám - přepočtená tl. | 0,075    | x | 5,00                    | = | 0,375                          | 1,35                  | 0,506                 |
|   |          |   |                         |   | g <sub>k</sub> = 5,23          | g <sub>d</sub> = 7,06 | [kN.m <sup>-2</sup> ] |

**SONDA NV 24**

Zg\_24 STÁLÉ ZATÍŽENÍ STROPU -  $g_n$  /  $g_d$  - plošné  
skladba - popis vrstev

**STROP NAD 1. NP**

| skladba - popis vrstev                        | tloušťka |   | obj.hmot.              |   | zatížení [kN.m <sup>-2</sup> ] |                       |                       |
|---|----------|---|------------------------|---|--------------------------------|-----------------------|-----------------------|
|   | [m]      |   | γ [kN.m <sup>3</sup> ] |   | charakteristické               | γ <sub>g</sub>        | návrhové              |
| PVC   | 0,002    | x | 14,00                  | = | 0,028                          | 1,35                  | 0,038                 |
| dřevotřískové desky                           | 0,020    | x | 7,50                   | = | 0,150                          | 1,35                  | 0,203                 |
| dřevovláknité desky                           | 0,015    | x | 2,30                   | = | 0,035                          | 1,35                  | 0,047                 |
| násyp - písek                                 | 0,040    | x | 16,00                  | = | 0,640                          | 1,35                  | 0,864                 |
| násyp - stavení suť                           | 0,105    | x | 15,00                  | = | 1,575                          | 1,35                  | 2,126                 |
| dřev. konstr. - záklop, trám - přepočtená tl. | 0,075    | x | 5,00                   | = | 0,375                          | 1,35                  | 0,506                 |
|   |          |   |                        |   | g <sub>k</sub> = 2,80          | g <sub>d</sub> = 3,78 | [kN.m <sup>-2</sup> ] |

**SONDA NV 26**

Zg\_26 STÁLÉ ZATÍŽENÍ STROPU -  $g_n$  /  $g_d$  - plošné  
skladba - popis vrstev

**STROP NAD 2. NP**

| skladba - popis vrstev                        | tloušťka | x | obj.hmot.               | zatížení [kN.m <sup>-2</sup> ] |                |                  |                            |
|---|----------|---|-------------------------|--------------------------------|----------------|------------------|----------------------------|
|   | [m]      |   | γ [kN.m <sup>-3</sup> ] | charakteristické               | γ <sub>g</sub> | návrhové         |                            |
| cihly půdovky                                 | 0,050    | x | 18,00                   | =                              | 0,900          | 1,35             | 1,215                      |
| maltové lože - vápenná malta                  | 0,020    | x | 18,00                   | =                              | 0,360          | 1,35             | 0,486                      |
| násyp - škvára                                | 0,055    | x | 9,00                    | =                              | 0,495          | 1,35             | 0,668                      |
| dřev. konstr. - záklop, trám - přepočtená tl. | 0,075    | x | 5,00                    | =                              | 0,375          | 1,35             | 0,506                      |
|   |          |   |                         | g <sub>k</sub> =               | 2,13           | g <sub>d</sub> = | 2,88 [kN.m <sup>-2</sup> ] |

**SONDA NV 27, 29**

Zg\_27 STÁLÉ ZATÍŽENÍ STROPU -  $g_n$  /  $g_d$  - plošné  
skladba - popis vrstev

**STROP NAD 2. NP**

| skladba - popis vrstev                        | tloušťka | obj.hmot. | zatížení [kN.m <sup>-2</sup> ] |                  |                |                  |                            |
|---|----------|-----------|--------------------------------|------------------|----------------|------------------|----------------------------|
|   | [m]      |           | γ [kN.m <sup>3</sup> ]         | charakteristické | γ <sub>g</sub> | návrhové         |                            |
| cihly půdovky                                 | 0,050    | x         | 18,00                          | =                | 0,900          | 1,35             | 1,215                      |
| maltové lože - vápenná malta                  | 0,020    | x         | 18,00                          | =                | 0,360          | 1,35             | 0,486                      |
| násyp - škvára                                | 0,045    | x         | 9,00                           | =                | 0,405          | 1,35             | 0,547                      |
| dřev. konstr. - záklop, trám - přepočtená tl. | 0,075    | x         | 5,00                           | =                | 0,375          | 1,35             | 0,506                      |
|   |          |           |                                | g <sub>k</sub> = | 2,04           | g <sub>d</sub> = | 2,75 [kN.m <sup>-2</sup> ] |

**SONDA NV 30**

Zg\_30 STÁLÉ ZATÍŽENÍ STROPU -  $g_n$  /  $g_d$  - plošné  
skladba - popis vrstev

**STROP NAD 2. NP**

| skladba - popis vrstev                        | tloušťka | obj.hmot. | zatížení [kN.m <sup>-2</sup> ] |                  |   |          |       |
|---|----------|-----------|--------------------------------|------------------|---|----------|-------|
|   | [m]      |           | γ [kN.m <sup>3</sup> ]         | charakteristické | γ <sub>g</sub>                              | návrhové |       |
| cihly půdovky                                 | 0,050    | x         | 18,00                          | =                | 0,900                                       | 1,35     | 1,215 |
| maltové lože - vápenná malta                  | 0,020    | x         | 18,00                          | =                | 0,360                                       | 1,35     | 0,486 |
| násyp - škvára                                | 0,090    | x         | 9,00                           | =                | 0,810                                       | 1,35     | 1,094 |
| dřev. konstr. - záklop, trám - přepočtená tl. | 0,075    | x         | 5,00                           | =                | 0,375                                       | 1,35     | 0,506 |
| g <sub>k</sub> = 2,45                         |          |           |                                |                  | g <sub>d</sub> = 3,30 [kN.m <sup>-2</sup> ] |          |       |

**PODHLÉDY NA DŘEVĚNÝCH STROPECH****SONDY NV 20-30 - ZATÍŽENÍ OD PODHLÉDU VČETNĚ RÁKOSNÍKŮ**

| Zg_P | STÁLÉ ZATÍŽENÍ STROPU - g <sub>n</sub> / g <sub>d</sub> - plošné<br>skladba - popis vrstev | STROP NAD 2. NP |   |                        |                                |                       |                       |                       |
|------|--|-----------------|---|------------------------|--------------------------------|-----------------------|-----------------------|-----------------------|
|      |  | tloušťka        |   | obj.hmot.              | zatížení [kN.m <sup>-2</sup> ] |                       |                       |                       |
|      |  | [m]             |   | γ [kN.m <sup>3</sup> ] | charakteristické               | γ <sub>g</sub>        | návrhové              |                       |
|      | omítka vápenná na rákosování   | 0,030           | x | 15,00                  | =                              | 0,450                 | 1,35                  | 0,608                 |
|      | dřev. konstr. - podbíjení rákosník - přepočtená tl.  | 0,050           | x | 5,00                   | =                              | 0,250                 | 1,35                  | 0,338                 |
|      |  |                 |   |                        |                                | g <sub>k</sub> = 0,70 | g <sub>d</sub> = 0,95 | [kN.m <sup>-2</sup> ] |

**SONDY NV 26-28 - ZATÍŽENÍ OD DODATEČNÉHO PODHLÉDU**

| Zg_P | STÁLÉ ZATÍŽENÍ STROPU - g <sub>n</sub> / g <sub>d</sub> - plošné<br>skladba - popis vrstev | STROP NAD 2. NP |                        |                                |                |                       |      |                       |                       |  |
|------|--|-----------------|------------------------|--------------------------------|----------------|-----------------------|------|-----------------------|-----------------------|--|
|      |  | tloušťka        | obj.hmot.              | zatížení [kN.m <sup>-2</sup> ] |                |                       |      |                       |                       |  |
|      |  | [m]             | γ [kN.m <sup>3</sup> ] | charakteristické               | γ <sub>g</sub> | návrhové              |      |                       |                       |  |
|      | akustické kazety   | 0,010           | x                      | 7,00                           | =              | 0,070                 | 1,35 | 0,095                 |                       |  |
|      | dřev. konstr. - přepočtená tl.   | 0,010           | x                      | 5,00                           | =              | 0,050                 | 1,35 | 0,068                 |                       |  |
|      |  |                 |                        |                                |                | g <sub>k</sub> = 0,12 |      | g <sub>d</sub> = 0,16 | [kN.m <sup>-2</sup> ] |  |

**PODLAHY NA OCELOBETONOVÉM STROPĚ****SONDA NV 37**

| Zg_37 | STÁLÉ ZATÍŽENÍ STROPU - g <sub>n</sub> / g <sub>d</sub> - plošné<br>skladba - popis vrstev | STROP NAD 1. NP), |                                     |                                |                |                  |                            |  |
|-------|--|-------------------|-------------------------------------|--------------------------------|----------------|------------------|----------------------------|--|
|       |  | tloušťka<br>[m]   | obj.hmot.<br>γ [kN.m <sup>3</sup> ] | zatížení [kN.m <sup>-2</sup> ] |                |                  |                            |  |
|       |  |                   |                                     | charakteristické               | γ <sub>g</sub> | návrhové         |                            |  |
|       | keramická dlažba   | 0,010             | x 22,00                             | =                              | 0,220          | 1,35             | 0,297                      |  |
|       | cementový potěr  | 0,040             | x 22,00                             | =                              | 0,880          | 1,35             | 1,188                      |  |
|       | betonová mazanina  | 0,040             | x 22,00                             | =                              | 0,880          | 1,35             | 1,188                      |  |
|       | betonová deska do prolamovaného plechu   | 0,070             | x 24,00                             | =                              | 1,680          | 1,35             | 2,268                      |  |
|       | plech prolamovaný  | 0,001             | x 78,00                             | =                              | 0,078          | 1,35             | 0,105                      |  |
|       | podhled - ocelová konstrukce   |                   |                                     | =                              | 0,030          | 1,35             | 0,041                      |  |
|       | podhled - vápenná omítka na pletivo  | 0,040             | x 18,00                             | =                              | 0,720          | 1,35             | 0,972                      |  |
|       |  |                   |                                     | g <sub>k</sub> =               | 4,49           | g <sub>d</sub> = | 6,06 [kN.m <sup>-2</sup> ] |  |

UŽITNÉ ZATÍŽENÍ STROPU -  $g_n$  /  $g_d$  - plošné

| UŽITNÉ ZATÍŽENÍ STROPU - g <sub>n</sub> / g <sub>d</sub> - plošné |  | zatížení [kN.m <sup>-2</sup> ] |                |          |      |
|---|--|--------------------------------|----------------|----------|------|
|   |  | charakteristické               | γ <sub>a</sub> | návrhové |      |
| ZU_1  | užitné zatížení kat. C3 a C 4 plochy bez překážek, výstavní plochy, taneční sály | =                              | 5,00           | 1,5      | 7,5  |
| ZU_2  | užitné zatížení kat. B - kancelářské plochy                                      | =                              | 3,00           | 1,5      | 4,5  |
| ZU_3  | užitné zatížení kat. H - střechy bez přístupu                                    | =                              | 0,75           | 1,5      | 1,13 |

**ZATÍŽENÍ KONSTRUKCÍ PLOCHÝCH STŘECH****ZATÍŽENÍ STŘECHY se sklonem 3°**

jednotáštová plochá střecha

**STŘECHA NA STROPĚ Z HURDIS DESEK****SONDA NV 16, ST 1****Zg3** STÁLÉ ZATÍŽENÍ -  $g_n / g_d$  - plošné


skladba - popis vrstev

| skladba - popis vrstev                                 | tloušťka | obj.hmot. |       | zatížení [kN.m <sup>-2</sup> ] |                  |                  |                            |
|--|----------|-----------|-------|--------------------------------|------------------|------------------|----------------------------|
|  | [m]      |           |       | $\gamma$ [kN.m <sup>-3</sup> ] | charakteristické | $\gamma_g$       | návrhové                   |
| souvrství asfaltových lepenek (cca 3-4 vrstvy lepenek) | 0,030    | x         | 12,00 | =                              | 0,360            | 1,35             | 0,486                      |
| pěnový polystyrén                                      | 0,050    | x         | 0,80  | =                              | 0,040            | 1,35             | 0,054                      |
| cementotřískové desky - heraklit                       | 0,060    | x         | 4,50  | =                              | 0,270            | 1,35             | 0,365                      |
| násyp - škvára   | 0,290    | x         | 9,00  | =                              | 2,610            | 1,35             | 3,524                      |
| keramické desky hurdis do patek                        | 0,080    | x         | 12,50 | =                              | 1,000            | 1,35             | 1,350                      |
| omítka - vápenná + malta shora na hurdiskách           | 0,025    | x         | 18,00 | =                              | 0,450            | 1,35             | 0,608                      |
|  |          |           |       | g <sub>k</sub> =               | 4,73             | g <sub>d</sub> = | 6,39 [kN.m <sup>-2</sup> ] |

**Zs3** NAHODILÉ ZATÍŽENÍ - SNĚHEM -  $s_n / s_d$  - plošné

Frýdek-Místek


dle ČSN EN 1991-1-3 - Z2 (12/2006)

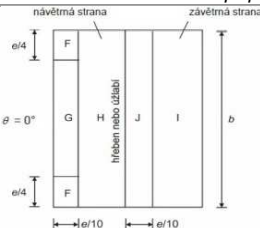
| Frýdek-Místek                                    |            | zatížení [kN.m <sup>-2</sup> ]     |   |               |                                   |
|--|------------|------------------------------------|---|---------------|-----------------------------------|
| popis  |            | charakteristické                   | výpočtové   |               |                                   |
| sklon střechy                                    | $\alpha =$ | 3,0 °                              |  |               |                                   |
| sněhová oblast                                   | <b>3</b>   |                                    |   |               |                                   |
| základní tíha sněhu                              | $s_k =$    | 1,5                                |   |               |                                   |
| tvarový součinitel (pro sedl.,pult.)             | $\mu_1 =$  | 0,80                               |   |               |                                   |
| součinitel dle stálého zatížení                  | $C_e =$    | 1,0                                |   |               |                                   |
| součinitel dle stálého zatížení                  | $C_t =$    | 1,0                                |   |               |                                   |
| $s = \mu_i \times C_e \times C_t \times s_k$     |            | 1,200                              | 1,5   | 1,800         |                                   |
|  |            | $s =$                              | <u>1,20</u>   | $s_d =$       | <u>1,80</u> [kN.m <sup>-2</sup> ] |
|  |            | $s_{0,5} =$                        | 0,60  | $s_{d,0,5} =$ | 0,90 [kN.m <sup>-2</sup> ]        |
| NAHODILÉ ZATÍŽENÍ - SNĚHEM - $s_n / s_d$ - NÁVĚJ |            | dle ČSN EN 1991-1-3 - Z2 (12/2006) |   |               |                                   |
| výška výstupu / přepážky                         | $h =$      | 5,0 m                              | $l_s = 15,0$ m  |               |                                   |
| objemová tíha sněhu                              | $\gamma =$ | 2 kN.m <sup>-3</sup>               | $\mu_2 = 6,666667$  |               |                                   |
| tvarový součinitel navátý                        | $\mu_2 =$  | 2,00                               |   |               |                                   |
| $s_2 = \mu_2 \times C_e \times C_t \times s_k$   |            | 3,000                              | 1,5   | 4,500         |                                   |
|  |            | $s_{2,k} =$                        | 3,00  | $s_{2,d} =$   | 4,50 [kN.m <sup>-2</sup> ]        |
| průměr zatížení sněhem včetně navátí             |            | $s_{1-2,k} =$                      | <u>2,10</u>   | $s_{1-2,d} =$ | <u>3,15</u> [kN.m <sup>-2</sup> ] |

**Zw3** NAHODILÉ ZATÍŽENÍ - VĚTREM -  $w_n / w_d$  - plošné

Frýdek-Místek

dle ČSN EN 1991-1-4 (04/2007)

|   |  |   |   |                 |               |                 |       |
|---|--|---|---|-----------------|---------------|-----------------|-------|
| Frýdek-Místek   |  |   |   |                 |               |                 |       |
| sklon střechy   | $\alpha =$                                   | 3,0 °   | $l =$   | 20,0 m          | $b =$         | 10,0 m          |       |
| referenční výška  | $z_e =$                                      | 5,0 m   | $h_{hřeben} =$                                    | 5,0 m           | $h_{řimsa} =$ | 5,0 m           |       |
| větrová oblast / základní rychlost větru  | <b>2</b>                                     |   | $w_{b,0} = w_b =$                                 | 25,0            | $m.s^{-1}$    |                 |       |
| kategorie terénu a jejích parametry   | <b>IV</b>                                    |   | $z_0 =$   | 1,00 m          | $z_{min} =$   | 8 m             |       |
|  | parametr terénu                              | $k_r = 0,19 * (z_0 / z_{0,II})^{0,07}$          | $= 0,19 * (1,000 / 0,05)^{0,07}$                  | $= 0,234$       |               |                 |       |
|   | souč.drsnosti terénu                         | $c_r(z) = k_r * \ln(z / z_0)$                   | $= 0,234 * \ln(5 / 1,000)$                        | $= 0,377$       |               |                 |       |
|   | součinitel turbulence / součinitel orografie | $k_1 = 1,0$                                     | $c_o(z) = 1,0$                                    |                 |               |                 |       |
|   | střední rychlost větru                       | $w_m(z) = c_r(z) * c_o(z) * v_b =$              | $0,377 * 1 * 25,0 =$                              | $9,43$          | $m.s^{-1}$    |                 |       |
|   | intenzita turbulence                         | $I_v(z) = k_1 / (c_o(z) * \ln(z/z_0))$          | $= 1 / (1 * \ln(5,0 / 1,000)) =$                  | $0,621$         |               |                 |       |
|   | max.dynamický tlak                           | $q_p(z) = [1+7*I_v(z)] * 1/2 * \rho * v_m^2(z)$ | $q_p(z) = [1+7*0,621] * 1/2 * 0,00125 * 9,43^2 =$ | <b>0,297</b>    | $kN.m^{-2}$   |                 |       |
|   |  | $C_{pe10,F-} =$                                 | -2,30   | $C_{pe10,G-} =$ | -1,30         | $C_{pe10,H-} =$ | -0,80 |
|   |  | $C_{pe10,F+} =$                                 | 0,00  | $C_{pe10,G+} =$ | 0,00          | $C_{pe10,H+} =$ | 0,00  |
|   |  | $C_{pe10,I-} =$                                 | -0,50   | $C_{pe10,J-} =$ | 0,00          |                 |       |
|   |  | $C_{pe10,I+} =$                                 | 0,00  | $C_{pe10,J+} =$ | 0,00          |                 |       |
|   | součinitel vnějšího tlaku vzduchu            |   |   |                 |               |                 |       |
|   | dle kapitoly 7.2.5 - Sedlové střechy         |   |   |                 |               |                 |       |
|   | $w_e = q_p(z_e) * C_{pe}$                    |   |   |                 |               |                 |       |
|   | $w_d = w_e * \gamma_v$                       |   |   |                 |               |                 |       |

| popis   |                     | charakteristické zatížení |             | $\gamma_v$          | výpočtové zatížení |                       |
|---|---------------------|---------------------------|-------------|---------------------|--------------------|-----------------------|
|  | oblast F (-)        | $w_{e,F-} = -0,684$       | 1,5         | $w_{d,F-} = -1,025$ |                    |                       |
|   | oblast G (-)        | $w_{e,G-} = -0,386$       | 1,5         | $w_{d,G-} = -0,580$ |                    |                       |
|   | oblast H (-)        | $w_{e,H-} = -0,238$       | 1,5         | $w_{d,H-} = -0,357$ |                    |                       |
|   | oblast I (-)        | $w_{e,I-} = -0,149$       | 1,5         | $w_{d,I-} = -0,223$ |                    |                       |
|   | oblast J (-)        | $w_{e,J-} = 0,000$        | 1,5         | $w_{d,J-} = 0,000$  |                    |                       |
|   | oblast I (+), J (+) | $w_{e,I,+} = 0,000$       | 1,5         | $w_{d,I,+} = 0,000$ |                    |                       |
|   | oblast F (+), G (+) | $w_{e,I,+} = 0,000$       | 1,5         | $w_{d,I,+} = 0,000$ |                    |                       |
|   | oblast H (+)        | $w_{e,F,+} = 0,000$       | 1,5         | $w_{d,F,+} = 0,000$ |                    |                       |
| maximální sání - oblast J   |                     | $w_{e,min} =$             | <u>0,00</u> | $w_{d,min} =$       | <u>0,00</u>        | [kN.m <sup>-2</sup> ] |
| maximální tlak - oblast F,G   |                     | $w_{e,max} =$             | <u>0,00</u> | $w_{d,max} =$       | <u>0,00</u>        | [kN.m <sup>-2</sup> ] |
| CELKOVÉ ZATÍŽENÍ KONSTRUKCE - $q_n$ / $q_d$ - plošné                              |                     |                           |             |                     | 1,380              |                       |
| (Zg + Zw- )   |                     | $q_n =$                   | <b>4,73</b> | $q_d =$             | <b>6,39</b>        | [kN.m <sup>-2</sup> ] |
| (Zg + Zs + Zw+ )  |                     | $q_n =$                   | <b>5,93</b> | $q_d =$             | <b>8,19</b>        | [kN.m <sup>-2</sup> ] |
| (Zg + Zs <sub>50%</sub> + Zw+ )   |                     | $q_n =$                   | 5,33        | $q_d =$             | 7,29               | [kN.m <sup>-2</sup> ] |
| (Zg + Zs <sub>1-2</sub> + Zw+ )   |                     | $q_n =$                   | <b>6,83</b> | $q_d =$             | <b>9,54</b>        | [kN.m <sup>-2</sup> ] |

## STŘECHA NA STROPĚ Z ŽB DESEK

## SONDA NV 15, NV 17 - ST 1

Zg3 STÁLÉ ZATÍŽENÍ -  $g_n / g_d$  - plošné

| skladba - popis vrstev                                 | tloušťka | obj.hmot.<br>$\gamma$ [kN.m <sup>-3</sup> ] | zatížení [kN.m <sup>-2</sup> ] |            |          |         |       |                       |
|--|----------|---|--------------------------------|------------|----------|---------|-------|-----------------------|
|  | [m]      |   | charakteristické               | $\gamma_g$ | návrhové |         |       |                       |
| souvrství asfaltových lepenek (cca 3-4 vrstvy lepenek) | 0,030    | x   | 12,00                          | =          | 0,360    | 1,35    | 0,486 |                       |
| pěnový polystyrén                                      | 0,050    | x   | 0,80                           | =          | 0,040    | 1,35    | 0,054 |                       |
| cementotřískové desky - heraklit                       | 0,060    | x   | 4,50                           | =          | 0,270    | 1,35    | 0,365 |                       |
| násyp - škvára   | 0,290    | x   | 9,00                           | =          | 2,610    | 1,35    | 3,524 |                       |
| žb desky plné  | 0,100    | x   | 24,00                          | =          | 2,400    | 1,35    | 3,240 |                       |
| omítka - vápenná                                       | 0,010    | x   | 18,00                          | =          | 0,180    | 1,35    | 0,243 |                       |
|  |          |   |                                | $g_k =$    | 5,86     | $g_d =$ | 7,91  | [kN.m <sup>-2</sup> ] |

Zs3 NAHODILÉ ZATÍŽENÍ - SNĚHEM -  $s_n / s_d$  - plošné

| Frydek-Mistek  |  | zatížení [kN.m <sup>-2</sup> ]     |                      |                      |                            |
|--|--|------------------------------------|----------------------|----------------------|----------------------------|
| popis  |  | charakteristické                   | γ <sub>i</sub>       | výpočtové            |                            |
| sklon střechy  | α =  | 3,0                                | °                    |                      |                            |
| sněhová oblast   | 3  |                                    |                      |                      |                            |
|  | základní tíha sněhu  | s <sub>k</sub> =                   | 1,5                  |                      |                            |
|  | tvarový součinitel (pro sedl.,pult.)   | μ <sub>1</sub> =                   | 0,80                 |                      |                            |
|  | součinitel dle stálého zatížení  | C <sub>e</sub> =                   | 1,0                  |                      |                            |
|  | součinitel dle stálého zatížení  | C <sub>t</sub> =                   | 1,0                  |                      |                            |
|  | s = μ <sub>i</sub> x C <sub>e</sub> x C <sub>t</sub> x s <sub>k</sub>              |                                    |                      |                      |                            |
|  |  |                                    | 1,200                | 1,5                  | 1,800                      |
|  |  | s =                                | 1,20                 | s <sub>d</sub> =     | 1,80 [kN.m <sup>-2</sup> ] |
|  |  | s <sub>0,5</sub> =                 | 0,60                 | s <sub>d,0,5</sub> = | 0,90 [kN.m <sup>-2</sup> ] |
| NAHODILÉ ZATÍŽENÍ - SNĚHEM - s <sub>n</sub> / s <sub>d</sub> - NÁVĚJ |  |                                    |                      |                      |                            |
|  |  | dle ČSN EN 1991-1-3 - Z2 (12/2006) |                      |                      |                            |
|  | výška výstupu / přepážky   | h =                                | 5,0 m                | l <sub>s</sub> =     | 15,0 m                     |
|  | objemová tíha sněhu  | γ =                                | 2 kN.m <sup>-3</sup> | μ <sub>2</sub> =     | 6,666667                   |
|  | tvarový součinitel navátý  | μ <sub>2</sub> =                   | 2,00                 |                      |                            |
|  | s <sub>2</sub> = μ <sub>2</sub> x C <sub>e</sub> x C <sub>t</sub> x s <sub>k</sub> |                                    |                      |                      |                            |
|  |  |                                    | 3,000                | 1,5                  | 4,500                      |
|  |  | s <sub>2,k</sub> =                 | 3,00                 | s <sub>2,d</sub> =   | 4,50 [kN.m <sup>-2</sup> ] |
|  | průměr zatížení sněhem včetně navátí   | s <sub>1-2,k</sub> =               | 2,10                 | s <sub>1-2,d</sub> = | 3,15 [kN.m <sup>-2</sup> ] |

Zw3 NAHODILÉ ZATÍŽENÍ - VĚTREM -  $w_n / w_d$  - plošné

| popis                                    |            | zatížení [kN.m <sup>-2</sup> ] |                        |               |        |
|--|------------|--------------------------------|------------------------|---------------|--------|
|  |            | charakteristické               | $\gamma_w$             | výpočtové     |        |
| sklon střechy                            | $\alpha =$ | 3,0 °                          |                        |               |        |
| referenční výška                         | $z_e =$    | 5,0 m                          |                        |               |        |
| větrová oblast / základní rychlost větru |            | 2                              |                        |               |        |
| kategorie terénu a jejich parametry      |            | IV                             |                        |               |        |
|  |            | $l =$                          | 20,0 m                 | $b =$         | 10,0 m |
|  |            | $h_{hřeben} =$                 | 5,0 m                  | $h_{řimsa} =$ | 5,0 m  |
|  |            | $w_{b,0} = w_b =$              | 25,0 m.s <sup>-1</sup> |               |        |
|  |            | $z_0 =$                        | 1,00 m                 | $z_{min} =$   | 8 m    |



parametr terénu  
souč. drsnosti terénu  
součinitel turbulence / součinitel orografie  
střední rychlost větru  
intenzita turbulence  
max. dynamický tlak

$$k_r = 0,19 \cdot (z_0 / z_{0,II})^{0,07} = 0,19 \cdot (1,000 / 0,05)^{0,07} = 0,234$$

$$c_r(z) = k_r \cdot \ln(z / z_0) = 0,234 \cdot \ln(5 / 1,000) = 0,377$$

$$k_I = 1,0 \quad c_o(z) = 1,0$$

$$w_m(z) = c_r(z) \cdot c_o(z) \cdot v_b = 0,377 \cdot 1 \cdot 25,0 = 9,43 \text{ m.s}^{-1}$$

$$I_v(z) = k_I / (c_o(z) \cdot \ln(z / z_0)) = 1 / (1 \cdot \ln(5,0 / 1,000)) = 0,621$$

$$q_p(z) = [1 + 7 \cdot I_v(z)] \cdot 1/2 \cdot \rho \cdot v_m^2(z) \quad \text{hmotnost vzduchu } \rho = 1,25$$

$$q_p(z) = [1 + 7 \cdot 0,621] \cdot 1/2 \cdot 0,00125 \cdot 9,43^2 = 0,297 \text{ kN.m}^{-2}$$

součinitel vnějšího tlaku vzduchu  
dle kapitoly 7.2.5 - Sedlové střechy

$$w_e = q_p(z_e) \cdot c_{pe}$$

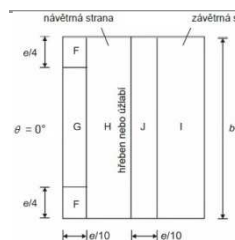
$$w_d = w_e \cdot \gamma_v$$

popis

charakteristické zatížení

$\gamma_v$

výpočtové zatížení



| popis               | charakteristické zatížení | $\gamma_v$ | výpočtové zatížení  |
|---------------------|---------------------------|------------|---------------------|
| oblast F (-)        | $w_{e,F-} = -0,684$       | 1,5        | $w_{d,F-} = -1,025$ |
| oblast G (-)        | $w_{e,G-} = -0,386$       | 1,5        | $w_{d,G-} = -0,580$ |
| oblast H (-)        | $w_{e,H-} = -0,238$       | 1,5        | $w_{d,H-} = -0,357$ |
| oblast I (-)        | $w_{e,I-} = -0,149$       | 1,5        | $w_{d,I-} = -0,223$ |
| oblast J (-)        | $w_{e,J-} = 0,000$        | 1,5        | $w_{d,J-} = 0,000$  |
| oblast I (+), J (+) | $w_{e,I+} = 0,000$        | 1,5        | $w_{d,I+} = 0,000$  |
| oblast F (+), G (+) | $w_{e,I+} = 0,000$        | 1,5        | $w_{d,I+} = 0,000$  |
| oblast H (+)        | $w_{e,F+} = 0,000$        | 1,5        | $w_{d,F+} = 0,000$  |

maximální sání - oblast J

$$w_{e,min} = 0,00 \quad w_{d,min} = 0,00 \quad [\text{kN.m}^{-2}]$$

maximální tlak - oblast F, G

$$w_{e,max} = 0,00 \quad w_{d,max} = 0,00 \quad [\text{kN.m}^{-2}]$$

CELKOVÉ ZATÍŽENÍ KONSTRUKCE -  $q_n / q_d$  - plošné

1,375

|     |                                |              |               |                      |
|-----|--------------------------------|--------------|---------------|----------------------|
| Z-3 | (Zg + Zw-)                     | $q_n = 5,86$ | $q_d = 7,91$  | $[\text{kN.m}^{-2}]$ |
| Z+3 | (Zg + Zs + Zw+)                | $q_n = 7,06$ | $q_d = 9,71$  | $[\text{kN.m}^{-2}]$ |
| Z+3 | (Zg + Zs <sub>50%</sub> + Zw+) | $q_n = 6,46$ | $q_d = 8,81$  | $[\text{kN.m}^{-2}]$ |
| Z+3 | (Zg + Zs <sub>1-2</sub> + Zw+) | $q_n = 7,96$ | $q_d = 11,06$ | $[\text{kN.m}^{-2}]$ |

### SONDA NV 14, 19, ST 3

Zg3 STÁLÉ ZATÍŽENÍ -  $g_n / g_d$  - plošné

skladba - popis vrstev

|  | tloušťka<br>[m] | obj.hmot.<br>$\gamma$ [kN.m <sup>3</sup> ] | zatížení [kN.m <sup>-2</sup> ] |              |                      |
|--|-----------------|--|--------------------------------|--------------|----------------------|
|  |                 |  | charakteristické               | $\gamma_g$   | návrhové             |
| souvrství asfaltových lepenek (cca 3-4 vrstvy lepenek) | 0,030           | x 12,00                                    | = 0,360                        | 1,35         | 0,486                |
| pěnový polystyrén                                      | 0,050           | x 0,80                                     | = 0,040                        | 1,35         | 0,054                |
| cementotřískové desky - heraklit                       | 0,060           | x 4,50                                     | = 0,270                        | 1,35         | 0,365                |
| násyp - škvára   | 0,260           | x 9,00                                     | = 2,340                        | 1,35         | 3,159                |
| ŽB desky   | 0,100           | x 24,00                                    | = 2,400                        | 1,35         | 3,240                |
| omítka - vápenná                                       | 0,020           | x 18,00                                    | = 0,360                        | 1,35         | 0,486                |
|  |                 |  | $g_k = 5,77$                   | $g_d = 7,79$ | $[\text{kN.m}^{-2}]$ |

Zs3 NAHODILÉ ZATÍŽENÍ - SNĚHEM -  $s_n / s_d$  - plošné

dle ČSN EN 1991-1-3 - Z2 (12/2006)

Frydek-Místek

zatížení [kN.m<sup>-2</sup>]

| popis  | charakteristické     | $\gamma_i$         | výpočtové            |
|--|----------------------|--------------------|----------------------|
| sklon střechy                                | $\alpha = 3,0^\circ$ |                    |                      |
| sněhová oblast                               | 3                    |                    |                      |
| základní tíha sněhu                          | $s_k = 1,5$          |                    |                      |
| tvarový součinitel (pro sedl., pult.)        | $\mu_1 = 0,80$       |                    |                      |
| součinitel dle stálého zatížení              | $C_e = 1,0$          |                    |                      |
| součinitel dle stálého zatížení              | $C_t = 1,0$          |                    |                      |
| $s = \mu_1 \times C_e \times C_t \times s_k$ |                      |                    |                      |
|  | 1,200                | 1,5                | 1,800                |
|  | $s = 1,20$           | $s_d = 1,80$       | $[\text{kN.m}^{-2}]$ |
|  | $s_{0,5} = 0,60$     | $s_{d,0,5} = 0,90$ | $[\text{kN.m}^{-2}]$ |

NAHODILÉ ZATÍŽENÍ - SNĚHEM -  $s_n / s_d$  - NÁVĚJ

dle ČSN EN 1991-1-3 - Z2 (12/2006)

|  |               |                      |               |                            |
|--|---------------|----------------------|---------------|----------------------------|
| výška výstupu / přepážky                       | $h =$         | 5,0 m                | $l_s =$       | 15,0 m                     |
| objemová tíha sněhu                            | $\gamma =$    | 2 kN.m <sup>-3</sup> | $\mu_2 =$     | 6,666667                   |
| tvarový součinitel návátý                      | $\mu_2 =$     | 2,00                 |               |                            |
| $s_2 = \mu_2 \times C_e \times C_t \times s_k$ |               |                      |               |                            |
|  |               | 3,000                | 1,5           | 4,500                      |
|  | $s_{2,k} =$   | 3,00                 | $s_{2,d} =$   | 4,50 [kN.m <sup>-2</sup> ] |
| průměr zatížení sněhem včetně návátý           | $s_{1-2,k} =$ | 2,10                 | $s_{1-2,d} =$ | 3,15 [kN.m <sup>-2</sup> ] |

**Zw3** NAHODILÉ ZATÍŽENÍ - VĚTREM -  $w_n / w_d$  - plošné

dle ČSN EN 1991-1-4 (04/2007)

Frýdek-Místek

sklon střechy

referenční výška

větrová oblast / základní rychlost větru

kategorie terénu a jejich parametry



parametr terénu  
souč. drsnosti terénu  
součinitel turbulence / součinitel orografie  
střední rychlost větru  
intenzita turbulence  
max. dynamický tlak

$\alpha = 3,0^\circ$   
 $z_e = 5,0 \text{ m}$   
 $l = 20,0 \text{ m}$   
 $b = 10,0 \text{ m}$   
 $h_{\text{říben}} = 5,0 \text{ m}$   
 $h_{\text{římsa}} = 5,0 \text{ m}$   
 $w_{b,0} = w_b = 25,0 \text{ m.s}^{-1}$   
 $z_0 = 1,00 \text{ m}$   
 $z_{\text{min}} = 8 \text{ m}$

$k_r = 0,19 * (z_0 / z_{0,II})^{0,07} = 0,19 * (1,000 / 0,05)^{0,07} = 0,234$   
 $c_r(z) = k_r * \ln(z / z_0) = 0,234 * \ln(5 / 1,000) = 0,377$   
 $k_I = 1,0$   
 $c_o(z) = 1,0$   
 $w_m(z) = c_r(z) * c_o(z) * v_b = 0,377 * 1 * 25,0 = 9,43 \text{ m.s}^{-1}$   
 $I_v(z) = k_I / (c_o(z) * \ln(z / z_0)) = 1 / (1 * \ln(5,0 / 1,000)) = 0,621$   
 $q_p(z) = [1 + 7 * I_v(z)] * 1/2 * \rho * v_m^2(z)$   
 $q_p(z) = [1 + 7 * 0,621] * 1/2 * 0,00125 * 9,43^2 = 0,297 \text{ kN.m}^{-2}$   
 $C_{pe10,F-} = -2,30$   
 $C_{pe10,F+} = 0,00$   
 $C_{pe10,I-} = -0,50$   
 $C_{pe10,I+} = 0,00$   
 $C_{pe10,G-} = -1,30$   
 $C_{pe10,G+} = 0,00$   
 $C_{pe10,H-} = -0,80$   
 $C_{pe10,H+} = 0,00$   
 $C_{pe10,J-} = 0,00$   
 $C_{pe10,J+} = 0,00$

součinitel vnějšího tlaku vzduchu  
dle kapitoly 7.2.5 - Sedlové střechy

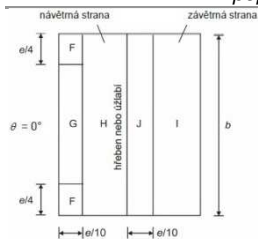
 $w_e = q_p(z_e) * C_{pe}$  $w_d = w_e * \gamma_v$ 

popis

charakteristické zatížení

 $\gamma_v$ 

výpočtové zatížení



|                     |                     |     |                     |
|---------------------|---------------------|-----|---------------------|
| oblast F (-)        | $w_{e,F-} = -0,684$ | 1,5 | $w_{d,F-} = -1,025$ |
| oblast G (-)        | $w_{e,G-} = -0,386$ | 1,5 | $w_{d,G-} = -0,580$ |
| oblast H (-)        | $w_{e,H-} = -0,238$ | 1,5 | $w_{d,H-} = -0,357$ |
| oblast I (-)        | $w_{e,I-} = -0,149$ | 1,5 | $w_{d,I-} = -0,223$ |
| oblast J (-)        | $w_{e,J-} = 0,000$  | 1,5 | $w_{d,J-} = 0,000$  |
| oblast I (+), J (+) | $w_{e,I+} = 0,000$  | 1,5 | $w_{d,I+} = 0,000$  |
| oblast F (+), G (+) | $w_{e,I+} = 0,000$  | 1,5 | $w_{d,I+} = 0,000$  |
| oblast H (+)        | $w_{e,F+} = 0,000$  | 1,5 | $w_{d,F+} = 0,000$  |

maximální sání - oblast J

maximální tlak - oblast F,G

$w_{e,min} = 0,00$   
 $w_{e,max} = 0,00$   
 $w_{d,min} = 0,00$   
 $w_{d,max} = 0,00$  [kN.m<sup>-2</sup>]

CELKOVÉ ZATÍŽENÍ KONSTRUKCE -  $q_n / q_d$  - plošné

1,376

**Z-3** (Zg + Zw-) $q_n = 5,77$   $q_d = 7,79$  [kN.m<sup>-2</sup>]**Z+3** (Zg + Zs + Zw+) $q_n = 6,97$   $q_d = 9,59$  [kN.m<sup>-2</sup>]**Z+3** (Zg + Zs<sub>50%</sub> + Zw+) $q_n = 6,37$   $q_d = 8,69$  [kN.m<sup>-2</sup>]**Z+3** (Zg + Zs<sub>1-2</sub> + Zw+) $q_n = 7,87$   $q_d = 10,94$  [kN.m<sup>-2</sup>]**SONDA NV 13, ST 3****Zg3** STÁLÉ ZATÍŽENÍ -  $g_n / g_d$  - plošné

skladba - popis vrstev

tloušťka

obj.hmot.

zatížení [kN.m<sup>-2</sup>]

|  | [m]   | $\gamma$ [kN.m <sup>-3</sup> ] | charakteristické | $\gamma_g$   | návrhové              |
|--|-------|--------------------------------|------------------|--------------|-----------------------|
| souvrství asfaltových lepenek (cca 3-4 vrstvy lepenek) | 0,030 | x 12,00                        | = 0,360          | 1,35         | 0,486                 |
| pénový polystyrén                                      | 0,050 | x 0,80                         | = 0,040          | 1,35         | 0,054                 |
| cementotřískové desky - heraklit                       | 0,060 | x 4,50                         | = 0,270          | 1,35         | 0,365                 |
| násyp - škvára   | 0,260 | x 9,00                         | = 2,340          | 1,35         | 3,159                 |
| ŽB desky dutinové v 220 mm - přepočtená tl.            | 0,150 | x 24,00                        | = 3,600          | 1,35         | 4,860                 |
| omítka - vápenná                                       | 0,020 | x 18,00                        | = 0,360          | 1,35         | 0,486                 |
|  |       |                                | $g_k = 6,97$     | $g_d = 9,41$ | [kN.m <sup>-2</sup> ] |

**Zs3** NAHODILÉ ZATÍŽENÍ - SNĚHEM -  $s_n / s_d$  - plošné

dle ČSN EN 1991-1-3 - Z2 (12/2006)

Frýdek-Místek

zatížení [kN.m<sup>-2</sup>]

| popis                               | charakteristické     | $\gamma_f$ | výpočtové             |
|-------------------------------------|----------------------|------------|-----------------------|
| sklon střechy                       | $\alpha = 3,0^\circ$ |            |                       |
| sněhová oblast                      | <b>3</b>             |            |                       |
| základní tíha sněhu                 | $s_k = 1,5$          |            |                       |
| tvarový součinitel (pro sedl.pult.) | $\mu_1 = 0,80$       |            |                       |
| součinitel dle stálého zatížení     | $C_e = 1,0$          |            |                       |
| součinitel dle stálého zatížení     | $C_t = 1,0$          |            |                       |
| $s = \mu_1 * C_e * C_t * s_k$       |                      |            |                       |
|                                     | 1,200                | 1,5        | 1,800                 |
| $s = 1,20$                          | $s_d = 1,80$         |            | [kN.m <sup>-2</sup> ] |
| $s_{0,5} = 0,60$                    | $s_{d,0,5} = 0,90$   |            | [kN.m <sup>-2</sup> ] |





NAHODILÉ ZATÍŽENÍ - SNĚHEM -  $s_n / s_d$  - NÁVĚJ

dle ČSN EN 1991-1-3 - Z2 (12/2006)

výška výstupu / přepážky

 $h = 5,0 \text{ m}$  $l_s = 15,0 \text{ m}$ 

objemová tíha sněhu

 $\gamma = 2 \text{ kN.m}^{-3}$  $\mu_2 = 6,666667$ 

tvarový součinitel navátý

 $\mu_2 = 2,00$  $s_2 = \mu_2 \times C_e \times C_t \times s_k$ 

3,000 | 1,5 | 4,500

průměr zatížení sněhem včetně navátí

|                    |                    |               |
|--------------------|--------------------|---------------|
| $s_{2,k} = 3,00$   | $s_{2,d} = 4,50$   | $[kN.m^{-2}]$ |
| $s_{1-2,k} = 2,10$ | $s_{1-2,d} = 3,15$ | $[kN.m^{-2}]$ |

Zw3 NAHODILÉ ZATÍŽENÍ - VĚTREM -  $w_n / w_d$  - plošné

dle ČSN EN 1991-1-4 (04/2007)

Frýdek-Místek

sklon střechy

 $\alpha = 3,0^\circ$  $l = 20,0 \text{ m}$  $b = 10,0 \text{ m}$ 

referenční výška

 $z_e = 5,0 \text{ m}$  $h_{hřeben} = 5,0 \text{ m}$  $h_{řimsa} = 5,0 \text{ m}$ 

větrová oblast / základní rychlost větru

2

 $w_{b,0} = w_b = 25,0 \text{ m.s}^{-1}$ 

kategorie terénu a jejich parametry

IV

 $z_0 = 1,00 \text{ m}$  $z_{min} = 8 \text{ m}$ 

parametr terénu

 $k_r = 0,19 * (z_0 / z_{0,II})^{0,07} = 0,19 * (1,000 / 0,05)^{0,07} = 0,234$ 

souč. drsnosti terénu

 $c_r(z) = k_r * \ln(z / z_0) = 0,234 * \ln(5 / 1,000) = 0,377$ 

součinitel turbulence / součinitel orografie

 $k_l = 1,0$   $c_o(z) = 1,0$ 

střední rychlost větru

 $w_m(z) = c_r(z) * c_o(z) * v_b = 0,377 * 1 * 25,0 = 9,43 \text{ m.s}^{-1}$ 

intenzita turbulence

 $I_v(z) = k_l / (c_o(z) * \ln(z / z_0)) = 1 / (1 * \ln(5,0 / 1,000)) = 0,621$ 

max. dynamický tlak

 $q_p(z) = [1 + 7 * I_v(z)] * 1/2 * \rho * v_m^2(z)$   $hmotnost\ vzduchu\ \rho = 1,25$  $q_p(z) = [1 + 7 * 0,621] * 1/2 * 0,00125 * 9,43^2 = 0,297 \text{ kN.m}^{-2}$ 

součinitel vnějšího tlaku vzduchu

 $C_{pe10,F-} = -2,30$  $C_{pe10,G-} = -1,30$  $C_{pe10,H-} = -0,80$ 

dle kapitoly 7.2.5 - Sedlové střechy

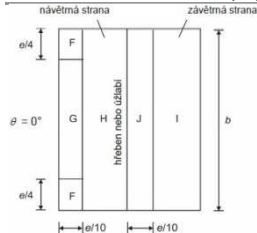
 $C_{pe10,F+} = 0,00$  $C_{pe10,G+} = 0,00$  $C_{pe10,H+} = 0,00$  $w_e = q_p(z_e) * C_{pe}$  $C_{pe10,I-} = -0,50$  $C_{pe10,J-} = 0,00$  $w_d = w_e * \gamma_v$  $C_{pe10,I+} = 0,00$  $C_{pe10,J+} = 0,00$ 

popis

charakteristické zatížení

 $\gamma_v$ 

výpočtové zatížení



oblast F (-)

 $w_{e,F-} = -0,684$ 

1,5

 $w_{d,F-} = -1,025$ 

oblast G (-)

 $w_{e,G-} = -0,386$ 

1,5

 $w_{d,G-} = -0,580$ 

oblast H (-)

 $w_{e,H-} = -0,238$ 

1,5

 $w_{d,H-} = -0,357$ 

oblast I (-)

 $w_{e,I-} = -0,149$ 

1,5

 $w_{d,I-} = -0,223$ 

oblast J (-)

 $w_{e,J-} = 0,000$ 

1,5

 $w_{d,J-} = 0,000$ 

oblast I (+), J (+)

 $w_{e,I+} = 0,000$ 

1,5

 $w_{d,I+} = 0,000$ 

oblast F (+), G (+)

 $w_{e,I+} = 0,000$ 

1,5

 $w_{d,I+} = 0,000$ 

oblast H (+)

 $w_{e,F+} = 0,000$ 

1,5

 $w_{d,F+} = 0,000$ 

maximální sání - oblast J

 $w_{e,min} = 0,00$  $w_{d,min} = 0,00$  $[kN.m^{-2}]$ 

maximální tlak - oblast F,G

 $w_{e,max} = 0,00$  $w_{d,max} = 0,00$  $[kN.m^{-2}]$ CELKOVÉ ZATÍŽENÍ KONSTRUKCE -  $q_n / q_d$  - plošné

1,372

Z-3 (Zg + Zw-)

 $q_n = 6,97$  $q_d = 9,41$  $[kN.m^{-2}]$ 

Z+3 (Zg + Zs + Zw+)

 $q_n = 8,17$  $q_d = 11,21$  $[kN.m^{-2}]$ Z+3 (Zg + Zs<sub>50%</sub> + Zw+) $q_n = 7,57$  $q_d = 10,31$  $[kN.m^{-2}]$ Z+3 (Zg + Zs<sub>1-2</sub> + Zw+) $q_n = 9,07$  $q_d = 12,56$  $[kN.m^{-2}]$ 

## SONDA NV 18 - ST 2

Zg3 STÁLÉ ZATÍŽENÍ -  $g_n / g_d$  - plošné

skladba - popis vrstev

tloušťka

obj.hmot.

zatížení  $[kN.m^{-2}]$  $[m]$  $\gamma [kN.m^{-3}]$ 

charakteristické

 $\gamma_g$ 

návrhové

souvrvství asfaltových lepenek (cca 3-4 vrstvy lepenek)

0,030

x

12,00

=

0,360

1,35

0,486

pěnový polystyrén

0,050

x

0,80

=

0,040

1,35

0,054

cementotřískové desky - heraklit

0,060

x

4,50

=

0,270

1,35

0,365

násyp - škvára

0,090

x

9,00

=

0,810

1,35

1,094

žb desky plné

0,100

x

24,00

=

2,400

1,35

3,240

omítka - vápenná

0,010

x

18,00

=

0,180

1,35

0,243

 $g_k = 4,06$  $g_d = 5,48$  $[kN.m^{-2}]$

**Zs3 NAHODILÉ ZATÍŽENÍ - SNĚHEM -  $s_n / s_d$  - plošné**  
**Frýdek-Místek**

dle ČSN EN 1991-1-3 - Z2 (12/2006)

zatížení [kN.m<sup>-2</sup>]

| popis  | charakteristické $\gamma_i$        | výpočtové                                |
|--|------------------------------------|--|
| sklon střechy  | $\alpha = 3,0^\circ$               |  |
| sněhová oblast   | <b>3</b>                           |  |
| základní tíha sněhu  | $s_k = 1,5$                        |  |
| tvárový součinitel (pro sedl.,pult.)                               | $\mu_1 = 0,80$                     |  |
| součinitel dle stálého zatížení                                    | $C_e = 1,0$                        |  |
| součinitel dle stálého zatížení                                    | $C_t = 1,0$                        |  |
| $s = \mu_1 \times C_e \times C_t \times s_k$                       |                                    |  |
|  | 1,200                              | 1,5                                      |
|  | $s = 1,20$                         | $s_d = 1,80$ [kN.m <sup>-2</sup> ]       |
|  | $s_{0,5} = 0,60$                   | $s_{d,0,5} = 0,90$ [kN.m <sup>-2</sup> ] |
| <b>NAHODILÉ ZATÍŽENÍ - SNĚHEM - <math>s_n / s_d</math> - NÁVĚJ</b> | dle ČSN EN 1991-1-3 - Z2 (12/2006) |  |
| výška výstupu / přepážky   | $h = 5,0$ m                        | $l_s = 15,0$ m                           |
| objemová tíha sněhu  | $\gamma = 2$ kN.m <sup>-3</sup>    | $\mu_2 = 6,666667$                       |
| tvárový součinitel navátí  | $\mu_2 = 2,00$                     |  |
| $s_2 = \mu_2 \times C_e \times C_t \times s_k$                     |                                    |  |
|  | 3,000                              | 1,5                                      |
|  | $s_{2,k} = 3,00$                   | $s_{2,d} = 4,50$ [kN.m <sup>-2</sup> ]   |
| průměr zatížení sněhem včetně navátí                               | $s_{1-2,k} = 2,10$                 | $s_{1-2,d} = 3,15$ [kN.m <sup>-2</sup> ] |


**Zw3 NAHODILÉ ZATÍŽENÍ - VĚTREM -  $w_n / w_d$  - plošné**

dle ČSN EN 1991-1-4 (04/2007)

|  |                      |  |                     |
|--|----------------------|--|---------------------|
| Frýdek-Místek                            |                      |  |                     |
| sklon střechy                            | $\alpha = 3,0^\circ$ | $l = 20,0$ m                             | $b = 10,0$ m        |
| referenční výška                         | $z_e = 5,0$ m        | $h_{hřeben} = 5,0$ m                     | $h_{řimsa} = 5,0$ m |
| větrová oblast / základní rychlost větru | <b>2</b>             | $w_{b,0} = w_b = 25,0$ m.s <sup>-1</sup> |                     |
| kategorie terénu a jejich parametry      | <b>IV</b>            | $z_0 = 1,00$ m                           | $z_{min} = 8$ m     |



parametr terénu

souč.drsnosti terénu

součinitel turbulence / součinitel orografie

střední rychlost větru

intenzita turbulence

max.dynamický tlak

$$k_r = 0,19 \cdot (z_0 / z_{0,II})^{0,07} = 0,19 \cdot (1,000 / 0,05)^{0,07} = 0,234$$

$$c_r(z) = k_r \cdot \ln(z / z_0) = 0,234 \cdot \ln(5 / 1,000) = 0,377$$

$$k_I = 1,0 \quad c_o(z) = 1,0$$

$$w_m(z) = c_r(z) \cdot c_o(z) \cdot v_b = 0,377 \cdot 1 \cdot 25,0 = 9,43 \text{ m.s}^{-1}$$

$$I_v(z) = k_I / (c_o(z) \cdot \ln(z / z_0)) = 1 / (1 \cdot \ln(5,0 / 1,000)) = 0,621$$

$$q_p(z) = [1 + 7 \cdot I_v(z)] \cdot 1/2 \cdot \rho \cdot v_m^2(z) \quad \text{hmotnost vzduchu } \rho = 1,25$$

$$q_p(z) = [1 + 7 \cdot 0,621] \cdot 1/2 \cdot 0,00125 \cdot 9,43^2 = 0,297 \text{ kN.m}^{-2}$$

součinitel vnějšího tlaku vzduchu

dle kapitoly 7.2.5 - Sedlové střechy

$$w_e = q_p(z_e) \cdot c_{pe}$$

$$w_d = w_e \cdot \gamma_v$$

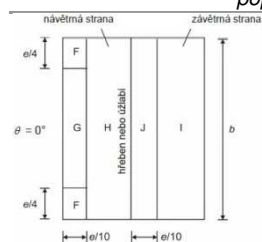
popis

$$C_{pe10,F-} = -2,30 \quad C_{pe10,G-} = -1,30 \quad C_{pe10,H-} = -0,80$$

$$C_{pe10,F+} = 0,00 \quad C_{pe10,G+} = 0,00 \quad C_{pe10,H+} = 0,00$$

$$C_{pe10,I-} = -0,50 \quad C_{pe10,J-} = 0,00$$

$$C_{pe10,I+} = 0,00 \quad C_{pe10,J+} = 0,00$$



oblast F (-)

oblast G (-)

oblast H (-)

oblast I (-)

oblast J (-)

oblast I (+), J (+)

oblast F (+), G (+)

oblast H (+)

charakteristické zatížení

 $\gamma_v$ 

výpočtové zatížení

$$w_{e,F-} = -0,684$$

$$w_{e,G-} = -0,386$$

$$w_{e,H-} = -0,238$$

$$w_{e,I-} = -0,149$$

$$w_{e,J-} = 0,000$$

$$w_{e,I+} = 0,000$$

$$w_{e,I+} = 0,000$$

$$w_{e,F+} = 0,000$$

$$1,5$$

$$1,5$$

$$1,5$$

$$1,5$$

$$1,5$$

$$1,5$$

$$1,5$$

$$1,5$$

$$w_{d,F-} = -1,025$$

$$w_{d,G-} = -0,580$$

$$w_{d,H-} = -0,357$$

$$w_{d,I-} = -0,223$$

$$w_{d,J-} = 0,000$$

$$w_{d,I+} = 0,000$$

$$w_{d,I+} = 0,000$$

$$w_{d,F+} = 0,000$$

maximální sání - oblast J

maximální tlak - oblast F,G

$$w_{e,min} = 0,00$$

$$w_{e,max} = 0,00$$

$$w_{d,min} = 0,00$$

$$w_{d,max} = 0,00$$

CELKOVÉ ZATÍŽENÍ KONSTRUKCE -  $q_n / q_d$  - plošné

1,384

|   |              |                                    |
|---|--------------|------------------------------------|
| <b>Z-3</b> (Zg + Zw-)                     | $q_n = 4,06$ | $q_d = 5,48$ [kN.m <sup>-2</sup> ] |
| <b>Z+3</b> (Zg + Zs + Zw+)                | $q_n = 5,26$ | $q_d = 7,28$ [kN.m <sup>-2</sup> ] |
| <b>Z+3</b> (Zg + Zs <sub>50%</sub> + Zw+) | $q_n = 4,66$ | $q_d = 6,38$ [kN.m <sup>-2</sup> ] |
| <b>Z+3</b> (Zg + Zs <sub>1-2</sub> + Zw+) | $q_n = 6,16$ | $q_d = 8,63$ [kN.m <sup>-2</sup> ] |

**POSUDEK DŘEVĚNÝCH TRÁMŮ STROPŮ****T2 Dřevěný trám stropu - prostý nosník**

|   |  |                |   |                                     |                  |                               |
|---|--|----------------|---|-------------------------------------|------------------|-------------------------------|
| NV21  | Třída průřezu, pevnosti, provozu                   |                | S10   | C24                                 | 1                | $E_{0,05} = 7,4$ GPa          |
|   | Pevnostní charakteristiky:                         |                | ohyb  | $f_{m,k} = 24,0$ MPa                |                  | $E_{0,mean} = 11,0$ GPa       |
|   |  |                | smyk  | $f_{v,k} = 2,5$ MPa                 |                  | $G_{mean,g} = 690$ MPa        |
| Průřezové charakteristiky:                      | základní rozměry                                   | plocha průřezu | $b = 205$ mm  |                                     |                  | $h = 220$ mm                  |
|   |  |                | $A = 45100$ mm <sup>2</sup>   |                                     |                  | $m = 18,9$ kg.m <sup>-1</sup> |
|   |  |                | $W_y = 1653666,67$ mm <sup>3</sup>  |                                     |                  | $\gamma_M = 1,3$              |
|   |  |                | $I_y = 181903333$ mm <sup>4</sup>   |                                     |                  | $i = 63,5$ mm                 |
| Geometrie:                                      | světlé rozpětí nosníku                             | $l_0 = 3,25$ m | =   | 3250 mm                             |                  |                               |
|   | rozpětí nosníku $L = 1,05 * l_0$                   | $L = 3,41$ m   | =   | 3412,5 mm                           |                  |                               |
|   | max. osová vzdálenost nosníků                      | $o_0 = 0,85$ m |   |                                     |                  |                               |
| CELKOVÉ ZATÍŽENÍ STROPU - $q_n / q_d$ - plošné  |  |                | $\gamma_g = 1,35$   | $\gamma_q = 1,50$                   | $k_{mod} = 0,80$ |                               |
| ZS21  | stálé zatížení                                     |                | $g_k = 2,83$  | [kN.m <sup>-2</sup> ]               |                  |                               |
| ZU1   | užitné zatížení                                    |                | $q_{ku} = 5,00$   | [kN.m <sup>-2</sup> ]               |                  |                               |
|   | ostatní užitné zatížení (příčky přemístitelné,...) |                | $q_{kp} = 0,00$   | [kN.m <sup>-2</sup> ]               |                  |                               |
| CELKOVÉ ZATÍŽENÍ STROPU - $q_n / q_d$ - na osu  |  |                | zatížení [kN.m <sup>-1</sup> ]  |                                     |                  |                               |
| popis   |  |                | charakt.  | $\gamma_{g,q}$                      | návrhové         |                               |
| plošné stálé na osu nosníku                     |  |                | 2,40  | 1,35                                | 3,24             |                               |
| plošné užitné stropu na osu nosníku             |  |                | 4,25  | 1,50                                | 6,38             |                               |
| plošné ostatní užitné (příčky) na osu nosníku   |  |                | 0,00  | 1,50                                | 0,00             |                               |
| vlastní váha nosníku / obsaženo v zatížení      |  |                | 0,00  | 1,35                                | 0,00             |                               |
| kombinace pro MSP / MSÚ                         |  |                | $q_k = 6,65$  |                                     | $q_d = 9,62$     | [kN.m <sup>-1</sup> ]         |
| Reakce nosníku (max. smyková síla $V_{z,Ed}$ ): |  |                | $A = B = 1/2 * q_d * L = 1/2 * 9,62 * 3,41$   |                                     |                  |                               |
|   |  |                | $A = B = 16,41$ kN (19,31) kN / 1m  |                                     |                  |                               |
| Maximální výpočtový moment                      |  |                | $M_{y,Ed} = 1/8 * q_d * L^2 = 1/8 * 9,62 * 3,41^2$  |                                     |                  |                               |
|   |  |                | $M_{y,Ed} = 14,00$ kN.m   |                                     |                  |                               |
| Posouzení MSÚ - momentová únosnost              |  |                | $f_{m,d} = k_{mod} * (f_{m,k} / \gamma_M) = 0,8 * (24 / 1,3)$                               |                                     |                  |                               |
| návrhová pevnost průřezu v ohybu                |  |                | $f_{m,d} = 14,77$ MPa   |                                     |                  |                               |
| normálové napětí za ohybu                       |  |                | $\sigma_{m,d} = M_{y,Ed} / W_y = 14\ 002\ 654 / 1\ 653\ 667$                                |                                     |                  |                               |
|   |  |                | $\sigma_{m,d} = 8,47$ MPa   |                                     |                  |                               |
|   |  |                | $\sigma_{m,d} / f_{m,d} = 8,47 / 14,77 = 0,57 < 1,00$ <b>VYHOVUJE</b>                       |                                     |                  |                               |
| Posouzení MSÚ - smyková únosnost                |  |                | $f_{v,d} = k_{mod} * (f_{v,k} / \gamma_M) = 0,8 * (2,5 / 1,3)$                              |                                     |                  |                               |
| návrhová pevnost průřezu ve smyku               |  |                | $f_{v,d} = 1,54$ MPa  |                                     |                  |                               |
| smyková plocha                                  |  |                | $A_{v,z} = h * b_{ef} = h * b * k_{cr} = 220 * 205 * 0,67$                                  |                                     |                  |                               |
|   |  |                | $A_{v,z} = 30217$ mm <sup>2</sup>   |                                     |                  |                               |
| smykové napětí                                  |  |                | $\tau_{v,d} = (3 * V_{z,d}) / (2 * A_{v,z}) = (3 * 16\ 413) / (2 * 30\ 217)$                |                                     |                  |                               |
|   |  |                | $\tau_{v,d} = 0,81$ kN  |                                     |                  |                               |
|   |  |                | $\tau_{v,d} / f_{v,d} = 0,81 / 1,54 = 0,53 < 1,00$ <b>VYHOVUJE</b>                          |                                     |                  |                               |
| Posouzení průřezu na průhyb:                    |  |                | $q_{ref} = 1,00$ $k_{def} = 0,60$ $\psi_2 = 0,30$   |                                     |                  |                               |
| jednotkový průhyb (prostý nosník, spojitě zat.) |  |                | $w_{ref} = (5 * q_{ref} * L^4) / (384 * E_{mean} * I_y)$                                    |                                     |                  |                               |
|   |  |                | $w_{z,qk} = (5 * 1,00 * 3412,5^4) / (384 * 11000 * 181\ 903\ 333)$                          |                                     |                  |                               |
|   |  |                | $w_{z,qk} = 0,9$ mm   |                                     |                  |                               |
| okamžitý průhyb (prostý nosník, spojitě zat.)   |  |                | $w_{inst} = q_{k,all} * w_{ref} = (6,65) * 0,88 = 5,9$ mm                                   |                                     |                  |                               |
|   |  |                | $w_{inst} / (L / 350) = 5,9 / 9,8 = 0,60 < 1,00$ <b>VYHOVUJE</b>                            |                                     |                  |                               |
| konečný průhyb (prostý nosník, spojitě zat.)    |  |                | $w_{net,fin} = (g_{k,all} * (1 + k_{def}) + q_{ku,all} * (1 + \psi_2 * k_{def})) * w_{ref}$ |                                     |                  |                               |
|   |  |                | $w_{net,fin} = (2,40 * 1,60 + 4,25 * 1,18) * 0,88 = 7,8$ mm                                 |                                     |                  |                               |
|   |  |                | $w_{net,fin} / (L / 250) = 7,8 / 13,7 = 0,57 < 1,00$ <b>VYHOVUJE</b>                        |                                     |                  |                               |
| Dřevěný stropní trám                            |  |                | T2  | je vyhovující dle ČSN EN 1995-1-1   |                  |                               |
| Využití průřezu nosníku dle MSÚ                 |  |                | 57%   | Využití průřezu nosníku dle MSP 57% |                  |                               |
| Využití průřezu nosníku dle MSS                 |  |                | 53%   |                                     |                  |                               |

**T2 Dřevěný trám stropu - prostý nosník**

|                            |                                  |                |              |                      |   |                         |
|----------------------------|----------------------------------|----------------|--------------|----------------------|---|-------------------------|
| NV23                       | Třída průřezu, pevnosti, provozu |                | S10          | C24                  | 1 | $E_{0,05} = 7,4$ GPa    |
|                            | Pevnostní charakteristiky:       |                | ohyb         | $f_{m,k} = 24,0$ MPa |   | $E_{0,mean} = 11,0$ GPa |
|                            |                                  |                | smek         | $f_{v,k} = 2,5$ MPa  |   | $G_{mean,g} = 690$ MPa  |
| Průřezové charakteristiky: | základní rozměry                 | plocha průřezu | $b = 190$ mm |                      |   | $h = 205$ mm            |
|                            |                                  |                |              |                      |   |                         |

|   |   |  |                                      |                              |
|---|---|--|--------------------------------------|------------------------------|
|   |   | plocha průřezu   | $A = 38950 \text{ mm}^2$             | $m = 16,4 \text{ kg.m}^{-1}$ |
|   |   | průřezový modul  | $W_y = 1330791,67 \text{ mm}^3$      | $\gamma_M = 1,3$             |
|   |   | moment setrvačnosti  | $I_y = 136406146 \text{ mm}^4$       | $i = 59,2 \text{ mm}$        |
| Geometrie:                                      |   | světlé rozpětí nosníku   | $l_0 = 3,20 \text{ m}$               | $= 3200 \text{ mm}$          |
|   |   | rozpětí nosníku $L = 1,05 * l_0$   | $L = 3,36 \text{ m}$                 | $= 3360 \text{ mm}$          |
|   |   | max. osová vzdálenost nosníků  | $o_0 = 0,91 \text{ m}$               |                              |
| CELKOVÉ ZATÍŽENÍ STROPU - $q_n / q_d$ - plošné  |   | $\gamma_g = 1,35$  | $\gamma_q = 1,50$                    | $k_{mod} = 0,80$             |
| ZS23  |   | stálé zatížení   | $g_k = 5,23$                         | $[\text{kN.m}^{-2}]$         |
| ZU1   |   | užitné zatížení  | $q_{ku} = 5,00$                      | $[\text{kN.m}^{-2}]$         |
|   |   | ostatní užité zatížení (příčky přemístitelné,...)  | $q_{kp} = 0,00$                      | $[\text{kN.m}^{-2}]$         |
| CELKOVÉ ZATÍŽENÍ STROPU - $q_n / q_d$ - na osu  |   | zatížení $[\text{kN.m}^{-1}]$  |                                      |                              |
|   | popis   | charakt.   | $\gamma_{g,q}$                       | návrhové                     |
|   | plošné stálé na osu nosníku                     | 4,76   | 1,35                                 | 6,42                         |
|   | plošné užité stropu na osu nosníku              | 4,55   | 1,50                                 | 6,83                         |
|   | plošné ostatní užité (příčky) na osu nosníku    | 0,00   | 1,50                                 | 0,00                         |
|   | vlastní váha nosníku / obsaženo v zatížení      | 0,00   | 1,35                                 | 0,00                         |
|   | kombinace pro MSP / MSÚ                         | $q_k = 9,31$   | $q_d = 13,25$                        | $[\text{kN.m}^{-1}]$         |
| Reakce nosníku (max. smyková síla $V_{z,Ed}$ ): |   | $A = B = 1/2 * q_d * L = 1/2 * 13,25 * 3,36$   |                                      |                              |
|   |   | $A = B = 22,25 \text{ kN}$ (24,45) kN / 1m   |                                      |                              |
| Maximální výpočtový moment                      |   | $M_{y,Ed} = 1/8 * q_d * L^2 = 1/8 * 13,25 * 3,36 * 3,36$                                   |                                      |                              |
|   |   | $M_{y,Ed} = 18,69 \text{ kN.m}$  |                                      |                              |
| Posouzení MSÚ - momentová únosnost              |   | $f_{m,d} = k_{mod} * (f_{m,k} / \gamma_M) = 0,8 * (24 / 1,3)$                              |                                      |                              |
|   | návrhová pevnost průřezu v ohybu                | $f_{m,d} = 14,77 \text{ MPa}$  |                                      |                              |
|   | normálové napětí za ohybu                       | $\sigma_{m,d} = M_{y,Ed} / W_y = 18\,693\,277 / 1\,330\,792$                               |                                      |                              |
|   |   | $\sigma_{m,d} = 14,05 \text{ MPa}$   |                                      |                              |
|   |   | $\sigma_{m,d} / f_{m,d} = 14,05 / 14,77 = 0,95 < 1,00$ <b>VYHOVUJE</b>                     |                                      |                              |
| Posouzení MSÚ - smyková únosnost                |   | $f_{v,d} = k_{mod} * (f_{v,k} / \gamma_M) = 0,8 * (2,5 / 1,3)$                             |                                      |                              |
|   | návrhová pevnost průřezu ve smyku               | $f_{v,d} = 1,54 \text{ MPa}$ $k_{cr} = 0,67$   |                                      |                              |
|   | smyková plocha                                  | $A_{v,z} = h * b_{ef} = h * b * k_{cr} = 205 * 190 * 0,67$                                 |                                      |                              |
|   |   | $A_{v,z} = 26097 \text{ mm}^2$   |                                      |                              |
|   | smykové napětí                                  | $\tau_{v,d} = (3 * V_{z,d}) / (2 * A_{v,z}) = (3 * 22\,254) / (2 * 26\,097)$               |                                      |                              |
|   |   | $\tau_{v,d} = 1,28 \text{ kN}$   |                                      |                              |
|   |   | $\tau_{v,d} / f_{v,d} = 1,28 / 1,54 = 0,83 < 1,00$ <b>VYHOVUJE</b>                         |                                      |                              |
| Posouzení průřezu na průhyb:                    |   | $q_{ref} = 1,00$ $k_{def} = 0,60$ $\psi_2 = 0,30$  |                                      |                              |
|   | jednotkový průhyb (prostý nosník, spojitě zat.) | $w_{ref} = (5 * q_{ref} * L^4) / (384 * E_{mean} * I_y)$                                   |                                      |                              |
|   |   | $w_{z,qk} = (5 * 1,00 * 3360^4) / (384 * 11000 * 136\,406\,146)$                           |                                      |                              |
|   |   | $w_{z,qk} = 1,1 \text{ mm}$  |                                      |                              |
|   | okamžitý průhyb (prostý nosník, spojitě zat.)   | $w_{inst} = q_{k,all} * w_{ref} = (9,31) * 1,11 = 10,3 \text{ mm}$                         |                                      |                              |
|   |   | $w_{inst} / (L / 350) = 10,3 / 9,6 = 1,07 > 1,00$ <b>NEVYHOVUJE</b>                        |                                      |                              |
|   | konečný průhyb (prostý nosník, spojitě zat.)    | $w_{net,fin} = (g_{k,all} * (1 + k_{def}) + q_{k,all} * (1 + \psi_2 * k_{def})) * w_{ref}$ |                                      |                              |
|   |   | $w_{net,fin} = (4,76 * 1,60 + 4,55 * 1,18) * 1,11 = 14,4 \text{ mm}$                       |                                      |                              |
|   |   | $w_{net,fin} / (L / 250) = 14,4 / 13,4 = 1,07 > 1,00$ <b>NEVYHOVUJE</b>                    |                                      |                              |
| Dřevěný stropní trám T2                         |   | je nevyhovující dle ČSN EN 1995-1-1  |                                      |                              |
| Využití průřezu nosníku dle MSÚ                 |   | 95%  | Využití průřezu nosníku dle MSP 107% |                              |
| Využití průřezu nosníku dle MSS                 |   | 83%  |                                      |                              |

**T2 Dřevěný trám stropu - prostý nosník**

|                                       |                                  |                    |                 |   |                                 |
|---------------------------------------|----------------------------------|--------------------|-----------------|---|---------------------------------|
| NV24 Třída průřezu, pevnosti, provozu |                                  | S10                | C24             | 1 | $E_{0,05} = 7,4 \text{ GPa}$    |
| Pevnostní charakteristiky:            | ohyb                             | $f_{m,k} = 24,0$   | MPa             |   | $E_{0,mean} = 11,0 \text{ GPa}$ |
|                                       | smyk                             | $f_{v,k} = 2,5$    | MPa             |   | $G_{mean,g} = 690 \text{ MPa}$  |
| Průřezové charakteristiky:            | základní rozměry                 | $b = 200$          | mm              |   | $h = 230 \text{ mm}$            |
|                                       | plocha průřezu                   | $A = 46000$        | mm <sup>2</sup> |   | $m = 19,3 \text{ kg.m}^{-1}$    |
|                                       | průřezový modul                  | $W_y = 1763333,33$ | mm <sup>3</sup> |   | $\gamma_M = 1,3$                |
|                                       | moment setrvačnosti              | $I_y = 202783333$  | mm <sup>4</sup> |   | $i = 66,4 \text{ mm}$           |
| Geometrie:                            | světélé rozpětí nosníku          | $l_0 = 3,16$       | m               |   | 3160 mm                         |
|                                       | rozpětí nosníku $L = 1,05 * l_0$ | $L = 3,32$         | m               |   | 3318 mm                         |
| max. osová vzdálenost nosníků         |                                  | $o_0 = 1,03$       | m               |   |                                 |

|             |  |              |      |                       |      |             |      |
|-------------|--|--------------|------|-----------------------|------|-------------|------|
| ZS24<br>ZU1 | CELKOVÉ ZATÍŽENÍ STROPU - $q_n / q_d$ - plošné     | $\gamma_g =$ | 1,35 | $\gamma_q =$          | 1,50 | $k_{mod} =$ | 0,80 |
|             | stálé zatížení                                     | $g_k =$      | 2,80 | [kN.m <sup>-2</sup> ] |      |             |      |
|             | užitné zatížení                                    | $q_{ku} =$   | 5,00 | [kN.m <sup>-2</sup> ] |      |             |      |
|             | ostatní užitné zatížení (příčky přemístitelné,...) | $q_{kp} =$   | 0,00 | [kN.m <sup>-2</sup> ] |      |             |      |

| CELKOVÉ ZATÍŽENÍ STROPU - $q_n / q_d$ - na osu |          | zatížení [kN.m <sup>-1</sup> ] |          |                             |
|--|----------|--------------------------------|----------|-----------------------------|
| popis  | charakt. | $\gamma_{g,q}$                 | návrhové |                             |
| plošné stálé na osu nosníku                    | 2,89     | 1,35                           | 3,90     |                             |
| plošné užitné stropu na osu nosníku            | 5,15     | 1,50                           | 7,73     |                             |
| plošné ostatní užitné (příčky) na osu nosníku  | 0,00     | 1,50                           | 0,00     |                             |
| vlastní váha nosníku / obsaženo v zatížení     | 0,00     | 1,35                           | 0,00     |                             |
| kombinace pro MSP / MSÚ                        | $q_k =$  | 8,04                           | $q_d =$  | 11,62 [kN.m <sup>-1</sup> ] |

|   |   |                        |                 |                      |
|---|---|------------------------|-----------------|----------------------|
| Reakce nosníku (max. smyková síla $V_{z,Ed}$ ): | $A = B = 1/2 * q_d * L = 1/2 * 11,62 * 3,32$  |                        |                 |                      |
|   | $A = B =$   | 19,28                  | kN              | ( 18,72) kN / 1m     |
| Maximální výpočtový moment                      | $M_{y,Ed} = 1/8 * q_d * L^2 = 1/8 * 11,62 * 3,32 * 3,32$                                    |                        |                 |                      |
|   | $M_{y,Ed} =$  | 15,99                  | kN.m            |                      |
| Posouzení MSÚ - momentová únosnost              | $f_{m,d} = k_{mod} * (f_{m,k} / \gamma_M) =$  | 0,8 * ( 24 / 1,3 )     |                 |                      |
| návrhová pevnost průřezu v ohybu                | $f_{m,d} =$   | 14,77                  | MPa             |                      |
| normálové napětí za ohybu                       | $\sigma_{m,d} = M_{y,Ed} / W_y =$   | 15 993 335 / 1 763 333 |                 |                      |
|   | $\sigma_{m,d} =$  | 9,07                   | MPa             |                      |
|   | $\sigma_{m,d} / f_{m,d} = 9,07 / 14,77 =$   | 0,61                   | <               | 1,00 <b>VYHOVUJE</b> |
| Posouzení MSÚ - smyková únosnost                | $f_{v,d} = k_{mod} * (f_{v,k} / \gamma_M) =$  | 0,8 * ( 2,5 / 1,3 )    |                 |                      |
| návrhová pevnost průřezu ve smyku               | $f_{v,d} =$   | 1,54                   | MPa             | $k_{cr} =$ 0,67      |
| smyková plocha                                  | $A_{v,z} = h * b_{ef} = h * b * k_{cr} =$   | 230 * 200 * 0,67       |                 |                      |
|   | $A_{v,z} =$   | 30820                  | mm <sup>2</sup> |                      |
| smykové napětí                                  | $\tau_{v,d} = (3 * V_{z,d}) / (2 * A_{v,z}) = (3 * 19 281) / (2 * 30 820)$                  |                        |                 |                      |
|   | $\tau_{v,d} =$  | 0,94                   | kN              |                      |
|   | $\tau_{v,d} / f_{v,d} = 0,94 / 1,54 =$  | 0,61                   | <               | 1,00 <b>VYHOVUJE</b> |
| Posouzení průřezu na průhyb:                    | $q_{ref} =$   | 1,00                   | $k_{def} =$     | 0,60 $\psi_2 =$ 0,30 |
| jednotkový průhyb (prostý nosník, spojitě zat.) | $w_{ref} = (5 * q_{ref} * L^4) / (384 * E_{mean} * I_y)$                                    |                        |                 |                      |
|   | $w_{z,qk} = (5 * 1,00 * 3318^4) / (384 * 11000 * 202 783 333)$                              |                        |                 |                      |
|   | $w_{z,qk} =$  | 0,7                    | mm              |                      |
| okamžitý průhyb (prostý nosník, spojitě zat.)   | $w_{inst} = q_{k,all} * w_{ref} = (8,04) * 0,71 =$  | 5,7                    | mm              |                      |
|   | $w_{inst} / (L / 350) = 5,7 / 9,5 =$  | 0,60                   | <               | 1,00 <b>VYHOVUJE</b> |
| konečný průhyb (prostý nosník, spojitě zat.)    | $w_{net,fin} = (g_{k,all} * (1 + k_{def}) + q_{ku,all} * (1 + \psi_2 * k_{def})) * w_{ref}$ |                        |                 |                      |
|   | $w_{net,fin} = (2,89 * 1,60 + 5,15 * 1,18) * 0,71 =$  | 7,6                    | mm              |                      |
|   | $w_{net,fin} / (L / 250) = 7,6 / 13,3 =$  | 0,57                   | <               | 1,00 <b>VYHOVUJE</b> |

Dřevěný stropní trám T2 je vyhovující dle ČSN EN 1995-1-1  
 Využití průřezu nosníku dle MSÚ 61% Využití průřezu nosníku dle MSP 57%  
 Využití průřezu nosníku dle MSS 61%

### T3 Dřevěný trám stropu - prostý nosník

|                            |                                  |             |           |                 |                |                         |
|----------------------------|----------------------------------|-------------|-----------|-----------------|----------------|-------------------------|
| NV26                       | Třída průřezu, pevnosti, provozu | S10         | C24       | 1               | $E_{0,05} =$   | 7,4 GPa                 |
| Pevnostní charakteristiky: | ohyb                             | $f_{m,k} =$ | 24,0      | MPa             | $E_{0,mean} =$ | 11,0 GPa                |
|                            | smyk                             | $f_{v,k} =$ | 2,5       | MPa             | $G_{mean,g} =$ | 690 MPa                 |
| Průřezové charakteristiky: | základní rozměry                 | $b =$       | 195       | mm              | $h =$          | 215 mm                  |
|                            | plocha průřezu                   | $A =$       | 41925     | mm <sup>2</sup> | $m =$          | 17,6 kg.m <sup>-1</sup> |
|                            | průřezový modul                  | $W_y =$     | 1502312,5 | mm <sup>3</sup> | $\gamma_M =$   | 1,3                     |
|                            | moment setrvačnosti              | $I_y =$     | 161498594 | mm <sup>4</sup> | $i =$          | 62,1 mm                 |
| Geometrie:                 | světélé rozpětí nosníku          | $l_0 =$     | 3,19      | m =             | 3190 mm        |                         |
|                            | rozpětí nosníku $L = 1,05 * l_0$ | $L =$       | 3,35      | m =             | 3349,5 mm      |                         |
|                            | max. osová vzdálenost nosníků    | $o_0 =$     | 1,01      | m               |                |                         |

|             |  |              |      |                       |      |             |      |
|-------------|--|--------------|------|-----------------------|------|-------------|------|
| ZS26<br>ZU3 | CELKOVÉ ZATÍŽENÍ STROPU - $q_n / q_d$ - plošné     | $\gamma_g =$ | 1,35 | $\gamma_q =$          | 1,50 | $k_{mod} =$ | 0,80 |
|             | stálé zatížení                                     | $g_k =$      | 2,13 | [kN.m <sup>-2</sup> ] |      |             |      |
|             | užitné zatížení                                    | $q_{ku} =$   | 0,75 | [kN.m <sup>-2</sup> ] |      |             |      |
|             | ostatní užitné zatížení (příčky přemístitelné,...) | $q_{kp} =$   | 0,00 | [kN.m <sup>-2</sup> ] |      |             |      |

| CELKOVÉ ZATÍŽENÍ STROPU - q <sub>n</sub> / q <sub>d</sub> - na osu |                                       | zatížení [kN.m <sup>-1</sup> ]   |                                |                             |
|--|---------------------------------------|--|--------------------------------|-----------------------------|
| popis  | charakt.                              | γ <sub>g,q</sub>   | návrhové                       |                             |
| plošné stálé na osu nosníku  | 2,15                                  | 1,35   | 2,90                           |                             |
| plošné užité stropu na osu nosníku                                 | 0,76                                  | 1,50   | 1,14                           |                             |
| plošné ostatní užité (příčky) na osu nosníku                       | 0,00                                  | 1,50   | 0,00                           |                             |
| vlastní váha nosníku / obsaženo v zatížení                         | 0,00                                  | 1,35   | 0,00                           |                             |
| kombinace pro MSP / MSÚ  | q <sub>k</sub> =                      | 2,91   | q <sub>d</sub> =               | 4,04 [kN.m <sup>-1</sup> ]  |
| Reakce nosníku (max. smyková síla V <sub>z,Ed</sub> ):             |                                       |  |                                |                             |
|  | A = B =                               | 1/2 * q <sub>d</sub> * L =   | 1/2 * 4,04 * 3,35              |                             |
|  | A = B =                               | 6,77   | kN                             | ( 6,70) kN / 1m             |
| Maximální výpočtový moment   |                                       |  |                                |                             |
|  | M <sub>y,Ed</sub> =                   | 1/8 * q <sub>d</sub> * L <sup>2</sup> =  | 1/8 * 4,04 * 3,35 * 3,35       |                             |
|  | M <sub>y,Ed</sub> =                   | 5,67   | kN.m                           |                             |
| Posouzení MSÚ - momentová únosnost                                 |                                       |  |                                |                             |
| návrhová pevnost průřezu v ohybu                                   | f <sub>m,d</sub> =                    | k <sub>mod</sub> * ( f <sub>m,k</sub> / γ <sub>M</sub> ) =   | 0,8 * ( 24 / 1,3 )             |                             |
|  | f <sub>m,d</sub> =                    | 14,77  | MPa                            |                             |
| normálové napětí za ohybu  | σ <sub>m,d</sub> =                    | M <sub>y,Ed</sub> / W <sub>y</sub> =   | 5 666 379 / 1 502 313          |                             |
|  | σ <sub>m,d</sub> =                    | 3,77   | MPa                            |                             |
|  | σ <sub>m,d</sub> / f <sub>m,d</sub> = | 3,77 / 14,77   | =                              | 0,26 < 1,00 <b>VYHOVUJE</b> |
| Posouzení MSÚ - smyková únosnost                                   |                                       |  |                                |                             |
| návrhová pevnost průřezu ve smyku                                  | f <sub>v,d</sub> =                    | k <sub>mod</sub> * ( f <sub>v,k</sub> / γ <sub>M</sub> ) =   | 0,8 * ( 2,5 / 1,3 )            |                             |
|  | f <sub>v,d</sub> =                    | 1,54   | MPa                            | k <sub>cr</sub> = 0,67      |
| smyková plocha   | A <sub>v,z</sub> =                    | h * b <sub>ef</sub> = h * b * k <sub>cr</sub> =  | 215 * 195 * 0,67               |                             |
|  | A <sub>v,z</sub> =                    | 28090  | mm <sup>2</sup>                |                             |
| smykové napětí   | τ <sub>v,d</sub> =                    | ( 3 * V <sub>z,d</sub> ) / ( 2 * A <sub>v,z</sub> ) =  | ( 3 * 6 767 ) / ( 2 * 28 090 ) |                             |
|  | τ <sub>v,d</sub> =                    | 0,36   | kN                             |                             |
|  | τ <sub>v,d</sub> / f <sub>v,d</sub> = | 0,36 / 1,54  | =                              | 0,23 < 1,00 <b>VYHOVUJE</b> |
| Posouzení průřezu na průhyb:                                       |                                       |  |                                |                             |
| jednotkový průhyb (prostý nosník, spojitě zat.)                    | q <sub>ref</sub> =                    | 1,00   | k <sub>def</sub> =             | 0,60                        |
|  | w <sub>ref</sub> =                    | ( 5 * q <sub>ref</sub> * L <sup>4</sup> ) / ( 384 * E <sub>mean</sub> * I <sub>y</sub> )   | ψ <sub>2</sub> =               | 0,30                        |
|  | w <sub>z,qk</sub> =                   | ( 5 * 1,00 * 3349,5 <sup>4</sup> ) / ( 384 * 11000 * 161 498 594 )   |                                |                             |
|  | w <sub>z,qk</sub> =                   | 0,9  | mm                             |                             |
| okamžitý průhyb (prostý nosník, spojitě zat.)                      | w <sub>inst</sub> =                   | q <sub>k,all</sub> * w <sub>ref</sub> = ( 2,91 ) * 0,92 =  | 2,7                            | mm                          |
|  | w <sub>inst</sub> / ( L / 350 ) =     | 2,7 / 9,6  | =                              | 0,28 < 1,00 <b>VYHOVUJE</b> |
| konečný průhyb (prostý nosník, spojitě zat.)                       | w <sub>net,fin</sub> =                | ( g <sub>k,all</sub> * ( 1 + k <sub>def</sub> ) + q <sub>ku,all</sub> * ( 1 + ψ <sub>2</sub> * k <sub>def</sub> ) ) * w <sub>ref</sub> |                                |                             |
|  | w <sub>net,fin</sub> =                | ( 2,15*1,60 + 0,76*1,18 ) * 0,92 =   | 4,0                            | mm                          |
|  | w <sub>net,fin</sub> / ( L / 250 ) =  | 4,0 / 13,4   | =                              | 0,30 < 1,00 <b>VYHOVUJE</b> |
| Dřevěný stropní trám T3 je vyhovující dle ČSN EN 1995-1-1          |                                       |  |                                |                             |
| Využití průřezu nosníku dle MSÚ                                    | 26%                                   | Využití průřezu nosníku dle MSP 30%  |                                |                             |
| Využití průřezu nosníku dle MSS                                    | 23%                                   |  |                                |                             |

**T3 Dřevěný trám stropu - prostý nosník**

|  |   |                                  |           |      |                       |                 |              |           |      |                    |
|--|---|----------------------------------|-----------|------|-----------------------|-----------------|--------------|-----------|------|--------------------|
| NV27   | Třída průřezu, pevnosti, provozu                  |                                  | S10       | C24  | 1                     | $E_{0,05}$      | =            | 7,4       | GPa  |                    |
|  | Pevnostní charakteristiky:                        | ohyb                             | $f_{m,k}$ | =    | 24,0                  | MPa             | $E_{0,mean}$ | =         | 11,0 | GPa                |
|  |   | smyk                             | $f_{v,k}$ | =    | 2,5                   | MPa             | $G_{mean,g}$ | =         | 690  | MPa                |
|  | Průřezové charakteristiky:                        | základní rozměry                 | $b$       | =    | 160                   | mm              | $h$          | =         | 200  | mm                 |
|  |   | plocha průřezu                   | $A$       | =    | 32000                 | mm <sup>2</sup> | $m$          | =         | 13,4 | kg.m <sup>-1</sup> |
|  |   | průřezový modul                  | $W_y$     | =    | 1066666,67            | mm <sup>3</sup> | $\gamma_M$   | =         | 1,3  |                    |
|  |   | moment setrvačnosti              | $I_y$     | =    | 106666667             | mm <sup>4</sup> | $i$          | =         | 57,7 | mm                 |
|  | Geometrie:  | světlé rozpětí nosníku           | $l_0$     | =    | 3,40                  | m               | =            | 3400      | mm   |                    |
|  |   | rozpětí nosníku $L = 1,05 * l_0$ | $L$       | =    | 3,57                  | m               | =            | 3570      | mm   |                    |
|  |   | max. osová vzdálenost nosníků    | $o_0$     | =    | 0,97                  | m               |              |           |      |                    |
| CELKOVÉ ZATÍŽENÍ STROPU - $q_n / q_d$ - plošné |   | $\gamma_g$                       | =         | 1,35 | $\gamma_q$            | =               | 1,50         | $k_{mod}$ | =    | 0,80               |
| ZS27   | stálé zatížení                                    | $g_k$                            | =         | 2,04 | [kN.m <sup>-2</sup> ] |                 |              |           |      |                    |
| ZU3  | užitné zatížení                                   | $q_{ku}$                         | =         | 0,75 | [kN.m <sup>-2</sup> ] |                 |              |           |      |                    |
|  | ostatní užité zatížení (příčky přemístitelné,...) | $q_{kp}$                         | =         | 0,00 | [kN.m <sup>-2</sup> ] |                 |              |           |      |                    |

| CELKOVÉ ZATÍŽENÍ STROPU - $q_n / q_d$ - na osu |          | zatížení [kN.m <sup>-1</sup> ] |          |                            |
|--|----------|--------------------------------|----------|----------------------------|
| popis  | charakt. | $\gamma_{g,q}$                 | návrhové |                            |
| plošné stálé na osu nosníku                    | 1,98     | 1,35                           | 2,67     |                            |
| plošné užité stropu na osu nosníku             | 0,73     | 1,50                           | 1,09     |                            |
| plošné ostatní užité (příčky) na osu nosníku   | 0,00     | 1,50                           | 0,00     |                            |
| vlastní váha nosníku / obsaženo v zatížení     | 0,00     | 1,35                           | 0,00     |                            |
| kombinace pro MSP / MSÚ                        | $q_k =$  | 2,71                           | $q_d =$  | 3,76 [kN.m <sup>-1</sup> ] |



|  |   |                                     |
|--|---|-------------------------------------|
| Reakce nosníku (max. smyková síla $V_{z,Ed}$ ):                  | $A = B = 1/2 * q_d * L = 1/2 * 3,76 * 3,57$   |                                     |
|  | $A = B = 6,72$ kN   | (6,92) kN / 1m                      |
| Maximální výpočtový moment                                       | $M_{y,Ed} = 1/8 * q_d * L^2 = 1/8 * 3,76 * 3,57^2$  |                                     |
|  | $M_{y,Ed} = 5,99$ kN.m  |                                     |
| Posouzení MSÚ - momentová únosnost                               | $f_{m,d} = k_{mod} * (f_{m,k} / \gamma_M) = 0,8 * (24 / 1,3)$                               |                                     |
| návrhová pevnost průřezu v ohybu                                 | $f_{m,d} = 14,77$ MPa   |                                     |
| normálové napětí za ohybu  | $\sigma_{m,d} = M_{y,Ed} / W_y = 5\,994\,293 / 1\,066\,667$                                 |                                     |
|  | $\sigma_{m,d} = 5,62$ MPa   |                                     |
|  | $\sigma_{m,d} / f_{m,d} = 5,62 / 14,77 = 0,38 < 1,00$                                       | <b>VYHOVUJE</b>                     |
| Posouzení MSÚ - smyková únosnost                                 | $f_{v,d} = k_{mod} * (f_{v,k} / \gamma_M) = 0,8 * (2,5 / 1,3)$                              |                                     |
| návrhová pevnost průřezu ve smyku                                | $f_{v,d} = 1,54$ MPa  | $k_{cr} = 0,67$                     |
| smyková plocha   | $A_{v,z} = h * b_{ef} = h * b * k_{cr} = 200 * 160 * 0,67$                                  |                                     |
|  | $A_{v,z} = 21\,440$ mm <sup>2</sup>   |                                     |
| smykové napětí   | $\tau_{v,d} = (3 * V_{z,d}) / (2 * A_{v,z}) = (3 * 6\,716) / (2 * 21\,440)$                 |                                     |
|  | $\tau_{v,d} = 0,47$ kN  |                                     |
|  | $\tau_{v,d} / f_{v,d} = 0,47 / 1,54 = 0,31 < 1,00$  | <b>VYHOVUJE</b>                     |
| Posouzení průřezu na průhyb:                                     | $q_{ref} = 1,00$ $k_{def} = 0,60$ $\psi_2 = 0,30$   |                                     |
| jednotkový průhyb (prostý nosník, spojitě zat.)                  | $w_{ref} = (5 * q_{ref} * L^4) / (384 * E_{mean} * I_y)$                                    |                                     |
|  | $w_{z,qk} = (5 * 1,00 * 3\,570^4) / (384 * 11\,000 * 106\,666\,667)$                        |                                     |
|  | $w_{z,qk} = 1,8$ mm   |                                     |
| okamžitý průhyb (prostý nosník, spojitě zat.)                    | $w_{inst} = q_{k,all} * w_{ref} = (2,71) * 1,80 = 4,9$ mm                                   |                                     |
|  | $w_{inst} / (L / 350) = 4,9 / 10,2 = 0,48 < 1,00$   | <b>VYHOVUJE</b>                     |
| konečný průhyb (prostý nosník, spojitě zat.)                     | $w_{net,fin} = (g_{k,all} * (1 + k_{def}) + q_{ku,all} * (1 + \psi_2 * k_{def})) * w_{ref}$ |                                     |
|  | $w_{net,fin} = (1,98 * 1,60 + 0,73 * 1,18) * 1,80 = 7,3$ mm                                 |                                     |
|  | $w_{net,fin} / (L / 250) = 7,3 / 14,3 = 0,51 < 1,00$  | <b>VYHOVUJE</b>                     |
| <b>Dřevěný stropní trám T3 je vyhovující dle ČSN EN 1995-1-1</b> |   |                                     |
| Využití průřezu nosníku dle MSÚ                                  | 38%   | Využití průřezu nosníku dle MSP 51% |
| Využití průřezu nosníku dle MSS                                  | 31%   |                                     |

**T3 Dřevěný trám stropu - prostý nosník**

|  |  |  |                   |                  |                               |
|--|--|--|-------------------|------------------|-------------------------------|
| NV29   | Třída průřezu, pevnosti, provozu                   | S10                                    | C24               | 1                | $E_{0,05} = 7,4$ GPa          |
| Pevnostní charakteristiky:                     | ohyb   | $f_{m,k} = 24,0$ MPa                   |                   |                  | $E_{0,mean} = 11,0$ GPa       |
|  | smyk   | $f_{v,k} = 2,5$ MPa                    |                   |                  | $G_{mean,g} = 690$ MPa        |
| Průřezové charakteristiky:                     | základní rozměry                                   | $b = 185$ mm                           |                   |                  | $h = 215$ mm                  |
|  | plocha průřezu                                     | $A = 39\,775$ mm <sup>2</sup>          |                   |                  | $m = 16,7$ kg.m <sup>-1</sup> |
|  | průřezový modul                                    | $W_y = 14\,252\,70,83$ mm <sup>3</sup> |                   |                  | $\gamma_M = 1,3$              |
|  | moment setrvačnosti                                | $I_y = 15\,321\,661,5$ mm <sup>4</sup> |                   |                  | $i = 62,1$ mm                 |
| Geometrie:                                     | světélé rozpětí nosníku                            | $l_0 = 3,32$ m                         |                   |                  | 3320 mm                       |
|  | rozpětí nosníku $L = 1,05 * l_0$                   | $L = 3,49$ m                           |                   |                  | 3486 mm                       |
|  | max. osová vzdálenost nosníků                      | $o_0 = 0,97$ m                         |                   |                  |                               |
| CELKOVÉ ZATÍŽENÍ STROPU - $q_n / q_d$ - plošné |  |  |                   |                  |                               |
| ZS29   | stálé zatížení                                     | $\gamma_g = 1,35$                      | $\gamma_q = 1,50$ | $k_{mod} = 0,80$ |                               |
| ZU3  | užitné zatížení                                    | $g_k = 2,04$ [kN.m <sup>-2</sup> ]     |                   |                  |                               |
|  | ostatní užitné zatížení (příčky přemístitelné,...) | $q_{ku} = 0,75$ [kN.m <sup>-2</sup> ]  |                   |                  |                               |
|  |  | $q_{kp} = 0,00$ [kN.m <sup>-2</sup> ]  |                   |                  |                               |

| CELKOVÉ ZATÍŽENÍ STROPU - $q_n / q_d$ - na osu |              | zatížení [kN.m <sup>-1</sup> ] |              |                       |
|--|--------------|--------------------------------|--------------|-----------------------|
| popis  | charakt.     | $\gamma_{g,q}$                 | návrhové     |                       |
| plošné stálé na osu nosníku                    | 1,98         | 1,35                           | 2,67         |                       |
| plošné užitné stropu na osu nosníku            | 0,73         | 1,50                           | 1,09         |                       |
| plošné ostatní užitné (příčky) na osu nosníku  | 0,00         | 1,50                           | 0,00         |                       |
| vlastní váha nosníku / obsaženo v zatížení     | 0,00         | 1,35                           | 0,00         |                       |
| kombinace pro MSP / MSÚ                        | $q_k = 2,71$ |                                | $q_d = 3,76$ | [kN.m <sup>-1</sup> ] |

|   |  |                |
|---|--|----------------|
| Reakce nosníku (max. smyková síla $V_{z,Ed}$ ): | $A = B = 1/2 * q_d * L = 1/2 * 3,76 * 3,49$        |                |
|   | $A = B = 6,56$ kN                                  | (6,76) kN / 1m |
| Maximální výpočtový moment                      | $M_{y,Ed} = 1/8 * q_d * L^2 = 1/8 * 3,76 * 3,49^2$ |                |
|   | $M_{y,Ed} = 5,72$ kN.m                             |                |

|   |  |                                 |                                  |
|---|--|---------------------------------|----------------------------------|
| Posouzení MSÚ - momentová únosnost              | $f_{m,d} = k_{mod} * (f_{m,k} / \gamma_M) =$   | 0,8 * ( 24 / 1,3 )              |                                  |
| návrhová pevnost průřezu v ohybu                | $f_{m,d} =$  | 14,77 MPa                       |                                  |
| normálové napětí za ohybu                       | $\sigma_{m,d} = M_{y,Ed} / W_y =$  | 5 715 527 / 1 425 271           |                                  |
|   | $\sigma_{m,d} =$   | 4,01 MPa                        |                                  |
|   | $\sigma_{m,d} / f_{m,d} = 4,01 / 14,77 =$  | 0,27                            | < 1,00 <b>VYHOVUJE</b>           |
| Posouzení MSÚ - smyková únosnost                | $f_{v,d} = k_{mod} * (f_{v,k} / \gamma_M) =$   | 0,8 * ( 2,5 / 1,3 )             |                                  |
| návrhová pevnost průřezu ve smyku               | $f_{v,d} =$  | 1,54 MPa                        | $k_{cr} =$ 0,67                  |
| smyková plocha                                  | $A_{v,z} = h * b_{ef} = h * b * k_{cr} =$  | 215 * 185 * 0,67                |                                  |
|   | $A_{v,z} =$  | 26649 mm <sup>2</sup>           |                                  |
| smykové napětí                                  | $\tau_{v,d} = (3 * V_{z,d}) / (2 * A_{v,z}) =$   | ( 3 * 6 558 ) / ( 2 * 26 649 )  |                                  |
|   | $\tau_{v,d} =$   | 0,37 kN                         |                                  |
|   | $\tau_{v,d} / f_{v,d} = 0,37 / 1,54 =$   | 0,24                            | < 1,00 <b>VYHOVUJE</b>           |
| Posouzení průřezu na průhyb:                    | $q_{ref} =$  | 1,00                            | $k_{def} =$ 0,60 $\psi_2 =$ 0,30 |
| jednotkový průhyb (prostý nosník, spojitě zat.) | $w_{ref} = (5 * q_{ref} * L^4) / (384 * E_{mean} * I_y) =$                                   |                                 |                                  |
|   | $w_{z,qk} = (5 * 1,00 * 3486^4) / (384 * 11000 * 153 216 615) =$                             |                                 |                                  |
|   | $w_{z,qk} =$   | 1,1 mm                          |                                  |
| okamžitý průhyb (prostý nosník, spojitě zat.)   | $w_{inst} = q_{k,all} * w_{ref} = (2,71) * 1,14 =$   | 3,1 mm                          |                                  |
|   | $w_{inst} / (L / 350) = 3,1 / 10,0 =$  | 0,31                            | < 1,00 <b>VYHOVUJE</b>           |
| konečný průhyb (prostý nosník, spojitě zat.)    | $w_{net,fin} = (g_{k,all} * (1 + k_{def}) + q_{k,all} * (1 + \psi_2 * k_{def})) * w_{ref} =$ |                                 |                                  |
|   | $w_{net,fin} = (1,98 * 1,60 + 0,73 * 1,18) * 1,14 =$   | 4,6 mm                          |                                  |
|   | $w_{net,fin} / (L / 250) = 4,6 / 13,9 =$   | 0,33                            | < 1,00 <b>VYHOVUJE</b>           |
| Dřevěný stropní trám T3                         | je vyhovující dle ČSN EN 1995-1-1  |                                 |                                  |
| Využití průřezu nosníku dle MSÚ                 | 27%  | Využití průřezu nosníku dle MSP | 33%                              |
| Využití průřezu nosníku dle MSS                 | 24%  |                                 |                                  |

**T3 Dřevěný trám stropu - prostý nosník**

|      |  |                                  |                            |                           |                |                         |
|------|--|----------------------------------|----------------------------|---------------------------|----------------|-------------------------|
| NV30 | Třída průřezu, pevnosti, provozu                   | S10                              | C24                        | 1                         | $E_{0,05} =$   | 7,4 GPa                 |
|      | Pevnostní charakteristiky:                         | ohyb                             | $f_{m,k} =$                | 24,0 MPa                  | $E_{0,mean} =$ | 11,0 GPa                |
|      |  | smyk                             | $f_{v,k} =$                | 2,5 MPa                   | $G_{mean,g} =$ | 690 MPa                 |
|      | Průřezové charakteristiky:                         | základní rozměry                 | $b =$                      | 165 mm                    | $h =$          | 215 mm                  |
|      |  | plocha průřezu                   | $A =$                      | 35475 mm <sup>2</sup>     | $m =$          | 14,9 kg.m <sup>-1</sup> |
|      |  | průřezový modul                  | $W_y =$                    | 1271187,5 mm <sup>3</sup> | $\gamma_M =$   | 1,3                     |
|      |  | moment setrvačnosti              | $I_y =$                    | 136652656 mm <sup>4</sup> | $i =$          | 62,1 mm                 |
|      | Geometrie:   | světélé rozpětí nosníku          | $l_0 =$                    | 3,28 m                    |                | 3280 mm                 |
|      |  | rozpětí nosníku $L = 1,05 * l_0$ | $L =$                      | 3,44 m                    |                | 3444 mm                 |
|      |  | max. osová vzdálenost nosníků    | $o_0 =$                    | 0,81 m                    |                |                         |
|      | CELKOVÉ ZATÍŽENÍ STROPU - $q_n / q_d$ - plošné     | $\gamma_g =$                     | 1,35                       | $\gamma_q =$              | 1,50           | $k_{mod} =$ 0,80        |
| ZS30 | stálé zatížení                                     | $g_k =$                          | 2,45 [kN.m <sup>-2</sup> ] |                           |                |                         |
| ZU3  | užitné zatížení                                    | $q_{k,u} =$                      | 0,75 [kN.m <sup>-2</sup> ] |                           |                |                         |
|      | ostatní užitné zatížení (příčky přemístitelné,...) | $q_{k,p} =$                      | 0,00 [kN.m <sup>-2</sup> ] |                           |                |                         |

| CELKOVÉ ZATÍŽENÍ STROPU - $q_n / q_d$ - na osu |          | zatížení [kN.m <sup>-1</sup> ] |          |                            |
|--|----------|--------------------------------|----------|----------------------------|
| popis  | charakt. | $\gamma_{g,q}$                 | návrhové |                            |
| plošné stálé na osu nosníku                    | 1,98     | 1,35                           | 2,67     |                            |
| plošné užitné stropu na osu nosníku            | 0,61     | 1,50                           | 0,91     |                            |
| plošné ostatní užitné (příčky) na osu nosníku  | 0,00     | 1,50                           | 0,00     |                            |
| vlastní váha nosníku / obsaženo v zatížení     | 0,00     | 1,35                           | 0,00     |                            |
| kombinace pro MSP / MSÚ                        | $q_k =$  | 2,59                           | $q_d =$  | 3,58 [kN.m <sup>-1</sup> ] |

|   |  |                        |
|---|--|------------------------|
| Reakce nosníku (max. smyková síla $V_{z,Ed}$ ): | $A = B = 1/2 * q_d * L = 1/2 * 3,58 * 3,44$        |                        |
|   | $A = B =$  | 6,17 kN (7,62) kN / 1m |
| Maximální výpočtový moment                      | $M_{y,Ed} = 1/8 * q_d * L^2 = 1/8 * 3,58 * 3,44^2$ |                        |
|   | $M_{y,Ed} =$                                       | 5,32 kN.m              |
| Posouzení MSÚ - momentová únosnost              | $f_{m,d} = k_{mod} * (f_{m,k} / \gamma_M) =$       | 0,8 * ( 24 / 1,3 )     |
| návrhová pevnost průřezu v ohybu                | $f_{m,d} =$  | 14,77 MPa              |
| normálové napětí za ohybu                       | $\sigma_{m,d} = M_{y,Ed} / W_y =$                  | 5 315 060 / 1 271 188  |
|   | $\sigma_{m,d} =$                                   | 4,18 MPa               |
|   | $\sigma_{m,d} / f_{m,d} = 4,18 / 14,77 =$          | 0,28                   |
|   |  | < 1,00 <b>VYHOVUJE</b> |

|   |  |                                   |                                  |
|---|--|-----------------------------------|----------------------------------|
| Posouzení MSÚ - smyková únosnost                | $f_{v,d} = k_{mod} * (f_{v,k} / \gamma_M) =$   | $0,8 * (2,5 / 1,3)$               |                                  |
| návrhová pevnost průřezu ve smyku               | $f_{v,d} =$  | 1,54 MPa                          | $k_{cr} =$ 0,67                  |
| smyková plocha                                  | $A_{v,z} = h * b_{ef} = h * b * k_{cr} =$  | $215 * 165 * 0,67$                |                                  |
|   | $A_{v,z} =$  | 23768 mm <sup>2</sup>             |                                  |
| smykové napětí                                  | $\tau_{v,d} = (3 * V_{z,d}) / (2 * A_{v,z}) =$   | $(3 * 6173) / (2 * 23768)$        |                                  |
|   | $\tau_{v,d} =$   | 0,39 kN                           |                                  |
|   | $\tau_{v,d} / f_{v,d} = 0,39 / 1,54 =$   | 0,25                              | < 1,00 <b>VYHOVUJE</b>           |
| Posouzení průřezu na průhyb:                    | $q_{ref} =$  | 1,00                              | $k_{def} =$ 0,60 $\psi_2 =$ 0,30 |
| jednotkový průhyb (prostý nosník, spojitě zat.) | $w_{ref} = (5 * q_{ref} * L^4) / (384 * E_{mean} * I_y)$                                   |                                   |                                  |
|   | $w_{z,qk} = (5 * 1,00 * 3444^4) / (384 * 11000 * 136652656)$                               |                                   |                                  |
|   | $w_{z,qk} =$   | 1,2 mm                            |                                  |
| okamžitý průhyb (prostý nosník, spojitě zat.)   | $w_{inst} = q_{k,all} * w_{ref} = (2,59) * 1,22 =$   | 3,2 mm                            |                                  |
|   | $w_{inst} / (L / 350) = 3,2 / 9,8 =$   | 0,32                              | < 1,00 <b>VYHOVUJE</b>           |
| konečný průhyb (prostý nosník, spojitě zat.)    | $w_{net,fin} = (g_{k,all} * (1 + k_{def}) + q_{k,all} * (1 + \psi_2 * k_{def})) * w_{ref}$ |                                   |                                  |
|   | $w_{net,fin} = (1,98 * 1,60 + 0,61 * 1,18) * 1,22 =$                                       | 4,7 mm                            |                                  |
|   | $w_{net,fin} / (L / 250) = 4,7 / 13,8 =$   | 0,34                              | < 1,00 <b>VYHOVUJE</b>           |
| Dřevěný stropní trám                            | T3   | je vyhovující dle ČSN EN 1995-1-1 |                                  |
| Využití průřezu nosníku dle MSÚ                 | 28%  | Využití průřezu nosníku dle MSP   | 34%                              |
| Využití průřezu nosníku dle MSS                 | 25%  |                                   |                                  |

**POSUDEK OCELOVÝCH PRVKŮ DŘEVĚNÝCH STROPŮ**

|              |  |   |                           |                                     |
|--------------|--|---|---------------------------|-------------------------------------|
| <b>NV 20</b> | <b>Prostě uložený ocel. nosník stropu</b>    | <b>POČET SPOLUPŮSOBÍCÍCH NOSNÍKŮ <math>n =</math></b> | <b>1</b>                  | <b>KS</b>                           |
| <b>I450</b>  | Svářkové žel. mez kluzu / modul pružnosti    | $f_y =$   | 210,0 MPa                 | $E_{sd} =$ 180000 MPa               |
| nenorm.      | Průřez (I 450) plocha průřezu / vl. váha     | $A =$   | 16567 mm <sup>2</sup>     | $m =$ 130,1 kg.m <sup>-1</sup>      |
|              | rozměry - výška / šířka                      | $h =$   | 450 mm                    | $b =$ 171 mm                        |
|              | tloušťky - stojina / pásnice                 | $t_w =$   | 18,0 mm                   | $t_f =$ 27,0 mm                     |
|              | průřezový modul                              | $W_{y,el} =$  | 2279290 mm <sup>3</sup>   | $W_{z,el} =$ 234020 mm <sup>3</sup> |
|              | moment setrvačnosti                          | $I_y =$   | 512839800 mm <sup>4</sup> | $I_z =$ 20008800 mm <sup>4</sup>    |
|              | poloměr setrvačnosti                         | $i_y =$   | 175,9 mm                  | $i_z =$ 34,8 mm                     |
|              | plastický průřezový modul / poloměr zaoblení | $W_{y,pl} =$  | 2279290 mm <sup>3</sup>   | $r =$ 10,8 mm                       |
| Geometrie:   | světelné rozpětí nosníku                     | $L_n =$   | 8,97 m                    | 8970 mm                             |
|              | rozpětí nosníku $L = 1,05 \cdot L_n$         | $L =$   | 9,42 m                    | 9418,5 mm                           |
|              | osová vzdálenost nosníků                     | $b_0 =$   | 3,27 m                    |                                     |

CELK.ZATÍŽENÍ STROPU -  $q_n / q_d$  - plošné,  $\gamma_g =$  1,35  $\gamma_q =$  1,50  $\gamma_{M0,1} =$  1,00

CELKOVÉ ZATÍŽENÍ STROPU -  $q_n / q_d$  - na osu zatížení [kN.m<sup>-1</sup>]

| popis                         | charakt.      | $\gamma_{g,q}$ | návrhové      |                       |
|-------------------------------|---------------|----------------|---------------|-----------------------|
| zatížení stropu - stálé NV 21 | 9,25          | 1,35           | 12,48         | stávající podlaha     |
| zatížení stropu - užité U1    | 16,35         | 1,50           | 24,53         |                       |
| váha podhledu                 | 2,29          | 1,35           | 3,09          |                       |
| vlastní váha nosníku          | 1,30          | 1,35           | 1,76          |                       |
| kombinace pro MSP / MSÚ       | $q_k =$ 29,19 |                | $q_d =$ 41,85 | [kN.m <sup>-1</sup> ] |

Reakce nosníku (max. smyková síla  $V_{z,Ed}$ ):  $A = B = 1/2 \cdot q_d \cdot L = 1/2 \cdot 41,85 \cdot 9,42$   
 $A = B =$  197,10 kN (137,4)

Maximální výpočtový moment  $M_{y,Ed} = 1/8 \cdot q_d \cdot L^2 = 1/8 \cdot 41,85 \cdot 9,42 \cdot 9,42$   
 $M_{y,Ed} =$  464,09 kN.m

Klasifikace průřezu parametr  $\varepsilon = \sqrt{235 / f_y} = \sqrt{235 / 210} =$  1,06  
 vnitřní tlačená část (stojina v prostém ohybu)  $c = h - 2 \cdot t_f - 2 \cdot r = 450 - 2 \cdot 27 - 2 \cdot 10,8 = 374,4$   
 $c / t_w = 374,4 / 18,0 =$  20,80  $< 72 \cdot \varepsilon =$  76,17 Třída 1  
 vnitřní tlačená část (stojina v prostém ohybu)  $c = (b - t_w - 2 \cdot r) / 2 = (171 - 18 - 2 \cdot 10,8) / 2 = 65,7$   
 $c / t_f = 65,7 / 27,0 =$  2,43  $< 9 \cdot \varepsilon =$  9,52 Třída 1

Posouzení MSÚ - momentová únosnost klasifikace průřezu - třída 1  $M_{c,Rd} = M_{pl,Rd}$   
 návrhová únosnost průřezu v ohybu  $M_{c,Rd} = n \cdot W_{y,pl} \cdot f_y / \gamma_{M0} = 1 \cdot 2279290 \cdot 210 / 1 / 1\,000\,000$   
 $M_{c,Rd} =$  478,65 kN.m  
 $M_{y,Ed} / M_{c,Rd} = 464,09 / 478,65 =$  0,97  $<$  1,00 **VYHOVUJE**

Posouzení MSÚ - smyková únosnost klasifikace průřezu - třída 1  $V_{c,Rd} = V_{pl,Rd}$   
 smyková plocha  $A_{v,z} = A - 2 \cdot b \cdot t_f + (t_w + 2 \cdot r) \cdot t_f = 16567 - 2 \cdot 171 \cdot 27 + (18 + 2 \cdot 10,8) \cdot 27$   
 $A_{v,z} =$  8402 mm<sup>2</sup>  
 návrhová plastická únosnost ve smyku  $V_{pl,z,Rd} = n \cdot A_{v,z} \cdot (f_y / \sqrt{3}) / \gamma_{M0} = 1 \cdot 8\,402 \cdot (210 / \sqrt{3}) / 1 / 1\,000$   
 $V_{pl,z,Rd} =$  1018,71 kN  
 $V_{z,Ed} / V_{pl,z,Rd} = 197,10 / 1\,018,71 =$  0,19  $<$  1,00 **VYHOVUJE**

Posouzení MSP - průhyb dovolený průhyb  $\delta_{max} = L / 350 = 9,4185 / 350$   
 $\delta_{max} =$  26,9 mm  
 max.svislý průhyb (prostý nosník, spojitě zat.)  $w_{z,qk} = (5 \cdot q_n \cdot L^4) / (384 \cdot E_{sd} \cdot n \cdot I_y)$   
 $w_{z,qk} = (5 \cdot 29,19 \cdot 8970^4) / (384 \cdot 180000 \cdot 1 \cdot 512839800)$   
 $w_{z,qk} =$  26,7 mm  
 $w_{z,qk} / \delta_{max} = 26,65 / 26,91 =$  0,99  $<$  1,00 **VYHOVUJE**

Ocelové nosníky stropu NV 20 jsou vyhovující dle ČSN EN 1993-1-1  
 Využití průřezu nosníku dle MSÚ 97% Využití průřezu nosníku dle MSP 99%  
 Využití průřezu nosníku dle MSS 19%

**NV 22 Prostě uložený ocel. nosník stropu****POČET SPOLUPŮSOBÍCÍCH NOSNÍKŮ  $n = 1$  KS**

|             |  |              |                           |              |                          |
|-------------|--|--------------|---------------------------|--------------|--------------------------|
| <b>I450</b> | Svářkové žel. mez kluzu / modul pružnosti    | $f_y =$      | 210,0 MPa                 | $E_{sd} =$   | 180000 MPa               |
| nenorm.     | Průřez (I 450) plocha průřezu / vl. váha     | $A =$        | 16567 mm <sup>2</sup>     | $m =$        | 130,1 kg.m <sup>-1</sup> |
|             | rozměry - výška / šířka                      | $h =$        | 450 mm                    | $b =$        | 171 mm                   |
|             | tloušťky - stojina / pásnice                 | $t_w =$      | 18,0 mm                   | $t_f =$      | 27,0 mm                  |
|             | průřezový modul                              | $W_{y,el} =$ | 2279290 mm <sup>3</sup>   | $W_{z,el} =$ | 234020 mm <sup>3</sup>   |
|             | moment setrvačnosti                          | $I_y =$      | 512839800 mm <sup>4</sup> | $I_z =$      | 20008800 mm <sup>4</sup> |
|             | poloměr setrvačnosti                         | $i_y =$      | 175,9 mm                  | $i_z =$      | 34,8 mm                  |
|             | plastický průřezový modul / poloměr zaoblení | $W_{y,pl} =$ | 2279290 mm <sup>3</sup>   | $r =$        | 10,8 mm                  |
| Geometrie:  | světélé rozpětí nosníku                      | $L_n =$      | 9,00 m                    |              | 9000 mm                  |
|             | rozpětí nosníku $L = 1,05 * L_n$             | $L =$        | 9,45 m                    |              | 9450 mm                  |
|             | osová vzdálenost nosníků                     | $b_0 =$      | 2,97 m                    |              |                          |

CELK.ZATÍŽENÍ STROPU -  $q_n / q_d$  - plošné,  $\gamma_g = 1,35$   $\gamma_q = 1,50$   $\gamma_{M0,1} = 1,00$ CELKOVÉ ZATÍŽENÍ STROPU -  $q_n / q_d$  - na osu zatížení [kN.m<sup>-1</sup>]

| popis                         | charakt.      | $\gamma_{g,q}$ | návrhové      |                       |
|-------------------------------|---------------|----------------|---------------|-----------------------|
| zatížení stropu - stálé NV 23 | 15,52         | 1,35           | 20,96         | stávající podlaha     |
| zatížení stropu - užité U1    | 14,85         | 1,50           | 22,28         |                       |
| váha podhledu                 | 2,08          | 1,35           | 2,81          |                       |
| vlastní váha nosníku          | 1,30          | 1,35           | 1,76          |                       |
| kombinace pro MSP / MSÚ       | $q_k = 33,75$ |                | $q_d = 47,79$ | [kN.m <sup>-1</sup> ] |

Reakce nosníku (max. smyková síla  $V_{z,Ed}$ ):  $A = B = 1/2 * q_d * L = 1/2 * 47,79 * 9,45$   
 $A = B = 225,83$  kN (159,5)

Maximální výpočtový moment  $M_{y,Ed} = 1/8 * q_d * L^2 = 1/8 * 47,79 * 9,45^2 * 9,45$   
 $M_{y,Ed} = 533,53$  kN.m

Klasifikace průřezu parametr  $\varepsilon = \sqrt{(235 / f_y)} = \sqrt{(235 / 210)} = 1,06$   
 vnitřní tlačená část (stojina v prostém ohybu)  $c = h - 2*t_f - 2*r = 450 - 2*27 - 2*10,8 = 374,4$   
 $c / t_w = 374,4 / 18,0 = 20,80 < 72 * \varepsilon = 76,17$  Třída 1  
 vnitřní tlačená část (stojina v prostém ohybu)  $c = (b - t_w - 2*r) / 2 = (171 - 18 - 2*10,8) / 2 = 65,7$   
 $c / t_f = 65,7 / 27,0 = 2,43 < 9 * \varepsilon = 9,52$  Třída 1

Posouzení MSÚ - momentová únosnost klasifikace průřezu - třída 1  $M_{c,Rd} = M_{pl,Rd}$   
 návrhová únosnost průřezu v ohybu  $M_{c,Rd} = n * W_{y,pl} * f_y / \gamma_{M0} = 1 * 2279290 * 210 / 1 / 1000000$   
 $M_{c,Rd} = 478,65$  kN.m  
 $M_{y,Ed} / M_{c,Rd} = 533,53 / 478,65 = 1,11 > 1,00$  **NEVYHOVUJE**

Posouzení MSÚ - smyková únosnost klasifikace průřezu - třída 1  $V_{c,Rd} = V_{pl,Rd}$   
 smyková plocha  $A_{v,z} = A - 2*b*t_f + (t_w + 2*r)*t_f = 16567 - 2*171*27 + (18+2*10,8)*27$   
 $A_{v,z} = 8402$  mm<sup>2</sup>  
 návrhová plastická únosnost ve smyku  $V_{pl,Rd} = n * A_{v,z} * (f_y / \sqrt{3}) / \gamma_{M0} = 1 * 8402 * (210 / \sqrt{3}) / 1000$   
 $V_{pl,Rd} = 1018,71$  kN  
 $V_{z,Ed} / V_{pl,Rd} = 225,83 / 1018,71 = 0,22 < 1,00$  **VYHOVUJE**

Posouzení MSP - průhyb dovolený průhyb  $\delta_{max} = L / 350 = 9,45 / 350$   
 $\delta_{max} = 27,0$  mm  
 max.svislý průhyb (prostý nosník, spojitě zat.)  $w_{z,qk} = (5 * q_n * L^4) / (384 * E_{sd} * n * I_y)$   
 $w_{z,qk} = (5 * 33,75 * 9000^4) / (384 * 180000 * 1 * 512839800)$   
 $w_{z,qk} = 31,2$  mm  
 $w_{z,qk} / \delta_{max} = 31,2 / 27,0 = 1,16 > 1,00$  **NEVYHOVUJE**

Ocelové nosníky stropu NV 22 jsou nevyhovující dle ČSN EN 1993-1-1  
 Využití průřezu nosníku dle MSÚ 111% Využití průřezu nosníku dle MSP 116%  
 Využití průřezu nosníku dle MSS 22%

**NV 25 Prostě uložený ocel. nosník stropu****POČET SPOLUPŮSOBÍCÍCH NOSNÍKŮ  $n = 1$  KS**

|             |  |                                      |                                     |
|-------------|--|--------------------------------------|-------------------------------------|
| <b>I450</b> | Svářkové žel. mez kluzu / modul pružnosti    | $f_y = 210,0$ MPa                    | $E_{sd} = 180000$ MPa               |
| nenorm.     | Průřez (I 450) plocha průřezu / vl. váha     | $A = 16567$ mm <sup>2</sup>          | $m = 130,1$ kg.m <sup>-1</sup>      |
|             | rozměry - výška / šířka                      | $h = 450$ mm                         | $b = 171$ mm                        |
|             | tloušťky - stojina / pásnice                 | $t_w = 18,0$ mm                      | $t_f = 27,0$ mm                     |
|             | průřezový modul                              | $W_{y,el} = 2279290$ mm <sup>3</sup> | $W_{z,el} = 234020$ mm <sup>3</sup> |
|             | moment setrvačnosti                          | $I_y = 512839800$ mm <sup>4</sup>    | $I_z = 20008800$ mm <sup>4</sup>    |
|             | poloměr setrvačnosti                         | $i_y = 175,9$ mm                     | $i_z = 34,8$ mm                     |
|             | plastický průřezový modul / poloměr zaoblení | $W_{y,pl} = 2279290$ mm <sup>3</sup> | $r = 10,8$ mm                       |
| Geometrie:  | světlé rozpětí nosníku                       | $L_n = 9,33$ m                       | 9330 mm                             |
|             | rozpětí nosníku $L = 1,05 * L_n$             | $L = 9,80$ m                         | 9796,5 mm                           |
|             | osová vzdálenost nosníků                     | $b_0 = 3,08$ m                       |                                     |

CELK.ZATÍŽENÍ STROPU -  $q_n / q_d$  - plošné, $\gamma_g = 1,35$  $\gamma_q = 1,50$  $\gamma_{M0,1} = 1,00$ CELKOVÉ ZATÍŽENÍ STROPU -  $q_n / q_d$  - na osu zatížení [kN.m<sup>-1</sup>]

| popis                         | charakt.      | $\gamma_{g,q}$ | návrhové      |                       |
|-------------------------------|---------------|----------------|---------------|-----------------------|
| zatížení stropu - stálé NV 24 | 8,63          | 1,35           | 11,65         | stávající podlaha     |
| zatížení stropu - užité U1    | 15,40         | 1,50           | 23,10         |                       |
| váha podhledu                 | 2,16          | 1,35           | 2,91          |                       |
| vlastní váha nosníku          | 1,30          | 1,35           | 1,76          |                       |
| kombinace pro MSP / MSÚ       | $q_k = 27,49$ |                | $q_d = 39,42$ | [kN.m <sup>-1</sup> ] |

Reakce nosníku (max. smyková síla  $V_{z,Ed}$ ):

$$A = B = 1/2 * q_d * L = 1/2 * 39,42 * 9,80$$

$$A = B = 193,08 \text{ kN} \quad (134,6)$$

Maximální výpočtový moment

$$M_{y,Ed} = 1/8 * q_d * L^2 = 1/8 * 39,42 * 9,80^2 * 9,80$$

$$M_{y,Ed} = 472,89 \text{ kN.m}$$

Klasifikace průřezu

$$\text{parametr } \varepsilon = \sqrt{(235 / f_y)} = \sqrt{(235 / 210)} = 1,06$$

vnitřní tlačená část (stojina v prostém ohybu)

$$c = h - 2*t_f - 2*r = 450 - 2*27 - 2*10,8 = 374,4$$

$$c / t_w = 374,4 / 18,0 = 20,80 < 72 * \varepsilon = 76,17$$

Třída 1

vnitřní tlačená část (stojina v prostém ohybu)

$$c = (b - t_w - 2*r) / 2 = (171 - 18 - 2*10,8) / 2 = 65,7$$

$$c / t_f = 65,7 / 27,0 = 2,43 < 9 * \varepsilon = 9,52$$

Třída 1

Posouzení MSÚ - momentová únosnost

klasifikace průřezu - třída 1

$$M_{c,Rd} = M_{pl,Rd}$$

návrhová únosnost průřezu v ohybu

$$M_{c,Rd} = n * W_{y,pl} * f_y / \gamma_{M0} = 1 * 2279290 * 210 / 1 / 1000000$$

$$M_{c,Rd} = 478,65 \text{ kN.m}$$

$$M_{y,Ed} / M_{c,Rd} = 472,89 / 478,65 = 0,99 < 1,00 \quad \text{VYHOVUJE}$$

Posouzení MSÚ - smyková únosnost

klasifikace průřezu - třída 1

$$V_{c,Rd} = V_{pl,Rd}$$

smyková plocha

$$A_{v,z} = A - 2*b*t_f + (t_w + 2*r)*t_f = 16567 - 2*171*27 + (18+2*10,8)*27$$

$$A_{v,z} = 8402 \text{ mm}^2$$

návrhová plastická únosnost ve smyku

$$V_{pl,z,Rd} = n * A_{v,z} * (f_y / \sqrt{3}) / \gamma_{M0} = 1 * 8402 * (210 / \sqrt{3}) / 1 / 1000$$

$$V_{pl,z,Rd} = 1018,71 \text{ kN}$$

$$V_{z,Ed} / V_{pl,z,Rd} = 193,08 / 1018,71 = 0,19 < 1,00 \quad \text{VYHOVUJE}$$

Posouzení MSP - průhyb

dovolený průhyb

$$\delta_{max} = L / 350 = 9,7965 / 350$$

$$\delta_{max} = 28,0 \text{ mm}$$

max.svislý průhyb (prostý nosník, spojitě zat.)

$$w_{z,qk} = (5 * q_n * L^4) / (384 * E_{sd} * n * I_y)$$

$$w_{z,qk} = (5 * 27,49 * 9330^4) / (384 * 180000 * 1 * 512839800)$$

$$w_{z,qk} = 29,4 \text{ mm}$$

$$w_{z,qk} / \delta_{max} = 29,38 / 27,99 = 1,05 > 1,00 \quad \text{NEVYHOVUJE}$$

Ocelové nosníky stropu NV 25 jsou nevyhovující dle ČSN EN 1993-1-1

Využití průřezu nosníku dle MSÚ

99%

Využití průřezu nosníku dle MSP

105%

Využití průřezu nosníku dle MSS

19%



|              |  |   |                           |                                     |
|--------------|--|---|---------------------------|-------------------------------------|
| <b>NV 28</b> | <b>Prostě uložený ocel. nosník stropu</b>    | <b>POČET SPOLUPŮSOBÍCÍCH NOSNÍKŮ <math>n =</math></b> | <b>1</b>                  | <b>KS</b>                           |
| <b>I400</b>  | Svářkové žel. mez kluzu / modul pružnosti    | $f_y =$   | 210,0 MPa                 | $E_{sd} =$ 180000 MPa               |
| nenorm.      | Průřez (I 400) plocha průřezu / vl. váha     | $A =$   | 13286 mm <sup>2</sup>     | $m =$ 104,3 kg.m <sup>-1</sup>      |
|              | rozměry - výška / šířka                      | $h =$   | 400 mm                    | $b =$ 156 mm                        |
|              | tloušťky - stojina / pásnice                 | $t_w =$   | 16,0 mm                   | $t_f =$ 24,0 mm                     |
|              | průřezový modul                              | $W_{y,el} =$  | 1635470 mm <sup>3</sup>   | $W_{z,el} =$ 173600 mm <sup>3</sup> |
|              | moment setrvačnosti                          | $I_y =$   | 327094500 mm <sup>4</sup> | $I_z =$ 13540900 mm <sup>4</sup>    |
|              | poloměr setrvačnosti                         | $i_y =$   | 156,9 mm                  | $i_z =$ 31,9 mm                     |
|              | plastický průřezový modul / poloměr zaoblení | $W_{y,pl} =$  | 1635470 mm <sup>3</sup>   | $r =$ 9,6 mm                        |
| Geometrie:   | světélé rozpětí nosníku                      | $L_n =$   | 9,33 m                    | 9330 mm                             |
|              | rozpětí nosníku $L = 1,05 * L_n$             | $L =$   | 9,80 m                    | 9796,5 mm                           |
|              | osová vzdálenost nosníků                     | $b_0 =$   | 3,01 m                    |                                     |

CELK.ZATÍŽENÍ STROPU -  $q_n / q_d$  - plošné,  $\gamma_g =$  1,35  $\gamma_q =$  1,50  $\gamma_{M0,1} =$  1,00

CELKOVÉ ZATÍŽENÍ STROPU -  $q_n / q_d$  - na osu zatížení [kN.m<sup>-1</sup>]

| popis                         | charakt.      | $\gamma_{g,q}$ | návrhové      |                       |
|-------------------------------|---------------|----------------|---------------|-----------------------|
| zatížení stropu - stálé NV 26 | 6,41          | 1,35           | 8,66          | stávající podlaha     |
| zatížení stropu - užité U3    | 2,26          | 1,50           | 3,39          |                       |
| váha podhledu                 | 2,11          | 1,35           | 2,84          |                       |
| váha dodatečného podhledu     | 0,36          | 1,35           | 0,49          |                       |
| vlastní váha nosníku          | 1,04          | 1,35           | 1,41          |                       |
| kombinace pro MSP / MSÚ       | $q_k =$ 12,18 |                | $q_d =$ 16,78 | [kN.m <sup>-1</sup> ] |

Reakce nosníku (max. smyková síla  $V_{z,Ed}$ ):  $A = B = 1/2 * q_d * L = 1/2 * 16,78 * 9,80$   
 $A = B =$  82,20 kN (59,7)

Maximální výpočtový moment  $M_{y,Ed} = 1/8 * q_d * L^2 = 1/8 * 16,78 * 9,80 * 9,80$   
 $M_{y,Ed} =$  201,32 kN.m

Klasifikace průřezu parametr  $\varepsilon = \sqrt{(235 / f_y)} = \sqrt{(235 / 210)} =$  1,06  
 vnitřní tlačená část (stojina v prostém ohybu)  $c = h - 2*t_f - 2*r = 400 - 2*24 - 2*9,6 =$  332,8  
 $c / t_w = 332,8 / 16,0 =$  20,80  $< 72 * \varepsilon =$  76,17 Třída 1  
 vnitřní tlačená část (stojina v prostém ohybu)  $c = (b - t_w - 2*r) / 2 = (156 - 16 - 2*9,6) / 2 =$  60,4  
 $c / t_f = 60,4 / 24,0 =$  2,52  $< 9 * \varepsilon =$  9,52 Třída 1

Posouzení MSÚ - momentová únosnost klasifikace průřezu - třída 1  $M_{c,Rd} = M_{pl,Rd}$   
 návrhová únosnost průřezu v ohybu  $M_{c,Rd} = n * W_{y,pl} * f_y / \gamma_{M0} = 1 * 1635470 * 210 / 1 / 1000000$   
 $M_{c,Rd} =$  343,45 kN.m  
 $M_{y,Ed} / M_{c,Rd} = 201,32 / 343,45 =$  0,59  $<$  1,00 **VYHOVUJE**

Posouzení MSÚ - smyková únosnost klasifikace průřezu - třída 1  $V_{c,Rd} = V_{pl,Rd}$   
 smyková plocha  $A_{v,z} = A - 2*b*t_f + (t_w + 2*r)*t_f = 13286 - 2*156*24 + (16+2*9,6)*24$   
 $A_{v,z} =$  6643 mm<sup>2</sup>  
 návrhová plastická únosnost ve smyku  $V_{pl,z,Rd} = n * A_{v,z} * (f_y / \sqrt{3}) / \gamma_{M0} = 1 * 6643 * (210 / \sqrt{3}) / 1 / 1000$   
 $V_{pl,z,Rd} =$  805,40 kN  
 $V_{z,Ed} / V_{pl,z,Rd} = 82,20 / 805,40 =$  0,10  $<$  1,00 **VYHOVUJE**

Posouzení MSP - průhyb dovolený průhyb  $\delta_{max} = L / 350 = 9,7965 / 350$   
 $\delta_{max} =$  28,0 mm  
 max.svislý průhyb (prostý nosník, spojitě zat.)  $w_{z,qk} = (5 * q_n * L^4) / (384 * E_{sd} * n * I_y)$   
 $w_{z,qk} = (5 * 12,18 * 9330^4) / (384 * 180000 * 1 * 327094500)$   
 $w_{z,qk} =$  20,4 mm  
 $w_{z,qk} / \delta_{max} = 20,4 / 27,99 =$  0,73  $<$  1,00 **VYHOVUJE**

Ocelové nosníky stropu NV 28 jsou vyhovující dle ČSN EN 1993-1-1  
 Využití průřezu nosníku dle MSÚ 59% Využití průřezu nosníku dle MSP 73%  
 Využití průřezu nosníku dle MSS 10%

## nosník zatížení krovem od mansardy

| NV 28 Prostě uložený ocel. nosník stropu |  | POČET SPOLUPŮSOBÍCÍCH NOSNÍKŮ $n = 1$ |                           | KS                                  |
|--|--|---------------------------------------|---------------------------|-------------------------------------|
| 1400                                     | Svářkové žel. mez kluzu / modul pružnosti    | $f_y =$                               | 210,0 MPa                 | $E_{sd} =$ 180000 MPa               |
| nenorm.                                  | Průřez (I 400) plocha průřezu / vl. váha     | $A =$                                 | 13286 mm <sup>2</sup>     | $m =$ 104,3 kg.m <sup>-1</sup>      |
|  | rozměry - výška / šířka                      | $h =$                                 | 400 mm                    | $b =$ 156 mm                        |
|  | tloušťky - stojina / pásnice                 | $t_w =$                               | 16,0 mm                   | $t_f =$ 24,0 mm                     |
|  | průřezový modul                              | $W_{y,el} =$                          | 1635470 mm <sup>3</sup>   | $W_{z,el} =$ 173600 mm <sup>3</sup> |
|  | moment setrvačnosti                          | $I_y =$                               | 327094500 mm <sup>4</sup> | $I_z =$ 13540900 mm <sup>4</sup>    |
|  | poloměr setrvačnosti                         | $i_y =$                               | 156,9 mm                  | $i_z =$ 31,9 mm                     |
|  | plastický průřezový modul / poloměr zaoblení | $W_{y,pl} =$                          | 1635470 mm <sup>3</sup>   | $r =$ 9,6 mm                        |

|            |                                  |                |   |           |
|------------|----------------------------------|----------------|---|-----------|
| Geometrie: | světélé rozpětí nosníku          | $l_0 =$ 9,33 m | = | 9330 mm   |
|            | rozpětí nosníku $L = 1,05 * l_0$ | $L =$ 9,80 m   | = | 9796,5 mm |
|            | max. osová vzdálenost nosníků    | $o_0 =$ 3,01 m |   |           |

|           |                       |                   |                   |
|-----------|-----------------------|-------------------|-------------------|
| Zatížení: | Součinitele zatížení: | $\gamma_g =$ 1,35 | $\gamma_q =$ 1,50 |
|-----------|-----------------------|-------------------|-------------------|

CELKOVÉ ZATÍŽENÍ STROPU -  $q_n / q_d$  - na osu zatížení [kN.m<sup>-1</sup>]

| popis                         | charakt. | $\gamma_{g,q}$ | návrhové |                   |
|-------------------------------|----------|----------------|----------|-------------------|
| zatížení stropu - stálé NV 26 | 6,41     | 1,35           | 8,66     | stávající podlaha |
| zatížení stropu - užitné U3   | 2,26     | 1,50           | 3,39     |                   |
| váha podhledu                 | 2,11     | 1,35           | 2,84     |                   |
| váha dodatečného podhledu     | 0,36     | 1,35           | 0,49     |                   |
| vlastní tíha nosníku          | 1,04     | x 1,35         | 1,41     |                   |

|                         |               |               |                       |
|-------------------------|---------------|---------------|-----------------------|
| kombinace pro MSP / MSÚ | $q_k =$ 12,18 | $q_d =$ 16,78 | [kN.m <sup>-1</sup> ] |
|-------------------------|---------------|---------------|-----------------------|

CELKOVÉ ZATÍŽENÍ STROPU -  $P_k / P_d$  - bodové

|   |               |                    |              |           |
|---|---------------|--------------------|--------------|-----------|
| reakce od sloupku krovu mansardy $P_{30}$ | $P_k =$ 30,00 | $P_d =$ 42,00 [kN] | $c =$ 4,90 m | $n =$ 50% |
|   |               |                    | $d =$ 4,90 m |           |

|   |  |  |
|---|--|--|
| Reakce nosníku (max. smyková síla $V_{z,Ed}$ ): | $A = 1/2 * q_d * L + 1/L * P_d * d = 1/2 * 16,78 * 9,80 + 1/9,8 * 4,9 * 42,00$ |  |
|   | $A =$ 103,20 kN (74,90)  |  |
|   | $B = 1/2 * q_d * L + 1/L * P_d * c = 1/2 * 16,78 * 9,80 + 1/9,8 * 4,9 * 42,00$ |  |
|   | $B =$ 103,20 kN (74,90)  |  |

|                            |   |  |
|----------------------------|---|--|
| Maximální výpočtový moment | $M_{y,Ed} = 1/8 * q_d * L^2 + 1/L * P_d * c * d = 1/8 * 16,78 * 9,80^2 + 1/9,8 * 42,00 * 4,90 * 4,90$ |  |
|                            | $M_{y,Ed} =$ 304,18 kN.m  |  |

|   |   |         |
|---|---|---------|
| Klasifikace průřezu                             | parametr $\varepsilon = \sqrt{(235 / f_y)} = \sqrt{(235 / 210)} =$ 1,06 |         |
| vnitřní tlačenná část (stojina v prostém ohybu) | $c = h - 2 * t_f - 2 * r = 400 - 2 * 24 - 2 * 9,6 =$ 332,8              |         |
|   | $c / t_w = 332,8 / 16,0 =$ 20,80 $< 72 * \varepsilon =$ 76,17           | Třída 1 |
| vnitřní tlačenná část (stojina v prostém ohybu) | $c = (b - t_w - 2 * r) / 2 = (156 - 16 - 2 * 9,6) / 2 =$ 60,4           |         |
|   | $c / t_f = 60,4 / 24,0 =$ 2,52 $< 9 * \varepsilon =$ 9,52               | Třída 1 |

|                                    |   |                        |                        |
|------------------------------------|---|------------------------|------------------------|
| Posouzení MSÚ - momentová únosnost | klasifikace průřezu - třída 1   | $M_{c,Rd} = M_{pl,Rd}$ | $\gamma_{M0,1} =$ 1,00 |
| návrhová únosnost průřezu v ohybu  | $M_{c,Rd} = n * W_{y,pl} * f_y / \gamma_{M0} = 1 * 1635470 * 210 / 1 / 1000000$ |                        |                        |
|                                    | $M_{c,Rd} =$ 343,45 kN.m  |                        |                        |
|                                    | $M_{y,Ed} / M_{c,Rd} = 304,18 / 343,45 =$ 0,89 $<$ 1,00                         |                        | VYHOVUJE               |

|                                      |   |                        |          |
|--------------------------------------|---|------------------------|----------|
| Posouzení MSÚ - smyková únosnost     | klasifikace průřezu - třída 1   | $V_{c,Rd} = V_{pl,Rd}$ |          |
| smyková plocha                       | $A_{v,z} = A - 2 * b * t_f + (t_w + 2 * r) * t_f = 13286 - 2 * 156 * 24 + (16 + 2 * 9,6) * 24$      |                        |          |
|                                      | $A_{v,z} =$ 6643 mm <sup>2</sup>  |                        |          |
| návrhová plastická únosnost ve smyku | $V_{pl,Rd} = n * A_{v,z} * (f_y / \sqrt{3}) / \gamma_{M0} = 1 * 6643 * (210 / \sqrt{3}) / 1 / 1000$ |                        |          |
|                                      | $V_{pl,Rd} =$ 805,40 kN   |                        |          |
|                                      | $V_{z,Ed} / V_{pl,Rd} = 103,20 / 805,40 =$ 0,13 $<$ 1,00  |                        | VYHOVUJE |

|   |                 |  |  |
|---|-----------------|--|--|
| Posouzení MSP - průhyb                          | dovolený průhyb | $\delta_{max} = L / 350 = 9,7965 / 350$                                |  |
|   |                 | $\delta_{max} =$ 28,0 mm   |  |
| max.svislý průhyb (prostý nosník, spojitě zat.) |                 | $w_{z,qk} = (5 * q_n * L^4) / (384 * E_{sd} * n * I_y)$                |  |
|   |                 | $w_{z,qk} = (5 * 9330,00 * 9796,5^4) / (384 * 180000 * 1 * 327094500)$ |  |

$$w_{z,qk} = 20,4 \text{ mm}$$

max.svislý průhyb (prostý nosník, bodové zat.)

$$\text{pro } c < l/2 \quad w_{z,Pk,c<0,5L} = (P_k * c * (3l^2 - 4c^2)) / (48 * E_{sd} * n * I_y)$$

$$w_{z,Pk,c<0,5L} = (30,00 * 1000 * 4,89825 * (3*9,8^2 - 4*4,89825^2)) / (48 * 180000 * 327094500 * 1)$$

$$w_{z,Pk,c<0,5L} = 10,0 \text{ mm}$$

$$\text{pro } c \geq l/2 \quad w_{z,Pk,c \geq 0,5L} = (P_k * c * (3l^2 - 4d^2)) / (48 * E_{sd} * n * I_y)$$

$$w_{z,Pk,c \geq 0,5L} = (30,00 * 1000 * 4,89825 * (3*9,8^2 - 4*4,9^2)) / (48 * 180000 * 327094500 * 1)$$

$$w_{z,Pk,c \geq 0,5L} = 10,0 \text{ mm}$$

$$w_{z,Pk} = 10,0 \text{ mm}$$

$$w_z = w_{z,qk} + w_{z,Pk} = 20,4 + 0,0$$

$$w_z = 30,4 \text{ mm}$$

$$w_{z,qk} / \delta_{max} = 30,39 / 27,99 = 1,09 > 1,00 \quad \text{NEVYHOVUJE}$$

Ocelový prvek NV 28 je nevyhovující dle ČSN EN 1993-1-1

Využití průřezu nosníku dle MSÚ

89%

Využití průřezu nosníku dle MSP

109%

**NV 31 Prostě uložený ocel. nosník stropu**POČET SPOLUPŮSOBÍCÍCH NOSNÍKŮ  $n = 1$  KS

|            |  |                                      |                                     |
|------------|--|--------------------------------------|-------------------------------------|
| I400       | Svářkové žel. mez kluzu / modul pružnosti    | $f_y = 210,0$ MPa                    | $E_{sd} = 180000$ MPa               |
| nenorm.    | Průřez (I 400) plocha průřezu / vl. váha     | $A = 13286$ mm <sup>2</sup>          | $m = 104,3$ kg.m <sup>-1</sup>      |
|            | rozměry - výška / šířka                      | $h = 400$ mm                         | $b = 156$ mm                        |
|            | tloušťky - stojina / pásnice                 | $t_w = 16,0$ mm                      | $t_f = 24,0$ mm                     |
|            | průřezový modul                              | $W_{y,el} = 1635470$ mm <sup>3</sup> | $W_{z,el} = 173600$ mm <sup>3</sup> |
|            | moment setrvačnosti                          | $I_y = 327094500$ mm <sup>4</sup>    | $I_z = 13540900$ mm <sup>4</sup>    |
|            | poloměr setrvačnosti                         | $i_y = 156,9$ mm                     | $i_z = 31,9$ mm                     |
|            | plastický průřezový modul / poloměr zaoblení | $W_{y,pl} = 1635470$ mm <sup>3</sup> | $r = 9,6$ mm                        |
| Geometrie: | světélé rozpětí nosníku                      | $L_n = 9,00$ m                       | 9000 mm                             |
|            | rozpětí nosníku $L = 1,05 * L_n$             | $L = 9,45$ m                         | 9450 mm                             |
|            | osová vzdálenost nosníků                     | $b_0 = 3,39$ m                       |                                     |

CELK.ZATÍŽENÍ STROPU -  $q_n / q_d$  - plošné,

$$\gamma_g = 1,35$$

$$\gamma_q = 1,50$$

$$\gamma_{M0,1} = 1,00$$

CELKOVÉ ZATÍŽENÍ STROPU -  $q_n / q_d$  - na osuzatížení [kN.m<sup>-1</sup>]

| popis                         | charakt.      | $\gamma_{g,q}$ | návrhové      |                       |
|-------------------------------|---------------|----------------|---------------|-----------------------|
| zatížení stropu - stálé NV 30 | 8,29          | 1,35           | 11,19         | stávající podlaha     |
| zatížení stropu - užité U3    | 2,54          | 1,50           | 3,81          |                       |
| váha podhledu                 | 2,37          | 1,35           | 3,20          |                       |
| vlastní váha nosníku          | 1,04          | 1,35           | 1,41          |                       |
| kombinace pro MSP / MSÚ       | $q_k = 14,25$ |                | $q_d = 19,61$ | [kN.m <sup>-1</sup> ] |

Reakce nosníku (max. smyková síla  $V_{z,Ed}$ ):

$$A = B = 1/2 * q_d * L = 1/2 * 19,61 * 9,45$$

$$A = B = 92,68 \text{ kN} \quad (67,3)$$

Maximální výpočtový moment

$$M_{y,Ed} = 1/8 * q_d * L^2 = 1/8 * 19,61 * 9,45^2$$

$$M_{y,Ed} = 218,96 \text{ kN.m}$$

Klasifikace průřezu

$$\text{parametr } \varepsilon = \sqrt{(235 / f_y)} = \sqrt{(235 / 210)} = 1,06$$

vnitřní tlačená část (stojina v prostém ohybu)

$$c = h - 2*t_f - 2*r = 400 - 2*24 - 2*9,6 = 332,8$$

$$c / t_w = 332,8 / 16,0 = 20,80 < 72 * \varepsilon = 76,17 \quad \text{Třída 1}$$

vnitřní tlačená část (stojina v prostém ohybu)

$$c = (b - t_w - 2*r) / 2 = (156 - 16 - 2*9,6) / 2 = 60,4$$

$$c / t_f = 60,4 / 24,0 = 2,52 < 9 * \varepsilon = 9,52 \quad \text{Třída 1}$$

Posouzení MSÚ - momentová únosnost

klasifikace průřezu - třída 1

$$M_{c,Rd} = M_{pl,Rd}$$

návrhová únosnost průřezu v ohybu

$$M_{c,Rd} = n * W_{y,pl} * f_y / \gamma_{M0} = 1 * 1635470 * 210 / 1 / 1000000$$

$$M_{c,Rd} = 343,45 \text{ kN.m}$$

$$M_{y,Ed} / M_{c,Rd} = 218,96 / 343,45 = 0,64 < 1,00 \quad \text{VYHOVUJE}$$

Posouzení MSÚ - smyková únosnost

klasifikace průřezu - třída 1

$$V_{c,Rd} = V_{pl,Rd}$$

smyková plocha

$$A_{v,z} = A - 2*b*t_f + (t_w + 2*r)*t_f = 13286 - 2*156*24 + (16 + 2*9,6)*24$$

$$A_{v,z} = 6643 \text{ mm}^2$$

návrhová plastická únosnost ve smyku  $V_{pl,z,Rd} = n \cdot A_{v,z} \cdot (f_y / \sqrt{3}) / \gamma_{M0} = 1 \cdot 6643 \cdot (210 / \sqrt{3}) / 1,1 = 1000$

$$V_{pl,z,Rd} = 805,40 \text{ kN}$$

$$V_{z,Ed} / V_{pl,z,Rd} = 92,68 / 805,40 = 0,12 < 1,00 \quad \textbf{VYHOVUJE}$$

Posouzení MSP - průhyb      dovolený průhyb  $\delta_{max} = L / 350 = 9,45 / 350$

$$\delta_{max} = 27,0 \text{ mm}$$

max.svislý průhyb (prostý nosník, spojitě zat.)  $w_{z,qk} = (5 \cdot q_n \cdot L^4) / (384 \cdot E_{sd} \cdot n \cdot I_y)$

$$w_{z,qk} = (5 \cdot 14,25 \cdot 9000^4) / (384 \cdot 180000 \cdot 1 \cdot 327094500)$$

$$w_{z,qk} = 20,7 \text{ mm}$$

$$w_{z,qk} / \delta_{max} = 20,67 / 27,00 = 0,77 < 1,00 \quad \textbf{VYHOVUJE}$$

Ocelové nosníky stropu NV 31 jsou vyhovující dle ČSN EN 1993-1-1

|                                 |     |                                 |     |
|---------------------------------|-----|---------------------------------|-----|
| Využití průřezu nosníku dle MSÚ | 64% | Využití průřezu nosníku dle MSP | 77% |
| Využití průřezu nosníku dle MSS | 12% |                                 |     |

**POSUDEK OCELOVÝCH PRVKŮ KLENBOVÝCH STROPŮ****NV 1,2 Prostě uložený ocel. nosník stropu****POČET SPOLUPŮSOBÍCÍCH NOSNÍKŮ  $n = 1$  KS**

|             |  |              |                          |              |                         |
|-------------|--|--------------|--------------------------|--------------|-------------------------|
| <b>I220</b> | Svářkové žel. mez kluzu / modul pružnosti    | $f_y =$      | 210,0 MPa                | $E_{sd} =$   | 180000 MPa              |
| nenorm.     | Průřez (I 220) plocha průřezu / vl. váha     | $A =$        | 4455 mm <sup>2</sup>     | $m =$        | 34,8 kg.m <sup>-1</sup> |
|             | rozměry - výška / šířka                      | $h =$        | 220 mm                   | $b =$        | 102 mm                  |
|             | tloušťky - stojina / pásnice                 | $t_w =$      | 9,0 mm                   | $t_f =$      | 13,0 mm                 |
|             | průřezový modul                              | $W_{y,el} =$ | 312190 mm <sup>3</sup>   | $W_{z,el} =$ | 40290 mm <sup>3</sup>   |
|             | moment setrvačnosti                          | $I_y =$      | 34340500 mm <sup>4</sup> | $I_z =$      | 2055000 mm <sup>4</sup> |
|             | poloměr setrvačnosti                         | $i_y =$      | 87,8 mm                  | $i_z =$      | 21,5 mm                 |
|             | plastický průřezový modul / poloměr zaoblení | $W_{y,pl} =$ | 312190 mm <sup>3</sup>   | $r =$        | 5,4 mm                  |
| Geometrie:  | světélé rozpětí nosníku                      | $L_n =$      | 4,20 m                   |              | 4200 mm                 |
|             | rozpětí nosníku $L = 1,05 * L_n$             | $L =$        | 4,41 m                   |              | 4410 mm                 |
|             | osová vzdálenost nosníků                     | $b_0 =$      | 1,32 m                   |              |                         |

CELK.ZATÍŽENÍ STROPU -  $q_n / q_d$  - plošné. $\gamma_g = 1,35$  $\gamma_q = 1,50$  $\gamma_{M0,1} = 1,00$ CELKOVÉ ZATÍŽENÍ STROPU -  $q_n / q_d$  - na osuzatížení [kN.m<sup>-1</sup>]

| popis                       | charakt. | $\gamma_{g,q}$ | návrhové |                             |
|-----------------------------|----------|----------------|----------|-----------------------------|
| zatížení stropu - stálé NV1 | 10,31    | 1,35           | 13,91    | stávající podlaha           |
| zatížení stropu - užité U1  | 6,60     | 1,50           | 9,90     |                             |
| váha podhledu               | 0,00     | 1,35           | 0,00     |                             |
| vlastní váha nosníku        | 0,35     | 1,35           | 0,47     |                             |
| kombinace pro MSP / MSÚ     | $q_k =$  | 17,25          | $q_d =$  | 24,28 [kN.m <sup>-1</sup> ] |

Reakce nosníku (max. smyková síla  $V_{z,Ed}$ ):

$$A = B = 1/2 * q_d * L = 1/2 * 24,28 * 4,41$$

$$A = B = 53,55 \text{ kN} \quad (38,0)$$

Maximální výpočtový moment

$$M_{y,Ed} = 1/8 * q_d * L^2 = 1/8 * 24,28 * 4,41^2$$

$$M_{y,Ed} = 59,03 \text{ kN.m}$$

Klasifikace průřezu

$$\text{parametr } \varepsilon = \sqrt{(235 / f_y)} = \sqrt{(235 / 210)} = 1,06$$

vnitřní tlačená část (stojina v prostém ohybu)

$$c = h - 2*t_f - 2*r = 220 - 2*13 - 2*5,4 = 183,2$$

$$c / t_w = 183,2 / 9,0 = 20,36 < 72 * \varepsilon = 76,17$$

Třída 1

vnitřní tlačená část (stojina v prostém ohybu)

$$c = (b - t_w - 2*r) / 2 = (102 - 9 - 2*5,4) / 2 = 41,1$$

$$c / t_f = 41,1 / 13,0 = 3,16 < 9 * \varepsilon = 9,52$$

Třída 1

Posouzení MSÚ - momentová únosnost

klasifikace průřezu - třída 1

$$M_{c,Rd} = M_{pl,Rd}$$

návrhová únosnost průřezu v ohybu

$$M_{c,Rd} = n * W_{y,pl} * f_y / \gamma_{M0} = 1 * 312190 * 210 / 1 / 1000000$$

$$M_{c,Rd} = 65,56 \text{ kN.m}$$

$$M_{y,Ed} / M_{c,Rd} = 59,03 / 65,56 = 0,90 < 1,00 \quad \text{VYHOVUJE}$$

Posouzení MSÚ - smyková únosnost

klasifikace průřezu - třída 1

$$V_{c,Rd} = V_{pl,Rd}$$

smyková plocha

$$A_{v,z} = A - 2*b*t_f + (t_w + 2*r)*t_f = 4455 - 2*102*13 + (9+2*5,4)*13$$

$$A_{v,z} = 2060 \text{ mm}^2$$

návrhová plastická únosnost ve smyku

$$V_{pl,z,Rd} = n * A_{v,z} * (f_y / \sqrt{3}) / \gamma_{M0} = 1 * 2060 * (210 / \sqrt{3}) / 1 / 1000$$

$$V_{pl,z,Rd} = 249,81 \text{ kN}$$

$$V_{z,Ed} / V_{pl,z,Rd} = 53,55 / 249,81 = 0,21 < 1,00 \quad \text{VYHOVUJE}$$

Posouzení MSP - průhyb

dovolený průhyb

$$\delta_{max} = L / 350 = 4,41 / 350$$

$$\delta_{max} = 12,6 \text{ mm}$$

max.svislý průhyb (prostý nosník, spojitě zat.)

$$w_{z,qk} = (5 * q_n * L^4) / (384 * E_{sd} * n * I_y)$$

$$w_{z,qk} = (5 * 17,25 * 4200^4) / (384 * 180000 * 1 * 34340500)$$

$$w_{z,qk} = 11,3 \text{ mm}$$

$$w_{z,qk} / \delta_{max} = 11,31 / 12,60 = 0,90 < 1,00 \quad \text{VYHOVUJE}$$

Ocelové nosníky stropu NV 1,2 jsou vyhovující dle ČSN EN 1993-1-1

Využití průřezu nosníku dle MSÚ

90%

Využití průřezu nosníku dle MSP

90%

Využití průřezu nosníku dle MSS

21%

**NV 3 Prostě uložený ocel. nosník stropu****POČET SPOLUPŮSOBÍCÍCH NOSNÍKŮ  $n = 1$  KS**

|             |  |              |                          |              |                         |
|-------------|--|--------------|--------------------------|--------------|-------------------------|
| <b>I240</b> | Svářkové žel. mez kluzu/modul pružnosti      | $f_y =$      | 210,0 MPa                | $E_{sd} =$   | 180000 MPa              |
| nenorm.     | Průřez (I 420) plocha průřezu / vl. váha     | $A =$        | 5200 mm <sup>2</sup>     | $m =$        | 40,8 kg.m <sup>-1</sup> |
|             | rozměry - výška / šířka                      | $h =$        | 240 mm                   | $b =$        | 108 mm                  |
|             | tloušťky - stojina / pásnice                 | $t_w =$      | 9,5 mm                   | $t_f =$      | 14,5 mm                 |
|             | průřezový modul                              | $W_{y,el} =$ | 398760 mm <sup>3</sup>   | $W_{z,el} =$ | 50530 mm <sup>3</sup>   |
|             | moment setrvačnosti                          | $I_y =$      | 47851200 mm <sup>4</sup> | $I_z =$      | 2728700 mm <sup>4</sup> |
|             | poloměr setrvačnosti                         | $i_y =$      | 95,9 mm                  | $i_z =$      | 22,9 mm                 |
|             | plastický průřezový modul / poloměr zaoblení | $W_{y,pl} =$ | 398760 mm <sup>3</sup>   | $r =$        | 5,7 mm                  |
| Geometrie:  | světélé rozpětí nosníku                      | $L_n =$      | 4,93 m                   |              | 4930 mm                 |
|             | rozpětí nosníku $L = 1,05 * L_n$             | $L =$        | 5,18 m                   |              | 5176,5 mm               |
|             | osová vzdálenost nosníků                     | $b_0 =$      | 1,47 m                   |              |                         |

CELK.ZATÍŽENÍ STROPU -  $q_n / q_d$  - plošné.  $\gamma_g = 1,35$   $\gamma_q = 1,50$   $\gamma_{M0,1} = 1,00$

CELKOVÉ ZATÍŽENÍ STROPU -  $q_n / q_d$  - na osu zatížení [kN.m<sup>-1</sup>]

| popis                       | charakt. | $\gamma_{g,q}$ | návrhové |                             |
|-----------------------------|----------|----------------|----------|-----------------------------|
| zatížení stropu - stálé NV3 | 11,84    | 1,35           | 15,98    | stávající podlaha           |
| zatížení stropu - užitné U1 | 7,35     | 1,50           | 11,03    |                             |
| váha podhledu               | 0,00     | 1,35           | 0,00     |                             |
| vlastní váha nosníku        | 0,41     | 1,35           | 0,55     |                             |
| kombinace pro MSP / MSÚ     | $q_k =$  | 19,60          | $q_d =$  | 27,56 [kN.m <sup>-1</sup> ] |

Reakce nosníku (max. smyková síla  $V_{z,Ed}$ ):  $A = B = 1/2 * q_d * L = 1/2 * 27,56 * 5,18$   
 $A = B = 71,33$  kN (50,7)

Maximální výpočtový moment  $M_{y,Ed} = 1/8 * q_d * L^2 = 1/8 * 27,56 * 5,18^2 * 5,18$   
 $M_{y,Ed} = 92,30$  kN.m

Klasifikace průřezu parametr  $\varepsilon = \sqrt{(235 / f_y)} = \sqrt{(235 / 210)} = 1,06$   
 vnitřní tlačená část (stojina v prostém ohybu)  $c = h - 2*t_f - 2*r = 240 - 2*14,5 - 2*5,7 = 199,6$   
 $c / t_w = 199,6 / 9,5 = 21,01 < 72 * \varepsilon = 76,17$  Třída 1  
 vnitřní tlačená část (stojina v prostém ohybu)  $c = (b - t_w - 2*r) / 2 = (108 - 9,5 - 2*5,7) / 2 = 43,55$   
 $c / t_f = 43,6 / 14,5 = 3,00 < 9 * \varepsilon = 9,52$  Třída 1

Posouzení MSÚ - momentová únosnost klasifikace průřezu - třída 1  $M_{c,Rd} = M_{pl,Rd}$   
 návrhová únosnost průřezu v ohybu  $M_{c,Rd} = n * W_{y,pl} * f_y / \gamma_{M0} = 1 * 398760 * 210 / 1 / 1000000$   
 $M_{c,Rd} = 83,74$  kN.m  
 $M_{y,Ed} / M_{c,Rd} = 92,30 / 83,74 = 1,10 > 1,00$  **NEVYHOVUJE**

Posouzení MSÚ - smyková únosnost klasifikace průřezu - třída 1  $V_{c,Rd} = V_{pl,Rd}$   
 smyková plocha  $A_{v,z} = A - 2*b*t_f + (t_w + 2*r)*t_f = 5200 - 2*108*14,5 + (9,5 + 2*5,7)*14,5$   
 $A_{v,z} = 2371$  mm<sup>2</sup>  
 návrhová plastická únosnost ve smyku  $V_{pl,z,Rd} = n * A_{v,z} * (f_y / \sqrt{3}) / \gamma_{M0} = 1 * 2371 * (210 / \sqrt{3}) / 1 / 1000$   
 $V_{pl,z,Rd} = 287,47$  kN  
 $V_{z,Ed} / V_{pl,z,Rd} = 71,33 / 287,47 = 0,25 < 1,00$  **VYHOVUJE**

Posouzení MSP - průhyb dovolený průhyb  $\delta_{max} = L / 350 = 5,1765 / 350$   
 $\delta_{max} = 14,8$  mm  
 max.svislý průhyb (prostý nosník, spojitě zat.)  $w_{z,qk} = (5 * q_n * L^4) / (384 * E_{sd} * n * I_y)$   
 $w_{z,qk} = (5 * 19,60 * 4930^4) / (384 * 180000 * 1 * 47851200)$   
 $w_{z,qk} = 17,5$  mm  
 $w_{z,qk} / \delta_{max} = 17,50 / 14,79 = 1,18 > 1,00$  **NEVYHOVUJE**

Ocelové nosníky stropu NV 3 jsou nevyhovující dle ČSN EN 1993-1-1  
 Využití průřezu nosníku dle MSÚ 110% Využití průřezu nosníku dle MSP 118%  
 Využití průřezu nosníku dle MSS 25%

|   |  |   |                                     |  |
|---|--|---|-------------------------------------|--|
| <b>NV 4</b>                                     | <b>Prostě uložený ocel. nosník stropu</b>    | <b>POČET SPOLUPŮSOBÍCÍCH NOSNÍKŮ <math>n =</math></b>   | <b>1</b>                            | <b>KS</b>                                |
| <b>I220</b>                                     | Svářkové žel. mez kluzu / modul pružnosti    | $f_y =$   | 210,0 MPa                           | $E_{sd} =$ 180000 MPa                    |
| nenorm.   | Průřez (I 220) plocha průřezu / vl. váha     | $A =$   | 4455 mm <sup>2</sup>                | $m =$ 34,8 kg.m <sup>-1</sup>            |
|   | rozměry - výška / šířka                      | $h =$   | 220 mm                              | $b =$ 102 mm                             |
|   | tloušťky - stojina / pásnice                 | $t_w =$   | 9,0 mm                              | $t_f =$ 13,0 mm                          |
|   | průřezový modul                              | $W_{y,el} =$  | 312190 mm <sup>3</sup>              | $W_{z,el} =$ 40290 mm <sup>3</sup>       |
|   | moment setrvačnosti                          | $I_y =$   | 34340500 mm <sup>4</sup>            | $I_z =$ 2055000 mm <sup>4</sup>          |
|   | poloměr setrvačnosti                         | $i_y =$   | 87,8 mm                             | $i_z =$ 21,5 mm                          |
|   | plastický průřezový modul / poloměr zaoblení | $W_{y,pl} =$  | 312190 mm <sup>3</sup>              | $r =$ 5,4 mm                             |
| Geometrie:                                      | světélé rozpětí nosníku                      | $L_n =$   | 4,27 m                              | 4270 mm                                  |
|   | rozpětí nosníku $L = 1,05 * L_n$             | $L =$   | 4,48 m                              | 4483,5 mm                                |
|   | osová vzdálenost nosníků                     | $b_o =$   | 1,25 m                              |  |
| CELK.ZATÍŽENÍ STROPU - $q_n / q_d$ - plošné.    |  | $\gamma_g =$  | 1,35                                | $\gamma_q =$ 1,50 $\gamma_{M0,1} =$ 1,00 |
| CELKOVÉ ZATÍŽENÍ STROPU - $q_n / q_d$ - na osu  |  | zatížení [kN.m <sup>-1</sup> ]  |                                     |  |
|   | popis  | charakt.  | $\gamma_{g,q}$                      | návrhové                                 |
|   | zatížení stropu - stálé NV4                  | 10,03   | 1,35                                | 13,54 stávající podlaha                  |
|   | zatížení stropu - užité U1                   | 6,25  | 1,50                                | 9,38                                     |
|   | váha podhledu                                | 0,00  | 1,35                                | 0,00                                     |
|   | vlastní váha nosníku                         | 0,35  | 1,35                                | 0,47                                     |
| kombinace pro MSP / MSÚ                         | $q_k =$                                      | 16,63   | $q_d =$                             | 23,39 [kN.m <sup>-1</sup> ]              |
| Reakce nosníku (max. smyková síla $V_{z,Ed}$ ): |  | $A = B = 1/2 * q_d * L = 1/2 * 23,39 * 4,48$<br>$A = B =$ 52,43 kN (37,3)   |                                     |  |
| Maximální výpočtový moment                      |  | $M_{y,Ed} = 1/8 * q_d * L^2 = 1/8 * 23,39 * 4,48^2$<br>$M_{y,Ed} =$ 58,76 kN.m  |                                     |  |
| Klasifikace průřezu                             |  | parametr $\varepsilon = \sqrt{(235 / f_y)} = \sqrt{(235 / 210)} =$ 1,06   |                                     |  |
| vnitřní tlačená část (stojina v prostém ohybu)  |  | $c = h - 2*t_f - 2*r = 220 - 2*13 - 2*5,4 =$ 183,2<br>$c / t_w = 183,2 / 9,0 =$ 20,36 $< 72 * \varepsilon =$ 76,17 Třída 1  |                                     |  |
| vnitřní tlačená část (stojina v prostém ohybu)  |  | $c = (b - t_w - 2*r) / 2 = (102 - 9 - 2*5,4) / 2 =$ 41,1<br>$c / t_f = 41,1 / 13,0 =$ 3,16 $< 9 * \varepsilon =$ 9,52 Třída 1   |                                     |  |
| Posouzení MSÚ - momentová únosnost              |  | klasifikace průřezu - třída 1 $M_{c,Rd} = M_{pl,Rd}$  |                                     |  |
| návrhová únosnost průřezu v ohybu               |  | $M_{c,Rd} = n * W_{y,pl} * f_y / \gamma_{M0} = 1 * 312190 * 210 / 1 / 1\ 000\ 000$<br>$M_{c,Rd} =$ 65,56 kN.m<br>$M_{y,Ed} / M_{c,Rd} = 58,76 / 65,56 =$ 0,90 $<$ 1,00 <b>VYHOVUJE</b>  |                                     |  |
| Posouzení MSÚ - smyková únosnost                |  | klasifikace průřezu - třída 1 $V_{c,Rd} = V_{pl,Rd}$  |                                     |  |
| smyková plocha                                  |  | $A_{v,z} = A - 2*b*t_f + (t_w + 2*r)*t_f = 4455 - 2*102*13 + (9+2*5,4)*13$<br>$A_{v,z} =$ 2060 mm <sup>2</sup>  |                                     |  |
| návrhová plastická únosnost ve smyku            |  | $V_{pl,z,Rd} = n*A_{v,z} * (f_y / \sqrt{3}) / \gamma_{M0} = 1 * 2\ 060 * (210 / \sqrt{3}) / 1 / 1\ 000$<br>$V_{pl,z,Rd} =$ 249,81 kN<br>$V_{z,Ed} / V_{pl,z,Rd} = 52,43 / 249,81 =$ 0,21 $<$ 1,00 <b>VYHOVUJE</b>                 |                                     |  |
| Posouzení MSP - průhyb                          |  | dovolený průhyb $\delta_{max} = L / 350 = 4,4835 / 350$<br>$\delta_{max} =$ 12,8 mm   |                                     |  |
| max.svislý průhyb (prostý nosník, spojitě zat.) |  | $w_{z,qk} = (5 * q_n * L^4) / (384 * E_{sd} * n * I_y)$<br>$w_{z,qk} = (5 * 16,63 * 4270^4) / (384 * 180000 * 1 * 34340500)$<br>$w_{z,qk} =$ 11,6 mm<br>$w_{z,qk} / \delta_{max} = 11,65 / 12,81 =$ 0,91 $<$ 1,00 <b>VYHOVUJE</b> |                                     |  |
| Ocelové nosníky stropu                          |  | NV 4 jsou vyhovující dle ČSN EN 1993-1-1  |                                     |  |
| Využití průřezu nosníku dle MSÚ                 |  | 90%   | Využití průřezu nosníku dle MSP 91% |  |
| Využití průřezu nosníku dle MSS                 |  | 21%   |                                     |  |



|             |  |   |                          |                                    |
|-------------|--|---|--------------------------|------------------------------------|
| <b>NV 5</b> | <b>Prostě uložený ocel. nosník stropu</b>    | <b>POČET SPOLUPŮSOBÍCÍCH NOSNÍKŮ <math>n =</math></b> | <b>1</b>                 | <b>KS</b>                          |
| <b>I220</b> | Svářkové žel. mez kluzu / modul pružnosti    | $f_y =$   | 210,0 MPa                | $E_{sd} =$ 180000 MPa              |
| nenorm.     | Průřez (I 220) plocha průřezu / vl. váha     | $A =$   | 4455 mm <sup>2</sup>     | $m =$ 34,8 kg.m <sup>-1</sup>      |
|             | rozměry - výška / šířka                      | $h =$   | 220 mm                   | $b =$ 102 mm                       |
|             | tloušťky - stojina / pásnice                 | $t_w =$   | 9,0 mm                   | $t_f =$ 13,0 mm                    |
|             | průřezový modul                              | $W_{y,el} =$  | 312190 mm <sup>3</sup>   | $W_{z,el} =$ 40290 mm <sup>3</sup> |
|             | moment setrvačnosti                          | $I_y =$   | 34340500 mm <sup>4</sup> | $I_z =$ 2055000 mm <sup>4</sup>    |
|             | poloměr setrvačnosti                         | $i_y =$   | 87,8 mm                  | $i_z =$ 21,5 mm                    |
|             | plastický průřezový modul / poloměr zaoblení | $W_{y,pl} =$  | 312190 mm <sup>3</sup>   | $r =$ 5,4 mm                       |
| Geometrie:  | světélé rozpětí nosníku                      | $L_n =$   | 4,30 m                   | 4300 mm                            |
|             | rozpětí nosníku $L = 1,05 * L_n$             | $L =$   | 4,52 m                   | 4515 mm                            |
|             | osová vzdálenost nosníků                     | $b_o =$   | 1,42 m                   |                                    |

CELK.ZATÍŽENÍ STROPU -  $q_n / q_d$  - plošné.  $\gamma_g =$  1,35  $\gamma_q =$  1,50  $\gamma_{M0,1} =$  1,00

CELKOVÉ ZATÍŽENÍ STROPU -  $q_n / q_d$  - na osu zatížení [kN.m<sup>-1</sup>]

| popis                       | charakt.      | $\gamma_{g,q}$ | návrhové      |                       |
|-----------------------------|---------------|----------------|---------------|-----------------------|
| zatížení stropu - stálé NV4 | 11,90         | 1,35           | 16,06         | stávající podlaha     |
| zatížení stropu - užité U1  | 7,10          | 1,50           | 10,65         |                       |
| váha podhledu               | 0,00          | 1,35           | 0,00          |                       |
| vlastní váha nosníku        | 0,35          | 1,35           | 0,47          |                       |
| kombinace pro MSP / MSÚ     | $q_k =$ 19,35 |                | $q_d =$ 27,18 | [kN.m <sup>-1</sup> ] |

Reakce nosníku (max. smyková síla  $V_{z,Ed}$ ):  $A = B = 1/2 * q_d * L = 1/2 * 27,18 * 4,52$   
 $A = B =$  61,37 kN (43,7)

Maximální výpočtový moment  $M_{y,Ed} = 1/8 * q_d * L^2 = 1/8 * 27,18 * 4,52^2$   
 $M_{y,Ed} =$  69,27 kN.m

Klasifikace průřezu parametr  $\varepsilon = \sqrt{(235 / f_y)} = \sqrt{(235 / 210)} =$  1,06  
 vnitřní tlačená část (stojina v prostém ohybu)  $c = h - 2 * t_f - 2 * r = 220 - 2 * 13 - 2 * 5,4 =$  183,2  
 $c / t_w = 183,2 / 9,0 =$  20,36  $< 72 * \varepsilon =$  76,17 **Třída 1**  
 vnitřní tlačená část (stojina v prostém ohybu)  $c = (b - t_w - 2 * r) / 2 = (102 - 9 - 2 * 5,4) / 2 =$  41,1  
 $c / t_f = 41,1 / 13,0 =$  3,16  $< 9 * \varepsilon =$  9,52 **Třída 1**

Posouzení MSÚ - momentová únosnost **klasifikace průřezu - třída 1**  $M_{c,Rd} = M_{pl,Rd}$   
 návrhová únosnost průřezu v ohybu  $M_{c,Rd} = n * W_{y,pl} * f_y / \gamma_{M0} = 1 * 312190 * 210 / 1 / 1\,000\,000$   
 $M_{c,Rd} =$  65,56 kN.m  
 $M_{y,Ed} / M_{c,Rd} = 69,27 / 65,56 =$  1,06  $>$  1,00 **NEVYHOVUJE**

Posouzení MSÚ - smyková únosnost **klasifikace průřezu - třída 1**  $V_{c,Rd} = V_{pl,Rd}$   
 smyková plocha  $A_{v,z} = A - 2 * b * t_f + (t_w + 2 * r) * t_f = 4455 - 2 * 102 * 13 + (9 + 2 * 5,4) * 13$   
 $A_{v,z} =$  2060 mm<sup>2</sup>  
 návrhová plastická únosnost ve smyku  $V_{pl,z,Rd} = n * A_{v,z} * (f_y / \sqrt{3}) / \gamma_{M0} = 1 * 2\,060 * (210 / \sqrt{3}) / 1 / 1\,000$   
 $V_{pl,z,Rd} =$  249,81 kN  
 $V_{z,Ed} / V_{pl,z,Rd} = 61,37 / 249,81 =$  0,25  $<$  1,00 **VYHOVUJE**

Posouzení MSP - průhyb dovolený průhyb  $\delta_{max} = L / 350 = 4,515 / 350$   
 $\delta_{max} =$  12,9 mm  
 max.svislý průhyb (prostý nosník, spojitě zat.)  $w_{z,qk} = (5 * q_n * L^4) / (384 * E_{sd} * n * I_y)$   
 $w_{z,qk} = (5 * 19,35 * 4300^4) / (384 * 180000 * 1 * 34340500)$   
 $w_{z,qk} =$  13,9 mm  
 $w_{z,qk} / \delta_{max} = 13,93 / 12,90 =$  1,08  $>$  1,00 **NEVYHOVUJE**

Ocelové nosníky stropu NV 5 jsou nevyhovující dle ČSN EN 1993-1-1  
 Využití průřezu nosníku dle MSÚ 106% Využití průřezu nosníku dle MSP 108%  
 Využití průřezu nosníku dle MSS 25%

**zkrácené rozpětí sloupkem z L**

|              |  |   |                          |                                    |
|--------------|--|---|--------------------------|------------------------------------|
| <b>NV 5a</b> | <b>Prostě uložený ocel. nosník stropu</b>    | <b>POČET SPOLUPŮSOBÍCÍCH NOSNÍKŮ <math>n =</math></b> | <b>1</b>                 | <b>KS</b>                          |
| <b>I220</b>  | Svářkové žel. mez kluzu /modul pružnosti     | $f_y =$   | 210,0 MPa                | $E_{sd} =$ 180000 MPa              |
| nenorm.      | Průřez (I 220) plocha průřezu / vl. váha     | $A =$   | 4455 mm <sup>2</sup>     | $m =$ 34,8 kg.m <sup>-1</sup>      |
|              | rozměry - výška / šířka                      | $h =$   | 220 mm                   | $b =$ 102 mm                       |
|              | tloušťky - stojina / pásnice                 | $t_w =$   | 9,0 mm                   | $t_f =$ 13,0 mm                    |
|              | průřezový modul                              | $W_{y,el} =$  | 312190 mm <sup>3</sup>   | $W_{z,el} =$ 40290 mm <sup>3</sup> |
|              | moment setrvačnosti                          | $I_y =$   | 34340500 mm <sup>4</sup> | $I_z =$ 2055000 mm <sup>4</sup>    |
|              | poloměr setrvačnosti                         | $i_y =$   | 87,8 mm                  | $i_z =$ 21,5 mm                    |
|              | plastický průřezový modul / poloměr zaoblení | $W_{y,pl} =$  | 312190 mm <sup>3</sup>   | $r =$ 5,4 mm                       |
| Geometrie:   | světelné rozpětí nosníku                     | $L_n =$   | 3,45 m                   | 3450 mm                            |
|              | rozpětí nosníku $L = 1,05 * L_n$             | $L =$   | 3,62 m                   | 3622,5 mm                          |
|              | osová vzdálenost nosníků                     | $b_0 =$   | 1,42 m                   |                                    |

CELK.ZATÍŽENÍ STROPU -  $q_n / q_d$  - plošné.  $\gamma_g =$  1,35  $\gamma_q =$  1,50  $\gamma_{M0,1} =$  1,00

CELKOVÉ ZATÍŽENÍ STROPU -  $q_n / q_d$  - na osu zatížení [kN.m<sup>-1</sup>]

| popis                       | charakt.      | $\gamma_{g,q}$ | návrhové      |                       |
|-----------------------------|---------------|----------------|---------------|-----------------------|
| zatížení stropu - stálé NV4 | 11,90         | 1,35           | 16,06         | stávající podlaha     |
| zatížení stropu - užité U1  | 7,10          | 1,50           | 10,65         |                       |
| váha podhledu               | 0,00          | 1,35           | 0,00          |                       |
| vlastní váha nosníku        | 0,35          | 1,35           | 0,47          |                       |
| kombinace pro MSP / MSÚ     | $q_k =$ 19,35 |                | $q_d =$ 27,18 | [kN.m <sup>-1</sup> ] |

Reakce nosníku (max. smyková síla  $V_{z,Ed}$ ):  $A = B = 1/2 * q_d * L = 1/2 * 27,18 * 3,62$   
 $A = B =$  49,24 kN (35,0)

Maximální výpočtový moment  $M_{y,Ed} = 1/8 * q_d * L^2 = 1/8 * 27,18 * 3,62^2$   
 $M_{y,Ed} =$  44,59 kN.m

Klasifikace průřezu parametr  $\varepsilon = \sqrt{(235 / f_y)} = \sqrt{(235 / 210)} =$  1,06  
 vnitřní tlačená část (stojina v prostém ohybu)  $c = h - 2*t_f - 2*r = 220 - 2*13 - 2*5,4 =$  183,2  
 $c / t_w = 183,2 / 9,0 =$  20,36  $< 72 * \varepsilon =$  76,17 Třída 1  
 vnitřní tlačená část (stojina v prostém ohybu)  $c = (b - t_w - 2*r) / 2 = (102 - 9 - 2*5,4) / 2 =$  41,1  
 $c / t_f = 41,1 / 13,0 =$  3,16  $< 9 * \varepsilon =$  9,52 Třída 1

Posouzení MSÚ - momentová únosnost klasifikace průřezu - třída 1  $M_{c,Rd} = M_{pl,Rd}$   
 návrhová únosnost průřezu v ohybu  $M_{c,Rd} = n * W_{y,pl} * f_y / \gamma_{M0} = 1 * 312190 * 210 / 1 / 1\,000\,000$   
 $M_{c,Rd} =$  65,56 kN.m  
 $M_{y,Ed} / M_{c,Rd} = 44,59 / 65,56 =$  0,68  $<$  1,00 **VYHOVUJE**

Posouzení MSÚ - smyková únosnost klasifikace průřezu - třída 1  $V_{c,Rd} = V_{pl,Rd}$   
 smyková plocha  $A_{v,z} = A - 2*b*t_f + (t_w + 2*r)*t_f = 4455 - 2*102*13 + (9+2*5,4)*13$   
 $A_{v,z} =$  2060 mm<sup>2</sup>  
 návrhová plastická únosnost ve smyku  $V_{pl,z,Rd} = n * A_{v,z} * (f_y / \sqrt{3}) / \gamma_{M0} = 1 * 2\,060 * (210 / \sqrt{3}) / 1 / 1\,000$   
 $V_{pl,z,Rd} =$  249,81 kN  
 $V_{z,Ed} / V_{pl,z,Rd} = 49,24 / 249,81 =$  0,20  $<$  1,00 **VYHOVUJE**

Posouzení MSP - průhyb dovolený průhyb  $\delta_{max} = L / 350 = 3,6225 / 350$   
 $\delta_{max} =$  10,4 mm  
 max.svislý průhyb (prostý nosník, spojitě zat.)  $w_{z,qk} = (5 * q_n * L^4) / (384 * E_{sd} * n * I_y)$   
 $w_{z,qk} = (5 * 19,35 * 3450^4) / (384 * 180000 * 1 * 34340500)$   
 $w_{z,qk} =$  5,8 mm  
 $w_{z,qk} / \delta_{max} = 5,77 / 10,35 =$  0,56  $<$  1,00 **VYHOVUJE**

Ocelové nosníky stropu NV 5a jsou vyhovující dle ČSN EN 1993-1-1

Využití průřezu nosníku dle MSÚ 68% Využití průřezu nosníku dle MSP 56%  
 Využití průřezu nosníku dle MSS 20%

**POSUDEK OCELOVÝCH PRVKŮ ŽB STROPŮ**

|             |  |   |                          |                                    |
|-------------|--|---|--------------------------|------------------------------------|
| <b>NV 8</b> | <b>Prostě uložený ocel. nosník stropu</b>    | <b>POČET SPOLUPŮSOBÍCÍCH NOSNÍKŮ <math>n =</math></b> | <b>1</b>                 | <b>KS</b>                          |
| <b>I240</b> | ly S235 mez kluzu / modul pružnosti          | $f_y =$   | 235,0 MPa                | $E_{sd} =$ 210000 MPa              |
|             | Průřez (I 240) plocha průřezu / vlastní váha | $A =$   | 4610 mm <sup>2</sup>     | $m =$ 36,2 kg.m <sup>-1</sup>      |
|             | rozměry - výška / šířka                      | $h =$   | 240 mm                   | $b =$ 106 mm                       |
|             | tloušťky - stojina / pásnice                 | $t_w =$   | 8,7 mm                   | $t_f =$ 13,1 mm                    |
|             | průřezový modul                              | $W_{y,el} =$  | 353000 mm <sup>3</sup>   | $W_{z,el} =$ 41500 mm <sup>3</sup> |
|             | moment setrvačnosti                          | $I_y =$   | 42400000 mm <sup>4</sup> | $I_z =$ 2200000 mm <sup>4</sup>    |
|             | poloměr setrvačnosti                         | $i_y =$   | 95,9 mm                  | $i_z =$ 21,9 mm                    |
|             | plastický průřezový modul / poloměr zaoblení | $W_{y,pl} =$  | 410000 mm <sup>3</sup>   | $r =$ 8,7 mm                       |
| Geometrie:  | světlé rozpětí nosníku                       | $L_n =$   | 5,40 m                   | 5400 mm                            |
|             | rozpětí nosníku $L = 1,05 * L_n$             | $L =$   | 5,67 m                   | 5670 mm                            |
|             | zatežovací šířka                             | $b_0 =$   | 1,53 m                   |                                    |

CELK.ZATÍŽENÍ STROPŮ -  $q_n / q_d$  - plošné:  $\gamma_g =$  1,35  $\gamma_q =$  1,50  $\gamma_{M0,1} =$  1,00

CELKOVÉ ZATÍŽENÍ STROPŮ -  $q_n / q_d$  - na osu zatížení [kN.m<sup>-1</sup>]

| popis                                | charakt. | $\gamma_{g,q}$ | návrhové |                   |
|--------------------------------------|----------|----------------|----------|-------------------|
| zatížení stropu - stálé NV7          | 9,16     | 1,35           | 12,36    | stávající podlaha |
| zatížení stropu - užité U1           | 7,65     | 1,50           | 11,48    |                   |
| váha zdiva překladu 0,25 x 0,20 x 18 | 0,90     | 1,35           | 1,22     |                   |
| vlastní váha nosníku                 | 0,36     | 1,35           | 0,49     |                   |

kombinace pro MSP / MSÚ  $q_k =$  18,07  $q_d =$  25,54 [kN.m<sup>-1</sup>]

Reakce nosníku (max. smyková síla  $V_{z,Ed}$ ):  $A = B = 1/2 * q_d * L = 1/2 * 25,54 * 5,67$   
 $A = B =$  72,41 kN (51,2)

Maximální výpočtový moment  $M_{y,Ed} = 1/8 * q_d * L^2 = 1/8 * 25,54 * 5,67^2$   
 $M_{y,Ed} =$  102,64 kN.m

Klasifikace průřezu parametr  $\varepsilon = \sqrt{(235 / f_y)} = \sqrt{(235 / 235)} =$  1,00  
 vnitřní tlačená část (stojina v prostém ohybu)  $c = h - 2*t_f - 2*r = 240 - 2*13,1 - 2*8,7 = 196,4$   
 $c / t_w = 196,4 / 8,7 = 22,57 < 72 * \varepsilon = 72,00$  Třída 1  
 vnitřní tlačená část (stojina v prostém ohybu)  $c = (b - t_w - 2*r) / 2 = (106 - 8,7 - 2*8,7) / 2 = 39,95$   
 $c / t_f = 40,0 / 13,1 = 3,05 < 9 * \varepsilon = 9,00$  Třída 1

Posouzení MSÚ - momentová únosnost klasifikace průřezu - třída 1  $M_{c,Rd} = M_{pl,Rd}$   
 návrhová únosnost průřezu v ohybu  $M_{c,Rd} = n * W_{y,pl} * f_y / \gamma_{M0} = 1 * 410000 * 235 / 1 / 1000000$   
 $M_{c,Rd} =$  96,35 kN.m  
 $M_{y,Ed} / M_{c,Rd} = 102,64 / 96,35 =$  1,07  $>$  1,00 **NEVYHOVUJE**

Posouzení MSÚ - smyková únosnost klasifikace průřezu - třída 1  $V_{c,Rd} = V_{pl,Rd}$   
 smyková plocha  $A_{v,z} = A - 2*b*t_f + (t_w + 2*r)*t_f = 4610 - 2*106*13,1 + (8,7 + 2*8,7)*13,1$   
 $A_{v,z} =$  2175 mm<sup>2</sup>  
 návrhová plastická únosnost ve smyku  $V_{pl,z,Rd} = n * A_{v,z} * (f_y / \sqrt{3}) / \gamma_{M0} = 1 * 2175 * (235 / \sqrt{3}) / 1 / 1000$   
 $V_{pl,z,Rd} =$  295,06 kN  
 $V_{z,Ed} / V_{pl,z,Rd} = 72,41 / 295,06 =$  0,25  $<$  1,00 **VYHOVUJE**

Posouzení MSP - průhyb dovolený průhyb  $\delta_{max} = L / 350 = 5,67 / 350$   
 $\delta_{max} =$  16,2 mm  
 max.svislý průhyb (prostý nosník, spojitě zat.)  $w_{z,qk} = (5 * q_n * L^4) / (384 * E_{sd} * n * I_y)$   
 $w_{z,qk} = (5 * 18,07 * 5400^4) / (384 * 210000 * 1 * 42400000)$   
 $w_{z,qk} =$  22,5 mm  
 $w_{z,qk} / \delta_{max} = 22,47 / 16,20 =$  1,39  $>$  1,00 **NEVYHOVUJE**

Ocelové nosníky stropu NV 8 jsou nevyhovující dle ČSN EN 1993-1-1

Využití průřezu nosníku dle MSÚ 107% Využití průřezu nosníku dle MSP 139%

Využití průřezu nosníku dle MSS 25%

Nosníky oslabeny korozí - úbytek spodní pásnice cca 1 mm - snížená únosnost!!

|             |  |   |                          |                                    |
|-------------|--|---|--------------------------|------------------------------------|
| <b>NV 9</b> | <b>Prostě uložený ocel. nosník stropu</b>    | <b>POČET SPOLUPŮSOBÍCÍCH NOSNÍKŮ <math>n =</math></b> | <b>1</b>                 | <b>KS</b>                          |
| <b>I240</b> | ly S235 mez kluzu / modul pružnosti          | $f_y =$   | 235,0 MPa                | $E_{sd} =$ 210000 MPa              |
|             | Průřez (I 240) plocha průřezu / vlastní váha | $A =$   | 4610 mm <sup>2</sup>     | $m =$ 36,2 kg.m <sup>-1</sup>      |
|             | rozměry - výška / šířka                      | $h =$   | 240 mm                   | $b =$ 106 mm                       |
|             | tloušťky - stojina / pásnice                 | $t_w =$   | 8,7 mm                   | $t_f =$ 13,1 mm                    |
|             | průřezový modul                              | $W_{y,el} =$  | 353000 mm <sup>3</sup>   | $W_{z,el} =$ 41500 mm <sup>3</sup> |
|             | moment setrvačnosti                          | $I_y =$   | 42400000 mm <sup>4</sup> | $I_z =$ 2200000 mm <sup>4</sup>    |
|             | poloměr setrvačnosti                         | $i_y =$   | 95,9 mm                  | $i_z =$ 21,9 mm                    |
|             | plastický průřezový modul / poloměr zaoblení | $W_{y,pl} =$  | 410000 mm <sup>3</sup>   | $r =$ 8,7 mm                       |
| Geometrie:  | světélé rozpětí nosníku                      | $L_n =$   | 5,40 m                   | $=$ 5400 mm                        |
|             | rozpětí nosníku $L = 1,05 * L_n$             | $L =$   | 5,67 m                   | $=$ 5670 mm                        |
|             | zatežovací šířka                             | $b_0 =$   | 1,60 m                   |                                    |

CELK.ZATÍŽENÍ STROPU -  $q_n / q_d$  - plošné.  $\gamma_g =$  1,35  $\gamma_q =$  1,50  $\gamma_{M0,1} =$  1,00

CELKOVÉ ZATÍŽENÍ STROPU -  $q_n / q_d$  - na osu zatížení [kN.m<sup>-1</sup>]

| popis                                | charakt.      | $\gamma_{g,q}$ | návrhové      |                       |
|--------------------------------------|---------------|----------------|---------------|-----------------------|
| zatížení stropu - stálé NV6          | 9,79          | 1,35           | 13,22         | stávající podlaha     |
| zatížení stropu - užitné U1          | 8,00          | 1,50           | 12,00         |                       |
| váha zdiva překlada 0,25 x 0,20 x 18 | 0,90          | 1,35           | 1,22          |                       |
| vlastní váha nosníku                 | 0,36          | 1,35           | 0,49          |                       |
| kombinace pro MSP / MSÚ              | $q_k =$ 19,05 |                | $q_d =$ 26,92 | [kN.m <sup>-1</sup> ] |

Reakce nosníku (max. smyková síla  $V_{z,Ed}$ ):  $A = B = 1/2 * q_d * L = 1/2 * 26,92 * 5,67$   
 $A = B =$  76,33 kN (54,0)

Maximální výpočtový moment  $M_{y,Ed} = 1/8 * q_d * L^2 = 1/8 * 26,92 * 5,67^2 * 5,67$   
 $M_{y,Ed} =$  108,19 kN.m

Klasifikace průřezu parametr  $\varepsilon = \sqrt{(235 / f_y)} = \sqrt{(235 / 235)} =$  1,00  
 vnitřní tlačená část (stojina v prostém ohybu)  $c = h - 2*t_f - 2*r = 240 - 2*13,1 - 2*8,7 = 196,4$   
 $c / t_w = 196,4 / 8,7 =$  22,57  $< 72 * \varepsilon =$  72,00 **Třída 1**  
 vnitřní tlačená část (stojina v prostém ohybu)  $c = (b - t_w - 2*r) / 2 = (106 - 8,7 - 2*8,7) / 2 = 39,95$   
 $c / t_f = 40,0 / 13,1 =$  3,05  $< 9 * \varepsilon =$  9,00 **Třída 1**

Posouzení MSÚ - momentová únosnost **klasifikace průřezu - třída 1**  $M_{c,Rd} = M_{pl,Rd}$   
 návrhová únosnost průřezu v ohybu  $M_{c,Rd} = n * W_{y,pl} * f_y / \gamma_{M0} = 1 * 410000 * 235 / 1 / 1000000$   
 $M_{c,Rd} =$  96,35 kN.m  
 $M_{y,Ed} / M_{c,Rd} = 108,19 / 96,35 =$  1,12  $>$  1,00 **NEVYHOVUJE**

Posouzení MSÚ - smyková únosnost **klasifikace průřezu - třída 1**  $V_{c,Rd} = V_{pl,Rd}$   
 smyková plocha  $A_{v,z} = A - 2*b*t_f + (t_w + 2*r)*t_f = 4610 - 2*106*13,1 + (8,7 + 2*8,7)*13,1$   
 $A_{v,z} =$  2175 mm<sup>2</sup>  
 návrhová plastická únosnost ve smyku  $V_{pl,z,Rd} = n * A_{v,z} * (f_y / \sqrt{3}) / \gamma_{M0} = 1 * 2175 * (235 / \sqrt{3}) / 1 / 1000$   
 $V_{pl,z,Rd} =$  295,06 kN  
 $V_{z,Ed} / V_{pl,z,Rd} = 76,33 / 295,06 =$  0,26  $<$  1,00 **VYHOVUJE**

Posouzení MSP - průhyb dovolený průhyb  $\delta_{max} = L / 350 = 5,67 / 350$   
 $\delta_{max} =$  16,2 mm  
 max.svislý průhyb (prostý nosník, spojitě zat.)  $w_{z,qk} = (5 * q_n * L^4) / (384 * E_{sd} * n * I_y)$   
 $w_{z,qk} = (5 * 19,05 * 5400^4) / (384 * 210000 * 1 * 42400000)$   
 $w_{z,qk} =$  23,7 mm  
 $w_{z,qk} / \delta_{max} = 23,69 / 16,20 =$  1,46  $>$  1,00 **NEVYHOVUJE**

Ocelové nosníky stropu NV 9 jsou nevyhovující dle ČSN EN 1993-1-1

Využití průřezu nosníku dle MSÚ 112% Využití průřezu nosníku dle MSP 146%

Využití průřezu nosníku dle MSS 26%

Nosníky oslabeny korozí - úbytek spodní pásnice cca 1 mm - snížená únosnost!!

**NV10/2 Prostě uložený ocel. nosník stropu****POČET SPOLUPŮSOBÍCÍCH NOSNÍKŮ  $n = 2$  KS**

|                  |  |                             |                          |              |                         |            |
|------------------|--|-----------------------------|--------------------------|--------------|-------------------------|------------|
| <b>IPE 200</b>   | ly S235                                      | mez kluzu / modul pružnosti | $f_y =$                  | 235,0 MPa    | $E_{sd} =$              | 210000 MPa |
| Průřez (IPE 200) | plocha průřezu / vlastní váha                | $A =$                       | 2850 mm <sup>2</sup>     | $m =$        | 22,4 kg.m <sup>-1</sup> |            |
|                  | rozměry - výška / šířka                      | $h =$                       | 200 mm                   | $b =$        | 100 mm                  |            |
|                  | tloušťky - stojina / pásnice                 | $t_w =$                     | 5,6 mm                   | $t_f =$      | 8,5 mm                  |            |
|                  | průřezový modul                              | $W_{y,el} =$                | 194000 mm <sup>3</sup>   | $W_{z,el} =$ | 28500 mm <sup>3</sup>   |            |
|                  | moment setrvačnosti                          | $I_y =$                     | 19400000 mm <sup>4</sup> | $I_z =$      | 1420000 mm <sup>4</sup> |            |
|                  | poloměr setrvačnosti                         | $i_y =$                     | 82,6 mm                  | $i_z =$      | 22,4 mm                 |            |
|                  | plastický průřezový modul / poloměr zaoblení | $W_{y,pl} =$                | 220000 mm <sup>3</sup>   | $r =$        | 12,0 mm                 |            |
| Geometrie:       | světélé rozpětí nosníku                      | $L_n =$                     | 3,80 m                   | $=$          | 3800 mm                 |            |
|                  | rozpětí nosníku $L = 1,05 * L_n$             | $L =$                       | 3,99 m                   | $=$          | 3990 mm                 |            |
|                  | zatežovací šířka                             | $b_0 =$                     | 1,41 m                   |              |                         |            |

CELK.ZATÍŽENÍ STROPU -  $q_n / q_d$  - plošné.  $\gamma_g = 1,35$   $\gamma_q = 1,50$   $\gamma_{M0,1} = 1,00$ CELKOVÉ ZATÍŽENÍ STROPU -  $q_n / q_d$  - na osu zatížení [kN.m<sup>-1</sup>]

| popis                            | charakt.      | $\gamma_{g,q}$ | návrhové      |                       |
|----------------------------------|---------------|----------------|---------------|-----------------------|
| zatížení stropu - stálé NV10     | 3,24          | 1,35           | 4,37          | stávající podlaha     |
| zatížení stropu - užitné U2      | 4,23          | 1,50           | 6,35          |                       |
| váha zdiva stěny 0,40 x 3,3 x 18 | 23,76         | 1,35           | 32,08         |                       |
| vlastní váha nosníku             | 0,45          | 1,35           | 0,60          |                       |
| kombinace pro MSP / MSÚ          | $q_k =$ 31,67 |                | $q_d =$ 43,39 | [kN.m <sup>-1</sup> ] |

Reakce nosníku (max. smyková síla  $V_{z,Ed}$ ):  $A = B = 1/2 * q_d * L = 1/2 * 43,39 * 3,99$   
 $A = B = 86,57$  kN (63,2)Maximální výpočtový moment  $M_{y,Ed} = 1/8 * q_d * L^2 = 1/8 * 43,39 * 3,99^2 * 3,99$   
 $M_{y,Ed} = 86,36$  kN.m

Klasifikace průřezu parametr  $\varepsilon = \sqrt{(235 / f_y)} = \sqrt{(235 / 235)} = 1,00$

vnitřní tlačena část (stojina v prostém ohybu)  $c = h - 2*t_f - 2*r = 200 - 2*8,5 - 2*12 = 159$   
 $c / t_w = 159,0 / 5,6 = 28,39 < 72 * \varepsilon = 72,00$  Třída 1

vnitřní tlačena část (stojina v prostém ohybu)  $c = (b - t_w - 2*r) / 2 = (100 - 5,6 - 2*12) / 2 = 35,2$   
 $c / t_f = 35,2 / 8,5 = 4,14 < 9 * \varepsilon = 9,00$  Třída 1

Posouzení MSÚ - momentová únosnost klasifikace průřezu - třída 1  $M_{c,Rd} = M_{pl,Rd}$

návrhová únosnost průřezu v ohybu  $M_{c,Rd} = n * W_{y,pl} * f_y / \gamma_{M0} = 2 * 220000 * 235 / 1 / 1000000$   
 $M_{c,Rd} = 103,40$  kN.m  
 $M_{y,Ed} / M_{c,Rd} = 86,36 / 103,40 = 0,84 < 1,00$  **vyhovuje**

Posouzení MSÚ - smyková únosnost klasifikace průřezu - třída 1  $V_{c,Rd} = V_{pl,Rd}$

smyková plocha  $A_{v,z} = A - 2*b*t_f + (t_w + 2*r)*t_f = 2850 - 2*100*8,5 + (5,6 + 2*12)*8,5$   
 $A_{v,z} = 1402$  mm<sup>2</sup>

návrhová plastická únosnost ve smyku  $V_{pl,z,Rd} = n * A_{v,z} * (f_y / \sqrt{3}) / \gamma_{M0} = 2 * 1402 * (235 / \sqrt{3}) / 1 / 1000$   
 $V_{pl,z,Rd} = 380,33$  kN  
 $V_{z,Ed} / V_{pl,z,Rd} = 86,57 / 380,33 = 0,23 < 1,00$  **vyhovuje**

Posouzení MSP - průhyb dovolený průhyb  $\delta_{max} = L / 350 = 3,99 / 350$   
 $\delta_{max} = 11,4$  mm

max.svislý průhyb (prostý nosník, spojitě zat.)  $w_{z,qk} = (5 * q_n * L^4) / (384 * E_{sd} * n * I_y)$   
 $w_{z,qk} = (5 * 31,67 * 3800^4) / (384 * 210000 * 2 * 19400000)$   
 $w_{z,qk} = 10,6$  mm  
 $w_{z,qk} / \delta_{max} = 10,55 / 11,40 = 0,93 < 1,00$  **vyhovuje**

Ocelové nosníky překladu NV10/2 jsou vyhovující dle ČSN EN 1993-1-1

Využití průřezu nosníku dle MSÚ 84% Využití průřezu nosníku dle MSP 93%

Využití průřezu nosníku dle MSS 23%

Nosníky oslabeny korozí - úbytek spodní pásnice cca 0,5 mm - mírně snížená únosnost!!

**NV10/2 Prostě uložený ocel. nosník stropu****POČET SPOLUPŮSOBÍCÍCH NOSNÍKŮ  $n = 2$  KS**

|                |  |                                     |                                    |                       |
|----------------|--|-------------------------------------|------------------------------------|-----------------------|
| <b>U 180</b>   | ly S235                                      | mez kluzu / modul pružnosti         | $f_y = 235,0$ MPa                  | $E_{sd} = 210000$ MPa |
| Průřez (U 180) | plocha průřezu / vlastní váha                | $A = 2800$ mm <sup>2</sup>          | $m = 22,0$ kg.m <sup>-1</sup>      |                       |
|                | rozměry - výška / šířka                      | $h = 180$ mm                        | $b = 70$ mm                        |                       |
|                | tloušťky - stojina / pásnice                 | $t_w = 8,0$ mm                      | $t_f = 11,0$ mm                    |                       |
|                | průřezový modul                              | $W_{y,el} = 150000$ mm <sup>3</sup> | $W_{z,el} = 22400$ mm <sup>3</sup> |                       |
|                | moment setrvačnosti                          | $I_y = 13500000$ mm <sup>4</sup>    | $I_z = 1480000$ mm <sup>4</sup>    |                       |
|                | poloměr setrvačnosti                         | $i_y = 69,6$ mm                     | $i_z = 20,1$ mm                    |                       |
|                | plastický průřezový modul / poloměr zaoblení | $W_{y,pl} = 180000$ mm <sup>3</sup> | $r = 11,0$ mm                      |                       |
| Geometrie:     | světélé rozpětí nosníku                      | $L_n = 5,42$ m                      | $= 5420$ mm                        |                       |
|                | rozpětí nosníku $L = 1,05 * L_n$             | $L = 5,69$ m                        | $= 5691$ mm                        |                       |
|                | zatežovací šířka                             | $b_0 = 1,23$ m                      |                                    |                       |

CELK.ZATÍŽENÍ STROPU -  $q_n / q_d$  - plošné.  $\gamma_g = 1,35$   $\gamma_q = 1,50$   $\gamma_{M0,1} = 1,00$ CELKOVÉ ZATÍŽENÍ STROPU -  $q_n / q_d$  - na osu zatížení [kN.m<sup>-1</sup>]

| popis                        | charakt.     | $\gamma_{g,q}$ | návrhové                           |                   |
|------------------------------|--------------|----------------|------------------------------------|-------------------|
| zatížení stropu - stálé NV10 | 2,82         | 1,35           | 3,81                               | stávající podlaha |
| zatížení stropu - užitné U2  | 3,69         | 1,50           | 5,54                               |                   |
| vlastní váha nosníku         | 0,44         | 1,35           | 0,59                               |                   |
| kombinace pro MSP / MSÚ      | $q_k = 6,95$ |                | $q_d = 9,94$ [kN.m <sup>-1</sup> ] |                   |

Reakce nosníku (max. smyková síla  $V_{z,Ed}$ ):  $A = B = 1/2 * q_d * L = 1/2 * 9,94 * 5,69$   
 $A = B = 28,28$  kN (19,8)

Maximální výpočtový moment  $M_{y,Ed} = 1/8 * q_d * L^2 = 1/8 * 9,94 * 5,69^2 * 5,69$   
 $M_{y,Ed} = 40,24$  kN.m

Klasifikace průřezu parametr  $\varepsilon = \sqrt{235 / f_y} = \sqrt{235 / 235} = 1,00$   
 vnitřní tlačená část (stojina v prostém ohybu)  $c = h - 2*t_f - 2*r = 180 - 2*11 - 2*11 = 136$   
 $c / t_w = 136,0 / 8,0 = 17,00 < 72 * \varepsilon = 72,00$  Třída 1  
 vnitřní tlačená část (stojina v prostém ohybu)  $c = (b - t_w - 2*r) / 2 = (70 - 8 - 2*11) / 2 = 20$   
 $c / t_f = 20,0 / 11,0 = 1,82 < 9 * \varepsilon = 9,00$  Třída 1

Posouzení MSÚ - momentová únosnost klasifikace průřezu - třída 1  $M_{c,Rd} = M_{pl,Rd}$   
 návrhová únosnost průřezu v ohybu  $M_{c,Rd} = n * W_{y,pl} * f_y / \gamma_{M0} = 2 * 180000 * 235 / 1 / 1000000$   
 $M_{c,Rd} = 84,60$  kN.m  
 $M_{y,Ed} / M_{c,Rd} = 40,24 / 84,60 = 0,48 < 1,00$  **VYHOVUJE**

Posouzení MSÚ - smyková únosnost klasifikace průřezu - třída 1  $V_{c,Rd} = V_{pl,Rd}$   
 smyková plocha  $A_{v,z} = A - 2*b*t_f + (t_w + 2*r)*t_f = 2800 - 2*70*11 + (8+2*11)*11$   
 $A_{v,z} = 1590$  mm<sup>2</sup>  
 návrhová plastická únosnost ve smyku  $V_{pl,z,Rd} = n * A_{v,z} * (f_y / \sqrt{3}) / \gamma_{M0} = 2 * 1590 * (235 / \sqrt{3}) / 1 / 1000$   
 $V_{pl,z,Rd} = 431,45$  kN  
 $V_{z,Ed} / V_{pl,z,Rd} = 28,28 / 431,45 = 0,07 < 1,00$  **VYHOVUJE**

Posouzení MSP - průhyb dovolený průhyb  $\delta_{max} = L / 350 = 5,691 / 350$   
 $\delta_{max} = 16,3$  mm  
 max.svislý průhyb (prostý nosník, spojitě zat.)  $w_{z,qk} = (5 * q_n * L^4) / (384 * E_{sd} * n * I_y)$   
 $w_{z,qk} = (5 * 6,95 * 5420^4) / (384 * 210000 * 2 * 13500000)$   
 $w_{z,qk} = 13,8$  mm  
 $w_{z,qk} / \delta_{max} = 13,78 / 16,26 = 0,85 < 1,00$  **VYHOVUJE**

Ocelové nosníky stropu NV10/2 jsou vyhovující dle ČSN EN 1993-1-1

Využití průřezu nosníku dle MSÚ 48% Využití průřezu nosníku dle MSP 85%

Využití průřezu nosníku dle MSS 7%

Nosníky oslabeny korozí - úbytek spodní pásnice cca 0,5 mm - mírně snížená únosnost!!

**NV12/2 Prostě uložený ocel. nosník stropu****POČET SPOLUPŮSOBÍCÍCH NOSNÍKŮ  $n = 2$  KS**

|                  |         |  |              |                          |              |                          |
|------------------|---------|--|--------------|--------------------------|--------------|--------------------------|
| <b>IPE 180</b>   | ly S235 | mez kluzu / modul pružnosti                  | $f_y =$      | 235,0 MPa                | $E_{sd} =$   | 210000 MPa               |
| Průřez (IPE 180) |         | plocha průřezu / vlastní váha                | $A =$        | 2390 mm <sup>2</sup>     | $m =$        | 18,8 kg.m <sup>-1</sup>  |
|                  |         | rozměry - výška / šířka                      | $h =$        | 180 mm                   | $b =$        | 91 mm                    |
|                  |         | tloušťky - stojina / pásnice                 | $t_w =$      | 5,3 mm                   | $t_f =$      | 8,0 mm                   |
|                  |         | průřezový modul                              | $W_{y,el} =$ | 146000 mm <sup>3</sup>   | $W_{z,el} =$ | 22200 mm <sup>3</sup>    |
|                  |         | moment setrvačnosti                          | $I_y =$      | 13200000 mm <sup>4</sup> | $I_z =$      | 10100000 mm <sup>4</sup> |
|                  |         | poloměr setrvačnosti                         | $i_y =$      | 74,2 mm                  | $i_z =$      | 20,5 mm                  |
|                  |         | plastický průřezový modul / poloměr zaoblení | $W_{y,pl} =$ | 166000 mm <sup>3</sup>   | $r =$        | 9,0 mm                   |
| Geometrie:       |         | světélé rozpětí nosníku                      | $L_n =$      | 3,55 m                   |              | 3550 mm                  |
|                  |         | rozpětí nosníku $L = 1,05 * L_n$             | $L =$        | 3,73 m                   |              | 3727,5 mm                |
|                  |         | zatežovací šířka                             | $b_0 =$      | 1,76 m                   |              |                          |

CELK.ZATÍŽENÍ STROPU -  $q_n / q_d$  - plošné. $\gamma_g = 1,35$  $\gamma_q = 1,50$  $\gamma_{M0,1} = 1,00$ CELKOVÉ ZATÍŽENÍ STROPU -  $q_n / q_d$  - na osu zatížení [kN.m<sup>-1</sup>]

| popis                        | charakt.      | $\gamma_{g,q}$ | návrhové      |                       |
|------------------------------|---------------|----------------|---------------|-----------------------|
| zatížení stropu - stálé NV12 | 9,89          | 1,35           | 13,35         | stávající podlaha     |
| zatížení stropu - užité U1   | 8,80          | 1,50           | 13,20         |                       |
| vlastní váha nosníku         | 0,38          | 1,35           | 0,51          |                       |
| kombinace pro MSP / MSÚ      | $q_k = 19,07$ |                | $q_d = 27,06$ | [kN.m <sup>-1</sup> ] |

Reakce nosníku (max. smyková síla  $V_{z,Ed}$ ):

$$A = B = 1/2 * q_d * L = 1/2 * 27,06 * 3,73$$

$$A = B = 50,43 \text{ kN} \quad (35,5)$$

Maximální výpočtový moment

$$M_{y,Ed} = 1/8 * q_d * L^2 = 1/8 * 27,06 * 3,73^2 * 3,73$$

$$M_{y,Ed} = 47,00 \text{ kN.m}$$

Klasifikace průřezu

$$\text{parametr } \varepsilon = \sqrt{235 / f_y} = \sqrt{235 / 235} = 1,00$$

vnitřní tlačená část (stojina v prostém ohybu)

$$c = h - 2*t_f - 2*r = 180 - 2*8 - 2*9 = 146$$

$$c / t_w = 146,0 / 5,3 = 27,55 < 72 * \varepsilon = 72,00 \quad \text{Třída 1}$$

vnitřní tlačená část (stojina v prostém ohybu)

$$c = (b - t_w - 2*r) / 2 = (91 - 5,3 - 2*9) / 2 = 33,85$$

$$c / t_f = 33,9 / 8,0 = 4,23 < 9 * \varepsilon = 9,00 \quad \text{Třída 1}$$

Posouzení MSÚ - momentová únosnost

klasifikace průřezu - třída 1

$$M_{c,Rd} = M_{pl,Rd}$$

návrhová únosnost průřezu v ohybu

$$M_{c,Rd} = n * W_{y,pl} * f_y / \gamma_{M0} = 2 * 166000 * 235 / 1 / 1000000$$

$$M_{c,Rd} = 78,02 \text{ kN.m}$$

$$M_{y,Ed} / M_{c,Rd} = 47,00 / 78,02 = 0,60 < 1,00 \quad \text{VYHOVUJE}$$

Posouzení MSÚ - smyková únosnost

klasifikace průřezu - třída 1

$$V_{c,Rd} = V_{pl,Rd}$$

smyková plocha

$$A_{v,z} = A - 2*b*t_f + (t_w + 2*r)*t_f = 2390 - 2*91*8 + (5,3+2*9)*8$$

$$A_{v,z} = 1120 \text{ mm}^2$$

návrhová plastická únosnost ve smyku

$$V_{pl,z,Rd} = n * A_{v,z} * (f_y / \sqrt{3}) / \gamma_{M0} = 2 * 1120 * (235 / \sqrt{3}) / 1 / 1000$$

$$V_{pl,z,Rd} = 304,03 \text{ kN}$$

$$V_{z,Ed} / V_{pl,z,Rd} = 50,43 / 304,03 = 0,17 < 1,00 \quad \text{VYHOVUJE}$$

Posouzení MSP - průhyb

dovolený průhyb

$$\delta_{max} = L / 350 = 3,7275 / 350$$

$$\delta_{max} = 10,7 \text{ mm}$$

max.svislý průhyb (prostý nosník, spojitě zat.)

$$w_{z,qk} = (5 * q_n * L^4) / (384 * E_{sd} * n * I_y)$$

$$w_{z,qk} = (5 * 19,07 * 3550^4) / (384 * 210000 * 2 * 13200000)$$

$$w_{z,qk} = 7,1 \text{ mm}$$

$$w_{z,qk} / \delta_{max} = 7,11 / 10,65 = 0,67 < 1,00 \quad \text{VYHOVUJE}$$

Ocelové nosníky stropu NV12/2 jsou vyhovující dle ČSN EN 1993-1-1

Využití průřezu nosníku dle MSÚ 60%

Využití průřezu nosníku dle MSP 67%

Využití průřezu nosníku dle MSS 17%

Nosníky oslabeny korozí - úbytek spodní pásnice cca 0,5 mm - mírně snížená únosnost!!



**NV15/1 Prostě uložený ocel. nosník stropu****POČET SPOLUPŮSOBÍCÍCH NOSNÍKŮ  $n = 2$  KS**

|                |                |  |              |                          |              |                         |
|----------------|----------------|--|--------------|--------------------------|--------------|-------------------------|
| <b>IPN 220</b> | ly S235        | mez kluzu / modul pružnosti                  | $f_y =$      | 235,0 MPa                | $E_{sd} =$   | 210000 MPa              |
|                | Průřez (I 220) | plocha průřezu / vlastní váha                | $A =$        | 3950 mm <sup>2</sup>     | $m =$        | 31,0 kg.m <sup>-1</sup> |
|                |                | rozměry - výška / šířka                      | $h =$        | 220 mm                   | $b =$        | 98 mm                   |
|                |                | tloušťky - stojina / pásnice                 | $t_w =$      | 8,1 mm                   | $t_f =$      | 12,2 mm                 |
|                |                | průřezový modul                              | $W_{y,el} =$ | 278000 mm <sup>3</sup>   | $W_{z,el} =$ | 20300 mm <sup>3</sup>   |
|                |                | moment setrvačnosti                          | $I_y =$      | 30500000 mm <sup>4</sup> | $I_z =$      | 1620000 mm <sup>4</sup> |
|                |                | poloměr setrvačnosti                         | $i_y =$      | 87,9 mm                  | $i_z =$      | 20,3 mm                 |
|                |                | plastický průřezový modul / poloměr zaoblení | $W_{y,pl} =$ | 322000 mm <sup>3</sup>   | $r =$        | 8,1 mm                  |
| Geometrie:     |                | světélé rozpětí nosníku                      | $L_n =$      | 4,38 m                   |              | 4380 mm                 |
|                |                | rozpětí nosníku $L = 1,05 * L_n$             | $L =$        | 4,60 m                   |              | 4599 mm                 |
|                |                | zatežovací šířka                             | $b_0 =$      | 2,70 m                   |              |                         |

CELK.ZATÍŽENÍ STROPU -  $q_n / q_d$  - plošné. $\gamma_g = 1,35$  $\gamma_q = 1,50$  $\gamma_{M0,1} = 1,00$ CELKOVÉ ZATÍŽENÍ STROPU -  $q_n / q_d$  - na osu zatížení [kN.m<sup>-1</sup>]

| popis                                      | charakt.      | $\gamma_{g,q}$ | návrhové      |                       |
|--|---------------|----------------|---------------|-----------------------|
| zatížení stropu - stálé NV15 + ST 3        | 21,49         |                | 29,86         | stávající střecha     |
| zatížení stropu klimatické - již zahrnutno | 0,00          |                | 0,00          |                       |
| váha zdiva průvlaku 0,32 x 0,53 x 18       | 3,05          | 1,35           | 4,12          |                       |
| vlastní váha nosníku                       | 0,62          | 1,35           | 0,84          |                       |
| kombinace pro MSP / MSÚ                    | $q_k = 25,16$ |                | $q_d = 34,82$ | [kN.m <sup>-1</sup> ] |

Reakce nosníku (max. smyková síla  $V_{z,Ed}$ ):

$$A = B = 1/2 * q_d * L = 1/2 * 34,82 * 4,60$$

$$A = B = 80,07 \text{ kN} \quad (57,9)$$

Maximální výpočtový moment

$$M_{y,Ed} = 1/8 * q_d * L^2 = 1/8 * 34,82 * 4,60^2$$

$$M_{y,Ed} = 92,06 \text{ kN.m}$$

Klasifikace průřezu

$$\text{parametr } \varepsilon = \sqrt{235 / f_y} = \sqrt{235 / 235} = 1,00$$

vnitřní tlačená část (stojina v prostém ohybu)

$$c = h - 2*t_f - 2*r = 220 - 2*12,2 - 2*8,1 = 179,4$$

$$c / t_w = 179,4 / 8,1 = 22,15 < 72 * \varepsilon = 72,00 \quad \text{Třída 1}$$

vnitřní tlačená část (stojina v prostém ohybu)

$$c = (b - t_w - 2*r) / 2 = (98 - 8,1 - 2*8,1) / 2 = 36,85$$

$$c / t_f = 36,9 / 12,2 = 3,02 < 9 * \varepsilon = 9,00 \quad \text{Třída 1}$$

Posouzení MSÚ - momentová únosnost

klasifikace průřezu - třída 1

$$M_{c,Rd} = M_{pl,Rd}$$

návrhová únosnost průřezu v ohybu

$$M_{c,Rd} = n * W_{y,pl} * f_y / \gamma_{M0} = 2 * 322000 * 235 / 1 / 1000$$

$$M_{c,Rd} = 151,34 \text{ kN.m}$$

$$M_{y,Ed} / M_{c,Rd} = 92,06 / 151,34 = 0,61 < 1,00 \quad \text{VYHOVUJE}$$

Posouzení MSÚ - smyková únosnost

klasifikace průřezu - třída 1

$$V_{c,Rd} = V_{pl,Rd}$$

smyková plocha

$$A_{v,z} = A - 2*b*t_f + (t_w + 2*r)*t_f = 3950 - 2*98*12,2 + (8,1 + 2*8,1)*12,2$$

$$A_{v,z} = 1855 \text{ mm}^2$$

návrhová plastická únosnost ve smyku

$$V_{pl,z,Rd} = n * A_{v,z} * (f_y / \sqrt{3}) / \gamma_{M0} = 2 * 1855 * (235 / \sqrt{3}) / 1 / 1000$$

$$V_{pl,z,Rd} = 503,43 \text{ kN}$$

$$V_{z,Ed} / V_{pl,z,Rd} = 80,07 / 503,43 = 0,16 < 1,00 \quad \text{VYHOVUJE}$$

Posouzení MSP - průhyb

dovolený průhyb

$$\delta_{max} = L / 350 = 4,599 / 350$$

$$\delta_{max} = 13,1 \text{ mm}$$

max.svislý průhyb (prostý nosník, spojitě zat.)

$$w_{z,qk} = (5 * q_n * L^4) / (384 * E_{sd} * n * I_y)$$

$$w_{z,qk} = (5 * 25,16 * 4380^4) / (384 * 210000 * 2 * 30500000)$$

$$w_{z,qk} = 9,4 \text{ mm}$$

$$w_{z,qk} / \delta_{max} = 9,41 / 13,14 = 0,72 < 1,00 \quad \text{VYHOVUJE}$$

Ocelové nosníky překladu NV15/1 jsou vyhovující dle ČSN EN 1993-1-1

Využití průřezu nosníku dle MSÚ 61%

Využití průřezu nosníku dle MSP 72%

Využití průřezu nosníku dle MSS 16%

Nosníky oslabeny korozí - úbytek spodní pásnice cca 0,5 mm - mírně snížená únosnost!!

|   |  |   |                                 |                   |                             |
|---|--|---|---------------------------------|-------------------|-----------------------------|
| <b>NV 19</b>  | <b>Prostě uložený ocel. nosník stropu</b>    | <b>POČET SPOLUPŮSOBÍCÍCH NOSNÍKŮ</b>  | <b>n =</b>                      | <b>2</b>          | <b>KS</b>                   |
| <b>I240</b>   | ly S235 mez kluzu / modul pružnosti          | $f_y =$   | 235,0 MPa                       | $E_{sd} =$        | 210000 MPa                  |
|   | Průřez (I 240) plocha průřezu / vlastní váha | $A =$   | 4610 mm <sup>2</sup>            | $m =$             | 36,2 kg.m <sup>-1</sup>     |
|   | rozměry - výška / šířka                      | $h =$   | 240 mm                          | $b =$             | 106 mm                      |
|   | tloušťky - stojina / pásnice                 | $t_w =$   | 8,7 mm                          | $t_f =$           | 13,1 mm                     |
|   | průřezový modul                              | $W_{y,el} =$  | 353000 mm <sup>3</sup>          | $W_{z,el} =$      | 41500 mm <sup>3</sup>       |
|   | moment setrvačnosti                          | $I_y =$   | 42400000 mm <sup>4</sup>        | $I_z =$           | 2200000 mm <sup>4</sup>     |
|   | poloměr setrvačnosti                         | $i_y =$   | 95,9 mm                         | $i_z =$           | 21,9 mm                     |
|   | plastický průřezový modul / poloměr zaoblení | $W_{y,pl} =$  | 410000 mm <sup>3</sup>          | $r =$             | 8,7 mm                      |
| Geometrie:  | světlé rozpětí nosníku                       | $L_n =$   | 5,40 m                          |                   | 5400 mm                     |
|   | rozpětí nosníku $L = 1,05 * L_n$             | $L =$   | 5,67 m                          |                   | 5670 mm                     |
|   | zatežovací šířka                             | $b_0 =$   | 1,60 m                          |                   |                             |
| CELK.ZATÍŽENÍ STROPU - $q_n / q_d$ - plošné.                                  |  | $\gamma_g =$  | 1,35                            | $\gamma_q =$      | 1,50                        |
|   |  |   |                                 | $\gamma_{M0,1} =$ | 1,00                        |
| CELKOVÉ ZATÍŽENÍ STROPU - $q_n / q_d$ - na osu                                |  | zatížení [kN.m <sup>-1</sup> ]  |                                 |                   |                             |
|   | popis  | charakt.  | $\gamma_{g,q}$                  | návrhové          |                             |
|   | zatížení stropu - stálé NV19 + ST 3          | 12,59   |                                 | 17,50             | stávající střecha           |
|   | zatížení stropu klimatické - již zahrnutno   | 0,00  |                                 | 0,00              |                             |
|   | váha zdiva překlada 0,47 x 0,25 x 18         | 2,12  | 1,35                            | 2,86              |                             |
|   | vlastní váha nosníku                         | 0,72  | 1,35                            | 0,98              |                             |
| kombinace pro MSP / MSÚ   | $q_k =$                                      | 15,44   |                                 | $q_d =$           | 21,34 [kN.m <sup>-1</sup> ] |
| Reakce nosníku (max. smyková síla $V_{z,Ed}$ ):                               |  | $A = B = 1/2 * q_d * L = 1/2 * 21,34 * 5,67$<br>$A = B = 60,51$ kN (43,8)   |                                 |                   |                             |
| Maximální výpočtový moment  |  | $M_{y,Ed} = 1/8 * q_d * L^2 = 1/8 * 21,34 * 5,67^2$<br>$M_{y,Ed} = 85,77$ kN.m  |                                 |                   |                             |
| Klasifikace průřezu   |  | parametr $\varepsilon = \sqrt{235 / f_y} = \sqrt{235 / 235} = 1,00$   |                                 |                   |                             |
| vnitřní tlačená část (stojina v prostém ohybu)                                |  | $c = h - 2*t_f - 2*r = 240 - 2*13,1 - 2*8,7 = 196,4$<br>$c / t_w = 196,4 / 8,7 = 22,57 < 72 * \varepsilon = 72,00$ Třída 1  |                                 |                   |                             |
| vnitřní tlačená část (stojina v prostém ohybu)                                |  | $c = (b - t_w - 2*r) / 2 = (106 - 8,7 - 2*8,7) / 2 = 39,95$<br>$c / t_f = 40,0 / 13,1 = 3,05 < 9 * \varepsilon = 9,00$ Třída 1  |                                 |                   |                             |
| Posouzení MSÚ - momentová únosnost  |  | klasifikace průřezu - třída 1 $M_{c,Rd} = M_{pl,Rd}$  |                                 |                   |                             |
| návrhová únosnost průřezu v ohybu   |  | $M_{c,Rd} = n * W_{y,pl} * f_y / \gamma_{M0} = 2 * 410000 * 235 / 1 / 1000$<br>$M_{c,Rd} = 192,70$ kN.m<br>$M_{y,Ed} / M_{c,Rd} = 85,77 / 192,70 = 0,45 < 1,00$ <b>VYHOVUJE</b>   |                                 |                   |                             |
| Posouzení MSÚ - smyková únosnost  |  | klasifikace průřezu - třída 1 $V_{c,Rd} = V_{pl,Rd}$  |                                 |                   |                             |
| smyková plocha  |  | $A_{v,z} = A - 2*b*t_f + (t_w + 2*r)*t_f = 4610 - 2*106*13,1 + (8,7 + 2*8,7)*13,1$<br>$A_{v,z} = 2175$ mm <sup>2</sup>  |                                 |                   |                             |
| návrhová plastická únosnost ve smyku  |  | $V_{pl,z,Rd} = n * A_{v,z} * (f_y / \sqrt{3}) / \gamma_{M0} = 2 * 2175 * (235 / \sqrt{3}) / 1 / 1000$<br>$V_{pl,z,Rd} = 590,12$ kN<br>$V_{z,Ed} / V_{pl,z,Rd} = 60,51 / 590,12 = 0,10 < 1,00$ <b>VYHOVUJE</b>                 |                                 |                   |                             |
| Posouzení MSP - průhyb  |  | dovolený průhyb $\delta_{max} = L / 350 = 5,67 / 350$<br>$\delta_{max} = 16,2$ mm   |                                 |                   |                             |
| max.svislý průhyb (prostý nosník, spojitě zat.)                               |  | $w_{z,qk} = (5 * q_n * L^4) / (384 * E_{sd} * n * I_y)$<br>$w_{z,qk} = (5 * 15,44 * 5400^4) / (384 * 210000 * 2 * 42400000)$<br>$w_{z,qk} = 9,6$ mm<br>$w_{z,qk} / \delta_{max} = 9,60 / 16,20 = 0,59 < 1,00$ <b>VYHOVUJE</b> |                                 |                   |                             |
| Ocelové nosníky stropu NV 19 jsou vyhovující dle ČSN EN 1993-1-1              |  |   |                                 |                   |                             |
| Využití průřezu nosníku dle MSÚ   |  | 45%   | Využití průřezu nosníku dle MSP |                   | 59%                         |
| Využití průřezu nosníku dle MSS   |  | 10%   |                                 |                   |                             |
| Nosníky oslabeny korozí - úbytek spodní pásnice cca 1 mm - snížená únosnost!! |  |   |                                 |                   |                             |

**POSUDEK OCELOVÝCH PRVKŮ STROPŮ Z HURDIS DESEK****NV16 Prostě uložený ocel. nosník stropu****POČET SPOLUPŮSOBÍCÍCH NOSNÍKŮ  $n = 1$  KS**

|                |                |  |              |                          |              |                         |
|----------------|----------------|--|--------------|--------------------------|--------------|-------------------------|
| <b>IPN 200</b> | Iy S235        | mez kluzu / modul pružnosti                  | $f_y =$      | 235,0 MPa                | $E_{sd} =$   | 210000 MPa              |
|                | Průřez (I 200) | plocha průřezu / vlastní váha                | $A =$        | 3340 mm <sup>2</sup>     | $m =$        | 26,2 kg.m <sup>-1</sup> |
|                |                | rozměry - výška / šířka                      | $h =$        | 200 mm                   | $b =$        | 90 mm                   |
|                |                | tloušťky - stojina / pásnice                 | $t_w =$      | 7,5 mm                   | $t_f =$      | 11,3 mm                 |
|                |                | průřezový modul                              | $W_{y,el} =$ | 214000 mm <sup>3</sup>   | $W_{z,el} =$ | 25900 mm <sup>3</sup>   |
|                |                | moment setrvačnosti                          | $I_y =$      | 21400000 mm <sup>4</sup> | $I_z =$      | 1160000 mm <sup>4</sup> |
|                |                | poloměr setrvačnosti                         | $i_y =$      | 80,0 mm                  | $i_z =$      | 18,7 mm                 |
|                |                | plastický průřezový modul / poloměr zaoblení | $W_{y,pl} =$ | 248000 mm <sup>3</sup>   | $r =$        | 7,5 mm                  |
| Geometrie:     |                | světélé rozpětí nosníku                      | $L_n =$      | 4,10 m                   |              | 4100 mm                 |
|                |                | rozpětí nosníku $L = 1,05 * L_n$             | $L =$        | 4,31 m                   |              | 4305 mm                 |
|                |                | zatežovací šířka                             | $b_0 =$      | 1,42 m                   |              |                         |

CELK.ZATÍŽENÍ STROPU -  $q_n / q_d$  - plošné.  $\gamma_g = 1,35$   $\gamma_q = 1,50$   $\gamma_{M0,1} = 1,00$ CELKOVÉ ZATÍŽENÍ STROPU -  $q_n / q_d$  - na osu zatížení [kN.m<sup>-1</sup>]

| popis                                      | charakt.     | $\gamma_{g,q}$ | návrhové      |                       |
|--|--------------|----------------|---------------|-----------------------|
| zatížení stropu - stálé NV16 + ST 1        | 9,70         |                | 13,54         | stávající střecha     |
| zatížení stropu klimatické - již zahrnutno | 0,00         |                | 0,00          |                       |
| vlastní váha nosníku                       | 0,26         | 1,35           | 0,35          |                       |
| kombinace pro MSP / MSÚ                    | $q_k = 9,96$ |                | $q_d = 13,89$ | [kN.m <sup>-1</sup> ] |

Reakce nosníku (max. smyková síla  $V_{z,Ed}$ ):  $A = B = 1/2 * q_d * L = 1/2 * 13,89 * 4,31$   
 $A = B = 29,91$  kN (21,4)Maximální výpočtový moment  $M_{y,Ed} = 1/8 * q_d * L^2 = 1/8 * 13,89 * 4,31 * 4,31$   
 $M_{y,Ed} = 32,19$  kN.m

Klasifikace průřezu parametr  $\varepsilon = \sqrt{(235 / f_y)} = \sqrt{(235 / 235)} = 1,00$

vnitřní tlačená část (stojina v prostém ohybu)  $c = h - 2*t_f - 2*r = 200 - 2*11,3 - 2*7,5 = 162,4$   
 $c / t_w = 162,4 / 7,5 = 21,65 < 72 * \varepsilon = 72,00$  Třída 1

vnitřní tlačená část (stojina v prostém ohybu)  $c = (b - t_w - 2*r) / 2 = (90 - 7,5 - 2*7,5) / 2 = 33,75$   
 $c / t_f = 33,8 / 11,3 = 2,99 < 9 * \varepsilon = 9,00$  Třída 1

Posouzení MSÚ - momentová únosnost klasifikace průřezu - třída 1  $M_{c,Rd} = M_{pl,Rd}$

návrhová únosnost průřezu v ohybu  $M_{c,Rd} = n * W_{y,pl} * f_y / \gamma_{M0} = 1 * 248000 * 235 / 1 / 1000000$   
 $M_{c,Rd} = 58,28$  kN.m  
 $M_{y,Ed} / M_{c,Rd} = 32,19 / 58,28 = 0,55 < 1,00$  **VYHOVUJE**

Posouzení MSÚ - smyková únosnost klasifikace průřezu - třída 1  $V_{c,Rd} = V_{pl,Rd}$

smyková plocha  $A_{v,z} = A - 2*b*t_f + (t_w + 2*r)*t_f = 3340 - 2*90*11,3 + (7,5 + 2*7,5)*11,3$   
 $A_{v,z} = 1560$  mm<sup>2</sup>  
 návrhová plastická únosnost ve smyku  $V_{pl,z,Rd} = n * A_{v,z} * (f_y / \sqrt{3}) / \gamma_{M0} = 1 * 1560 * (235 / \sqrt{3}) / 1 / 1000$   
 $V_{pl,z,Rd} = 211,69$  kN  
 $V_{z,Ed} / V_{pl,z,Rd} = 29,91 / 211,69 = 0,14 < 1,00$  **VYHOVUJE**

Posouzení MSP - průhyb dovolený průhyb  $\delta_{max} = L / 350 = 4,305 / 350$   
 $\delta_{max} = 12,3$  mm

max.svislý průhyb (prostý nosník, spojitě zat.)  $w_{z,qk} = (5 * q_n * L^4) / (384 * E_{sd} * n * I_y)$   
 $w_{z,qk} = (5 * 9,96 * 4100^4) / (384 * 210000 * 1 * 21400000)$   
 $w_{z,qk} = 8,2$  mm  
 $w_{z,qk} / \delta_{max} = 8,16 / 12,30 = 0,66 < 1,00$  **VYHOVUJE**

Ocelové nosníky překladu NV16 jsou vyhovující dle ČSN EN 1993-1-1

Využití průřezu nosníku dle MSÚ 55% Využití průřezu nosníku dle MSP 66%

Využití průřezu nosníku dle MSS 14%

Nosníky oslabeny korozí - úbytek spodní pásnice cca 0,5 mm - mírně snížená únosnost!!

# POSUDEK STÁVAJÍCÍCH ŽEL. BET. STROPŮ

## PZD STÁVAJÍCÍ SKLADBA PODLAHY

### NV 6 - stropní žb deska

výztuž: 3  $\phi$  V 10

C20/25

světélé rozpětí žb desky  $l_n = 2,85$  m = 2850 mmtloušťka desky  $h_f = 0,11$  m = 105 mmzatěžovací šířka  $b = 0,30$  mšířka podpory  $t_1 = 0,30$  m  $t_2 = 0,30$  mÚčinné rozpětí nosníku  $L_{eff} = l_n + a_1 + a_2$  $L_{eff} = 2,955$  mCELKOVÉ ZATÍŽENÍ STROPU -  $q_n / q_d$  - plošné  $\gamma_g = 1,35$   $\gamma_q = 1,50$   $k_{mod} = 0,80$ ZS6 stálé zatížení  $g_k = 6,12$  [kN.m<sup>-2</sup>]ZU1 užité zatížení  $q_{ku} = 5,00$  [kN.m<sup>-2</sup>]CELKOVÉ ZATÍŽENÍ STROPU -  $q_k / q_d$  - osově zatížení [kN.m<sup>-1</sup>]

| popis                                    | charakt. | $\gamma_f$ | návrhové |
|--|----------|------------|----------|
| plošné stropu na osu desky               | 3,34     |            | 4,73     |
| vlastní váha desky - zahrnuta v zatížení | 0,00     | 1,35       | 0,00     |

 $q_n = 3,34$   $q_d = 4,73$  [kN.m<sup>-1</sup>]

dle TP 51, tab. C35 - Prostý nosník - zatížení spojitě

Reakce nosníku (max.smyková síla)  $A = B = 1/2 * q_d * L_{eff} = 1/2 * 4,73 * 2,96$  $V_{z,Ed} = A = B = 6,99$  kNMaximální výpočtový moment  $M_{y,Ed} = 1/8 * q_d * L_{eff}^2 = 1/8 * 4,73 * 2,96^2$  $M_{y,Ed} = 5,16$  kN.mPosouzení MSÚ - momentová únosnost  $M_{c,Rd}$  (viz příloha - Beton EC)celkový moment únosnosti  $M_{c,Rd} = 5,24$  kN.m $M_{y,Ed} / M_{c,Rd} = 5,16 / 5,24 = 0,98 < 1,00$  **VYHOVUJE**

Posouzení MSÚ - smyková únosnost

deska bez hupů

celková únosnost ve smyku  $V_{z,Rd}$  (viz příloha - Beton EC) $V_{z,Rd} = 31,72$  kN $V_{z,Ed} / V_{z,Rd} = 6,99 / 31,72 = 0,22 < 1,00$  **VYHOVUJE**

Stávající stropní deska NV 6 nevyhovuje na celkové zatížení.

## PZD STÁVAJÍCÍ SKLADBA PODLAHY

### NV 7 - stropní žb deska

výztuž: 5  $\phi$  V 10

C20/25

světélé rozpětí žb desky  $l_n = 2,65$  m = 2650 mmtloušťka desky  $h_f = 0,10$  m = 100 mmzatěžovací šířka  $b = 0,60$  mšířka podpory  $t_1 = 0,30$  m  $t_2 = 0,30$  mÚčinné rozpětí nosníku  $L_{eff} = l_n + a_1 + a_2$  $L_{eff} = 2,75$  mCELKOVÉ ZATÍŽENÍ STROPU -  $q_n / q_d$  - plošné  $\gamma_g = 1,35$   $\gamma_q = 1,50$   $k_{mod} = 0,80$ ZS7 stálé zatížení  $g_k = 5,99$  [kN.m<sup>-2</sup>]ZU1 užité zatížení  $q_{ku} = 5,00$  [kN.m<sup>-2</sup>]CELKOVÉ ZATÍŽENÍ STROPU -  $q_k / q_d$  - osově zatížení [kN.m<sup>-1</sup>]

| popis                                    | charakt. | $\gamma_f$ | návrhové |
|--|----------|------------|----------|
| plošné stropu na osu desky               | 6,59     |            | 9,35     |
| vlastní váha desky - zahrnuta v zatížení | 0,00     | 1,35       | 0,00     |

 $q_n = 6,59$   $q_d = 9,35$  [kN.m<sup>-1</sup>]

dle TP 51, tab. C35 - Prostý nosník - zatížení spojitě

Reakce nosníku (max.smyková síla)  $A = B = 1/2 * q_d * L_{eff} = 1/2 * 9,35 * 2,75$  $V_{z,Ed} = A = B = 12,85$  kNMaximální výpočtový moment  $M_{y,Ed} = 1/8 * q_d * L_{eff}^2 = 1/8 * 9,35 * 2,75^2$  $M_{y,Ed} = 8,84$  kN.mPosouzení MSÚ - momentová únosnost  $M_{c,Rd}$  (viz příloha - Beton EC)celkový moment únosnosti  $M_{c,Rd} = 5,24$  kN.m $M_{y,Ed} / M_{c,Rd} = 8,84 / 5,24 = 1,69 > 1,00$  **NEVYHOVUJE**

Posouzení MSÚ - smyková únosnost

deska bez hupů

celková únosnost ve smyku  $V_{z,Rd}$  (viz příloha - Beton EC) $V_{z,Rd} = 31,72$  kN $V_{z,Ed} / V_{z,Rd} = 12,85 / 31,72 = 0,41 < 1,00$  **VYHOVUJE**

Stávající stropní deska NV 7 vyhovuje na stávající zatížení.

**PZD** STÁVAJÍCÍ SKLADBA PODLAHY**NV 10** - stropní žb deskavýztuž: 2  $\phi$  E 5**C20/25**

|                          |                             |         |         |         |
|--------------------------|-----------------------------|---------|---------|---------|
| světélé rozpětí žb desky | $l_n =$                     | 1,09 m  | =       | 1090 mm |
| tloušťka desky           | $h_f =$                     | 0,09 m  | =       | 85 mm   |
| zatěžovací šířka         | $b =$                       | 0,30 m  |         |         |
| šířka podpory            | $t_1 =$                     | 0,15 m  | $t_2 =$ | 0,30 m  |
| Účinné rozpětí nosníku   | $L_{eff} = l_n + a_1 + a_2$ |         |         |         |
|                          | $L_{eff} =$                 | 1,175 m |         |         |

|  |              |                            |              |      |             |      |
|--|--------------|----------------------------|--------------|------|-------------|------|
| CELKOVÉ ZATÍŽENÍ STROPU - $q_n / q_d$ - plošné | $\gamma_g =$ | 1,35                       | $\gamma_q =$ | 1,50 | $k_{mod} =$ | 0,80 |
| stálé zatížení                                 | $g_k =$      | 2,30 [kN.m <sup>-2</sup> ] |              |      |             |      |
| užitné zatížení                                | $q_{ku} =$   | 5,00 [kN.m <sup>-2</sup> ] |              |      |             |      |

CELKOVÉ ZATÍŽENÍ STROPU -  $q_k / q_d$  - osově zatížení [kN.m<sup>-1</sup>]

| popis                                    | charakt. | $\gamma_f$ | návrhové                           |
|--|----------|------------|------------------------------------|
| plošné stropu na osu desky               | 2,19     |            | 3,18                               |
| vlastní váha desky - zahrnuta v zatížení | 0,00     | 1,35       | 0,00                               |
| $q_n =$                                  | 2,19     |            | $q_d =$ 3,18 [kN.m <sup>-1</sup> ] |

dle TP 51, tab. C35 - Prostý nosník - zatížení spojitě

Reakce nosníku (max.smyková síla)  $A = B = 1/2 * q_d * L_{eff} = 1/2 * 3,18 * 1,18$ 

$$V_{z,Ed} = A = B = 1,87 \text{ kN}$$

Maximální výpočtový moment

$$M_{y,Ed} = 1/8 * q_d * L_{eff}^2 = 1/8 * 3,18 * 1,18^2$$

$$M_{y,Ed} = 0,55 \text{ kN.m}$$

Posouzení MSÚ - momentová únosnost

 $M_{c,Rd}$  (viz příloha - Beton EC)celkový moment únosnosti  $M_{c,Rd} = 5,24 \text{ kN.m}$ 

$$M_{y,Ed} / M_{c,Rd} = 0,55 / 5,24 = 0,10 < 1,00 \text{ VYHOVUJE}$$

Posouzení MSÚ - smyková únosnost

deska bez hupů

celková únosnost ve smyku  $V_{z,Rd} =$  (viz příloha - Beton EC)

$$V_{z,Rd} = 31,72 \text{ kN}$$

$$V_{z,Ed} / V_{z,Rd} = 1,87 / 31,72 = 0,06 < 1,00 \text{ VYHOVUJE}$$

Stávající stropní deska NV 10 vyhovuje na stávající zatížení.

**PZD** STÁVAJÍCÍ SKLADBA PODLAHY**NV 11** - stropní žb deskavýztuž: 5  $\phi$  J 14**C20/25**

|                          |                             |        |         |         |
|--------------------------|-----------------------------|--------|---------|---------|
| světélé rozpětí žb desky | $l_n =$                     | 3,35 m | =       | 3350 mm |
| tloušťka desky           | $h_f =$                     | 0,11 m | =       | 110 mm  |
| zatěžovací šířka         | $b =$                       | 0,60 m |         |         |
| šířka podpory            | $t_1 =$                     | 0,15 m | $t_2 =$ | 0,30 m  |
| Účinné rozpětí nosníku   | $L_{eff} = l_n + a_1 + a_2$ |        |         |         |
|                          | $L_{eff} =$                 | 3,46 m |         |         |

|  |              |                            |              |      |             |      |
|--|--------------|----------------------------|--------------|------|-------------|------|
| CELKOVÉ ZATÍŽENÍ STROPU - $q_n / q_d$ - plošné | $\gamma_g =$ | 1,35                       | $\gamma_q =$ | 1,50 | $k_{mod} =$ | 0,80 |
| stálé zatížení                                 | $g_k =$      | 5,88 [kN.m <sup>-2</sup> ] |              |      |             |      |
| užitné zatížení                                | $q_{ku} =$   | 5,00 [kN.m <sup>-2</sup> ] |              |      |             |      |

CELKOVÉ ZATÍŽENÍ STROPU -  $q_k / q_d$  - osově zatížení [kN.m<sup>-1</sup>]

| popis                                    | charakt. | $\gamma_f$ | návrhové                           |
|--|----------|------------|------------------------------------|
| plošné stropu na osu desky               | 6,53     |            | 9,26                               |
| vlastní váha desky - zahrnuta v zatížení | 0,00     | 1,35       | 0,00                               |
| $q_n =$                                  | 6,53     |            | $q_d =$ 9,26 [kN.m <sup>-1</sup> ] |

dle TP 51, tab. C35 - Prostý nosník - zatížení spojitě

Reakce nosníku (max.smyková síla)  $A = B = 1/2 * q_d * L_{eff} = 1/2 * 9,26 * 3,46$ 

$$V_{z,Ed} = A = B = 16,02 \text{ kN}$$

Maximální výpočtový moment

$$M_{y,Ed} = 1/8 * q_d * L_{eff}^2 = 1/8 * 9,26 * 3,46^2$$

$$M_{y,Ed} = 13,86 \text{ kN.m}$$

Posouzení MSÚ - momentová únosnost

 $M_{c,Rd}$  (viz příloha - Beton EC)celkový moment únosnosti  $M_{c,Rd} = 5,24 \text{ kN.m}$ 

$$M_{y,Ed} / M_{c,Rd} = 13,86 / 5,24 = 2,64 > 1,00 \text{ NEVYHOVUJE}$$

Posouzení MSÚ - smyková únosnost

deska bez hupů

celková únosnost ve smyku  $V_{z,Rd} =$  (viz příloha - Beton EC)

$$V_{z,Rd} = 31,72 \text{ kN}$$

$$V_{z,Ed} / V_{z,Rd} = 16,02 / 31,72 = 0,50 < 1,00 \text{ VYHOVUJE}$$

Stávající stropní deska NV 11 vyhovuje na stávající zatížení.

**PZD** STÁVAJÍCÍ SKLADBA PODLAHY**NV 12** - stropní žb deskavýztuž: 3  $\phi$  V 8**C20/25**

|                          |                             |        |         |         |
|--------------------------|-----------------------------|--------|---------|---------|
| světélé rozpětí žb desky | $l_n =$                     | 2,55 m | =       | 2550 mm |
| tloušťka desky           | $h_f =$                     | 0,09 m | =       | 90 mm   |
| zatěžovací šířka         | $b =$                       | 0,30 m |         |         |
| šířka podpory            | $t_1 =$                     | 0,22 m | $t_2 =$ | 0,22 m  |
| Účinné rozpětí nosníku   | $L_{eff} = l_n + a_1 + a_2$ |        |         |         |
|                          | $L_{eff} =$                 | 2,64 m |         |         |

|  |              |                            |              |      |             |      |
|--|--------------|----------------------------|--------------|------|-------------|------|
| CELKOVÉ ZATÍŽENÍ STROPU - $q_n / q_d$ - plošné | $\gamma_g =$ | 1,35                       | $\gamma_q =$ | 1,50 | $k_{mod} =$ | 0,80 |
| stálé zatížení                                 | $g_k =$      | 5,62 [kN.m <sup>-2</sup> ] |              |      |             |      |
| užitné zatížení                                | $q_{ku} =$   | 5,00 [kN.m <sup>-2</sup> ] |              |      |             |      |

CELKOVÉ ZATÍŽENÍ STROPU -  $q_k / q_d$  - osově zatížení [kN.m<sup>-1</sup>]

| popis                                    | charakt. | $\gamma_f$ | návrhové                           |
|--|----------|------------|------------------------------------|
| plošné stropu na osu desky               | 3,19     |            | 4,53                               |
| vlastní váha desky - zahrnuta v zatížení | 0,00     | 1,35       | 0,00                               |
| $q_n =$                                  | 3,19     |            | $q_d =$ 4,53 [kN.m <sup>-1</sup> ] |

dle TP 51, tab. C35 - Prostý nosník - zatížení spojitě

Reakce nosníku (max.smyková síla)  $A = B = 1/2 * q_d * L_{eff} = 1/2 * 4,53 * 2,64$ 

$$V_{z,Ed} = A = B = 5,97 \text{ kN}$$

Maximální výpočtový moment

$$M_{y,Ed} = 1/8 * q_d * L_{eff}^2 = 1/8 * 4,53 * 2,64^2$$

$$M_{y,Ed} = 3,94 \text{ kN.m}$$

Posouzení MSÚ - momentová únosnost

 $M_{c,Rd}$  (viz příloha - Beton EC)celkový moment únosnosti  $M_{c,Rd} = 5,24 \text{ kN.m}$ 

$$M_{y,Ed} / M_{c,Rd} = 3,94 / 5,24 = 0,75 < 1,00 \text{ VYHOVUJE}$$

Posouzení MSÚ - smyková únosnost

deska bez hupů

celková únosnost ve smyku  $V_{z,Rd} =$  (viz příloha - Beton EC)

$$V_{z,Rd} = 31,72 \text{ kN}$$

$$V_{z,Ed} / V_{z,Rd} = 5,97 / 31,72 = 0,19 < 1,00 \text{ VYHOVUJE}$$

Stávající stropní deska NV 12 vyhovuje na stávající zatížení.

**PZD** STÁVAJÍCÍ SKLADBA STŘECHY**NV 13** - stropní žb deskavýztuž: 2 + 1  $\phi$  V 12 + 16**C20/25**

|                          |                             |        |         |         |
|--------------------------|-----------------------------|--------|---------|---------|
| světélé rozpětí žb desky | $l_n =$                     | 4,05 m | =       | 4050 mm |
| tloušťka desky           | $h_f =$                     | 0,22 m | =       | 220 mm  |
| zatěžovací šířka         | $b =$                       | 0,50 m |         |         |
| šířka podpory            | $t_1 =$                     | 0,35 m | $t_2 =$ | 0,35 m  |
| Účinné rozpětí nosníku   | $L_{eff} = l_n + a_1 + a_2$ |        |         |         |
|                          | $L_{eff} =$                 | 4,27 m |         |         |

|  |              |                            |              |      |             |      |
|--|--------------|----------------------------|--------------|------|-------------|------|
| CELKOVÉ ZATÍŽENÍ STROPU - $q_n / q_d$ - plošné | $\gamma_g =$ | 1,35                       | $\gamma_q =$ | 1,50 | $k_{mod} =$ | 0,80 |
| stálé zatížení + klimatické                    | $g_k =$      | 9,07 [kN.m <sup>-2</sup> ] |              |      |             |      |
| užitné zatížení                                | $q_{ku} =$   | 0,00 [kN.m <sup>-2</sup> ] |              |      |             |      |

CELKOVÉ ZATÍŽENÍ STROPU -  $q_k / q_d$  - osově zatížení [kN.m<sup>-1</sup>]

| popis                                    | charakt. | $\gamma_f$ | návrhové                           |
|--|----------|------------|------------------------------------|
| plošné stropu na osu desky               | 4,54     |            | 6,28                               |
| vlastní váha desky - zahrnuta v zatížení | 0,00     | 1,35       | 0,00                               |
| $q_n =$                                  | 4,54     |            | $q_d =$ 6,28 [kN.m <sup>-1</sup> ] |

dle TP 51, tab. C35 - Prostý nosník - zatížení spojitě

Reakce nosníku (max.smyková síla)  $A = B = 1/2 * q_d * L_{eff} = 1/2 * 6,28 * 4,27$ 

$$V_{z,Ed} = A = B = 13,41 \text{ kN}$$

Maximální výpočtový moment

$$M_{y,Ed} = 1/8 * q_d * L_{eff}^2 = 1/8 * 6,28 * 4,27^2$$

$$M_{y,Ed} = 14,31 \text{ kN.m}$$

Posouzení MSÚ - momentová únosnost

 $M_{c,Rd}$  (viz příloha - Beton EC)celkový moment únosnosti  $M_{c,Rd} = 5,24 \text{ kN.m}$ 

$$M_{y,Ed} / M_{c,Rd} = 14,31 / 5,24 = 2,73 > 1,00 \text{ NEVYHOVUJE}$$

Posouzení MSÚ - smyková únosnost

deska bez hupů

celková únosnost ve smyku  $V_{z,Rd} =$  (viz příloha - Beton EC)

$$V_{z,Rd} = 31,72 \text{ kN}$$

$$V_{z,Ed} / V_{z,Rd} = 13,41 / 31,72 = 0,42 < 1,00 \text{ VYHOVUJE}$$

Stávající stropní deska NV 13 vyhovuje na stávající zatížení.

**PZD** STÁVAJÍCÍ SKLADBA STŘECHY**NV 14** - stropní žb deskavýztuž: 3  $\phi$  V 8**C20/25**

|                          |                             |        |         |         |
|--------------------------|-----------------------------|--------|---------|---------|
| světélé rozpětí žb desky | $l_n =$                     | 2,75 m | =       | 2750 mm |
| tloušťka desky           | $h_f =$                     | 0,09 m | =       | 90 mm   |
| zatěžovací šířka         | $b =$                       | 0,30 m |         |         |
| šířka podpory            | $t_1 =$                     | 0,35 m | $t_2 =$ | 0,35 m  |
| Účinné rozpětí nosníku   | $L_{eff} = l_n + a_1 + a_2$ |        |         |         |
|                          | $L_{eff} =$                 | 2,84 m |         |         |

|  |              |                            |              |      |             |      |
|--|--------------|----------------------------|--------------|------|-------------|------|
| CELKOVÉ ZATÍŽENÍ STROPU - $q_n / q_d$ - plošné | $\gamma_g =$ | 1,35                       | $\gamma_q =$ | 1,50 | $k_{mod} =$ | 0,80 |
| stálé zatížení + klimatické                    | $g_k =$      | 7,87 [kN.m <sup>-2</sup> ] |              |      |             |      |
| užitné zatížení                                | $q_{ku} =$   | 0,00 [kN.m <sup>-2</sup> ] |              |      |             |      |

CELKOVÉ ZATÍŽENÍ STROPU -  $q_k / q_d$  - osově zatížení [kN.m<sup>-1</sup>]

| popis                                    | charakt. | $\gamma_f$ | návrhové                           |
|--|----------|------------|------------------------------------|
| plošné stropu na osu desky               | 2,36     |            | 3,28                               |
| vlastní váha desky - zahrnuta v zatížení | 0,00     | 1,35       | 0,00                               |
| $q_n =$                                  | 2,36     |            | $q_d =$ 3,28 [kN.m <sup>-1</sup> ] |

dle TP 51, tab. C35 - Prostý nosník - zatížení spojitě

Reakce nosníku (max.smyková síla)

$$A = B = 1/2 \cdot q_d \cdot L_{eff} = 1/2 \cdot 3,28 \cdot 2,84$$

$$V_{z,Ed} = A = B = 4,66 \text{ kN}$$

Maximální výpočtový moment

$$M_{y,Ed} = 1/8 \cdot q_d \cdot L_{eff}^2 = 1/8 \cdot 3,28 \cdot 2,84^2$$

$$M_{y,Ed} = 3,31 \text{ kN.m}$$

Posouzení MSÚ - momentová únosnost

 $M_{c,Rd}$  (viz příloha - Beton EC)celkový moment únosnosti  $M_{c,Rd} =$  5,24 kN.m

$$M_{y,Ed} / M_{c,Rd} = 3,31 / 5,24 = 0,63 < 1,00 \text{ } \textbf{VYHOVUJE}$$

Posouzení MSÚ - smyková únosnost

deska bez hupů

celková únosnost ve smyku  $V_{z,Rd} =$  (viz příloha - Beton EC)

$$V_{z,Rd} = 31,72 \text{ kN}$$

$$V_{z,Ed} / V_{z,Rd} = 4,66 / 31,72 = 0,15 < 1,00 \text{ } \textbf{VYHOVUJE}$$

Stávající stropní deska NV 14 vyhovuje na stávající zatížení.

**PZD** STÁVAJÍCÍ SKLADBA STŘECHY**NV 15** - stropní žb deskavýztuž: 3  $\phi$  V 8**C20/25**

|                          |                             |        |         |         |
|--------------------------|-----------------------------|--------|---------|---------|
| světélé rozpětí žb desky | $l_n =$                     | 2,40 m | =       | 2400 mm |
| tloušťka desky           | $h_f =$                     | 0,09 m | =       | 90 mm   |
| zatěžovací šířka         | $b =$                       | 0,30 m |         |         |
| šířka podpory            | $t_1 =$                     | 0,35 m | $t_2 =$ | 0,35 m  |
| Účinné rozpětí nosníku   | $L_{eff} = l_n + a_1 + a_2$ |        |         |         |
|                          | $L_{eff} =$                 | 2,49 m |         |         |

|  |              |                            |              |      |             |      |
|--|--------------|----------------------------|--------------|------|-------------|------|
| CELKOVÉ ZATÍŽENÍ STROPU - $q_n / q_d$ - plošné | $\gamma_g =$ | 1,35                       | $\gamma_q =$ | 1,50 | $k_{mod} =$ | 0,80 |
| stálé zatížení + klimatické                    | $g_k =$      | 7,96 [kN.m <sup>-2</sup> ] |              |      |             |      |
| užitné zatížení                                | $q_{ku} =$   | 0,00 [kN.m <sup>-2</sup> ] |              |      |             |      |

CELKOVÉ ZATÍŽENÍ STROPU -  $q_k / q_d$  - osově zatížení [kN.m<sup>-1</sup>]

| popis                                    | charakt. | $\gamma_f$ | návrhové                           |
|--|----------|------------|------------------------------------|
| plošné stropu na osu desky               | 2,39     |            | 3,32                               |
| vlastní váha desky - zahrnuta v zatížení | 0,00     | 1,35       | 0,00                               |
| $q_n =$                                  | 2,39     |            | $q_d =$ 3,32 [kN.m <sup>-1</sup> ] |

dle TP 51, tab. C35 - Prostý nosník - zatížení spojitě

Reakce nosníku (max.smyková síla)

$$A = B = 1/2 \cdot q_d \cdot L_{eff} = 1/2 \cdot 3,32 \cdot 2,49$$

$$V_{z,Ed} = A = B = 4,13 \text{ kN}$$

Maximální výpočtový moment

$$M_{y,Ed} = 1/8 \cdot q_d \cdot L_{eff}^2 = 1/8 \cdot 3,32 \cdot 2,49^2$$

$$M_{y,Ed} = 2,57 \text{ kN.m}$$

Posouzení MSÚ - momentová únosnost

 $M_{c,Rd}$  (viz příloha - Beton EC)celkový moment únosnosti  $M_{c,Rd} =$  5,24 kN.m

$$M_{y,Ed} / M_{c,Rd} = 2,57 / 5,24 = 0,49 < 1,00 \text{ } \textbf{VYHOVUJE}$$

Posouzení MSÚ - smyková únosnost

deska bez hupů

celková únosnost ve smyku  $V_{z,Rd} =$  (viz příloha - Beton EC)

$$V_{z,Rd} = 31,72 \text{ kN}$$

$$V_{z,Ed} / V_{z,Rd} = 4,13 / 31,72 = 0,13 < 1,00 \text{ } \textbf{VYHOVUJE}$$

Stávající stropní deska NV 15 vyhovuje na stávající zatížení.



**PZD** STÁVAJÍCÍ SKLADBA STŘECHY**NV 17 - stropní žb deska**

|  |                                |            |                   |                       |                  |
|--|--------------------------------|------------|-------------------|-----------------------|------------------|
| výztuž:  |                                | 5          | φ                 | V 12                  | C20/25           |
| světélé rozpětí žb desky                       | $l_n$                          | =          | 2,65              | m                     | = 2650 mm        |
| tloušťka desky                                 | $h_f$                          | =          | 0,10              | m                     | = 100 mm         |
| zatěžovací šířka                               | $b$                            | =          | 0,60              | m                     |                  |
| šířka podpory                                  | $t_1$                          | =          | 0,35              | m                     | $t_2 = 0,35$ m   |
| Účinné rozpětí nosníku                         | $L_{eff}$                      | =          | $l_n + a_1 + a_2$ |                       |                  |
|  | $L_{eff}$                      | =          | 2,75              | m                     |                  |
| CELKOVÉ ZATÍŽENÍ STROPU - $q_n / q_d$ - plošné | $\gamma_g$                     | =          | 1,35              | $\gamma_q = 1,50$     | $k_{mod} = 0,80$ |
| stálé zatížení + klimatické                    | $g_k$                          | =          | 7,96              | [kN.m <sup>-2</sup> ] |                  |
| užitné zatížení                                | $q_{ku}$                       | =          | 0,00              | [kN.m <sup>-2</sup> ] |                  |
| CELKOVÉ ZATÍŽENÍ STROPU - $q_k / q_d$ - osově  | zatížení [kN.m <sup>-1</sup> ] |            |                   |                       |                  |
| popis  | charakt.                       | $\gamma_f$ | návrhové          |                       |                  |
| plošné stropu na osu desky                     | 4,78                           |            | 6,64              |                       |                  |
| vlastní váha desky - zahrnuta v zatížení       | 0,00                           | 1,35       | 0,00              |                       |                  |
|  | $q_n = 4,78$                   |            | $q_d = 6,64$      | [kN.m <sup>-1</sup> ] |                  |

dle TP 51, tab. C35 - Prostý nosník - zatížení spojitě

Reakce nosníku (max.smyková síla)

$$A = B = 1/2 * q_d * L_{eff} = 1/2 * 6,64 * 2,75$$

$$V_{z,Ed} = A = B = 9,13 \text{ kN}$$

Maximální výpočtový moment

$$M_{y,Ed} = 1/8 * q_d * L_{eff}^2 = 1/8 * 6,64 * 2,75^2$$

$$M_{y,Ed} = 6,27 \text{ kN.m}$$

Posouzení MSÚ - momentová únosnost

$$M_{c,Rd} = \text{(viz příloha - Beton EC)}$$

celkový moment únosnosti

$$M_{c,Rd} = 5,24 \text{ kN.m}$$

$$M_{y,Ed} / M_{c,Rd} = 6,27 / 5,24 = 1,20 > 1,00 \text{ NEVYHOVUJE}$$

Posouzení MSÚ - smyková únosnost

deska bez hupů

celková únosnost ve smyku

$$V_{z,Rd} = \text{(viz příloha - Beton EC)}$$

$$V_{z,Rd} = 31,72 \text{ kN}$$

$$V_{z,Ed} / V_{z,Rd} = 9,13 / 31,72 = 0,29 < 1,00 \text{ VYHOVUJE}$$

Stávající stropní deska NV 17 vyhovuje na stávající zatížení.

**PZD** STÁVAJÍCÍ SKLADBA STŘECHY ST2**NV 18 - stropní žb deska**

|  |                                |            |                   |                       |                  |
|--|--------------------------------|------------|-------------------|-----------------------|------------------|
| výztuž:  |                                | 5          | φ                 | V 10                  | C20/25           |
| světélé rozpětí žb desky                       | $l_n$                          | =          | 2,55              | m                     | = 2550 mm        |
| tloušťka desky                                 | $h_f$                          | =          | 0,10              | m                     | = 100 mm         |
| zatěžovací šířka                               | $b$                            | =          | 0,60              | m                     |                  |
| šířka podpory                                  | $t_1$                          | =          | 0,35              | m                     | $t_2 = 0,35$ m   |
| Účinné rozpětí nosníku                         | $L_{eff}$                      | =          | $l_n + a_1 + a_2$ |                       |                  |
|  | $L_{eff}$                      | =          | 2,65              | m                     |                  |
| CELKOVÉ ZATÍŽENÍ STROPU - $q_n / q_d$ - plošné | $\gamma_g$                     | =          | 1,35              | $\gamma_q = 1,50$     | $k_{mod} = 0,80$ |
| stálé zatížení + klimatické                    | $g_k$                          | =          | 6,16              | [kN.m <sup>-2</sup> ] |                  |
| užitné zatížení                                | $q_{ku}$                       | =          | 0,00              | [kN.m <sup>-2</sup> ] |                  |
| CELKOVÉ ZATÍŽENÍ STROPU - $q_k / q_d$ - osově  | zatížení [kN.m <sup>-1</sup> ] |            |                   |                       |                  |
| popis  | charakt.                       | $\gamma_f$ | návrhové          |                       |                  |
| plošné stropu na osu desky                     | 3,70                           |            | 5,18              |                       |                  |
| vlastní váha desky - zahrnuta v zatížení       | 0,00                           | 1,35       | 0,00              |                       |                  |
|  | $q_n = 3,70$                   |            | $q_d = 5,18$      | [kN.m <sup>-1</sup> ] |                  |

dle TP 51, tab. C35 - Prostý nosník - zatížení spojitě

Reakce nosníku (max.smyková síla)

$$A = B = 1/2 * q_d * L_{eff} = 1/2 * 5,18 * 2,65$$

$$V_{z,Ed} = A = B = 6,86 \text{ kN}$$

Maximální výpočtový moment

$$M_{y,Ed} = 1/8 * q_d * L_{eff}^2 = 1/8 * 5,18 * 2,65^2$$

$$M_{y,Ed} = 4,55 \text{ kN.m}$$

Posouzení MSÚ - momentová únosnost

$$M_{c,Rd} = \text{(viz příloha - Beton EC)}$$

celkový moment únosnosti

$$M_{c,Rd} = 5,24 \text{ kN.m}$$

$$M_{y,Ed} / M_{c,Rd} = 4,55 / 5,24 = 0,87 < 1,00 \text{ VYHOVUJE}$$

Posouzení MSÚ - smyková únosnost

deska bez hupů

celková únosnost ve smyku

$$V_{z,Rd} = \text{(viz příloha - Beton EC)}$$

$$V_{z,Rd} = 31,72 \text{ kN}$$

$$V_{z,Ed} / V_{z,Rd} = 6,86 / 31,72 = 0,22 < 1,00 \text{ VYHOVUJE}$$

Stávající stropní deska NV 18 vyhovuje na stávající zatížení.



# POSOUZENÍ ŽB PRVKŮ STROPNÍCH KONSTRUKCÍ

Akce : 4086 - Český dům - posouzení stropních konstrukcí  
Část : Příloha VII.  
Vypracoval : Ing. Radan Sležka  
Datum : 19.02.2025

## Norma

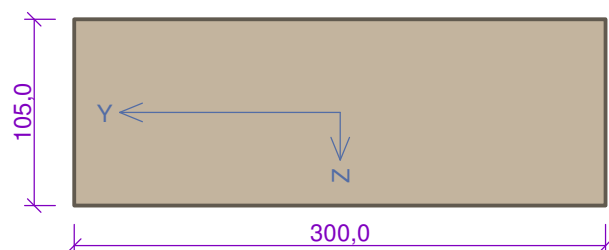
Norma **EN 1992-1-1/Česko**.

## 1 NV 6

### 1.1 Vstupní data

Typ prvku: deska  
Prostředí: X0

#### Průřez



#### Materiály

**Beton: C 20/25**

$f_{ck} = 20,0$  MPa;  $f_{ctm} = 2,2$  MPa;  $E_{cm} = 30000$  MPa

**Ocel podélná: 10425 (V)B**

$f_{yk} = 420,0$  MPa;  $E_s = 200000$  MPa

**Ocel příčná: 10425 (V)**

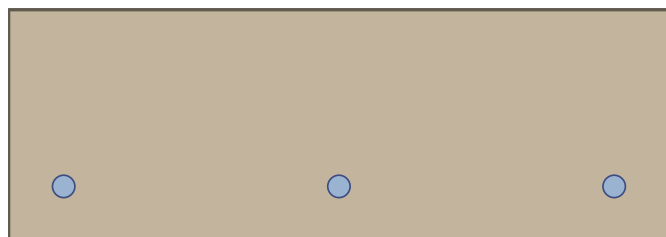
$f_{yk} = 420,0$  MPa;  $E_s = 200000$  MPa

#### Vnitřní síly - základní návrhová (MSÚ)

| č. | Název zatěžovacího případu | $N_{Ed}$<br>[kN] | $M_{Edy}$<br>[kNm] | $M_{Edz}$<br>[kNm] | $V_{Edz}$<br>[kN] | $V_{Edy}$<br>[kN] | $T_{Ed}$<br>[kNm] | QP koef.<br>[-] |
|----|----------------------------|------------------|--------------------|--------------------|-------------------|-------------------|-------------------|-----------------|
| 1  | Zat. případ 1              | 0,00             | 0,00               | 0,00               | 6,99              | 0,00              | 0,00              | 1,000           |
| 2  | Zat. případ 2              | 0,00             | 5,16               | 0,00               | 0,00              | 0,00              | 0,00              | 1,000           |

#### Podélná výztuž

| Počet | Profil [mm] | Krytí [mm] | Umístění     |
|-------|-------------|------------|--------------|
| 3     | 10          | 20,0       | dolní výztuž |



3x10-kr.20,0

S tlačnou výztuží je počítáno.

#### Minimální krytí

Třída konstrukce: S4

## 1.2 Výsledky

### Posouzení min. a max. stupně vyztužení

Deska (tažená výztuž - minimum, celková výztuž - maximum):

$\rho_{s,t} = 0,00982 \geq \rho_{s,min} = 0,00136$

$\rho_{s,t,CSN} = 0,00748 \geq \rho_{s,min,CSN} = 0,00151 \Rightarrow$  **Vyhovuje**

$\rho_s = 0,00748 \leq \rho_{s,max} = 0,04 \Rightarrow$  **Vyhovuje**

## Posouzení mezního stavu únosnosti

| č. | Název         | $N_{Ed}$<br>$N_{Rd}$<br>[kN] | $M_{Edy}$<br>$M_{Rdy}$<br>[kNm] | $M_{Edz}$<br>$M_{Rdz}$<br>[kNm] | $V_{Edz}$<br>$V_{Rdz}$<br>[kN] | $V_{Edy}$<br>$V_{Rdy}$<br>[kN] | Posouzení |
|----|---------------|------------------------------|---------------------------------|---------------------------------|--------------------------------|--------------------------------|-----------|
| 1  | Zat. případ 1 | 0,00                         | 0,00                            | 0,00                            | 6,99                           | 0,00                           | Vyhovuje  |
|    |               | -506,08                      | 5,97                            | 0,00                            | 15,54                          | 0,00                           |           |
| 2  | Zat. případ 2 | 0,00                         | 5,16                            | 0,00                            | 0,00                           | 0,00                           | Vyhovuje  |
|    |               | 0,00                         | 5,97                            | 0,00                            | 0,00                           | 0,00                           |           |

Mezní stav únosnosti VYHOVUJE

Celkové posouzení - Průřez VYHOVUJE

## 2 NV 7

## 2.1 Vstupní data

Typ prvku: deska

Prostředí: X0

## Průřez

## Materiály

Beton: C 20/25

 $f_{ck} = 20,0 \text{ MPa}$ ;  $f_{ctm} = 2,2 \text{ MPa}$ ;  $E_{cm} = 30000 \text{ MPa}$ 

Ocel podélná: 10425 (V)B

 $f_{yk} = 420,0 \text{ MPa}$ ;  $E_s = 200000 \text{ MPa}$ 

Ocel příčná: 10425 (V)

 $f_{yk} = 420,0 \text{ MPa}$ ;  $E_s = 200000 \text{ MPa}$ 

## Vnitřní síly - základní návrhová (MSÚ)

| č. | Název zatěžovacího případu | $N_{Ed}$<br>[kN] | $M_{Edy}$<br>[kNm] | $M_{Edz}$<br>[kNm] | $V_{Edz}$<br>[kN] | $V_{Edy}$<br>[kN] | $T_{Ed}$<br>[kNm] | QP koef.<br>[-] |
|----|----------------------------|------------------|--------------------|--------------------|-------------------|-------------------|-------------------|-----------------|
| 1  | Zat. případ 1              | 0,00             | 0,00               | 0,00               | 12,85             | 0,00              | 0,00              | 1,000           |
| 2  | Zat. případ 2              | 0,00             | 8,85               | 0,00               | 0,00              | 0,00              | 0,00              | 1,000           |

## Podélná výztuž

| Počet | Profil [mm] | Krytí [mm] | Umístění     |
|-------|-------------|------------|--------------|
| 5     | 10          | 10,0       | dolní výztuž |



S tlačnou výztuží je počítáno.

## Minimální krytí

10,0 mm (uživ.)

## 2.2 Výsledky

## Posouzení min. a max. stupně vyztužení

Deska (tažená výztuž - minimum, celková výztuž - maximum):

 $\rho_{s,t} = 0,00783 \geq \rho_{s,min} = 0,00136$  $\rho_{s,t,CSN} = 0,00666 \geq \rho_{s,min,CSN} = 0,00151 \Rightarrow$  Vyhovuje $\rho_s = 0,00666 \leq \rho_{s,max} = 0,04 \Rightarrow$  Vyhovuje

## Posouzení mezního stavu únosnosti

| č. | Název         | $N_{Ed}$<br>$N_{Rd}$<br>[kN] | $M_{Edy}$<br>$M_{Rdy}$<br>[kNm] | $M_{Edz}$<br>$M_{Rdz}$<br>[kNm] | $V_{Edz}$<br>$V_{Rdz}$<br>[kN] | $V_{Edy}$<br>$V_{Rdy}$<br>[kN] | Posouzení |
|----|---------------|------------------------------|---------------------------------|---------------------------------|--------------------------------|--------------------------------|-----------|
| 1  | Zat. případ 1 | 0,00                         | 0,00                            | 0,00                            | 12,85                          | 0,00                           | Vyhovuje  |
|    |               | -930,13                      | 10,96                           | 0,00                            | 30,11                          | 0,00                           |           |
| 2  | Zat. případ 2 | 0,00                         | 8,85                            | 0,00                            | 0,00                           | 0,00                           | Vyhovuje  |
|    |               | 0,00                         | 10,96                           | 0,00                            | 0,00                           | 0,00                           |           |

Mezní stav únosnosti VYHOVUJE

Celkové posouzení - Průřez VYHOVUJE

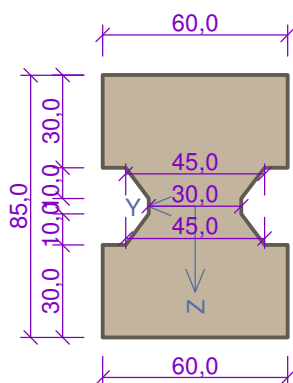
## 3 NV 10

## 3.1 Vstupní data

Typ prvku: nosník

Prostředí: X0

## Průřez



## Materiály

## Beton: C 20/25

 $f_{ck} = 20,0$  MPa;  $f_{ctm} = 2,2$  MPa;  $E_{cm} = 30000$  MPa

## Ocel podélná: 10 216 (E) (uživ.)

 $f_{yk} = 210,0$  MPa;  $E_s = 200000$  MPa

## Ocel příčná: 10 216 (E) (uživ.)

 $f_{yk} = 210,0$  MPa;  $E_s = 200000$  MPa

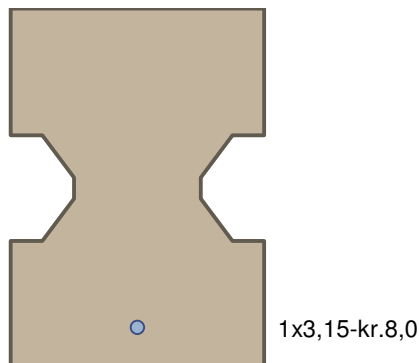
Pevnost oceli neodpovídá rozsahu 400-600MPa určenému normou, další výpočet odpovídá postupům EC2

## Vnitřní síly - základní návrhová (MSÚ)

| č. | Název zatěžovacího případu | $N_{Ed}$<br>[kN] | $M_{Edy}$<br>[kNm] | $M_{Edz}$<br>[kNm] | $V_{Edz}$<br>[kN] | $V_{Edy}$<br>[kN] | $T_{Ed}$<br>[kNm] | QP koef.<br>[-] |
|----|----------------------------|------------------|--------------------|--------------------|-------------------|-------------------|-------------------|-----------------|
| 1  | Zat. případ 1              | 0,00             | 0,00               | 0,00               | 0,37              | 0,00              | 0,00              | 1,000           |
| 2  | Zat. případ 2              | 0,00             | 0,11               | 0,00               | 0,00              | 0,00              | 0,00              | 1,000           |

## Podélná výztuž

| Počet | Profil [mm] | Krytí [mm] | Umístění     |
|-------|-------------|------------|--------------|
| 1     | 3,15        | 8,0        | dolní výztuž |



S tlačnou výztuží není počítáno.

**Smyková výztuž**

Průřez bez smykové výztuže.

**Minimální krytí**

8,0 mm (uživ.)

**3.2 Výsledky****Posouzení min. a max. stupně vyztužení**

Nosník (tažená výztuž - minimum, celková výztuž - maximum):

 $\rho_{s,t} = 0,00196 < \rho_{s,min} = 0,00272 \Rightarrow$  **Nevyhovuje** $\rho_s = 0,00173 \leq \rho_{s,max} = 0,04 \Rightarrow$  **Vyhovuje****Posouzení mezního stavu únosnosti**

| č. | Název         | $N_{Ed}$<br>$N_{Rd}$<br>[kN] | $M_{Edy}$<br>$M_{Rdy}$<br>[kNm] | $M_{Edz}$<br>$M_{Rdz}$<br>[kNm] | $V_{Edz}$<br>$V_{Rdz}$<br>[kN] | $V_{Edy}$<br>$V_{Rdy}$<br>[kN] | Posouzení    |
|----|---------------|------------------------------|---------------------------------|---------------------------------|--------------------------------|--------------------------------|--------------|
| 1  | Zat. případ 1 | 0,00                         | 0,00                            | 0,00                            | 0,37                           | 0,00                           | Nevyh, kód 2 |
|    |               | -60,00                       | 0,11                            | 0,00                            | 1,03                           | 0,00                           |              |
| 2  | Zat. případ 2 | 0,00                         | 0,11                            | 0,00                            | 0,00                           | 0,00                           | Nevyh, kód 2 |
|    |               | 0,00                         | 0,11                            | 0,00                            | 0,00                           | 0,00                           |              |

**Seznam chybových kódů:**

Kód 2: Příliš málo podélné výztuže

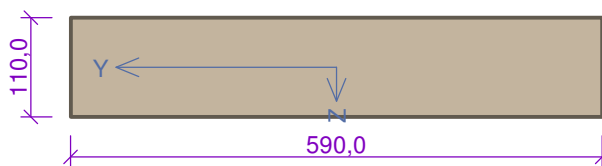
**Mezní stav únosnosti NEVYHOVUJE****Celkové posouzení - Průřez NEVYHOVUJE****4 NV 11****4.1 Vstupní data**

Typ prvku: deska

Prostředí: X0

**Průřez****Materiály****Beton: C 20/25** $f_{ck} = 20,0$  MPa;  $f_{ctm} = 2,2$  MPa;  $E_{cm} = 30000$  MPa**Ocel podélná: 10 335 (J) (uživ.)** $f_{yk} = 325,0$  MPa;  $E_s = 200000$  MPa**Ocel příčná: 10 335 (J) (uživ.)** $f_{yk} = 325,0$  MPa;  $E_s = 200000$  MPa

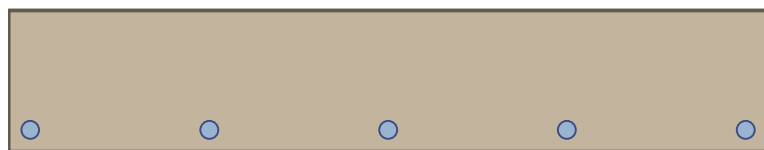
Pevnost oceli neodpovídá rozsahu 400-600MPa určenému normou, další výpočet odpovídá postupům EC2

**Vnitřní síly - základní návrhová (MSÚ)**

| č. | Název zatěžovacího případu | $N_{Ed}$<br>[kN] | $M_{Edy}$<br>[kNm] | $M_{Edz}$<br>[kNm] | $V_{Edz}$<br>[kN] | $V_{Edy}$<br>[kN] | $T_{Ed}$<br>[kNm] | QP koef.<br>[-] |
|----|----------------------------|------------------|--------------------|--------------------|-------------------|-------------------|-------------------|-----------------|
| 1  | Zat. případ 1              | 0,00             | 0,00               | 0,00               | 16,02             | 0,00              | 0,00              | 1,000           |
| 2  | Zat. případ 2              | 0,00             | 13,86              | 0,00               | 0,00              | 0,00              | 0,00              | 1,000           |

## Podélná výztuž

| Počet | Profil [mm] | Krytí [mm] | Umístění     |
|-------|-------------|------------|--------------|
| 5     | 14          | 10,0       | dolní výztuž |



5x14-kr.10,0

S tlačnou výztuží je počítáno.

## Minimální krytí

10,0 mm (uživ.)

## 4.2 Výsledky

## Posouzení min. a max. stupně vyztužení

Deska (tažená výztuž - minimum, celková výztuž - maximum):

$$\rho_{s,t} = 0,014 \geq \rho_{s,min} = 0,00176$$

$$\rho_{s,t,CSN} = 0,0119 \geq \rho_{s,min,CSN} = 0,0014 \Rightarrow \text{Vyhovuje}$$

$$\rho_s = 0,0119 \leq \rho_{s,max} = 0,04 \Rightarrow \text{Vyhovuje}$$

## Posouzení mezního stavu únosnosti

| č. | Název         | $N_{Ed}$<br>$N_{Rd}$<br>[kN] | $M_{Edy}$<br>$M_{Rdy}$<br>[kNm] | $M_{Edz}$<br>$M_{Rdz}$<br>[kNm] | $V_{Edz}$<br>$V_{Rdz}$<br>[kN] | $V_{Edy}$<br>$V_{Rdy}$<br>[kN] | Posouzení |
|----|---------------|------------------------------|---------------------------------|---------------------------------|--------------------------------|--------------------------------|-----------|
| 1  | Zat. případ 1 | 0,00                         | 0,00                            | 0,00                            | 16,02                          | 0,00                           | Vyhovuje  |
|    |               | -1083,06                     | 17,23                           | 0,00                            | 40,01                          | 0,00                           |           |
| 2  | Zat. případ 2 | 0,00                         | 13,86                           | 0,00                            | 0,00                           | 0,00                           | Vyhovuje  |
|    |               | 0,00                         | 17,23                           | 0,00                            | 0,00                           | 0,00                           |           |

Mezní stav únosnosti VYHOVUJE

Celkové posouzení - Průřez VYHOVUJE

## 5 NV 12/1

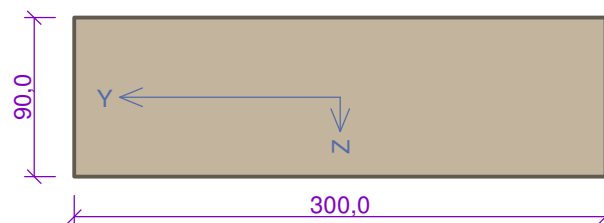
## 5.1 Vstupní data

Typ prvku: deska

Prostředí: X0

## Průřez

## Materiály



Beton: C 20/25

$$f_{ck} = 20,0 \text{ MPa}; f_{ctm} = 2,2 \text{ MPa}; E_{cm} = 30000 \text{ MPa}$$

Ocel podélná: 10425 (V)B

$$f_{yk} = 420,0 \text{ MPa}; E_s = 200000 \text{ MPa}$$

Ocel příčná: 10425 (V)

$$f_{yk} = 420,0 \text{ MPa}; E_s = 200000 \text{ MPa}$$

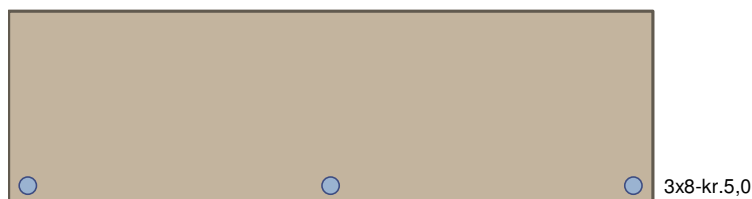
## Vnitřní síly - základní návrhová (MSÚ)

| č. | Název zatěžovacího případu | $N_{Ed}$<br>[kN] | $M_{Edy}$<br>[kNm] | $M_{Edz}$<br>[kNm] | $V_{Edz}$<br>[kN] | $V_{Edy}$<br>[kN] | $T_{Ed}$<br>[kNm] | QP koef.<br>[-] |
|----|----------------------------|------------------|--------------------|--------------------|-------------------|-------------------|-------------------|-----------------|
| 1  | Zat. případ 1              | 0,00             | 0,00               | 0,00               | 5,97              | 0,00              | 0,00              | 1,000           |
| 2  | Zat. případ 2              | 0,00             | 3,94               | 0,00               | 0,00              | 0,00              | 0,00              | 1,000           |



## Podélná výztuž

| Počet | Profil [mm] | Krytí [mm] | Umístění     |
|-------|-------------|------------|--------------|
| 3     | 8           | 5,0        | dolní výztuž |



S tlačnou výztuží je počítáno.

## Minimální krytí

5,0 mm (uživ.)

## 5.2 Výsledky

## Posouzení min. a max. stupně vyztužení

Deska (tažená výztuž - minimum, celková výztuž - maximum):

$$\rho_{s,t} = 0,00621 \geq \rho_{s,min} = 0,00136$$

$$\rho_{s,t,CSN} = 0,00559 \geq \rho_{s,min,CSN} = 0,00151 \Rightarrow \text{Vyhovuje}$$

$$\rho_s = 0,00559 \leq \rho_{s,max} = 0,04 \Rightarrow \text{Vyhovuje}$$

## Posouzení mezního stavu únosnosti

| č. | Název         | $N_{Ed}$<br>$N_{Rd}$<br>[kN] | $M_{Edy}$<br>$M_{Rdy}$<br>[kNm] | $M_{Edz}$<br>$M_{Rdz}$<br>[kNm] | $V_{Edz}$<br>$V_{Rdz}$<br>[kN] | $V_{Edy}$<br>$V_{Rdy}$<br>[kN] | Posouzení |
|----|---------------|------------------------------|---------------------------------|---------------------------------|--------------------------------|--------------------------------|-----------|
| 1  | Zat. případ 1 | 0,00                         | 0,00                            | 0,00                            | 5,97                           | 0,00                           | Vyhovuje  |
|    |               | -415,09                      | 4,14                            | 0,00                            | 13,50                          | 0,00                           |           |
| 2  | Zat. případ 2 | 0,00                         | 3,94                            | 0,00                            | 0,00                           | 0,00                           | Vyhovuje  |
|    |               | 0,00                         | 4,14                            | 0,00                            | 0,00                           | 0,00                           |           |

Mezní stav únosnosti **VYHOVUJE**

Celkové posouzení - Průřez **VYHOVUJE**

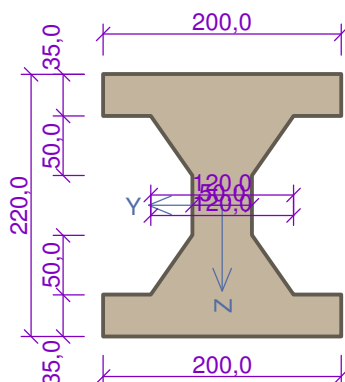
## 6 NV 13

## 6.1 Vstupní data

Typ prvku: nosník

Prostředí: X0

## Průřez



## Materiály

**Beton: C 20/25**

$$f_{ck} = 20,0 \text{ MPa}; f_{ctm} = 2,2 \text{ MPa}; E_{cm} = 30000 \text{ MPa}$$

**Ocel podélná: 10425 (V)B**

$$f_{yk} = 420,0 \text{ MPa}; E_s = 200000 \text{ MPa}$$

**Ocel příčná: 10425 (V)**

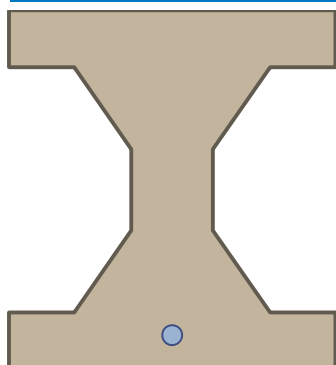
$$f_{yk} = 420,0 \text{ MPa}; E_s = 200000 \text{ MPa}$$

## Vnitřní síly - základní návrhová (MSÚ)

| č. | Název zatěžovacího případu | $N_{Ed}$<br>[kN] | $M_{Edy}$<br>[kNm] | $M_{Edz}$<br>[kNm] | $V_{Edz}$<br>[kN] | $V_{Edy}$<br>[kN] | $T_{Ed}$<br>[kNm] | QP koef.<br>[-] |
|----|----------------------------|------------------|--------------------|--------------------|-------------------|-------------------|-------------------|-----------------|
| 1  | Zat. případ 1              | 0,00             | 0,00               | 0,00               | 5,40              | 0,00              | 0,00              | 1,000           |
| 2  | Zat. případ 2              | 0,00             | 5,72               | 0,00               | 0,00              | 0,00              | 0,00              | 1,000           |

## Podélná výztuž

| Počet | Profil [mm] | Krytí [mm] | Umístění     |
|-------|-------------|------------|--------------|
| 1     | 12          | 15,0       | dolní výztuž |



1x12-kr.15,0

S tlačnou výztuží je počítáno.

## Smyková výztuž

Průřez bez smykové výztuže.

## Minimální krytí

15,0 mm (uživ.)

## 6.2 Výsledky

## Posouzení min. a max. stupně vyztužení

Nosník (tažená výztuž - minimum, celková výztuž - maximum):

$$\rho_{s,t} = 0,00541 \geq \rho_{s,min} = 0,00136 \Rightarrow \text{Vyhovuje}$$

$$\rho_s = 0,00452 \leq \rho_{s,max} = 0,04 \Rightarrow \text{Vyhovuje}$$

## Posouzení mezního stavu únosnosti

| č. | Název         | $N_{Ed}$<br>$N_{Rd}$<br>[kN] | $M_{Edy}$<br>$M_{Rdy}$<br>[kNm] | $M_{Edz}$<br>$M_{Rdz}$<br>[kNm] | $V_{Edz}$<br>$V_{Rdz}$<br>[kN] | $V_{Edy}$<br>$V_{Rdy}$<br>[kN] | Posouzení |
|----|---------------|------------------------------|---------------------------------|---------------------------------|--------------------------------|--------------------------------|-----------|
| 1  | Zat. případ 1 | 0,00                         | 0,00                            | 0,00                            | 5,40                           | 0,00                           | Vyhovuje  |
|    |               | -374,65                      | 8,26                            | 0,00                            | 6,76                           | 0,00                           |           |
| 2  | Zat. případ 2 | 0,00                         | 5,72                            | 0,00                            | 0,00                           | 0,00                           | Vyhovuje  |
|    |               | 0,00                         | 8,26                            | 0,00                            | 0,00                           | 0,00                           |           |

Mezní stav únosnosti VYHOVUJE

Celkové posouzení - Průřez VYHOVUJE

## 7 NV 14, NV 15

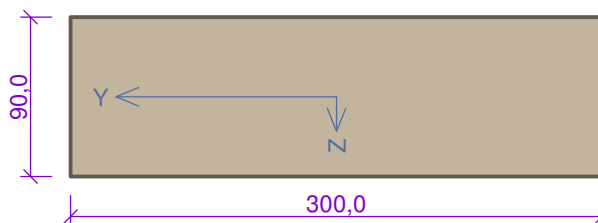
## 7.1 Vstupní data

Typ prvku: deska

Prostředí: X0

## Průřez

## Materiály

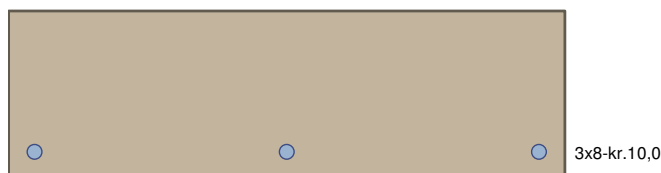
**Beton: C 20/25** $f_{ck} = 20,0 \text{ MPa}$ ;  $f_{ctm} = 2,2 \text{ MPa}$ ;  $E_{cm} = 30000 \text{ MPa}$ **Ocel podélná: 10425 (V)B** $f_{yk} = 420,0 \text{ MPa}$ ;  $E_s = 200000 \text{ MPa}$ **Ocel příčná: 10425 (V)** $f_{yk} = 420,0 \text{ MPa}$ ;  $E_s = 200000 \text{ MPa}$ 

## Vnitřní síly - základní návrhová (MSÚ)

| č. | Název zatěžovacího případu | $N_{Ed}$<br>[kN] | $M_{Edy}$<br>[kNm] | $M_{Edz}$<br>[kNm] | $V_{Edz}$<br>[kN] | $V_{Edy}$<br>[kN] | $T_{Ed}$<br>[kNm] | QP koef.<br>[-] |
|----|----------------------------|------------------|--------------------|--------------------|-------------------|-------------------|-------------------|-----------------|
| 1  | Zat. případ 1              | 0,00             | 0,00               | 0,00               | 4,66              | 0,00              | 0,00              | 1,000           |
| 2  | Zat. případ 2              | 0,00             | 3,31               | 0,00               | 0,00              | 0,00              | 0,00              | 1,000           |
| 3  | Zat. případ 3              | 0,00             | 0,00               | 0,00               | 4,13              | 0,00              | 0,00              | 1,000           |
| 4  | Zat. případ 4              | 0,00             | 2,57               | 0,00               | 0,00              | 0,00              | 0,00              | 1,000           |

## Podélná výztuž

| Počet | Profil [mm] | Krytí [mm] | Umístění     |
|-------|-------------|------------|--------------|
| 3     | 8           | 10,0       | dolní výztuž |



S tlačnou výztuží je počítáno.

## Minimální krytí

10,0 mm (uživ.)

## 7.2 Výsledky

## Posouzení min. a max. stupně vyztužení

Deska (tažená výztuž - minimum, celková výztuž - maximum):

$$\rho_{s,t} = 0,00661 \geq \rho_{s,min} = 0,00136$$

$$\rho_{s,t,CSN} = 0,00559 \geq \rho_{s,min,CSN} = 0,00151 \Rightarrow \text{Vyhovuje}$$

$$\rho_s = 0,00559 \leq \rho_{s,max} = 0,04 \Rightarrow \text{Vyhovuje}$$

## Posouzení mezního stavu únosnosti

| č. | Název         | $N_{Ed}$<br>$N_{Rd}$<br>[kN] | $M_{Edy}$<br>$M_{Rdy}$<br>[kNm] | $M_{Edz}$<br>$M_{Rdz}$<br>[kNm] | $V_{Edz}$<br>$V_{Rdz}$<br>[kN] | $V_{Edy}$<br>$V_{Rdy}$<br>[kN] | Posouzení |
|----|---------------|------------------------------|---------------------------------|---------------------------------|--------------------------------|--------------------------------|-----------|
| 1  | Zat. případ 1 | 0,00                         | 0,00                            | 0,00                            | 4,66                           | 0,00                           | Vyhovuje  |
|    |               | -415,09                      | 3,85                            | 0,00                            | 12,94                          | 0,00                           |           |
| 2  | Zat. případ 2 | 0,00                         | 3,31                            | 0,00                            | 0,00                           | 0,00                           | Vyhovuje  |
|    |               | 0,00                         | 3,85                            | 0,00                            | 0,00                           | 0,00                           |           |
| 3  | Zat. případ 3 | 0,00                         | 0,00                            | 0,00                            | 4,13                           | 0,00                           | Vyhovuje  |
|    |               | -415,09                      | 3,85                            | 0,00                            | 12,94                          | 0,00                           |           |
| 4  | Zat. případ 4 | 0,00                         | 2,57                            | 0,00                            | 0,00                           | 0,00                           | Vyhovuje  |
|    |               | 0,00                         | 3,85                            | 0,00                            | 0,00                           | 0,00                           |           |

Mezní stav únosnosti **VYHOVUJE**Celkové posouzení - Průřez **VYHOVUJE**

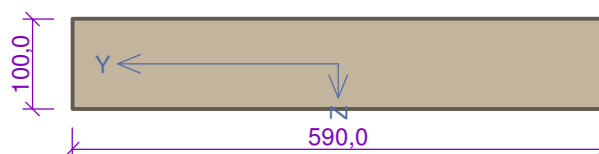
## 8 NV 17

### 8.1 Vstupní data

Typ prvku: deska

Prostředí: X0

#### Průřez



#### Materiály

##### Beton: C 20/25

 $f_{ck} = 20,0 \text{ MPa}$ ;  $f_{ctm} = 2,2 \text{ MPa}$ ;  $E_{cm} = 30000 \text{ MPa}$ 

##### Ocel podélná: 10 335 (J) (uživ.)

 $f_{yk} = 325,0 \text{ MPa}$ ;  $E_s = 200000 \text{ MPa}$ 

##### Ocel příčná: 10 335 (J) (uživ.)

 $f_{yk} = 325,0 \text{ MPa}$ ;  $E_s = 200000 \text{ MPa}$ 

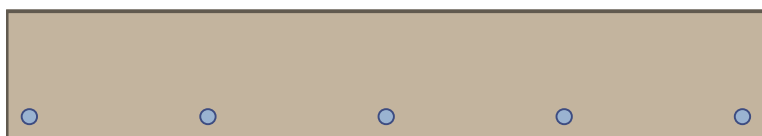
Pevnost oceli neodpovídá rozsahu 400-600MPa určenému normou, další výpočet odpovídá postupům EC2

#### Vnitřní síly - základní návrhová (MSÚ)

| č. | Název zatěžovacího případu | $N_{Ed}$<br>[kN] | $M_{Edy}$<br>[kNm] | $M_{Edz}$<br>[kNm] | $V_{Edz}$<br>[kN] | $V_{Edy}$<br>[kN] | $T_{Ed}$<br>[kNm] | QP koef.<br>[-] |
|----|----------------------------|------------------|--------------------|--------------------|-------------------|-------------------|-------------------|-----------------|
| 1  | Zat. případ 1              | 0,00             | 0,00               | 0,00               | 9,13              | 0,00              | 0,00              | 1,000           |
| 2  | Zat. případ 2              | 0,00             | 6,27               | 0,00               | 0,00              | 0,00              | 0,00              | 1,000           |

#### Podélná výztuž

| Počet | Profil [mm] | Krytí [mm] | Umístění     |
|-------|-------------|------------|--------------|
| 5     | 12          | 12,0       | dolní výztuž |



5x12-kr.12,0

S tlačnou výztuží je počítáno.

#### Minimální krytí

12,0 mm (uživ.)

### 8.2 Výsledky

#### Posouzení min. a max. stupně vyztužení

Deska (tažená výztuž - minimum, celková výztuž - maximum):

 $\rho_{s,t} = 0,0117 \geq \rho_{s,min} = 0,00176$  $\rho_{s,t,CSN} = 0,00958 \geq \rho_{s,min,CSN} = 0,0014 \Rightarrow$  **Vyhovuje** $\rho_s = 0,00958 \leq \rho_{s,max} = 0,04 \Rightarrow$  **Vyhovuje**

#### Posouzení mezního stavu únosnosti

| č. | Název         | $N_{Ed}$<br>$N_{Rd}$<br>[kN] | $M_{Edy}$<br>$M_{Rdy}$<br>[kNm] | $M_{Edz}$<br>$M_{Rdz}$<br>[kNm] | $V_{Edz}$<br>$V_{Rdz}$<br>[kN] | $V_{Edy}$<br>$V_{Rdy}$<br>[kN] | Posouzení |
|----|---------------|------------------------------|---------------------------------|---------------------------------|--------------------------------|--------------------------------|-----------|
| 1  | Zat. případ 1 | 0,00                         | 0,00                            | 0,00                            | 9,13                           | 0,00                           | Vyhovuje  |
|    |               | -946,63                      | 11,54                           | 0,00                            | 33,20                          | 0,00                           |           |
| 2  | Zat. případ 2 | 0,00                         | 6,27                            | 0,00                            | 0,00                           | 0,00                           | Vyhovuje  |
|    |               | 0,00                         | 11,54                           | 0,00                            | 0,00                           | 0,00                           |           |

**Mezní stav únosnosti VYHOVUJE****Celkové posouzení - Průřez VYHOVUJE**

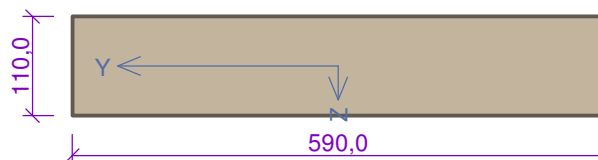
## 9 NV 18

## 9.1 Vstupní data

Typ prvku: deska  
Prostředí: X0

## Průřez

## Materiály



## Beton: C 20/25

 $f_{ck} = 20,0 \text{ MPa}$ ;  $f_{ctm} = 2,2 \text{ MPa}$ ;  $E_{cm} = 30000 \text{ MPa}$ 

## Ocel podélná: 10425 (V)B

 $f_{yk} = 420,0 \text{ MPa}$ ;  $E_s = 200000 \text{ MPa}$ 

## Ocel příčná: 10425 (V)

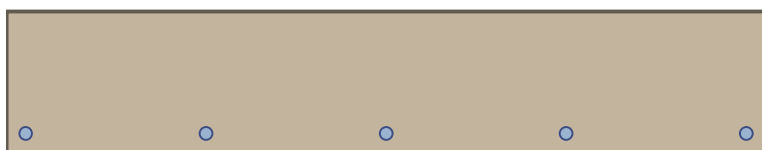
 $f_{yk} = 420,0 \text{ MPa}$ ;  $E_s = 200000 \text{ MPa}$ 

## Vnitřní síly - základní návrhová (MSÚ)

| č. | Název zatěžovacího případu | $N_{Ed}$<br>[kN] | $M_{Edy}$<br>[kNm] | $M_{Edz}$<br>[kNm] | $V_{Edz}$<br>[kN] | $V_{Edy}$<br>[kN] | $T_{Ed}$<br>[kNm] | QP koef.<br>[-] |
|----|----------------------------|------------------|--------------------|--------------------|-------------------|-------------------|-------------------|-----------------|
| 1  | Zat. případ 1              | 0,00             | 0,00               | 0,00               | 6,86              | 0,00              | 0,00              | 1,000           |
| 2  | Zat. případ 2              | 0,00             | 4,55               | 0,00               | 0,00              | 0,00              | 0,00              | 1,000           |

## Podélná výztuž

| Počet | Profil [mm] | Krytí [mm] | Umístění     |
|-------|-------------|------------|--------------|
| 5     | 10          | 10,0       | dolní výztuž |



5x10-kr.10,0

S tlačnou výztuží je počítáno.

## Minimální krytí

10,0 mm (uživ.)

## 9.2 Výsledky

## Posouzení min. a max. stupně vyztužení

Deska (tažená výztuž - minimum, celková výztuž - maximum):

 $\rho_{s,t} = 0,00701 \geq \rho_{s,min} = 0,00136$ 
 $\rho_{s,t,CSN} = 0,00605 \geq \rho_{s,min,CSN} = 0,00151 \Rightarrow \text{Vyhovuje}$ 
 $\rho_s = 0,00605 \leq \rho_{s,max} = 0,04 \Rightarrow \text{Vyhovuje}$ 

## Posouzení mezního stavu únosnosti

| č. | Název         | $N_{Ed}$<br>$N_{Rd}$<br>[kN] | $M_{Edy}$<br>$M_{Rdy}$<br>[kNm] | $M_{Edz}$<br>$M_{Rdz}$<br>[kNm] | $V_{Edz}$<br>$V_{Rdz}$<br>[kN] | $V_{Edy}$<br>$V_{Rdy}$<br>[kN] | Posouzení |
|----|---------------|------------------------------|---------------------------------|---------------------------------|--------------------------------|--------------------------------|-----------|
| 1  | Zat. případ 1 | 0,00<br>-1008,80             | 0,00<br>12,44                   | 0,00<br>0,00                    | 6,86<br>32,43                  | 0,00<br>0,00                   | Vyhovuje  |
| 2  | Zat. případ 2 | 0,00<br>0,00                 | 4,55<br>12,44                   | 0,00<br>0,00                    | 0,00<br>0,00                   | 0,00<br>0,00                   | Vyhovuje  |

Mezní stav únosnosti **VYHOVUJE**

Celkové posouzení - Průřez **VYHOVUJE**

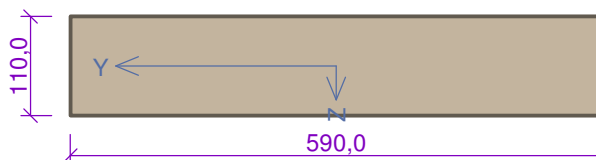
## 10 NV 19

## 10.1 Vstupní data

Typ prvku: deska  
Prostředí: X0

## Průřez

## Materiály



## Beton: C 20/25

$f_{ck} = 20,0 \text{ MPa}$ ;  $f_{ctm} = 2,2 \text{ MPa}$ ;  $E_{cm} = 30000 \text{ MPa}$

## Ocel podélná: 10425 (V)B

$f_{yk} = 420,0 \text{ MPa}$ ;  $E_s = 200000 \text{ MPa}$

## Ocel příčná: 10425 (V)

$f_{yk} = 420,0 \text{ MPa}$ ;  $E_s = 200000 \text{ MPa}$

## Vnitřní síly - základní návrhová (MSÚ)

| č. | Název zatěžovacího případu | $N_{Ed}$<br>[kN] | $M_{Edy}$<br>[kNm] | $M_{Edz}$<br>[kNm] | $V_{Edz}$<br>[kN] | $V_{Edy}$<br>[kN] | $T_{Ed}$<br>[kNm] | QP koef.<br>[-] |
|----|----------------------------|------------------|--------------------|--------------------|-------------------|-------------------|-------------------|-----------------|
| 1  | Zat. případ 3              | 0,00             | 0,00               | 0,00               | 9,22              | 0,00              | 0,00              | 1,000           |
| 2  | Zat. případ 4              | 0,00             | 6,48               | 0,00               | 0,00              | 0,00              | 0,00              | 1,000           |

## Podélná výztuž

| Počet | Profil [mm] | Krytí [mm] | Umístění     |
|-------|-------------|------------|--------------|
| 5     | 12          | 10,0       | dolní výztuž |



5x12-kr.10,0

S tlačnou výztuží je počítáno.

## Minimální krytí

10,0 mm (uživ.)

## 10.2 Výsledky

## Posouzení min. a max. stupně vyztužení

Deska (tažená výztuž - minimum, celková výztuž - maximum):

$\rho_{s,t} = 0,0102 \geq \rho_{s,min} = 0,00136$

$\rho_{s,t,CSN} = 0,00871 \geq \rho_{s,min,CSN} = 0,00151 \Rightarrow$  **Vyhovuje**

$\rho_s = 0,00871 \leq \rho_{s,max} = 0,04 \Rightarrow$  **Vyhovuje**

## Posouzení mezního stavu únosnosti

| č. | Název         | $N_{Ed}$<br>$N_{Rd}$<br>[kN] | $M_{Edy}$<br>$M_{Rdy}$<br>[kNm] | $M_{Edz}$<br>$M_{Rdz}$<br>[kNm] | $V_{Edz}$<br>$V_{Rdz}$<br>[kN] | $V_{Edy}$<br>$V_{Rdy}$<br>[kN] | Posouzení |
|----|---------------|------------------------------|---------------------------------|---------------------------------|--------------------------------|--------------------------------|-----------|
| 1  | Zat. případ 3 | 0,00                         | 0,00                            | 0,00                            | 9,22                           | 0,00                           | Vyhovuje  |
|    |               | -1071,92                     | 16,73                           | 0,00                            | 36,36                          | 0,00                           |           |
| 2  | Zat. případ 4 | 0,00                         | 6,48                            | 0,00                            | 0,00                           | 0,00                           | Vyhovuje  |
|    |               | 0,00                         | 16,73                           | 0,00                            | 0,00                           | 0,00                           |           |

**Mezní stav únosnosti VYHOVUJE**

**Celkové posouzení - Průřez VYHOVUJE**

## REKAPITULACE POSUDKU STROPNÍCH KONSTRUKCÍ

| číslo sondy                                       | označ. prvku | číslo zatížení       | nosný prvek          | osová vzdálenost | světlé rozpětí | využití MSÚ | využití MSP | využití MSS | z á v ě r  |
|---|--------------|----------------------|----------------------|------------------|----------------|-------------|-------------|-------------|------------|
| -   | -            | -                    | -                    | m                | m              | %           | %           | %           | -          |
| 1   | 2            | 3                    | 4                    | 5                | 6              | 7           | 8           | 9           | 10         |
| <b>Dřevěné stropní trámy</b>                      |              |                      |                      |                  |                |             |             |             |            |
| NV 21   | T2           | ZC21                 | trám 205/220         | 0,85             | 3,25           | 57          | 57          | 53          | VYHOVUJE   |
| NV 23   | T3           | ZC23                 | trám 190/205         | 0,91             | 3,20           | 95          | 107         | 83          | NEVYHOVUJE |
| NV 24   | T2           | ZC24                 | trám 200/230         | 1,03             | 3,16           | 61          | 57          | 61          | VYHOVUJE   |
| NV 26   | T3           | ZC26                 | trám 195/215         | 1,01             | 3,19           | 26          | 30          | 23          | VYHOVUJE   |
| NV 27   | T3           | ZC27                 | trám 160/200         | 0,97             | 3,40           | 38          | 51          | 31          | VYHOVUJE   |
| NV 29   | T3           | ZC29                 | trám 185/215         | 0,97             | 3,32           | 27          | 33          | 24          | VYHOVUJE   |
| NV 30   | T3           | ZC30                 | trám 165/215         | 0,81             | 3,28           | 28          | 33          | 25          | VYHOVUJE   |
| <b>I nosníky vynášející dřevěné stropní trámy</b> |              |                      |                      |                  |                |             |             |             |            |
| NV20  | I1           | ZC21                 | I 450                | 3,27             | 8,97           | 97          | 99          | 19          | VYHOVUJE   |
| NV22  | I1           | ZC23                 | I 450                | 2,97             | 9,00           | 111         | 116         | 22          | NEVYHOVUJE |
| NV25  | I1           | ZC24                 | I 450                | 3,08             | 9,33           | 99          | 105         | 19          | NEVYHOVUJE |
| NV28  | I1           | ZC26                 | I 400                | 3,01             | 9,33           | 59          | 73          | 10          | VYHOVUJE   |
| NV28  | I1           | ZC26+P <sub>30</sub> | I 400                | 3,01             | 9,33           | 89          | 109         | 13          | NEVYHOVUJE |
| NV31  | I1           | ZC30                 | I 400                | 3,39             | 9,00           | 64          | 77          | 12          | VYHOVUJE   |
| <b>I nosníky vynášející cihelné klenby</b>        |              |                      |                      |                  |                |             |             |             |            |
| NV1,2   | I1           | ZC1                  | I 220                | 1,22             | 4,20           | 90          | 90          | 21          | VYHOVUJE   |
| NV3   | I1           | ZC3                  | I 240                | 1,47             | 4,93           | 110         | 118         | 25          | NEVYHOVUJE |
| NV4   | I1           | ZC4                  | I 220                | 1,25             | 4,27           | 90          | 91          | 21          | VYHOVUJE   |
| NV5   | I1           | ZC4                  | I 220                | 1,42             | 4,30           | 106         | 108         | 25          | NEVYHOVUJE |
| NV5a  | I1           | ZC4                  | I 220-zkrácené rozp. | 1,12             | 3,45           | 68          | 56          | 20          | VYHOVUJE   |
| <b>I a U nosníky vynášející žb stropy</b>         |              |                      |                      |                  |                |             |             |             |            |
| NV8   | I1           | ZC7                  | IPN240               | 1,53             | 5,40           | 107         | 139         | 25          | NEVYHOVUJE |
| NV9   | I1           | ZC6                  | IPN240               | 1,60             | 5,40           | 112         | 146         | 26          | NEVYHOVUJE |
| NV10  | I1           | ZC10                 | IPE200               | 1,41             | 3,80           | 84          | 93          | 23          | VYHOVUJE   |
| NV10  | I1           | ZC10                 | U180                 | 1,23             | 5,42           | 48          | 85          | 7           | VYHOVUJE   |
| NV12  | I1           | ZC12                 | IPE180               | 1,76             | 3,55           | 60          | 67          | 17          | VYHOVUJE   |
| NV15  | I1           | 15+ST3               | IPN220               | 2,70             | 4,38           | 61          | 72          | 16          | VYHOVUJE   |
| NV19  | I1           | 19+ST3               | IPN240               | 1,60             | 5,40           | 45          | 59          | 10          | VYHOVUJE   |
| <b>I vynášející stropy z hurdisek</b>             |              |                      |                      |                  |                |             |             |             |            |
| NV16  | I1           | 16+ST3               | IPN200               | 1,42             | 4,16           | 55          | 66          | 14          | VYHOVUJE   |
| <b>žb stropy - PZD desky</b>                      |              |                      |                      |                  |                |             |             |             |            |
| NV6   | d            | ZC6                  | PZD 300 x 105        | -                | 2,77           | 66,4        |             | 45          | VYHOVUJE   |
| NV7   | d            | ZC6                  | PZD 600 x 100        | -                | 2,60           | 80,7        |             | 42,7        | VYHOVUJE   |
| NV10  | I            | ZC10                 | PZD300x85-segment    | -                | 1,05           | 300         |             | 300         | NEVYHOVUJE |
| NV11  | d            | ZC11                 | PZD 600 x 110        | -                | 3,30           | 80,4        |             | 40          | VYHOVUJE   |
| NV12  | d            | ZC12                 | PZD 300 x 90         | -                | 2,50           | 95,2        |             | 44,2        | VYHOVUJE   |
| NV13  | I            | ZC13                 | PZD500x220-segmen    | -                | 4,00           | 69,3        |             | 79,8        | VYHOVUJE   |
| NV14  | d            | ZC14                 | PZD 300 x 90         | -                | 2,69           | 86          |             | 36          | VYHOVUJE   |
| NV15  | d            | ZC15                 | PZD 300 x 90         | -                | 2,35           | 66,7        |             | 31,9        | VYHOVUJE   |
| NV17  | d            | ZC17                 | PZD 600 x 100        | -                | 2,60           | 54,3        |             | 27,5        | VYHOVUJE   |
| NV18  | d            | ZC18                 | PZD 600 x 110        | -                | 2,50           | 36,6        |             | 21,2        | VYHOVUJE   |
| NV19  | d            | ZC19                 | PZD 600 x 110        | -                | 2,66           | 38,7        |             | 25,4        | VYHOVUJE   |



## PŘÍLOHA Č. I.ch - ZATÍŽENÍ STROPNÍ VESTAVBY

### (1) ZATÍŽENÍ STÁLÉ

Zg\_NV37 STÁLÉ ZATÍŽENÍ STROPU -  $g_n / g_d$  - plošné

NV37

 - OCELOVÝ STROP NAD 1. NP

| skladba - popis vrstev              | tloušťka<br>[m] | obj.hmot.<br>$\gamma$ [kN.m <sup>3</sup> ] | zatížení [kN.m <sup>-2</sup> ] |             |   |
|-------------------------------------|-----------------|--|--------------------------------|-------------|---|
|                                     |                 |  | charakteristické               | $\gamma_g$  | návrhové                                  |
| cementový potěr                     | 0,035           | x 23,00                                    | = 0,805                        | 1,35        | 1,087                                     |
| betnová mazanina                    | 0,045           | x 22,00                                    | = 0,990                        | 1,35        | 1,337                                     |
| beton v TR plechu (35 až 85 mm)     | 0,070           | x 23,00                                    | = 1,610                        | 1,35        | 2,174                                     |
| TR plech 11 001                     |                 |  | = 0,097                        | 1,35        | 0,131                                     |
| nosná ocelová konstrukce            |                 |  | (započteno až v posudku)       |             |   |
| ocelový rástr z L 45/28/4 po 0,5 m  |                 |  | = 0,047                        | 1,35        | 0,064                                     |
| vápenná omítka na keramické pletivo | 0,050           | x 16,00                                    | = 0,800                        | 1,35        | 1,080                                     |
| celkové zatížení                    |                 |  | $g_k =$                        | <u>4,35</u> | $g_d =$ <u>5,87</u> [kN.m <sup>-2</sup> ] |
| zatížení bez podhledu               |                 |  | $g_k =$                        | <u>3,50</u> | $g_d =$ <u>4,73</u> [kN.m <sup>-2</sup> ] |
| zatížení podhledem,                 |                 |  | $g_k =$                        | <u>0,85</u> | $g_d =$ <u>1,14</u> [kN.m <sup>-2</sup> ] |

### (2) ZATÍŽENÍ UŽITNÉ

UŽITNÉ ZATÍŽENÍ STROPU -  $q_n / q_d$  - plošné

-

|   | zatížení [kN.m <sup>-2</sup> ] |            |             |
|---|--------------------------------|------------|-------------|
|   | charakteristické               | $\gamma_g$ | návrhové    |
| kategorie C1 (shromažďovací prostory se stoly, lavicemi)    | = <u>3,00</u>                  | 1,50       | <u>4,50</u> |
| kategorie C3 (shromažďovací prostory s volným pohybem osob) | = <u>5,00</u>                  | 1,50       | <u>7,50</u> |
| přemístitelné příchky do 3,0 kN/m                           | = <u>1,20</u>                  | 1,50       | <u>1,80</u> |

**PŘÍLOHA Č. I.i - NOSNÝ VLNITÝ PLECH STROPNÍ VESTAVBY****VSŽ**

VLNITÝ PLECH dle ČSN 42 6881

typ:

**11001**

mez kluzu / modul pružnosti

 $f_y = 190,00$  MPa $E_{sd} = 210000$  MPa**(+) POZITIV**

plastický průřezový modul

 $(+) W_{pl} = 12830$  mm<sup>3</sup> $= 0,01283$  m<sup>3</sup>/1mb

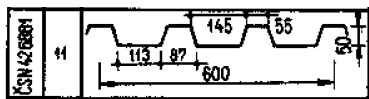
moment setrvačnosti

 $(+) I_y = 404700$  mm<sup>4</sup> $= 0,4047$  m<sup>4</sup>/1mb**(-) NEGATIV**

plastický průřezový modul

 $(-) W_{pl} = 12740$  mm<sup>3</sup> $= 0,01274$  m<sup>3</sup>/1mb

moment setrvačnosti

 $(-) I_y = 325700$  mm<sup>4</sup> $= 0,3257$  m<sup>4</sup>/1mb

délka pole

 $L = 1,50$  m

... plechy se vyráběly, v délkách 3 až 9 m

tl. plechu

 $t_N = 0,80$  mm

...dle typu 11001

vlastní tíha plechu

 $g_k = 9,70$  kg/m<sup>2</sup>**(1) Zatížení**

charakteristická hodnota zatížení větrem - sání

 $w_{k,max}^- = 0,00$  kN/m<sup>2</sup> $w_{d,max}^- = 0,00$  kN/m<sup>2</sup>

zatížení stálé (podlaha)

 $g_k = 3,41$  kN/m<sup>2</sup> $g_d = 4,60$  kN/m<sup>2</sup>

zatížení stálé (podhled)

 $g_k = 0,00$  kN/m<sup>2</sup> $g_d = 0,00$  kN/m<sup>2</sup>

zatížení stálé (vlastní tíha plechu)

 $g_k = 0,10$  kN/m<sup>2</sup> $g_d = 0,13$  kN/m<sup>2</sup>

zatížení stálé (vlastní tíha betonu v plechu)

 $g_k = 0,00$  kN/m<sup>2</sup> $g_d = 0,00$  kN/m<sup>2</sup>

zatížení větrem - tlak

 $w_{k,max}^+ = 0,00$  kN/m<sup>2</sup> $w_{d,max}^+ = 0,00$  kN/m<sup>2</sup>

zatížení užité (přemístitelné přčky do vl. vahy 3,0 kN/m)

 $q_k = 1,20$  kN/m<sup>2</sup> $q_d = 1,80$  kN/m<sup>2</sup>

zatížení užité

 $q_k = 3,00$  kN/m<sup>2</sup> $q_d = 4,50$  kN/m<sup>2</sup>

suma zatížení (+)

 $\Sigma q_k = 7,70$  kN/m<sup>2</sup> $\Sigma q_d = 11,03$  kN/m<sup>2</sup>**(2) Vnitřní síly**

(2) Vnitřní síly (spojitý nosník o 2 polích, viz tab č. C55, Rochla, 1982)

**POSUDEK  $M_{Ed}/M_{Rd}$** 

(2.1) nonsík o 1 poli

Reakce nosníku

 $A=B=R_{k,d} = 1/2 * \Sigma q_{k,d} * L = 1/2 * 11,03 * 1,50$  $R_k = 5,78$  kN/1mb $R_d = V_{Ed} = 8,27$  kN/1mb

Maximální výpočtový moment

 $+M_{y,Ed} = 1/8 * q_d * L^2 = 1/8 * 11,03 * 1,50^2 * 1,50$ **127%** $+M_{y,Ed} = 3,10$  kN.m/1mb**NEVYHOVUJE**

(2.2) nonsík o 2 polích

Reakce nosníku

 $A=C=R_{k,d} = 0,375 * \Sigma q_{k,d} * L = 0,375 * 11,03 * 1,50$  $R_k = 4,33$  kN/1mb $R_d = 6,20$  kN/1mb $B=R_{k,d} = 1,25 * \Sigma q_{k,d} * L = 1,25 * 11,03 * 1,50$  $R_k = 14,44$  kN/1mb $R_d = 20,68$  kN/1mb

Maximální výpočtový moment

 $-M_{y,Ed} = 1/8 * q_d * L^2 = 1/8 * 11,03 * 1,50^2 * 1,50$ **128%** $-M_{y,Ed} = 3,10$  kN.m/1mb**NEVYHOVUJE** $+M_{y,Ed} = 0,0703 * q_d * L^2 = 0,0703 * 11,03 * 1,50^2 * 1,50$ **72%** $+M_{y,Ed} = 1,74$  kN.m/1mb**VYHOVUJE**

(2.3) nonsík o 3 polích

Reakce nosníku

 $A=D=R_{k,d} = 0,4 * \Sigma q_{k,d} * L = 0,4 * 11,03 * 1,50$  $R_k = 4,62$  kN/1mb $R_d = 6,62$  kN/1mb $B=C=R_{k,d} = 1,0 * \Sigma q_{k,d} * L = 1,0 * 11,03 * 1,50$  $R_k = 11,55$  kN/1mb $R_d = 16,54$  kN/1mb

Maximální výpočtový moment

 $-M_{y,Ed} = 1/10 * q_d * L^2 = 1/10 * 11,03 * 1,50^2 * 1,50$ **103%** $-M_{y,Ed} = 2,48$  kN.m/1mb**NEVYHOVUJE** $+M_{y,Ed} = 0,080 * q_d * L^2 = 0,080 * 11,03 * 1,50^2 * 1,50$ **81%** $+M_{y,Ed} = 1,98$  kN.m/1mb**VYHOVUJE**

Maximální výpočtové momenty pro tři typy uložení (viz výše)

 $+M_{y,Ed} = 3,10$  kN.m/1mb

$$-M_{y,Ed} = 3,10 \quad \text{kN.m/1mb}$$

## (3) Posudek (MSÚ)

## (3.1) Odolnost konstrukce

klasifikace průřezu - třída 1

$$M_{Rd} = M_{pl,Rd}$$

$$\gamma_{M0,1} = 1,00$$

$$\text{Návrhová únosnost průřezu v ohybu\_POZITIV} \quad (+) M_{Rd} = (+) W_{y,pl} * f_y / \gamma_{M0} = 0,01283 * 190 / 1$$

$$(+ ) M_{Rd} = 2,44 \quad \text{kN.m/1mb}$$

$$\text{Návrhová únosnost průřezu v ohybu\_NEGATIV} \quad (-) M_{Rd} = (-) W_{y,pl} * f_y / \gamma_{M0} = 0,01274 * 190 / 1$$

$$(-) M_{Rd} = 2,42 \quad \text{kN.m/1mb}$$

## (3.2) Posudek na ohybovou únosnost

$$\text{Posudek polohy\_POZITIV} \quad M_{Ed} / M_{Rd} = 3,10 / 2,44 = 1,27 > 1,00 \quad \text{NEVYHOVUJE}$$

$$\text{Posudek polohy\_NEGATIV} \quad M_{Ed} / M_{Rd} = 3,10 / 2,44 = 1,27 > 1,00 \quad \text{NEVYHOVUJE}$$

(3.3) Posudek stojiny ve smyku (*orientace plechu nemá vliv na posudek!*)

$$\text{výška plechu} \quad h = 50,0 \quad \text{mm}$$

$$\text{půdorysná vzdálenost spodní a horní hrany stojiny} \quad \Delta = 6,0 \quad \text{mm}$$

$$\text{výška plechu v osách} \quad h_w = 49,2 \quad \text{mm}$$

$$\text{sklon stojiny} \quad \alpha = 83,05 \quad ^\circ$$

$$\text{osová délka 1 stojiny} \quad s_w = 49,6 \quad \text{mm}$$

$$\text{poměrná štíhlost stojiny} \quad \lambda_w = 0,346 * (s_w / t) * (f_{yb} / E)^{1/2} = 0,346 * (49,56 / 0,80) * (190 / 210\,000)^{1/2} =$$

(pro stojiny bez podélných výztuh)

$$\lambda_w = 0,64 \quad -$$

$$\text{symková pevnost vlivem boulení pro příslušné } \lambda_w \quad f_{bv} = 0,58 * f_{yb} = 0,58 * 190 = \dots \text{platí jen pro } \lambda_w \leq 0,83$$

$$f_{bv} = 110 \quad \text{MPa}$$

$$\text{návrhová únosnost ve smyku jedné stojiny} \quad V_{b,Rd}^1 = (s_w * t * f_{bv}) / \gamma_{M0} = (49,56 * 0,80) * (110 / 1) =$$

$$V_{b,Rd}^1 = 4,37 \quad \text{kN / 1 stojiny}$$

$$\text{půdortysné rozměry vln} \quad a = 145,0 \quad \text{mm} \quad b = 55,0 \quad \text{mm}$$

$$\text{návrhová únosnost ve smyku na šířku 1 bm} \quad V_{b,Rd} = 43,70 \quad \text{kN}$$

$$\text{výpočtová smyková síla na 1 bm} \quad V_{ed,1} = 9,92 \quad \text{kN}$$

$$V_{Ed} / V_{b,Rd} = 9,92 / 43,70 = 0,23 < 1,00 \quad \text{VYHOVUJE}$$

## (4) Posudek (MSP)

## (4.1) Limitní průhyb

$$\text{dovolený průhyb} \quad \delta_{max} = L / 250 = 1500 / 250$$

$$\delta_{max} = 6,0 \quad \text{mm}$$

## (4.2) Posudek průhybu

$$\text{max.svislý průhyb (nosník o 1 poli)} \quad w_{z,qk} = (5 * q_k * L^4) / (384 * E * I_y)$$

$$w_{z,qk} = 6,0 \quad \text{mm} = L / 251$$

$$w_{z,qk} / \delta_{max} = 5,97 / 6,00 = 1,00 < 1,00 \quad \text{VYHOVUJE}$$

$$\text{max.svislý průhyb (nosník o 2 polích)} \quad w_{z,qk} = (2 * q_k * L^4) / (384 * E * I_y)$$

$$w_{z,qk} = 2,4 \quad \text{mm} = L / 628$$

$$w_{z,qk} / \delta_{max} = 2,39 / 6,00 = 0,40 < 1,00 \quad \text{VYHOVUJE}$$

Ocelový plech VSŽ: 11001 je nevyhovující dle ČSN EN 1993-1-1.

Využití průřezu dle MSÚ

127%

Využití průřezu dle MSP

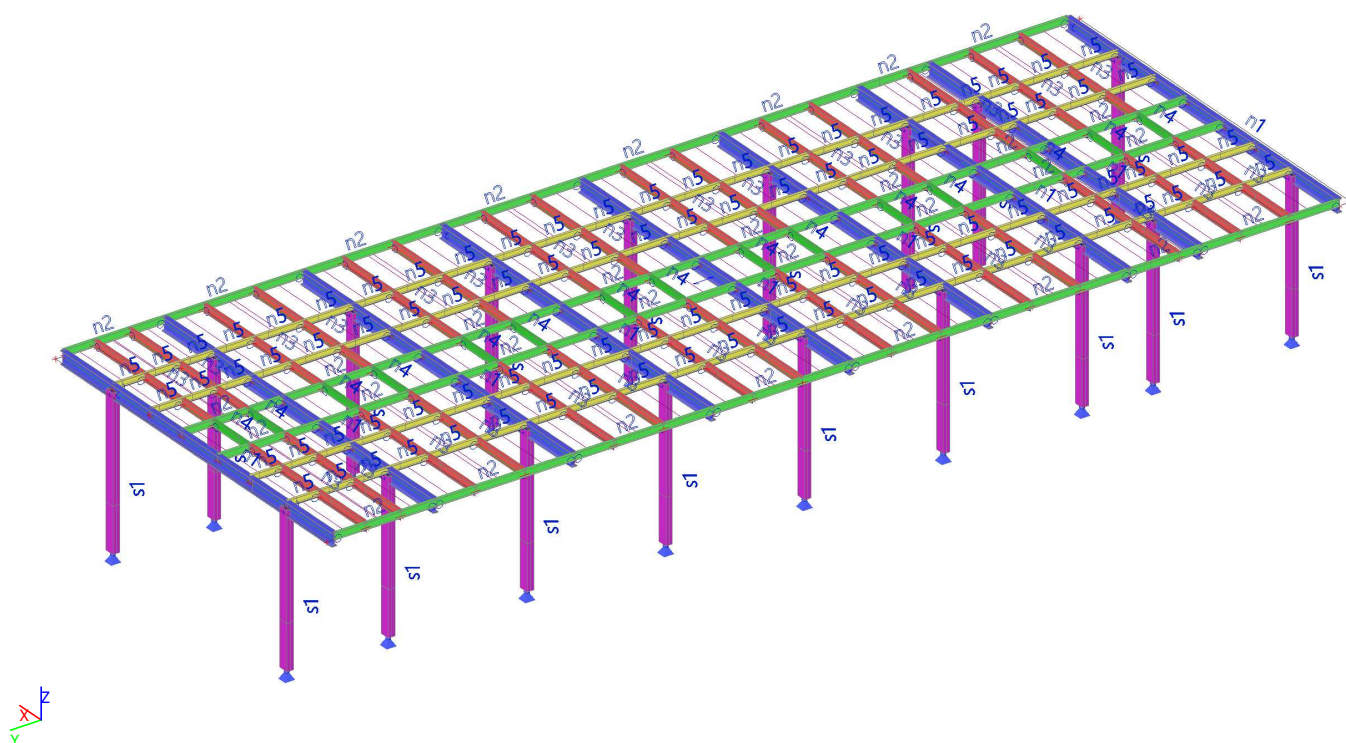
100%

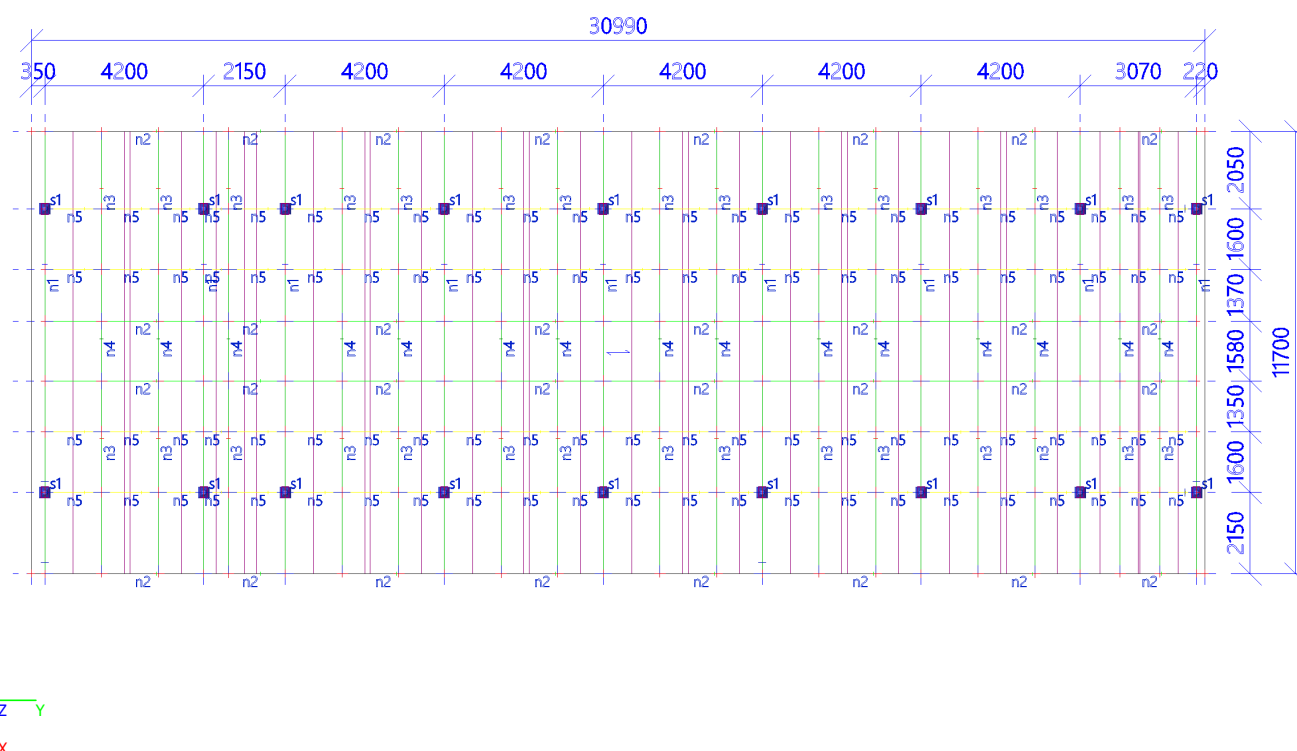
## Ocelová vestavba

### 1. Obsah







|  |    |
|--|----|
| 1. Obsah                                       | 1  |
| 2. DATA  | 1  |
| 2.1. Průřezy                                   | 3  |
| 2.2. Materiály                                 | 3  |
| 2.3. Zatěžovací stavy                          | 3  |
| 2.3.1. Zatěžovací stavy - ZS1                  | 3  |
| 2.3.2. Zatěžovací stavy - ZS2                  | 4  |
| 2.3.3. Zatěžovací stavy - ZS3                  | 4  |
| 2.3.4. Zatěžovací stavy - ZS4                  | 5  |
| 2.3.5. Zatěžovací stavy - ZS5                  | 6  |
| 2.3.6. Zatěžovací stavy - ZS6                  | 6  |
| 2.3.7. Zatěžovací stavy - ZS7                  | 7  |
| 2.4. Kombinace                                 | 8  |
| 3. VÝSLEDKY                                    | 8  |
| 3.1. 1D vnitřní síly                           | 8  |
| 3.2. 3D přemístění                             | 11 |
| 3.3. Reakce                                    | 12 |
| 4. POSUDEK_OCEL (EC-EN 1993)                   | 13 |
| 4.1. Posudek ocelových prvků na MSÚ EC-EN 1993 | 13 |
| 4.2. EC-EN 1993 Posudek oceli MSP              | 13 |

### 2. DATA






**Ocelová vestavba****2.1. Průřezy**

| Jméno | Typ                 | Materiál | Výroba    | A<br>[m <sup>2</sup> ] | A <sub>y</sub><br>[m <sup>2</sup> ] | I <sub>y</sub><br>[m <sup>4</sup> ] | W <sub>el,y</sub><br>[m <sup>3</sup> ] | W <sub>pl,y</sub><br>[m <sup>3</sup> ] | Barva   |
|-------|---------------------|----------|-----------|------------------------|-------------------------------------|-------------------------------------|--|--|---|
|       | Detailní            |          |           |                        | A <sub>z</sub><br>[m <sup>2</sup> ] | I <sub>z</sub><br>[m <sup>4</sup> ] | W <sub>el,z</sub><br>[m <sup>3</sup> ] | W <sub>pl,z</sub><br>[m <sup>3</sup> ] |   |
| n1    | I400                | S 235    | válcovaný | 1,1800e-02             | 7,2281e-03                          | 2,9210e-04                          | 1,4600e-03                             | 1,7122e-03                             |  |
|       |                     |          |           |                        | 5,7518e-03                          | 1,1600e-05                          | 1,4900e-04                             | 2,5400e-04                             |   |
| s1    | 2U komora<br>UPE300 | S 235    | svařovaný | 1,1327e-02             | 5,9158e-03                          | 1,5652e-04                          | 1,0435e-03                             | 1,2272e-03                             |  |
|       |                     |          |           |                        | 5,6189e-03                          | 6,8075e-05                          | 6,8075e-04                             | 8,0577e-04                             |   |
| n2    | I200                | S 235    | válcovaný | 3,3400e-03             | 2,1679e-03                          | 2,1400e-05                          | 2,1400e-04                             | 2,4858e-04                             |  |
|       |                     |          |           |                        | 1,5104e-03                          | 1,1700e-06                          | 2,6000e-05                             | 4,3600e-05                             |   |
| n3    | IPE220              | S 235    | válcovaný | 3,3400e-03             | 2,0643e-03                          | 2,7720e-05                          | 2,5200e-04                             | 2,8500e-04                             |  |
|       |                     |          |           |                        | 1,3244e-03                          | 2,0500e-06                          | 3,7300e-05                             | 5,8100e-05                             |   |
| n4    | I200                | S 235    | válcovaný | 3,3400e-03             | 2,1679e-03                          | 2,1400e-05                          | 2,1400e-04                             | 2,4858e-04                             |  |
|       |                     |          |           |                        | 1,5104e-03                          | 1,1700e-06                          | 2,6000e-05                             | 4,3600e-05                             |   |
| n5    | I160                | S 235    | válcovaný | 2,2800e-03             | 1,4977e-03                          | 9,3500e-06                          | 1,1700e-04                             | 1,3583e-04                             |  |
|       |                     |          |           |                        | 1,0159e-03                          | 5,4700e-07                          | 1,4800e-05                             | 2,4800e-05                             |   |

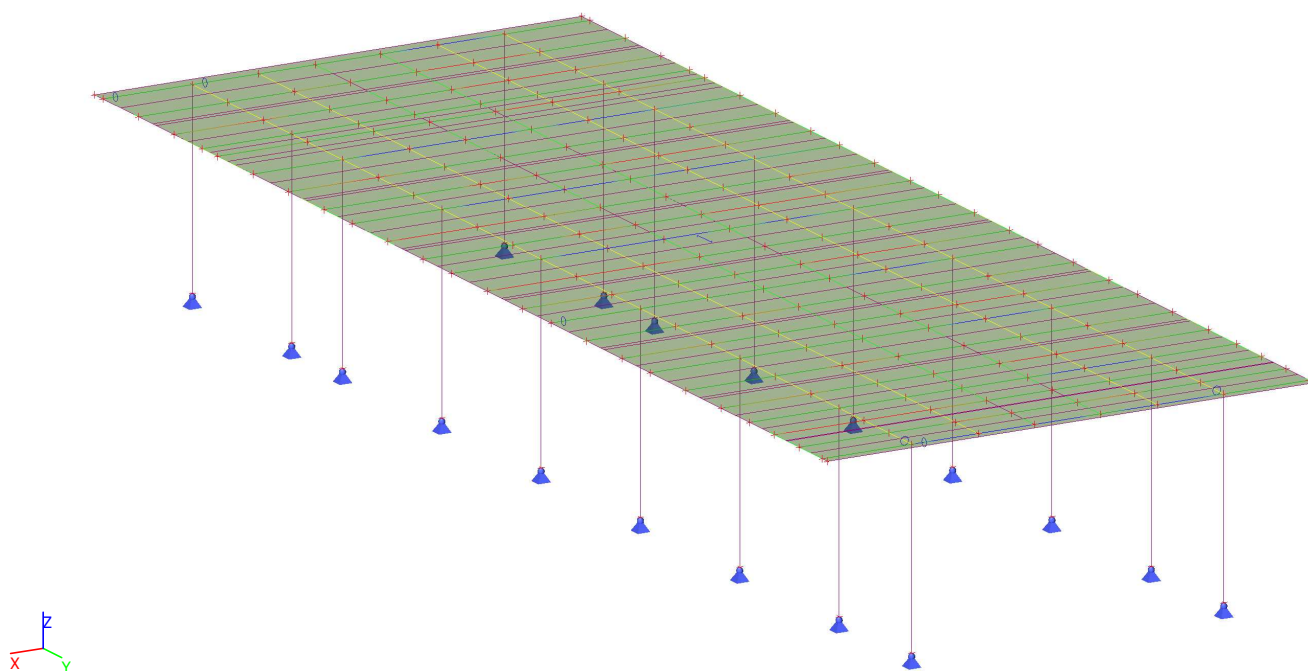
**2.2. Materiály**

Ocel EC3

| Jméno | ρ<br>[kg/m <sup>3</sup> ] | E <sub>mod</sub><br>[MPa] | μ           | Dolní mez<br>[mm] | Horní mez<br>[mm] | F <sub>y</sub><br>[MPa] | F <sub>u</sub><br>[MPa] | Barva   |
|-------|---------------------------|---------------------------|-------------|-------------------|-------------------|-------------------------|-------------------------|---|
|       |                           | G <sub>mod</sub><br>[MPa] | α<br>[m/mK] |                   |                   |                         |                         |   |
| S 235 | 7850,0                    | 2,1000e+05                | 0,3         | 0                 | 40                | 235,0                   | 360,0                   |  |
|       |                           | 8,0769e+04                | 0,00        | 40                | 80                | 215,0                   | 360,0                   |   |

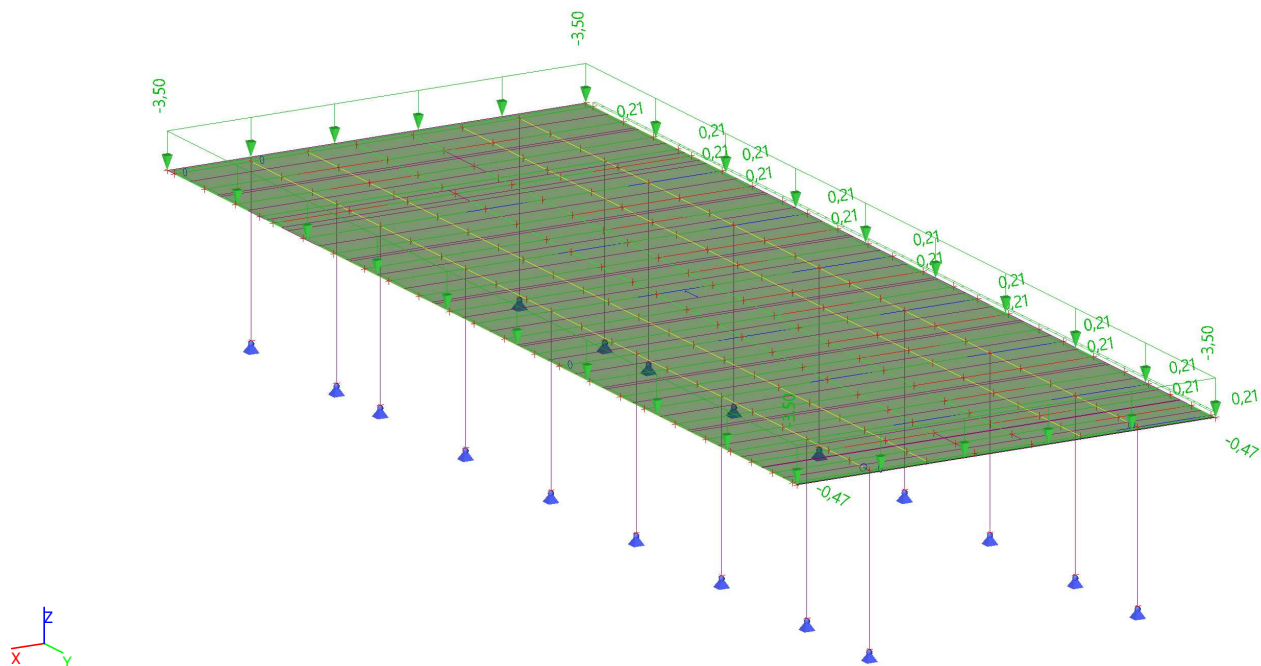
**2.3. Zatěžovací stavy****2.3.1. Zatěžovací stavy - ZS1**

| Jméno | Popis        | Typ působení          | Skupina zatížení | Směr |
|-------|--------------|-----------------------|------------------|------|
|       | Spec         | Typ zatížení          |                  |      |
| ZS1   | Vlastní tíha | Stálé<br>Vlastní tíha | SZ1              | -Z   |



**Ocelová vestavba****2.3.2. Zatěžovací stavy - ZS2**

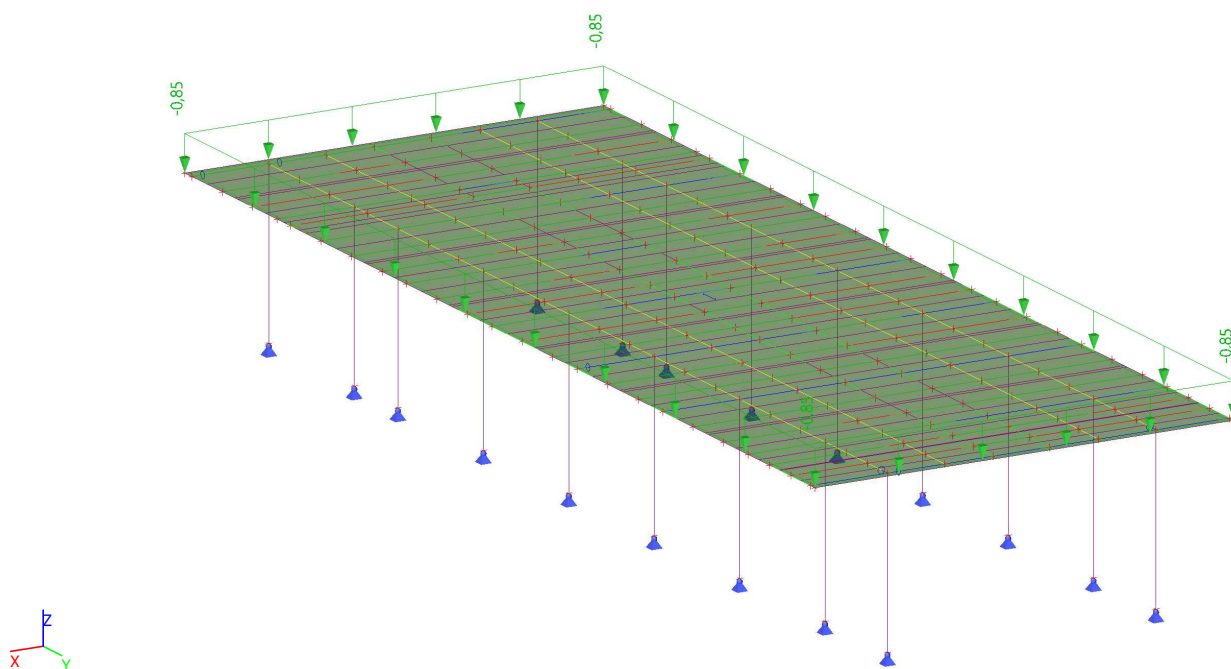
| Jméno | Popis                    | Typ působení | Skupina zatížení |
|-------|--------------------------|--------------|------------------|
|       | Spec                     | Typ zatížení |                  |
| ZS2   | stálé zatížení - podlaha | Stálé        | SZ1              |
|       |                          | Standard     |                  |

**2.3.3. Zatěžovací stavy - ZS3**

| Jméno | Popis                    | Typ působení | Skupina zatížení |
|-------|--------------------------|--------------|------------------|
|       | Spec                     | Typ zatížení |                  |
| ZS3   | stálé zatížení - podhled | Stálé        | SZ1              |
|       |                          | Standard     |                  |

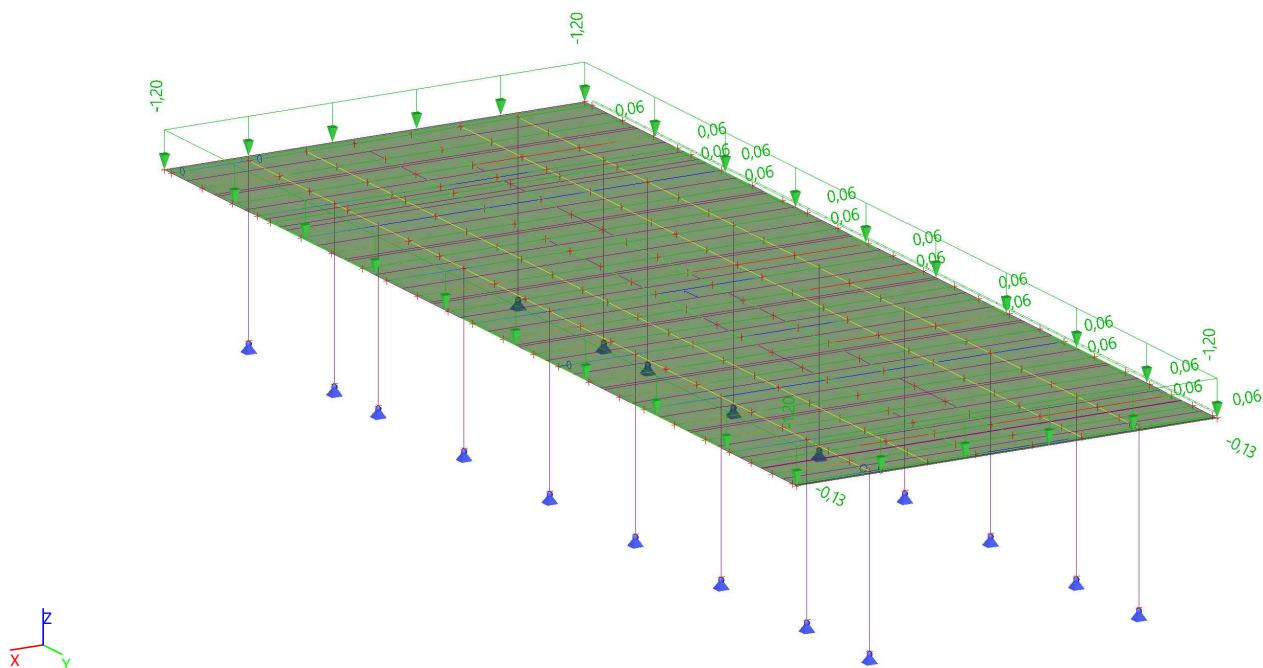


## Ocelová vestavba



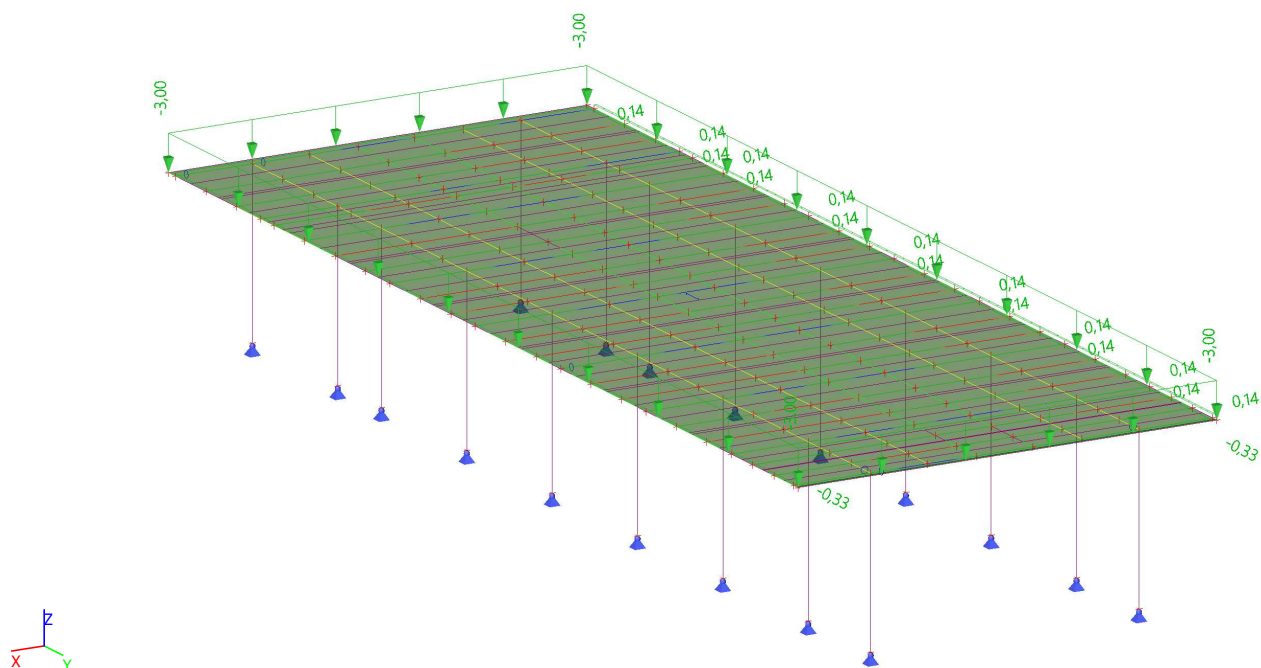
## 2.3.4. Zatěžovací stavy - ZS4

| Jméno | Popis                                     | Typ působení | Skupina zatížení | Působení   | Řídící zat. stav |
|-------|---|--------------|------------------|------------|------------------|
|       | Spec                                      | Typ zatížení |                  |            |                  |
| ZS4   | užitné (přemístitelné příčky do 3,0 kN/m) | Proměnné     | kat. C           | Krátkodobé | Žádný            |
|       | Standard                                  | Statické     |                  |            |                  |



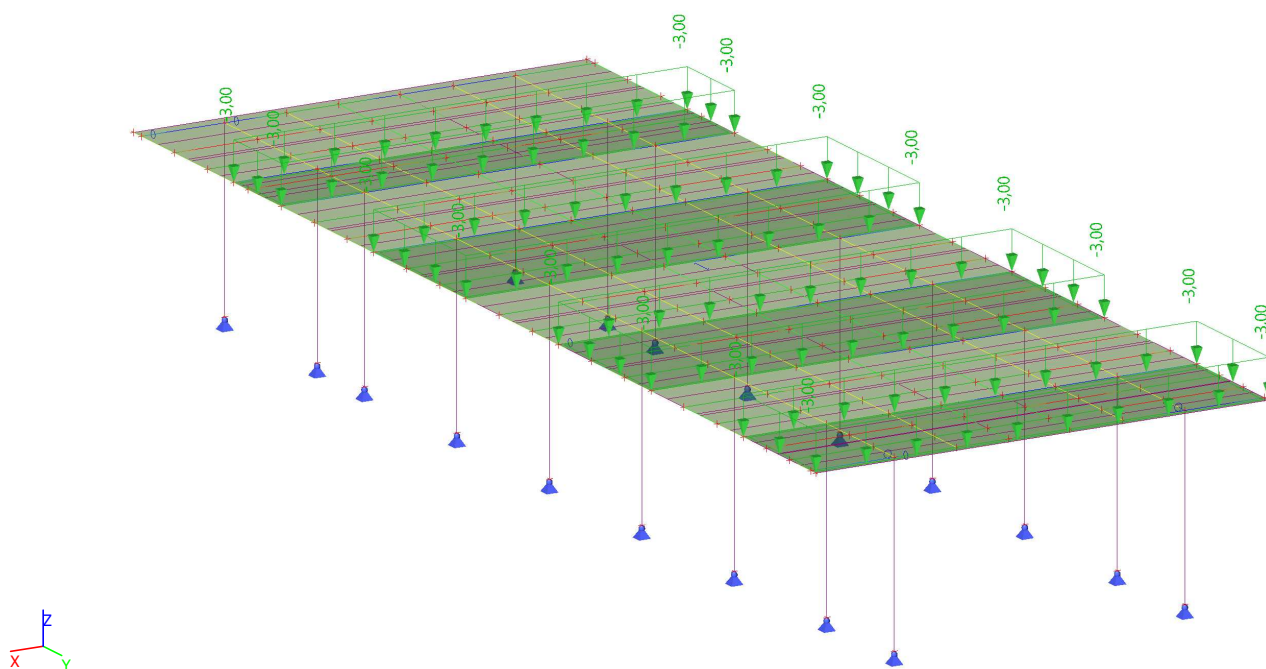
**Ocelová vestavba****2.3.5. Zatěžovací stavy - ZS5**

| Jméno | Popis        | Typ působení | Skupina zatížení | Působení   | Řídící zat. stav |
|-------|--------------|--------------|------------------|------------|------------------|
|       | Spec         | Typ zatížení |                  |            |                  |
| ZS5   | užitné (1;1) | Proměnné     | kat. C           | Krátkodobé | Žádný            |
|       | Standard     | Statické     |                  |            |                  |

**2.3.6. Zatěžovací stavy - ZS6**

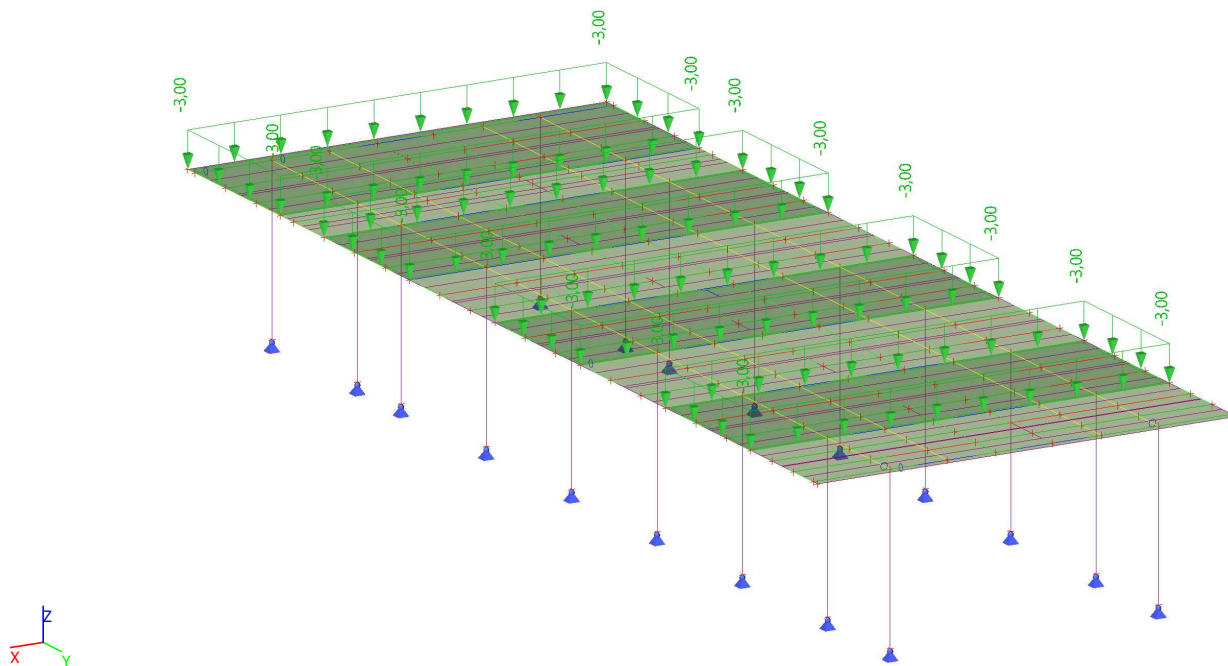
| Jméno | Popis        | Typ působení | Skupina zatížení | Působení   | Řídící zat. stav |
|-------|--------------|--------------|------------------|------------|------------------|
|       | Spec         | Typ zatížení |                  |            |                  |
| ZS6   | užitné (1;0) | Proměnné     | kat. C           | Krátkodobé | Žádný            |
|       | Standard     | Statické     |                  |            |                  |

## Ocelová vestavba



## 2.3.7. Zatěžovací stavy - ZS7

| Jméno | Popis        | Typ působení | Skupina zatížení | Působení   | Řídící zat. stav |
|-------|--------------|--------------|------------------|------------|------------------|
|       | Spec         | Typ zatížení |                  |            |                  |
| ZS7   | užitné (0;1) | Proměnné     | kat. C           | Krátkodobé | Žádný            |
|       | Standard     | Statické     |                  |            |                  |



**Ocelová vestavba****2.4. Kombinace**

| Jméno             | Popis | Typ                       | Zatěžovací stavy                               | Souč. [-] |
|-------------------|-------|---------------------------|--|-----------|
| MSÚ-Sada B (auto) |       | EN-MSÚ (STR/GEO) Soubor B | ZS1 - Vlastní tíha                             | 1,00      |
|                   |       |                           | ZS2 - stálé zatížení - podlaha                 | 1,00      |
|                   |       |                           | ZS4 - užité (přemístitelné příčky do 3,0 kN/m) | 1,00      |
|                   |       |                           | ZS3 - stálé zatížení - podhled                 | 1,00      |
|                   |       |                           | ZS5 - užité (1;1)                              | 1,00      |
|                   |       |                           | ZS6 - užité (1;0)                              | 1,00      |
|                   |       |                           | ZS7 - užité (0;1)                              | 1,00      |
| MSP-Char (auto)   |       | EN-MSP charakteristická   | ZS1 - Vlastní tíha                             | 1,00      |
|                   |       |                           | ZS2 - stálé zatížení - podlaha                 | 1,00      |
|                   |       |                           | ZS4 - užité (přemístitelné příčky do 3,0 kN/m) | 1,00      |
|                   |       |                           | ZS3 - stálé zatížení - podhled                 | 1,00      |
|                   |       |                           | ZS5 - užité (1;1)                              | 1,00      |
|                   |       |                           | ZS6 - užité (1;0)                              | 1,00      |
|                   |       |                           | ZS7 - užité (0;1)                              | 1,00      |
| MS - POŽÁR        |       | EN-mimořádné 1            | ZS1 - Vlastní tíha                             | 1,00      |
|                   |       |                           | ZS2 - stálé zatížení - podlaha                 | 1,00      |
|                   |       |                           | ZS4 - užité (přemístitelné příčky do 3,0 kN/m) | 1,00      |

**3. VÝSLEDKY****3.1. 1D vnitřní síly**

Lineární výpočet

Třída: Všechny MSÚ

Souřadný systém: Hlavní

Extrém 1D: Průřez

Výběr: Vše

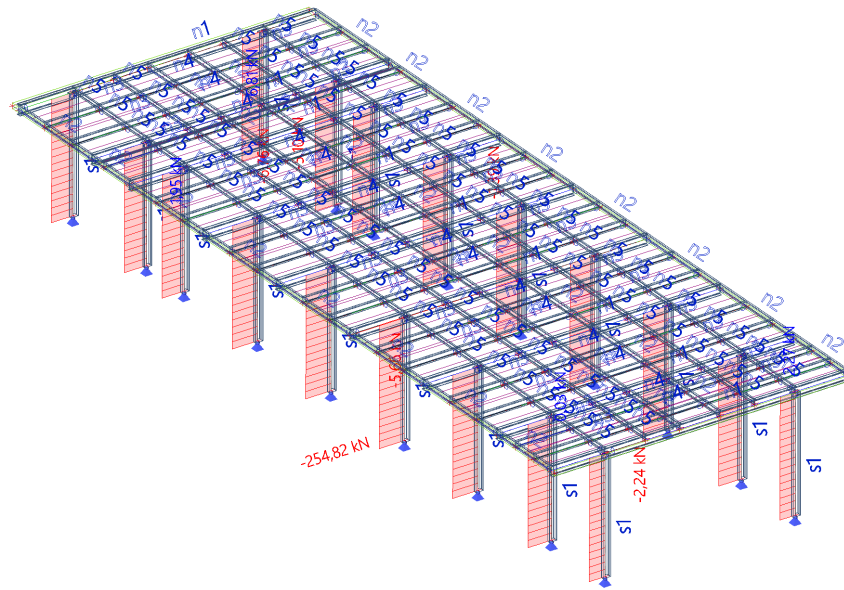
| Jméno | dx [m] | Stav                | Průřez                  | N [kN]         | V <sub>y</sub> [kN] | V <sub>z</sub> [kN] | M <sub>x</sub> [kNm] | M <sub>y</sub> [kNm] | M <sub>z</sub> [kNm] |
|-------|--------|---------------------|-------------------------|----------------|---------------------|---------------------|----------------------|----------------------|----------------------|
| B10   | 9,550+ | MSÚ-Sada B (auto)/1 | n1 - I400               | <b>-5,66</b>   | 0,12                | 100,87              | -0,01                | -178,51              | -0,15                |
| B22   | 5,020+ | MSÚ-Sada B (auto)/2 | n1 - I400               | <b>6,81</b>    | -0,19               | 14,41               | 0,02                 | 166,12               | -0,03                |
| B1    | 2,050- | MSÚ-Sada B (auto)/1 | n1 - I400               | 0,15           | <b>-2,14</b>        | -41,79              | 0,00                 | -67,27               | -1,98                |
| B1    | 9,550+ | MSÚ-Sada B (auto)/1 | n1 - I400               | 0,88           | <b>2,32</b>         | 43,03               | -0,01                | -72,35               | -2,02                |
| B10   | 9,550- | MSÚ-Sada B (auto)/3 | n1 - I400               | -2,06          | -0,01               | <b>-151,79</b>      | 0,00                 | -157,16              | -0,01                |
| B13   | 2,050+ | MSÚ-Sada B (auto)/2 | n1 - I400               | 0,55           | 0,13                | <b>148,28</b>       | -0,01                | -145,90              | -0,10                |
| B1    | 7,950+ | MSÚ-Sada B (auto)/1 | n1 - I400               | -1,51          | 0,18                | -51,16              | <b>-0,26</b>         | 20,68                | -0,76                |
| B10   | 9,550- | MSÚ-Sada B (auto)/1 | n1 - I400               | -4,78          | -0,03               | -149,14             | 0,01                 | <b>-178,59</b>       | -0,05                |
| B10   | 5,810- | MSÚ-Sada B (auto)/3 | n1 - I400               | -0,04          | 0,08                | -1,65               | -0,01                | <b>196,81</b>        | 0,06                 |
| B1    | 2,050+ | MSÚ-Sada B (auto)/1 | n1 - I400               | -0,01          | 1,77                | 63,51               | <b>0,27</b>          | -67,24               | <b>-2,06</b>         |
| B1    | 5,020- | MSÚ-Sada B (auto)/1 | n1 - I400               | -0,31          | 0,85                | 37,40               | 0,02                 | 82,63                | <b>1,37</b>          |
| B12   | 0,000  | MSÚ-Sada B (auto)/1 | s1 - 2U komora (UPE300) | <b>-254,82</b> | 0,00                | 0,00                | 0,00                 | 0,00                 | 0,00                 |
| B2    | 4,540  | MS - POŽÁR/4        | s1 - 2U komora (UPE300) | <b>-43,53</b>  | <b>0,00</b>         | <b>0,00</b>         | <b>0,00</b>          | <b>0,00</b>          | <b>0,00</b>          |
| B34   | 0,000  | MSÚ-Sada B (auto)/1 | n2 - I200               | <b>-1,39</b>   | -0,18               | 33,73               | 0,01                 | 0,00                 | 0,00                 |
| B41   | 1,200+ | MSÚ-Sada B (auto)/1 | n2 - I200               | <b>1,95</b>    | 0,05                | 3,60                | 0,00                 | 40,89                | -0,05                |

**Ocelová vestavba**

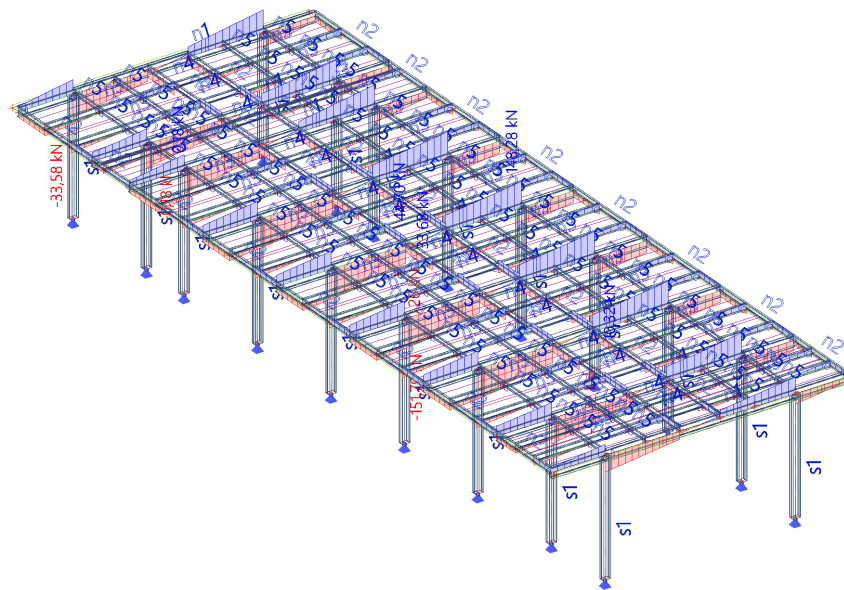
| Jméno | dx<br>[m] | Stav                   | Průřez      | N<br>[kN]    | V <sub>y</sub><br>[kN] | V <sub>z</sub><br>[kN] | M <sub>x</sub><br>[kNm] | M <sub>y</sub><br>[kNm] | M <sub>z</sub><br>[kNm] |
|-------|-----------|------------------------|-------------|--------------|------------------------|------------------------|-------------------------|-------------------------|-------------------------|
| B58   | 1,500+    | MSÚ-Sada B<br>(auto)/2 | n2 - I200   | -0,18        | <b>-1,25</b>           | -10,94                 | <b>0,04</b>             | 7,17                    | 0,40                    |
| B47   | 4,200     | MSÚ-Sada B<br>(auto)/1 | n2 - I200   | -0,37        | -0,29                  | <b>-40,26</b>          | -0,01                   | 0,00                    | -0,23                   |
| B48   | 0,000     | MSÚ-Sada B<br>(auto)/1 | n2 - I200   | -0,27        | -0,61                  | <b>44,70</b>           | 0,01                    | <b>0,00</b>             | 0,41                    |
| B47   | 2,700+    | MSÚ-Sada B<br>(auto)/1 | n2 - I200   | -0,37        | -0,29                  | -39,81                 | -0,01                   | <b>60,05</b>            | 0,20                    |
| B50   | 1,500+    | MSÚ-Sada B<br>(auto)/2 | n2 - I200   | -0,20        | <b>1,77</b>            | -11,07                 | <b>-0,03</b>            | 7,26                    | <b>-0,53</b>            |
| B47   | 0,000     | MSÚ-Sada B<br>(auto)/1 | n2 - I200   | -0,01        | -0,93                  | 44,70                  | 0,01                    | 0,00                    | <b>0,64</b>             |
| B102  | 3,650+    | MSÚ-Sada B<br>(auto)/2 | n3 - IPE220 | <b>-5,10</b> | 0,19                   | -5,53                  | 0,00                    | 11,91                   | -0,16                   |
| B60   | 2,950+    | MS -<br>POŽÁR/5        | n3 - IPE220 | <b>0,03</b>  | 0,06                   | -2,08                  | 0,00                    | 15,59                   | -0,05                   |
| B96   | 3,650+    | MSÚ-Sada B<br>(auto)/1 | n3 - IPE220 | -0,81        | <b>-0,62</b>           | -15,25                 | <b>0,01</b>             | 33,15                   | 0,35                    |
| B83   | 0,000     | MSÚ-Sada B<br>(auto)/1 | n3 - IPE220 | -0,96        | <b>0,64</b>            | 30,39                  | 0,00                    | <b>0,00</b>             | -0,47                   |
| B80   | 0,000     | MSÚ-Sada B<br>(auto)/1 | n3 - IPE220 | -0,65        | 0,49                   | <b>33,68</b>           | <b>-0,01</b>            | 0,00                    | -0,39                   |
| B98   | 2,683     | MSÚ-Sada B<br>(auto)/2 | n3 - IPE220 | -0,38        | -0,28                  | -1,69                  | 0,00                    | <b>42,89</b>            | -0,10                   |
| B98   | 5,100     | MSÚ-Sada B<br>(auto)/1 | n3 - IPE220 | -0,28        | -0,46                  | <b>-33,58</b>          | 0,00                    | 0,00                    | <b>-0,60</b>            |
| B83   | 5,100     | MSÚ-Sada B<br>(auto)/1 | n3 - IPE220 | -0,25        | 0,40                   | -30,29                 | 0,01                    | 0,00                    | <b>0,51</b>             |
| B103  | 0,000     | MSÚ-Sada B<br>(auto)/2 | n4 - I200   | <b>-6,76</b> | -0,09                  | 3,64                   | 0,00                    | 0,00                    | 0,03                    |
| B64   | 0,000     | MSÚ-Sada B<br>(auto)/6 | n4 - I200   | <b>-0,26</b> | 0,09                   | 3,00                   | 0,00                    | <b>0,00</b>             | -0,07                   |
| B97   | 0,000     | MSÚ-Sada B<br>(auto)/1 | n4 - I200   | -0,72        | <b>-0,45</b>           | <b>10,32</b>           | 0,00                    | 0,00                    | 0,33                    |
| B94   | 0,000     | MSÚ-Sada B<br>(auto)/1 | n4 - I200   | -1,32        | -0,02                  | 9,32                   | <b>0,00</b>             | 0,00                    | 0,06                    |
| B67   | 0,790     | MSÚ-Sada B<br>(auto)/1 | n4 - I200   | -0,92        | 0,03                   | 0,00                   | <b>0,00</b>             | <b>4,08</b>             | -0,04                   |
| B97   | 1,580     | MSÚ-Sada B<br>(auto)/1 | n4 - I200   | -0,72        | -0,45                  | <b>-10,32</b>          | 0,00                    | 0,00                    | <b>-0,38</b>            |
| B82   | 1,580     | MSÚ-Sada B<br>(auto)/1 | n4 - I200   | -1,34        | <b>0,39</b>            | -9,32                  | 0,00                    | 0,00                    | <b>0,36</b>             |
| B128  | 0,000     | MSÚ-Sada B<br>(auto)/1 | n5 - I160   | <b>-2,24</b> | -0,30                  | 0,10                   | 0,03                    | 0,00                    | 0,09                    |
| B174  | 0,000     | MSÚ-Sada B<br>(auto)/1 | n5 - I160   | <b>2,27</b>  | -0,16                  | 0,10                   | 0,02                    | <b>0,00</b>             | 0,08                    |
| B171  | 0,000     | MSÚ-Sada B<br>(auto)/2 | n5 - I160   | -0,49        | <b>-1,93</b>           | 0,07                   | 0,03                    | 0,00                    | 0,61                    |
| B111  | 1,500     | MSÚ-Sada B<br>(auto)/7 | n5 - I160   | 0,17         | 0,06                   | <b>-0,18</b>           | 0,00                    | 0,00                    | 0,04                    |
| B111  | 0,000     | MSÚ-Sada B<br>(auto)/7 | n5 - I160   | 0,17         | 0,06                   | <b>0,18</b>            | 0,00                    | 0,00                    | -0,05                   |
| B171  | 0,000     | MSÚ-Sada B<br>(auto)/1 | n5 - I160   | -0,93        | -1,89                  | 0,07                   | <b>0,05</b>             | 0,00                    | 0,60                    |
| B111  | 0,600     | MSÚ-Sada B<br>(auto)/7 | n5 - I160   | 0,17         | 0,06                   | 0,04                   | 0,00                    | <b>0,06</b>             | -0,01                   |
| B148  | 0,000     | MSÚ-Sada B<br>(auto)/1 | n5 - I160   | 0,22         | 2,66                   | 0,07                   | -0,06                   | 0,00                    | <b>-0,84</b>            |
| B148  | 0,650     | MSÚ-Sada B<br>(auto)/1 | n5 - I160   | 0,22         | <b>2,66</b>            | -0,07                  | <b>-0,06</b>            | 0,00                    | <b>0,89</b>             |

**Ocelová vestavba**

Hodnoty: **N**  
Lineární výpočet  
Třída: Všechny MSU  
Souřadný systém: Hlavní  
Extrém 1D: Průřez  
Výběr: Vše



Hodnoty: **V<sub>z</sub>**  
Lineární výpočet  
Třída: Všechny MSU  
Souřadný systém: Hlavní  
Extrém 1D: Průřez  
Výběr: Vše





**Ocelová vestavba**Hodnoty:  $M_y$ 

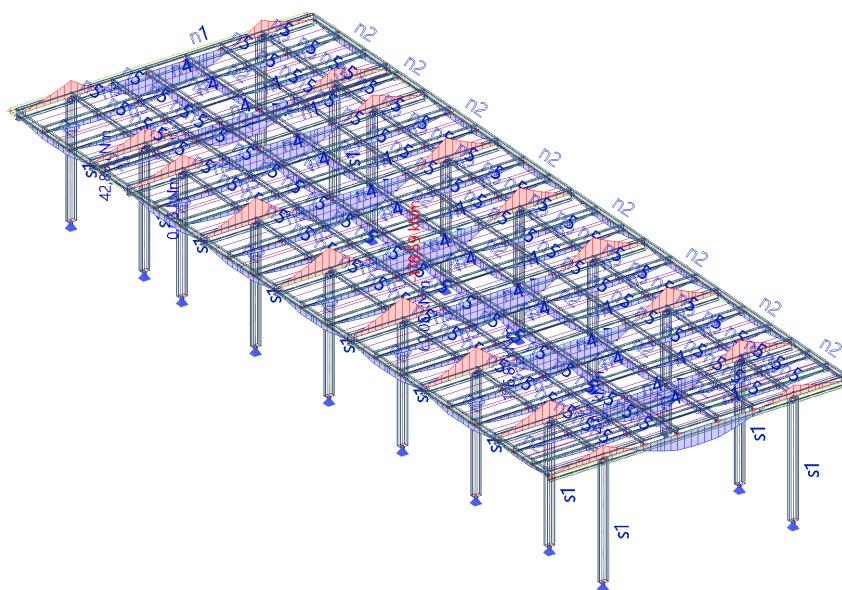
Lineární výpočet

Třída: Všechny MSU

Souřadný systém: Hlavní

Extrém 1D: Průřez

Výběr: Vše

**3.2. 3D přemístění**

Lineární výpočet

Třída: Všechny MSP

Výběr: Vše

Poloha: V uzlech s průměrováním na makro. Systém: LSS prvku sítě

**Výsledky na 1D dílci:**

Extrém 1D: Průřez

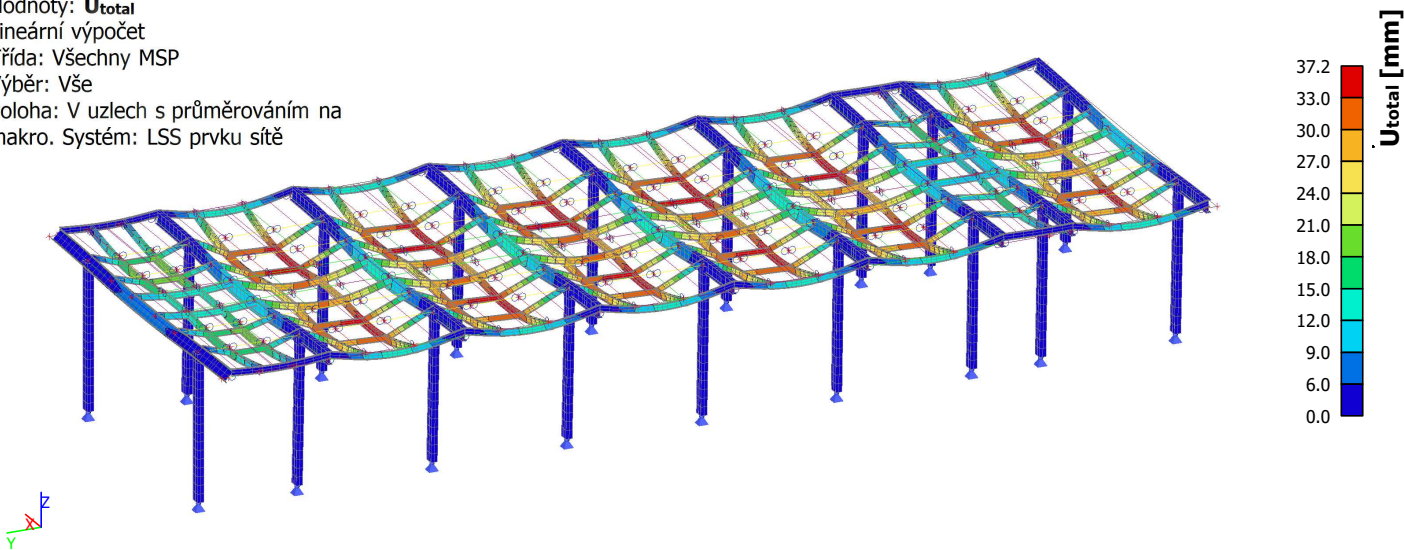
| Jméno | dx<br>[m] | Vlákno | Stav                 | Průřez                        | $u_x$<br>[mm] | $u_y$<br>[mm] | $u_z$<br>[mm] | $\varphi_x$<br>[mrad] | $\varphi_y$<br>[mrad] | $\varphi_z$<br>[mrad] | $U_{total}$<br>[mm] |
|-------|-----------|--------|----------------------|-------------------------------|---------------|---------------|---------------|-----------------------|-----------------------|-----------------------|---------------------|
| B1    | 1,757     | 26     | MSP-Char<br>(auto)/1 | n1 - I400                     | 0,0           | 0,0           | 0,0           | 21,2                  | 0,8                   | 0,1                   | <b>0,0</b>          |
| B16   | 5,810-    | 19     | MSP-Char<br>(auto)/2 | n1 - I400                     | 2,9           | -4,6          | -12,2         | 1,7                   | -0,1                  | 0,0                   | <b>13,3</b>         |
| B3    | 0,000     | 9      | MSP-Char<br>(auto)/3 | s1 - 2U<br>komora<br>(UPE300) | 0,0           | 0,0           | 0,0           | 0,0                   | 0,0                   | 0,0                   | <b>0,0</b>          |
| B24   | 4,540     | 3      | MSP-Char<br>(auto)/2 | s1 - 2U<br>komora<br>(UPE300) | -0,5          | -4,7          | -2,1          | 0,0                   | 0,5                   | -1,0                  | <b>5,2</b>          |
| B38   | 3,900     | 19     | MSP-Char<br>(auto)/3 | n2 - I200                     | 1,5           | -0,2          | 0,1           | 1,3                   | -10,3                 | -0,2                  | <b>1,5</b>          |
| B48   | 2,100     | 1      | MSP-Char<br>(auto)/3 | n2 - I200                     | 2,7           | 1,7           | -30,7         | 1,2                   | 0,0                   | 0,2                   | <b>30,9</b>         |
| B60   | 5,100     | 13     | MSP-Char<br>(auto)/4 | n3 -<br>IPE220                | -0,4          | -2,4          | 0,0           | -1,8                  | -6,0                  | 0,0                   | <b>2,4</b>          |
| B86   | 1,883     | 3      | MSP-Char<br>(auto)/2 | n3 -<br>IPE220                | 2,6           | -5,2          | -36,7         | -5,2                  | 0,4                   | 0,0                   | <b>37,2</b>         |
| B103  | 1,580     | 19     | MSP-Char<br>(auto)/1 | n4 - I200                     | 1,3           | -2,6          | -5,9          | -0,5                  | -0,2                  | -0,1                  | <b>6,6</b>          |
| B85   | 0,790     | 3      | MSP-Char<br>(auto)/3 | n4 - I200                     | 1,6           | -3,3          | -29,3         | -6,0                  | 0,1                   | 0,0                   | <b>29,5</b>         |
| B108  | 0,000     | 3      | MSP-Char<br>(auto)/4 | n5 - I160                     | 0,6           | -0,1          | -0,2          | 3,1                   | 24,5                  | 0,0                   | <b>0,7</b>          |
| B145  | 0,000     | 3      | MSP-Char<br>(auto)/2 | n5 - I160                     | 6,0           | 2,5           | -35,6         | -3,0                  | -19,2                 | 0,0                   | <b>36,2</b>         |

| Jméno             | Klíč kombinace        |
|-------------------|-----------------------|
| MSP-Char (auto)/1 | ZS1 + ZS2 + ZS3       |
| MSP-Char (auto)/2 | ZS1 + ZS2 + ZS3 + ZS5 |
| MSP-Char (auto)/3 | ZS1 + ZS2 + ZS3 + ZS6 |
| MSP-Char (auto)/4 | ZS1 + ZS2 + ZS3 + ZS7 |



Ocelová vestavba

Hodnoty: **U<sub>total</sub>**  
Lineární výpočet  
Třída: Všechny MSP  
Výběr: Vše  
Poloha: V uzlech s průměrováním na makro. Systém: LSS prvku sítě



3.3. Reakce

Lineární výpočet  
Třída: Všechny MSP  
Systém: Globální  
Extrém: Globální  
Výběr: Vše  
**Uzlové reakce**

| Jméno    | Stav              | R <sub>x</sub><br>[kN] | R <sub>y</sub><br>[kN] | R <sub>z</sub><br>[kN] | M <sub>x</sub><br>[kNm] | M <sub>y</sub><br>[kNm] | M <sub>z</sub><br>[kNm] | e <sub>x</sub><br>[mm] | e <sub>y</sub><br>[mm] |
|----------|-------------------|------------------------|------------------------|------------------------|-------------------------|-------------------------|-------------------------|------------------------|------------------------|
| Sn22/N20 | MSP-Char (auto)/1 | <b>-5,13</b>           | 0,00                   | 0,00                   | 0,00                    | 0,00                    | 0,00                    | -                      | -                      |
| Sn23/N4  | MSP-Char (auto)/1 | <b>0,00</b>            | <b>4,78</b>            | <b>0,00</b>            | <b>0,00</b>             | <b>0,00</b>             | <b>0,00</b>             | -                      | -                      |
| Sn8/N23  | MSP-Char (auto)/1 | 0,00                   | <b>0,00</b>            | <b>199,11</b>          | 0,00                    | 0,00                    | 0,00                    | 0,0                    | 0,0                    |

Lineární výpočet  
Třída: Všechny MSU  
Systém: Globální  
Extrém: Globální  
Výběr: Vše  
**Uzlové reakce**

| Jméno    | Stav                | R <sub>x</sub><br>[kN] | R <sub>y</sub><br>[kN] | R <sub>z</sub><br>[kN] | M <sub>x</sub><br>[kNm] | M <sub>y</sub><br>[kNm] | M <sub>z</sub><br>[kNm] | e <sub>x</sub><br>[mm] | e <sub>y</sub><br>[mm] |
|----------|---------------------|------------------------|------------------------|------------------------|-------------------------|-------------------------|-------------------------|------------------------|------------------------|
| Sn22/N20 | MSÚ-Sada B (auto)/1 | <b>-6,61</b>           | 0,00                   | 0,00                   | 0,00                    | 0,00                    | 0,00                    | -                      | -                      |
| Sn23/N4  | MSÚ-Sada B (auto)/1 | <b>0,00</b>            | <b>6,18</b>            | <b>0,00</b>            | <b>0,00</b>             | <b>0,00</b>             | <b>0,00</b>             | -                      | -                      |
| Sn8/N23  | MSÚ-Sada B (auto)/1 | 0,00                   | <b>0,00</b>            | <b>254,82</b>          | 0,00                    | 0,00                    | 0,00                    | 0,0                    | 0,0                    |

**Ocelová vestavba****4. POSUDEK\_OCEL (EC-EN 1993)****4.1. Posudek ocelových prvků na MSÚ EC-EN 1993**

Lineární výpočet

Třída: Všechny MSU

Souřadný systém: Hlavní

Extrém 1D: Průřez

Výběr: Vše

**Celkový posudek**

| Jméno | dx [m] | Stav                | Průřez                  | Materiál | UC <sub>Celkový</sub> [-] | UC <sub>Průřez</sub> [-] | UC <sub>Stabilita</sub> [-] |
|-------|--------|---------------------|-------------------------|----------|---------------------------|--------------------------|-----------------------------|
| B10   | 5,810- | MSÚ-Sada B (auto)/1 | n1 - I400               | S 235    | <b>0,49</b>               | 0,49                     | 0,44                        |
| B12   | 0,000  | MSÚ-Sada B (auto)/2 | s1 - 2U komora (UPE300) | S 235    | <b>0,10</b>               | 0,10                     | 0,00                        |
| B51   | 2,700- | MSÚ-Sada B (auto)/2 | n2 - I200               | S 235    | <b>1,19</b>               | 1,09                     | 1,19                        |
| B98   | 2,683  | MSÚ-Sada B (auto)/2 | n3 - IPE220             | S 235    | <b>0,71</b>               | 0,64                     | 0,71                        |
| B97   | 0,790  | MSÚ-Sada B (auto)/2 | n4 - I200               | S 235    | <b>0,08</b>               | 0,07                     | 0,08                        |
| B148  | 0,650  | MSÚ-Sada B (auto)/2 | n5 - I160               | S 235    | <b>0,15</b>               | 0,15                     | 0,00                        |

| Jméno               | Klíč kombinace                            |
|---------------------|---|
| MSÚ-Sada B (auto)/1 | 1.15*ZS1 + 1.15*ZS2 + 1.15*ZS3 + 1.50*ZS6 |
| MSÚ-Sada B (auto)/2 | 1.15*ZS1 + 1.15*ZS2 + 1.15*ZS3 + 1.50*ZS5 |

Hodnoty: **UC<sub>Celkový</sub>**

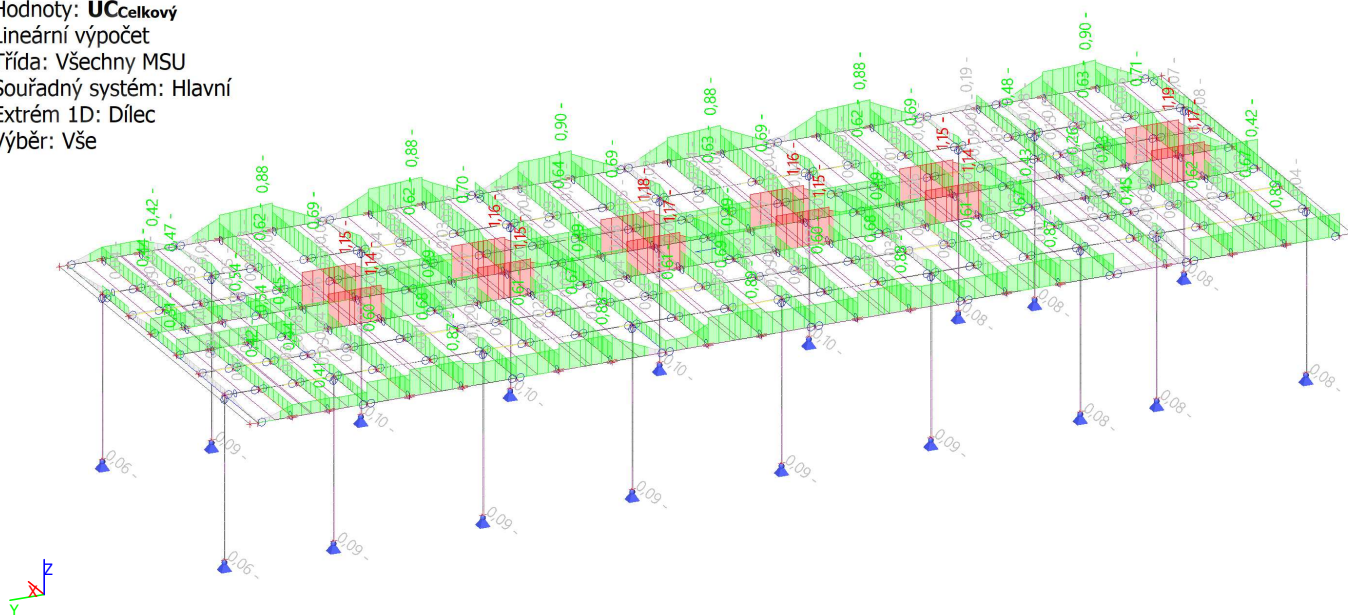
Lineární výpočet

Třída: Všechny MSU

Souřadný systém: Hlavní

Extrém 1D: Dílec

Výběr: Vše

**4.2. EC-EN 1993 Posudek oceli MSP**

Lineární výpočet

Třída: Všechny MSP

Souřadný systém: Hlavní

Extrém 1D: Průřez

Výběr: Vše

**Celkový posudek**

**Ocelová vestavba**

| Jméno | dx<br>[m] | Stav                 | Průřez                        | $u_{y,max}$<br>[mm]<br>$u_{z,max}$<br>[mm] | $u_{y,var}$<br>[mm]<br>$u_{z,var}$<br>[mm] | Lim.<br>$u_{y,max}$<br>[mm]<br>Lim.<br>$u_{z,max}$<br>[mm] | Lim. $u_{y,var}$<br>[mm]<br>Lim. $u_{z,var}$<br>[mm] | Posudek<br>$u_{y,max}$<br>[-]<br>Posudek<br>$u_{z,max}$<br>[-] | Posudek<br>$u_{y,var}$<br>[-]<br>Posudek<br>$u_{z,var}$<br>[-] | Nadvýšení<br>dx $u_z$<br>[mm]<br>Nadvýšení<br>[mm] | Posudek Celkový<br>[-] |
|-------|-----------|----------------------|-------------------------------|--|--|--|--|--|--|--|------------------------|
| B10   | 5,810-    | MSP-Char<br>(auto)/1 | n1 - I400                     | 0,0<br>-12,3                               | 0,0<br>-4,9                                | 5,3<br>30,0  | 3,2<br>21,4  | 0,00<br>0,41   | 0,00<br>0,23   | -<br>-   | <b>0,41</b>            |
| B17   | 4,273     | MSP-Char<br>(auto)/2 | s1 - 2U<br>komora<br>(UPE300) | 0,0<br>0,0                                 | 0,0<br>0,0                                 | 15,1<br>18,2   | 9,1<br>13,0  | 0,00<br>0,00   | 0,00<br>0,00   | -<br>-   | <b>0,00</b>            |
| B48   | 2,100     | MSP-Char<br>(auto)/2 | n2 - I200                     | 0,1<br>-18,9                               | 0,0<br>-8,3                                | 5,0<br>16,8  | 3,0<br>12,0  | 0,01<br>1,12   | 0,01<br>0,69   | -<br>-   | <b>1,12</b>            |
| B98   | 2,417     | MSP-Char<br>(auto)/2 | n3 -<br>IPE220                | 0,0<br>-15,6                               | 0,0<br>-6,9                                | 5,3<br>20,4  | 3,2<br>14,6  | 0,00<br>0,76   | 0,00<br>0,47   | -<br>-   | <b>0,76</b>            |
| B97   | 0,790     | MSP-Char<br>(auto)/2 | n4 - I200                     | 0,0<br>-0,2                                | 0,0<br>-0,1                                | 5,3<br>6,3   | 3,2<br>4,5   | 0,01<br>0,03   | 0,00<br>0,02   | -<br>-   | <b>0,03</b>            |
| B108  | 1,200     | MSP-Char<br>(auto)/2 | n5 - I160                     | 0,0<br>-30,0                               | 0,0<br>-13,2                               | 4,0<br>9,6   | 2,4<br>6,9   | 0,00<br>3,12   | 0,00<br>1,92   | -<br>-   | <b>3,12</b>            |

| Jméno             | Klíč kombinace        |
|-------------------|-----------------------|
| MSP-Char (auto)/1 | ZS1 + ZS2 + ZS3 + ZS6 |
| MSP-Char (auto)/2 | ZS1 + ZS2 + ZS3 + ZS5 |

Hodnoty: **Posudek Celkový**

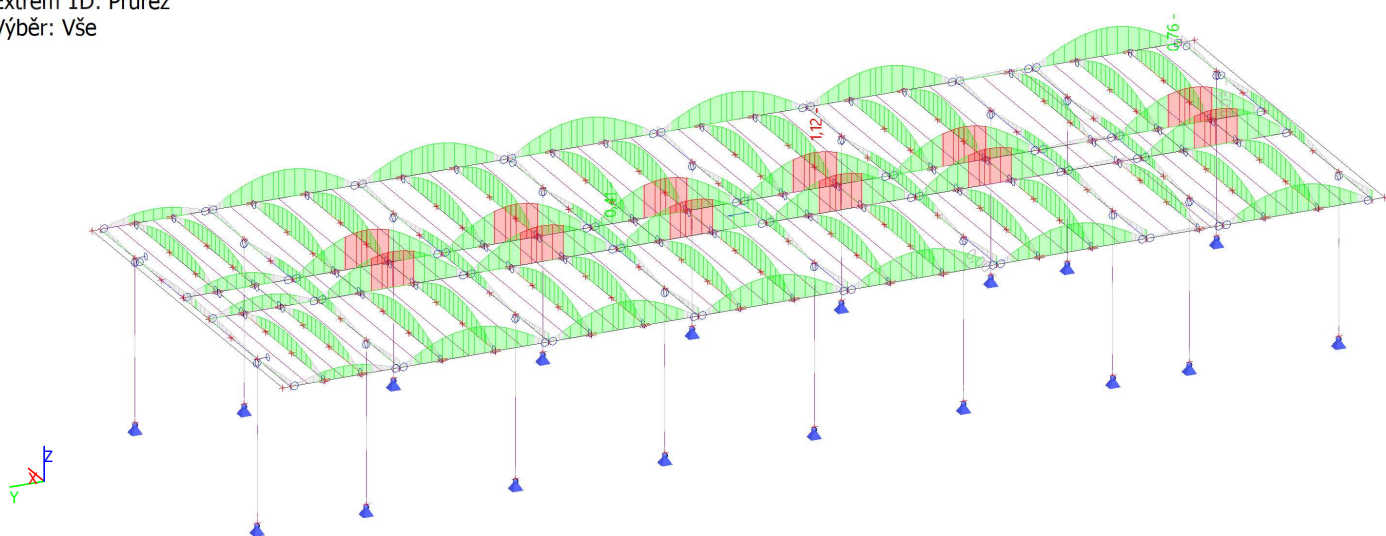
Lineární výpočet

Třída: Všechny MSP

Souřadný systém: Hlavní

Extrém 1D: Průřez

Výběr: Vše



**PŘÍLOHA Č. II.a - ZATÍŽENÍ DŘEVĚNÉ STŘECHY****Zg33 STÁLÉ ZATÍŽENÍ -  $g_n / g_d$  - plošné**

skladba - popis vrstev

**Plášť**

tloušťka

obj.hmot.

zatížení  $[kN.m^{-2}]$  $[m]$  $\gamma [kN.m^{-3}]$ 

charakteristické

 $\gamma_g$ 

návrhové

plechová krytina

=

0,050

1,35

0,068

asfaltový papír

0,002

x

14,00

=

0,028

1,35

0,038

celoplošné bednění

0,025

x

5,00

=

0,125

1,35

0,169

 $g_{k,1} = 0,20$  $g_{d,1} = 0,27$  $[kN.m^{-2}]$ 

1,35

**Zs33 NAHODILÉ ZATÍŽENÍ - SNĚHEM -  $s_n / s_d$  - plošné**

dle ČSN EN 1991-1-3 - Z2 (12/2006)

k. ú. Frýdek Místek

zatížení  $[kN.m^{-2}]$ 

popis

charakteristické

 $\gamma_f$ 

výpočtové

sklon střechy

 $\alpha = 33,0^\circ$ 

sněhová oblast

3

základní tíha sněhu

 $s_k = 1,50$ 

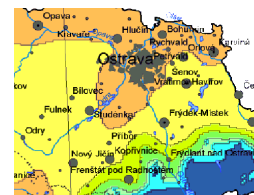
tvarový součinitel (pro sedl.,pult.)

 $\mu_1 = 0,72$ 

součinitel dle stálého zatížení

 $C_e = 1,0$ 

součinitel dle stálého zatížení

 $C_t = 1,0$  $s = \mu_1 \times C_e \times C_t \times s_k$ 

1,080

1,5

1,620

 $s = 1,08$  $s_d = 1,62$  $[kN.m^{-2}]$  $s_{0,5} = 0,54$  $s_{d,0,5} = 0,81$  $[kN.m^{-2}]$ 

sklon přilehlé střechy

 $\alpha_{sesuv} = 33,0^\circ$  $\gamma = 2,00$  $kN.m^{-3}$ 

referenční šířky

 $b_{1,s} = 5,1$  $b_1 = 10,2$  $b_2 = 4,1$ 

délka návěje / referenční výšky

 $l_{s,prac} = 0,2$  $h_1 = 0,1$  $h_2 = 1,3$ 

limitní hodnoty délky návěje

 $l_s = 5,0$  $l_{s,min} = 5,0$  $l_{s,max} = 15,0$ tvarový součinitel navátý (oblast I-IV.) - dle  $b_{1,2}$  $\mu_w = 2,00$  $\mu_{w,min} = 0,8$  $\mu_{w,max} = 2,0$ tvarový součinitel navátý - limitní hodnota dle  $\gamma$  $\mu_{w,\gamma} = 0,13$ 

tvarový součinitel sesunutý

 $\mu_s = 0,73$ 

tvarový součinitel navátý a sesunutý (pro sedl.,pult.)

 $\mu_2 = \mu_w + \mu_s$  $\mu_2 = 2,73$ 

kontrola tvarového součinitele nenavátého

 $\mu_1 = 1,08$  $s_2 = \mu_2 \times C_e \times C_t \times s_k$ 

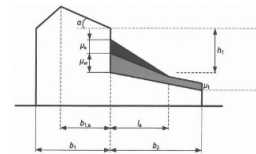
navátý a sesun. sníh

4,102

1,5

6,152

PLATÍ PRO MALOU PULTOVOU STŘECHU V ŘEZU E-E'

 $s_2 = 4,10$  $s_{d,2} = 6,15$  $[kN.m^{-2}]$  $s_1 = 1,62$  $s_{d,1} = 2,44$  $[kN.m^{-2}]$ **Zw33 NAHODILÉ ZATÍŽENÍ - VĚTREM -  $w_n / w_d$  - plošné**

dle ČSN EN 1991-1-4 (04/2007)

k. ú. Frýdek Místek

sklon střechy

 $\alpha = 33,0^\circ$ 

referenční výška

 $z_e = 15,3$  $l = 23,6$  $b = 11,6$ 

větrová oblast / základní rychlost větru

2

 $h_{hřeben} = 15,3$  $h_{rimsa} = 12,1$  $w_{b,0} = w_b = 25,0$  $m.s^{-1}$ 

kategorie terénu a jejich parametry

III

 $z_0 = 0,30$  $z_{min} = 5$  $e = \min(b; 2 \cdot h) = 11,6$ 

parametr terénu

 $k_r = 0,19 \cdot (z_0 / z_{0,II})^{0,07} = 0,19 \cdot (0,300 / 0,05)^{0,07} = 0,215$ 

souč.drsnosti terénu

 $c_r(z) = k_r \cdot \ln(z / z_0) = 0,215 \cdot \ln(15,34 / 0,300) = 0,847$ 

součinitel turbulence / součinitel orografie

 $k_l = 1,0$  $c_o(z) = 1,0$ 

střední rychlost větru

 $w_m(z) = c_r(z) \cdot c_o(z) \cdot v_b = 0,847 \cdot 1 \cdot 25,0 = 21,19$  $m.s^{-1}$ 

intenzita turbulence

 $I_v(z) = k_l / (c_o(z) \cdot \ln(z / z_0)) = 1 / (1 \cdot \ln(15,3 / 0,300)) = 0,254$ 

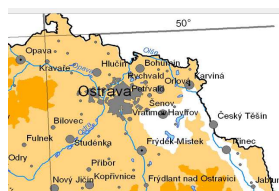
max.dynamický tlak

 $q_p(z) = [1 + 7 \cdot I_v(z)] \cdot 1/2 \cdot \rho \cdot v_m^2(z)$ hmotnost vzduchu  $\rho = 1,25$  $[kg/m^3]$  $q_p(z) = [1 + 7 \cdot 0,254] \cdot 1/2 \cdot 0,00125 \cdot 21,19^2 = 0,780$  $kN.m^{-2}$ sedlová střecha - směr větru  $0^\circ$ 

součinitel vnějšího tlaku vzduchu

 $C_{pe10,F} = -0,40$  $C_{pe10,G} = -0,40$  $C_{pe10,H} = -0,16$ 

dle kapitoly 7.2.56- Valbové střechy

 $C_{pe10,F+} = 0,54$  $C_{pe10,G+} = 0,70$  $C_{pe10,H+} = 0,44$ 

$$w_e = q_p(z_e) * C_{pe}$$

$$w_d = w_e * \gamma_v$$

$$C_{pe10,-} = -0,38$$

$$C_{pe10,+} = -0,38$$

$$C_{pe10,L-} = -1,38$$

$$C_{pe10,L+} = -1,38$$

$$C_{pe10,J-} = -0,68$$

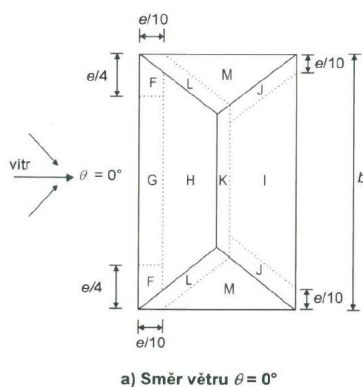
$$C_{pe10,J+} = -0,68$$

$$C_{pe10,M-} = -0,80$$

$$C_{pe10,M+} = -0,80$$

$$C_{pe10,K-} = -0,46$$

$$C_{pe10,K+} = -0,46$$



| popis               | charakteristické zatížení             | $\gamma_v$ | výpočtové zatížení                    | $kN.m^{-2}$ |
|---------------------|---------------------------------------|------------|---------------------------------------|-------------|
| oblast F (-)        | $w_{e,F-} = -0,312$                   | 1,5        | $w_{d,F-} = -0,468$                   |             |
| oblast G (-)        | $w_{e,G-} = -0,312$                   | 1,5        | $w_{d,G-} = -0,468$                   |             |
| oblast H (-)        | $w_{e,H-} = -0,125$                   | 1,5        | $w_{d,H-} = -0,187$                   |             |
| oblast I (-)        | $w_{e,I-} = -0,296$                   | 1,5        | $w_{d,I-} = -0,444$                   |             |
| oblast J (-)        | $w_{e,J-} = -0,530$                   | 1,5        | $w_{d,J-} = -0,795$                   |             |
| oblast K (-)        | $w_{e,K-} = -0,359$                   | 1,5        | $w_{d,K-} = -0,538$                   |             |
| oblast L (-)        | $w_{e,L-} = -1,076$                   | 1,5        | $w_{d,L-} = -1,614$                   |             |
| oblast M (-)        | $w_{e,M-} = -0,624$                   | 1,5        | $w_{d,M-} = -0,936$                   |             |
| oblast F (+)        | $w_{e,F+} = 0,421$                    | 1,5        | $w_{d,F+} = 0,631$                    |             |
| <b>oblast G (+)</b> | <b><math>w_{e,G+} = 0,546</math></b>  | <b>1,5</b> | <b><math>w_{d,G+} = 0,819</math></b>  |             |
| oblast H (+)        | $w_{e,H+} = 0,343$                    | 1,5        | $w_{d,H+} = 0,515$                    |             |
| oblast I (+)        | $w_{e,I+} = -0,296$                   | 1,5        | $w_{d,I+} = -0,444$                   |             |
| oblast J (+)        | $w_{e,J+} = -0,530$                   | 1,5        | $w_{d,J+} = -0,795$                   |             |
| oblast K (+)        | $w_{e,K+} = -0,359$                   | 1,5        | $w_{d,K+} = -0,538$                   |             |
| <b>oblast L (+)</b> | <b><math>w_{e,L+} = -1,076</math></b> | <b>1,5</b> | <b><math>w_{d,L+} = -1,614</math></b> |             |
| oblast M (+)        | $w_{e,M+} = -0,624$                   | 1,5        | $w_{d,M+} = -0,936$                   |             |

0,780

charakteristické hodnoty zatížení [ $kN.m^{-2}$ ]

## KOMBINACE LOKALIT PŮSOBÍCÍHO VĚTRU PRO STŘEDNÍ VAZBU STŘECHY

|       | (G ; H ; K ; I) | G     | H     | K     | I |
|-------|-----------------|-------|-------|-------|---|
| $w_1$ | +               | +     | +     | +     |   |
|       | 0,55            | 0,34  | -0,36 | -0,30 |   |
| $w_2$ | +               | +     | -     | -     |   |
|       | 0,55            | 0,34  | -0,36 | -0,30 |   |
| $w_3$ | -               | -     | -     | -     |   |
|       | -0,31           | -0,12 | -0,36 | -0,30 |   |
| $w_4$ | -               | -     | +     | +     |   |
|       | -0,31           | -0,12 | -0,36 | -0,30 |   |

osová vzdálenost kroků  $o = 1,00$  m

| popis                 | ozn.       | charakteristické hodnoty zatížení [ $kN.m^{-1}$ ] |       |       |       |
|-----------------------|------------|---|-------|-------|-------|
| ZATĚŽOVACÍ STAVY_vitr | $ZS_{w_1}$ | +   | +     | +     | +     |
|                       |            | 0,55  | 0,34  | -0,36 | -0,30 |
|                       | $ZS_{w_2}$ | +   | +     | -     | -     |
|                       |            | 0,55  | 0,34  | -0,36 | -0,30 |
|                       | $ZS_{w_3}$ | -   | -     | -     | -     |
|                       |            | -0,31   | -0,12 | -0,36 | -0,30 |
|                       | $ZS_{w_4}$ | -   | -     | +     | +     |
|                       |            | -0,31   | -0,12 | -0,36 | -0,30 |

## KOMBINACE LOKALIT PŮSOBÍCÍHO VĚTRU PRO NÁROŽNÍ KROKVE

|       | (G ; H), (L ; M) | G     | H     | L     | M |
|-------|------------------|-------|-------|-------|---|
| $w_1$ | +                | +     | +     | +     |   |
|       | 0,55             | 0,34  | -1,08 | -0,62 |   |
| $w_2$ | -                | -     | -     | -     |   |
|       | -0,31            | -0,12 | -1,08 | -0,62 |   |

osová vzdálenost kroků  $o = 1,00$  m

| popis | ozn. | charakteristické hodnoty zatížení [ $kN.m^{-1}$ ] |   |   |   |
|-------|------|---|---|---|---|
|       |      | +   | + | + | + |

| ZATĚŽOVACÍ STAVY_vítr  | ZS_w <sub>1</sub> | 0,55                 | 0,34  | -1,08                | -0,62 |
|------------------------|-------------------|----------------------|-------|----------------------|-------|
|                        |                   | -                    | -     | -                    | -     |
|                        | ZS_w <sub>2</sub> | -0,31                | -0,12 | -1,08                | -0,62 |
| popis                  | ozn.              | charakteristická     |       | návrhová [kN.m-1]    |       |
| ZATĚŽOVACÍ STAVY_sníh  | ZS_s1             | s <sub>k,1</sub> =   | 1,08  | s <sub>d,1</sub> =   | 1,62  |
|                        | ZS_s0,5           | 50% s <sub>k</sub> = | 0,54  | 50% s <sub>d</sub> = | 0,81  |
|                        | ZS_s2             | s <sub>k,2</sub> =   | 4,10  | s <sub>d,2</sub> =   | 6,15  |
| ZATĚŽOVACÍ STAV_stěcha | ZS_g              | g <sub>k</sub> =     | 0,20  | g <sub>d</sub> =     | 0,27  |

I (náveje) = 5,0

## Zatížení do nárožní krokve NK1:

|               |      |                |                   |           |
|---------------|------|----------------|-------------------|-----------|
| A =           | 18   | m <sup>2</sup> |                   |           |
| A1 =          | 6    | m <sup>2</sup> |                   |           |
| A2 =          | 12   | m <sup>2</sup> |                   |           |
| gk =          | 0,20 | 0,2741         |                   |           |
| sk =          | 1,08 | 1,62           |                   |           |
| wk =          | 0,55 | 0,825          |                   |           |
| Σk (Σd) =     | 1,83 | 2,72           | kN/m <sup>2</sup> |           |
| A1*k (A1*d) = | 11,0 | 16,3           | kN                |           |
| A2*k (A2*d) = | 22,0 | 32,6           | kN                |           |
| f1k (f1d) =   | 7,9  | 11,7           | kN/m              | l1= 2,8 m |
| f2k (f2d) =   | 9,8  | 14,5           | kN/m              | l2= 4,5 m |

## Zatížení do nárožní krokve NK2:

|               |       |                |                   |           |
|---------------|-------|----------------|-------------------|-----------|
| A =           | 17,16 | m <sup>2</sup> |                   |           |
| A1 =          | 5,72  | m <sup>2</sup> |                   |           |
| A2 =          | 11,44 | m <sup>2</sup> |                   |           |
| gk =          | 0,20  | 0,2741         |                   |           |
| sk =          | 1,20  | 1,8            |                   |           |
| wk =          | 0,55  | 0,825          |                   |           |
| Σk (Σd) =     | 1,95  | 2,90           | kN/m <sup>2</sup> |           |
| A1*k (A1*d) = | 11,2  | 16,6           | kN                |           |
| A2*k (A2*d) = | 22,3  | 33,2           | kN                |           |
| f1k (f1d) =   | 8,3   | 12,3           | kN/m              | l1= 2,7 m |
| f2k (f2d) =   | 9,3   | 13,8           | kN/m              | l2= 4,8 m |

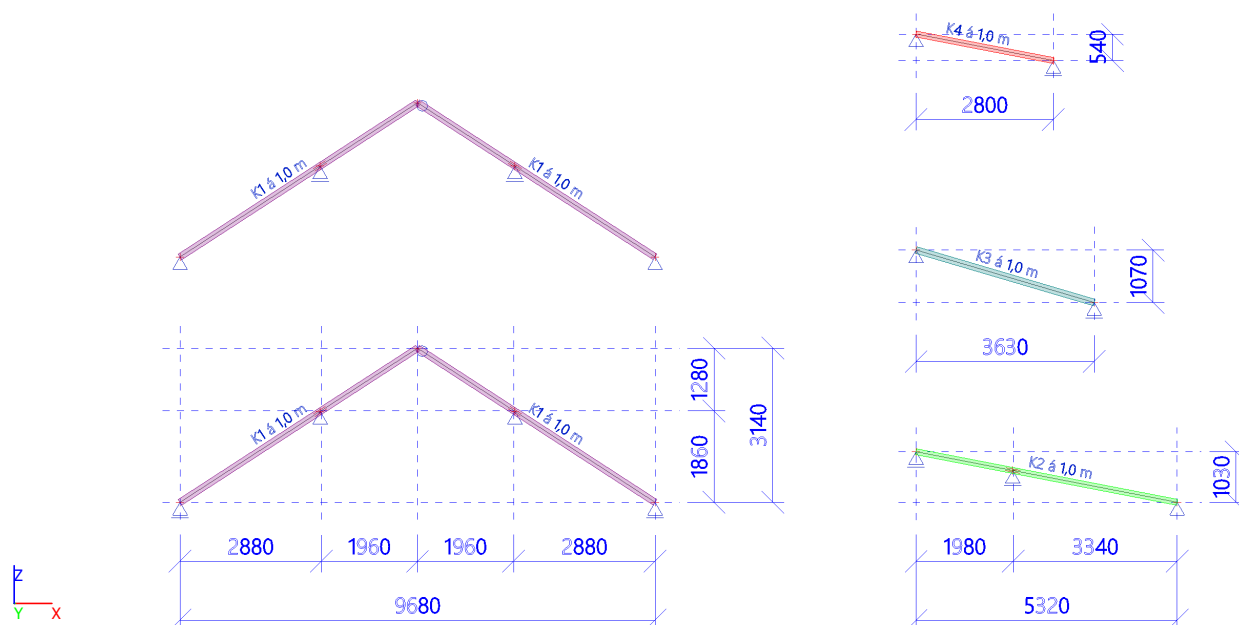
## Zatížení do vaznice SV1.1:

|             |      |                |                   |  |
|-------------|------|----------------|-------------------|--|
| A =         | 6    | m <sup>2</sup> |                   |  |
| gk =        | 0,20 | 0,2741         |                   |  |
| sk =        | 1,20 | 1,8            |                   |  |
| wk =        | 0,1  | 0,15           |                   |  |
| Σk (Σd) =   | 1,50 | 2,22           | kN/m <sup>2</sup> |  |
| A*k (A*d) = | 9,0  | 13,3           | kN                |  |

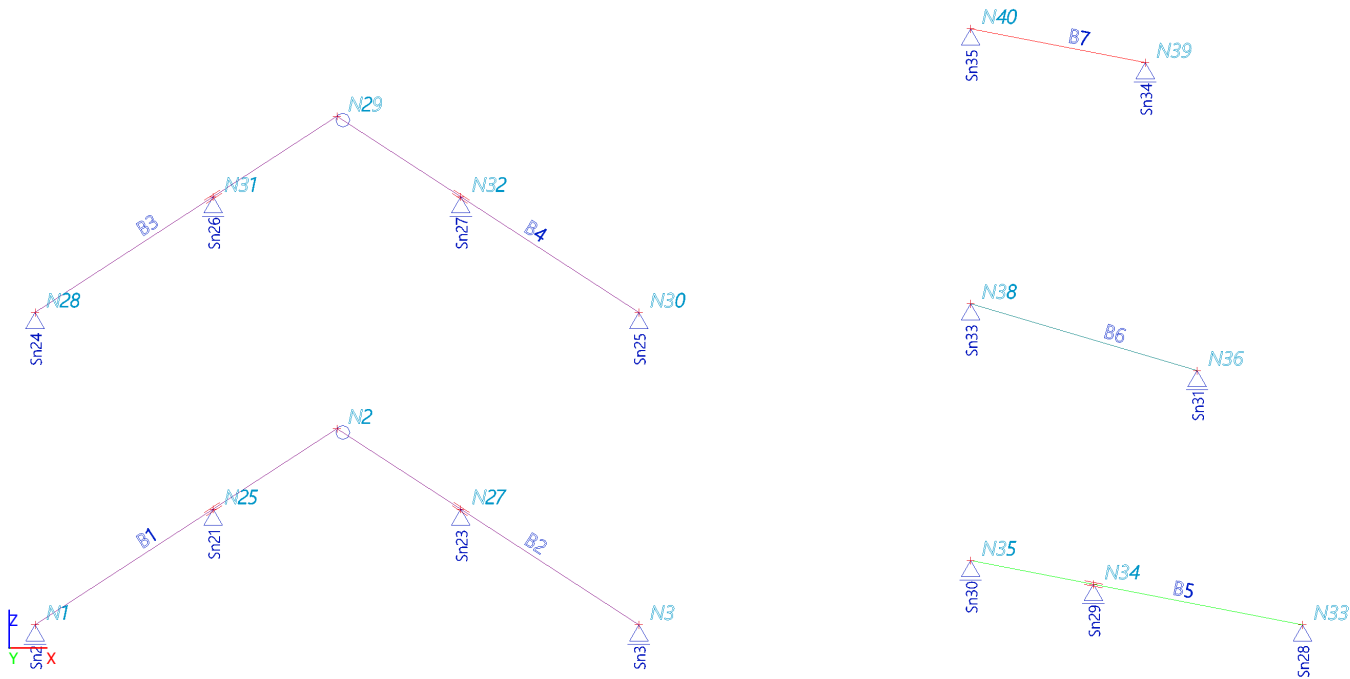
## 1. Obsah

|                               |    |
|-------------------------------|----|
| 1. Obsah                      | 1  |
| 2. DATA                       | 1  |
| 2.1. Materiály                | 2  |
| 2.2. Průřezy                  | 2  |
| 2.3. Zatěžovací stavy         | 2  |
| 2.3.1. Zatěžovací stavy - ZS1 | 2  |
| 2.3.2. Zatěžovací stavy - ZS2 | 3  |
| 2.3.3. Zatěžovací stavy - ZS3 | 4  |
| 2.3.4. Zatěžovací stavy - ZS4 | 4  |
| 2.3.5. Zatěžovací stavy - ZS5 | 5  |
| 2.3.6. Zatěžovací stavy - ZS6 | 6  |
| 2.3.7. Zatěžovací stavy - ZS7 | 6  |
| 2.3.8. Zatěžovací stavy - ZS8 | 7  |
| 2.3.9. Zatěžovací stavy - ZS9 | 8  |
| 2.4. Kombinace                | 8  |
| 3. VÝSLEDKY                   | 8  |
| 3.1. 1D vnitřní síly          | 8  |
| 3.2. 3D přemístění            | 11 |
| 3.3. Reakce                   | 12 |
| 3.4. Reakce                   | 13 |
| 4. POSUDEK                    | 16 |
| 4.1. Posudek dřeva podle MSÚ  | 16 |
| 4.2. Posudek dřeva podle MSP  | 16 |

## 2. DATA







2.1. Materiály

Timber EC5

| Jméno        | Typ dřeva             | μ           | E <sub>mod</sub><br>[MPa] | f <sub>m,k</sub><br>[MPa] | f <sub>t,0,k</sub><br>[MPa] | f <sub>t,90,k</sub><br>[MPa] | f <sub>c,0,k</sub><br>[MPa] | f <sub>c,90,k</sub><br>[MPa] | f <sub>v,k</sub><br>[MPa] | Barva |
|--------------|-----------------------|-------------|---------------------------|---------------------------|-----------------------------|------------------------------|-----------------------------|------------------------------|---------------------------|-------|
|              | ρ<br>[kg/m³]          | α<br>[m/mK] | G <sub>mod</sub><br>[MPa] |                           |                             |                              |                             |                              |                           |       |
| C24 (EN 338) | Rostlé dřevo<br>420,0 | 0<br>0,00   | 1,1000e+04<br>6,9000e+02  | 24,0                      | 14,5                        | 0,4                          | 21,0                        | 2,5                          | 4,0                       |       |

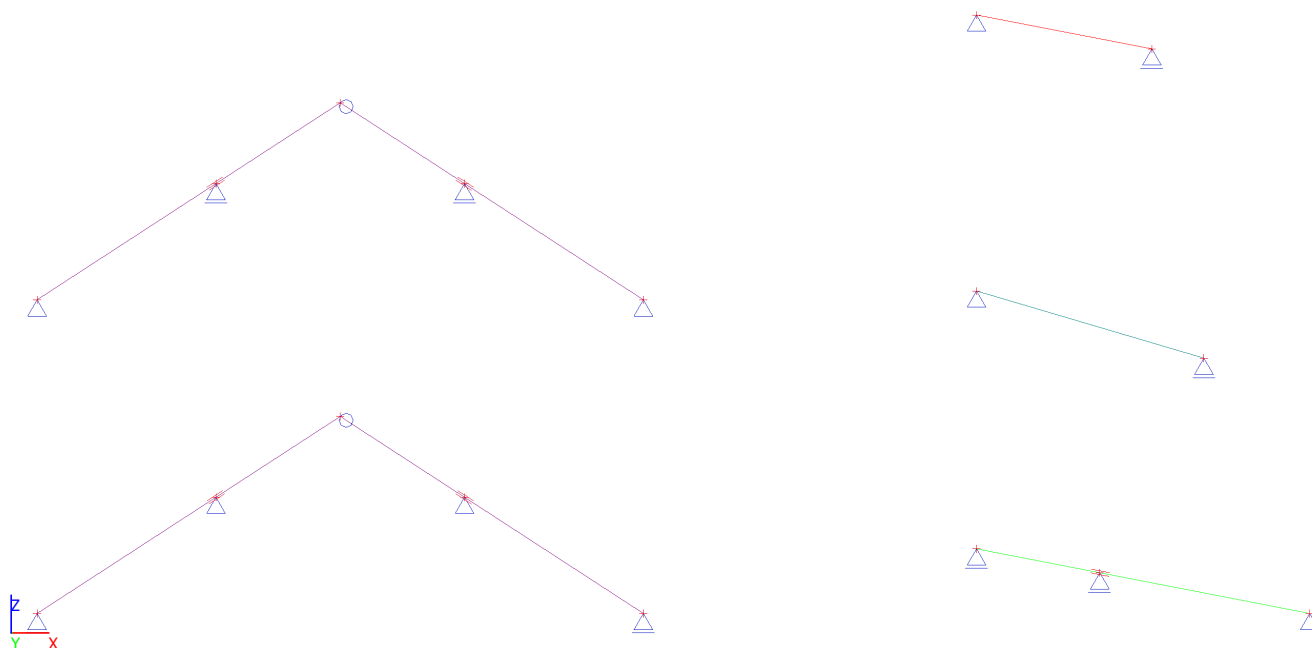
2.2. Průřezy

| Jméno      | Typ               | Materiál     | Výroba | A<br>[m²]  | A <sub>y</sub><br>[m²]   | I <sub>y</sub><br>[m⁴]   | W <sub>el,y</sub><br>[m³] | W <sub>pl,y</sub><br>[m³] | Barva |
|------------|-------------------|--------------|--------|------------|--------------------------|--------------------------|---------------------------|---------------------------|-------|
|            | Detailní          |              |        |            | A <sub>z</sub><br>[m²]   | I <sub>z</sub><br>[m⁴]   | W <sub>el,z</sub><br>[m³] | W <sub>pl,z</sub><br>[m³] |       |
| K1 á 1,0 m | OBDEL<br>110; 135 | C24 (EN 338) | dřevo  | 1,4850e-02 | 1,2391e-02<br>1,2386e-02 | 2,2553e-05<br>1,4974e-05 | 3,3412e-04<br>2,7225e-04  | 4,0942e-04<br>3,3360e-04  |       |
| K2 á 1,0 m | OBDEL<br>100; 120 | C24 (EN 338) | dřevo  | 1,2000e-02 | 1,0014e-02<br>1,0010e-02 | 1,4400e-05<br>1,0000e-05 | 2,4000e-04<br>2,0000e-04  | 2,9408e-04<br>2,4507e-04  |       |
| K3 á 1,0 m | OBDEL<br>110; 135 | C24 (EN 338) | dřevo  | 1,4850e-02 | 1,2391e-02<br>1,2386e-02 | 2,2553e-05<br>1,4974e-05 | 3,3412e-04<br>2,7225e-04  | 4,0942e-04<br>3,3360e-04  |       |
| K4 á 1,0 m | OBDEL<br>100; 120 | C24 (EN 338) | dřevo  | 1,2000e-02 | 1,0014e-02<br>1,0010e-02 | 1,4400e-05<br>1,0000e-05 | 2,4000e-04<br>2,0000e-04  | 2,9408e-04<br>2,4507e-04  |       |

2.3. Zatěžovací stavy

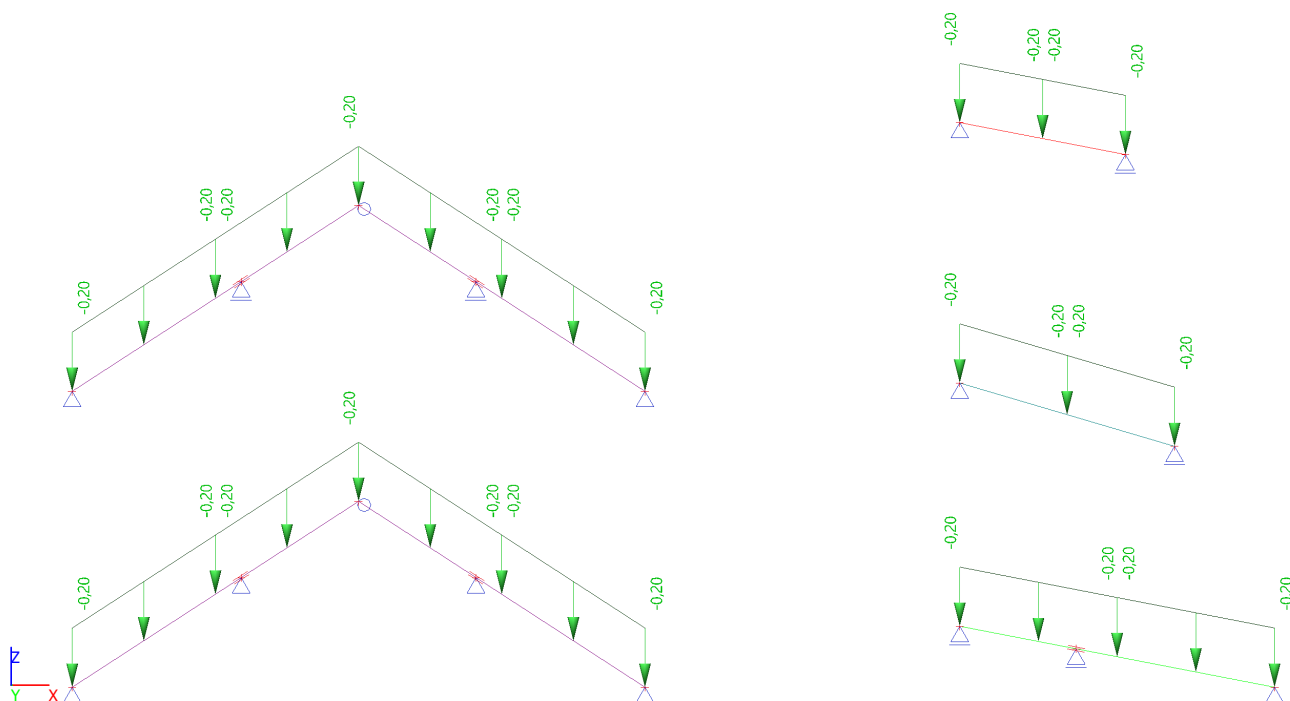
2.3.1. Zatěžovací stavy - ZS1

| Jméno | Popis        | Typ působení          | Skupina zatížení | Směr |
|-------|--------------|-----------------------|------------------|------|
|       | Spec         | Typ zatížení          |                  |      |
| ZS1   | Vlastní tíha | Stálé<br>Vlastní tíha | SZ1              | -Z   |



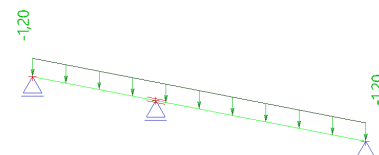
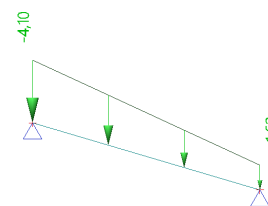
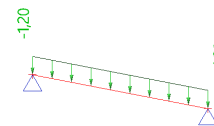
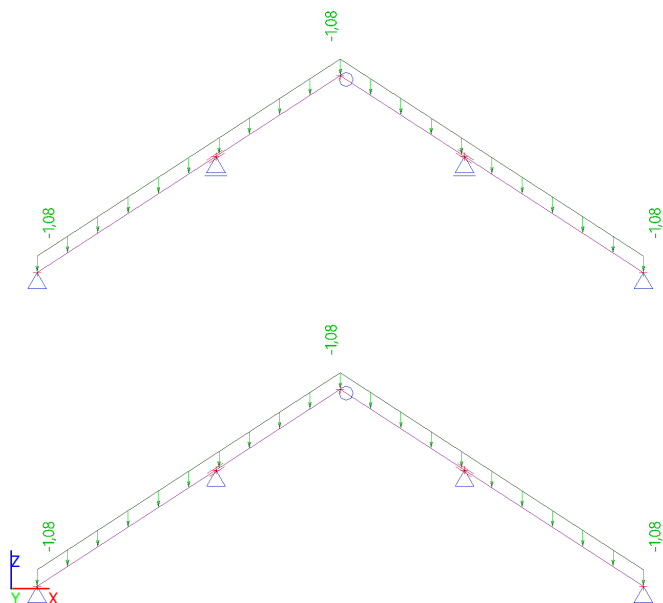
### 2.3.2. Zatěžovací stavy - ZS2

| Jméno | Popis          | Typ působení | Skupina zatížení |
|-------|----------------|--------------|------------------|
|       | Spec           | Typ zatížení |                  |
| ZS2   | stálé zatížení | Stálé        | SZ1              |
|       |                | Standard     |                  |



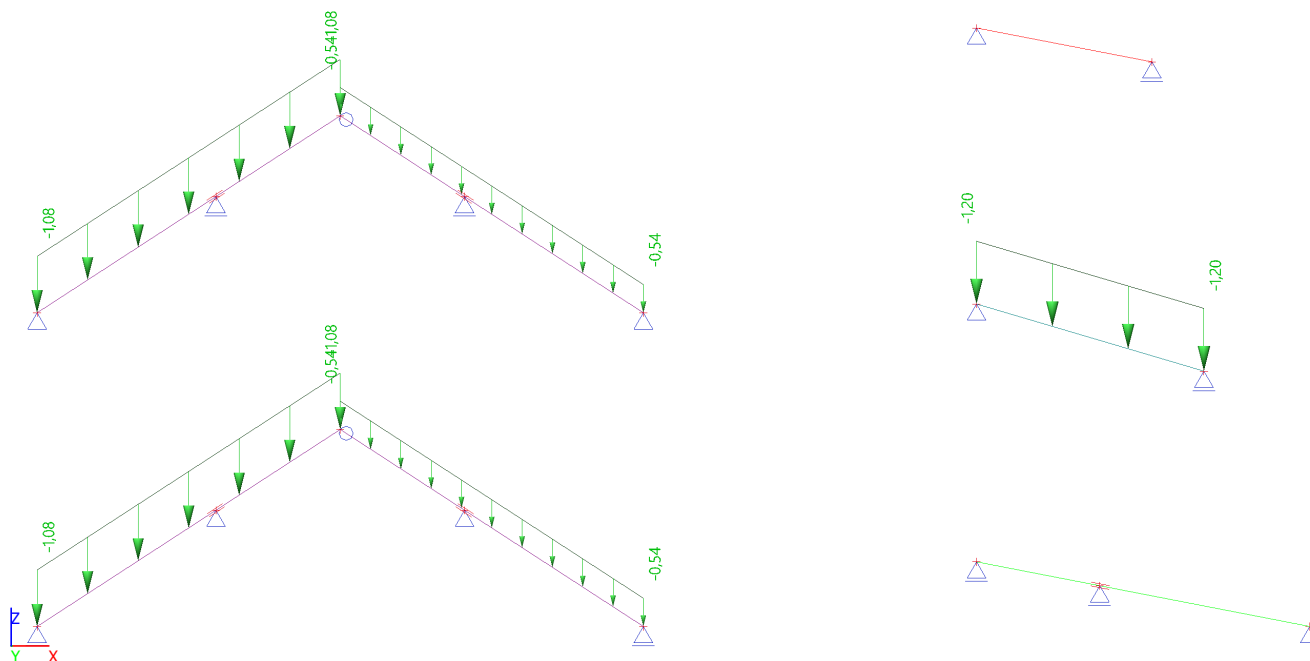
### 2.3.3. Zatěžovací stavy - ZS3

| Jméno | Popis     | Typ působení | Skupina zatížení | Působení   | Řídící zat. stav |
|-------|-----------|--------------|------------------|------------|------------------|
|       | Spec      | Typ zatížení |                  |            |                  |
| ZS3   | sníh(1;1) | Proměnné     | sníh             | Krátkodobé | Žádný            |
|       | Standard  | Statické     |                  |            |                  |



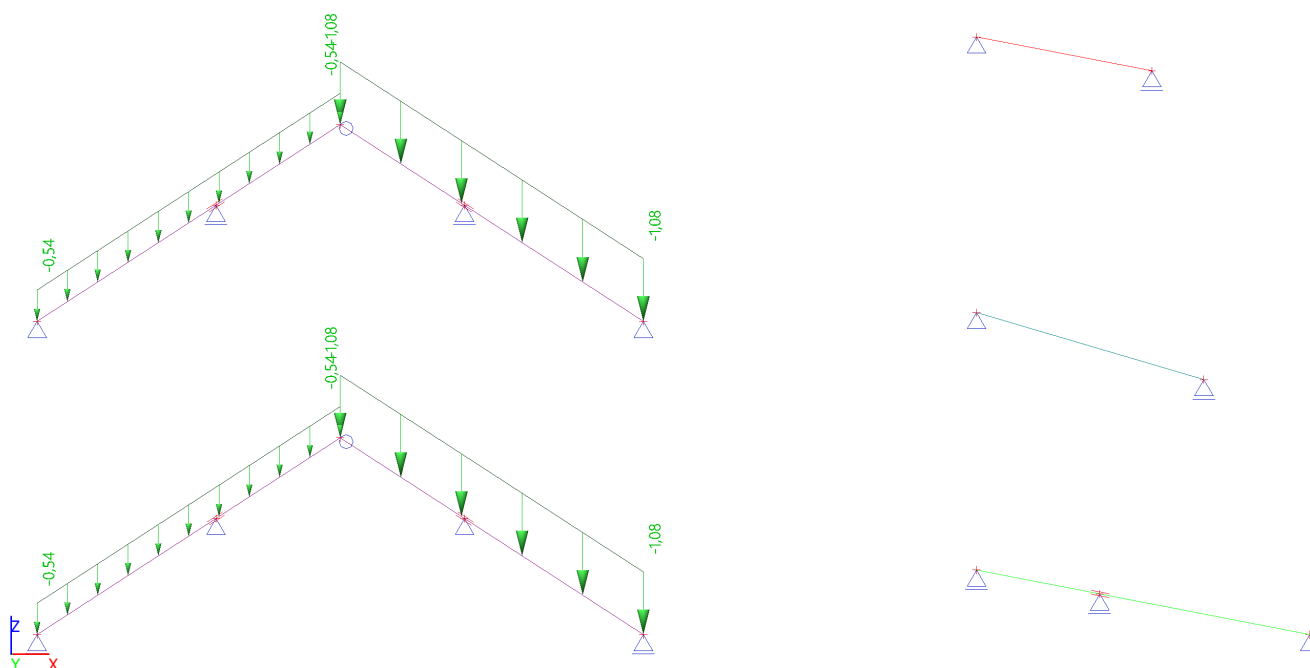
### 2.3.4. Zatěžovací stavy - ZS4

| Jméno | Popis       | Typ působení | Skupina zatížení | Působení   | Řídící zat. stav |
|-------|-------------|--------------|------------------|------------|------------------|
|       | Spec        | Typ zatížení |                  |            |                  |
| ZS4   | sníh(1;0,5) | Proměnné     | sníh             | Krátkodobé | Žádný            |
|       | Standard    | Statické     |                  |            |                  |



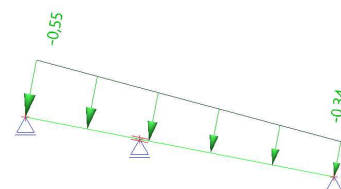
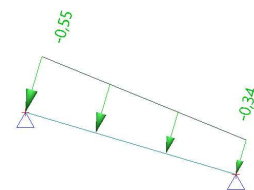
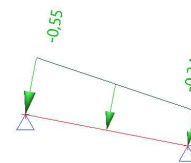
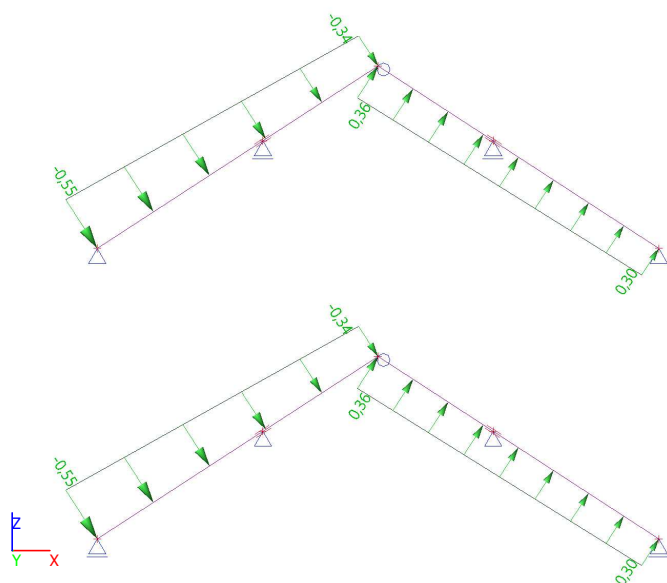
### 2.3.5. Zatěžovací stavy - ZS5

| Jméno | Popis       | Typ působení | Skupina zatížení | Působení   | Řídící zat. stav |
|-------|-------------|--------------|------------------|------------|------------------|
|       | Spec        | Typ zatížení |                  |            |                  |
| ZS5   | sníh(0,5;1) | Proměnné     | sníh             | Krátkodobé | Žádný            |
|       | Standard    | Statické     |                  |            |                  |



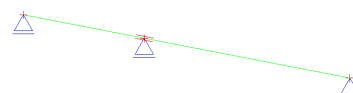
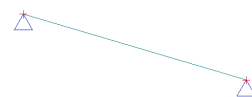
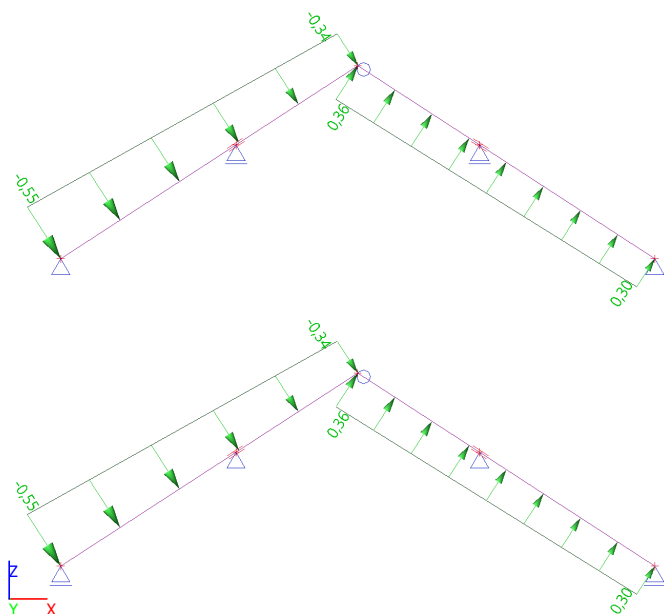
### 2.3.6. Zatěžovací stavy - ZS6

| Jméno | Popis      | Typ působení | Skupina zatížení | Působení   | Řídící zat. stav |
|-------|------------|--------------|------------------|------------|------------------|
|       | Spec       | Typ zatížení |                  |            |                  |
| ZS6   | vítr (+;+) | Proměnné     | vítr             | Krátkodobé | Žádný            |
|       | Standard   | Statické     |                  |            |                  |



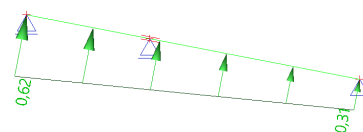
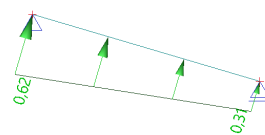
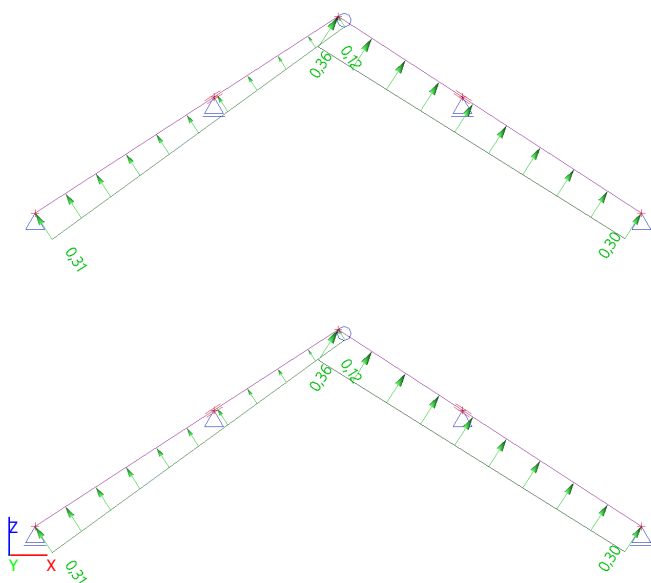
### 2.3.7. Zatěžovací stavy - ZS7

| Jméno | Popis      | Typ působení | Skupina zatížení | Působení   | Řídící zat. stav |
|-------|------------|--------------|------------------|------------|------------------|
|       | Spec       | Typ zatížení |                  |            |                  |
| ZS7   | vítr (+;-) | Proměnné     | vítr             | Krátkodobé | Žádný            |
|       | Standard   | Statické     |                  |            |                  |



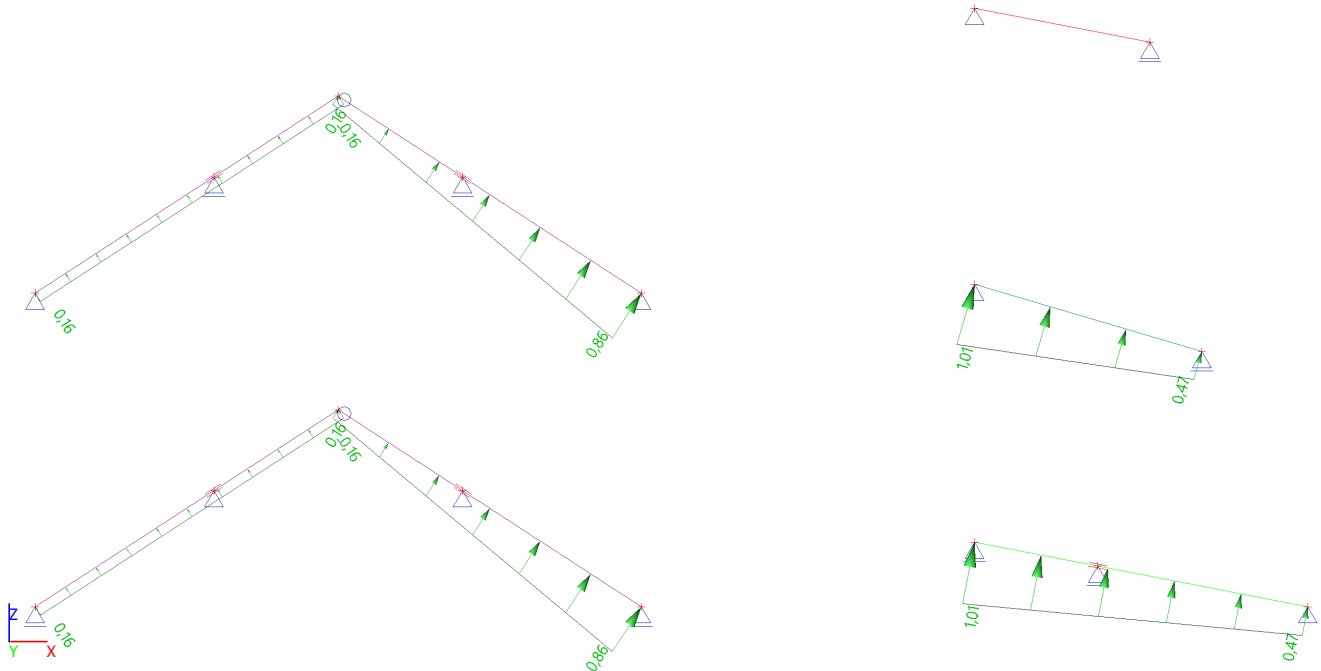
### 2.3.8. Zatěžovací stavy - ZS8

| Jméno | Popis      | Typ působení | Skupina zatížení | Působení   | Řídící zat. stav |
|-------|------------|--------------|------------------|------------|------------------|
|       | Spec       | Typ zatížení |                  |            |                  |
| ZS8   | vítr (-;-) | Proměnné     | vítr             | Krátkodobé | Žádný            |
|       | Standard   | Statické     |                  |            |                  |



2.3.9. Zatěžovací stavy - ZS9

| Jméno | Popis      | Typ působení | Skupina zatížení | Působení   | Řídící zat. stav |
|-------|------------|--------------|------------------|------------|------------------|
|       | Spec       | Typ zatížení |                  |            |                  |
| ZS9   | vítr (-;+) | Proměnné     | vítr             | Krátkodobé | Žádný            |
|       | Standard   | Statické     |                  |            |                  |



2.4. Kombinace

| Jméno             | Popis | Typ                       | Zatěžovací stavy     | Souč. [-] |
|-------------------|-------|---------------------------|----------------------|-----------|
| MSÚ-Sada B (auto) |       | EN-MSÚ (STR/GEO) Soubor B | ZS1 - Vlastní tíha   | 1,00      |
|                   |       |                           | ZS2 - stálé zatížení | 1,00      |
|                   |       |                           | ZS3 - sníh(1;1)      | 1,00      |
|                   |       |                           | ZS4 - sníh(1;0,5)    | 1,00      |
|                   |       |                           | ZS5 - sníh(0,5;1)    | 1,00      |
|                   |       |                           | ZS6 - vítr (+;+)     | 1,00      |
|                   |       |                           | ZS7 - vítr (+;-)     | 1,00      |
|                   |       |                           | ZS8 - vítr (-;-)     | 1,00      |
|                   |       |                           | ZS9 - vítr (-;+)     | 1,00      |
| MSP-Char (auto)   |       | EN-MSP charakteristická   | ZS1 - Vlastní tíha   | 1,00      |
|                   |       |                           | ZS2 - stálé zatížení | 1,00      |
|                   |       |                           | ZS3 - sníh(1;1)      | 1,00      |
|                   |       |                           | ZS4 - sníh(1;0,5)    | 1,00      |
|                   |       |                           | ZS5 - sníh(0,5;1)    | 1,00      |
|                   |       |                           | ZS6 - vítr (+;+)     | 1,00      |
|                   |       |                           | ZS7 - vítr (+;-)     | 1,00      |
|                   |       |                           | ZS8 - vítr (-;-)     | 1,00      |
|                   |       |                           | ZS9 - vítr (-;+)     | 1,00      |

3. VÝSLEDKY

3.1. 1D vnitřní síly

Lineární výpočet  
Třída: Všechny MSU  
Souřadný systém: Dílec  
Extrém 1D: Průřez  
Výběr: Vše



| Jméno | dx<br>[m] | Stav                | Průřez                        | N<br>[kN]    | V <sub>z</sub><br>[kN] | M <sub>y</sub><br>[kNm] |
|-------|-----------|---------------------|-------------------------------|--------------|------------------------|-------------------------|
| B4    | 0,000     | MSÚ-Sada B (auto)/1 | K1 á 1,0 m - OBDEL (110; 135) | <b>-4,87</b> | 1,26                   | 0,00                    |
| B2    | 3,404-    | MSÚ-Sada B (auto)/1 | K1 á 1,0 m - OBDEL (110; 135) | <b>2,74</b>  | -2,21                  | -1,25                   |
| B3    | 3,404+    | MSÚ-Sada B (auto)/2 | K1 á 1,0 m - OBDEL (110; 135) | -4,05        | <b>3,30</b>            | -2,29                   |
| B3    | 3,404-    | MSÚ-Sada B (auto)/2 | K1 á 1,0 m - OBDEL (110; 135) | 0,77         | <b>-4,13</b>           | <b>-2,29</b>            |
| B1    | 1,238     | MSÚ-Sada B (auto)/3 | K1 á 1,0 m - OBDEL (110; 135) | -0,55        | 0,27                   | <b>1,92</b>             |
| B5    | 0,000     | MSÚ-Sada B (auto)/4 | K2 á 1,0 m - OBDEL (100; 120) | <b>-1,25</b> | 0,45                   | 0,00                    |
| B5    | 3,414+    | MSÚ-Sada B (auto)/2 | K2 á 1,0 m - OBDEL (100; 120) | -0,56        | <b>3,83</b>            | -2,66                   |
| B5    | 3,414-    | MSÚ-Sada B (auto)/2 | K2 á 1,0 m - OBDEL (100; 120) | <b>1,13</b>  | <b>-4,93</b>           | <b>-2,66</b>            |
| B5    | 1,241     | MSÚ-Sada B (auto)/2 | K2 á 1,0 m - OBDEL (100; 120) | 0,27         | 0,36                   | <b>2,28</b>             |
| B6    | 0,000     | MSÚ-Sada B (auto)/2 | K3 á 1,0 m - OBDEL (110; 135) | <b>-2,33</b> | <b>7,90</b>            | 0,00                    |
| B6    | 3,784     | MSÚ-Sada B (auto)/1 | K3 á 1,0 m - OBDEL (110; 135) | <b>3,11</b>  | -8,04                  | 0,00                    |
| B6    | 3,784     | MSÚ-Sada B (auto)/2 | K3 á 1,0 m - OBDEL (110; 135) | 2,58         | <b>-10,27</b>          | 0,00                    |
| B6    | 2,038     | MSÚ-Sada B (auto)/5 | K3 á 1,0 m - OBDEL (110; 135) | 0,55         | 0,00                   | <b>-1,55</b>            |
| B6    | 2,038     | MSÚ-Sada B (auto)/2 | K3 á 1,0 m - OBDEL (110; 135) | -0,18        | -0,12                  | <b>8,63</b>             |
| B7    | 0,000     | MSÚ-Sada B (auto)/2 | K4 á 1,0 m - OBDEL (100; 120) | <b>-0,66</b> | <b>3,45</b>            | 0,00                    |
| B7    | 2,852     | MSÚ-Sada B (auto)/6 | K4 á 1,0 m - OBDEL (100; 120) | <b>0,67</b>  | -2,26                  | 0,00                    |
| B7    | 2,852     | MSÚ-Sada B (auto)/2 | K4 á 1,0 m - OBDEL (100; 120) | 0,46         | <b>-3,54</b>           | 0,00                    |
| B7    | 1,584     | MSÚ-Sada B (auto)/7 | K4 á 1,0 m - OBDEL (100; 120) | 0,18         | 0,02                   | <b>-0,46</b>            |
| B7    | 1,426+    | MSÚ-Sada B (auto)/2 | K4 á 1,0 m - OBDEL (100; 120) | -0,10        | 0,02                   | <b>2,49</b>             |

| Jméno               | Klíč kombinace                            |
|---------------------|---|
| MSÚ-Sada B (auto)/1 | 1.15*ZS1 + 1.15*ZS2 + 1.50*ZS3 + 0.90*ZS9 |
| MSÚ-Sada B (auto)/2 | 1.15*ZS1 + 1.15*ZS2 + 1.50*ZS3 + 0.90*ZS6 |
| MSÚ-Sada B (auto)/3 | 1.15*ZS1 + 1.15*ZS2 + 1.50*ZS4 + 0.90*ZS6 |
| MSÚ-Sada B (auto)/4 | 1.15*ZS1 + 1.15*ZS2 + 0.75*ZS3 + 1.50*ZS9 |
| MSÚ-Sada B (auto)/5 | ZS1 + ZS2 + 1.50*ZS9                      |
| MSÚ-Sada B (auto)/6 | 1.15*ZS1 + 1.15*ZS2 + 1.50*ZS3 + 0.90*ZS8 |
| MSÚ-Sada B (auto)/7 | ZS1 + ZS2 + 1.50*ZS8                      |

Hodnoty: **N**

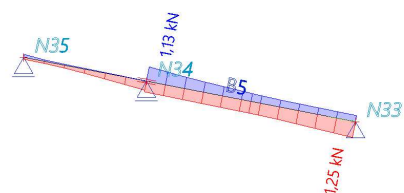
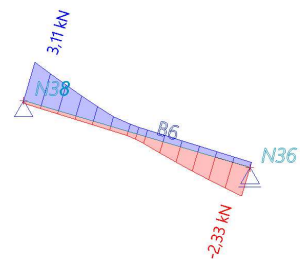
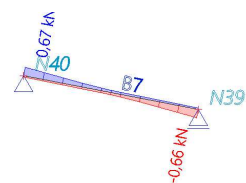
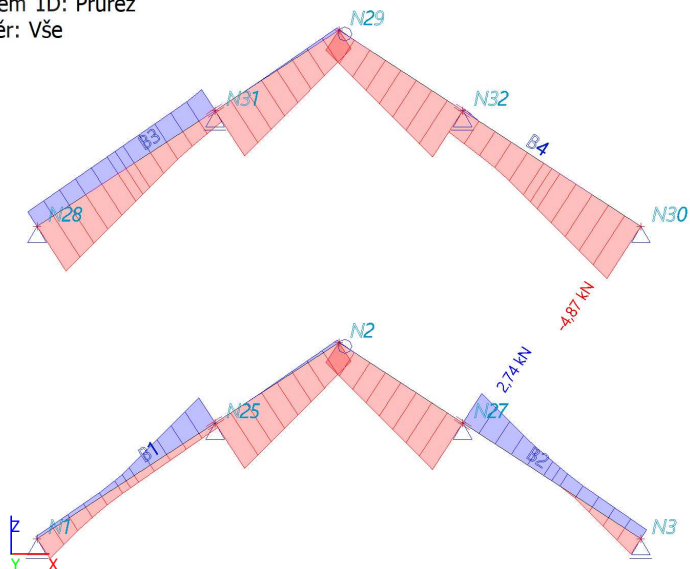
Lineární výpočet

Kombinace: MSÚ-Sada B (auto)

Souřadný systém: Dílec

Extrém 1D: Průřez

Výběr: Vše



Hodnoty: **V<sub>z</sub>**

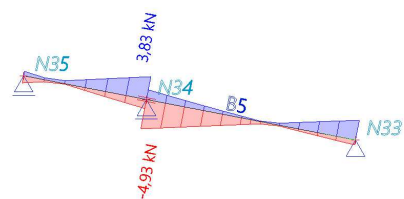
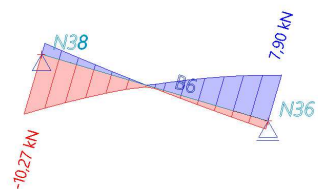
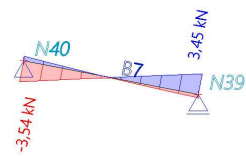
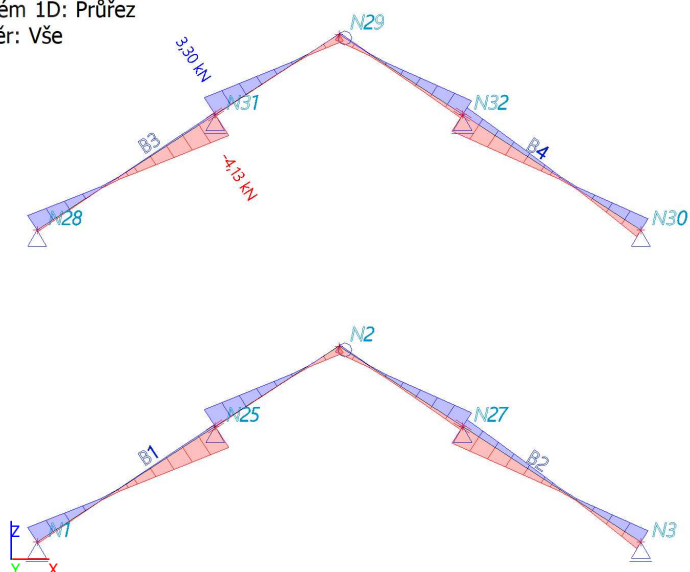
Lineární výpočet

Kombinace: MSÚ-Sada B (auto)

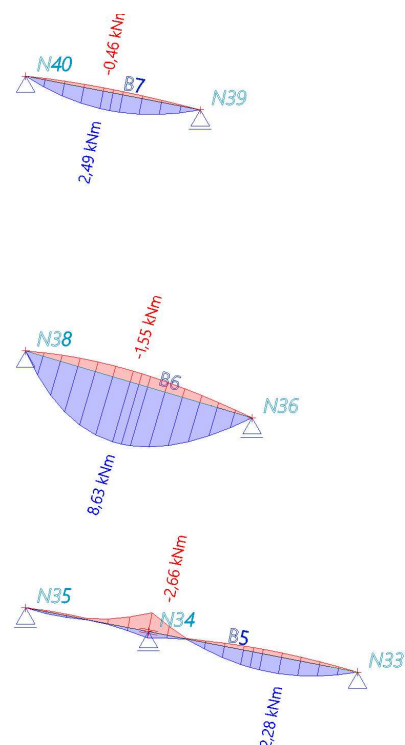
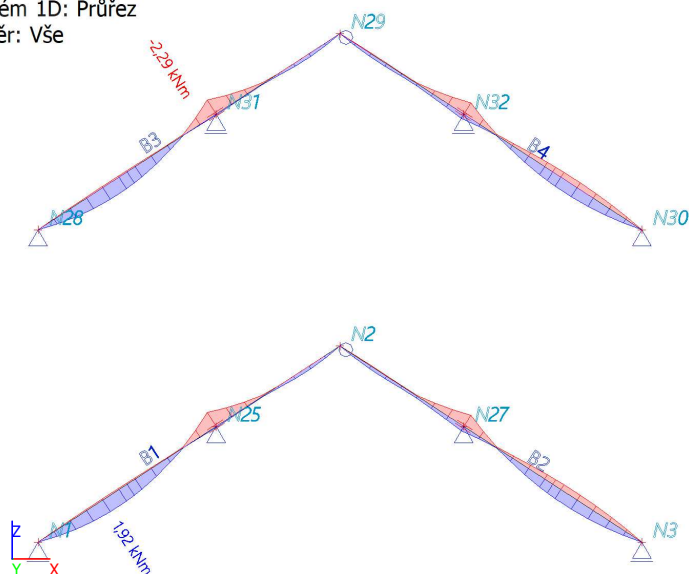
Souřadný systém: Dílec

Extrém 1D: Průřez

Výběr: Vše



Hodnoty:  $M_y$   
Lineární výpočet  
Kombinace: MSÚ-Sada B (auto)  
Souřadný systém: Dílec  
Extrém 1D: Průřez  
Výběr: Vše



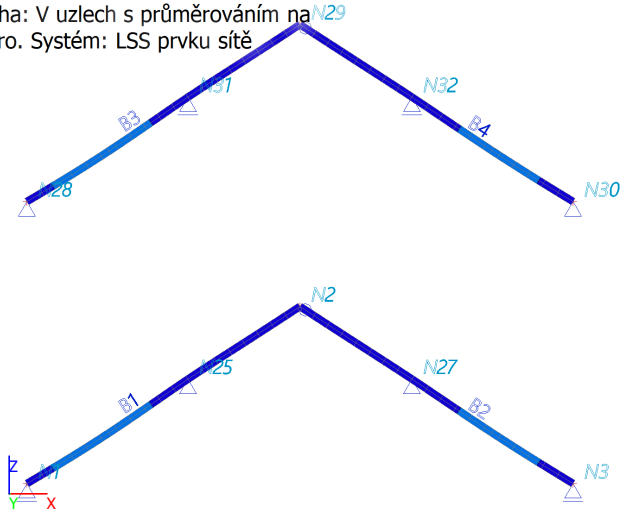
### 3.2. 3D přemístění

Lineární výpočet  
Třída: Všechny MSP  
Výběr: Vše  
Poloha: V uzlech s průměrováním na makro. Systém: LSS prvku sítě  
**Výsledky na 1D dílci:**  
Extrém 1D: Dílec

| Jméno | dx<br>[m] | Vlákno | Stav                 | $u_x$<br>[mm] | $u_y$<br>[mm] | $u_z$<br>[mm] | $\varphi_x$<br>[mrad] | $\varphi_y$<br>[mrad] | $\varphi_z$<br>[mrad] | $U_{total}$<br>[mm] |
|-------|-----------|--------|----------------------|---------------|---------------|---------------|-----------------------|-----------------------|-----------------------|---------------------|
| B1    | 3,404-    | 2      | MSP-Char<br>(auto)/1 | 0,0           | 0,0           | 0,0           | 0,0                   | -0,3                  | 0,0                   | <b>0,0</b>          |
| B1    | 1,547     | 3      | MSP-Char<br>(auto)/2 | 0,0           | 0,0           | -5,7          | 0,0                   | -0,1                  | 0,0                   | <b>5,7</b>          |
| B2    | 3,404-    | 2      | MSP-Char<br>(auto)/1 | 0,0           | 0,0           | 0,0           | 0,0                   | -0,3                  | 0,0                   | <b>0,0</b>          |
| B2    | 1,547     | 3      | MSP-Char<br>(auto)/3 | 0,0           | 0,0           | -4,5          | 0,0                   | 0,0                   | 0,0                   | <b>4,5</b>          |
| B3    | 0,000     | 2      | MSP-Char<br>(auto)/1 | 0,0           | 0,0           | 0,0           | 0,0                   | 0,9                   | 0,0                   | <b>0,0</b>          |
| B3    | 1,547     | 3      | MSP-Char<br>(auto)/2 | 0,0           | 0,0           | -5,7          | 0,0                   | -0,1                  | 0,0                   | <b>5,7</b>          |
| B4    | 0,000     | 2      | MSP-Char<br>(auto)/1 | 0,0           | 0,0           | 0,0           | 0,0                   | 0,9                   | 0,0                   | <b>0,0</b>          |
| B4    | 1,547     | 3      | MSP-Char<br>(auto)/3 | 0,0           | 0,0           | -4,5          | 0,0                   | -0,1                  | 0,0                   | <b>4,5</b>          |
| B5    | 0,000     | 6      | MSP-Char<br>(auto)/1 | 0,0           | 0,0           | 0,0           | 0,0                   | 1,6                   | 0,0                   | <b>0,0</b>          |
| B5    | 1,552     | 1      | MSP-Char<br>(auto)/4 | 0,0           | 0,0           | -10,7         | 0,0                   | 0,0                   | 0,0                   | <b>10,7</b>         |
| B6    | 0,000     | 2      | MSP-Char<br>(auto)/1 | 0,0           | 0,0           | 0,0           | 0,0                   | 2,3                   | 0,0                   | <b>0,0</b>          |
| B6    | 1,892+    | 3      | MSP-Char<br>(auto)/4 | 0,0           | 0,0           | -35,8         | 0,0                   | 0,7                   | 0,0                   | <b>35,8</b>         |
| B7    | 0,000     | 6      | MSP-Char<br>(auto)/1 | 0,0           | 0,0           | 0,0           | 0,0                   | 1,5                   | 0,0                   | <b>0,0</b>          |
| B7    | 1,426+    | 1      | MSP-Char<br>(auto)/4 | 0,0           | 0,0           | -9,4          | 0,0                   | 0,0                   | 0,0                   | <b>9,4</b>          |

| Jméno             | Klíč kombinace             |
|-------------------|----------------------------|
| MSP-Char (auto)/1 | ZS1 + ZS2                  |
| MSP-Char (auto)/2 | ZS1 + ZS2 + ZS4 + 0.60*ZS6 |
| MSP-Char (auto)/3 | ZS1 + ZS2 + ZS5            |
| MSP-Char (auto)/4 | ZS1 + ZS2 + ZS3 + 0.60*ZS6 |

Hodnoty: **U<sub>total</sub>**  
Lineární výpočet  
Třída: Všechny MSP  
Výběr: Vše  
Poloha: V uzlech s průměrováním na N29  
makro. Systém: LSS prvku sítě



3.3. Reakce

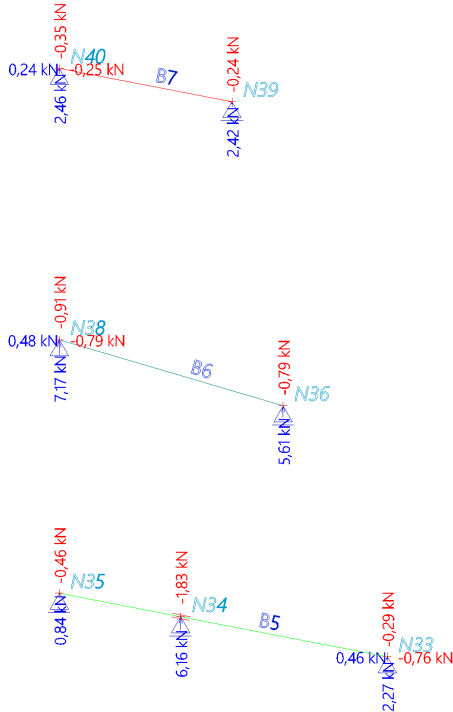
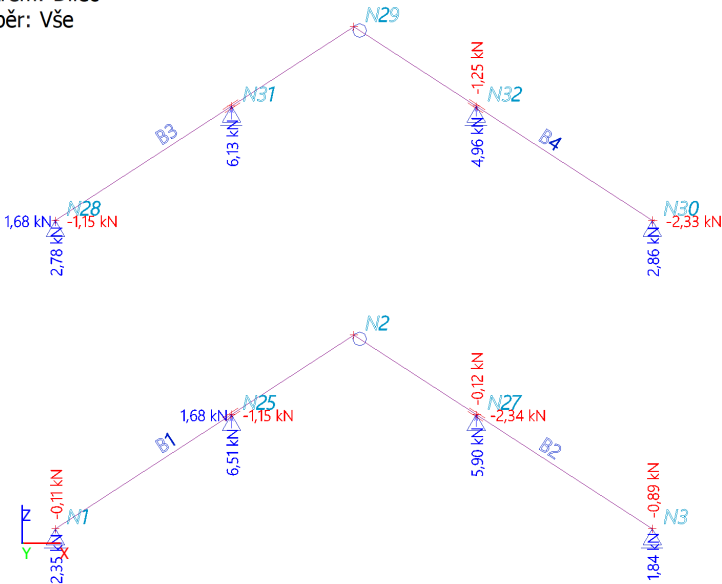
Lineární výpočet  
Třída: Všechny MSP  
Systém: Globální  
Extrém: Dílec  
Výběr: Vše  
Uzlové reakce

| Jméno    | Stav               | R <sub>x</sub><br>[kN] | R <sub>z</sub><br>[kN] | M <sub>y</sub><br>[kNm] | e <sub>y</sub><br>[mm] |
|----------|--------------------|------------------------|------------------------|-------------------------|------------------------|
| Sn2/N1   | MSP-Char (auto)/1  | 0,00                   | -0,11                  | 0,00                    | 0,0                    |
| Sn2/N1   | MSP-Char (auto)/2  | 0,00                   | 2,35                   | 0,00                    | 0,0                    |
| Sn3/N3   | MSP-Char (auto)/3  | 0,00                   | -0,89                  | 0,00                    | 0,0                    |
| Sn3/N3   | MSP-Char (auto)/4  | 0,00                   | 1,84                   | 0,00                    | 0,0                    |
| Sn21/N25 | MSP-Char (auto)/5  | 1,68                   | 5,48                   | 0,00                    | 0,0                    |
| Sn21/N25 | MSP-Char (auto)/1  | 0,66                   | 0,45                   | 0,00                    | 0,0                    |
| Sn21/N25 | MSP-Char (auto)/6  | 0,59                   | 6,51                   | 0,00                    | 0,0                    |
| Sn21/N25 | MSP-Char (auto)/7  | -1,15                  | 2,17                   | 0,00                    | 0,0                    |
| Sn23/N27 | MSP-Char (auto)/8  | -0,28                  | 1,15                   | 0,00                    | 0,0                    |
| Sn23/N27 | MSP-Char (auto)/3  | -1,75                  | -0,12                  | 0,00                    | 0,0                    |
| Sn23/N27 | MSP-Char (auto)/9  | -1,46                  | 5,90                   | 0,00                    | 0,0                    |
| Sn23/N27 | MSP-Char (auto)/10 | -2,34                  | 5,14                   | 0,00                    | 0,0                    |
| Sn24/N28 | MSP-Char (auto)/5  | 1,68                   | 2,65                   | 0,00                    | 0,0                    |
| Sn24/N28 | MSP-Char (auto)/1  | 0,66                   | 0,32                   | 0,00                    | 0,0                    |
| Sn24/N28 | MSP-Char (auto)/9  | 1,45                   | 2,78                   | 0,00                    | 0,0                    |
| Sn24/N28 | MSP-Char (auto)/7  | -1,15                  | 0,46                   | 0,00                    | 0,0                    |
| Sn25/N30 | MSP-Char (auto)/8  | -0,28                  | 0,54                   | 0,00                    | 0,0                    |
| Sn25/N30 | MSP-Char (auto)/3  | -1,75                  | 0,24                   | 0,00                    | 0,0                    |
| Sn25/N30 | MSP-Char (auto)/6  | -2,05                  | 2,86                   | 0,00                    | 0,0                    |
| Sn25/N30 | MSP-Char (auto)/11 | -2,33                  | 1,36                   | 0,00                    | 0,0                    |
| Sn26/N31 | MSP-Char (auto)/1  | 0,00                   | 0,03                   | 0,00                    | 0,0                    |
| Sn26/N31 | MSP-Char (auto)/6  | 0,00                   | 6,13                   | 0,00                    | 0,0                    |
| Sn27/N32 | MSP-Char (auto)/3  | 0,00                   | -1,25                  | 0,00                    | 0,0                    |
| Sn27/N32 | MSP-Char (auto)/9  | 0,00                   | 4,96                   | 0,00                    | 0,0                    |
| Sn28/N33 | MSP-Char (auto)/7  | 0,46                   | 0,79                   | 0,00                    | 0,0                    |
| Sn28/N33 | MSP-Char (auto)/3  | -0,76                  | -0,29                  | 0,00                    | 0,0                    |
| Sn28/N33 | MSP-Char (auto)/6  | 0,28                   | 2,27                   | 0,00                    | 0,0                    |

| Jméno    | Stav               | R <sub>x</sub><br>[kN] | R <sub>z</sub><br>[kN] | M <sub>y</sub><br>[kNm] | e <sub>y</sub><br>[mm] |
|----------|--------------------|------------------------|------------------------|-------------------------|------------------------|
| Sn28/N33 | MSP-Char (auto)/11 | -0,76                  | 0,54                   | 0,00                    | 0,0                    |
| Sn29/N34 | MSP-Char (auto)/3  | 0,00                   | -1,83                  | 0,00                    | 0,0                    |
| Sn29/N34 | MSP-Char (auto)/6  | 0,00                   | 6,16                   | 0,00                    | 0,0                    |
| Sn30/N35 | MSP-Char (auto)/3  | 0,00                   | -0,46                  | 0,00                    | 0,0                    |
| Sn30/N35 | MSP-Char (auto)/6  | 0,00                   | 0,84                   | 0,00                    | 0,0                    |
| Sn31/N36 | MSP-Char (auto)/3  | 0,00                   | -0,79                  | 0,00                    | 0,0                    |
| Sn31/N36 | MSP-Char (auto)/6  | 0,00                   | 5,61                   | 0,00                    | 0,0                    |
| Sn33/N38 | MSP-Char (auto)/7  | 0,48                   | 1,30                   | 0,00                    | 0,0                    |
| Sn33/N38 | MSP-Char (auto)/3  | -0,79                  | -0,91                  | 0,00                    | 0,0                    |
| Sn33/N38 | MSP-Char (auto)/6  | 0,29                   | 7,17                   | 0,00                    | 0,0                    |
| Sn33/N38 | MSP-Char (auto)/12 | -0,79                  | 0,23                   | 0,00                    | 0,0                    |
| Sn34/N39 | MSP-Char (auto)/1  | 0,00                   | -0,24                  | 0,00                    | 0,0                    |
| Sn34/N39 | MSP-Char (auto)/6  | 0,00                   | 2,42                   | 0,00                    | 0,0                    |
| Sn35/N40 | MSP-Char (auto)/7  | 0,24                   | 1,01                   | 0,00                    | 0,0                    |
| Sn35/N40 | MSP-Char (auto)/1  | -0,25                  | -0,35                  | 0,00                    | 0,0                    |
| Sn35/N40 | MSP-Char (auto)/6  | 0,14                   | 2,46                   | 0,00                    | 0,0                    |
| Sn35/N40 | MSP-Char (auto)/13 | -0,25                  | 0,51                   | 0,00                    | 0,0                    |

| Jméno              | Klíč kombinace             |
|--------------------|----------------------------|
| MSP-Char (auto)/1  | ZS1 + ZS2 + ZS8            |
| MSP-Char (auto)/2  | ZS1 + ZS2 + ZS4 + 0.60*ZS6 |
| MSP-Char (auto)/3  | ZS1 + ZS2 + ZS9            |
| MSP-Char (auto)/4  | ZS1 + ZS2 + ZS5            |
| MSP-Char (auto)/5  | ZS1 + ZS2 + ZS3 + 0.60*ZS8 |
| MSP-Char (auto)/6  | ZS1 + ZS2 + ZS3 + 0.60*ZS6 |
| MSP-Char (auto)/7  | ZS1 + ZS2 + ZS6            |
| MSP-Char (auto)/8  | ZS1 + ZS2                  |
| MSP-Char (auto)/9  | ZS1 + ZS2 + ZS3            |
| MSP-Char (auto)/10 | ZS1 + ZS2 + ZS3 + 0.60*ZS9 |
| MSP-Char (auto)/11 | ZS1 + ZS2 + 0.50*ZS3 + ZS9 |
| MSP-Char (auto)/12 | ZS1 + ZS2 + 0.50*ZS4 + ZS9 |
| MSP-Char (auto)/13 | ZS1 + ZS2 + 0.50*ZS3 + ZS8 |

Hodnoty: **R<sub>x</sub>, R<sub>z</sub>**  
Lineární výpočet  
Kombinace: MSP-Char (auto)  
Systém: Globální  
Extrém: Dílec  
Výběr: Vše



3.4. Reakce

Lineární výpočet  
Třída: Všechny MSU  
Systém: Globální  
Extrém: Dílec  
Výběr: Vše

# Uzlové reakce

| Jméno    | Stav                 | R <sub>x</sub><br>[kN] | R <sub>z</sub><br>[kN] | M <sub>y</sub><br>[kNm] | e <sub>y</sub><br>[mm] |
|----------|----------------------|------------------------|------------------------|-------------------------|------------------------|
| Sn2/N1   | MSÚ-Sada B (auto)/1  | 0,00                   | <b>-0,34</b>           | 0,00                    | 0,0                    |
| Sn2/N1   | MSÚ-Sada B (auto)/2  | <b>0,00</b>            | <b>3,39</b>            | <b>0,00</b>             | 0,0                    |
| Sn3/N3   | MSÚ-Sada B (auto)/3  | 0,00                   | <b>-1,51</b>           | 0,00                    | 0,0                    |
| Sn3/N3   | MSÚ-Sada B (auto)/4  | <b>0,00</b>            | <b>2,63</b>            | <b>0,00</b>             | 0,0                    |
| Sn21/N25 | MSÚ-Sada B (auto)/5  | <b>2,42</b>            | 7,82                   | <b>0,00</b>             | 0,0                    |
| Sn21/N25 | MSÚ-Sada B (auto)/1  | 0,85                   | <b>0,11</b>            | 0,00                    | 0,0                    |
| Sn21/N25 | MSÚ-Sada B (auto)/6  | 0,79                   | <b>9,36</b>            | 0,00                    | 0,0                    |
| Sn21/N25 | MSÚ-Sada B (auto)/7  | <b>-1,87</b>           | 2,68                   | <b>0,00</b>             | 0,0                    |
| Sn23/N27 | MSÚ-Sada B (auto)/8  | <b>-0,28</b>           | 1,15                   | <b>0,00</b>             | 0,0                    |
| Sn23/N27 | MSÚ-Sada B (auto)/3  | -2,48                  | <b>-0,75</b>           | 0,00                    | 0,0                    |
| Sn23/N27 | MSÚ-Sada B (auto)/9  | -2,08                  | <b>8,45</b>            | 0,00                    | 0,0                    |
| Sn23/N27 | MSÚ-Sada B (auto)/10 | <b>-3,40</b>           | 7,30                   | <b>0,00</b>             | 0,0                    |
| Sn24/N28 | MSÚ-Sada B (auto)/5  | <b>2,42</b>            | 3,78                   | <b>0,00</b>             | 0,0                    |
| Sn24/N28 | MSÚ-Sada B (auto)/1  | 0,85                   | <b>0,21</b>            | 0,00                    | 0,0                    |
| Sn24/N28 | MSÚ-Sada B (auto)/9  | 2,08                   | <b>3,98</b>            | 0,00                    | 0,0                    |
| Sn24/N28 | MSÚ-Sada B (auto)/7  | <b>-1,87</b>           | 0,42                   | <b>0,00</b>             | 0,0                    |
| Sn25/N30 | MSÚ-Sada B (auto)/8  | <b>-0,28</b>           | 0,54                   | <b>0,00</b>             | 0,0                    |
| Sn25/N30 | MSÚ-Sada B (auto)/3  | -2,48                  | <b>0,10</b>            | 0,00                    | 0,0                    |
| Sn25/N30 | MSÚ-Sada B (auto)/6  | -2,98                  | <b>4,10</b>            | 0,00                    | 0,0                    |
| Sn25/N30 | MSÚ-Sada B (auto)/11 | <b>-3,40</b>           | 1,85                   | <b>0,00</b>             | 0,0                    |
| Sn26/N31 | MSÚ-Sada B (auto)/1  | 0,00                   | <b>-0,44</b>           | 0,00                    | 0,0                    |
| Sn26/N31 | MSÚ-Sada B (auto)/6  | <b>0,00</b>            | <b>8,85</b>            | <b>0,00</b>             | 0,0                    |
| Sn27/N32 | MSÚ-Sada B (auto)/3  | 0,00                   | <b>-2,36</b>           | 0,00                    | 0,0                    |
| Sn27/N32 | MSÚ-Sada B (auto)/9  | <b>0,00</b>            | <b>7,10</b>            | <b>0,00</b>             | 0,0                    |
| Sn28/N33 | MSÚ-Sada B (auto)/7  | <b>0,69</b>            | 1,01                   | <b>0,00</b>             | 0,0                    |
| Sn28/N33 | MSÚ-Sada B (auto)/3  | -1,14                  | <b>-0,61</b>           | 0,00                    | 0,0                    |
| Sn28/N33 | MSÚ-Sada B (auto)/6  | 0,41                   | <b>3,29</b>            | 0,00                    | 0,0                    |
| Sn28/N33 | MSÚ-Sada B (auto)/11 | <b>-1,14</b>           | 0,68                   | <b>0,00</b>             | 0,0                    |
| Sn29/N34 | MSÚ-Sada B (auto)/3  | 0,00                   | <b>-3,19</b>           | 0,00                    | 0,0                    |
| Sn29/N34 | MSÚ-Sada B (auto)/6  | <b>0,00</b>            | <b>8,92</b>            | <b>0,00</b>             | 0,0                    |
| Sn30/N35 | MSÚ-Sada B (auto)/3  | 0,00                   | <b>-0,75</b>           | 0,00                    | 0,0                    |
| Sn30/N35 | MSÚ-Sada B (auto)/6  | <b>0,00</b>            | <b>1,22</b>            | <b>0,00</b>             | 0,0                    |
| Sn31/N36 | MSÚ-Sada B (auto)/3  | 0,00                   | <b>-1,43</b>           | 0,00                    | 0,0                    |
| Sn31/N36 | MSÚ-Sada B (auto)/6  | <b>0,00</b>            | <b>8,24</b>            | <b>0,00</b>             | 0,0                    |
| Sn33/N38 | MSÚ-Sada B (auto)/12 | <b>0,71</b>            | 1,78                   | <b>0,00</b>             | 0,0                    |
| Sn33/N38 | MSÚ-Sada B (auto)/3  | -1,19                  | <b>-1,61</b>           | 0,00                    | 0,0                    |
| Sn33/N38 | MSÚ-Sada B (auto)/6  | 0,43                   | <b>10,58</b>           | 0,00                    | 0,0                    |
| Sn33/N38 | MSÚ-Sada B (auto)/13 | <b>-1,19</b>           | 0,16                   | <b>0,00</b>             | 0,0                    |
| Sn34/N39 | MSÚ-Sada B (auto)/1  | 0,00                   | <b>-0,54</b>           | 0,00                    | 0,0                    |
| Sn34/N39 | MSÚ-Sada B (auto)/6  | <b>0,00</b>            | <b>3,51</b>            | <b>0,00</b>             | 0,0                    |
| Sn35/N40 | MSÚ-Sada B (auto)/12 | <b>0,36</b>            | 1,38                   | <b>0,00</b>             | 0,0                    |
| Sn35/N40 | MSÚ-Sada B (auto)/1  | -0,38                  | <b>-0,70</b>           | 0,00                    | 0,0                    |
| Sn35/N40 | MSÚ-Sada B (auto)/6  | 0,22                   | <b>3,56</b>            | 0,00                    | 0,0                    |
| Sn35/N40 | MSÚ-Sada B (auto)/14 | <b>-0,38</b>           | 0,64                   | <b>0,00</b>             | 0,0                    |

| Jméno                | Klíč kombinace                            |
|----------------------|---|
| MSÚ-Sada B (auto)/1  | ZS1 + ZS2 + 1.50*ZS8                      |
| MSÚ-Sada B (auto)/2  | 1.15*ZS1 + 1.15*ZS2 + 1.50*ZS4 + 0.90*ZS6 |
| MSÚ-Sada B (auto)/3  | ZS1 + ZS2 + 1.50*ZS9                      |
| MSÚ-Sada B (auto)/4  | 1.15*ZS1 + 1.15*ZS2 + 1.50*ZS5            |
| MSÚ-Sada B (auto)/5  | 1.15*ZS1 + 1.15*ZS2 + 1.50*ZS3 + 0.90*ZS8 |
| MSÚ-Sada B (auto)/6  | 1.15*ZS1 + 1.15*ZS2 + 1.50*ZS3 + 0.90*ZS6 |
| MSÚ-Sada B (auto)/7  | ZS1 + ZS2 + 1.50*ZS6                      |
| MSÚ-Sada B (auto)/8  | ZS1 + ZS2                                 |
| MSÚ-Sada B (auto)/9  | 1.15*ZS1 + 1.15*ZS2 + 1.50*ZS3            |
| MSÚ-Sada B (auto)/10 | 1.15*ZS1 + 1.15*ZS2 + 1.50*ZS3 + 0.90*ZS9 |
| MSÚ-Sada B (auto)/11 | 1.15*ZS1 + 1.15*ZS2 + 0.75*ZS3 + 1.50*ZS9 |
| MSÚ-Sada B (auto)/12 | 1.15*ZS1 + 1.15*ZS2 + 1.50*ZS6            |
| MSÚ-Sada B (auto)/13 | 1.15*ZS1 + 1.15*ZS2 + 0.75*ZS4 + 1.50*ZS9 |
| MSÚ-Sada B (auto)/14 | 1.15*ZS1 + 1.15*ZS2 + 0.75*ZS3 + 1.50*ZS8 |

Hodnoty:  $R_x$ ,  $R_y$ ,  $R_z$

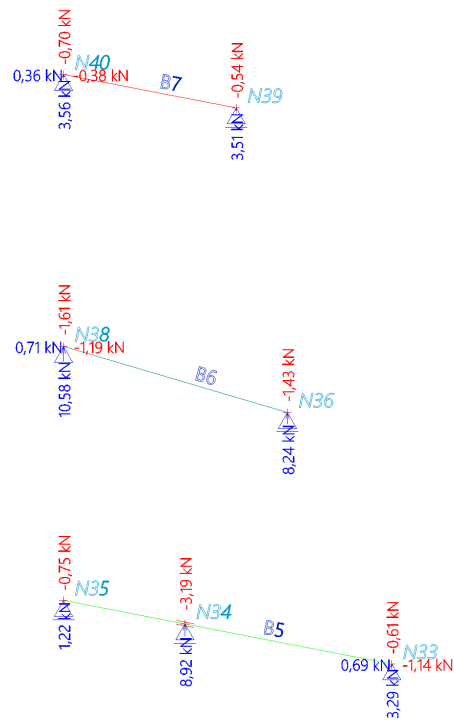
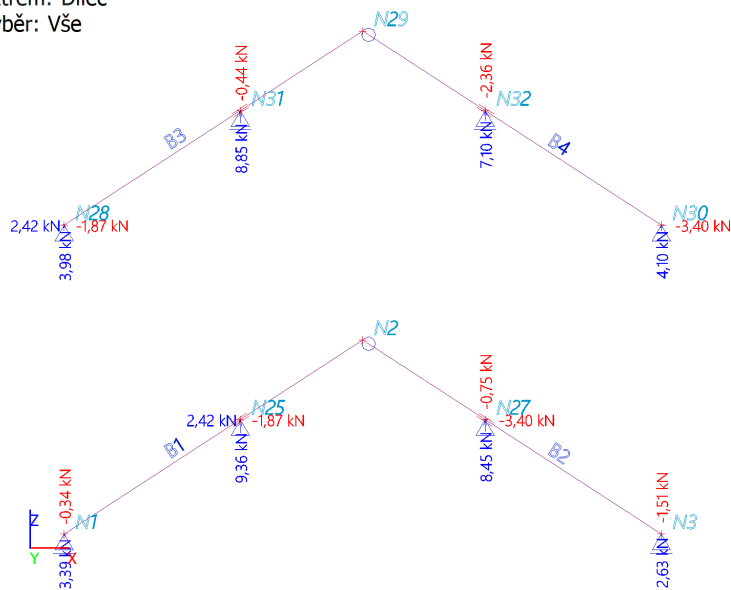
Lineární výpočet

Kombinace: MSÚ-Sada B (auto)

Systém: Globální

Extrém: Dílec

Výběr: Vše





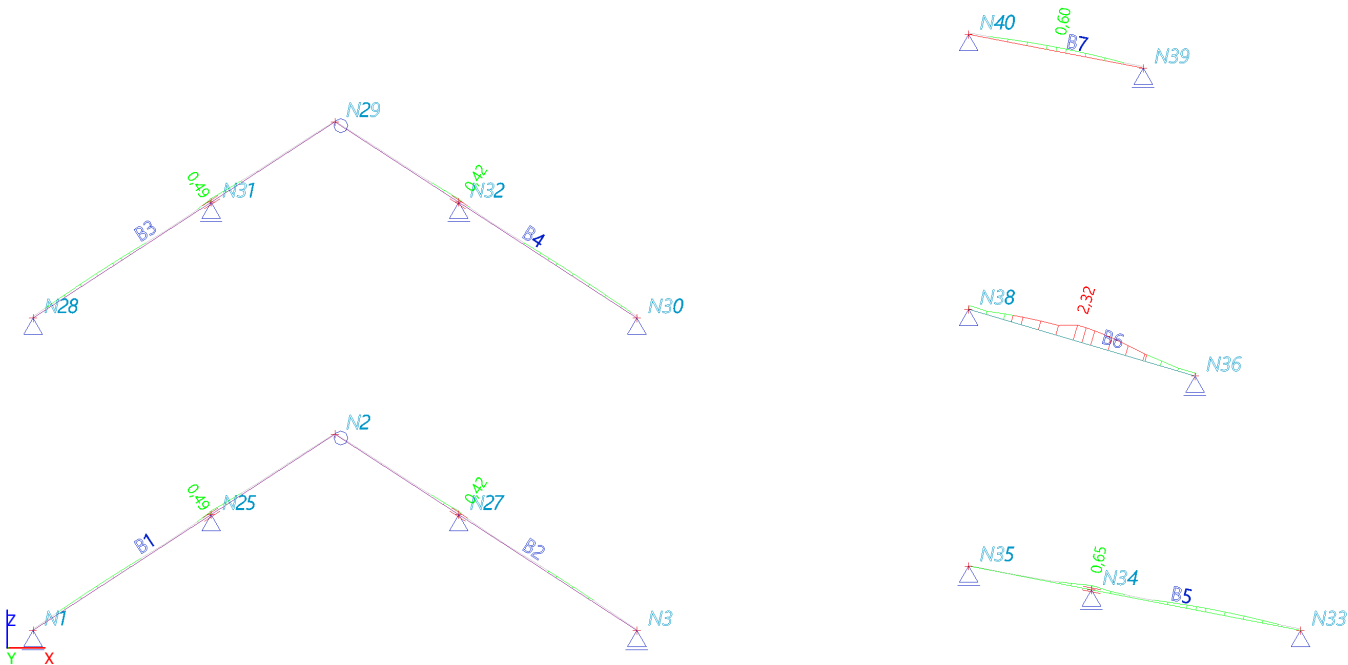
4. POSUDEK

4.1. Posudek dřeva podle MSÚ

Lineární výpočet, Extrém : Průřez  
Výběr : Vše  
Třída : Všechny MSU

Posudek dřeva podle MSÚ

| Nosník | Průřez             | Materiál     | dx [m] | Zatěžovací stav | Jedn. posudek [-] | Posudek v řezu [-] | Posudek stability [-] | CH/V/P |
|--------|--------------------|--------------|--------|-----------------|-------------------|--------------------|-----------------------|--------|
| B3     | K1 á 1,0 m - OBDEL | C24 (EN 338) | 3,404  | Všechny MSU/1   | 0,49              | 0,40               | 0,49                  | -      |
| B5     | K2 á 1,0 m - OBDEL | C24 (EN 338) | 3,414  | Všechny MSU/1   | 0,65              | 0,64               | 0,65                  | -      |
| B6     | K3 á 1,0 m - OBDEL | C24 (EN 338) | 2,038  | Všechny MSU/1   | 2,32              | 1,52               | 2,32                  | -      |
| B7     | K4 á 1,0 m - OBDEL | C24 (EN 338) | 1,426  | Všechny MSU/1   | 0,60              | 0,60               | 0,60                  | -      |

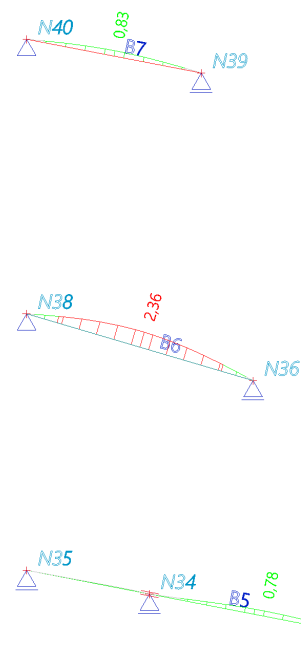
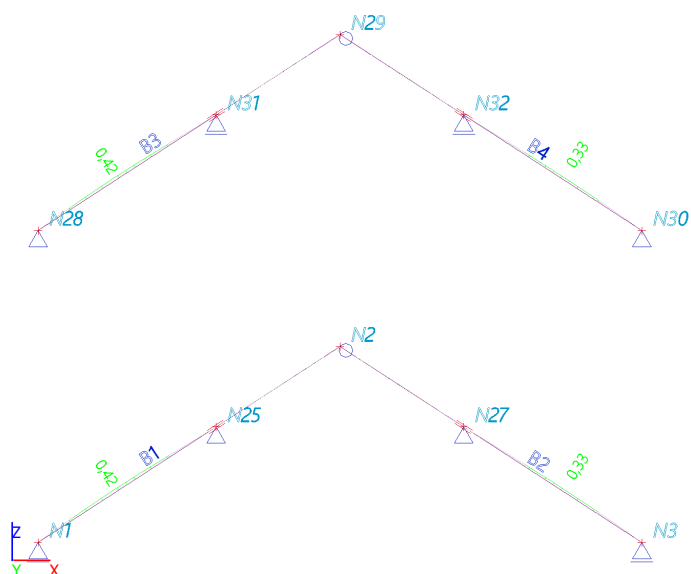


4.2. Posudek dřeva podle MSP

Lineární výpočet, Extrém : Průřez  
Výběr : Vše  
Třída : Všechny MSP

| Dílec | Průřez             | dx [m] | Zatěžovací stav      | Jedn. posudek [-] | uy inst [mm] | Rel uy inst [1/xx] | Posudek uy inst [-] | uy fin [mm] | Rel uy fin [1/xx] | Posudek uy fin [-] |
|-------|--------------------|--------|----------------------|-------------------|--------------|--------------------|---------------------|-------------|-------------------|--------------------|
|       | Materiál           |        | k <sub>def</sub> [-] |                   | uz inst [mm] | Rel uz inst [1/xx] | Posudek uz inst [-] | uz fin [mm] | Rel uz fin [1/xx] | Posudek uz fin [-] |
| B1    | K1 á 1,0 m - OBDEL | 1,547  | Všechny MSP/1        | 0,42              | 0,0          | 0                  | 0,00                | 0,0         | 0                 | 0,00               |
|       | C24 (EN 338)       |        | 0,60                 |                   | -5,7         | 1/598              | 0,42                | -6,2        | 1/548             | 0,36               |
| B5    | K2 á 1,0 m - OBDEL | 1,552  | Všechny MSP/2        | 0,78              | 0,0          | 0                  | 0,00                | 0,0         | 0                 | 0,00               |
|       | C24 (EN 338)       |        | 0,60                 |                   | -10,7        | 1/320              | 0,78                | -11,6       | 1/294             | 0,68               |
| B6    | K3 á 1,0 m -       | 1,892  | Všechny              | 2,36              | 0,0          | 0                  | 0,00                | 0,0         | 0                 | 0,00               |

| Dílec | Průřez                                | dx<br>[m] | Zatěžovací<br>stav       | Jedn.<br>posudek<br>[-] | uy inst<br>[mm] | Rel uy<br>inst<br>[1/xx] | Posudek<br>uy inst<br>[-] | uy fin<br>[mm] | Rel uy fin<br>[1/xx] | Posudek<br>uy fin<br>[-] |
|-------|---------------------------------------|-----------|--------------------------|-------------------------|-----------------|--------------------------|---------------------------|----------------|----------------------|--------------------------|
|       | Materiál                              |           | k <sub>def</sub><br>[-]  |                         | uz inst<br>[mm] | Rel uz<br>inst<br>[1/xx] | Posudek<br>uz inst<br>[-] | uz fin<br>[mm] | Rel uz fin<br>[1/xx] | Posudek<br>uz fin<br>[-] |
|       | OBDEL<br>C24 (EN 338)                 |           | MSP/2<br>0,60            |                         | -35,8           | 1/106                    | 2,36                      | -37,4          | 1/101                | 1,98                     |
| B7    | K4 á 1,0 m -<br>OBDEL<br>C24 (EN 338) | 1,426     | Všechny<br>MSP/2<br>0,60 | <b>0,83</b>             | 0,0             | 0                        | 0,00                      | 0,0            | 0                    | 0,00                     |
|       |                                       |           |                          |                         | -9,4            | 1/302                    | 0,83                      | -10,3          | 1/278                | 0,72                     |

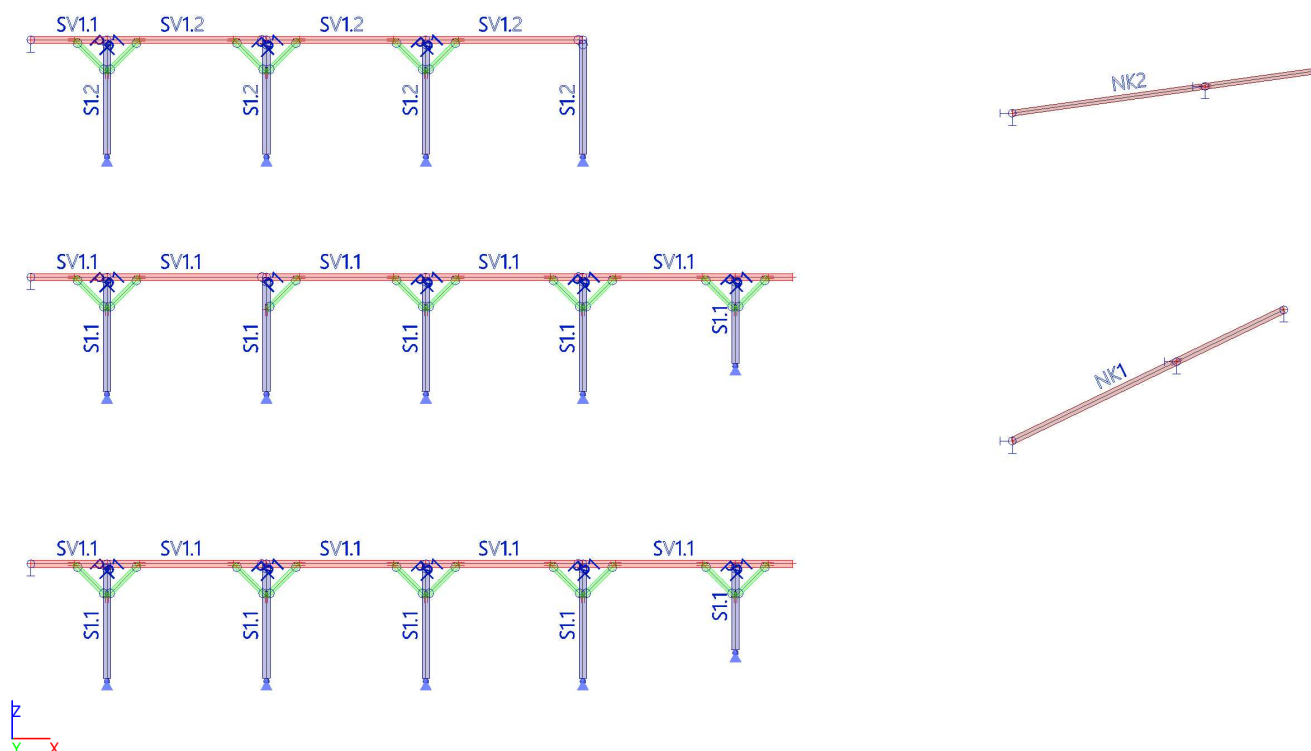


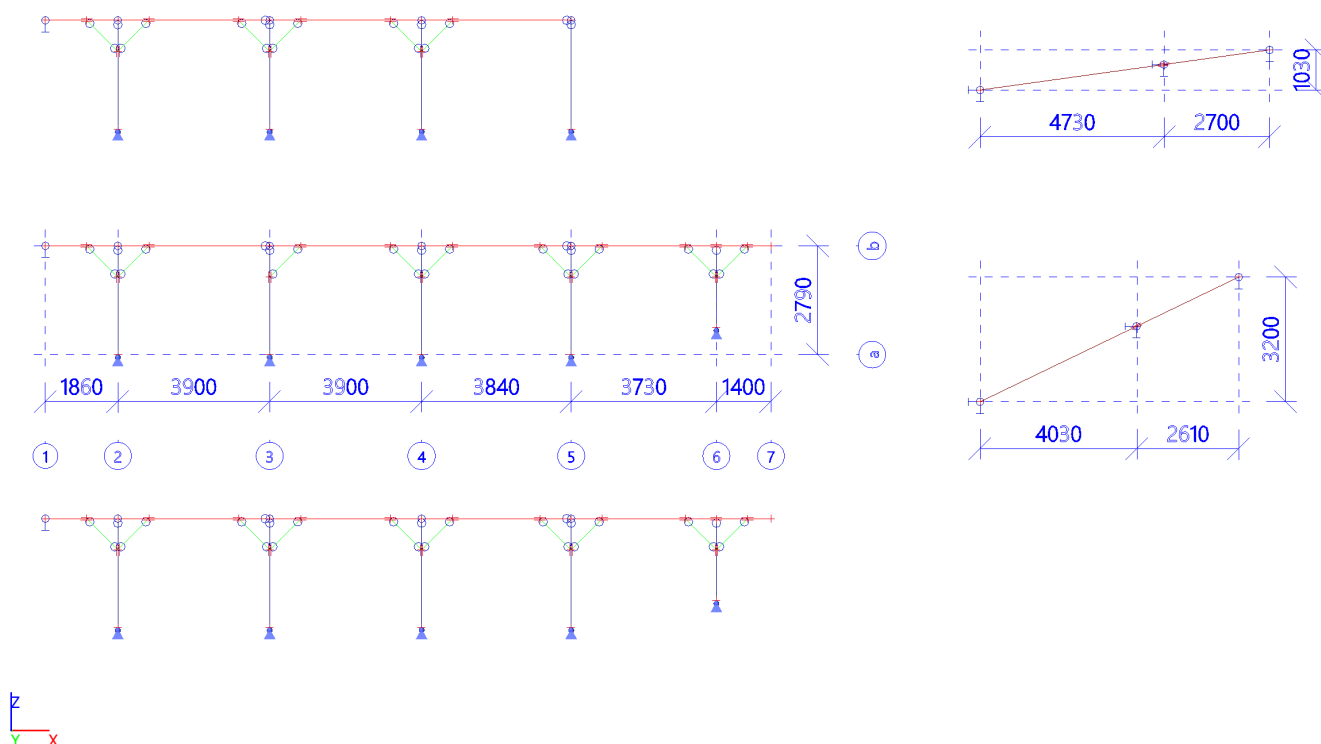
## 1. Obsah

|                               |    |
|-------------------------------|----|
| 1. Obsah                      | 1  |
| 2. DATA                       | 1  |
| 2.1. Výpočtový model          | 1  |
| 2.2. Materiály                | 2  |
| 2.3. Průřezy                  | 2  |
| 2.4. Zatěžovací stavy         | 3  |
| 2.4.1. Zatěžovací stavy - ZS1 | 3  |
| 2.4.2. Zatěžovací stavy - ZS2 | 3  |
| 2.4.3. Zatěžovací stavy - ZS3 | 4  |
| 2.5. Kombinace                | 5  |
| 3. VÝSLEDKY                   | 5  |
| 3.1. 1D vnitřní síly          | 5  |
| 3.2. 3D přemístění            | 7  |
| 3.3. Reakce                   | 9  |
| 3.4. Reakce                   | 10 |
| 4. POSUDEK - DŘEVO            | 11 |
| 4.1. Posudek dřeva podle MSÚ  | 11 |
| 4.2. MSÚ - POSUDEK V ŘEZU     | 12 |
| 4.3. MSÚ - STABILITNÍ POSUDEK | 13 |
| 4.4. Posudek dřeva podle MSP  | 13 |

## 2. DATA

### 2.1. Výpočtový model





## 2.2. Materiály

Timber EC5

| Jméno        | Typ dřeva                      | $\mu$              | $E_{mod}$<br>[MPa]       | $f_{m,k}$<br>[MPa] | $f_{t,0,k}$<br>[MPa] | $f_{t,90,k}$<br>[MPa] | $f_{c,0,k}$<br>[MPa] | $f_{c,90,k}$<br>[MPa] | $f_{v,k}$<br>[MPa] | Barva                                  |
|--------------|--------------------------------|--------------------|--------------------------|--------------------|----------------------|-----------------------|----------------------|-----------------------|--------------------|--|
|              | $\rho$<br>[kg/m <sup>3</sup> ] | $\alpha$<br>[m/mK] | $G_{mod}$<br>[MPa]       |                    |                      |                       |                      |                       |                    |  |
| C24 (EN 338) | Rostlé dřevo<br>420,0          | 0<br>0,00          | 1,1000e+04<br>6,9000e+02 | 24,0               | 14,5                 | 0,4                   | 21,0                 | 2,5                   | 4,0                | <span style="color: magenta;">■</span> |

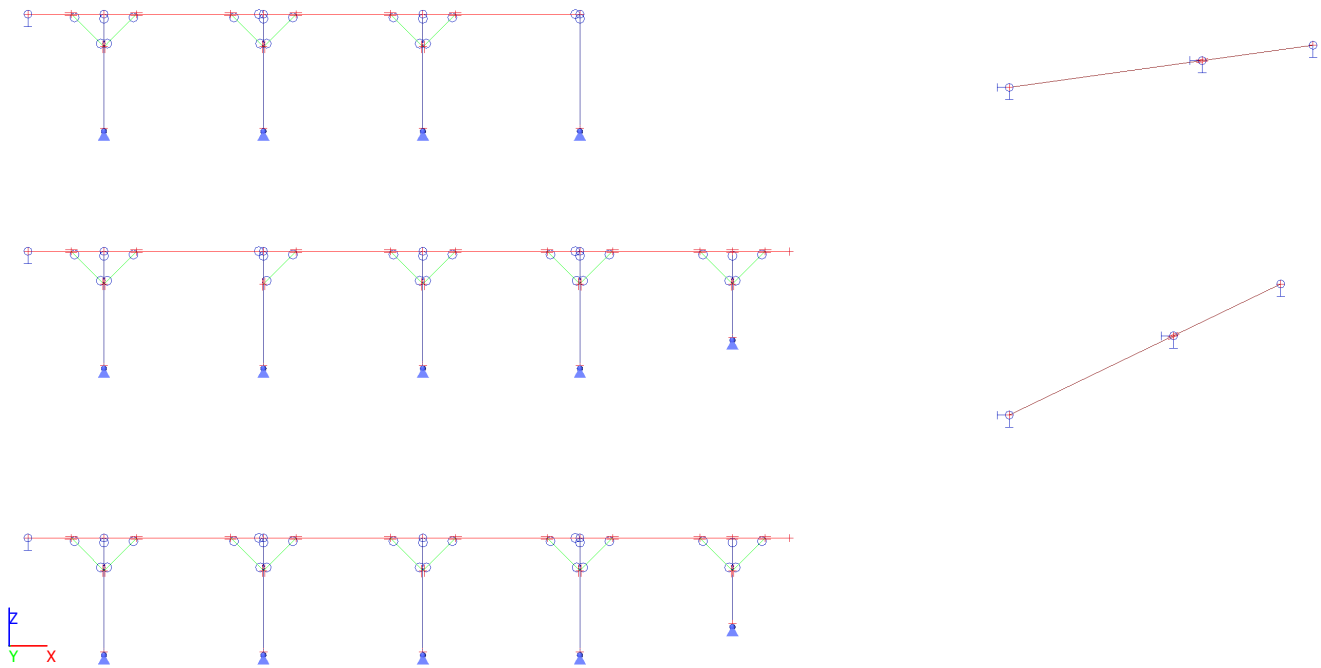
## 2.3. Průřezy

| Jméno | Typ               | Materiál     | Výroba | A<br>[m <sup>2</sup> ] | A <sub>y</sub><br>[m <sup>2</sup> ]<br>A <sub>z</sub><br>[m <sup>2</sup> ] | I <sub>y</sub><br>[m <sup>4</sup> ]<br>I <sub>z</sub><br>[m <sup>4</sup> ] | W <sub>el,y</sub><br>[m <sup>3</sup> ]<br>W <sub>el,z</sub><br>[m <sup>3</sup> ] | W <sub>pl,y</sub><br>[m <sup>3</sup> ]<br>W <sub>pl,z</sub><br>[m <sup>3</sup> ] | Barva                                  |
|-------|-------------------|--------------|--------|------------------------|--|--|--|--|--|
|       | Detailní          |              |        |                        |  |  |  |  |  |
| NK1   | OBDEL<br>140; 170 | C24 (EN 338) | dřevo  | 2,3800e-02             | 1,9861e-02<br>1,9852e-02   | 5,7318e-05<br>3,8873e-05   | 6,7433e-04<br>5,5533e-04   | 8,2630e-04<br>6,8048e-04   | <span style="color: darkred;">■</span> |
| NK2   | OBDEL<br>120; 140 | C24 (EN 338) | dřevo  | 1,6800e-02             | 1,4017e-02<br>1,4013e-02   | 2,7440e-05<br>2,0160e-05   | 3,9200e-04<br>3,3600e-04   | 4,8034e-04<br>4,1172e-04   | <span style="color: darkred;">■</span> |
| SV1.1 | OBDEL<br>140; 170 | C24 (EN 338) | dřevo  | 2,3800e-02             | 1,9861e-02<br>1,9852e-02   | 5,7318e-05<br>3,8873e-05   | 6,7433e-04<br>5,5533e-04   | 8,2630e-04<br>6,8048e-04   | <span style="color: red;">■</span>     |
| P1    | OBDEL<br>150; 125 | C24 (EN 338) | dřevo  | 1,8750e-02             | 1,5639e-02<br>1,5645e-02   | 2,4414e-05<br>3,5156e-05   | 3,9062e-04<br>4,6875e-04   | 4,7865e-04<br>5,7438e-04   | <span style="color: green;">■</span>   |
| S1.1  | OBDEL<br>160; 180 | C24 (EN 338) | dřevo  | 2,8800e-02             | 2,4026e-02<br>2,4021e-02   | 7,7760e-05<br>6,1440e-05   | 8,6400e-04<br>7,6800e-04   | 1,0587e-03<br>9,4107e-04   | <span style="color: blue;">■</span>    |
| S1.2  | OBDEL<br>160; 180 | C24 (EN 338) | dřevo  | 2,8800e-02             | 2,4026e-02<br>2,4021e-02   | 7,7760e-05<br>6,1440e-05   | 8,6400e-04<br>7,6800e-04   | 1,0587e-03<br>9,4107e-04   | <span style="color: blue;">■</span>    |
| SV1.2 | OBDEL<br>140; 170 | C24 (EN 338) | dřevo  | 2,3800e-02             | 1,9861e-02<br>1,9852e-02   | 5,7318e-05<br>3,8873e-05   | 6,7433e-04<br>5,5533e-04   | 8,2630e-04<br>6,8048e-04   | <span style="color: red;">■</span>     |

2.4. Zatěžovací stavy

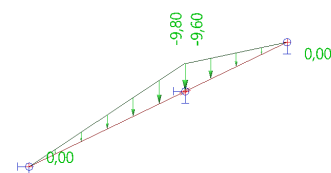
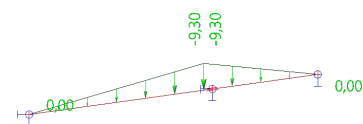
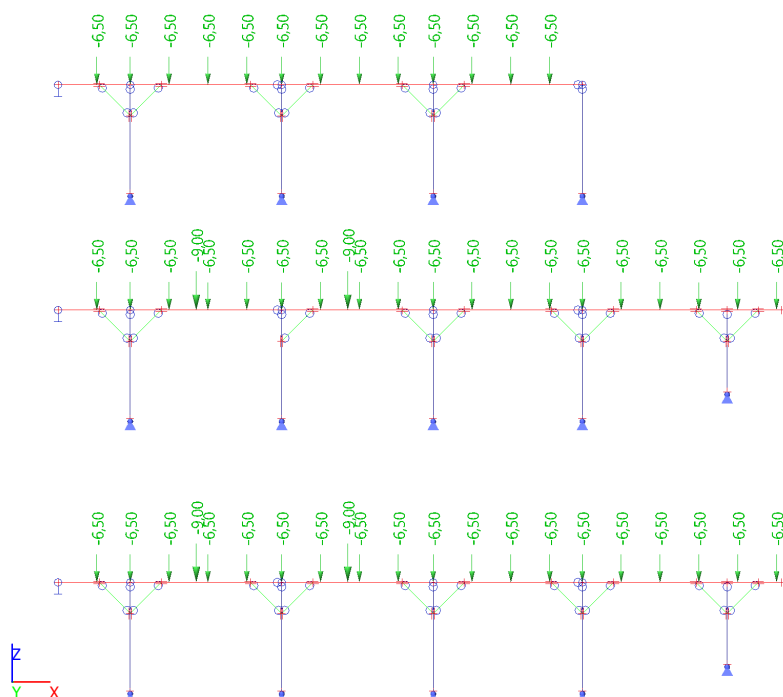
2.4.1. Zatěžovací stavy - ZS1

| Jméno | Popis        | Typ působení          | Skupina zatížení | Směr |
|-------|--------------|-----------------------|------------------|------|
|       | Spec         | Typ zatížení          |                  |      |
| ZS1   | Vlastní tíha | Stálé<br>Vlastní tíha | SZ1              | -Z   |
|       |              |                       |                  |      |



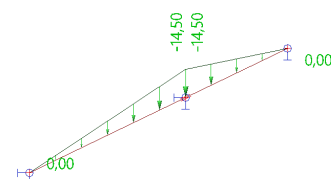
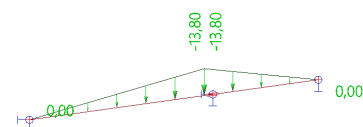
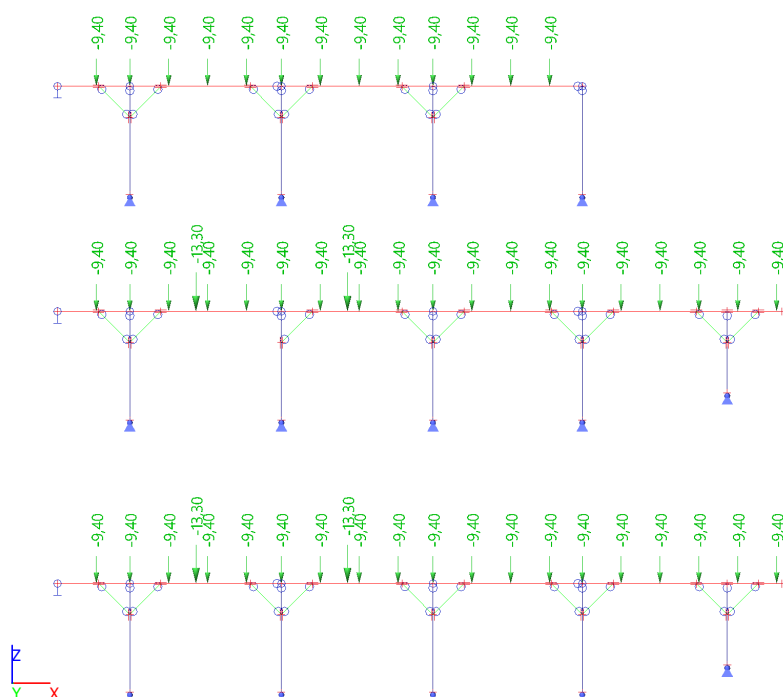
2.4.2. Zatěžovací stavy - ZS2

| Jméno | Popis               | Typ působení      | Skupina zatížení |
|-------|---------------------|-------------------|------------------|
|       | Spec                | Typ zatížení      |                  |
| ZS2   | (k) - char. hodnota | Stálé<br>Standard | SZ1              |
|       |                     |                   |                  |



### 2.4.3. Zatěžovací stavy - ZS3

| Jméno | Popis                | Typ působení | Skupina zatížení |
|-------|----------------------|--------------|------------------|
|       | Spec                 | Typ zatížení |                  |
| ZS3   | (d) - návrh. hodnota | Stálé        | SZ1              |
|       |                      | Standard     |                  |



## 2.5. Kombinace

| Jméno | Popis | Typ                     | Zatěžovací stavy           | Souč. [-] |
|-------|-------|-------------------------|----------------------------|-----------|
| MSP   |       | Lineární - použitelnost | ZS1 - Vlastní tíha         | 1,00      |
|       |       |                         | ZS2 - (k) - char. hodnota  | 1,00      |
| MSÚ   |       | Lineární - únosnost     | ZS1 - Vlastní tíha         | 1,35      |
|       |       |                         | ZS3 - (d) - návrh. hodnota | 1,00      |

## 3. VÝSLEDKY

### 3.1. 1D vnitřní síly

Lineární výpočet  
Třída: Všechny MSU  
Souřadný systém: Dílec  
Extrém 1D: Průřez  
Výběr: Vše

| Jméno | dx [m] | Stav  | Průřez                   | N [kN]        | V <sub>y</sub> [kN] | V <sub>z</sub> [kN] | M <sub>x</sub> [kNm] | M <sub>y</sub> [kNm] | M <sub>z</sub> [kNm] |
|-------|--------|-------|--------------------------|---------------|---------------------|---------------------|----------------------|----------------------|----------------------|
| B137  | 0,000  | MSÚ/1 | SV1.1 - OBDEL (140; 170) | <b>40,07</b>  | <b>0,00</b>         | -12,63              | <b>0,00</b>          | 0,92                 | <b>0,00</b>          |
| B138  | 3,100- | MSÚ/1 | SV1.1 - OBDEL (140; 170) | <b>-7,08</b>  | 0,00                | <b>-24,18</b>       | 0,00                 | -7,68                | 0,00                 |
| B137  | 0,800+ | MSÚ/1 | SV1.1 - OBDEL (140; 170) | -2,63         | 0,00                | <b>29,90</b>        | 0,00                 | -9,23                | 0,00                 |
| B1    | 1,060- | MSÚ/1 | SV1.1 - OBDEL (140; 170) | 0,00          | 0,00                | -18,98              | 0,00                 | <b>-10,64</b>        | 0,00                 |
| B137  | 2,000- | MSÚ/1 | SV1.1 - OBDEL (140; 170) | -2,63         | 0,00                | 7,05                | 0,00                 | <b>13,17</b>         | 0,00                 |
| B134  | 0,000  | MSÚ/1 | S1.1 - OBDEL (160; 180)  | <b>-59,18</b> | 0,00                | -2,63               | 0,00                 | 0,00                 | 0,00                 |
| B134  | 2,790  | MSÚ/1 | S1.1 - OBDEL (160; 180)  | <b>17,62</b>  | <b>0,00</b>         | 6,53                | <b>0,00</b>          | 0,00                 | <b>0,00</b>          |
| B3    | 1,990+ | MSÚ/1 | S1.1 - OBDEL (160; 180)  | 7,82          | 0,00                | <b>-8,92</b>        | 0,00                 | <b>7,14</b>          | 0,00                 |
| B2    | 1,990+ | MSÚ/1 | S1.1 - OBDEL (160; 180)  | -23,80        | 0,00                | <b>11,07</b>        | 0,00                 | <b>-8,86</b>         | 0,00                 |
| B135  | 0,000  | MSÚ/1 | P1 - OBDEL (150; 125)    | <b>-60,42</b> | 0,00                | <b>0,04</b>         | 0,00                 | 0,00                 | 0,00                 |
| B10   | 1,131  | MSÚ/1 | P1 - OBDEL (150; 125)    | <b>-16,04</b> | <b>0,00</b>         | <b>-0,04</b>        | <b>0,00</b>          | <b>0,00</b>          | <b>0,00</b>          |
| B7    | 0,566  | MSÚ/1 | P1 - OBDEL (150; 125)    | -21,96        | 0,00                | 0,00                | 0,00                 | <b>0,01</b>          | 0,00                 |
| B133  | 4,459+ | MSÚ/1 | NK1 - OBDEL (140; 170)   | <b>-8,42</b>  | 0,00                | <b>17,48</b>        | 0,00                 | -13,48               | 0,00                 |
| B133  | 4,459- | MSÚ/1 | NK1 - OBDEL (140; 170)   | <b>9,49</b>   | 0,00                | <b>-22,70</b>       | 0,00                 | <b>-13,48</b>        | 0,00                 |
| B133  | 2,230- | MSÚ/1 | NK1 - OBDEL (140; 170)   | -1,17         | <b>0,00</b>         | -0,60               | <b>0,00</b>          | <b>9,79</b>          | <b>0,00</b>          |
| B160  | 4,763+ | MSÚ/1 | NK2 - OBDEL (120; 140)   | <b>-2,43</b>  | 0,00                | <b>17,56</b>        | 0,00                 | -16,16               | 0,00                 |
| B160  | 4,763- | MSÚ/1 | NK2 - OBDEL (120; 140)   | <b>3,16</b>   | 0,00                | <b>-26,20</b>       | 0,00                 | <b>-16,16</b>        | 0,00                 |
| B160  | 2,241  | MSÚ/1 | NK2 - OBDEL (120; 140)   | -0,53         | <b>0,00</b>         | 0,44                | <b>0,00</b>          | <b>12,53</b>         | <b>0,00</b>          |
| B166  | 0,000  | MSÚ/1 | S1.2 - OBDEL (160; 180)  | <b>-45,83</b> | 0,00                | -1,03               | 0,00                 | 0,00                 | 0,00                 |
| B166  | 2,790  | MSÚ/1 | S1.2 - OBDEL (160; 180)  | <b>5,95</b>   | <b>0,00</b>         | <b>2,55</b>         | <b>0,00</b>          | 0,00                 | <b>0,00</b>          |
| B165  | 1,990+ | MSÚ/1 | S1.2 - OBDEL (160; 180)  | -2,85         | 0,00                | <b>-3,15</b>        | 0,00                 | <b>2,52</b>          | 0,00                 |
| B166  | 1,990- | MSÚ/1 | S1.2 - OBDEL (160; 180)  | -45,51        | 0,00                | -1,03               | 0,00                 | <b>-2,04</b>         | 0,00                 |
| B176  | 0,800+ | MSÚ/1 | SV1.2 -                  | <b>-0,24</b>  | 0,00                | 13,05               | 0,00                 | -1,83                | 0,00                 |



| Jméno | dx<br>[m] | Stav  | Průřez  | N<br>[kN]    | V <sub>y</sub><br>[kN] | V <sub>z</sub><br>[kN] | M <sub>x</sub><br>[kNm] | M <sub>y</sub><br>[kNm] | M <sub>z</sub><br>[kNm] |
|-------|-----------|-------|---|--------------|------------------------|------------------------|-------------------------|-------------------------|-------------------------|
| B177  | 3,100-    | MSÚ/1 | OBDEL (140;<br>170)<br>SV1.2 -<br>OBDEL (140;<br>170) | 1,03         | 0,00                   | <b>-16,29</b>          | 0,00                    | -5,51                   | 0,00                    |
| B178  | 0,800+    | MSÚ/1 | SV1.2 -<br>OBDEL (140;<br>170)                        | 0,00         | <b>0,00</b>            | <b>19,25</b>           | <b>0,00</b>             | -6,01                   | <b>0,00</b>             |
| B178  | 0,800-    | MSÚ/1 | SV1.2 -<br>OBDEL (140;<br>170)                        | <b>27,40</b> | 0,00                   | -8,09                  | 0,00                    | <b>-6,01</b>            | 0,00                    |
| B178  | 3,000-    | MSÚ/1 | SV1.2 -<br>OBDEL (140;<br>170)                        | 0,00         | 0,00                   | 0,15                   | 0,00                    | <b>7,81</b>             | 0,00                    |

| Jméno | Klíč kombinace |
|-------|----------------|
| MSÚ/1 | 1.35*ZS1 + ZS3 |

Hodnoty: **N**

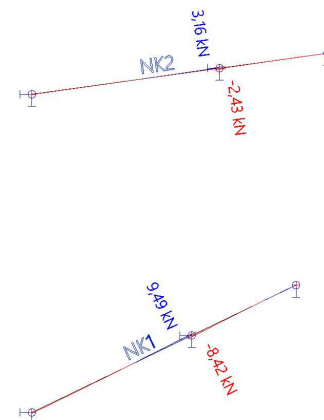
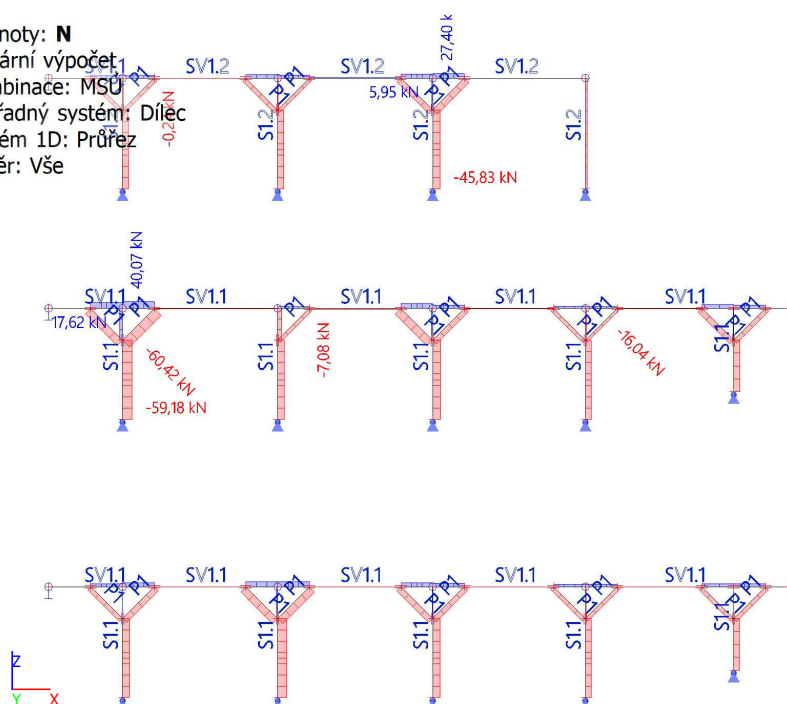
Lineární výpočet

Kombinace: MSÚ

Souřadný systém: Dílec

Extrém 1D: Průřez

Výběr: Vše



Hodnoty:  $V_z$

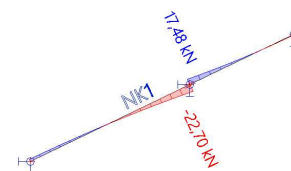
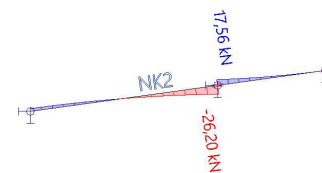
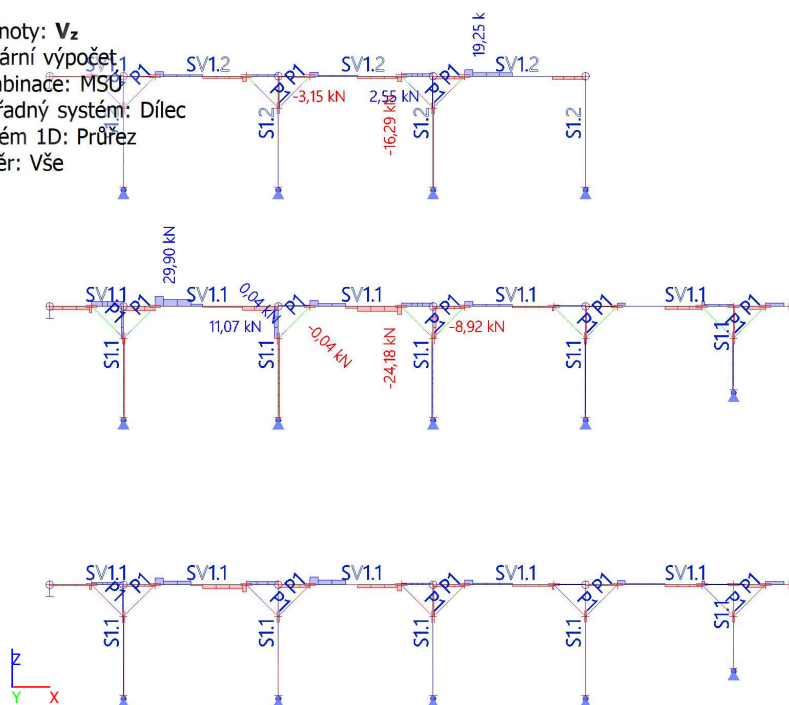
Lineární výpočet

Kombinace: MSU

Souřadný systém: Dílec

Extrém 1D: Průřez

Výběr: Vše



Hodnoty:  $M_y$

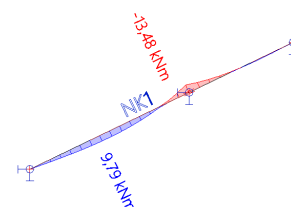
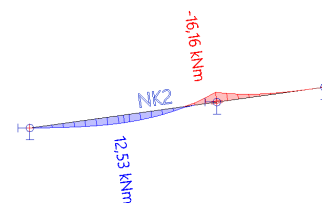
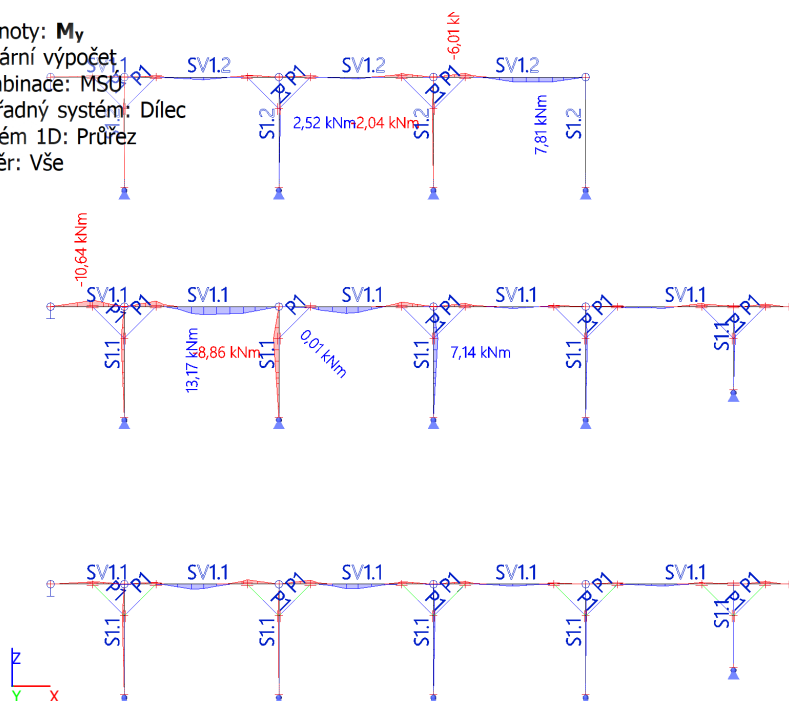
Lineární výpočet

Kombinace: MSU

Souřadný systém: Dílec

Extrém 1D: Průřez

Výběr: Vše



## 3.2. 3D přemístění

Lineární výpočet

Kombinace: MSP

Výběr: Vše

Poloha: V uzlech s průměrováním na makro. Systém: LSS prvku sítě

Výsledky na 1D dílci:

Extrém 1D: Průřez

| Jméno | dx<br>[m] | Vlákno | Stav  | Průřez                         | u <sub>x</sub><br>[mm] | u <sub>y</sub><br>[mm] | u <sub>z</sub><br>[mm] | φ <sub>x</sub><br>[mrad] | φ <sub>y</sub><br>[mrad] | φ <sub>z</sub><br>[mrad] | U <sub>total</sub><br>[mm] |
|-------|-----------|--------|-------|--------------------------------|------------------------|------------------------|------------------------|--------------------------|--------------------------|--------------------------|----------------------------|
| B180  | 0,000     | 3      | MSP/1 | SV1.1 -<br>OBDEL<br>(140; 170) | 0,4                    | 0,0                    | 0,0                    | 0,0                      | -1,8                     | 0,0                      | <b>0,4</b>                 |
| B137  | 2,333     | 1      | MSP/1 | SV1.1 -<br>OBDEL<br>(140; 170) | 6,1                    | 0,0                    | -16,5                  | 0,0                      | -1,3                     | 0,0                      | <b>17,6</b>                |
| B2    | 0,000     | 2      | MSP/1 | S1.1 -<br>OBDEL<br>(160; 180)  | 0,0                    | 0,0                    | 0,0                    | 0,0                      | -2,1                     | 0,0                      | <b>0,0</b>                 |
| B3    | 1,990-    | 3      | MSP/1 | S1.1 -<br>OBDEL<br>(160; 180)  | -0,2                   | 0,0                    | -7,6                   | 0,0                      | -0,1                     | 0,0                      | <b>7,6</b>                 |
| B7    | 0,000     | 2      | MSP/1 | P1 - OBDEL<br>(150; 125)       | 0,0                    | 0,0                    | -0,2                   | 0,0                      | 7,4                      | 0,0                      | <b>0,2</b>                 |
| B7    | 1,131     | 1      | MSP/1 | P1 - OBDEL<br>(150; 125)       | -0,6                   | 0,0                    | -8,6                   | 0,0                      | 7,4                      | 0,0                      | <b>8,6</b>                 |
| B133  | 0,000     | 2      | MSP/1 | NK1 -<br>OBDEL<br>(140; 170)   | 0,0                    | 0,0                    | 0,0                    | 0,0                      | 14,1                     | 0,0                      | <b>0,0</b>                 |
| B133  | 2,230-    | 3      | MSP/1 | NK1 -<br>OBDEL<br>(140; 170)   | -0,1                   | 0,0                    | -19,7                  | 0,0                      | -1,0                     | 0,0                      | <b>19,7</b>                |
| B160  | 0,000     | 2      | MSP/1 | NK2 -<br>OBDEL<br>(120; 140)   | 0,0                    | 0,0                    | 0,0                    | 0,0                      | 39,9                     | 0,0                      | <b>0,0</b>                 |
| B160  | 2,241     | 3      | MSP/1 | NK2 -<br>OBDEL<br>(120; 140)   | 0,1                    | 0,0                    | -59,2                  | 0,0                      | 1,2                      | 0,0                      | <b>59,2</b>                |
| B165  | 0,000     | 2      | MSP/1 | S1.2 -<br>OBDEL<br>(160; 180)  | 0,0                    | 0,0                    | 0,0                    | 0,0                      | 2,2                      | 0,0                      | <b>0,0</b>                 |
| B165  | 1,990-    | 1      | MSP/1 | S1.2 -<br>OBDEL<br>(160; 180)  | -0,2                   | 0,0                    | -3,2                   | 0,0                      | 0,2                      | 0,0                      | <b>3,2</b>                 |
| B178  | 3,840     | 3      | MSP/1 | SV1.2 -<br>OBDEL<br>(140; 170) | 2,2                    | 0,0                    | -0,1                   | 0,0                      | -9,5                     | 0,0                      | <b>2,2</b>                 |
| B178  | 2,333     | 1      | MSP/1 | SV1.2 -<br>OBDEL<br>(140; 170) | 3,0                    | 0,0                    | -9,4                   | 0,0                      | -0,2                     | 0,0                      | <b>9,9</b>                 |

| Jméno | Klíč kombinace |
|-------|----------------|
| MSP/1 | ZS1 + ZS2      |

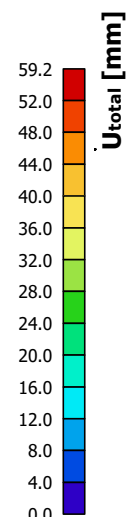
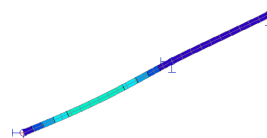
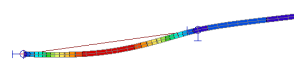
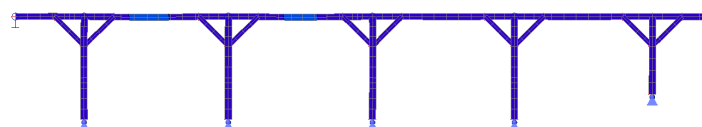
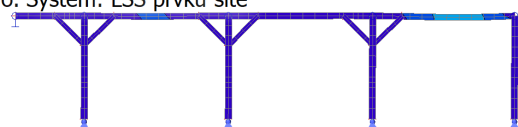
Hodnoty:  $U_{total}$

Lineární výpočet

Třída: Všechny MSP

Výběr: Vše

Poloha: V uzlech s průměrováním na makro. Systém: LSS prvku sítě



### 3.3. Reakce

Lineární výpočet

Třída: Všechny MSP

Systém: Globální

Extrém: Dílec

Výběr: Vše

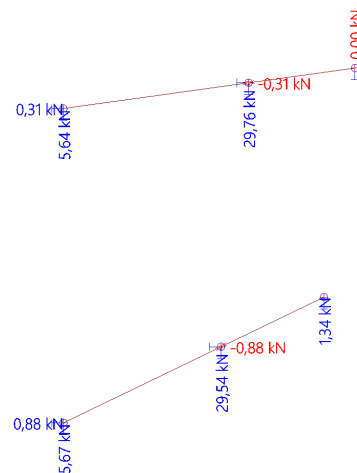
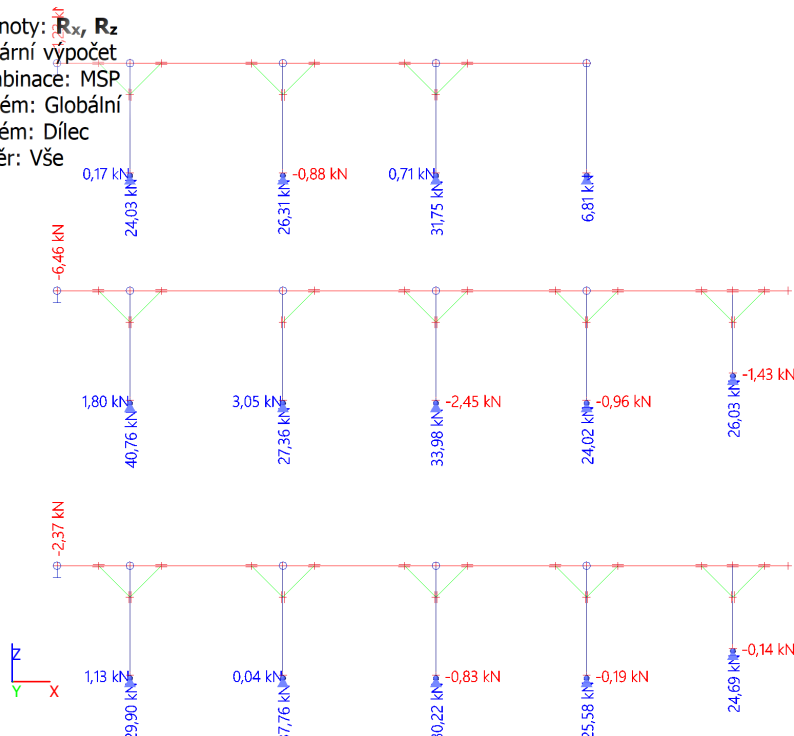
**Uzlové reakce**

| Jméno      | Stav  | $R_x$<br>[kN] | $R_y$<br>[kN] | $R_z$<br>[kN] | $M_x$<br>[kNm] | $M_y$<br>[kNm] | $M_z$<br>[kNm] | $e_x$<br>[mm] | $e_y$<br>[mm] |
|------------|-------|---------------|---------------|---------------|----------------|----------------|----------------|---------------|---------------|
| Sn1/N6     | MSP/1 | 3,05          | 0,00          | 27,36         | 0,00           | 0,00           | 0,00           | 0,0           | 0,0           |
| Sn2/N7     | MSP/1 | -2,45         | 0,00          | 33,98         | 0,00           | 0,00           | 0,00           | 0,0           | 0,0           |
| Sn3/N8     | MSP/1 | -0,96         | 0,00          | 24,02         | 0,00           | 0,00           | 0,00           | 0,0           | 0,0           |
| Sn7/N3     | MSP/1 | 0,00          | 0,00          | 0,00          | 0,00           | 0,00           | 0,00           | -             | -             |
| Sn8/N4     | MSP/1 | 0,00          | 0,00          | 0,00          | 0,00           | 0,00           | 0,00           | -             | -             |
| Sn120/N298 | MSP/1 | 0,00          | 0,00          | -6,46         | 0,00           | 0,00           | 0,00           | 0,0           | 0,0           |
| Sn123/N357 | MSP/1 | 0,88          | 0,00          | 5,67          | 0,00           | 0,00           | 0,00           | 0,0           | 0,0           |
| Sn125/N358 | MSP/1 | 0,00          | 0,00          | 1,34          | 0,00           | 0,00           | 0,00           | 0,0           | 0,0           |
| Sn126/N410 | MSP/1 | 1,80          | 0,00          | 40,76         | 0,00           | 0,00           | 0,00           | 0,0           | 0,0           |
| Sn127/N414 | MSP/1 | 0,00          | 0,00          | 0,00          | 0,00           | 0,00           | 0,00           | -             | -             |
| Sn128/N409 | MSP/1 | 0,00          | 0,00          | 0,00          | 0,00           | 0,00           | 0,00           | -             | -             |
| Sn140/N544 | MSP/1 | -0,88         | 0,00          | 29,54         | 0,00           | 0,00           | 0,00           | 0,0           | 0,0           |
| Sn141/N545 | MSP/1 | 0,31          | 0,00          | 5,64          | 0,00           | 0,00           | 0,00           | 0,0           | 0,0           |
| Sn142/N546 | MSP/1 | 0,00          | 0,00          | 0,00          | 0,00           | 0,00           | 0,00           | 0,0           | 0,0           |
| Sn143/N547 | MSP/1 | -0,31         | 0,00          | 29,76         | 0,00           | 0,00           | 0,00           | 0,0           | 0,0           |
| Sn144/N548 | MSP/1 | -1,43         | 0,00          | 26,03         | 0,00           | 0,00           | 0,00           | 0,0           | 0,0           |
| Sn145/N553 | MSP/1 | 0,00          | 0,00          | 0,00          | 0,00           | 0,00           | 0,00           | -             | -             |
| Sn146/N554 | MSP/1 | 0,00          | 0,00          | 0,00          | 0,00           | 0,00           | 0,00           | -             | -             |
| Sn147/N556 | MSP/1 | -0,88         | 0,00          | 26,31         | 0,00           | 0,00           | 0,00           | 0,0           | 0,0           |
| Sn148/N557 | MSP/1 | 0,71          | 0,00          | 31,75         | 0,00           | 0,00           | 0,00           | 0,0           | 0,0           |
| Sn149/N558 | MSP/1 | 0,00          | 0,00          | 6,81          | 0,00           | 0,00           | 0,00           | 0,0           | 0,0           |
| Sn150/N566 | MSP/1 | 0,00          | 0,00          | -1,23         | 0,00           | 0,00           | 0,00           | 0,0           | 0,0           |
| Sn151/N567 | MSP/1 | 0,00          | 0,00          | 0,00          | 0,00           | 0,00           | 0,00           | -             | -             |
| Sn152/N568 | MSP/1 | 0,17          | 0,00          | 24,03         | 0,00           | 0,00           | 0,00           | 0,0           | 0,0           |

| Jméno      | Stav  | R <sub>x</sub><br>[kN] | R <sub>y</sub><br>[kN] | R <sub>z</sub><br>[kN] | M <sub>x</sub><br>[kNm] | M <sub>y</sub><br>[kNm] | M <sub>z</sub><br>[kNm] | e <sub>x</sub><br>[mm] | e <sub>y</sub><br>[mm] |
|------------|-------|------------------------|------------------------|------------------------|-------------------------|-------------------------|-------------------------|------------------------|------------------------|
| Sn153/N572 | MSP/1 | 0,00                   | 0,00                   | 0,00                   | 0,00                    | 0,00                    | 0,00                    | -                      | -                      |
| Sn154/N574 | MSP/1 | 0,00                   | 0,00                   | 0,00                   | 0,00                    | 0,00                    | 0,00                    | -                      | -                      |
| Sn155/N575 | MSP/1 | 0,00                   | 0,00                   | 0,00                   | 0,00                    | 0,00                    | 0,00                    | -                      | -                      |
| Sn156/N577 | MSP/1 | 0,04                   | 0,00                   | 37,76                  | 0,00                    | 0,00                    | 0,00                    | 0,0                    | 0,0                    |
| Sn157/N578 | MSP/1 | -0,83                  | 0,00                   | 30,22                  | 0,00                    | 0,00                    | 0,00                    | 0,0                    | 0,0                    |
| Sn158/N579 | MSP/1 | -0,19                  | 0,00                   | 25,58                  | 0,00                    | 0,00                    | 0,00                    | 0,0                    | 0,0                    |
| Sn159/N587 | MSP/1 | 0,00                   | 0,00                   | -2,37                  | 0,00                    | 0,00                    | 0,00                    | 0,0                    | 0,0                    |
| Sn160/N588 | MSP/1 | 0,00                   | 0,00                   | 0,00                   | 0,00                    | 0,00                    | 0,00                    | -                      | -                      |
| Sn161/N589 | MSP/1 | 1,13                   | 0,00                   | 29,90                  | 0,00                    | 0,00                    | 0,00                    | 0,0                    | 0,0                    |
| Sn162/N593 | MSP/1 | 0,00                   | 0,00                   | 0,00                   | 0,00                    | 0,00                    | 0,00                    | -                      | -                      |
| Sn163/N595 | MSP/1 | -0,14                  | 0,00                   | 24,69                  | 0,00                    | 0,00                    | 0,00                    | 0,0                    | 0,0                    |

| Jméno | Klíč kombinace |
|-------|----------------|
| MSP/1 | ZS1 + ZS2      |

Hodnoty:  $R_x, R_y, R_z$   
Lineární výpočet  
Kombinace: MSP  
Systém: Globální  
Extrém: Dílec  
Výběr: Vše



### 3.4. Reakce

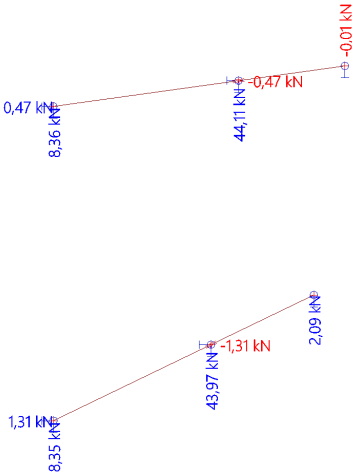
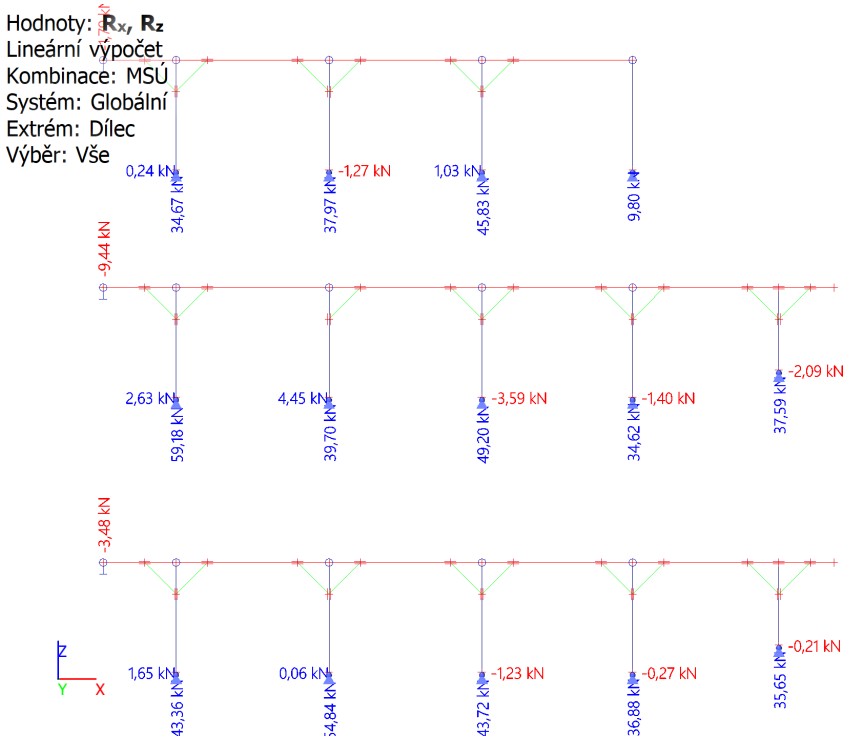
Lineární výpočet  
Třída: Všechny MSU  
Systém: Globální  
Extrém: Dílec  
Výběr: Vše

#### Uzlové reakce

| Jméno      | Stav  | R <sub>x</sub><br>[kN] | R <sub>y</sub><br>[kN] | R <sub>z</sub><br>[kN] | M <sub>x</sub><br>[kNm] | M <sub>y</sub><br>[kNm] | M <sub>z</sub><br>[kNm] | e <sub>x</sub><br>[mm] | e <sub>y</sub><br>[mm] |
|------------|-------|------------------------|------------------------|------------------------|-------------------------|-------------------------|-------------------------|------------------------|------------------------|
| Sn1/N6     | MSÚ/1 | 4,45                   | 0,00                   | 39,70                  | 0,00                    | 0,00                    | 0,00                    | 0,0                    | 0,0                    |
| Sn2/N7     | MSÚ/1 | -3,59                  | 0,00                   | 49,20                  | 0,00                    | 0,00                    | 0,00                    | 0,0                    | 0,0                    |
| Sn3/N8     | MSÚ/1 | -1,40                  | 0,00                   | 34,62                  | 0,00                    | 0,00                    | 0,00                    | 0,0                    | 0,0                    |
| Sn7/N3     | MSÚ/1 | 0,00                   | 0,00                   | 0,00                   | 0,00                    | 0,00                    | 0,00                    | -                      | -                      |
| Sn8/N4     | MSÚ/1 | 0,00                   | 0,00                   | 0,00                   | 0,00                    | 0,00                    | 0,00                    | -                      | -                      |
| Sn120/N298 | MSÚ/1 | 0,00                   | 0,00                   | -9,44                  | 0,00                    | 0,00                    | 0,00                    | 0,0                    | 0,0                    |
| Sn123/N357 | MSÚ/1 | 1,31                   | 0,00                   | 8,35                   | 0,00                    | 0,00                    | 0,00                    | 0,0                    | 0,0                    |
| Sn125/N358 | MSÚ/1 | 0,00                   | 0,00                   | 2,09                   | 0,00                    | 0,00                    | 0,00                    | 0,0                    | 0,0                    |
| Sn126/N410 | MSÚ/1 | 2,63                   | 0,00                   | 59,18                  | 0,00                    | 0,00                    | 0,00                    | 0,0                    | 0,0                    |
| Sn127/N414 | MSÚ/1 | 0,00                   | 0,00                   | 0,00                   | 0,00                    | 0,00                    | 0,00                    | -                      | -                      |
| Sn128/N409 | MSÚ/1 | 0,00                   | 0,00                   | 0,00                   | 0,00                    | 0,00                    | 0,00                    | -                      | -                      |
| Sn140/N544 | MSÚ/1 | -1,31                  | 0,00                   | 43,97                  | 0,00                    | 0,00                    | 0,00                    | 0,0                    | 0,0                    |
| Sn141/N545 | MSÚ/1 | 0,47                   | 0,00                   | 8,36                   | 0,00                    | 0,00                    | 0,00                    | 0,0                    | 0,0                    |
| Sn142/N546 | MSÚ/1 | 0,00                   | 0,00                   | -0,01                  | 0,00                    | 0,00                    | 0,00                    | 0,0                    | 0,0                    |

| Jméno      | Stav  | R <sub>x</sub><br>[kN] | R <sub>y</sub><br>[kN] | R <sub>z</sub><br>[kN] | M <sub>x</sub><br>[kNm] | M <sub>y</sub><br>[kNm] | M <sub>z</sub><br>[kNm] | e <sub>x</sub><br>[mm] | e <sub>y</sub><br>[mm] |
|------------|-------|------------------------|------------------------|------------------------|-------------------------|-------------------------|-------------------------|------------------------|------------------------|
| Sn143/N547 | MSÚ/1 | -0,47                  | 0,00                   | 44,11                  | 0,00                    | 0,00                    | 0,00                    | 0,0                    | 0,0                    |
| Sn144/N548 | MSÚ/1 | -2,09                  | 0,00                   | 37,59                  | 0,00                    | 0,00                    | 0,00                    | 0,0                    | 0,0                    |
| Sn145/N553 | MSÚ/1 | 0,00                   | 0,00                   | 0,00                   | 0,00                    | 0,00                    | 0,00                    | -                      | -                      |
| Sn146/N554 | MSÚ/1 | 0,00                   | 0,00                   | 0,00                   | 0,00                    | 0,00                    | 0,00                    | -                      | -                      |
| Sn147/N556 | MSÚ/1 | -1,27                  | 0,00                   | 37,97                  | 0,00                    | 0,00                    | 0,00                    | 0,0                    | 0,0                    |
| Sn148/N557 | MSÚ/1 | 1,03                   | 0,00                   | 45,83                  | 0,00                    | 0,00                    | 0,00                    | 0,0                    | 0,0                    |
| Sn149/N558 | MSÚ/1 | 0,00                   | 0,00                   | 9,80                   | 0,00                    | 0,00                    | 0,00                    | 0,0                    | 0,0                    |
| Sn150/N566 | MSÚ/1 | 0,00                   | 0,00                   | -1,79                  | 0,00                    | 0,00                    | 0,00                    | 0,0                    | 0,0                    |
| Sn151/N567 | MSÚ/1 | 0,00                   | 0,00                   | 0,00                   | 0,00                    | 0,00                    | 0,00                    | -                      | -                      |
| Sn152/N568 | MSÚ/1 | 0,24                   | 0,00                   | 34,67                  | 0,00                    | 0,00                    | 0,00                    | 0,0                    | 0,0                    |
| Sn153/N572 | MSÚ/1 | 0,00                   | 0,00                   | 0,00                   | 0,00                    | 0,00                    | 0,00                    | -                      | -                      |
| Sn154/N574 | MSÚ/1 | 0,00                   | 0,00                   | 0,00                   | 0,00                    | 0,00                    | 0,00                    | -                      | -                      |
| Sn155/N575 | MSÚ/1 | 0,00                   | 0,00                   | 0,00                   | 0,00                    | 0,00                    | 0,00                    | -                      | -                      |
| Sn156/N577 | MSÚ/1 | 0,06                   | 0,00                   | 54,84                  | 0,00                    | 0,00                    | 0,00                    | 0,0                    | 0,0                    |
| Sn157/N578 | MSÚ/1 | -1,23                  | 0,00                   | 43,72                  | 0,00                    | 0,00                    | 0,00                    | 0,0                    | 0,0                    |
| Sn158/N579 | MSÚ/1 | -0,27                  | 0,00                   | 36,88                  | 0,00                    | 0,00                    | 0,00                    | 0,0                    | 0,0                    |
| Sn159/N587 | MSÚ/1 | 0,00                   | 0,00                   | -3,48                  | 0,00                    | 0,00                    | 0,00                    | 0,0                    | 0,0                    |
| Sn160/N588 | MSÚ/1 | 0,00                   | 0,00                   | 0,00                   | 0,00                    | 0,00                    | 0,00                    | -                      | -                      |
| Sn161/N589 | MSÚ/1 | 1,65                   | 0,00                   | 43,36                  | 0,00                    | 0,00                    | 0,00                    | 0,0                    | 0,0                    |
| Sn162/N593 | MSÚ/1 | 0,00                   | 0,00                   | 0,00                   | 0,00                    | 0,00                    | 0,00                    | -                      | -                      |
| Sn163/N595 | MSÚ/1 | -0,21                  | 0,00                   | 35,65                  | 0,00                    | 0,00                    | 0,00                    | 0,0                    | 0,0                    |

| Jméno | Klíč kombinace |
|-------|----------------|
| MSÚ/1 | 1.35*ZS1 + ZS3 |



## 4. POSUDEK - DŘEVO

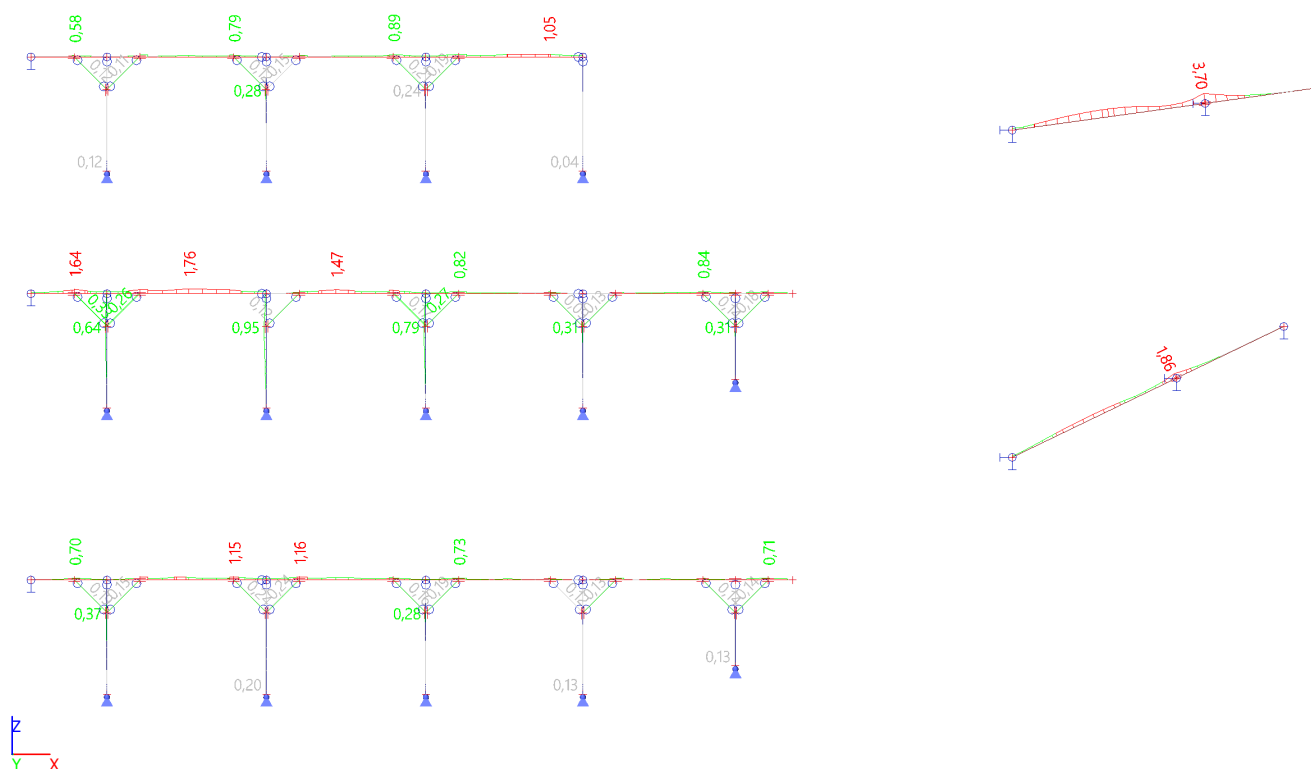
### 4.1. Posudek dřeva podle MSÚ

Lineární výpočet, Extrém : Průřez  
Výběr : Vše  
Třída : Všechny MSÚ

Posudek dřeva podle MSÚ

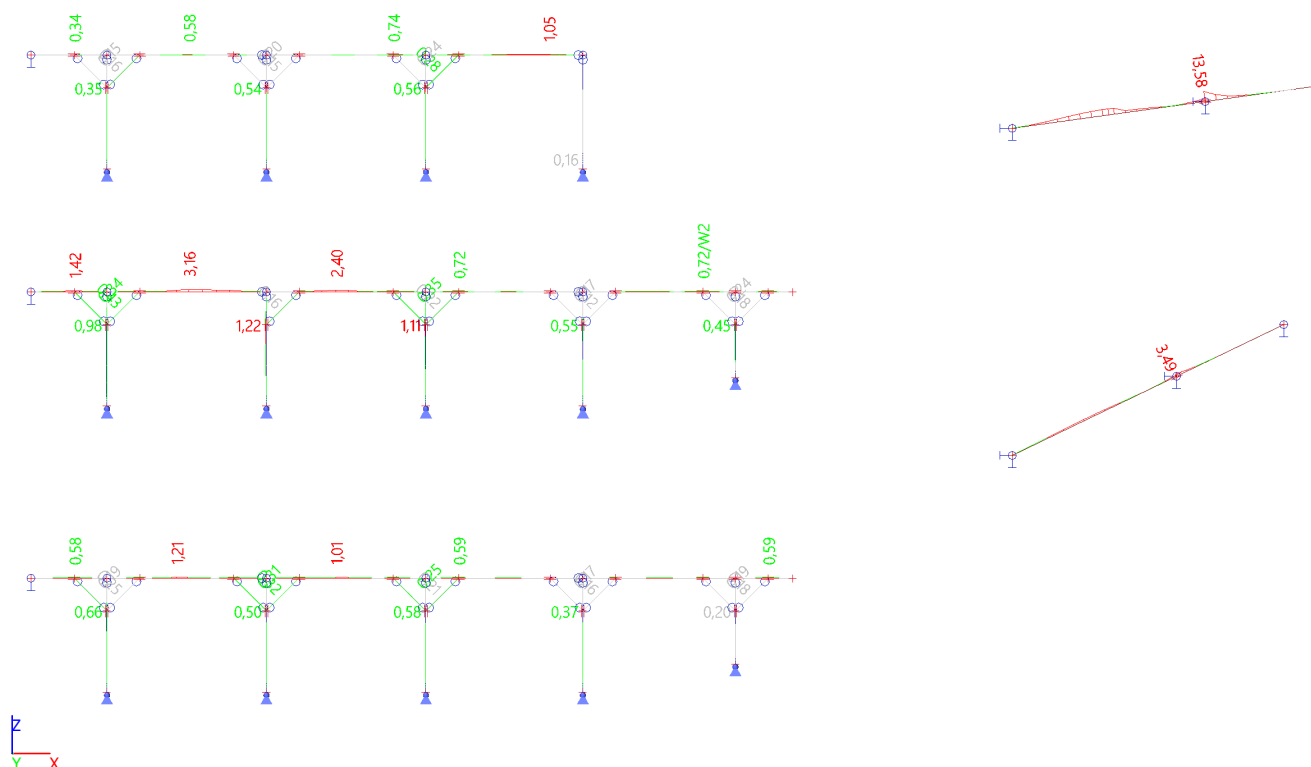
| Nosník | Průřez        | Materiál     | dx<br>[m] | Zatěžovací stav | Jedn. posudek<br>[-] | Posudek v řezu<br>[-] | Posudek stability<br>[-] | CH/V/P |
|--------|---------------|--------------|-----------|-----------------|----------------------|-----------------------|--------------------------|--------|
| B137   | SV1.1 - OBDEL | C24 (EN 338) | 2,000     | Všechny MSU/1   | <b>3,16</b>          | 1,76                  | 3,16                     | -      |
| B2     | S1.1 - OBDEL  | C24 (EN 338) | 1,990     | Všechny MSU/1   | <b>1,22</b>          | 0,95                  | 1,22                     | -      |
| B135   | P1 - OBDEL    | C24 (EN 338) | 0,566     | Všechny MSU/1   | <b>0,43</b>          | 0,33                  | 0,43                     | N3     |
| B133   | NK1 - OBDEL   | C24 (EN 338) | 4,459     | Všechny MSU/1   | <b>3,49</b>          | 1,81                  | 3,49                     | -      |
| B160   | NK2 - OBDEL   | C24 (EN 338) | 4,763     | Všechny MSU/1   | <b>13,58</b>         | 3,67                  | 13,58                    | -      |
| B166   | S1.2 - OBDEL  | C24 (EN 338) | 1,990     | Všechny MSU/1   | <b>0,56</b>          | 0,24                  | 0,56                     | -      |
| B178   | SV1.2 - OBDEL | C24 (EN 338) | 3,000     | Všechny MSU/1   | <b>1,05</b>          | 1,05                  | 1,05                     | -      |

## 4.2. MSÚ - POSUDEK V ŘEZU





### 4.3. MSÚ - STABILITNÍ POSUDEK



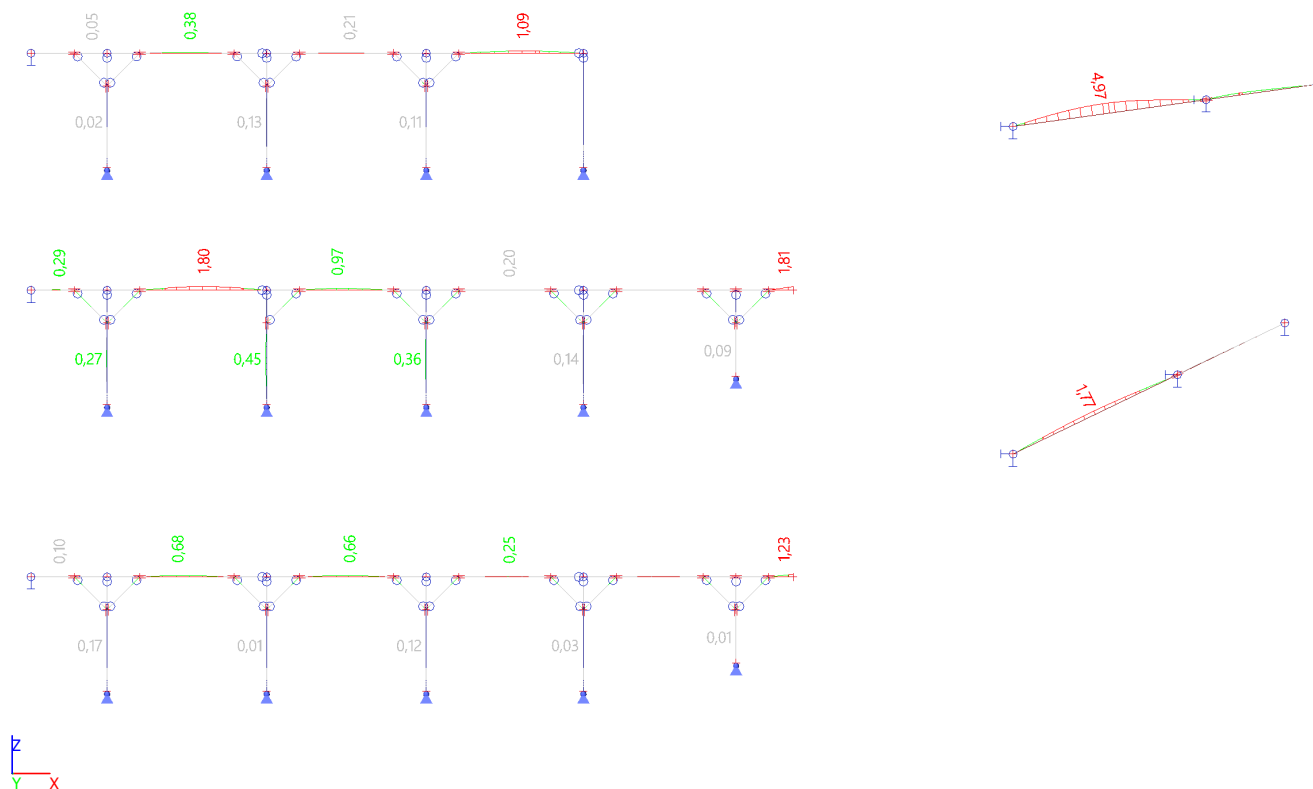
### 4.4. Posudek dřeva podle MSP

Lineární výpočet, Extrém : Průřez

Výběr : Vše

Třída : Všechny MSP

| Dílec | Průřez        | dx [m] | Zatěžovací stav      | Jedn. posudek [-] | uy inst [mm] | Rel uy inst [1/xx] | Posudek uy inst [-] | uy fin [mm] | Rel uy fin [1/xx] | Posudek uy fin [-] |
|-------|---------------|--------|----------------------|-------------------|--------------|--------------------|---------------------|-------------|-------------------|--------------------|
|       | Materiál      |        | k <sub>def</sub> [-] |                   | uz inst [mm] | Rel uz inst [1/xx] | Posudek uz inst [-] | uz fin [mm] | Rel uz fin [1/xx] | Posudek uz fin [-] |
| B140  | SV1.1 - OBDEL | 5,130  | Všechny MSP/1        | <b>1,81</b>       | 0,0          | 0                  | 0,00                | 0,0         | 0                 | 0,00               |
|       | C24 (EN 338)  |        | 0,60                 |                   | -2,7         | 1/221              | 1,36                | -4,3        | 1/138             | 1,81               |
| B2    | S1.1 - OBDEL  | 1,137  | Všechny MSP/1        | <b>0,45</b>       | 0,0          | 0                  | 0,00                | 0,0         | 0                 | 0,00               |
|       | C24 (EN 338)  |        | 0,60                 |                   | 1,8          | 1/1104             | 0,45                | 2,9         | 1/690             | 0,43               |
| B186  | P1 - OBDEL    | 0,566  | Všechny MSP/1        | <b>0,00</b>       | 0,0          | 0                  | 0,00                | 0,0         | 0                 | 0,00               |
|       | C24 (EN 338)  |        | 0,60                 |                   | 0,0          | 1/10000            | 0,00                | 0,0         | 1/10000           | 0,00               |
| B133  | NK1 - OBDEL   | 2,230  | Všechny MSP/1        | <b>1,77</b>       | 0,0          | 0                  | 0,00                | 0,0         | 0                 | 0,00               |
|       | C24 (EN 338)  |        | 0,60                 |                   | -19,7        | 1/227              | 1,32                | -31,5       | 1/142             | 1,77               |
| B160  | NK2 - OBDEL   | 2,241  | Všechny MSP/1        | <b>4,97</b>       | 0,0          | 0                  | 0,00                | 0,0         | 0                 | 0,00               |
|       | C24 (EN 338)  |        | 0,60                 |                   | -59,2        | 1/81               | 3,73                | -94,6       | 1/50              | 4,97               |
| B165  | S1.2 - OBDEL  | 1,137  | Všechny MSP/1        | <b>0,13</b>       | 0,0          | 0                  | 0,00                | 0,0         | 0                 | 0,00               |
|       | C24 (EN 338)  |        | 0,60                 |                   | -0,5         | 1/3836             | 0,13                | -0,8        | 1/2398            | 0,13               |
| B178  | SV1.2 - OBDEL | 2,333  | Všechny MSP/1        | <b>1,09</b>       | 0,0          | 0                  | 0,00                | 0,0         | 0                 | 0,00               |
|       | C24 (EN 338)  |        | 0,60                 |                   | -8,2         | 1/369              | 0,81                | -13,2       | 1/230             | 1,09               |

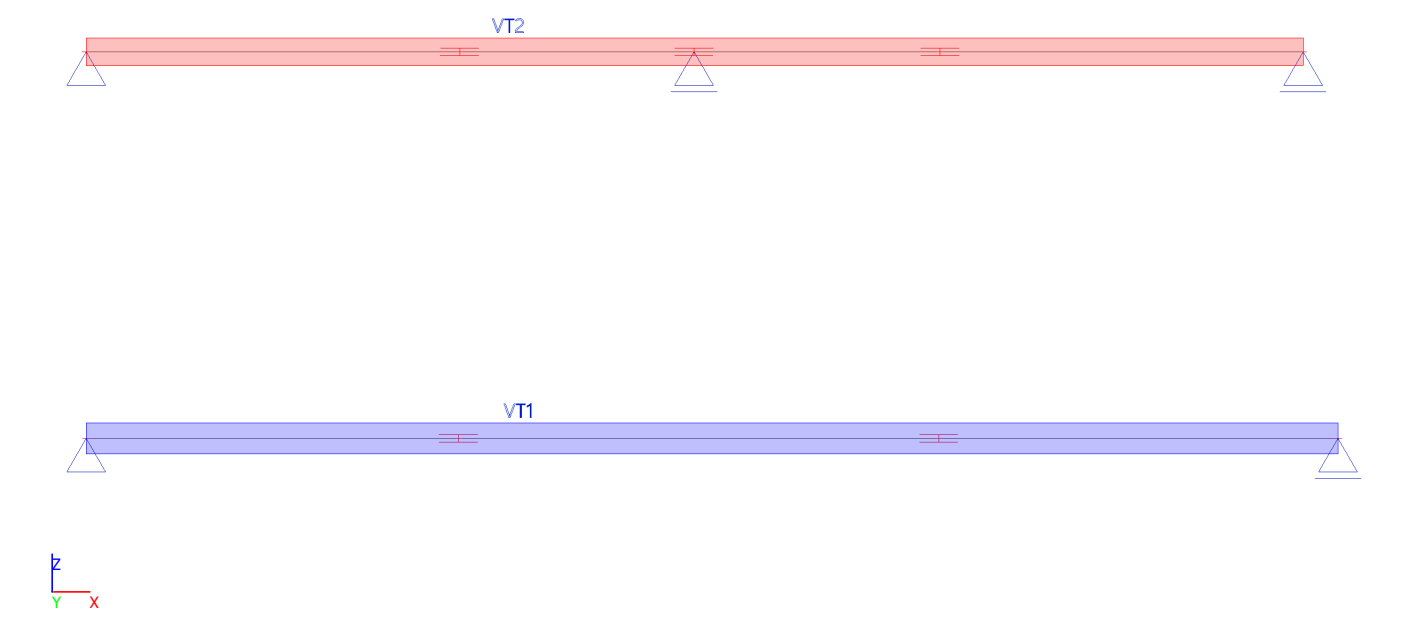


1. Obsah

|                               |    |
|-------------------------------|----|
| 1. Obsah                      | 1  |
| 2. DATA                       | 1  |
| 2.1. Výpočtový model          | 1  |
| 2.2. Materiály                | 1  |
| 2.3. Průřezy                  | 1  |
| 2.4. Zatěžovací stavy         | 2  |
| 2.4.1. Zatěžovací stavy - ZS1 | 2  |
| 2.4.2. Zatěžovací stavy - ZS2 | 3  |
| 2.4.3. Zatěžovací stavy - ZS3 | 4  |
| 2.5. Kombinace                | 4  |
| 3. VÝSLEDKY                   | 4  |
| 3.1. 1D vnitřní síly          | 4  |
| 3.2. 3D přemístění            | 6  |
| 3.3. Reakce                   | 7  |
| 3.4. Reakce                   | 8  |
| 4. POSUDEK - DŘEVO            | 9  |
| 4.1. Posudek dřeva podle MSÚ  | 9  |
| 4.2. Posudek dřeva podle MSP  | 12 |

2. DATA

2.1. Výpočtový model



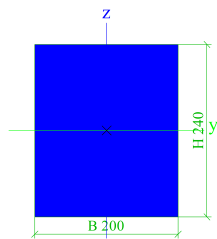
2.2. Materiály

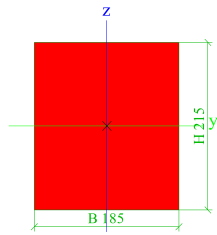
Timber EC5

| Jméno        | Typ dřeva             | $\mu$              | $E_{mod}$<br>[MPa]       | $f_{m,k}$<br>[MPa] | $f_{t,0,k}$<br>[MPa] | $f_{t,90,k}$<br>[MPa] | $f_{c,0,k}$<br>[MPa] | $f_{c,90,k}$<br>[MPa] | $f_{v,k}$<br>[MPa] | Barva |
|--------------|-----------------------|--------------------|--------------------------|--------------------|----------------------|-----------------------|----------------------|-----------------------|--------------------|-------|
|              | $\rho$<br>[kg/m³]     | $\alpha$<br>[m/mK] | $G_{mod}$<br>[MPa]       |                    |                      |                       |                      |                       |                    |       |
| C24 (EN 338) | Rostlé dřevo<br>420,0 | 0<br>0,00          | 1,1000e+04<br>6,9000e+02 | 24,0               | 14,5                 | 0,4                   | 21,0                 | 2,5                   | 4,0                |       |

2.3. Průřezy

| VT1 |       |  |
|-----|-------|--|
| Typ | OBDEL |  |

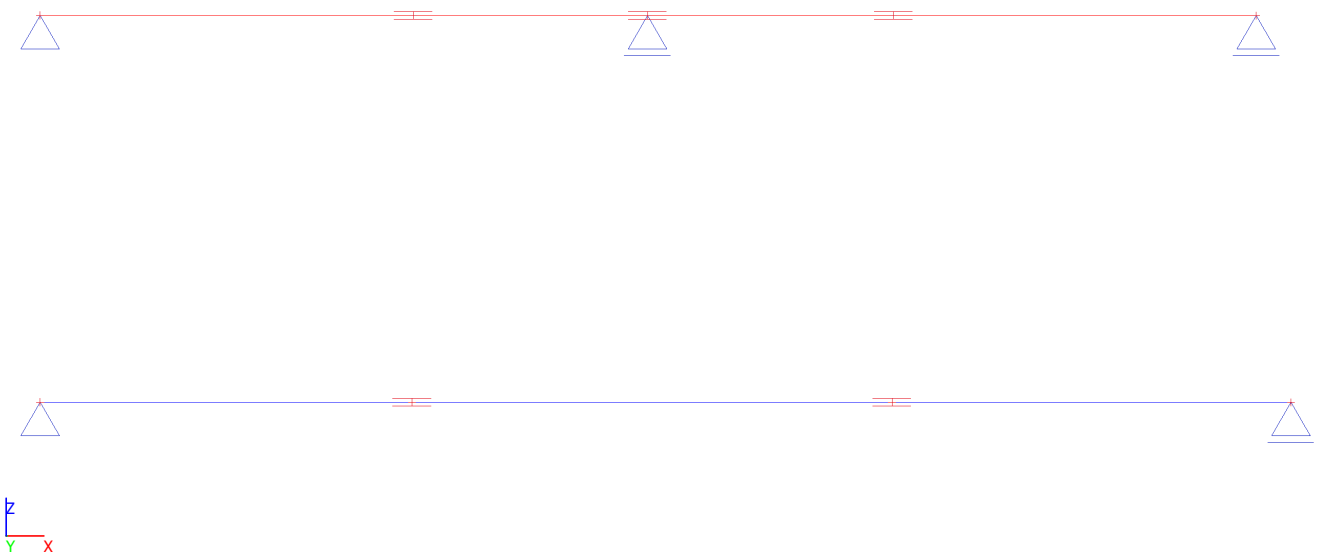
|  |   |            |
|--|---|------------|
| Detailní   | 200; 240  |            |
| Typ tvaru  | Tlustostěnný  |            |
| Materiál   | C24 (EN 338)  |            |
| Výroba   | dřevo   |            |
| Barva  | <div><div></div></div>  |            |
| A [m²]   | 4,8000e-02  |            |
| A <sub>y</sub> [m²], A <sub>z</sub> [m²]           | 4,0063e-02  | 4,0043e-02 |
| A <sub>L</sub> [m²/m], A <sub>D</sub> [m²/m]       | 8,8000e-01  | 8,8000e-01 |
| c <sub>y,UCS</sub> [mm], c <sub>z,UCS</sub> [mm]   | 100   | 120        |
| α [deg]  | 0,00  |            |
| I <sub>y</sub> [m⁴], I <sub>z</sub> [m⁴]           | 2,3040e-04  | 1,6000e-04 |
| i <sub>y</sub> [mm], i <sub>z</sub> [mm]           | 69  | 58         |
| W <sub>el,y</sub> [m³], W <sub>el,z</sub> [m³]     | 1,9200e-03  | 1,6000e-03 |
| W <sub>pl,y</sub> [m³], W <sub>pl,z</sub> [m³]     | 2,3527e-03  | 1,9606e-03 |
| M <sub>pl,y,+</sub> [Nm], M <sub>pl,y,-</sub> [Nm] | 4,94e+04  | 4,94e+04   |
| M <sub>pl,z,+</sub> [Nm], M <sub>pl,z,-</sub> [Nm] | 4,12e+04  | 4,12e+04   |
| d <sub>y</sub> [mm], d <sub>z</sub> [mm]           | 0   | 0          |
| I <sub>t</sub> [m⁴], I <sub>w</sub> [m⁶]           | 3,1839e-04  | 3,7609e-08 |
| β <sub>y</sub> [mm], β <sub>z</sub> [mm]           | 0   | 0          |
| Obrázek  |  |            |

|  |   |            |
|--|---|------------|
| VT2  |   |            |
| Typ  | OBDEL   |            |
| Detailní   | 185; 215  |            |
| Typ tvaru  | Tlustostěnný  |            |
| Materiál   | C24 (EN 338)  |            |
| Výroba   | dřevo   |            |
| Barva  | <div><div></div></div>  |            |
| A [m²]   | 3,9775e-02  |            |
| A <sub>y</sub> [m²], A <sub>z</sub> [m²]           | 3,3206e-02  | 3,3191e-02 |
| A <sub>L</sub> [m²/m], A <sub>D</sub> [m²/m]       | 8,0000e-01  | 8,0000e-01 |
| c <sub>y,UCS</sub> [mm], c <sub>z,UCS</sub> [mm]   | 93  | 108        |
| α [deg]  | 0,00  |            |
| I <sub>y</sub> [m⁴], I <sub>z</sub> [m⁴]           | 1,5322e-04  | 1,1344e-04 |
| i <sub>y</sub> [mm], i <sub>z</sub> [mm]           | 62  | 53         |
| W <sub>el,y</sub> [m³], W <sub>el,z</sub> [m³]     | 1,4253e-03  | 1,2264e-03 |
| W <sub>pl,y</sub> [m³], W <sub>pl,z</sub> [m³]     | 1,7465e-03  | 1,5028e-03 |
| M <sub>pl,y,+</sub> [Nm], M <sub>pl,y,-</sub> [Nm] | 3,67e+04  | 3,67e+04   |
| M <sub>pl,z,+</sub> [Nm], M <sub>pl,z,-</sub> [Nm] | 3,16e+04  | 3,16e+04   |
| d <sub>y</sub> [mm], d <sub>z</sub> [mm]           | 0   | 0          |
| I <sub>t</sub> [m⁴], I <sub>w</sub> [m⁶]           | 2,1961e-04  | 1,6933e-08 |
| β <sub>y</sub> [mm], β <sub>z</sub> [mm]           | 0   | 0          |
| Obrázek  |  |            |

## 2.4. Zatěžovací stavy

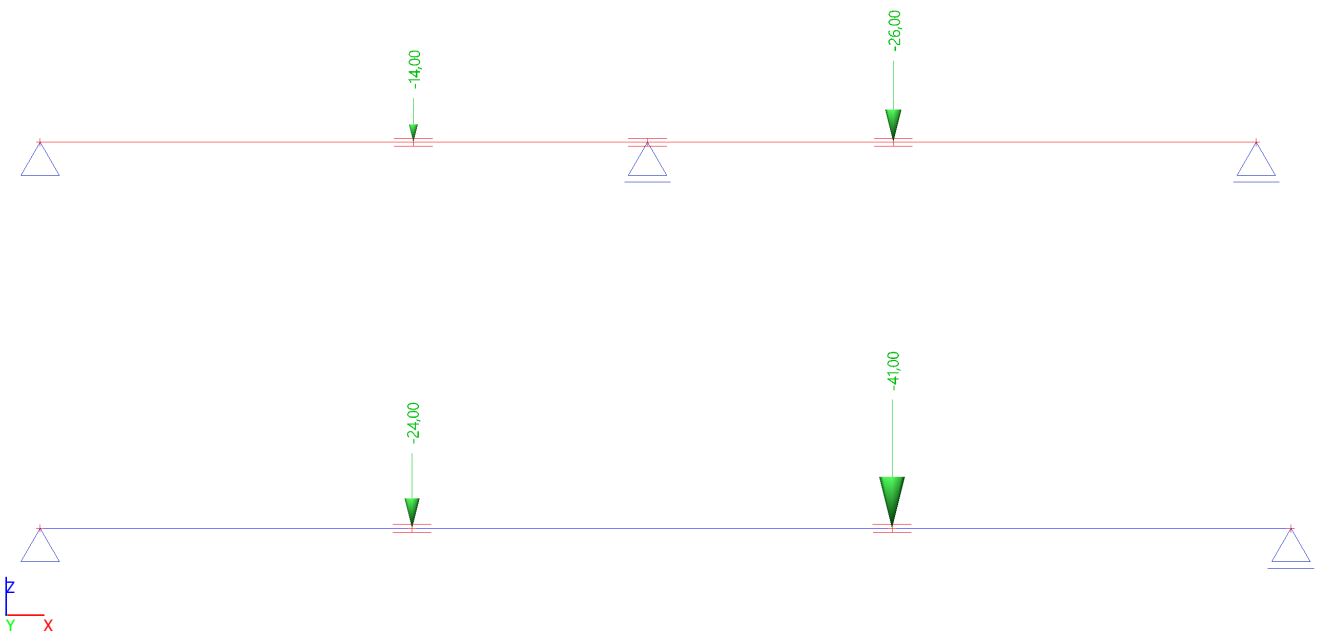
### 2.4.1. Zatěžovací stavy - ZS1

| Jméno | Popis        | Typ působení          | Skupina zatížení | Směr |
|-------|--------------|-----------------------|------------------|------|
|       | Spec         | Typ zatížení          |                  |      |
| ZS1   | Vlastní tíha | Stálé<br>Vlastní tíha | SZ1              | -Z   |



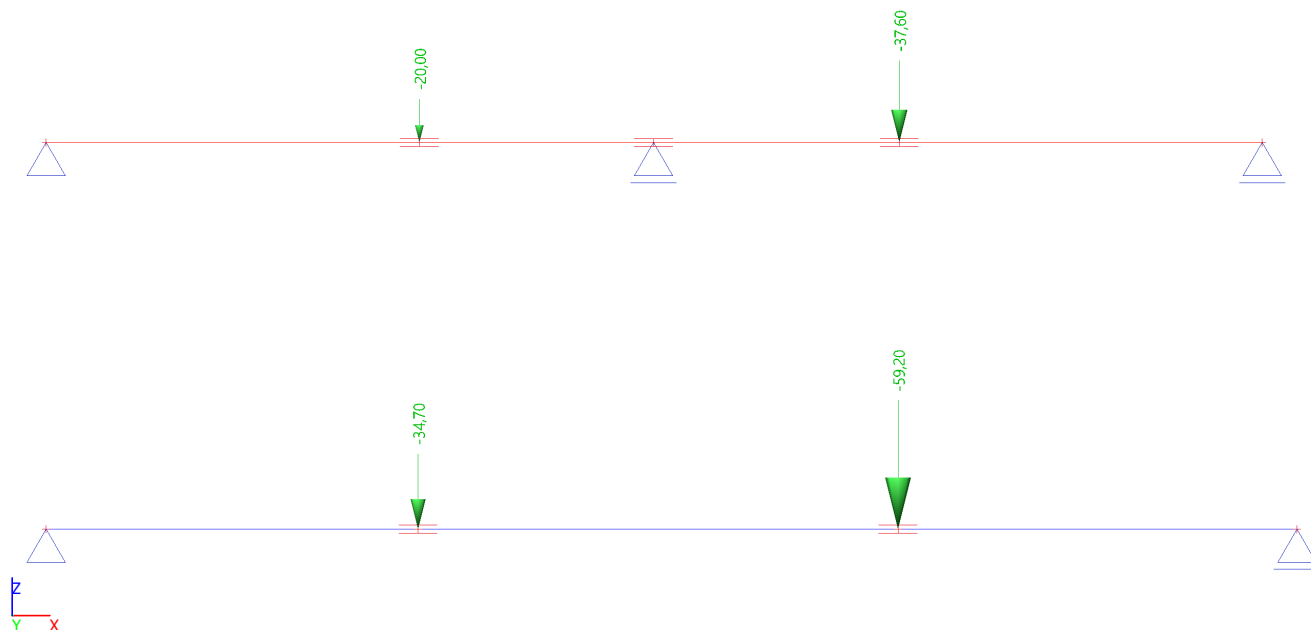
2.4.2. Zatěžovací stavy - ZS2

| Jméno | Popis               | Typ působení | Skupina zatížení |
|-------|---------------------|--------------|------------------|
|       | Spec                | Typ zatížení |                  |
| ZS2   | (k) - char. hodnota | Stálé        | SZ1              |
|       |                     | Standard     |                  |



### 2.4.3. Zatěžovací stavy - ZS3

| Jméno | Popis                | Typ působení | Skupina zatížení |
|-------|----------------------|--------------|------------------|
|       | Spec                 | Typ zatížení |                  |
| ZS3   | (d) - návrh. hodnota | Stálé        | SZ1              |
|       |                      | Standard     |                  |



### 2.5. Kombinace

| Jméno | Popis | Typ                     | Zatěžovací stavy           | Souč. [-] |
|-------|-------|-------------------------|----------------------------|-----------|
| MSP   |       | Lineární - použitelnost | ZS1 - Vlastní tíha         | 1,00      |
|       |       |                         | ZS2 - (k) - char. hodnota  | 1,00      |
| MSÚ   |       | Lineární - únosnost     | ZS1 - Vlastní tíha         | 1,35      |
|       |       |                         | ZS3 - (d) - návrh. hodnota | 1,00      |

## 3. VÝSLEDKY

### 3.1. 1D vnitřní síly

Lineární výpočet  
Třída: Všechny MSU  
Souřadný systém: Dílec  
Extrém 1D: Globální  
Výběr: Vše

| Jméno | dx [m] | Stav  | N [kN]      | V <sub>z</sub> [kN] | M <sub>y</sub> [kNm] |
|-------|--------|-------|-------------|---------------------|----------------------|
| B1    | 0,000  | MSÚ/1 | <b>0,00</b> | <b>44,56</b>        | 0,00                 |
| B1    | 9,720  | MSÚ/1 | 0,00        | <b>-51,93</b>       | 0,00                 |
| B2    | 4,720- | MSÚ/1 | 0,00        | -18,42              | <b>-26,48</b>        |
| B1    | 6,620- | MSÚ/1 | <b>0,00</b> | 8,09                | <b>159,71</b>        |

| Jméno | Klíč kombinace |
|-------|----------------|
| MSÚ/1 | 1.35*ZS1 + ZS3 |

Hodnoty: **N**

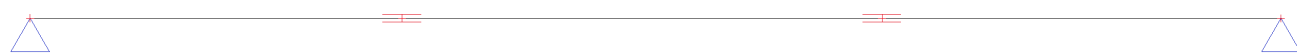
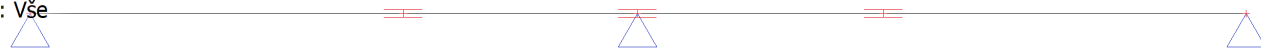
Lineární výpočet

Kombinace: MSÚ

Souřadný systém: Dílec

Extrém 1D: Průřez

Výběr: Vše



Hodnoty: **V<sub>z</sub>**

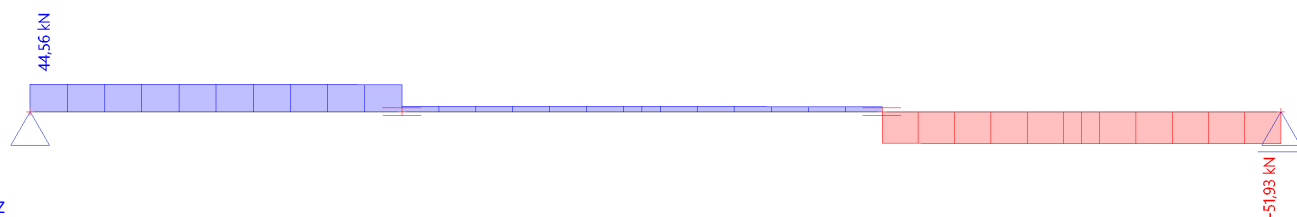
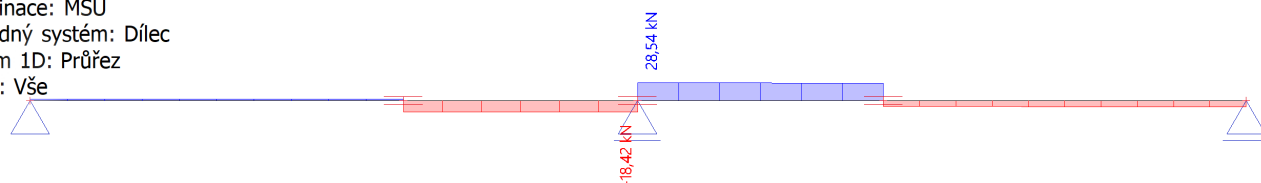
Lineární výpočet

Kombinace: MSÚ

Souřadný systém: Dílec

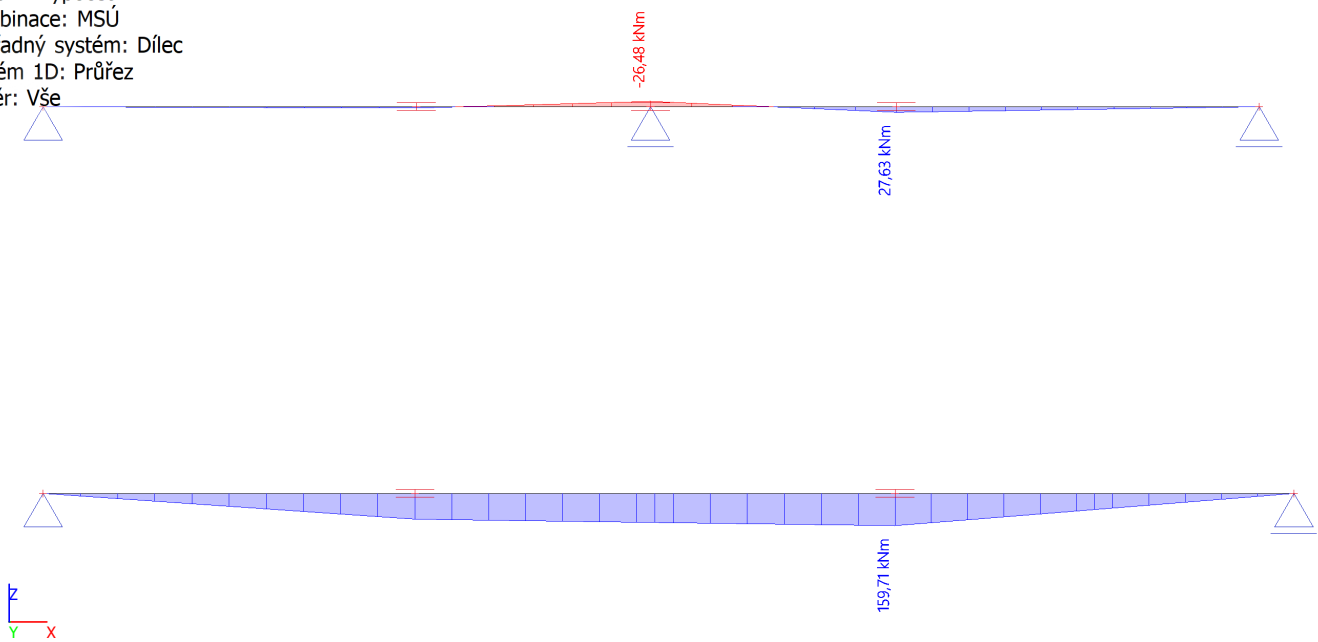
Extrém 1D: Průřez

Výběr: Vše





Hodnoty: **M<sub>y</sub>**  
Lineární výpočet  
Kombinace: MSÚ  
Souřadný systém: Dílec  
Extrém 1D: Průřez  
Výběr: Vše



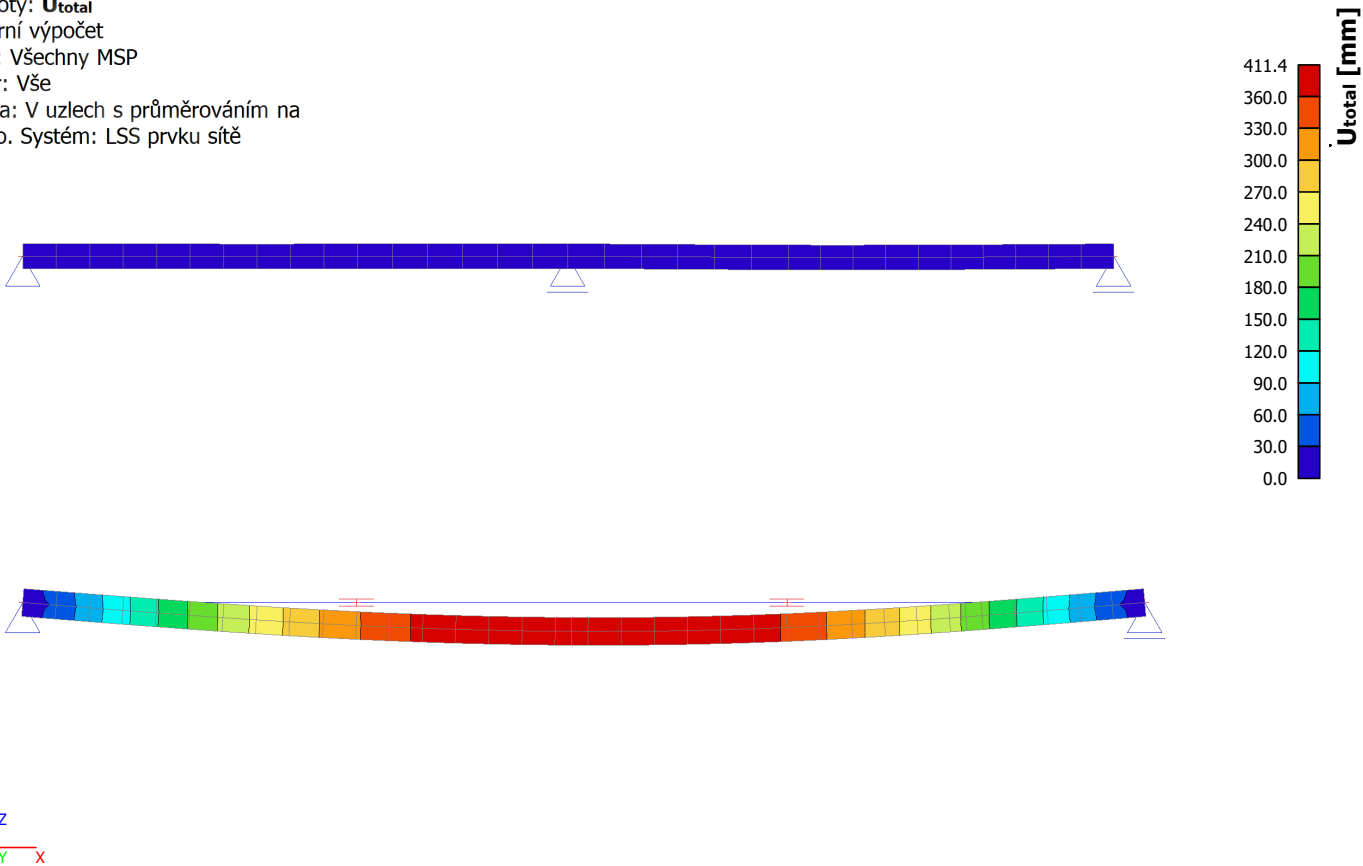
3.2. 3D přemístění

Lineární výpočet  
Kombinace: MSP  
Výběr: Vše  
Poloha: V uzlech s průměrováním na makro. Systém: LSS prvku sítě  
**Výsledky na 1D dílci:**  
Extrém 1D: Dílec

| Jméno | dx [m] | Vlákno | Stav  | ux [mm] | uy [mm] | uz [mm] | ϕx [mrad] | ϕy [mrad] | ϕz [mrad] | Utotal [mm]  |
|-------|--------|--------|-------|---------|---------|---------|-----------|-----------|-----------|--------------|
| B1    | 0,000  | 6      | MSP/1 | 0,0     | 0,0     | 0,0     | 0,0       | 129,0     | 0,0       | <b>0,0</b>   |
| B1    | 4,898  | 3      | MSP/1 | 0,4     | 0,0     | -411,4  | 0,0       | 3,4       | 0,0       | <b>411,4</b> |
| B2    | 0,000  | 2      | MSP/1 | 0,0     | 0,0     | 0,0     | 0,0       | 2,1       | 0,0       | <b>0,0</b>   |
| B2    | 6,912  | 3      | MSP/1 | 0,2     | 0,0     | -18,6   | 0,0       | 1,7       | 0,0       | <b>18,6</b>  |

| Jméno | Klíč kombinace |
|-------|----------------|
| MSP/1 | ZS1 + ZS2      |

Hodnoty: **U<sub>total</sub>**  
Lineární výpočet  
Třída: Všechny MSP  
Výběr: Vše  
Poloha: V uzlech s průměrováním na makro. Systém: LSS prvku sítě



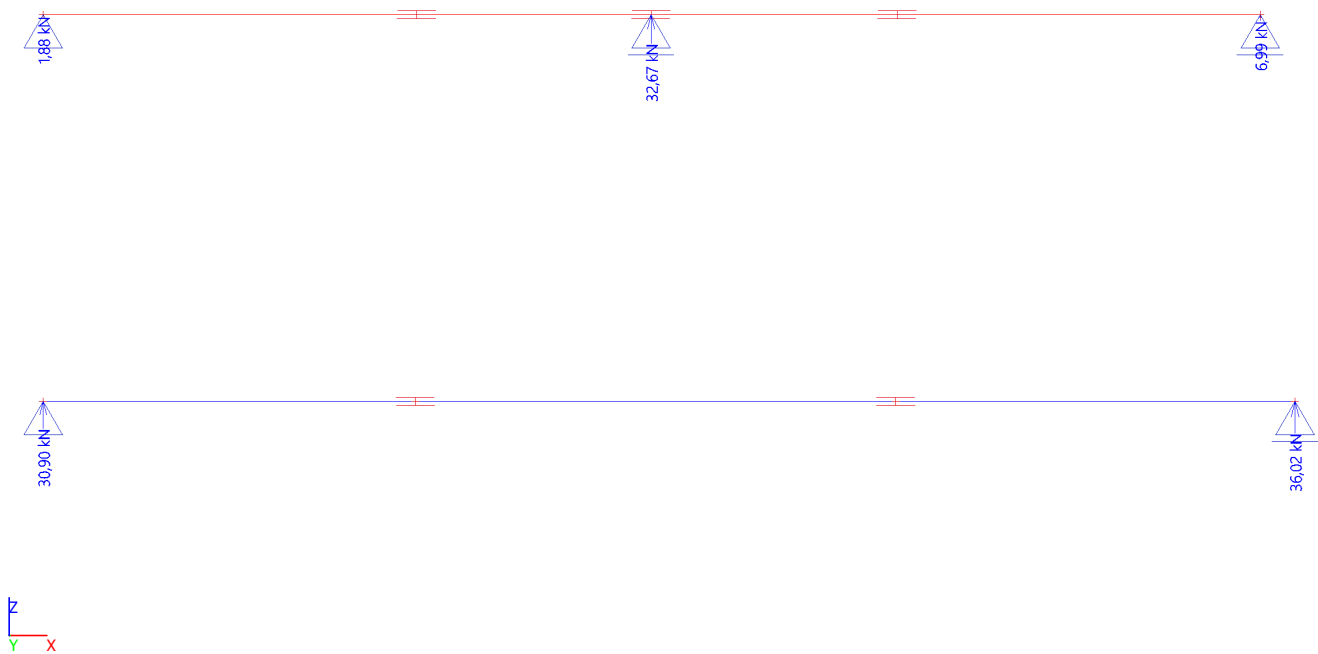
3.3. Reakce

Lineární výpočet  
Třída: Všechny MSP  
Systém: Globální  
Extrém: Dílec  
Výběr: Vše  
**Uzlové reakce**

| Jméno  | Stav  | R <sub>x</sub><br>[kN] | R <sub>z</sub><br>[kN] | M <sub>y</sub><br>[kNm] | e <sub>y</sub><br>[mm] |
|--------|-------|------------------------|------------------------|-------------------------|------------------------|
| Sn1/N1 | MSP/1 | 0,00                   | 30,90                  | 0,00                    | 0,0                    |
| Sn2/N2 | MSP/1 | 0,00                   | 36,02                  | 0,00                    | 0,0                    |
| Sn3/N5 | MSP/1 | 0,00                   | 1,88                   | 0,00                    | 0,0                    |
| Sn4/N6 | MSP/1 | 0,00                   | 6,99                   | 0,00                    | 0,0                    |
| Sn5/N9 | MSP/1 | 0,00                   | 32,67                  | 0,00                    | 0,0                    |

| Jméno | Klíč kombinace |
|-------|----------------|
| MSP/1 | ZS1 + ZS2      |

Hodnoty: **R<sub>x</sub>**, **R<sub>z</sub>**  
Lineární výpočet  
Kombinace: MSP  
Systém: Globální  
Extrém: Dílec  
Výběr: Vše



3.4. Reakce

Lineární výpočet  
Třída: Všechny MSU  
Systém: Globální  
Extrém: Dílec  
Výběr: Vše  
Uzlové reakce

| Jméno  | Stav  | R <sub>x</sub><br>[kN] | R <sub>z</sub><br>[kN] | M <sub>y</sub><br>[kNm] | e <sub>y</sub><br>[mm] |
|--------|-------|------------------------|------------------------|-------------------------|------------------------|
| Sn1/N1 | MSÚ/1 | 0,00                   | 44,56                  | 0,00                    | 0,0                    |
| Sn2/N2 | MSÚ/1 | 0,00                   | 51,93                  | 0,00                    | 0,0                    |
| Sn3/N5 | MSÚ/1 | 0,00                   | 2,62                   | 0,00                    | 0,0                    |
| Sn4/N6 | MSÚ/1 | 0,00                   | 10,11                  | 0,00                    | 0,0                    |
| Sn5/N9 | MSÚ/1 | 0,00                   | 46,96                  | 0,00                    | 0,0                    |

| Jméno | Klíč kombinace |
|-------|----------------|
| MSÚ/1 | 1.35*ZS1 + ZS3 |

Hodnoty:  $R_x$ ,  $R_z$

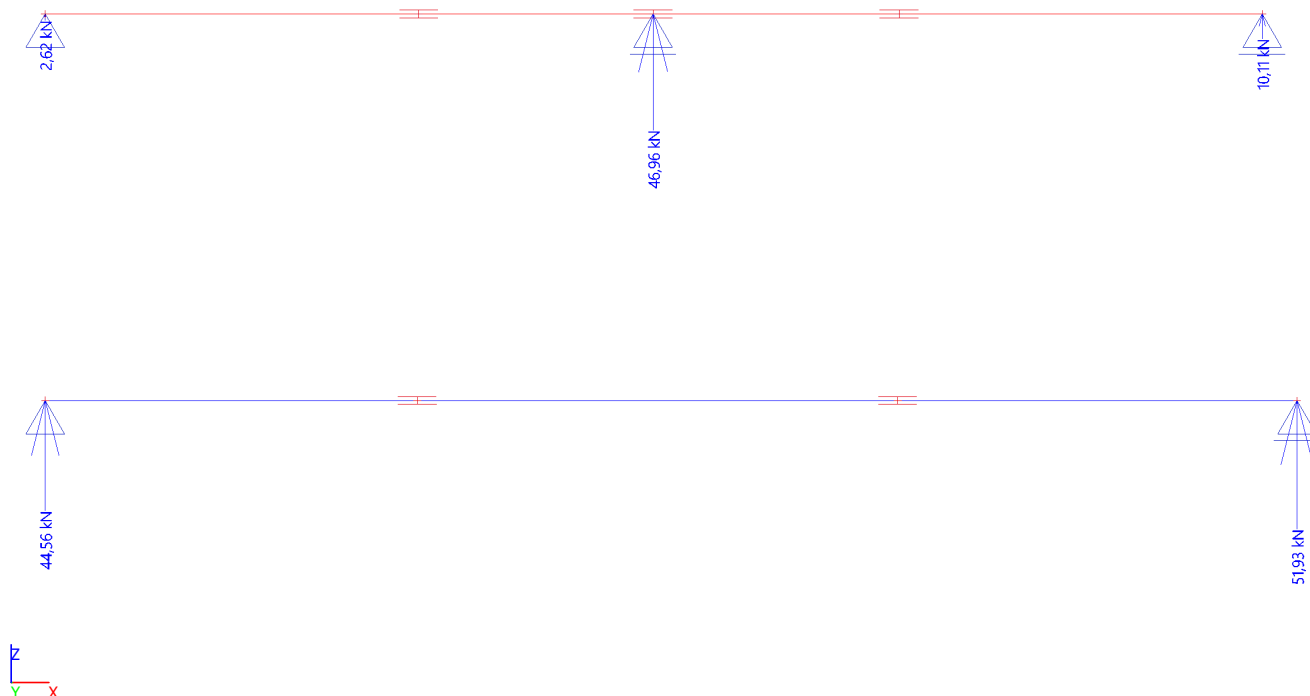
Lineární výpočet

Kombinace: MSÚ

Systém: Globální

Extrém: Dílec

Výběr: Vše



## 4. POSUDEK - DŘEVO

### 4.1. Posudek dřeva podle MSÚ

Lineární výpočet, Extrém : Dílec

Výběr : Vše

Třída : Všechny MSU

#### EN 1995-1-1 posudek

|           |         |                        |              |             |        |
|-----------|---------|------------------------|--------------|-------------|--------|
| Nosník B1 | 9,720 m | VT1 - OBDEL (200; 240) | C24 (EN 338) | Všechny MSU | 7,51 - |
|-----------|---------|------------------------|--------------|-------------|--------|

| Klíč kombinace               |
|------------------------------|
| Všechny MSU / 1.35*ZS1 + ZS3 |

| Základní data  |      |
|--|------|
| Dílčí součinitel spolehlivosti $\gamma_M$ for rostlé dřevo | 1,30 |

| Údaje o materiálu |          |     |
|-------------------|----------|-----|
| Ohyb (fm,k)       | 24,0     | MPa |
| Tah (ft,0,k)      | 14,5     | MPa |
| Tah (ft,90,k)     | 0,4      | MPa |
| Tlak (fc,0,k)     | 21,0     | MPa |
| Tlak (fc,90,k)    | 2,5      | MPa |
| Smyk (fv,k)       | 4,0      | MPa |
| Typ dřeva         | Celistvý |     |

Kritický posudek je v místě **6,620 m**.

| Vnitřní síly |        |     |
|--------------|--------|-----|
| NEd          | 0,00   | kN  |
| Vy,Ed        | 0,00   | kN  |
| Vz,Ed        | 8,09   | kN  |
| TEd          | 0,00   | kNm |
| My,Ed        | 159,71 | kNm |
| Mz,Ed        | 0,00   | kNm |

| Součinitel modifikace      |       |
|----------------------------|-------|
| Třída vlhkosti             | 1     |
| Doba trvání zatížení       | Stálé |
| Součinitel modifikace kmod | 0,60  |

...: POSUDEK ŘEZU :...

#### Tlak kolmo na vlákna

Podle EN 1995-1-1 článku 6.1.5 a rovnice (6.3)

|                     |           |                 |
|---------------------|-----------|-----------------|
| F <sub>c,90,d</sub> | 59,20     | kN              |
| l                   | 250       | mm              |
| l <sub>ef</sub>     | 310       | mm              |
| b                   | 200       | mm              |
| A <sub>ef</sub>     | 62000     | mm <sup>2</sup> |
| σ <sub>c,90,d</sub> | 1,0       | MPa             |
| Podporové podmínky  | Diskrétní |                 |
| h                   | 240       | mm              |
| k <sub>c,90</sub>   | 1,50      | -               |
| f <sub>c,90,d</sub> | 1,2       | MPa             |
| Jedn. posudek       | 0,55      | -               |

#### Ohyb

Podle EN 1995-1-1 článku 6.1.6 a rovnice (6.11), (6.12)

|                    |      |     |
|--------------------|------|-----|
| σ <sub>m,y,d</sub> | 83,2 | MPa |
| k <sub>h,y</sub>   | 1,00 |     |
| f <sub>m,y,d</sub> | 11,1 | MPa |
| k <sub>m</sub>     | 0,70 |     |

Jednotkový posudek (6.11) = 7,51 + 0,00 = **7,51** -

Jednotkový posudek (6.12) = 5,26 + 0,00 = **5,26** -

#### Smyk

Podle EN 1995-1-1 článku 6.1.7 a rovnice (6.13)

|                                   |      |     |
|-----------------------------------|------|-----|
| k <sub>cr</sub>                   | 0,67 |     |
| τ <sub>z,d</sub>                  | 0,4  | MPa |
| f <sub>v,d</sub>                  | 1,8  | MPa |
| Jednotkový posudek τ <sub>z</sub> | 0,20 | -   |

Prvek nespĺňuje podmínky posudku průřezu!

...: POSUDEK STABILITY :...

#### Nosníky zatížené ohybem nebo kombinací tlaku a ohybu

Podle EN 1995-1-1 článku 6.3.3 a rovnice (6.33), (6.35)

| Parametry klopení                           |        |     |
|---|--------|-----|
| Pružný kritický moment M <sub>y,krit</sub>  | 149,95 | kNm |
| Kritické ohybové napětí σ <sub>m,krit</sub> | 78,1   | MPa |
| Poměrná štíhlost λ <sub>rel,m</sub>         | 0,55   | -   |
| redukční součinitel k <sub>krit</sub>       | 1,00   | -   |

Jednotkový posudek (6.33) = **7,51** -

| M <sub>y,krit</sub> Parametry |           |     |
|-------------------------------|-----------|-----|
| G <sub>0,05</sub>             | 462,5     | MPa |
| Délka klopení L               | 9,720     | m   |
| L <sub>ef</sub> /L            | 0,90      |     |
| Účinná délka L <sub>ef</sub>  | 8,748     | m   |
| Vliv pozice zatížení          | bez vlivu |     |

Prvek nespĺňuje podmínky stabilitního posudku!

#### EN 1995-1-1 posudek

|           |         |                        |              |             |        |
|-----------|---------|------------------------|--------------|-------------|--------|
| Nosník B2 | 9,450 m | VT2 - OBDEL (185; 215) | C24 (EN 338) | Všechny MSU | 1,75 - |
|-----------|---------|------------------------|--------------|-------------|--------|

| Klíč kombinace               |  |
|------------------------------|--|
| Všechny MSU / 1.35*ZS1 + ZS3 |  |

| Základní data  |      |
|--|------|
| Dílčí součinitel spolehlivosti γ <sub>M</sub> for rostlé dřevo | 1,30 |

| Údaje o materiálu |          |     |
|-------------------|----------|-----|
| Ohyb (fm,k)       | 24,0     | MPa |
| Tah (ft,0,k)      | 14,5     | MPa |
| Tah (ft,90,k)     | 0,4      | MPa |
| Tlak (fc,0,k)     | 21,0     | MPa |
| Tlak (fc,90,k)    | 2,5      | MPa |
| Smyk (fv,k)       | 4,0      | MPa |
| Typ dřeva         | Celistvý |     |

Kritický posudek je v místě **6,630 m**.

| Vnitřní síly |       |     |
|--------------|-------|-----|
| NEd          | 0,00  | kN  |
| Vy,Ed        | 0,00  | kN  |
| Vz,Ed        | 28,12 | kN  |
| TEd          | 0,00  | kNm |
| My,Ed        | 27,63 | kNm |
| Mz,Ed        | 0,00  | kNm |

| Součinitel modifikace      |       |
|----------------------------|-------|
| Třída vlhkosti             | 1     |
| Doba trvání zatížení       | Stálé |
| Součinitel modifikace kmod | 0,60  |

**...: POSUDEK ŘEZU ...**

#### Tlak kolmo na vlákna

Podle EN 1995-1-1 článku 6.1.5 a rovnice (6.3)

|                    |           |                 |
|--------------------|-----------|-----------------|
| Fc,90,d            | 37,60     | kN              |
| l                  | 250       | mm              |
| lef                | 310       | mm              |
| b                  | 185       | mm              |
| Aef                | 57350     | mm <sup>2</sup> |
| σc,90,d            | 0,7       | MPa             |
| Podporové podmínky | Diskrétní |                 |
| h                  | 215       | mm              |
| kc,90              | 1,50      | -               |
| fc,90,d            | 1,2       | MPa             |
| Jedn. posudek      | 0,38      | -               |

#### Ohyb

Podle EN 1995-1-1 článku 6.1.6 a rovnice (6.11), (6.12)

|        |      |     |
|--------|------|-----|
| σm,y,d | 19,4 | MPa |
| kh,y   | 1,00 |     |
| fm,y,d | 11,1 | MPa |
| km     | 0,70 |     |

Jednotkový posudek (6.11) =  $1,75 + 0,00 = \mathbf{1,75}$  -

Jednotkový posudek (6.12) =  $1,22 + 0,00 = \mathbf{1,22}$  -

#### Smyk

Podle EN 1995-1-1 článku 6.1.7 a rovnice (6.13)

|                       |      |     |
|-----------------------|------|-----|
| kcr                   | 0,67 |     |
| τz,d                  | 1,6  | MPa |
| fv,d                  | 1,8  | MPa |
| Jednotkový posudek τz | 0,86 | -   |

Prvek nesplňuje podmínky posudku průřezu!

**...: POSUDEK STABILITY ...:**

#### Nosníky zatížené ohybem nebo kombinací tlaku a ohybu

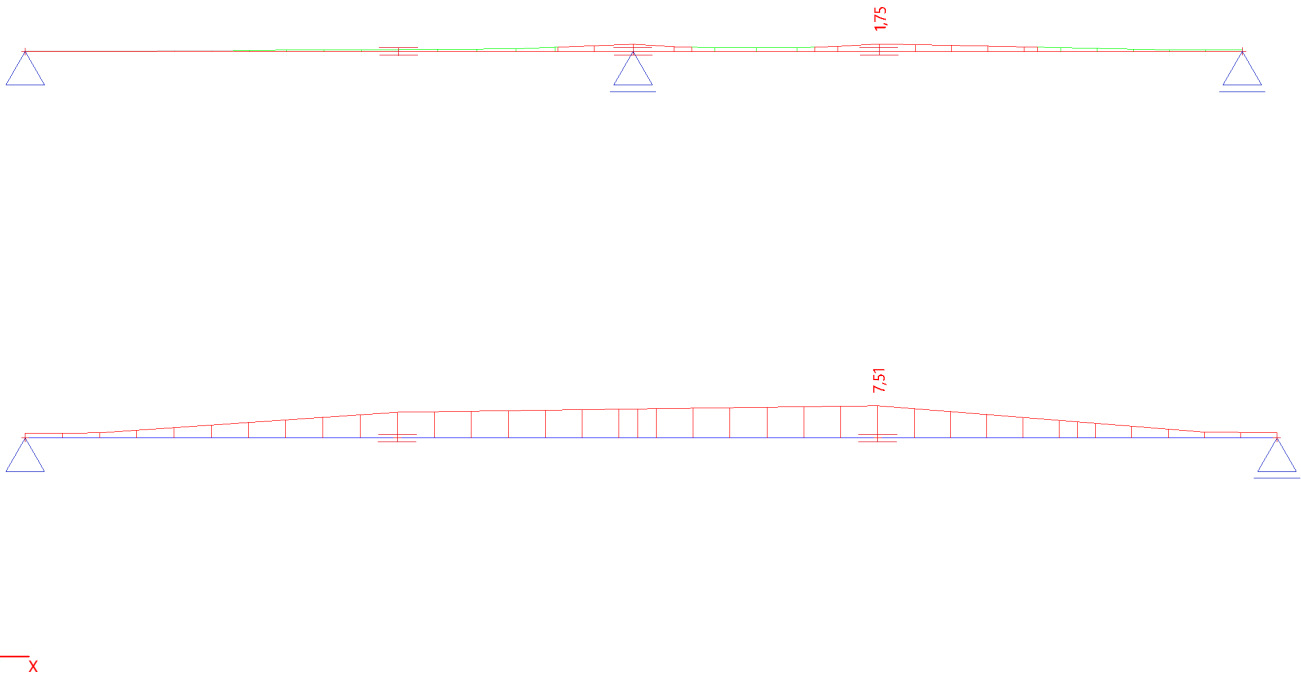
Podle EN 1995-1-1 článku 6.3.3 a rovnice (6.33), (6.35)

| Parametry klopení               |        |     |
|---------------------------------|--------|-----|
| Pružný kritický moment My,krit  | 121,34 | kNm |
| Kritické ohybové napětí σm,krit | 85,1   | MPa |
| Poměrná štíhlost λrel,m         | 0,53   | -   |
| redukční součinitel kkrit       | 1,00   | -   |

Jednotkový posudek (6.33) = **1,75** -

| My,krit Parametry    |           |     |
|----------------------|-----------|-----|
| G0,05                | 462,5     | MPa |
| Délka klopení L      | 9,450     | m   |
| Lef/L                | 0,80      |     |
| Účinná délka Lef     | 7,560     | m   |
| Vliv pozice zatížení | bez vlivu |     |

Prvek nesplňuje podmínky stabilitního posudku!

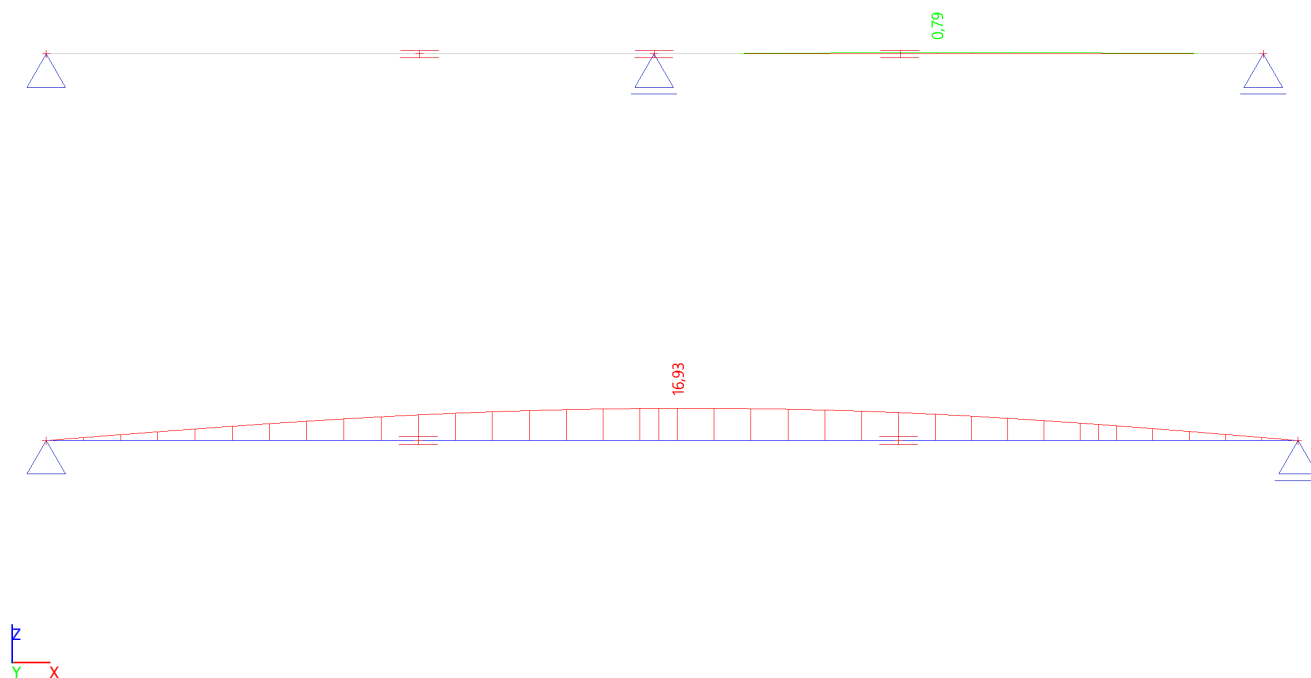


4.2. Posudek dřeva podle MSP

Lineární výpočet, Extrém : Dílec  
Výběr : Vše  
Třída : Všechny MSP

| Dílec | Průřez       | dx [m] | Zatěžovací stav      | Jedn. posudek [-] | uy inst [mm] | Rel uy inst [1/xx] | Posudek uy inst [-] | uy fin [mm] | Rel uy fin [1/xx] | Posudek uy fin [-] |
|-------|--------------|--------|----------------------|-------------------|--------------|--------------------|---------------------|-------------|-------------------|--------------------|
|       | Materiál     |        | k <sub>def</sub> [-] |                   | uz inst [mm] | Rel uz inst [1/xx] | Posudek uz inst [-] | uz fin [mm] | Rel uz fin [1/xx] | Posudek uz fin [-] |
| B1    | VT1 - OBDEL  | 4,898  | Všechny MSP/1        | 16,93             | 0,0          | 0                  | 0,00                | 0,0         | 0                 | 0,00               |
|       | C24 (EN 338) |        | 0,60                 |                   | -411,4       | 1/24               | 12,70               | -658,2      | 1/15              | 16,93              |
| B2    | VT2 - OBDEL  | 6,912  | Všechny MSP/1        | 0,79              | 0,0          | 0                  | 0,00                | 0,0         | 0                 | 0,00               |
|       | C24 (EN 338) |        | 0,60                 |                   | -18,6        | 1/508              | 0,59                | -29,8       | 1/317             | 0,79               |







$$q_p(z) = [1 + 7 \cdot 0,281] \cdot 1/2 \cdot 0,00125 \cdot 19,20^2 = \mathbf{0,683 \text{ kN.m}^{-2}}$$

sedlová střecha - směr větru 0°

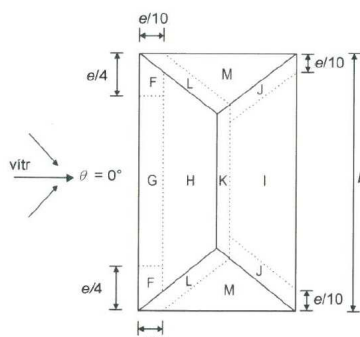
součinitelé vnějšího tlaku vzduchu

dle kapitoly 7.2.56- Valbové střechy

$$w_e = q_p(z_e) \cdot c_{pe}$$

$$w_d = w_e \cdot \gamma_v$$

|                       |                       |                       |
|-----------------------|-----------------------|-----------------------|
| $c_{pe10,F-} = -0,82$ | $c_{pe10,G-} = -0,74$ | $c_{pe10,H-} = -0,28$ |
| $c_{pe10,F+} = 0,10$  | $c_{pe10,G+} = 0,14$  | $c_{pe10,H+} = 0,08$  |
| $c_{pe10,I-} = -0,48$ | $c_{pe10,J-} = -0,94$ | $c_{pe10,K-} = -1,06$ |
| $c_{pe10,I+} = -0,32$ | $c_{pe10,J+} = -0,62$ | $c_{pe10,K+} = -0,58$ |
| $c_{pe10,L-} = -1,40$ | $c_{pe10,M-} = -0,64$ |                       |
| $c_{pe10,L+} = -1,24$ | $c_{pe10,M+} = -0,64$ |                       |

| popis  | charakteristické zatížení | $\gamma_v$                            | výpočtové zatížení | $\text{kN.m}^{-2}$                    |
|--|---------------------------|---------------------------------------|--------------------|---------------------------------------|
|  <p>a) Směr větru <math>\theta = 0^\circ</math></p> | oblast F (-)              | $w_{e,F-} = -0,560$                   | 1,5                | $w_{d,F-} = -0,839$                   |
|  | oblast G (-)              | $w_{e,G-} = -0,505$                   | 1,5                | $w_{d,G-} = -0,758$                   |
|  | oblast H (-)              | $w_{e,H-} = -0,191$                   | 1,5                | $w_{d,H-} = -0,287$                   |
|  | oblast I (-)              | $w_{e,I-} = -0,328$                   | 1,5                | $w_{d,I-} = -0,491$                   |
|  | oblast J (-)              | $w_{e,J-} = -0,642$                   | 1,5                | $w_{d,J-} = -0,962$                   |
|  | oblast K (-)              | $w_{e,K-} = -0,723$                   | 1,5                | $w_{d,K-} = -1,085$                   |
|  | oblast L (-)              | $w_{e,L-} = -0,956$                   | 1,5                | $w_{d,L-} = -1,433$                   |
|  | oblast M (-)              | $w_{e,M-} = -0,437$                   | 1,5                | $w_{d,M-} = -0,655$                   |
|  | oblast F (+)              | $w_{e,F+} = 0,068$                    | 1,5                | $w_{d,F+} = 0,102$                    |
|  | <b>oblast G (+)</b>       | <b><math>w_{e,G+} = 0,096</math></b>  | <b>1,5</b>         | <b><math>w_{d,G+} = 0,143</math></b>  |
|  | oblast H (+)              | $w_{e,H+} = 0,055$                    | 1,5                | $w_{d,H+} = 0,082$                    |
|  | oblast I (+)              | $w_{e,I+} = -0,218$                   | 1,5                | $w_{d,I+} = -0,328$                   |
|  | oblast J (+)              | $w_{e,J+} = -0,423$                   | 1,5                | $w_{d,J+} = -0,635$                   |
|  | oblast K (+)              | $w_{e,K+} = -0,396$                   | 1,5                | $w_{d,K+} = -0,594$                   |
|  | <b>oblast L (+)</b>       | <b><math>w_{e,L+} = -0,846</math></b> | <b>1,5</b>         | <b><math>w_{d,L+} = -1,269</math></b> |
|  | oblast M (+)              | $w_{e,M+} = -0,437$                   | 1,5                | $w_{d,M+} = -0,655$                   |

0,683

charakteristické hodnoty zatížení [ $\text{kN.m}^{-2}$ ]

KOMBINACE LOKALIT PŮSOBÍCÍHO VĚTRU PRO STŘEDNÍ VAZBU STŘECHY

|       | (G ; H ; K ; I) | G     | H     | K     | I |
|-------|-----------------|-------|-------|-------|---|
| $w_1$ | +               | +     | +     | +     |   |
|       | 0,10            | 0,05  | -0,40 | -0,22 |   |
| $w_2$ | +               | +     | -     | -     |   |
|       | 0,10            | 0,05  | -0,72 | -0,33 |   |
| $w_3$ | -               | -     | -     | -     |   |
|       | -0,51           | -0,19 | -0,72 | -0,33 |   |
| $w_4$ | -               | -     | +     | +     |   |
|       | -0,51           | -0,19 | -0,40 | -0,22 |   |

osová vzdálenost kroků  $o = 0,81 \text{ m}$ 

| popis                 | ozn.       | charakteristické hodnoty zatížení [ $\text{kN.m}^{-1}$ ] |       |       |       |
|-----------------------|------------|--|-------|-------|-------|
| ZATĚŽOVACÍ STAVY_vitr |            | +  | +     | +     | +     |
|                       | $ZS_{w_1}$ | 0,08   | 0,04  | -0,32 | -0,18 |
|                       |            | +  | +     | -     | -     |
|                       | $ZS_{w_2}$ | 0,08   | 0,04  | -0,58 | -0,26 |
|                       |            | -  | -     | -     | -     |
|                       | $ZS_{w_3}$ | -0,41  | -0,15 | -0,58 | -0,26 |
|                       |            | -  | -     | +     | +     |
|                       | $ZS_{w_4}$ | -0,41  | -0,15 | -0,32 | -0,18 |

KOMBINACE LOKALIT PŮSOBÍCÍHO VĚTRU PRO NÁROŽNÍ KROKVE

|       | (G ; H), (L ; M) | G    | H     | L     | M |
|-------|------------------|------|-------|-------|---|
| $w_1$ | +                | +    | +     | +     |   |
|       | 0,10             | 0,05 | -0,85 | -0,44 |   |
| $w_2$ | -                | -    | -     | -     |   |

|                        |                     | <table><tr><td>'' z</td><td>-0,51</td><td>-0,19</td><td>-0,96</td><td>-0,44</td></tr></table> |       |                      |       | '' z | -0,51 | -0,19 | -0,96 | -0,44 |
|------------------------|---------------------|---|-------|----------------------|-------|------|-------|-------|-------|-------|
| '' z                   | -0,51               | -0,19   | -0,96 | -0,44                |       |      |       |       |       |       |
|                        |                     | osová vzdálenost kroků  |       | o = 0,81 m           |       |      |       |       |       |       |
| popis                  | ozn.                | charakteristické hodnoty zatížení [kN.m <sup>-1</sup> ]                                       |       |                      |       |      |       |       |       |       |
| ZATĚŽOVACÍ STAVY_vitr  | ZS_w <sub>1</sub>   | +   | +     | +                    | +     |      |       |       |       |       |
|                        |                     | 0,08  | 0,04  | -0,68                | -0,35 |      |       |       |       |       |
|                        | ZS_w <sub>2</sub>   | -   | -     | -                    | -     |      |       |       |       |       |
|                        |                     | -0,41   | -0,15 | -0,77                | -0,35 |      |       |       |       |       |
| popis                  | ozn.                | charakteristická  |       | návrhová [kN.m-1]    |       |      |       |       |       |       |
| ZATĚŽOVACÍ STAVY_snih  | ZS_s1               | s <sub>k,1</sub> =  | 0,97  | s <sub>d,1</sub> =   | 1,45  |      |       |       |       |       |
|                        | ZS_s <sub>0,5</sub> | 50% s <sub>k</sub> =  | 0,48  | 50% s <sub>d</sub> = | 0,72  |      |       |       |       |       |
|                        | ZS_s2               | s <sub>k,2</sub> =  | 3,38  | s <sub>d,2</sub> =   | 5,07  |      |       |       |       |       |
| ZATĚŽOVACÍ STAV_stěcha | ZS_g                | g <sub>k</sub> =  | 0,30  | g <sub>d</sub> =     | 0,41  |      |       |       |       |       |

I (náveje) = 5,0

## Příloha č. III.b - DŘEVĚNÝ ZÁKLOP OCELOVÉHO KROVU

Zk - záklop (dřevěný trám - prostý nosník)

|                                  |                                  |                                   |                               |                      |
|----------------------------------|----------------------------------|-----------------------------------|-------------------------------|----------------------|
| Třída průřezu, pevnosti, provozu | S10                              | C24                               | 1                             | $E_{0,05} = 7,4$ GPa |
| Pevnostní charakteristiky:       | ohyb                             | $f_{m,k} = 24,0$ MPa              | $E_{0,mean} = 11,0$ GPa       |                      |
|                                  | smýk                             | $f_{v,k} = 2,5$ MPa               | $G_{mean,g} = 690$ MPa        |                      |
| Průřezové charakteristiky:       | základní rozměry                 | $b = 1000$ mm                     | $h = 25$ mm                   |                      |
|                                  | plocha průřezu                   | $A = 25000$ mm <sup>2</sup>       | $m = 10,5$ kg.m <sup>-1</sup> |                      |
|                                  | průřezový modul                  | $W_y = 104166,67$ mm <sup>3</sup> | $\gamma_M = 1,3$              |                      |
|                                  | moment setrvačnosti              | $I_y = 1302083,3$ mm <sup>4</sup> | $i = 7,2$ mm                  |                      |
| Geometrie:                       | světlé rozpětí nosníku           | $l_0 = 0,71$ m                    | 705 mm                        |                      |
|                                  | rozpětí nosníku $L = 1,05 * l_0$ | $L = 0,74$ m                      | 740,25 mm                     |                      |
|                                  | max. osová vzdálenost nosníků    | $o_0 = 1,00$ m                    | $n = -$ - dělení OSB desek    |                      |

|  |                                       |                   |                  |
|--|---------------------------------------|-------------------|------------------|
| CELKOVÉ ZATÍŽENÍ STROPU - $q_n / q_d$ - plošné | $\gamma_g = 1,35$                     | $\gamma_q = 1,50$ | $k_{mod} = 0,80$ |
| stálé zatížení - podlaha                       | $g_k = 0,20$ [kN.m <sup>-2</sup> ]    |                   |                  |
| nahodilé zatížení - SNÍH (VČ. NÁVĚJE)          | $q_{ku} = 4,20$ [kN.m <sup>-2</sup> ] |                   |                  |
| nahodilé zatížení - VÍTR                       | $q_{kp} = 0,20$ [kN.m <sup>-2</sup> ] |                   |                  |

CELKOVÉ ZATÍŽENÍ STROPU -  $q_n / q_d$  - na osu

| popis                       | charakt.     | $\gamma_{g,q}$ | návrhové                           |
|-----------------------------|--------------|----------------|------------------------------------|
| plošné stálé na osu nosníku | 0,20         | x 1,35         | 0,27                               |
| plošné užité na osu nosníku | 4,20         | x 1,50         | 6,30                               |
| plošné užité na osu nosníku | 0,20         | x 1,50         | 0,30                               |
| příčka ve směru trámu       | 0,00         | x 1,35         | 0,00                               |
| vlastní váha nosníku        | 0,11         | x 1,35         | 0,14                               |
| kombinace pro MSP / MSÚ     | $q_k = 4,71$ |                | $q_d = 7,02$ [kN.m <sup>-1</sup> ] |

Příčka:

$g_k = 0,00$  kN/m<sup>2</sup>  
 $h = 0$  m

CELKOVÉ ZATÍŽENÍ STROPU -  $P_k / P_d$  - bodové

$P_k = 0,00$   $P_d = 0,00$  [kN]  $c = 0,00$  m  $n = 0\%$   
 $d = 0,74$  m

Reakce nosníku (max. smyková síla  $V_{z,Ed}$ ):

$$A = 1/2 * q_d * L + 1/L * P_d * d = 1/2 * 7,02 * 0,74 + 1/0,74 * 0,00$$

$$A = 2,60 \text{ kN} \quad (1,74)$$

$$B = 1/2 * q_d * L + 1/L * P_d * d = 1/2 * 7,02 * 0,74 + 1/0,74 * 0,00$$

$$B = 2,60 \text{ kN} \quad (1,74)$$

Maximální výpočtový moment

$$M_{y,Ed} = 1/8 * q_d * L^2 + 1/L * P_d * c * l = 1/8 * 7,02 * 0,74^2 + 1/0,74 * 0,00 * 0,00 * 0,74$$

$$M_{y,Ed} = 0,48 \text{ kN.m}$$

Posouzení MSÚ - momentová únosnost

$$f_{m,d} = k_{mod} * (f_{m,k} / \gamma_M) = 0,8 * (24 / 1,3)$$

$$\text{návrhová pevnost průřezu v ohybu} \quad f_{m,d} = 14,77 \text{ MPa}$$

$$\text{normálové napětí za ohybu} \quad \sigma_{m,d} = M_{y,Ed} / W_y = 480\,556 / 104\,167$$

$$\sigma_{m,d} = 4,61 \text{ MPa}$$

$$\sigma_{m,d} / f_{m,d} = 4,61 / 14,77 = 0,31 < 1,00 \quad \text{VYHOVUJE}$$

Posouzení MSÚ - smyková únosnost

$$f_{v,d} = k_{mod} * (f_{v,k} / \gamma_M) = 0,8 * (2,5 / 1,3)$$

$$\text{návrhová pevnost průřezu ve smyku} \quad f_{v,d} = 1,54 \text{ MPa}$$

$$k_{cr} = 0,67$$

$$\text{smyková plocha} \quad A_{v,z} = h * b_{ef} = h * b * k_{cr} = 25 * 1000 * 0,67$$

$$A_{v,z} = 16750 \text{ mm}^2$$

$$\text{smykové napětí} \quad \tau_{v,d} = (3 * V_{z,d}) / (2 * A_{v,z}) = (3 * 2\,597) / (2 * 16\,750)$$

$$\tau_{v,d} = 0,23 \text{ kN}$$

$$\tau_{v,d} / f_{v,d} = 0,23 / 1,54 = 0,15 < 1,00 \quad \text{VYHOVUJE}$$

Posouzení průřezu na průhyb (MSP):

$$q_{ref} = 1,00 \quad k_{def} = 0,60 \quad \psi_2 = 0,30$$

$$\text{jednotkový průhyb (prostý nosník, spojitě zat.)} \quad w_{ref} = (5 * q_{ref} * L^4) / (384 * E_{mean} * I_y)$$

$$w_{ref} = (5 * 1,00 * 740,25^4) / (384 * 11000 * 1302083)$$

$$w_{ref} = 0,3 \text{ mm}$$

okamžitý průhyb (prostý nosník, spojitě zat.)  $w_{inst} = q_{k,all} * w_{ref} = (4,71) * 0,27 = 1,3 \text{ mm}$

$$w_{inst} / (L / 300) = 1,3 / 2,5 = 0,52 < 1,00 \text{ } \mathbf{VYHOVUJE}$$

konečný průhyb (prostý nosník, spojitě zat.)  $w_{net,fin} = (g_{k,all} * (1 + k_{def}) + q_{k,all} * (1 + \psi_2 * k_{def})) * w_{ref}$

$$w_{net,fin} = (0,31 * 1,60 + 4,40 * 1,18) * 0,27 = 1,6 \text{ mm}$$

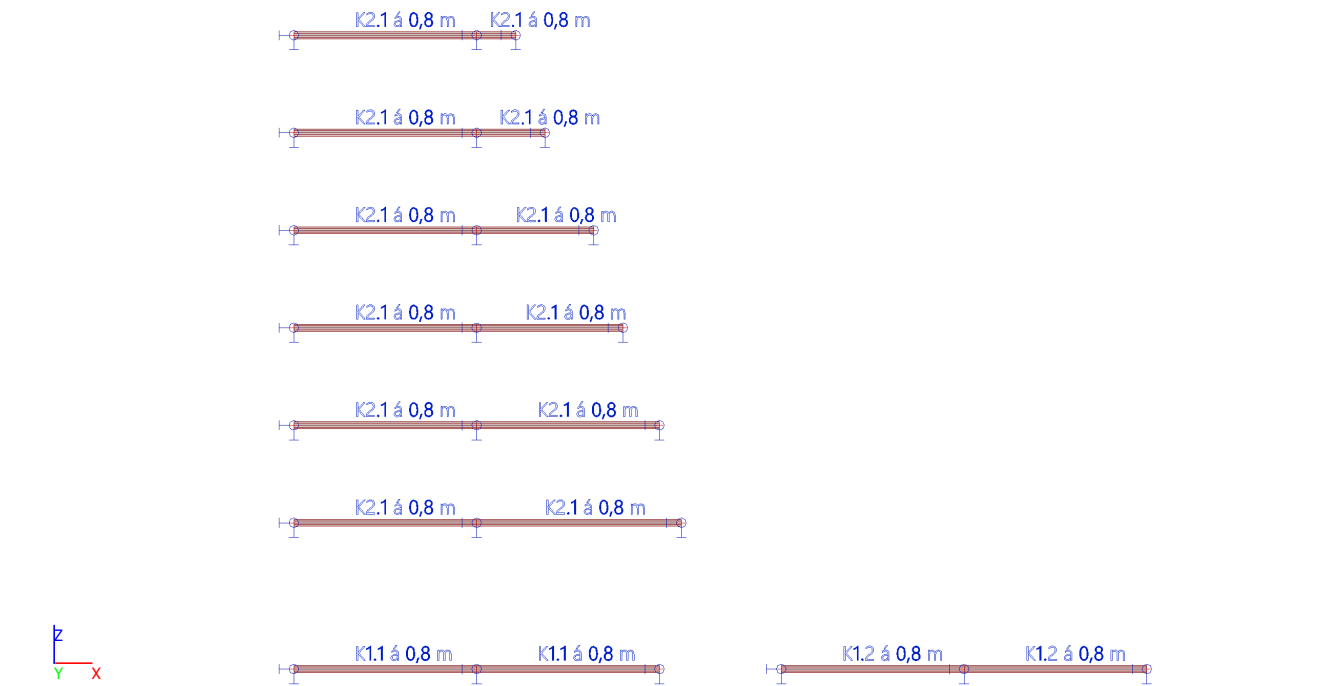
$$w_{net,fin} / (L / 250) = 1,6 / 3,0 = 0,52 < 1,00 \text{ } \mathbf{VYHOVUJE}$$

|                                 |     |                                     |
|---------------------------------|-----|-------------------------------------|
| Dřevěný trámy                   | Zk  | je vyhovující dle ČSN EN 1995-1-1   |
| Využití průřezu nosníku dle MSÚ | 31% | Využití průřezu nosníku dle MSP 52% |

1. Obsah

|                               |    |
|-------------------------------|----|
| 1. Obsah                      | 1  |
| 2. DATA                       | 1  |
| 2.1. Materiály                | 1  |
| 2.2. Průřezy                  | 1  |
| 2.3. Zatěžovací stavy         | 2  |
| 2.3.1. Zatěžovací stavy - ZS1 | 2  |
| 2.3.2. Zatěžovací stavy - ZS2 | 3  |
| 2.3.3. Zatěžovací stavy - ZS3 | 4  |
| 2.3.4. Zatěžovací stavy - ZS8 | 4  |
| 2.3.5. Zatěžovací stavy - ZS6 | 5  |
| 2.4. Kombinace                | 5  |
| 3. VÝSLEDKY                   | 6  |
| 3.1. 1D vnitřní síly          | 6  |
| 3.2. 3D přemístění            | 8  |
| 3.3. Reakce                   | 9  |
| 3.4. Reakce                   | 13 |
| 4. POSUDEK                    | 17 |
| 4.1. Posudek dřeva podle MSÚ  | 17 |
| 4.2. Posudek dřeva podle MSP  | 18 |

2. DATA



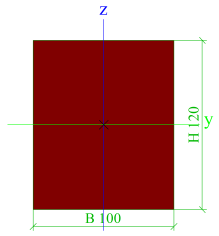
2.1. Materiály


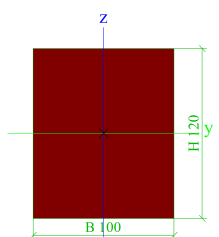
Timber EC5


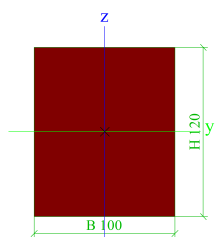
| Jméno        | Typ dřeva             | μ           | E <sub>mod</sub><br>[MPa] | f <sub>m,k</sub><br>[MPa] | f <sub>t,0,k</sub><br>[MPa] | f <sub>t,90,k</sub><br>[MPa] | f <sub>c,0,k</sub><br>[MPa] | f <sub>c,90,k</sub><br>[MPa] | f <sub>v,k</sub><br>[MPa] | Barva |
|--------------|-----------------------|-------------|---------------------------|---------------------------|-----------------------------|------------------------------|-----------------------------|------------------------------|---------------------------|-------|
|              | ρ<br>[kg/m³]          | α<br>[m/mK] | G <sub>mod</sub><br>[MPa] |                           |                             |                              |                             |                              |                           |       |
| C24 (EN 338) | Rostlé dřevo<br>420,0 | 0<br>0,00   | 1,1000e+04<br>6,9000e+02  | 24,0                      | 14,5                        | 0,4                          | 21,0                        | 2,5                          | 4,0                       |       |

2.2. Průřezy

| K1.1 á 0,8 m |              |  | Výroba                                       | dřevo      |            |
|--------------|--------------|--|--|------------|------------|
| Typ          | OBDEL        |  | Barva  |            |            |
| Detailní     | 100; 120     |  | A [m²]                                       | 1,2000e-02 |            |
| Typ tvaru    | Tlustostěnný |  | A <sub>y</sub> [m²], A <sub>z</sub> [m²]     | 1,0014e-02 | 1,0010e-02 |
| Materiál     | C24 (EN 338) |  | A <sub>L</sub> [m²/m], A <sub>D</sub> [m²/m] | 4,4000e-01 | 4,4000e-01 |

|  |   |            |
|--|---|------------|
| Cy,ucs [mm], Cz,ucs [mm]   | 50  | 60         |
| $\alpha$ [deg]   | 0,00  |            |
| I <sub>y</sub> [m <sup>4</sup> ], I <sub>z</sub> [m <sup>4</sup> ]       | 1,4400e-05  | 1,0000e-05 |
| i <sub>y</sub> [mm], i <sub>z</sub> [mm]                                 | 35  | 29         |
| W <sub>el,y</sub> [m <sup>3</sup> ], W <sub>el,z</sub> [m <sup>3</sup> ] | 2,4000e-04  | 2,0000e-04 |
| W <sub>pl,y</sub> [m <sup>3</sup> ], W <sub>pl,z</sub> [m <sup>3</sup> ] | 2,9408e-04  | 2,4507e-04 |
| M <sub>pl,y,+</sub> [Nm], M <sub>pl,y,-</sub> [Nm]                       | 6,18e+03  | 6,18e+03   |
| M <sub>pl,z,+</sub> [Nm], M <sub>pl,z,-</sub> [Nm]                       | 5,15e+03  | 5,15e+03   |
| d <sub>y</sub> [mm], d <sub>z</sub> [mm]                                 | 0   | 0          |
| I <sub>t</sub> [m <sup>4</sup> ], I <sub>w</sub> [m <sup>6</sup> ]       | 1,9904e-05  | 5,8982e-10 |
| $\beta_y$ [mm], $\beta_z$ [mm]   | 0   | 0          |
| Obrázek  |  |            |

|  |   |            |
|--|---|------------|
| <b>K1.2 á 0,8 m</b>  |   |            |
| Typ  | OBDEL   |            |
| Detailní   | 100; 120  |            |
| Typ tvaru  | Tlustostěnný  |            |
| Materiál   | C24 (EN 338)  |            |
| Výroba   | dřevo   |            |
| Barva  |    |            |
| A [m <sup>2</sup> ]  | 1,2000e-02  |            |
| A <sub>y</sub> [m <sup>2</sup> ], A <sub>z</sub> [m <sup>2</sup> ]       | 1,0014e-02  | 1,0010e-02 |
| A <sub>L</sub> [m <sup>2</sup> /m], A <sub>D</sub> [m <sup>2</sup> /m]   | 4,4000e-01  | 4,4000e-01 |
| Cy,ucs [mm], Cz,ucs [mm]   | 50  | 60         |
| $\alpha$ [deg]   | 0,00  |            |
| I <sub>y</sub> [m <sup>4</sup> ], I <sub>z</sub> [m <sup>4</sup> ]       | 1,4400e-05  | 1,0000e-05 |
| i <sub>y</sub> [mm], i <sub>z</sub> [mm]                                 | 35  | 29         |
| W <sub>el,y</sub> [m <sup>3</sup> ], W <sub>el,z</sub> [m <sup>3</sup> ] | 2,4000e-04  | 2,0000e-04 |
| W <sub>pl,y</sub> [m <sup>3</sup> ], W <sub>pl,z</sub> [m <sup>3</sup> ] | 2,9408e-04  | 2,4507e-04 |
| M <sub>pl,y,+</sub> [Nm], M <sub>pl,y,-</sub> [Nm]                       | 6,18e+03  | 6,18e+03   |
| M <sub>pl,z,+</sub> [Nm], M <sub>pl,z,-</sub> [Nm]                       | 5,15e+03  | 5,15e+03   |
| d <sub>y</sub> [mm], d <sub>z</sub> [mm]                                 | 0   | 0          |
| I <sub>t</sub> [m <sup>4</sup> ], I <sub>w</sub> [m <sup>6</sup> ]       | 1,9904e-05  | 5,8982e-10 |
| $\beta_y$ [mm], $\beta_z$ [mm]   | 0   | 0          |
| Obrázek  |  |            |

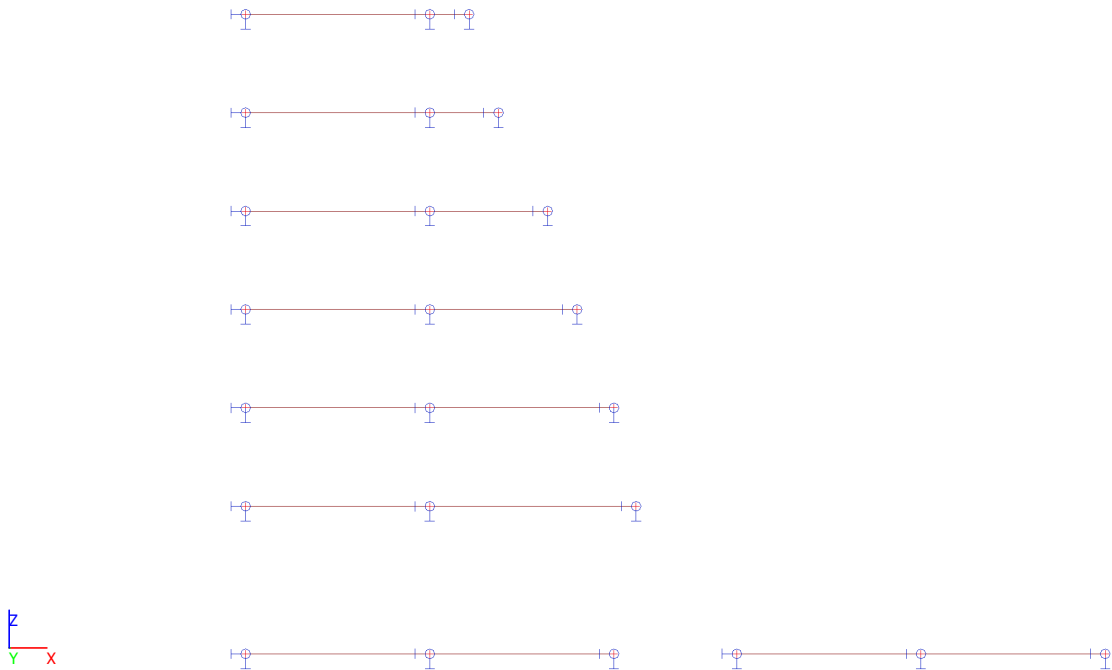
|  |   |            |
|--|---|------------|
| <b>K2.1 á 0,8 m</b>  |   |            |
| Typ  | OBDEL   |            |
| Detailní   | 100; 120  |            |
| Typ tvaru  | Tlustostěnný  |            |
| Materiál   | C24 (EN 338)  |            |
| Výroba   | dřevo   |            |
| Barva  |  |            |
| A [m <sup>2</sup> ]  | 1,2000e-02  |            |
| A <sub>y</sub> [m <sup>2</sup> ], A <sub>z</sub> [m <sup>2</sup> ]       | 1,0014e-02  | 1,0010e-02 |
| A <sub>L</sub> [m <sup>2</sup> /m], A <sub>D</sub> [m <sup>2</sup> /m]   | 4,4000e-01  | 4,4000e-01 |
| Cy,ucs [mm], Cz,ucs [mm]   | 50  | 60         |
| $\alpha$ [deg]   | 0,00  |            |
| I <sub>y</sub> [m <sup>4</sup> ], I <sub>z</sub> [m <sup>4</sup> ]       | 1,4400e-05  | 1,0000e-05 |
| i <sub>y</sub> [mm], i <sub>z</sub> [mm]                                 | 35  | 29         |
| W <sub>el,y</sub> [m <sup>3</sup> ], W <sub>el,z</sub> [m <sup>3</sup> ] | 2,4000e-04  | 2,0000e-04 |
| W <sub>pl,y</sub> [m <sup>3</sup> ], W <sub>pl,z</sub> [m <sup>3</sup> ] | 2,9408e-04  | 2,4507e-04 |
| M <sub>pl,y,+</sub> [Nm], M <sub>pl,y,-</sub> [Nm]                       | 6,18e+03  | 6,18e+03   |
| M <sub>pl,z,+</sub> [Nm], M <sub>pl,z,-</sub> [Nm]                       | 5,15e+03  | 5,15e+03   |
| d <sub>y</sub> [mm], d <sub>z</sub> [mm]                                 | 0   | 0          |
| I <sub>t</sub> [m <sup>4</sup> ], I <sub>w</sub> [m <sup>6</sup> ]       | 1,9904e-05  | 5,8982e-10 |
| $\beta_y$ [mm], $\beta_z$ [mm]   | 0   | 0          |
| Obrázek  |  |            |

## 2.3. Zatěžovací stavy

### 2.3.1. Zatěžovací stavy - ZS1

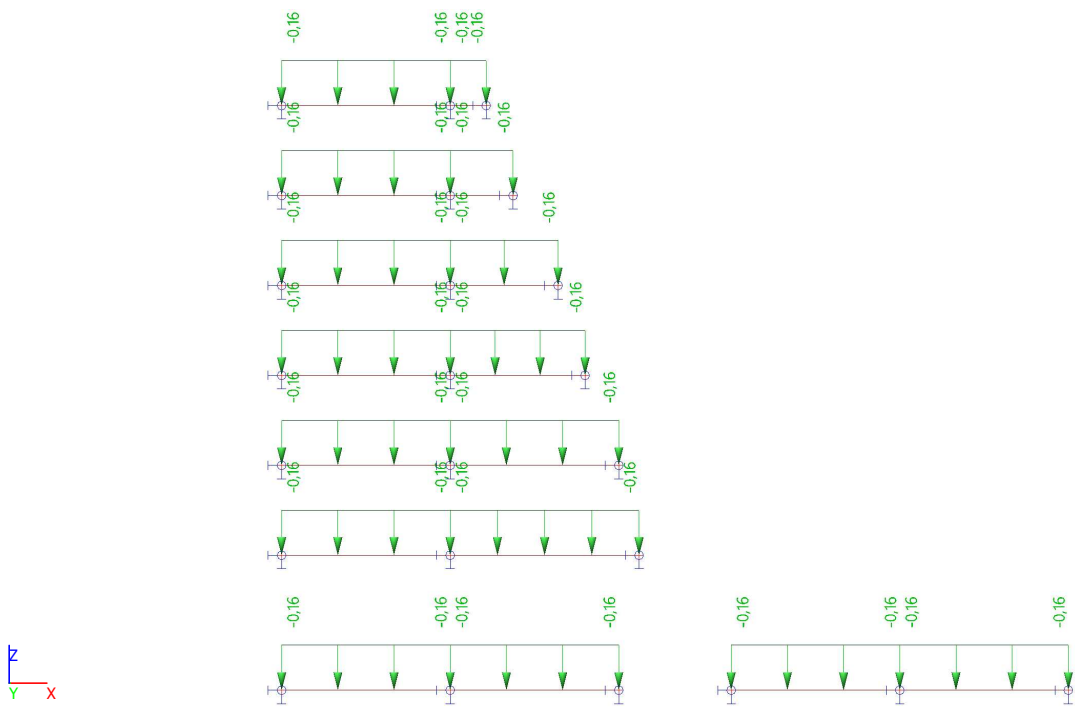
| Jméno | Popis        | Typ působení        | Skupina zatížení | Směr |
|-------|--------------|---------------------|------------------|------|
|       | <b>Spec</b>  | <b>Typ zatížení</b> |                  |      |
| ZS1   | Vlastní tíha | Stálé               | SZ1              | -Z   |
|       | Vlastní tíha |                     |                  |      |





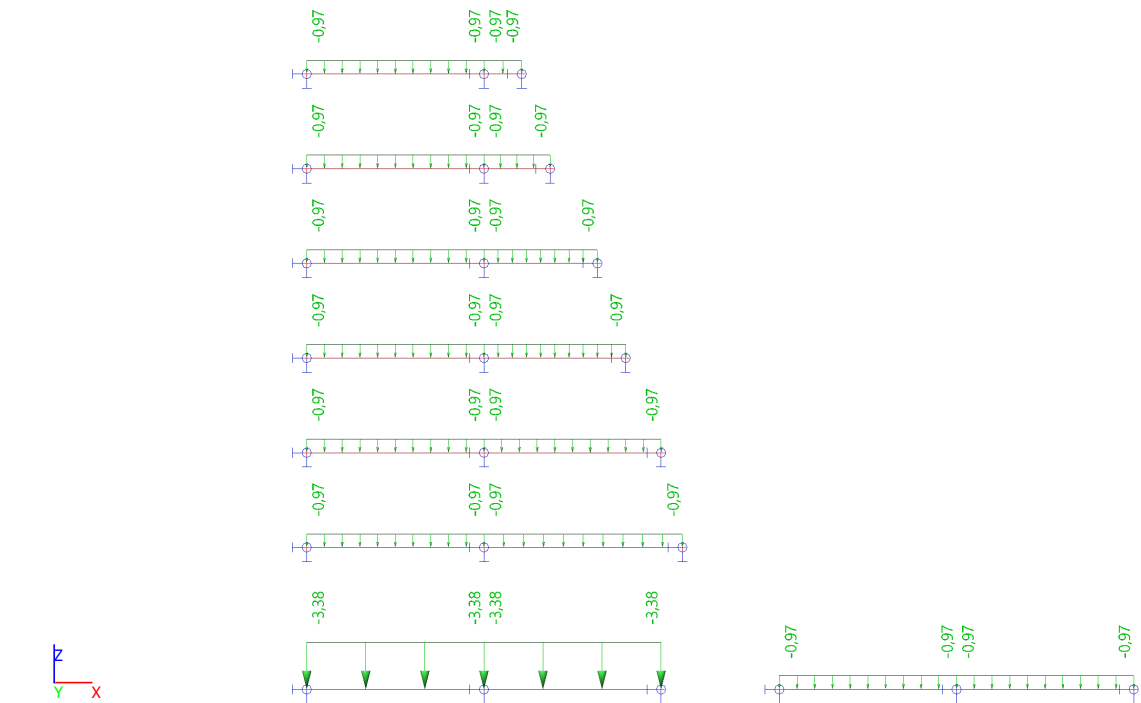
2.3.2. Zatěžovací stavy - ZS2

| Jméno | Popis          | Typ působení | Skupina zatížení |
|-------|----------------|--------------|------------------|
|       | Spec           | Typ zatížení |                  |
| ZS2   | stálé zatížení | Stálé        | SZ1              |
|       |                | Standard     |                  |



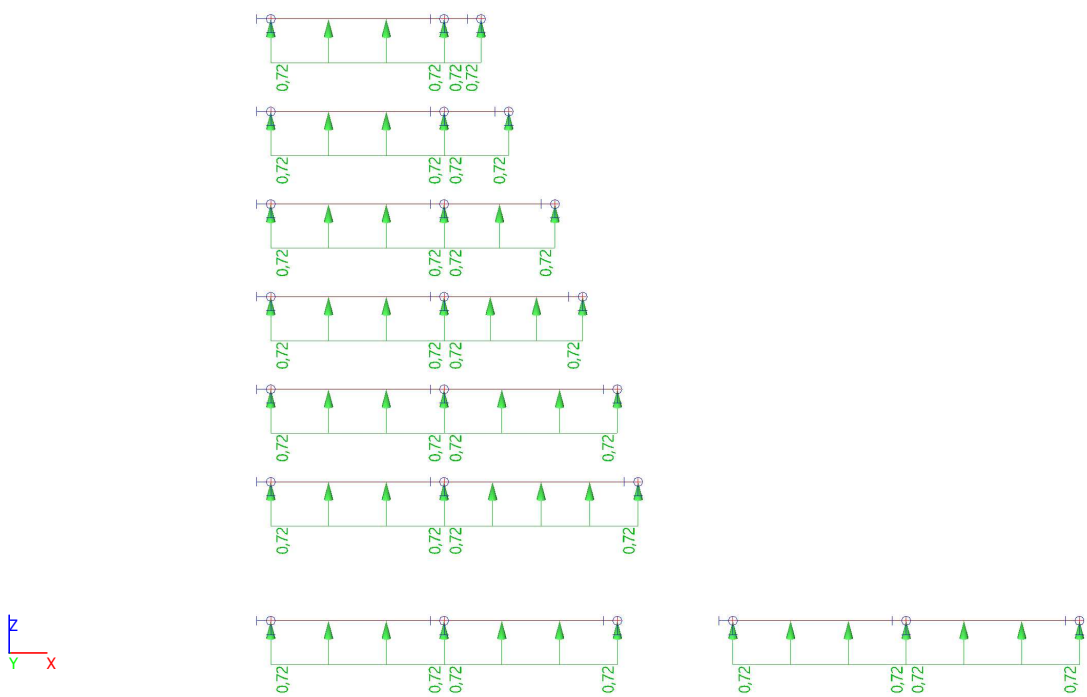
2.3.3. Zatěžovací stavy - ZS3

| Jméno | Popis    | Typ působení | Skupina zatížení | Působení   | Řídící zat. stav |
|-------|----------|--------------|------------------|------------|------------------|
|       | Spec     | Typ zatížení |                  |            |                  |
| ZS3   | sníh     | Proměnné     | sníh             | Krátkodobé | Žádný            |
|       | Standard | Statické     |                  |            |                  |



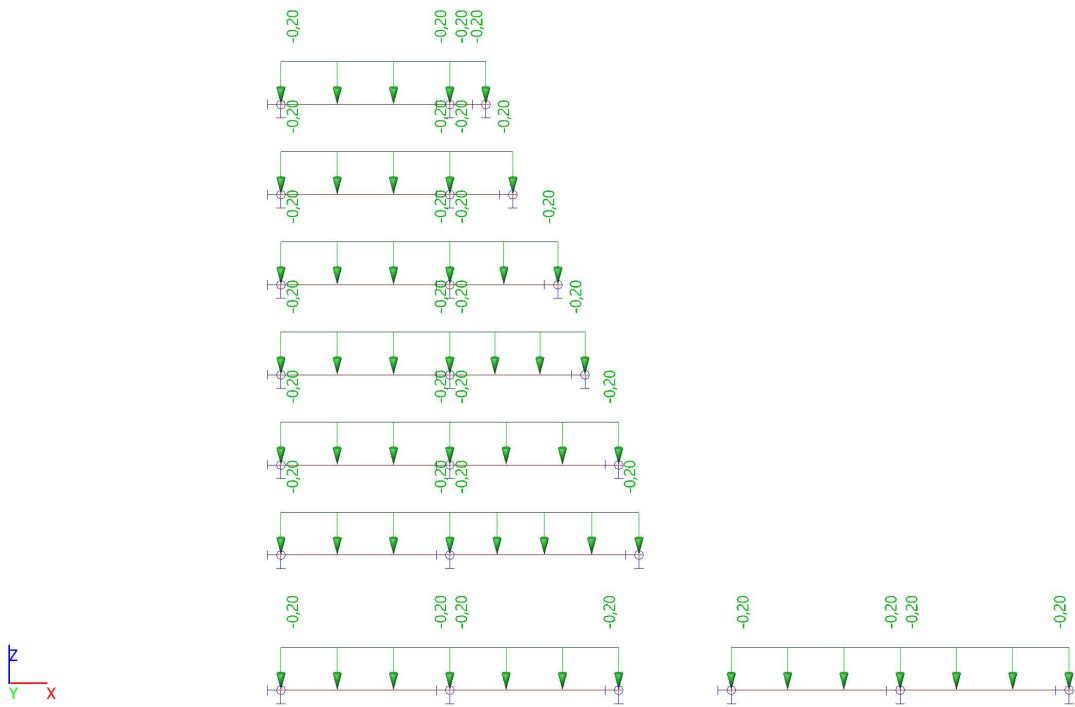
2.3.4. Zatěžovací stavy - ZS8

| Jméno | Popis    | Typ působení | Skupina zatížení | Působení   | Řídící zat. stav |
|-------|----------|--------------|------------------|------------|------------------|
|       | Spec     | Typ zatížení |                  |            |                  |
| ZS8   | vítr (-) | Proměnné     | vítr             | Krátkodobé | Žádný            |
|       | Standard | Statické     |                  |            |                  |



2.3.5. Zatěžovací stavy - ZS6

| Jméno | Popis    | Typ působení | Skupina zatížení | Působení   | Řídící zat. stav |
|-------|----------|--------------|------------------|------------|------------------|
|       | Spec     | Typ zatížení |                  |            |                  |
| ZS6   | vítr (+) | Proměnné     | vítr             | Krátkodobé | Žádný            |
|       | Standard | Statické     |                  |            |                  |



2.4. Kombinace

| Jméno             | Popis | Typ                     | Zatěžovací stavy   | Souč. [-] |
|-------------------|-------|-------------------------|--------------------|-----------|
| MSÚ-Sada B (auto) |       | EN-MSÚ (STR/GEO) Soubor | ZS1 - Vlastní tíha | 1,00      |

| Jméno           | Popis | Typ                     | Zatěžovací stavy     | Souč. [-] |
|-----------------|-------|-------------------------|----------------------|-----------|
|                 |       | B                       | ZS2 - stálé zatížení | 1,00      |
|                 |       |                         | ZS3 - sníh           | 1,00      |
|                 |       |                         | ZS6 - vítr (+)       | 1,00      |
|                 |       |                         | ZS8 - vítr (-)       | 1,00      |
| MSP-Char (auto) |       | EN-MSP charakteristická | ZS1 - Vlastní tíha   | 1,00      |
|                 |       |                         | ZS2 - stálé zatížení | 1,00      |
|                 |       |                         | ZS3 - sníh           | 1,00      |
|                 |       |                         | ZS6 - vítr (+)       | 1,00      |
|                 |       |                         | ZS8 - vítr (-)       | 1,00      |

### 3. VÝSLEDKY

#### 3.1. 1D vnitřní síly

Lineární výpočet  
Třída: Všechny MSU  
Souřadný systém: Dílec  
Extrém 1D: Průřez  
Výběr: Vše

| Jméno | dx [m] | Stav                | Průřez                          | N [kN]      | V <sub>y</sub> [kN] | V <sub>z</sub> [kN] | M <sub>x</sub> [kNm] | M <sub>y</sub> [kNm] | M <sub>z</sub> [kNm] |
|-------|--------|---------------------|---------------------------------|-------------|---------------------|---------------------|----------------------|----------------------|----------------------|
| B2    | 0,000  | MSÚ-Sada B (auto)/1 | K1.1 á 0,8 m - OBDEL (100; 120) | <b>0,00</b> | <b>0,78</b>         | 4,10                | <b>0,00</b>          | -3,06                | -0,59                |
| B2    | 0,000  | MSÚ-Sada B (auto)/2 | K1.1 á 0,8 m - OBDEL (100; 120) | 0,00        | -0,13               | <b>12,84</b>        | 0,00                 | -9,59                | 0,09                 |
| B1    | 3,750  | MSÚ-Sada B (auto)/2 | K1.1 á 0,8 m - OBDEL (100; 120) | 0,00        | 0,13                | <b>-12,84</b>       | 0,00                 | <b>-9,59</b>         | 0,09                 |
| B1    | 1,500  | MSÚ-Sada B (auto)/2 | K1.1 á 0,8 m - OBDEL (100; 120) | 0,00        | 0,00                | -0,50               | 0,00                 | <b>5,42</b>          | -0,06                |
| B1    | 3,750  | MSÚ-Sada B (auto)/1 | K1.1 á 0,8 m - OBDEL (100; 120) | 0,00        | <b>-0,78</b>        | -4,10               | 0,00                 | -3,06                | <b>-0,59</b>         |
| B1    | 1,500  | MSÚ-Sada B (auto)/3 | K1.1 á 0,8 m - OBDEL (100; 120) | 0,00        | -0,03               | 0,07                | 0,00                 | -0,81                | <b>0,33</b>          |
| B4    | 0,000  | MSÚ-Sada B (auto)/1 | K1.2 á 0,8 m - OBDEL (100; 120) | <b>0,00</b> | <b>0,78</b>         | -0,14               | <b>0,00</b>          | 0,10                 | -0,58                |
| B4    | 0,000  | MSÚ-Sada B (auto)/2 | K1.2 á 0,8 m - OBDEL (100; 120) | 0,00        | -0,13               | <b>4,37</b>         | 0,00                 | -3,27                | 0,10                 |
| B3    | 3,750  | MSÚ-Sada B (auto)/2 | K1.2 á 0,8 m - OBDEL (100; 120) | 0,00        | 0,13                | <b>-4,37</b>        | 0,00                 | <b>-3,27</b>         | 0,10                 |
| B3    | 1,500  | MSÚ-Sada B (auto)/2 | K1.2 á 0,8 m - OBDEL (100; 120) | 0,00        | 0,00                | -0,17               | 0,00                 | <b>1,84</b>          | -0,06                |
| B3    | 3,750  | MSÚ-Sada B (auto)/1 | K1.2 á 0,8 m - OBDEL (100; 120) | 0,00        | <b>-0,78</b>        | 0,14                | 0,00                 | 0,10                 | <b>-0,58</b>         |
| B3    | 1,500  | MSÚ-Sada B (auto)/3 | K1.2 á 0,8 m - OBDEL (100; 120) | 0,00        | -0,03               | 0,07                | 0,00                 | -0,81                | <b>0,33</b>          |
| B6    | 0,000  | MSÚ-Sada B (auto)/1 | K2.1 á 0,8 m - OBDEL (100; 120) | <b>0,00</b> | <b>0,86</b>         | -0,15               | <b>0,00</b>          | 0,12                 | -0,66                |
| B6    | 0,000  | MSÚ-Sada B (auto)/2 | K2.1 á 0,8 m - OBDEL (100; 120) | 0,00        | -0,14               | <b>4,81</b>         | 0,00                 | -3,71                | 0,11                 |
| B5    | 3,750  | MSÚ-Sada B (auto)/2 | K2.1 á 0,8 m - OBDEL (100; 120) | 0,00        | 0,13                | <b>-4,49</b>        | 0,00                 | <b>-3,71</b>         | 0,11                 |
| B6    | 2,625  | MSÚ-Sada B          | K2.1 á 0,8 m                    | 0,00        | 0,00                | -0,10               | 0,00                 | <b>2,47</b>          | -0,07                |

| Jméno | dx<br>[m] | Stav                   | Průřez                                | N<br>[kN] | V <sub>y</sub><br>[kN] | V <sub>z</sub><br>[kN] | M <sub>x</sub><br>[kNm] | M <sub>y</sub><br>[kNm] | M <sub>z</sub><br>[kNm] |
|-------|-----------|------------------------|---------------------------------------|-----------|------------------------|------------------------|-------------------------|-------------------------|-------------------------|
|       |           | (auto)/2               | - OBDEL<br>(100; 120)                 |           |                        |                        |                         |                         |                         |
| B5    | 3,750     | MSÚ-Sada B<br>(auto)/1 | K2.1 á 0,8 m<br>- OBDEL<br>(100; 120) | 0,00      | <b>-0,80</b>           | 0,14                   | 0,00                    | 0,12                    | <b>-0,66</b>            |
| B6    | 2,625     | MSÚ-Sada B<br>(auto)/3 | K2.1 á 0,8 m<br>- OBDEL<br>(100; 120) | 0,00      | -0,02                  | 0,04                   | 0,00                    | -1,08                   | <b>0,44</b>             |

| Jméno               | Klíč kombinace                            |
|---------------------|---|
| MSÚ-Sada B (auto)/1 | 1.15*ZS1 + 1.15*ZS2 + 0.75*ZS3 + 1.50*ZS8 |
| MSÚ-Sada B (auto)/2 | 1.15*ZS1 + 1.15*ZS2 + 1.50*ZS3 + 0.90*ZS6 |
| MSÚ-Sada B (auto)/3 | ZS1 + ZS2 + 1.50*ZS8                      |

Hodnoty: **V<sub>z</sub>**

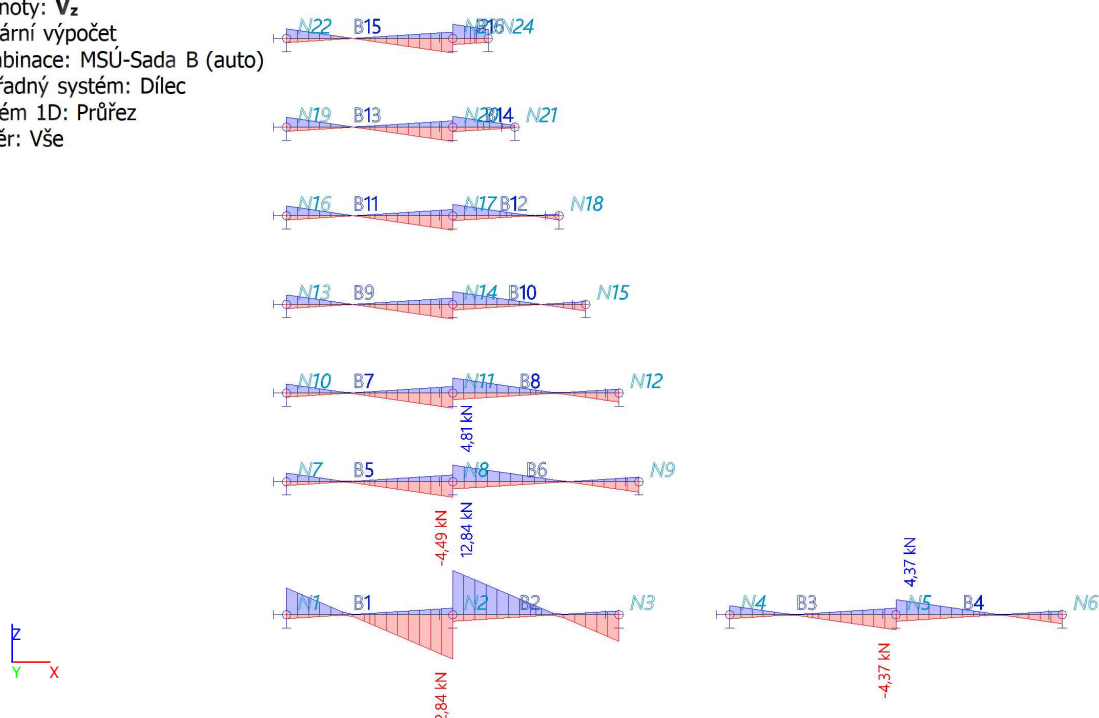
Lineární výpočet

Kombinace: MSÚ-Sada B (auto)

Souřadný systém: Dílec

Extrém 1D: Průřez

Výběr: Vše



Hodnoty:  $M_y$

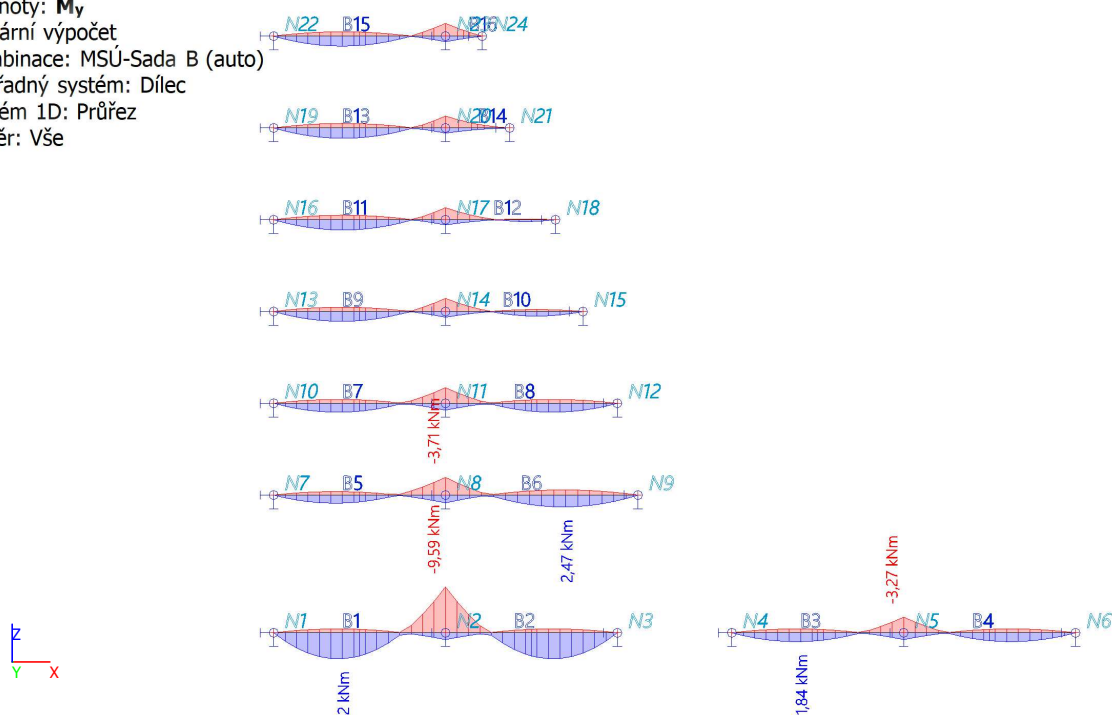
Lineární výpočet

Kombinace: MSÚ-Sada B (auto)

Souřadný systém: Dílec

Extrém 1D: Průřez

Výběr: Vše



## 3.2. 3D přemístění

Lineární výpočet

Třída: Všechny MSP

Výběr: Vše

Poloha: V uzlech s průměrováním na makro. Systém: LSS prvku sítě

**Výsledky na 1D dílci:**

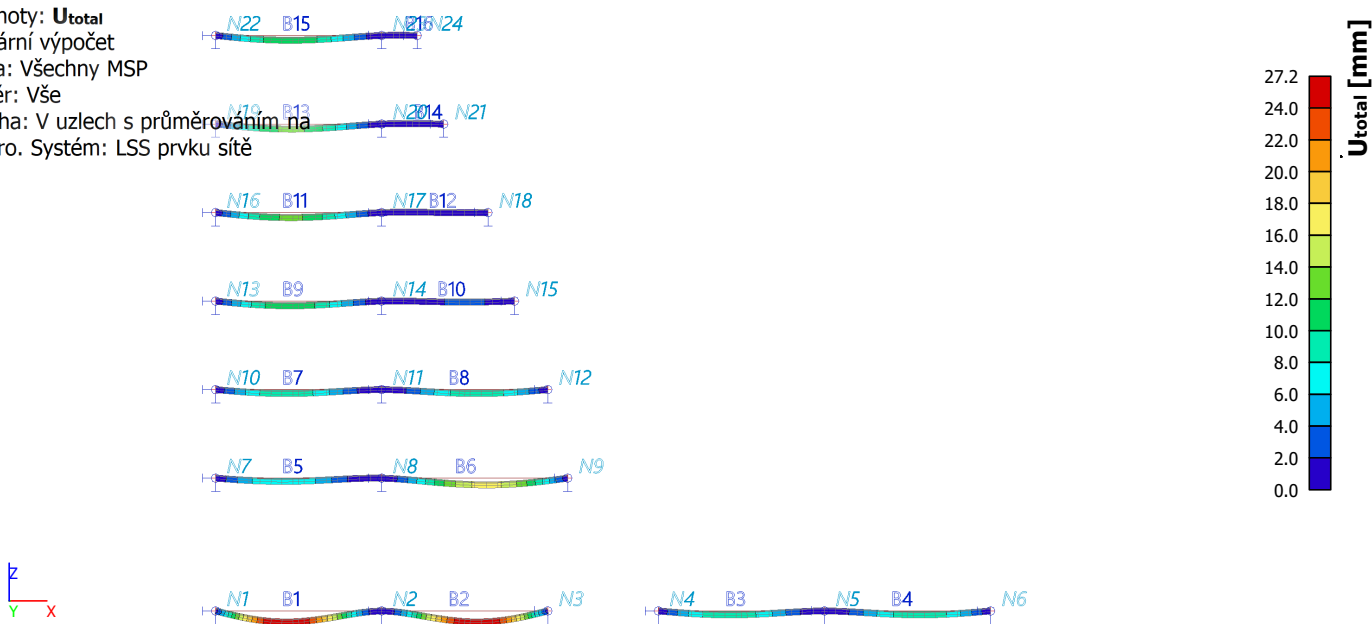
Extrém 1D: Dílec

| Jméno | dx [m] | Vlákno | Stav              | ux [mm] | uy [mm] | uz [mm] | φx [mrad] | φy [mrad] | φz [mrad] | Utotal [mm] |
|-------|--------|--------|-------------------|---------|---------|---------|-----------|-----------|-----------|-------------|
| B1    | 3,750  | 1      | MSP-Char (auto)/1 | 0,0     | 0,0     | 0,0     | 0,0       | 0,0       | 0,0       | <b>0,0</b>  |
| B1    | 1,500  | 3      | MSP-Char (auto)/2 | 0,2     | -11,1   | -24,8   | 0,0       | 2,1       | -0,9      | <b>27,2</b> |
| B2    | 0,000  | 1      | MSP-Char (auto)/1 | 0,0     | 0,0     | 0,0     | 0,0       | 0,0       | 0,0       | <b>0,0</b>  |
| B2    | 2,250  | 3      | MSP-Char (auto)/2 | -0,2    | -11,1   | -24,8   | 0,0       | -2,1      | 0,9       | <b>27,2</b> |
| B3    | 3,750  | 1      | MSP-Char (auto)/1 | 0,0     | 0,0     | 0,0     | 0,0       | 0,0       | 0,0       | <b>0,0</b>  |
| B3    | 1,500  | 3      | MSP-Char (auto)/2 | 0,1     | -3,6    | -8,7    | 0,0       | 0,7       | -0,3      | <b>9,5</b>  |
| B4    | 0,000  | 1      | MSP-Char (auto)/1 | 0,0     | 0,0     | 0,0     | 0,0       | 0,0       | 0,0       | <b>0,0</b>  |
| B4    | 2,250  | 3      | MSP-Char (auto)/2 | -0,1    | -3,6    | -8,7    | 0,0       | -0,7      | 0,3       | <b>9,5</b>  |
| B5    | 3,750  | 2      | MSP-Char (auto)/3 | 0,0     | 0,0     | 0,0     | 0,0       | -1,0      | -0,2      | <b>0,0</b>  |
| B5    | 1,500  | 3      | MSP-Char (auto)/2 | 0,0     | -3,0    | -7,3    | 0,0       | 0,1       | 0,0       | <b>7,9</b>  |
| B6    | 0,000  | 2      | MSP-Char (auto)/3 | 0,0     | 0,0     | 0,0     | 0,0       | -1,0      | -0,2      | <b>0,0</b>  |
| B6    | 2,363  | 3      | MSP-Char (auto)/2 | 0,0     | -6,4    | -15,4   | 0,0       | 0,0       | 0,0       | <b>16,7</b> |
| B7    | 3,750  | 1      | MSP-Char (auto)/1 | 0,0     | 0,0     | 0,0     | 0,0       | 0,0       | 0,0       | <b>0,0</b>  |
| B7    | 1,500  | 3      | MSP-Char (auto)/2 | 0,1     | -3,6    | -8,7    | 0,0       | 0,7       | -0,3      | <b>9,5</b>  |
| B8    | 0,000  | 1      | MSP-Char (auto)/1 | 0,0     | 0,0     | 0,0     | 0,0       | 0,0       | 0,0       | <b>0,0</b>  |
| B8    | 2,250  | 3      | MSP-Char          | -0,1    | -3,6    | -8,7    | 0,0       | -0,7      | 0,3       | <b>9,5</b>  |

| Jméno | dx [m] | Vlákn | Stav              | ux [mm] | uy [mm] | uz [mm] | φx [mrad] | φy [mrad] | φz [mrad] | Utotal [mm] |
|-------|--------|-------|-------------------|---------|---------|---------|-----------|-----------|-----------|-------------|
|       |        |       | (auto)/2          |         |         |         |           |           |           |             |
| B9    | 3,750  | 2     | MSP-Char (auto)/3 | 0,0     | 0,0     | 0,0     | 0,0       | 1,2       | 0,2       | 0,0         |
| B9    | 1,750  | 3     | MSP-Char (auto)/2 | -0,1    | -4,4    | -10,6   | 0,0       | -0,7      | 0,3       | 11,4        |
| B10   | 0,000  | 2     | MSP-Char (auto)/3 | 0,0     | 0,0     | 0,0     | 0,0       | 1,2       | 0,2       | 0,0         |
| B10   | 2,000  | 3     | MSP-Char (auto)/2 | 0,0     | -0,9    | -2,3    | 0,0       | -0,5      | 0,2       | 2,4         |
| B11   | 3,750  | 2     | MSP-Char (auto)/3 | 0,0     | 0,0     | 0,0     | 0,0       | 1,7       | 0,3       | 0,0         |
| B11   | 1,750  | 3     | MSP-Char (auto)/2 | 0,0     | -4,8    | -11,4   | 0,0       | -0,5      | 0,2       | 12,4        |
| B12   | 2,400  | 2     | MSP-Char (auto)/3 | 0,0     | 0,0     | 0,0     | 0,0       | 0,2       | 0,0       | 0,0         |
| B12   | 0,533  | 7     | MSP-Char (auto)/2 | 0,0     | 0,4     | 0,8     | 0,0       | -0,2      | 0,1       | 0,9         |
| B13   | 3,750  | 2     | MSP-Char (auto)/3 | 0,0     | 0,0     | 0,0     | 0,0       | 1,7       | 0,3       | 0,0         |
| B13   | 1,750  | 3     | MSP-Char (auto)/2 | 0,0     | -4,8    | -11,5   | 0,0       | -0,5      | 0,2       | 12,4        |
| B14   | 1,400  | 2     | MSP-Char (auto)/3 | 0,0     | 0,0     | 0,0     | 0,0       | -0,6      | -0,1      | 0,0         |
| B14   | 0,560  | 7     | MSP-Char (auto)/2 | 0,0     | 0,4     | 0,9     | 0,0       | -0,1      | 0,0       | 1,0         |
| B15   | 3,750  | 2     | MSP-Char (auto)/3 | 0,0     | 0,0     | 0,0     | 0,0       | 1,3       | 0,2       | 0,0         |
| B15   | 1,750  | 3     | MSP-Char (auto)/2 | -0,1    | -4,5    | -10,8   | 0,0       | -0,6      | 0,3       | 11,7        |
| B16   | 0,800  | 2     | MSP-Char (auto)/3 | 0,0     | 0,0     | 0,0     | 0,0       | -0,4      | -0,1      | 0,0         |
| B16   | 0,267  | 7     | MSP-Char (auto)/2 | 0,1     | 0,2     | 0,4     | 0,0       | -0,7      | 0,3       | 0,4         |

| Jméno             | Klíč kombinace             |
|-------------------|----------------------------|
| MSP-Char (auto)/1 | ZS1 + ZS2                  |
| MSP-Char (auto)/2 | ZS1 + ZS2 + ZS3 + 0.60*ZS6 |
| MSP-Char (auto)/3 | ZS1 + ZS2 + ZS8            |

Hodnoty: **U<sub>total</sub>**  
Lineární výpočet  
Třída: Všechny MSP  
Výběr: Vše  
Poloha: V uzlech s průměrováním na makro. Systém: LSS prvku sítě



3.3. Reakce

Lineární výpočet  
Třída: Všechny MSP  
Systém: Pootočené podpory  
Extrém: Dílec  
Výběr: Vše  
**Uzlové reakce**

| Jméno    | Stav                 | R <sub>x</sub><br>[kN] | R <sub>y</sub><br>[kN] | R <sub>z</sub><br>[kN] | M <sub>x</sub><br>[kNm] | M <sub>y</sub><br>[kNm] | M <sub>z</sub><br>[kNm] | e <sub>x</sub><br>[mm] | e <sub>y</sub><br>[mm] |
|----------|----------------------|------------------------|------------------------|------------------------|-------------------------|-------------------------|-------------------------|------------------------|------------------------|
| Sn30/N1  | MSP-Char<br>(auto)/1 | 0,00                   | <b>-0,09</b>           | 2,94                   | 0,00                    | 0,00                    | 0,00                    | 0,0                    | 0,0                    |
| Sn30/N1  | MSP-Char<br>(auto)/2 | 0,00                   | <b>0,31</b>            | <b>-0,67</b>           | 0,00                    | 0,00                    | 0,00                    | 0,0                    | 0,0                    |
| Sn30/N1  | MSP-Char<br>(auto)/3 | <b>0,00</b>            | -0,05                  | <b>5,22</b>            | <b>0,00</b>             | <b>0,00</b>             | <b>0,00</b>             | 0,0                    | 0,0                    |
| Sn31/N2  | MSP-Char<br>(auto)/4 | 0,00                   | <b>-0,29</b>           | 1,88                   | 0,00                    | 0,00                    | 0,00                    | 0,0                    | 0,0                    |
| Sn31/N2  | MSP-Char<br>(auto)/5 | <b>0,00</b>            | <b>1,04</b>            | 5,69                   | <b>0,00</b>             | <b>0,00</b>             | <b>0,00</b>             | 0,0                    | 0,0                    |
| Sn31/N2  | MSP-Char<br>(auto)/2 | 0,00                   | 1,04                   | <b>-2,22</b>           | 0,00                    | 0,00                    | 0,00                    | 0,0                    | 0,0                    |
| Sn31/N2  | MSP-Char<br>(auto)/3 | 0,00                   | -0,17                  | <b>17,35</b>           | 0,00                    | 0,00                    | 0,00                    | 0,0                    | 0,0                    |
| Sn32/N3  | MSP-Char<br>(auto)/1 | 0,00                   | <b>-0,09</b>           | 2,94                   | 0,00                    | 0,00                    | 0,00                    | 0,0                    | 0,0                    |
| Sn32/N3  | MSP-Char<br>(auto)/2 | 0,00                   | <b>0,31</b>            | <b>-0,67</b>           | 0,00                    | 0,00                    | 0,00                    | 0,0                    | 0,0                    |
| Sn32/N3  | MSP-Char<br>(auto)/3 | <b>0,00</b>            | -0,05                  | <b>5,22</b>            | <b>0,00</b>             | <b>0,00</b>             | <b>0,00</b>             | 0,0                    | 0,0                    |
| Sn33/N4  | MSP-Char<br>(auto)/1 | 0,00                   | <b>-0,09</b>           | 1,25                   | 0,00                    | 0,00                    | 0,00                    | 0,0                    | 0,0                    |
| Sn33/N4  | MSP-Char<br>(auto)/2 | 0,00                   | <b>0,31</b>            | <b>-0,67</b>           | 0,00                    | 0,00                    | 0,00                    | 0,0                    | 0,0                    |
| Sn33/N4  | MSP-Char<br>(auto)/3 | <b>0,00</b>            | -0,05                  | <b>1,82</b>            | <b>0,00</b>             | <b>0,00</b>             | <b>0,00</b>             | 0,0                    | 0,0                    |
| Sn34/N5  | MSP-Char<br>(auto)/4 | 0,00                   | <b>-0,29</b>           | 1,88                   | 0,00                    | 0,00                    | 0,00                    | 0,0                    | 0,0                    |
| Sn34/N5  | MSP-Char<br>(auto)/5 | <b>0,00</b>            | <b>1,04</b>            | 0,05                   | <b>0,00</b>             | <b>0,00</b>             | <b>0,00</b>             | 0,0                    | 0,0                    |
| Sn34/N5  | MSP-Char<br>(auto)/2 | 0,00                   | 1,04                   | <b>-2,22</b>           | 0,00                    | 0,00                    | 0,00                    | 0,0                    | 0,0                    |
| Sn34/N5  | MSP-Char<br>(auto)/3 | 0,00                   | -0,17                  | <b>6,06</b>            | 0,00                    | 0,00                    | 0,00                    | 0,0                    | 0,0                    |
| Sn35/N6  | MSP-Char<br>(auto)/1 | 0,00                   | <b>-0,09</b>           | 1,25                   | 0,00                    | 0,00                    | 0,00                    | 0,0                    | 0,0                    |
| Sn35/N6  | MSP-Char<br>(auto)/2 | 0,00                   | <b>0,31</b>            | <b>-0,67</b>           | 0,00                    | 0,00                    | 0,00                    | 0,0                    | 0,0                    |
| Sn35/N6  | MSP-Char<br>(auto)/3 | <b>0,00</b>            | -0,05                  | <b>1,82</b>            | <b>0,00</b>             | <b>0,00</b>             | <b>0,00</b>             | 0,0                    | 0,0                    |
| Sn36/N7  | MSP-Char<br>(auto)/1 | 0,00                   | <b>-0,08</b>           | 1,19                   | 0,00                    | 0,00                    | 0,00                    | 0,0                    | 0,0                    |
| Sn36/N7  | MSP-Char<br>(auto)/2 | 0,00                   | <b>0,30</b>            | <b>-0,64</b>           | 0,00                    | 0,00                    | 0,00                    | 0,0                    | 0,0                    |
| Sn36/N7  | MSP-Char<br>(auto)/3 | <b>0,00</b>            | -0,05                  | <b>1,74</b>            | <b>0,00</b>             | <b>0,00</b>             | <b>0,00</b>             | 0,0                    | 0,0                    |
| Sn37/N8  | MSP-Char<br>(auto)/4 | 0,00                   | <b>-0,31</b>           | 1,99                   | 0,00                    | 0,00                    | 0,00                    | 0,0                    | 0,0                    |
| Sn37/N8  | MSP-Char<br>(auto)/5 | <b>0,00</b>            | <b>1,11</b>            | 0,05                   | <b>0,00</b>             | <b>0,00</b>             | <b>0,00</b>             | 0,0                    | 0,0                    |
| Sn37/N8  | MSP-Char<br>(auto)/2 | 0,00                   | 1,11                   | <b>-2,36</b>           | 0,00                    | 0,00                    | 0,00                    | 0,0                    | 0,0                    |
| Sn37/N8  | MSP-Char<br>(auto)/3 | 0,00                   | -0,18                  | <b>6,44</b>            | 0,00                    | 0,00                    | 0,00                    | 0,0                    | 0,0                    |
| Sn38/N9  | MSP-Char<br>(auto)/1 | 0,00                   | <b>-0,10</b>           | 1,44                   | 0,00                    | 0,00                    | 0,00                    | 0,0                    | 0,0                    |
| Sn38/N9  | MSP-Char<br>(auto)/2 | 0,00                   | <b>0,36</b>            | <b>-0,77</b>           | 0,00                    | 0,00                    | 0,00                    | 0,0                    | 0,0                    |
| Sn38/N9  | MSP-Char<br>(auto)/3 | <b>0,00</b>            | -0,06                  | <b>2,11</b>            | <b>0,00</b>             | <b>0,00</b>             | <b>0,00</b>             | 0,0                    | 0,0                    |
| Sn39/N10 | MSP-Char<br>(auto)/1 | 0,00                   | <b>-0,09</b>           | 1,25                   | 0,00                    | 0,00                    | 0,00                    | 0,0                    | 0,0                    |

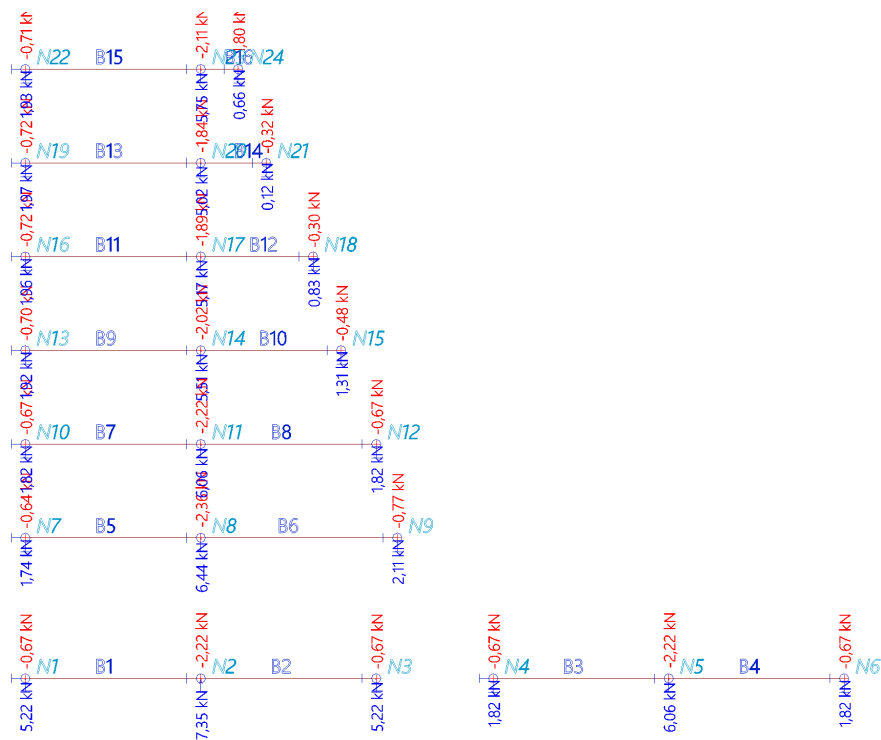


| Jméno    | Stav                 | R <sub>x</sub><br>[kN] | R <sub>y</sub><br>[kN] | R <sub>z</sub><br>[kN] | M <sub>x</sub><br>[kNm] | M <sub>y</sub><br>[kNm] | M <sub>z</sub><br>[kNm] | e <sub>x</sub><br>[mm] | e <sub>y</sub><br>[mm] |
|----------|----------------------|------------------------|------------------------|------------------------|-------------------------|-------------------------|-------------------------|------------------------|------------------------|
| Sn39/N10 | MSP-Char<br>(auto)/2 | 0,00                   | <b>0,31</b>            | <b>-0,67</b>           | 0,00                    | 0,00                    | 0,00                    | 0,0                    | 0,0                    |
| Sn39/N10 | MSP-Char<br>(auto)/3 | <b>0,00</b>            | -0,05                  | <b>1,82</b>            | <b>0,00</b>             | <b>0,00</b>             | <b>0,00</b>             | 0,0                    | 0,0                    |
| Sn40/N11 | MSP-Char<br>(auto)/4 | 0,00                   | <b>-0,29</b>           | 1,88                   | 0,00                    | 0,00                    | 0,00                    | 0,0                    | 0,0                    |
| Sn40/N11 | MSP-Char<br>(auto)/5 | <b>0,00</b>            | <b>1,04</b>            | 0,05                   | <b>0,00</b>             | <b>0,00</b>             | <b>0,00</b>             | 0,0                    | 0,0                    |
| Sn40/N11 | MSP-Char<br>(auto)/2 | 0,00                   | 1,04                   | <b>-2,22</b>           | 0,00                    | 0,00                    | 0,00                    | 0,0                    | 0,0                    |
| Sn40/N11 | MSP-Char<br>(auto)/3 | 0,00                   | -0,17                  | <b>6,06</b>            | 0,00                    | 0,00                    | 0,00                    | 0,0                    | 0,0                    |
| Sn41/N12 | MSP-Char<br>(auto)/1 | 0,00                   | <b>-0,09</b>           | 1,25                   | 0,00                    | 0,00                    | 0,00                    | 0,0                    | 0,0                    |
| Sn41/N12 | MSP-Char<br>(auto)/2 | 0,00                   | <b>0,31</b>            | <b>-0,67</b>           | 0,00                    | 0,00                    | 0,00                    | 0,0                    | 0,0                    |
| Sn41/N12 | MSP-Char<br>(auto)/3 | <b>0,00</b>            | -0,05                  | <b>1,82</b>            | <b>0,00</b>             | <b>0,00</b>             | <b>0,00</b>             | 0,0                    | 0,0                    |
| Sn42/N13 | MSP-Char<br>(auto)/1 | 0,00                   | <b>-0,09</b>           | 1,31                   | 0,00                    | 0,00                    | 0,00                    | 0,0                    | 0,0                    |
| Sn42/N13 | MSP-Char<br>(auto)/2 | 0,00                   | <b>0,33</b>            | <b>-0,70</b>           | 0,00                    | 0,00                    | 0,00                    | 0,0                    | 0,0                    |
| Sn42/N13 | MSP-Char<br>(auto)/3 | <b>0,00</b>            | -0,06                  | <b>1,92</b>            | <b>0,00</b>             | <b>0,00</b>             | <b>0,00</b>             | 0,0                    | 0,0                    |
| Sn43/N14 | MSP-Char<br>(auto)/4 | 0,00                   | <b>-0,26</b>           | 1,71                   | 0,00                    | 0,00                    | 0,00                    | 0,0                    | 0,0                    |
| Sn43/N14 | MSP-Char<br>(auto)/5 | <b>0,00</b>            | <b>0,95</b>            | 0,05                   | <b>0,00</b>             | <b>0,00</b>             | <b>0,00</b>             | 0,0                    | 0,0                    |
| Sn43/N14 | MSP-Char<br>(auto)/2 | 0,00                   | 0,95                   | <b>-2,02</b>           | 0,00                    | 0,00                    | 0,00                    | 0,0                    | 0,0                    |
| Sn43/N14 | MSP-Char<br>(auto)/3 | 0,00                   | -0,16                  | <b>5,51</b>            | 0,00                    | 0,00                    | 0,00                    | 0,0                    | 0,0                    |
| Sn44/N15 | MSP-Char<br>(auto)/1 | 0,00                   | <b>-0,06</b>           | 0,90                   | 0,00                    | 0,00                    | 0,00                    | 0,0                    | 0,0                    |
| Sn44/N15 | MSP-Char<br>(auto)/2 | 0,00                   | <b>0,22</b>            | <b>-0,48</b>           | 0,00                    | 0,00                    | 0,00                    | 0,0                    | 0,0                    |
| Sn44/N15 | MSP-Char<br>(auto)/3 | <b>0,00</b>            | -0,04                  | <b>1,31</b>            | <b>0,00</b>             | <b>0,00</b>             | <b>0,00</b>             | 0,0                    | 0,0                    |
| Sn45/N16 | MSP-Char<br>(auto)/1 | 0,00                   | <b>-0,09</b>           | 1,34                   | 0,00                    | 0,00                    | 0,00                    | 0,0                    | 0,0                    |
| Sn45/N16 | MSP-Char<br>(auto)/2 | 0,00                   | <b>0,34</b>            | <b>-0,72</b>           | 0,00                    | 0,00                    | 0,00                    | 0,0                    | 0,0                    |
| Sn45/N16 | MSP-Char<br>(auto)/3 | <b>0,00</b>            | -0,06                  | <b>1,96</b>            | <b>0,00</b>             | <b>0,00</b>             | <b>0,00</b>             | 0,0                    | 0,0                    |
| Sn46/N17 | MSP-Char<br>(auto)/4 | 0,00                   | <b>-0,25</b>           | 1,60                   | 0,00                    | 0,00                    | 0,00                    | 0,0                    | 0,0                    |
| Sn46/N17 | MSP-Char<br>(auto)/5 | <b>0,00</b>            | <b>0,89</b>            | 0,04                   | <b>0,00</b>             | <b>0,00</b>             | <b>0,00</b>             | 0,0                    | 0,0                    |
| Sn46/N17 | MSP-Char<br>(auto)/2 | 0,00                   | 0,89                   | <b>-1,89</b>           | 0,00                    | 0,00                    | 0,00                    | 0,0                    | 0,0                    |
| Sn46/N17 | MSP-Char<br>(auto)/3 | 0,00                   | -0,15                  | <b>5,17</b>            | 0,00                    | 0,00                    | 0,00                    | 0,0                    | 0,0                    |
| Sn47/N18 | MSP-Char<br>(auto)/1 | 0,00                   | <b>-0,04</b>           | 0,57                   | 0,00                    | 0,00                    | 0,00                    | 0,0                    | 0,0                    |
| Sn47/N18 | MSP-Char<br>(auto)/2 | 0,00                   | <b>0,14</b>            | <b>-0,30</b>           | 0,00                    | 0,00                    | 0,00                    | 0,0                    | 0,0                    |
| Sn47/N18 | MSP-Char<br>(auto)/3 | <b>0,00</b>            | -0,02                  | <b>0,83</b>            | <b>0,00</b>             | <b>0,00</b>             | <b>0,00</b>             | 0,0                    | 0,0                    |
| Sn48/N19 | MSP-Char<br>(auto)/1 | 0,00                   | <b>-0,09</b>           | 1,35                   | 0,00                    | 0,00                    | 0,00                    | 0,0                    | 0,0                    |
| Sn48/N19 | MSP-Char<br>(auto)/2 | 0,00                   | <b>0,34</b>            | <b>-0,72</b>           | 0,00                    | 0,00                    | 0,00                    | 0,0                    | 0,0                    |
| Sn48/N19 | MSP-Char<br>(auto)/3 | <b>0,00</b>            | -0,06                  | <b>1,97</b>            | <b>0,00</b>             | <b>0,00</b>             | <b>0,00</b>             | 0,0                    | 0,0                    |
| Sn49/N20 | MSP-Char<br>(auto)/4 | 0,00                   | <b>-0,24</b>           | 1,55                   | 0,00                    | 0,00                    | 0,00                    | 0,0                    | 0,0                    |
| Sn49/N20 | MSP-Char<br>(auto)/5 | <b>0,00</b>            | <b>0,86</b>            | 0,04                   | <b>0,00</b>             | <b>0,00</b>             | <b>0,00</b>             | 0,0                    | 0,0                    |

| Jméno    | Stav              | R <sub>x</sub><br>[kN] | R <sub>y</sub><br>[kN] | R <sub>z</sub><br>[kN] | M <sub>x</sub><br>[kNm] | M <sub>y</sub><br>[kNm] | M <sub>z</sub><br>[kNm] | e <sub>x</sub><br>[mm] | e <sub>y</sub><br>[mm] |
|----------|-------------------|------------------------|------------------------|------------------------|-------------------------|-------------------------|-------------------------|------------------------|------------------------|
| Sn49/N20 | MSP-Char (auto)/2 | 0,00                   | 0,86                   | <b>-1,84</b>           | 0,00                    | 0,00                    | 0,00                    | 0,0                    | 0,0                    |
| Sn49/N20 | MSP-Char (auto)/3 | 0,00                   | -0,14                  | <b>5,02</b>            | 0,00                    | 0,00                    | 0,00                    | 0,0                    | 0,0                    |
| Sn50/N21 | MSP-Char (auto)/5 | 0,00                   | <b>-0,06</b>           | 0,00                   | 0,00                    | 0,00                    | 0,00                    | 0,0                    | 0,0                    |
| Sn50/N21 | MSP-Char (auto)/4 | <b>0,00</b>            | <b>0,02</b>            | -0,10                  | <b>0,00</b>             | <b>0,00</b>             | <b>0,00</b>             | 0,0                    | 0,0                    |
| Sn50/N21 | MSP-Char (auto)/3 | 0,00                   | 0,01                   | <b>-0,32</b>           | 0,00                    | 0,00                    | 0,00                    | 0,0                    | 0,0                    |
| Sn50/N21 | MSP-Char (auto)/2 | 0,00                   | -0,06                  | <b>0,12</b>            | 0,00                    | 0,00                    | 0,00                    | 0,0                    | 0,0                    |
| Sn51/N22 | MSP-Char (auto)/1 | 0,00                   | <b>-0,09</b>           | 1,32                   | 0,00                    | 0,00                    | 0,00                    | 0,0                    | 0,0                    |
| Sn51/N22 | MSP-Char (auto)/2 | 0,00                   | <b>0,33</b>            | <b>-0,71</b>           | 0,00                    | 0,00                    | 0,00                    | 0,0                    | 0,0                    |
| Sn51/N22 | MSP-Char (auto)/3 | <b>0,00</b>            | -0,06                  | <b>1,93</b>            | <b>0,00</b>             | <b>0,00</b>             | <b>0,00</b>             | 0,0                    | 0,0                    |
| Sn52/N23 | MSP-Char (auto)/4 | 0,00                   | <b>-0,27</b>           | 1,78                   | 0,00                    | 0,00                    | 0,00                    | 0,0                    | 0,0                    |
| Sn52/N23 | MSP-Char (auto)/5 | <b>0,00</b>            | <b>0,99</b>            | 0,05                   | <b>0,00</b>             | <b>0,00</b>             | <b>0,00</b>             | 0,0                    | 0,0                    |
| Sn52/N23 | MSP-Char (auto)/2 | 0,00                   | 0,99                   | <b>-2,11</b>           | 0,00                    | 0,00                    | 0,00                    | 0,0                    | 0,0                    |
| Sn52/N23 | MSP-Char (auto)/3 | 0,00                   | -0,16                  | <b>5,75</b>            | 0,00                    | 0,00                    | 0,00                    | 0,0                    | 0,0                    |
| Sn53/N24 | MSP-Char (auto)/5 | 0,00                   | <b>-0,31</b>           | -0,02                  | 0,00                    | 0,00                    | 0,00                    | 0,0                    | 0,0                    |
| Sn53/N24 | MSP-Char (auto)/4 | <b>0,00</b>            | <b>0,08</b>            | -0,56                  | <b>0,00</b>             | <b>0,00</b>             | <b>0,00</b>             | 0,0                    | 0,0                    |
| Sn53/N24 | MSP-Char (auto)/3 | 0,00                   | 0,05                   | <b>-1,80</b>           | 0,00                    | 0,00                    | 0,00                    | 0,0                    | 0,0                    |
| Sn53/N24 | MSP-Char (auto)/2 | 0,00                   | -0,31                  | <b>0,66</b>            | 0,00                    | 0,00                    | 0,00                    | 0,0                    | 0,0                    |

| Jméno             | Klíč kombinace             |
|-------------------|----------------------------|
| MSP-Char (auto)/1 | ZS1 + ZS2 + 0.50*ZS3 + ZS6 |
| MSP-Char (auto)/2 | ZS1 + ZS2 + ZS8            |
| MSP-Char (auto)/3 | ZS1 + ZS2 + ZS3 + 0.60*ZS6 |
| MSP-Char (auto)/4 | ZS1 + ZS2 + ZS6            |
| MSP-Char (auto)/5 | ZS1 + ZS2 + 0.50*ZS3 + ZS8 |

Hodnoty:  $R_x$ ,  $R_z$   
Lineární výpočet  
Kombinace: MSP-Char (auto)  
Systém: Pootočené podpory  
Extrém: Dílec  
Výběr: Vše



### 3.4. Reakce

Lineární výpočet  
Třída: Všechny MSU  
Systém: Pootočené podpory  
Extrém: Dílec  
Výběr: Vše

#### Uzlové reakce

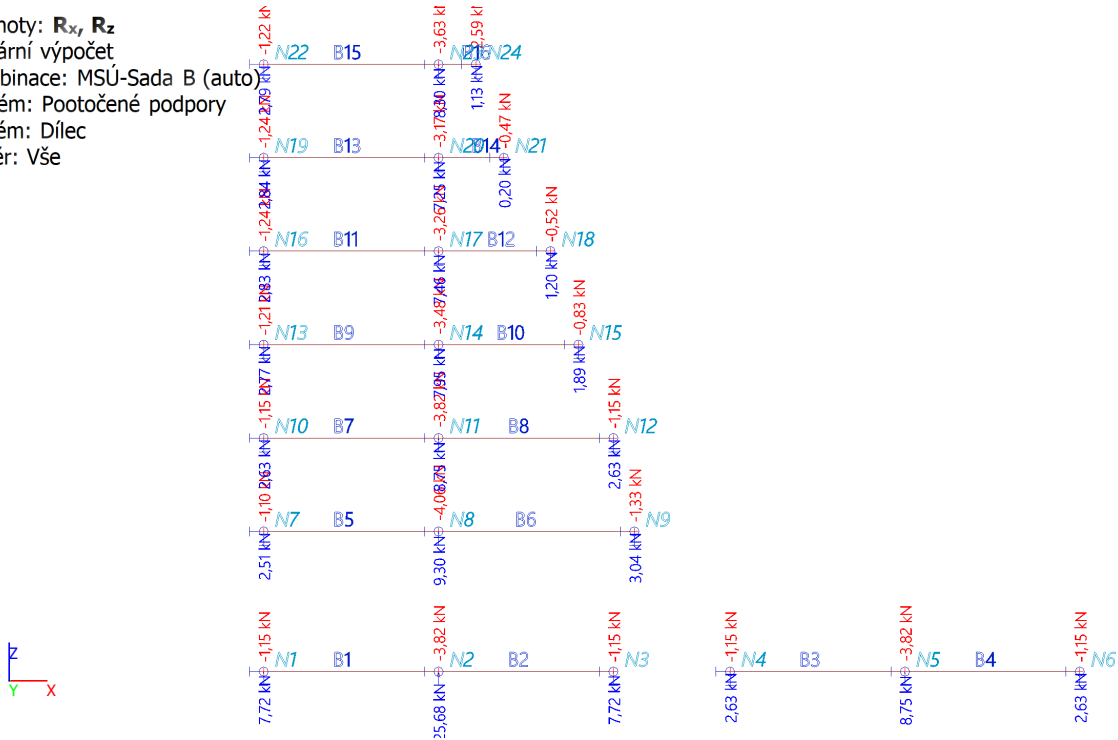
| Jméno   | Stav                | $R_x$<br>[kN] | $R_y$<br>[kN] | $R_z$<br>[kN] | $M_x$<br>[kNm] | $M_y$<br>[kNm] | $M_z$<br>[kNm] | $e_x$<br>[mm] | $e_y$<br>[mm] |
|---------|---------------------|---------------|---------------|---------------|----------------|----------------|----------------|---------------|---------------|
| Sn30/N1 | MSÚ-Sada B (auto)/1 | 0,00          | <b>-0,13</b>  | 4,31          | 0,00           | 0,00           | 0,00           | 0,0           | 0,0           |
| Sn30/N1 | MSÚ-Sada B (auto)/2 | 0,00          | <b>0,47</b>   | <b>-1,15</b>  | 0,00           | 0,00           | 0,00           | 0,0           | 0,0           |
| Sn30/N1 | MSÚ-Sada B (auto)/3 | <b>0,00</b>   | -0,08         | <b>7,72</b>   | <b>0,00</b>    | <b>0,00</b>    | <b>0,00</b>    | 0,0           | 0,0           |
| Sn31/N2 | MSÚ-Sada B (auto)/4 | 0,00          | <b>-0,43</b>  | 2,32          | 0,00           | 0,00           | 0,00           | 0,0           | 0,0           |
| Sn31/N2 | MSÚ-Sada B (auto)/5 | <b>0,00</b>   | <b>1,56</b>   | 8,19          | <b>0,00</b>    | <b>0,00</b>    | <b>0,00</b>    | 0,0           | 0,0           |
| Sn31/N2 | MSÚ-Sada B (auto)/2 | 0,00          | 1,56          | <b>-3,82</b>  | 0,00           | 0,00           | 0,00           | 0,0           | 0,0           |
| Sn31/N2 | MSÚ-Sada B (auto)/3 | 0,00          | -0,26         | <b>25,68</b>  | 0,00           | 0,00           | 0,00           | 0,0           | 0,0           |
| Sn32/N3 | MSÚ-Sada B (auto)/1 | 0,00          | <b>-0,13</b>  | 4,31          | 0,00           | 0,00           | 0,00           | 0,0           | 0,0           |
| Sn32/N3 | MSÚ-Sada B (auto)/2 | 0,00          | <b>0,47</b>   | <b>-1,15</b>  | 0,00           | 0,00           | 0,00           | 0,0           | 0,0           |
| Sn32/N3 | MSÚ-Sada B (auto)/3 | <b>0,00</b>   | -0,08         | <b>7,72</b>   | <b>0,00</b>    | <b>0,00</b>    | <b>0,00</b>    | 0,0           | 0,0           |
| Sn33/N4 | MSÚ-Sada B (auto)/1 | 0,00          | <b>-0,13</b>  | 1,77          | 0,00           | 0,00           | 0,00           | 0,0           | 0,0           |
| Sn33/N4 | MSÚ-Sada B (auto)/2 | 0,00          | <b>0,47</b>   | <b>-1,15</b>  | 0,00           | 0,00           | 0,00           | 0,0           | 0,0           |
| Sn33/N4 | MSÚ-Sada B (auto)/3 | <b>0,00</b>   | -0,08         | <b>2,63</b>   | <b>0,00</b>    | <b>0,00</b>    | <b>0,00</b>    | 0,0           | 0,0           |
| Sn34/N5 | MSÚ-Sada B (auto)/4 | 0,00          | <b>-0,43</b>  | 2,32          | 0,00           | 0,00           | 0,00           | 0,0           | 0,0           |
| Sn34/N5 | MSÚ-Sada B (auto)/5 | <b>0,00</b>   | <b>1,56</b>   | -0,27         | <b>0,00</b>    | <b>0,00</b>    | <b>0,00</b>    | 0,0           | 0,0           |
| Sn34/N5 | MSÚ-Sada B          | 0,00          | 1,56          | <b>-3,82</b>  | 0,00           | 0,00           | 0,00           | 0,0           | 0,0           |

| Jméno    | Stav                   | R <sub>x</sub><br>[kN] | R <sub>y</sub><br>[kN] | R <sub>z</sub><br>[kN] | M <sub>x</sub><br>[kNm] | M <sub>y</sub><br>[kNm] | M <sub>z</sub><br>[kNm] | e <sub>x</sub><br>[mm] | e <sub>y</sub><br>[mm] |
|----------|------------------------|------------------------|------------------------|------------------------|-------------------------|-------------------------|-------------------------|------------------------|------------------------|
|          | (auto)/2               |                        |                        |                        |                         |                         |                         |                        |                        |
| Sn34/N5  | MSÚ-Sada B<br>(auto)/3 | 0,00                   | -0,26                  | <b>8,75</b>            | 0,00                    | 0,00                    | 0,00                    | 0,0                    | 0,0                    |
| Sn35/N6  | MSÚ-Sada B<br>(auto)/1 | 0,00                   | <b>-0,13</b>           | 1,77                   | 0,00                    | 0,00                    | 0,00                    | 0,0                    | 0,0                    |
| Sn35/N6  | MSÚ-Sada B<br>(auto)/2 | 0,00                   | <b>0,47</b>            | <b>-1,15</b>           | 0,00                    | 0,00                    | 0,00                    | 0,0                    | 0,0                    |
| Sn35/N6  | MSÚ-Sada B<br>(auto)/3 | <b>0,00</b>            | -0,08                  | <b>2,63</b>            | <b>0,00</b>             | <b>0,00</b>             | <b>0,00</b>             | 0,0                    | 0,0                    |
| Sn36/N7  | MSÚ-Sada B<br>(auto)/1 | 0,00                   | <b>-0,12</b>           | 1,69                   | 0,00                    | 0,00                    | 0,00                    | 0,0                    | 0,0                    |
| Sn36/N7  | MSÚ-Sada B<br>(auto)/2 | 0,00                   | <b>0,45</b>            | <b>-1,10</b>           | 0,00                    | 0,00                    | 0,00                    | 0,0                    | 0,0                    |
| Sn36/N7  | MSÚ-Sada B<br>(auto)/3 | <b>0,00</b>            | -0,08                  | <b>2,51</b>            | <b>0,00</b>             | <b>0,00</b>             | <b>0,00</b>             | 0,0                    | 0,0                    |
| Sn37/N8  | MSÚ-Sada B<br>(auto)/4 | 0,00                   | <b>-0,46</b>           | 2,47                   | 0,00                    | 0,00                    | 0,00                    | 0,0                    | 0,0                    |
| Sn37/N8  | MSÚ-Sada B<br>(auto)/5 | <b>0,00</b>            | <b>1,66</b>            | -0,29                  | <b>0,00</b>             | <b>0,00</b>             | <b>0,00</b>             | 0,0                    | 0,0                    |
| Sn37/N8  | MSÚ-Sada B<br>(auto)/2 | 0,00                   | 1,66                   | <b>-4,06</b>           | 0,00                    | 0,00                    | 0,00                    | 0,0                    | 0,0                    |
| Sn37/N8  | MSÚ-Sada B<br>(auto)/3 | 0,00                   | -0,28                  | <b>9,30</b>            | 0,00                    | 0,00                    | 0,00                    | 0,0                    | 0,0                    |
| Sn38/N9  | MSÚ-Sada B<br>(auto)/1 | 0,00                   | <b>-0,15</b>           | 2,04                   | 0,00                    | 0,00                    | 0,00                    | 0,0                    | 0,0                    |
| Sn38/N9  | MSÚ-Sada B<br>(auto)/2 | 0,00                   | <b>0,54</b>            | <b>-1,33</b>           | 0,00                    | 0,00                    | 0,00                    | 0,0                    | 0,0                    |
| Sn38/N9  | MSÚ-Sada B<br>(auto)/3 | <b>0,00</b>            | -0,09                  | <b>3,04</b>            | <b>0,00</b>             | <b>0,00</b>             | <b>0,00</b>             | 0,0                    | 0,0                    |
| Sn39/N10 | MSÚ-Sada B<br>(auto)/1 | 0,00                   | <b>-0,13</b>           | 1,77                   | 0,00                    | 0,00                    | 0,00                    | 0,0                    | 0,0                    |
| Sn39/N10 | MSÚ-Sada B<br>(auto)/2 | 0,00                   | <b>0,47</b>            | <b>-1,15</b>           | 0,00                    | 0,00                    | 0,00                    | 0,0                    | 0,0                    |
| Sn39/N10 | MSÚ-Sada B<br>(auto)/3 | <b>0,00</b>            | -0,08                  | <b>2,63</b>            | <b>0,00</b>             | <b>0,00</b>             | <b>0,00</b>             | 0,0                    | 0,0                    |
| Sn40/N11 | MSÚ-Sada B<br>(auto)/4 | 0,00                   | <b>-0,43</b>           | 2,32                   | 0,00                    | 0,00                    | 0,00                    | 0,0                    | 0,0                    |
| Sn40/N11 | MSÚ-Sada B<br>(auto)/5 | <b>0,00</b>            | <b>1,56</b>            | -0,27                  | <b>0,00</b>             | <b>0,00</b>             | <b>0,00</b>             | 0,0                    | 0,0                    |
| Sn40/N11 | MSÚ-Sada B<br>(auto)/2 | 0,00                   | 1,56                   | <b>-3,82</b>           | 0,00                    | 0,00                    | 0,00                    | 0,0                    | 0,0                    |
| Sn40/N11 | MSÚ-Sada B<br>(auto)/3 | 0,00                   | -0,26                  | <b>8,75</b>            | 0,00                    | 0,00                    | 0,00                    | 0,0                    | 0,0                    |
| Sn41/N12 | MSÚ-Sada B<br>(auto)/1 | 0,00                   | <b>-0,13</b>           | 1,77                   | 0,00                    | 0,00                    | 0,00                    | 0,0                    | 0,0                    |
| Sn41/N12 | MSÚ-Sada B<br>(auto)/2 | 0,00                   | <b>0,47</b>            | <b>-1,15</b>           | 0,00                    | 0,00                    | 0,00                    | 0,0                    | 0,0                    |
| Sn41/N12 | MSÚ-Sada B<br>(auto)/3 | <b>0,00</b>            | -0,08                  | <b>2,63</b>            | <b>0,00</b>             | <b>0,00</b>             | <b>0,00</b>             | 0,0                    | 0,0                    |
| Sn42/N13 | MSÚ-Sada B<br>(auto)/1 | 0,00                   | <b>-0,14</b>           | 1,86                   | 0,00                    | 0,00                    | 0,00                    | 0,0                    | 0,0                    |
| Sn42/N13 | MSÚ-Sada B<br>(auto)/2 | 0,00                   | <b>0,50</b>            | <b>-1,21</b>           | 0,00                    | 0,00                    | 0,00                    | 0,0                    | 0,0                    |
| Sn42/N13 | MSÚ-Sada B<br>(auto)/3 | <b>0,00</b>            | -0,08                  | <b>2,77</b>            | <b>0,00</b>             | <b>0,00</b>             | <b>0,00</b>             | 0,0                    | 0,0                    |
| Sn43/N14 | MSÚ-Sada B<br>(auto)/4 | 0,00                   | <b>-0,39</b>           | 2,11                   | 0,00                    | 0,00                    | 0,00                    | 0,0                    | 0,0                    |
| Sn43/N14 | MSÚ-Sada B<br>(auto)/5 | <b>0,00</b>            | <b>1,42</b>            | -0,25                  | <b>0,00</b>             | <b>0,00</b>             | <b>0,00</b>             | 0,0                    | 0,0                    |
| Sn43/N14 | MSÚ-Sada B<br>(auto)/2 | 0,00                   | 1,42                   | <b>-3,48</b>           | 0,00                    | 0,00                    | 0,00                    | 0,0                    | 0,0                    |
| Sn43/N14 | MSÚ-Sada B<br>(auto)/3 | 0,00                   | -0,24                  | <b>7,95</b>            | 0,00                    | 0,00                    | 0,00                    | 0,0                    | 0,0                    |
| Sn44/N15 | MSÚ-Sada B<br>(auto)/1 | 0,00                   | <b>-0,09</b>           | 1,27                   | 0,00                    | 0,00                    | 0,00                    | 0,0                    | 0,0                    |
| Sn44/N15 | MSÚ-Sada B<br>(auto)/2 | 0,00                   | <b>0,34</b>            | <b>-0,83</b>           | 0,00                    | 0,00                    | 0,00                    | 0,0                    | 0,0                    |
| Sn44/N15 | MSÚ-Sada B             | <b>0,00</b>            | -0,06                  | <b>1,89</b>            | <b>0,00</b>             | <b>0,00</b>             | <b>0,00</b>             | 0,0                    | 0,0                    |

| Jméno    | Stav                   | R <sub>x</sub><br>[kN] | R <sub>y</sub><br>[kN] | R <sub>z</sub><br>[kN] | M <sub>x</sub><br>[kNm] | M <sub>y</sub><br>[kNm] | M <sub>z</sub><br>[kNm] | e <sub>x</sub><br>[mm] | e <sub>y</sub><br>[mm] |
|----------|------------------------|------------------------|------------------------|------------------------|-------------------------|-------------------------|-------------------------|------------------------|------------------------|
|          | (auto)/3               |                        |                        |                        |                         |                         |                         |                        |                        |
| Sn45/N16 | MSÚ-Sada B<br>(auto)/1 | 0,00                   | <b>-0,14</b>           | 1,90                   | 0,00                    | 0,00                    | 0,00                    | 0,0                    | 0,0                    |
| Sn45/N16 | MSÚ-Sada B<br>(auto)/2 | 0,00                   | <b>0,51</b>            | <b>-1,24</b>           | 0,00                    | 0,00                    | 0,00                    | 0,0                    | 0,0                    |
| Sn45/N16 | MSÚ-Sada B<br>(auto)/3 | <b>0,00</b>            | -0,08                  | <b>2,83</b>            | <b>0,00</b>             | <b>0,00</b>             | <b>0,00</b>             | 0,0                    | 0,0                    |
| Sn46/N17 | MSÚ-Sada B<br>(auto)/4 | 0,00                   | <b>-0,37</b>           | 1,98                   | 0,00                    | 0,00                    | 0,00                    | 0,0                    | 0,0                    |
| Sn46/N17 | MSÚ-Sada B<br>(auto)/5 | <b>0,00</b>            | <b>1,33</b>            | -0,23                  | <b>0,00</b>             | <b>0,00</b>             | <b>0,00</b>             | 0,0                    | 0,0                    |
| Sn46/N17 | MSÚ-Sada B<br>(auto)/2 | 0,00                   | 1,33                   | <b>-3,26</b>           | 0,00                    | 0,00                    | 0,00                    | 0,0                    | 0,0                    |
| Sn46/N17 | MSÚ-Sada B<br>(auto)/3 | 0,00                   | -0,22                  | <b>7,46</b>            | 0,00                    | 0,00                    | 0,00                    | 0,0                    | 0,0                    |
| Sn47/N18 | MSÚ-Sada B<br>(auto)/1 | 0,00                   | <b>-0,06</b>           | 0,80                   | 0,00                    | 0,00                    | 0,00                    | 0,0                    | 0,0                    |
| Sn47/N18 | MSÚ-Sada B<br>(auto)/2 | 0,00                   | <b>0,21</b>            | <b>-0,52</b>           | 0,00                    | 0,00                    | 0,00                    | 0,0                    | 0,0                    |
| Sn47/N18 | MSÚ-Sada B<br>(auto)/3 | <b>0,00</b>            | -0,04                  | <b>1,20</b>            | <b>0,00</b>             | <b>0,00</b>             | <b>0,00</b>             | 0,0                    | 0,0                    |
| Sn48/N19 | MSÚ-Sada B<br>(auto)/1 | 0,00                   | <b>-0,14</b>           | 1,91                   | 0,00                    | 0,00                    | 0,00                    | 0,0                    | 0,0                    |
| Sn48/N19 | MSÚ-Sada B<br>(auto)/2 | 0,00                   | <b>0,51</b>            | <b>-1,24</b>           | 0,00                    | 0,00                    | 0,00                    | 0,0                    | 0,0                    |
| Sn48/N19 | MSÚ-Sada B<br>(auto)/3 | <b>0,00</b>            | -0,09                  | <b>2,84</b>            | <b>0,00</b>             | <b>0,00</b>             | <b>0,00</b>             | 0,0                    | 0,0                    |
| Sn49/N20 | MSÚ-Sada B<br>(auto)/4 | 0,00                   | <b>-0,36</b>           | 1,92                   | 0,00                    | 0,00                    | 0,00                    | 0,0                    | 0,0                    |
| Sn49/N20 | MSÚ-Sada B<br>(auto)/5 | <b>0,00</b>            | <b>1,30</b>            | -0,23                  | <b>0,00</b>             | <b>0,00</b>             | <b>0,00</b>             | 0,0                    | 0,0                    |
| Sn49/N20 | MSÚ-Sada B<br>(auto)/2 | 0,00                   | 1,29                   | <b>-3,17</b>           | 0,00                    | 0,00                    | 0,00                    | 0,0                    | 0,0                    |
| Sn49/N20 | MSÚ-Sada B<br>(auto)/3 | 0,00                   | -0,21                  | <b>7,25</b>            | 0,00                    | 0,00                    | 0,00                    | 0,0                    | 0,0                    |
| Sn50/N21 | MSÚ-Sada B<br>(auto)/5 | 0,00                   | <b>-0,08</b>           | 0,01                   | 0,00                    | 0,00                    | 0,00                    | 0,0                    | 0,0                    |
| Sn50/N21 | MSÚ-Sada B<br>(auto)/4 | <b>0,00</b>            | <b>0,02</b>            | -0,12                  | <b>0,00</b>             | <b>0,00</b>             | <b>0,00</b>             | 0,0                    | 0,0                    |
| Sn50/N21 | MSÚ-Sada B<br>(auto)/3 | 0,00                   | 0,01                   | <b>-0,47</b>           | 0,00                    | 0,00                    | 0,00                    | 0,0                    | 0,0                    |
| Sn50/N21 | MSÚ-Sada B<br>(auto)/2 | 0,00                   | -0,08                  | <b>0,20</b>            | 0,00                    | 0,00                    | 0,00                    | 0,0                    | 0,0                    |
| Sn51/N22 | MSÚ-Sada B<br>(auto)/1 | 0,00                   | <b>-0,14</b>           | 1,87                   | 0,00                    | 0,00                    | 0,00                    | 0,0                    | 0,0                    |
| Sn51/N22 | MSÚ-Sada B<br>(auto)/2 | 0,00                   | <b>0,50</b>            | <b>-1,22</b>           | 0,00                    | 0,00                    | 0,00                    | 0,0                    | 0,0                    |
| Sn51/N22 | MSÚ-Sada B<br>(auto)/3 | <b>0,00</b>            | -0,08                  | <b>2,79</b>            | <b>0,00</b>             | <b>0,00</b>             | <b>0,00</b>             | 0,0                    | 0,0                    |
| Sn52/N23 | MSÚ-Sada B<br>(auto)/4 | 0,00                   | <b>-0,41</b>           | 2,20                   | 0,00                    | 0,00                    | 0,00                    | 0,0                    | 0,0                    |
| Sn52/N23 | MSÚ-Sada B<br>(auto)/5 | <b>0,00</b>            | <b>1,49</b>            | -0,26                  | <b>0,00</b>             | <b>0,00</b>             | <b>0,00</b>             | 0,0                    | 0,0                    |
| Sn52/N23 | MSÚ-Sada B<br>(auto)/2 | 0,00                   | 1,48                   | <b>-3,63</b>           | 0,00                    | 0,00                    | 0,00                    | 0,0                    | 0,0                    |
| Sn52/N23 | MSÚ-Sada B<br>(auto)/3 | 0,00                   | -0,24                  | <b>8,30</b>            | 0,00                    | 0,00                    | 0,00                    | 0,0                    | 0,0                    |
| Sn53/N24 | MSÚ-Sada B<br>(auto)/5 | 0,00                   | <b>-0,47</b>           | 0,08                   | 0,00                    | 0,00                    | 0,00                    | 0,0                    | 0,0                    |
| Sn53/N24 | MSÚ-Sada B<br>(auto)/4 | <b>0,00</b>            | <b>0,13</b>            | -0,69                  | <b>0,00</b>             | <b>0,00</b>             | <b>0,00</b>             | 0,0                    | 0,0                    |
| Sn53/N24 | MSÚ-Sada B<br>(auto)/3 | 0,00                   | 0,07                   | <b>-2,59</b>           | 0,00                    | 0,00                    | 0,00                    | 0,0                    | 0,0                    |
| Sn53/N24 | MSÚ-Sada B<br>(auto)/2 | 0,00                   | -0,46                  | <b>1,13</b>            | 0,00                    | 0,00                    | 0,00                    | 0,0                    | 0,0                    |

| Jméno               | Klíč kombinace                            |
|---------------------|---|
| MSÚ-Sada B (auto)/1 | 1.15*ZS1 + 1.15*ZS2 + 0.75*ZS3 + 1.50*ZS6 |
| MSÚ-Sada B (auto)/2 | ZS1 + ZS2 + 1.50*ZS8                      |
| MSÚ-Sada B (auto)/3 | 1.15*ZS1 + 1.15*ZS2 + 1.50*ZS3 + 0.90*ZS6 |
| MSÚ-Sada B (auto)/4 | ZS1 + ZS2 + 1.50*ZS6                      |
| MSÚ-Sada B (auto)/5 | 1.15*ZS1 + 1.15*ZS2 + 0.75*ZS3 + 1.50*ZS8 |

Hodnoty: **R<sub>x</sub>**, **R<sub>z</sub>**  
Lineární výpočet  
Kombinace: MSÚ-Sada B (auto)  
Systém: Pootočené podpory  
Extrém: Dílec  
Výběr: Vše



## 4. POSUDEK

### 4.1. Posudek dřeva podle MSÚ

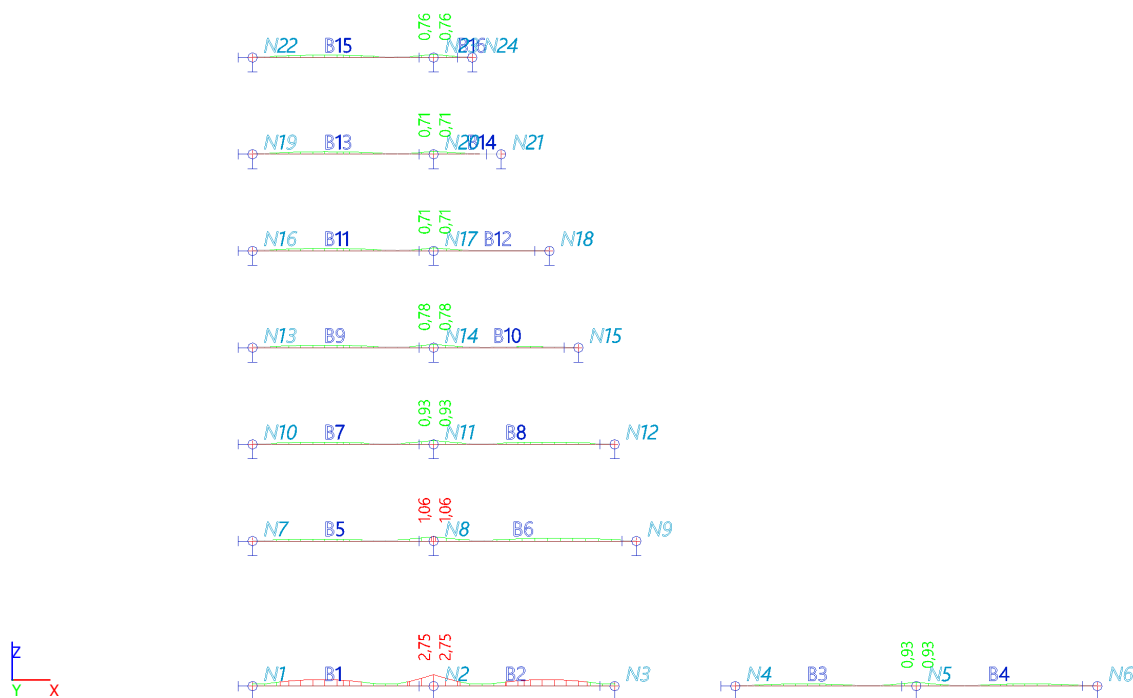
Lineární výpočet, Extrém : Dílec

Výběr : Vše

Třída : Všechny MSU

Posudek dřeva podle MSÚ

| Nosník | Průřez                  | Materiál     | dx<br>[m] | Zatěžovací stav | Jedn. posudek<br>[-] | Posudek v řezu<br>[-] | Posudek stability<br>[-] | CH/V/P |
|--------|-------------------------|--------------|-----------|-----------------|----------------------|-----------------------|--------------------------|--------|
| B1     | K1.1 á 0,8 m -<br>OBDEL | C24 (EN 338) | 3,750     | Všechny MSU/1   | <b>2,75</b>          | 2,75                  | 2,19                     | -      |
| B2     | K1.1 á 0,8 m -<br>OBDEL | C24 (EN 338) | 0,000     | Všechny MSU/1   | <b>2,75</b>          | 2,75                  | 2,19                     | -      |
| B3     | K1.2 á 0,8 m -<br>OBDEL | C24 (EN 338) | 3,750     | Všechny MSU/1   | <b>0,93</b>          | 0,93                  | 0,75                     | -      |
| B4     | K1.2 á 0,8 m -<br>OBDEL | C24 (EN 338) | 0,000     | Všechny MSU/1   | <b>0,93</b>          | 0,93                  | 0,75                     | -      |
| B5     | K2.1 á 0,8 m -<br>OBDEL | C24 (EN 338) | 3,750     | Všechny MSU/1   | <b>1,06</b>          | 1,06                  | 0,85                     | -      |
| B6     | K2.1 á 0,8 m -<br>OBDEL | C24 (EN 338) | 0,000     | Všechny MSU/1   | <b>1,06</b>          | 1,06                  | 0,85                     | -      |
| B7     | K2.1 á 0,8 m -<br>OBDEL | C24 (EN 338) | 3,750     | Všechny MSU/1   | <b>0,93</b>          | 0,93                  | 0,75                     | -      |
| B8     | K2.1 á 0,8 m -<br>OBDEL | C24 (EN 338) | 0,000     | Všechny MSU/1   | <b>0,93</b>          | 0,93                  | 0,75                     | -      |
| B9     | K2.1 á 0,8 m -<br>OBDEL | C24 (EN 338) | 3,750     | Všechny MSU/1   | <b>0,78</b>          | 0,78                  | 0,63                     | -      |
| B10    | K2.1 á 0,8 m -<br>OBDEL | C24 (EN 338) | 0,000     | Všechny MSU/1   | <b>0,78</b>          | 0,78                  | 0,63                     | -      |
| B11    | K2.1 á 0,8 m -<br>OBDEL | C24 (EN 338) | 3,750     | Všechny MSU/1   | <b>0,71</b>          | 0,71                  | 0,58                     | -      |
| B12    | K2.1 á 0,8 m -<br>OBDEL | C24 (EN 338) | 0,000     | Všechny MSU/1   | <b>0,71</b>          | 0,71                  | 0,58                     | -      |
| B13    | K2.1 á 0,8 m -<br>OBDEL | C24 (EN 338) | 3,750     | Všechny MSU/1   | <b>0,71</b>          | 0,71                  | 0,57                     | -      |
| B14    | K2.1 á 0,8 m -<br>OBDEL | C24 (EN 338) | 0,000     | Všechny MSU/1   | <b>0,71</b>          | 0,71                  | 0,57                     | -      |
| B15    | K2.1 á 0,8 m -<br>OBDEL | C24 (EN 338) | 3,750     | Všechny MSU/1   | <b>0,76</b>          | 0,76                  | 0,62                     | -      |
| B16    | K2.1 á 0,8 m -<br>OBDEL | C24 (EN 338) | 0,000     | Všechny MSU/1   | <b>0,76</b>          | 0,76                  | 0,62                     | -      |



## 4.2. Posudek dřeva podle MSP

Lineární výpočet, Extrém : Dílec

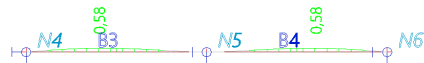
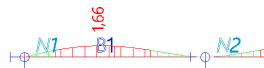
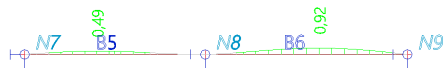
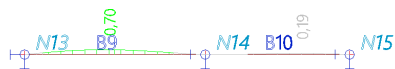
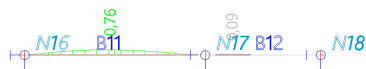
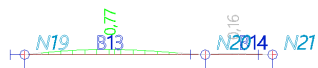
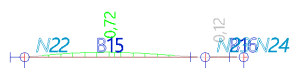
Výběr : Vše

Třída : Všechny MSP

| Dílec | Průřez                            | dx [m] | Zatěžovací stav       | Jedn. posudek [-] | uy inst [mm] | Rel uy inst [1/xx] | Posudek uy inst [-] | uy fin [mm] | Rel uy fin [1/xx] | Posudek uy fin [-] |
|-------|-----------------------------------|--------|-----------------------|-------------------|--------------|--------------------|---------------------|-------------|-------------------|--------------------|
|       | Materiál                          |        | k <sub>def</sub> [-]  |                   | uz inst [mm] | Rel uz inst [1/xx] | Posudek uz inst [-] | uz fin [mm] | Rel uz fin [1/xx] | Posudek uz fin [-] |
| B1    | K1.1 á 0,8 m - OBDEL C24 (EN 338) | 1,500  | Všechny MSP/1<br>0,60 | <b>1,66</b>       | -11,1        | 1/338              | 0,74                | -11,5       | 1/327             | 0,61               |
| B2    | K1.1 á 0,8 m - OBDEL C24 (EN 338) | 2,250  | Všechny MSP/1<br>0,60 | <b>1,66</b>       | -11,1        | 1/338              | 0,74                | -11,5       | 1/327             | 0,61               |
| B3    | K1.2 á 0,8 m - OBDEL C24 (EN 338) | 1,500  | Všechny MSP/1<br>0,60 | <b>0,58</b>       | -3,6         | 1/1029             | 0,24                | -4,0        | 1/929             | 0,22               |
| B4    | K1.2 á 0,8 m - OBDEL C24 (EN 338) | 2,250  | Všechny MSP/1<br>0,60 | <b>0,58</b>       | -3,6         | 1/1029             | 0,24                | -4,0        | 1/929             | 0,22               |
| B5    | K2.1 á 0,8 m - OBDEL C24 (EN 338) | 1,500  | Všechny MSP/1<br>0,60 | <b>0,49</b>       | -3,0         | 1/1238             | 0,20                | -3,4        | 1/1118            | 0,18               |
| B6    | K2.1 á 0,8 m - OBDEL C24 (EN 338) | 2,362  | Všechny MSP/1<br>0,60 | <b>0,92</b>       | -6,4         | 1/652              | 0,38                | -7,1        | 1/589             | 0,34               |
| B7    | K2.1 á 0,8 m - OBDEL C24 (EN 338) | 1,500  | Všechny MSP/1<br>0,60 | <b>0,58</b>       | -3,6         | 1/1029             | 0,24                | -4,0        | 1/929             | 0,22               |
| B8    | K2.1 á 0,8 m - OBDEL C24 (EN 338) | 2,250  | Všechny MSP/1<br>0,60 | <b>0,58</b>       | -3,6         | 1/1029             | 0,24                | -4,0        | 1/929             | 0,22               |
| B9    | K2.1 á 0,8 m - OBDEL C24 (EN 338) | 1,750  | Všechny MSP/1<br>0,60 | <b>0,70</b>       | -4,4         | 1/850              | 0,29                | -4,9        | 1/767             | 0,26               |
| B10   | K2.1 á 0,8 m - OBDEL              | 2,000  | Všechny MSP/1         | <b>0,19</b>       | -0,9         | 1/3241             | 0,08                | -1,0        | 1/2928            | 0,07               |



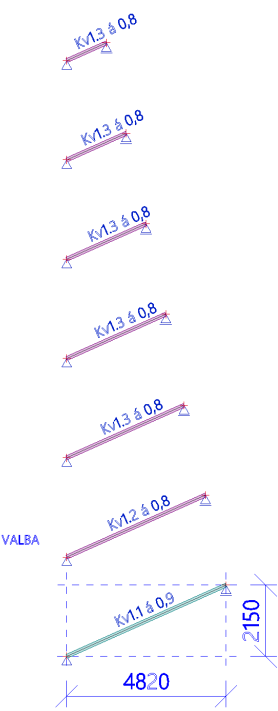
| Dílec | Průřez                  | dx<br>[m] | Zatěžovací<br>stav      | Jedn.<br>posudek<br>[-] | uy inst<br>[mm] | Rel uy<br>inst<br>[1/xx] | Posudek<br>uy inst<br>[-] | uy fin<br>[mm] | Rel uy fin<br>[1/xx] | Posudek<br>uy fin<br>[-] |
|-------|-------------------------|-----------|-------------------------|-------------------------|-----------------|--------------------------|---------------------------|----------------|----------------------|--------------------------|
|       | Materiál                |           | k <sub>def</sub><br>[-] |                         | uz inst<br>[mm] | Rel uz<br>inst<br>[1/xx] | Posudek<br>uz inst<br>[-] | uz fin<br>[mm] | Rel uz fin<br>[1/xx] | Posudek<br>uz fin<br>[-] |
| B11   | C24 (EN 338)            |           | 0,60                    |                         | -2,3            | 1/1331                   | 0,19                      | -2,5           | 1/1214               | 0,16                     |
|       | K2.1 á 0,8 m -<br>OBDEL | 1,750     | Všechny<br>MSP/1        | <b>0,76</b>             | -4,8            | 1/787                    | 0,32                      | -5,3           | 1/711                | 0,28                     |
| B12   | C24 (EN 338)            |           | 0,60                    |                         | -11,4           | 1/329                    | 0,76                      | -12,5          | 1/300                | 0,67                     |
|       | K2.1 á 0,8 m -<br>OBDEL | 0,533     | Všechny<br>MSP/1        | <b>0,09</b>             | 0,4             | 1/6653                   | 0,04                      | 0,4            | 1/6010               | 0,03                     |
| B13   | C24 (EN 338)            |           | 0,60                    |                         | 0,8             | 1/2931                   | 0,09                      | 0,9            | 1/2673               | 0,07                     |
|       | K2.1 á 0,8 m -<br>OBDEL | 1,750     | Všechny<br>MSP/1        | <b>0,77</b>             | -4,8            | 1/781                    | 0,32                      | -5,3           | 1/706                | 0,28                     |
| B14   | C24 (EN 338)            |           | 0,60                    |                         | -11,5           | 1/326                    | 0,77                      | -12,6          | 1/298                | 0,67                     |
|       | K2.1 á 0,8 m -<br>OBDEL | 0,560     | Všechny<br>MSP/1        | <b>0,16</b>             | 0,4             | 1/3639                   | 0,07                      | 0,4            | 1/3287               | 0,06                     |
| B15   | C24 (EN 338)            |           | 0,60                    |                         | 0,9             | 1/1570                   | 0,16                      | 1,0            | 1/1431               | 0,14                     |
|       | K2.1 á 0,8 m -<br>OBDEL | 1,750     | Všechny<br>MSP/1        | <b>0,72</b>             | -4,5            | 1/833                    | 0,30                      | -5,0           | 1/753                | 0,27                     |
| B16   | C24 (EN 338)            |           | 0,60                    |                         | -10,8           | 1/347                    | 0,72                      | -11,9          | 1/316                | 0,63                     |
|       | K2.1 á 0,8 m -<br>OBDEL | 0,267     | Všechny<br>MSP/1        | <b>0,12</b>             | 0,2             | 1/4719                   | 0,05                      | 0,2            | 1/4263               | 0,05                     |
|       | C24 (EN 338)            |           | 0,60                    |                         | 0,4             | 1/2030                   | 0,12                      | 0,4            | 1/1851               | 0,11                     |



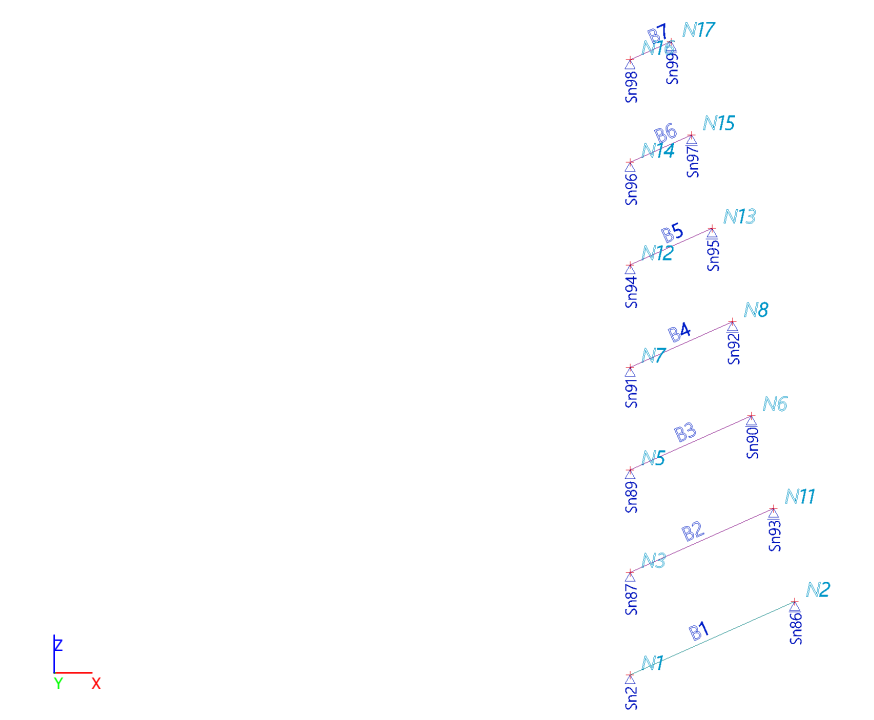
1. Obsah

|                               |    |
|-------------------------------|----|
| 1. Obsah                      | 1  |
| 2. DATA                       | 1  |
| 2.1. Výpočtový model          | 2  |
| 2.2. Materiály                | 2  |
| 2.3. Průřezy                  | 2  |
| 2.4. Zatěžovací stavy         | 2  |
| 2.4.1. Zatěžovací stavy - ZS1 | 2  |
| 2.4.2. Zatěžovací stavy - ZS2 | 3  |
| 2.4.3. Zatěžovací stavy - ZS3 | 4  |
| 2.4.4. Zatěžovací stavy - ZS6 | 4  |
| 2.4.5. Zatěžovací stavy - ZS8 | 5  |
| 2.5. Kombinace                | 5  |
| 3. VÝSLEDKY                   | 6  |
| 3.1. 1D vnitřní síly          | 6  |
| 3.2. 3D přemístění            | 8  |
| 3.3. Reakce                   | 9  |
| 3.4. Reakce                   | 10 |
| 4. POSUDEK                    | 12 |
| 4.1. Posudek dřeva podle MSÚ  | 12 |
| 4.2. Posudek dřeva podle MSP  | 12 |

2. DATA



2.1. Výpočtový model



2.2. Materiály

Timber EC5

| Jméno        | Typ dřeva             | μ           | E <sub>mod</sub><br>[MPa] | f <sub>m,k</sub><br>[MPa] | f <sub>t,0,k</sub><br>[MPa] | f <sub>t,90,k</sub><br>[MPa] | f <sub>c,0,k</sub><br>[MPa] | f <sub>c,90,k</sub><br>[MPa] | f <sub>v,k</sub><br>[MPa] | Barva |
|--------------|-----------------------|-------------|---------------------------|---------------------------|-----------------------------|------------------------------|-----------------------------|------------------------------|---------------------------|-------|
|              | ρ<br>[kg/m³]          | α<br>[m/mK] | G <sub>mod</sub><br>[MPa] |                           |                             |                              |                             |                              |                           |       |
| C24 (EN 338) | Rostlé dřevo<br>420,0 | 0<br>0,00   | 1,1000e+04<br>6,9000e+02  | 24,0                      | 14,5                        | 0,4                          | 21,0                        | 2,5                          | 4,0                       |       |

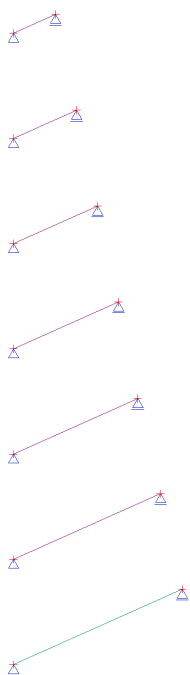
2.3. Průřezy

| Jméno       | Typ               | Materiál     | Výroba | A<br>[m²]  | A <sub>y</sub><br>[m²]   | I <sub>y</sub><br>[m⁴]   | W <sub>el,y</sub><br>[m³] | W <sub>pl,y</sub><br>[m³] | Barva |
|-------------|-------------------|--------------|--------|------------|--------------------------|--------------------------|---------------------------|---------------------------|-------|
|             | Detailní          |              |        |            | A <sub>z</sub><br>[m²]   | I <sub>z</sub><br>[m⁴]   | W <sub>el,z</sub><br>[m³] | W <sub>pl,z</sub><br>[m³] |       |
| Kv1.1 á 0,9 | OBDEL<br>100; 120 | C24 (EN 338) | dřevo  | 1,2000e-02 | 1,0014e-02<br>1,0010e-02 | 1,4400e-05<br>1,0000e-05 | 2,4000e-04<br>2,0000e-04  | 2,9408e-04<br>2,4507e-04  |       |
| Kv1.2 á 0,8 | OBDEL<br>100; 120 | C24 (EN 338) | dřevo  | 1,2000e-02 | 1,0014e-02<br>1,0010e-02 | 1,4400e-05<br>1,0000e-05 | 2,4000e-04<br>2,0000e-04  | 2,9408e-04<br>2,4507e-04  |       |
| Kv1.3 á 0,8 | OBDEL<br>100; 120 | C24 (EN 338) | dřevo  | 1,2000e-02 | 1,0014e-02<br>1,0010e-02 | 1,4400e-05<br>1,0000e-05 | 2,4000e-04<br>2,0000e-04  | 2,9408e-04<br>2,4507e-04  |       |

2.4. Zatěžovací stavy

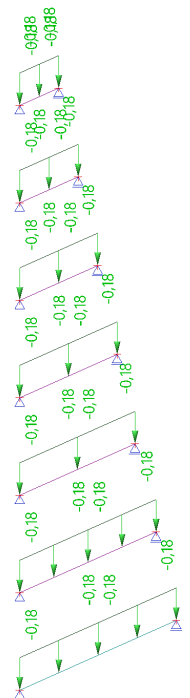
2.4.1. Zatěžovací stavy - ZS1

| Jméno | Popis        | Typ působení | Skupina zatížení | Směr |
|-------|--------------|--------------|------------------|------|
|       | Spec         | Typ zatížení |                  |      |
| ZS1   | Vlastní tíha | Stálé        | SZ1              | -Z   |
|       |              | Vlastní tíha |                  |      |



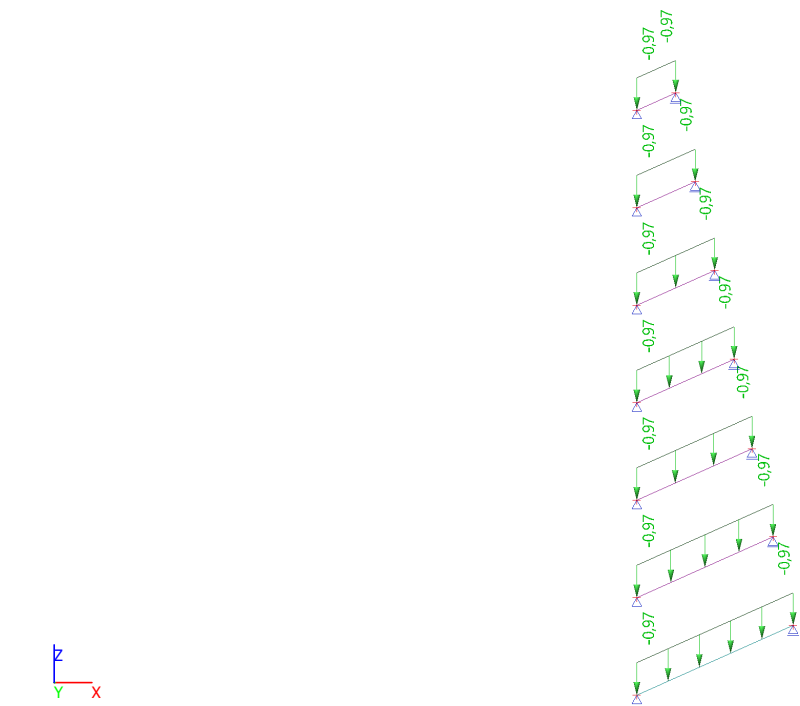
2.4.2. Zatěžovací stavy - ZS2

| Jméno | Popis          | Typ působení | Skupina zatížení |
|-------|----------------|--------------|------------------|
|       | Spec           | Typ zatížení |                  |
| ZS2   | stálé zatížení | Stálé        | SZ1              |
|       |                | Standard     |                  |



2.4.3. Zatěžovací stavy - ZS3

| Jméno | Popis    | Typ působení | Skupina zatížení | Působení   | Řídící zat. stav |
|-------|----------|--------------|------------------|------------|------------------|
|       | Spec     | Typ zatížení |                  |            |                  |
| ZS3   | sníh     | Proměnné     | sníh             | Krátkodobé | Žádný            |
|       | Standard | Statické     |                  |            |                  |



2.4.4. Zatěžovací stavy - ZS6

| Jméno | Popis    | Typ působení | Skupina zatížení | Působení   | Řídící zat. stav |
|-------|----------|--------------|------------------|------------|------------------|
|       | Spec     | Typ zatížení |                  |            |                  |
| ZS6   | vítr (+) | Proměnné     | vítr             | Krátkodobé | Žádný            |
|       | Standard | Statické     |                  |            |                  |



2.4.5. Zatěžovací stavy - ZS8

| Jméno | Popis    | Typ působení | Skupina zatížení | Působení   | Řídící zat. stav |
|-------|----------|--------------|------------------|------------|------------------|
|       | Spec     | Typ zatížení |                  |            |                  |
| ZS8   | vítr (-) | Proměnné     | vítr             | Krátkodobé | Žádný            |
|       | Standard | Statické     |                  |            |                  |



2.5. Kombinace

| Jméno             | Popis | Typ                     | Zatěžovací stavy   | Souč. [-] |
|-------------------|-------|-------------------------|--------------------|-----------|
| MSÚ-Sada B (auto) |       | EN-MSÚ (STR/GEO) Soubor | ZS1 - Vlastní tíha | 1,00      |

| Jméno           | Popis | Typ                     | Zatěžovací stavy     | Souč. [-] |
|-----------------|-------|-------------------------|----------------------|-----------|
|                 |       | B                       | ZS2 - stálé zatížení | 1,00      |
|                 |       |                         | ZS3 - sníh           | 1,00      |
|                 |       |                         | ZS6 - vítr (+)       | 1,00      |
|                 |       |                         | ZS8 - vítr (-)       | 1,00      |
| MSP-Char (auto) |       | EN-MSP charakteristická | ZS1 - Vlastní tíha   | 1,00      |
|                 |       |                         | ZS2 - stálé zatížení | 1,00      |
|                 |       |                         | ZS3 - sníh           | 1,00      |
|                 |       |                         | ZS6 - vítr (+)       | 1,00      |
|                 |       |                         | ZS8 - vítr (-)       | 1,00      |

## 3. VÝSLEDKY

### 3.1. 1D vnitřní síly

Lineární výpočet  
Třída: Všechny MSU  
Souřadný systém: Dílec  
Extrém 1D: Průřez  
Výběr: Vše

| Jméno | dx [m] | Stav                | Průřez                         | N [kN]       | V <sub>z</sub> [kN] | M <sub>y</sub> [kNm] |
|-------|--------|---------------------|--------------------------------|--------------|---------------------|----------------------|
| B1    | 0,000  | MSÚ-Sada B (auto)/1 | Kv1.1 á 0,9 - OBDEL (100; 120) | <b>-2,32</b> | 3,07                | 0,00                 |
| B1    | 5,278  | MSÚ-Sada B (auto)/2 | Kv1.1 á 0,9 - OBDEL (100; 120) | <b>2,03</b>  | <b>-4,54</b>        | 0,00                 |
| B1    | 0,000  | MSÚ-Sada B (auto)/2 | Kv1.1 á 0,9 - OBDEL (100; 120) | -1,67        | <b>4,55</b>         | 0,00                 |
| B1    | 2,639+ | MSÚ-Sada B (auto)/3 | Kv1.1 á 0,9 - OBDEL (100; 120) | -0,79        | 0,00                | <b>-1,62</b>         |
| B1    | 2,639- | MSÚ-Sada B (auto)/2 | Kv1.1 á 0,9 - OBDEL (100; 120) | 0,18         | 0,00                | <b>6,00</b>          |
| B2    | 0,000  | MSÚ-Sada B (auto)/1 | Kv1.2 á 0,8 - OBDEL (100; 120) | <b>-2,02</b> | 2,68                | 0,00                 |
| B2    | 4,599  | MSÚ-Sada B (auto)/2 | Kv1.2 á 0,8 - OBDEL (100; 120) | <b>1,76</b>  | <b>-3,96</b>        | 0,00                 |
| B2    | 0,000  | MSÚ-Sada B (auto)/2 | Kv1.2 á 0,8 - OBDEL (100; 120) | -1,45        | <b>3,97</b>         | 0,00                 |
| B2    | 2,299- | MSÚ-Sada B (auto)/3 | Kv1.2 á 0,8 - OBDEL (100; 120) | -0,69        | 0,00                | <b>-1,23</b>         |
| B2    | 2,299+ | MSÚ-Sada B (auto)/2 | Kv1.2 á 0,8 - OBDEL (100; 120) | 0,16         | 0,00                | <b>4,56</b>          |
| B3    | 0,000  | MSÚ-Sada B (auto)/1 | Kv1.3 á 0,8 - OBDEL (100; 120) | <b>-1,71</b> | 2,26                | 0,00                 |
| B3    | 3,887  | MSÚ-Sada B (auto)/2 | Kv1.3 á 0,8 - OBDEL (100; 120) | <b>1,49</b>  | <b>-3,34</b>        | 0,00                 |
| B3    | 0,000  | MSÚ-Sada B (auto)/2 | Kv1.3 á 0,8 - OBDEL (100; 120) | -1,23        | <b>3,35</b>         | 0,00                 |
| B3    | 1,944- | MSÚ-Sada B (auto)/3 | Kv1.3 á 0,8 - OBDEL (100; 120) | -0,59        | 0,00                | <b>-0,88</b>         |
| B3    | 1,944- | MSÚ-Sada B (auto)/2 | Kv1.3 á 0,8 - OBDEL (100; 120) | 0,13         | 0,00                | <b>3,25</b>          |

| Jméno               | Klíč kombinace                            |
|---------------------|---|
| MSÚ-Sada B (auto)/1 | 1.15*ZS1 + 1.15*ZS2 + 1.50*ZS3 + 0.90*ZS8 |
| MSÚ-Sada B (auto)/2 | 1.15*ZS1 + 1.15*ZS2 + 1.50*ZS3 + 0.90*ZS6 |
| MSÚ-Sada B (auto)/3 | ZS1 + ZS2 + 1.50*ZS8                      |

Hodnoty: **N**

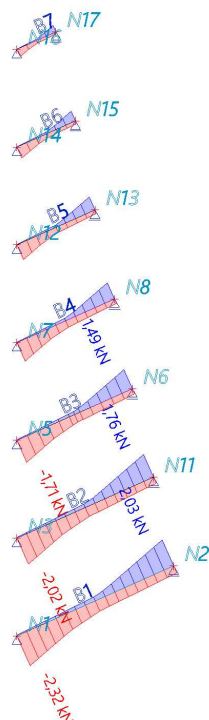
Lineární výpočet

Kombinace: MSÚ-Sada B (auto)

Souřadný systém: Dílec

Extrém 1D: Průřez

Výběr: Vše



Hodnoty: **V<sub>z</sub>**

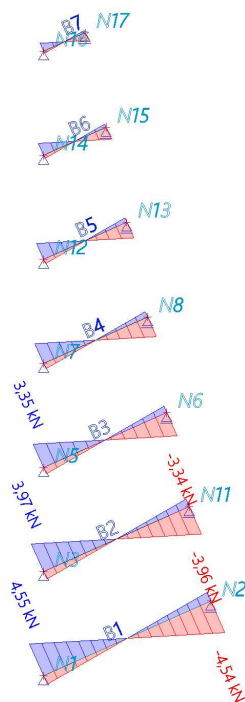
Lineární výpočet

Kombinace: MSÚ-Sada B (auto)

Souřadný systém: Dílec

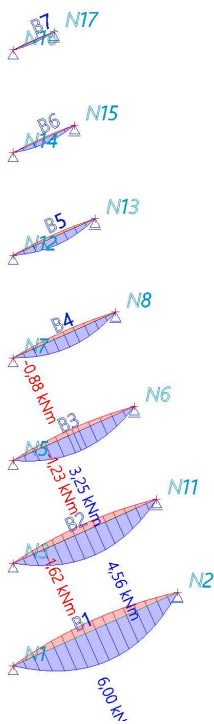
Extrém 1D: Průřez

Výběr: Vše





Hodnoty: **M<sub>y</sub>**  
Lineární výpočet  
Kombinace: MSÚ-Sada B (auto)  
Souřadný systém: Dílec  
Extrém 1D: Průřez  
Výběr: Vše



3.2. 3D přemístění

Lineární výpočet  
Třída: Všechny MSP  
Výběr: Vše  
Poloha: V uzlech s průměrováním na makro. Systém: LSS prvku sítě  
**Výsledky na 1D dílci:**  
Extrém 1D: Dílec

| Jméno | dx [m] | Vlákno | Stav              | u <sub>x</sub> [mm] | u <sub>y</sub> [mm] | u <sub>z</sub> [mm] | Φ <sub>x</sub> [mrad] | Φ <sub>y</sub> [mrad] | Φ <sub>z</sub> [mrad] | U <sub>total</sub> [mm] |
|-------|--------|--------|-------------------|---------------------|---------------------|---------------------|-----------------------|-----------------------|-----------------------|-------------------------|
| B1    | 0,000  | 6      | MSP-Char (auto)/1 | 0,0                 | 0,0                 | 0,0                 | 0,0                   | 8,1                   | 0,0                   | 0,0                     |
| B1    | 2,639+ | 3      | MSP-Char (auto)/2 | 0,0                 | 0,0                 | -77,0               | 0,0                   | 0,0                   | 0,0                   | 77,0                    |
| B2    | 0,000  | 6      | MSP-Char (auto)/1 | 0,0                 | 0,0                 | 0,0                 | 0,0                   | 5,4                   | 0,0                   | 0,0                     |
| B2    | 2,299- | 3      | MSP-Char (auto)/2 | 0,0                 | 0,0                 | -44,5               | 0,0                   | 0,0                   | 0,0                   | 44,5                    |
| B3    | 0,000  | 6      | MSP-Char (auto)/1 | 0,0                 | 0,0                 | 0,0                 | 0,0                   | 3,2                   | 0,0                   | 0,0                     |
| B3    | 1,944+ | 3      | MSP-Char (auto)/2 | 0,0                 | 0,0                 | -22,8               | 0,0                   | 0,0                   | 0,0                   | 22,8                    |
| B4    | 0,000  | 6      | MSP-Char (auto)/1 | 0,0                 | 0,0                 | 0,0                 | 0,0                   | 2,0                   | 0,0                   | 0,0                     |
| B4    | 1,642+ | 3      | MSP-Char (auto)/2 | 0,0                 | 0,0                 | -11,7               | 0,0                   | 0,0                   | 0,0                   | 11,7                    |
| B5    | 0,000  | 6      | MSP-Char (auto)/1 | 0,0                 | 0,0                 | 0,0                 | 0,0                   | 1,0                   | 0,0                   | 0,0                     |
| B5    | 1,314+ | 3      | MSP-Char (auto)/2 | 0,0                 | 0,0                 | -4,8                | 0,0                   | 0,0                   | 0,0                   | 4,8                     |
| B6    | 0,000  | 6      | MSP-Char (auto)/1 | 0,0                 | 0,0                 | 0,0                 | 0,0                   | 0,4                   | 0,0                   | 0,0                     |
| B6    | 0,985+ | 3      | MSP-Char (auto)/2 | 0,0                 | 0,0                 | -1,6                | 0,0                   | 0,0                   | 0,0                   | 1,6                     |
| B7    | 0,000  | 6      | MSP-Char (auto)/1 | 0,0                 | 0,0                 | 0,0                 | 0,0                   | 0,1                   | 0,0                   | 0,0                     |
| B7    | 0,657+ | 3      | MSP-Char (auto)/2 | 0,0                 | 0,0                 | -0,3                | 0,0                   | 0,0                   | 0,0                   | 0,3                     |

| Jméno             | Klíč kombinace             |
|-------------------|----------------------------|
| MSP-Char (auto)/1 | ZS1 + ZS2                  |
| MSP-Char (auto)/2 | ZS1 + ZS2 + ZS3 + 0.60*ZS6 |

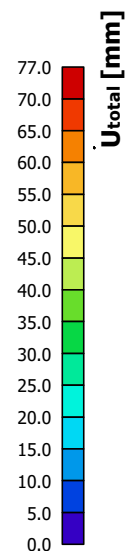
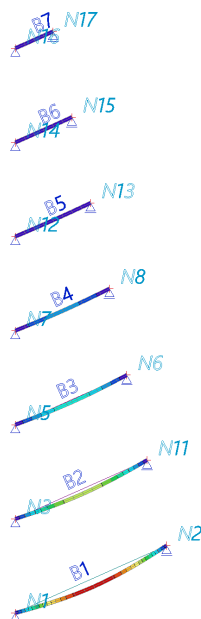
Hodnoty:  $U_{total}$

Lineární výpočet

Třída: Všechny MSP

Výběr: Vše

Poloha: V uzlech s průměrováním na makro. Systém: LSS prvku síť



### 3.3. Reakce

Lineární výpočet

Třída: Všechny MSP

Systém: Globální

Extrém: Dílec

Výběr: Vše

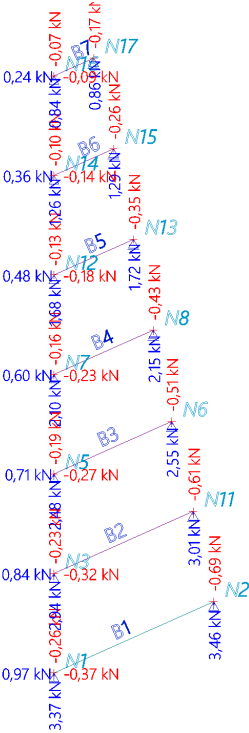
**Uzlové reakce**

| Jméno    | Stav              | $R_x$<br>[kN] | $R_z$<br>[kN] | $M_y$<br>[kNm] | $e_y$<br>[mm] |
|----------|-------------------|---------------|---------------|----------------|---------------|
| Sn2/N1   | MSP-Char (auto)/1 | <b>0,97</b>   | 1,02          | <b>0,00</b>    | 0,0           |
| Sn2/N1   | MSP-Char (auto)/2 | 0,97          | <b>-0,26</b>  | 0,00           | 0,0           |
| Sn2/N1   | MSP-Char (auto)/3 | -0,22         | <b>3,37</b>   | 0,00           | 0,0           |
| Sn2/N1   | MSP-Char (auto)/4 | <b>-0,37</b>  | 0,94          | <b>0,00</b>    | 0,0           |
| Sn86/N2  | MSP-Char (auto)/2 | 0,00          | <b>-0,69</b>  | 0,00           | 0,0           |
| Sn86/N2  | MSP-Char (auto)/3 | <b>0,00</b>   | <b>3,46</b>   | <b>0,00</b>    | 0,0           |
| Sn87/N3  | MSP-Char (auto)/1 | <b>0,84</b>   | 0,89          | <b>0,00</b>    | 0,0           |
| Sn87/N3  | MSP-Char (auto)/2 | 0,84          | <b>-0,23</b>  | 0,00           | 0,0           |
| Sn87/N3  | MSP-Char (auto)/3 | -0,19         | <b>2,94</b>   | 0,00           | 0,0           |
| Sn87/N3  | MSP-Char (auto)/4 | <b>-0,32</b>  | 0,82          | <b>0,00</b>    | 0,0           |
| Sn89/N5  | MSP-Char (auto)/1 | <b>0,71</b>   | 0,75          | <b>0,00</b>    | 0,0           |
| Sn89/N5  | MSP-Char (auto)/2 | 0,71          | <b>-0,19</b>  | 0,00           | 0,0           |
| Sn89/N5  | MSP-Char (auto)/3 | -0,16         | <b>2,48</b>   | 0,00           | 0,0           |
| Sn89/N5  | MSP-Char (auto)/4 | <b>-0,27</b>  | 0,70          | <b>0,00</b>    | 0,0           |
| Sn90/N6  | MSP-Char (auto)/2 | 0,00          | <b>-0,51</b>  | 0,00           | 0,0           |
| Sn90/N6  | MSP-Char (auto)/3 | <b>0,00</b>   | <b>2,55</b>   | <b>0,00</b>    | 0,0           |
| Sn91/N7  | MSP-Char (auto)/1 | <b>0,60</b>   | 0,63          | <b>0,00</b>    | 0,0           |
| Sn91/N7  | MSP-Char (auto)/2 | 0,60          | <b>-0,16</b>  | 0,00           | 0,0           |
| Sn91/N7  | MSP-Char (auto)/3 | -0,14         | <b>2,10</b>   | 0,00           | 0,0           |
| Sn91/N7  | MSP-Char (auto)/4 | <b>-0,23</b>  | 0,59          | <b>0,00</b>    | 0,0           |
| Sn92/N8  | MSP-Char (auto)/2 | 0,00          | <b>-0,43</b>  | 0,00           | 0,0           |
| Sn92/N8  | MSP-Char (auto)/3 | <b>0,00</b>   | <b>2,15</b>   | <b>0,00</b>    | 0,0           |
| Sn93/N11 | MSP-Char (auto)/2 | 0,00          | <b>-0,61</b>  | 0,00           | 0,0           |
| Sn93/N11 | MSP-Char (auto)/3 | <b>0,00</b>   | <b>3,01</b>   | <b>0,00</b>    | 0,0           |
| Sn94/N12 | MSP-Char (auto)/1 | <b>0,48</b>   | 0,51          | <b>0,00</b>    | 0,0           |
| Sn94/N12 | MSP-Char (auto)/2 | 0,48          | <b>-0,13</b>  | 0,00           | 0,0           |
| Sn94/N12 | MSP-Char (auto)/3 | -0,11         | <b>1,68</b>   | 0,00           | 0,0           |
| Sn94/N12 | MSP-Char (auto)/4 | <b>-0,18</b>  | 0,47          | <b>0,00</b>    | 0,0           |
| Sn95/N13 | MSP-Char (auto)/2 | 0,00          | <b>-0,35</b>  | 0,00           | 0,0           |

| Jméno    | Stav              | R <sub>x</sub><br>[kN] | R <sub>z</sub><br>[kN] | M <sub>y</sub><br>[kNm] | e <sub>y</sub><br>[mm] |
|----------|-------------------|------------------------|------------------------|-------------------------|------------------------|
| Sn95/N13 | MSP-Char (auto)/3 | 0,00                   | 1,72                   | 0,00                    | 0,0                    |
| Sn96/N14 | MSP-Char (auto)/1 | 0,36                   | 0,38                   | 0,00                    | 0,0                    |
| Sn96/N14 | MSP-Char (auto)/2 | 0,36                   | -0,10                  | 0,00                    | 0,0                    |
| Sn96/N14 | MSP-Char (auto)/3 | -0,08                  | 1,26                   | 0,00                    | 0,0                    |
| Sn96/N14 | MSP-Char (auto)/4 | -0,14                  | 0,35                   | 0,00                    | 0,0                    |
| Sn97/N15 | MSP-Char (auto)/2 | 0,00                   | -0,26                  | 0,00                    | 0,0                    |
| Sn97/N15 | MSP-Char (auto)/3 | 0,00                   | 1,29                   | 0,00                    | 0,0                    |
| Sn98/N16 | MSP-Char (auto)/1 | 0,24                   | 0,25                   | 0,00                    | 0,0                    |
| Sn98/N16 | MSP-Char (auto)/2 | 0,24                   | -0,07                  | 0,00                    | 0,0                    |
| Sn98/N16 | MSP-Char (auto)/3 | -0,05                  | 0,84                   | 0,00                    | 0,0                    |
| Sn98/N16 | MSP-Char (auto)/4 | -0,09                  | 0,24                   | 0,00                    | 0,0                    |
| Sn99/N17 | MSP-Char (auto)/2 | 0,00                   | -0,17                  | 0,00                    | 0,0                    |
| Sn99/N17 | MSP-Char (auto)/3 | 0,00                   | 0,86                   | 0,00                    | 0,0                    |

| Jméno             | Klíč kombinace             |
|-------------------|----------------------------|
| MSP-Char (auto)/1 | ZS1 + ZS2 + 0.50*ZS3 + ZS8 |
| MSP-Char (auto)/2 | ZS1 + ZS2 + ZS8            |
| MSP-Char (auto)/3 | ZS1 + ZS2 + ZS3 + 0.60*ZS6 |
| MSP-Char (auto)/4 | ZS1 + ZS2 + ZS6            |

Hodnoty: **R<sub>x</sub>**, **R<sub>z</sub>**  
Lineární výpočet  
Kombinace: MSP-Char (auto)  
Systém: Globální  
Extrém: Dílec  
Výběr: Vše



3.4. Reakce

Lineární výpočet  
Třída: Všechny MSU  
Systém: Globální  
Extrém: Dílec  
Výběr: Vše

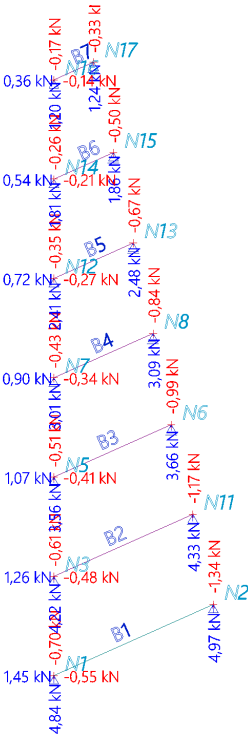
Uzlové reakce

| Jméno   | Stav                | R <sub>x</sub><br>[kN] | R <sub>z</sub><br>[kN] | M <sub>y</sub><br>[kNm] | e <sub>y</sub><br>[mm] |
|---------|---------------------|------------------------|------------------------|-------------------------|------------------------|
| Sn2/N1  | MSÚ-Sada B (auto)/1 | 1,45                   | 1,22                   | 0,00                    | 0,0                    |
| Sn2/N1  | MSÚ-Sada B (auto)/2 | 1,45                   | -0,70                  | 0,00                    | 0,0                    |
| Sn2/N1  | MSÚ-Sada B (auto)/3 | -0,33                  | 4,84                   | 0,00                    | 0,0                    |
| Sn2/N1  | MSÚ-Sada B (auto)/4 | -0,55                  | 1,20                   | 0,00                    | 0,0                    |
| Sn86/N2 | MSÚ-Sada B (auto)/2 | 0,00                   | -1,34                  | 0,00                    | 0,0                    |
| Sn86/N2 | MSÚ-Sada B (auto)/3 | 0,00                   | 4,97                   | 0,00                    | 0,0                    |
| Sn87/N3 | MSÚ-Sada B (auto)/1 | 1,26                   | 1,06                   | 0,00                    | 0,0                    |
| Sn87/N3 | MSÚ-Sada B (auto)/2 | 1,26                   | -0,61                  | 0,00                    | 0,0                    |
| Sn87/N3 | MSÚ-Sada B (auto)/3 | -0,29                  | 4,22                   | 0,00                    | 0,0                    |

| Jméno    | Stav                | R <sub>x</sub><br>[kN] | R <sub>z</sub><br>[kN] | M <sub>y</sub><br>[kNm] | e <sub>y</sub><br>[mm] |
|----------|---------------------|------------------------|------------------------|-------------------------|------------------------|
| Sn87/N3  | MSÚ-Sada B (auto)/4 | -0,48                  | 1,05                   | 0,00                    | 0,0                    |
| Sn89/N5  | MSÚ-Sada B (auto)/1 | 1,07                   | 0,90                   | 0,00                    | 0,0                    |
| Sn89/N5  | MSÚ-Sada B (auto)/2 | 1,07                   | -0,51                  | 0,00                    | 0,0                    |
| Sn89/N5  | MSÚ-Sada B (auto)/3 | -0,24                  | 3,56                   | 0,00                    | 0,0                    |
| Sn89/N5  | MSÚ-Sada B (auto)/4 | -0,41                  | 0,89                   | 0,00                    | 0,0                    |
| Sn90/N6  | MSÚ-Sada B (auto)/2 | 0,00                   | -0,99                  | 0,00                    | 0,0                    |
| Sn90/N6  | MSÚ-Sada B (auto)/3 | 0,00                   | 3,66                   | 0,00                    | 0,0                    |
| Sn91/N7  | MSÚ-Sada B (auto)/1 | 0,90                   | 0,76                   | 0,00                    | 0,0                    |
| Sn91/N7  | MSÚ-Sada B (auto)/2 | 0,90                   | -0,43                  | 0,00                    | 0,0                    |
| Sn91/N7  | MSÚ-Sada B (auto)/3 | -0,21                  | 3,01                   | 0,00                    | 0,0                    |
| Sn91/N7  | MSÚ-Sada B (auto)/4 | -0,34                  | 0,75                   | 0,00                    | 0,0                    |
| Sn92/N8  | MSÚ-Sada B (auto)/2 | 0,00                   | -0,84                  | 0,00                    | 0,0                    |
| Sn92/N8  | MSÚ-Sada B (auto)/3 | 0,00                   | 3,09                   | 0,00                    | 0,0                    |
| Sn93/N11 | MSÚ-Sada B (auto)/2 | 0,00                   | -1,17                  | 0,00                    | 0,0                    |
| Sn93/N11 | MSÚ-Sada B (auto)/3 | 0,00                   | 4,33                   | 0,00                    | 0,0                    |
| Sn94/N12 | MSÚ-Sada B (auto)/1 | 0,72                   | 0,61                   | 0,00                    | 0,0                    |
| Sn94/N12 | MSÚ-Sada B (auto)/2 | 0,72                   | -0,35                  | 0,00                    | 0,0                    |
| Sn94/N12 | MSÚ-Sada B (auto)/3 | -0,16                  | 2,41                   | 0,00                    | 0,0                    |
| Sn94/N12 | MSÚ-Sada B (auto)/4 | -0,27                  | 0,60                   | 0,00                    | 0,0                    |
| Sn95/N13 | MSÚ-Sada B (auto)/2 | 0,00                   | -0,67                  | 0,00                    | 0,0                    |
| Sn95/N13 | MSÚ-Sada B (auto)/3 | 0,00                   | 2,48                   | 0,00                    | 0,0                    |
| Sn96/N14 | MSÚ-Sada B (auto)/1 | 0,54                   | 0,46                   | 0,00                    | 0,0                    |
| Sn96/N14 | MSÚ-Sada B (auto)/2 | 0,54                   | -0,26                  | 0,00                    | 0,0                    |
| Sn96/N14 | MSÚ-Sada B (auto)/3 | -0,12                  | 1,81                   | 0,00                    | 0,0                    |
| Sn96/N14 | MSÚ-Sada B (auto)/4 | -0,21                  | 0,45                   | 0,00                    | 0,0                    |
| Sn97/N15 | MSÚ-Sada B (auto)/2 | 0,00                   | -0,50                  | 0,00                    | 0,0                    |
| Sn97/N15 | MSÚ-Sada B (auto)/3 | 0,00                   | 1,86                   | 0,00                    | 0,0                    |
| Sn98/N16 | MSÚ-Sada B (auto)/5 | 0,36                   | 0,33                   | 0,00                    | 0,0                    |
| Sn98/N16 | MSÚ-Sada B (auto)/2 | 0,36                   | -0,17                  | 0,00                    | 0,0                    |
| Sn98/N16 | MSÚ-Sada B (auto)/3 | -0,08                  | 1,20                   | 0,00                    | 0,0                    |
| Sn98/N16 | MSÚ-Sada B (auto)/4 | -0,14                  | 0,30                   | 0,00                    | 0,0                    |
| Sn99/N17 | MSÚ-Sada B (auto)/2 | 0,00                   | -0,33                  | 0,00                    | 0,0                    |
| Sn99/N17 | MSÚ-Sada B (auto)/3 | 0,00                   | 1,24                   | 0,00                    | 0,0                    |

| Jméno               | Klíč kombinace                            |
|---------------------|---|
| MSÚ-Sada B (auto)/1 | ZS1 + ZS2 + 0.75*ZS3 + 1.50*ZS8           |
| MSÚ-Sada B (auto)/2 | ZS1 + ZS2 + 1.50*ZS8                      |
| MSÚ-Sada B (auto)/3 | 1.15*ZS1 + 1.15*ZS2 + 1.50*ZS3 + 0.90*ZS6 |
| MSÚ-Sada B (auto)/4 | 1.15*ZS1 + 1.15*ZS2 + 1.50*ZS6            |
| MSÚ-Sada B (auto)/5 | 1.15*ZS1 + 1.15*ZS2 + 0.75*ZS3 + 1.50*ZS8 |

Hodnoty: **R<sub>x</sub>, R<sub>z</sub>**  
Lineární výpočet  
Kombinace: MSÚ-Sada B (auto)  
Systém: Globální  
Extrém: Dílec  
Výběr: Vše



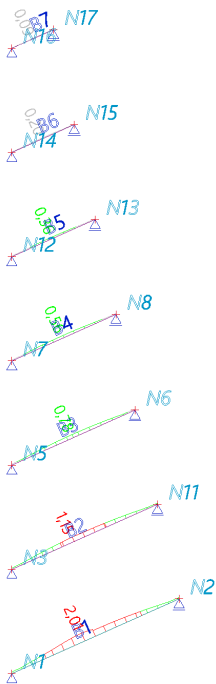
4. POSUDEK

4.1. Posudek dřeva podle MSÚ

Lineární výpočet, Extrém : Dílec  
Výběr : Vše  
Třída : Všechny MSU

Posudek dřeva podle MSÚ

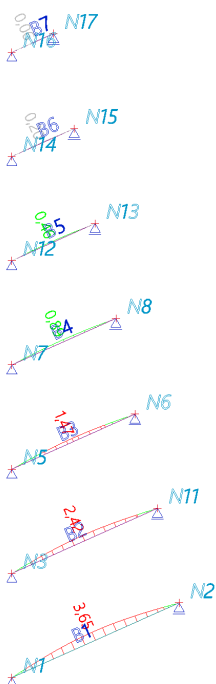
| Nosník | Průřez              | Materiál     | dx [m] | Zatěžovací stav | Jedn. posudek [-] | Posudek v řezu [-] | Posudek stability [-] | CH/V/P |
|--------|---------------------|--------------|--------|-----------------|-------------------|--------------------|-----------------------|--------|
| B1     | Kv1.1 á 0,9 - OBDEL | C24 (EN 338) | 2,309  | Všechny MSU/1   | 2,01              | 1,42               | 2,01                  | -      |
| B2     | Kv1.2 á 0,8 - OBDEL | C24 (EN 338) | 1,971  | Všechny MSU/1   | 1,15              | 1,07               | 1,15                  | -      |
| B3     | Kv1.3 á 0,8 - OBDEL | C24 (EN 338) | 1,944  | Všechny MSU/1   | 0,78              | 0,78               | 0,78                  | -      |
| B4     | Kv1.3 á 0,8 - OBDEL | C24 (EN 338) | 1,642  | Všechny MSU/1   | 0,56              | 0,56               | 0,56                  | -      |
| B5     | Kv1.3 á 0,8 - OBDEL | C24 (EN 338) | 1,314  | Všechny MSU/1   | 0,36              | 0,36               | 0,36                  | -      |
| B6     | Kv1.3 á 0,8 - OBDEL | C24 (EN 338) | 0,985  | Všechny MSU/1   | 0,20              | 0,20               | 0,20                  | -      |
| B7     | Kv1.3 á 0,8 - OBDEL | C24 (EN 338) | 0,657  | Všechny MSU/1   | 0,09              | 0,09               | 0,09                  | -      |



4.2. Posudek dřeva podle MSP

Lineární výpočet, Extrém : Dílec  
Výběr : Vše  
Třída : Všechny MSP

| Dílec | Průřez                                 | dx<br>[m] | Zatěžovací<br>stav       | Jedn.<br>posudek<br>[-] | uy inst<br>[mm] | Rel uy<br>inst<br>[1/xx] | Posudek<br>uy inst<br>[-] | uy fin<br>[mm] | Rel uy fin<br>[1/xx] | Posudek<br>uy fin<br>[-] |
|-------|--|-----------|--------------------------|-------------------------|-----------------|--------------------------|---------------------------|----------------|----------------------|--------------------------|
|       | Materiál                               |           | k <sub>def</sub><br>[-]  |                         | uz inst<br>[mm] | Rel uz<br>inst<br>[1/xx] | Posudek<br>uz inst<br>[-] | uz fin<br>[mm] | Rel uz fin<br>[1/xx] | Posudek<br>uz fin<br>[-] |
| B1    | Kv1.1 á 0,9 -<br>OBDEL<br>C24 (EN 338) | 2,639     | Všechny<br>MSP/1<br>0,60 | <b>3,65</b>             | 0,0             | 0                        | 0,00                      | 0,0            | 0                    | 0,00                     |
| B2    | Kv1.2 á 0,8 -<br>OBDEL<br>C24 (EN 338) | 2,299     | Všechny<br>MSP/1<br>0,60 | <b>2,42</b>             | 0,0             | 0                        | 0,00                      | 0,0            | 0                    | 0,00                     |
| B3    | Kv1.3 á 0,8 -<br>OBDEL<br>C24 (EN 338) | 1,944     | Všechny<br>MSP/1<br>0,60 | <b>1,47</b>             | 0,0             | 0                        | 0,00                      | 0,0            | 0                    | 0,00                     |
| B4    | Kv1.3 á 0,8 -<br>OBDEL<br>C24 (EN 338) | 1,642     | Všechny<br>MSP/1<br>0,60 | <b>0,89</b>             | 0,0             | 0                        | 0,00                      | 0,0            | 0                    | 0,00                     |
| B5    | Kv1.3 á 0,8 -<br>OBDEL<br>C24 (EN 338) | 1,314     | Všechny<br>MSP/1<br>0,60 | <b>0,46</b>             | 0,0             | 0                        | 0,00                      | 0,0            | 0                    | 0,00                     |
| B6    | Kv1.3 á 0,8 -<br>OBDEL<br>C24 (EN 338) | 0,985     | Všechny<br>MSP/1<br>0,60 | <b>0,20</b>             | 0,0             | 0                        | 0,00                      | 0,0            | 0                    | 0,00                     |
| B7    | Kv1.3 á 0,8 -<br>OBDEL<br>C24 (EN 338) | 0,657     | Všechny<br>MSP/1<br>0,60 | <b>0,06</b>             | 0,0             | 0                        | 0,00                      | 0,0            | 0                    | 0,00                     |
|       |  |           |                          |                         | -77,0           | 1/69                     | 3,65                      | -85,1          | 1/62                 | 3,22                     |
|       |  |           |                          |                         | -44,5           | 1/103                    | 2,42                      | -49,2          | 1/94                 | 2,14                     |
|       |  |           |                          |                         | -22,8           | 1/170                    | 1,47                      | -25,2          | 1/154                | 1,30                     |
|       |  |           |                          |                         | -11,7           | 1/281                    | 0,89                      | -12,9          | 1/254                | 0,79                     |
|       |  |           |                          |                         | -4,8            | 1/542                    | 0,46                      | -5,4           | 1/491                | 0,41                     |
|       |  |           |                          |                         | -1,6            | 1/1255                   | 0,20                      | -1,7           | 1/1136               | 0,18                     |
|       |  |           |                          |                         | -0,3            | 1/3970                   | 0,06                      | -0,4           | 1/3593               | 0,06                     |



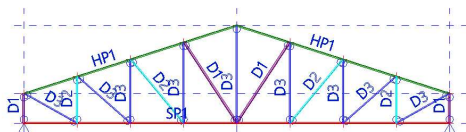
## 1. Obsah

|  |    |
|--|----|
| 1. Obsah                                       | 1  |
| 2. DATA  | 1  |
| 2.1. Výpočtový model                           | 1  |
| 2.2. Materiály                                 | 2  |
| 2.3. Průřezy                                   | 2  |
| 2.4. Zatěžovací stavy                          | 3  |
| 2.4.1. Zatěžovací stavy - ZS1                  | 3  |
| 2.4.2. Zatěžovací stavy - ZS2                  | 3  |
| 2.4.3. Zatěžovací stavy - ZS3                  | 4  |
| 2.4.4. Zatěžovací stavy - ZS4                  | 5  |
| 2.4.5. Zatěžovací stavy - ZS5                  | 5  |
| 2.4.6. Zatěžovací stavy - ZS6                  | 6  |
| 2.4.7. Zatěžovací stavy - ZS7                  | 7  |
| 2.4.8. Zatěžovací stavy - ZS8                  | 7  |
| 2.4.9. Zatěžovací stavy - ZS9                  | 8  |
| 2.5. Kombinace                                 | 8  |
| 3. VÝSLEDKY                                    | 9  |
| 3.1. 1D vnitřní síly                           | 9  |
| 3.2. 3D přemístění                             | 12 |
| 3.3. Reakce                                    | 15 |
| 3.4. Reakce                                    | 17 |
| 4. POSUDEK - OCEL                              | 18 |
| 4.1. Posudek ocelových prvků na MSÚ EC-EN 1993 | 18 |
| 4.2. 1D deformace; $u_z$                       | 19 |

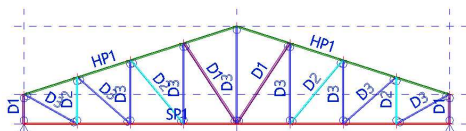
## 2. DATA

### 2.1. Výpočtový model

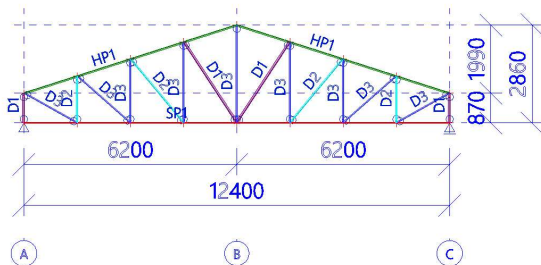
VAZNÍK (I)



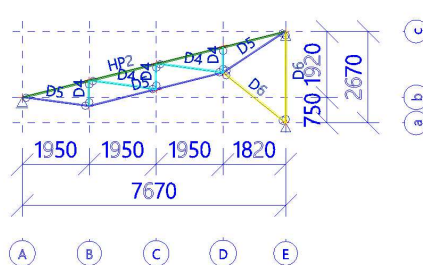
VAZNÍK (II, III)

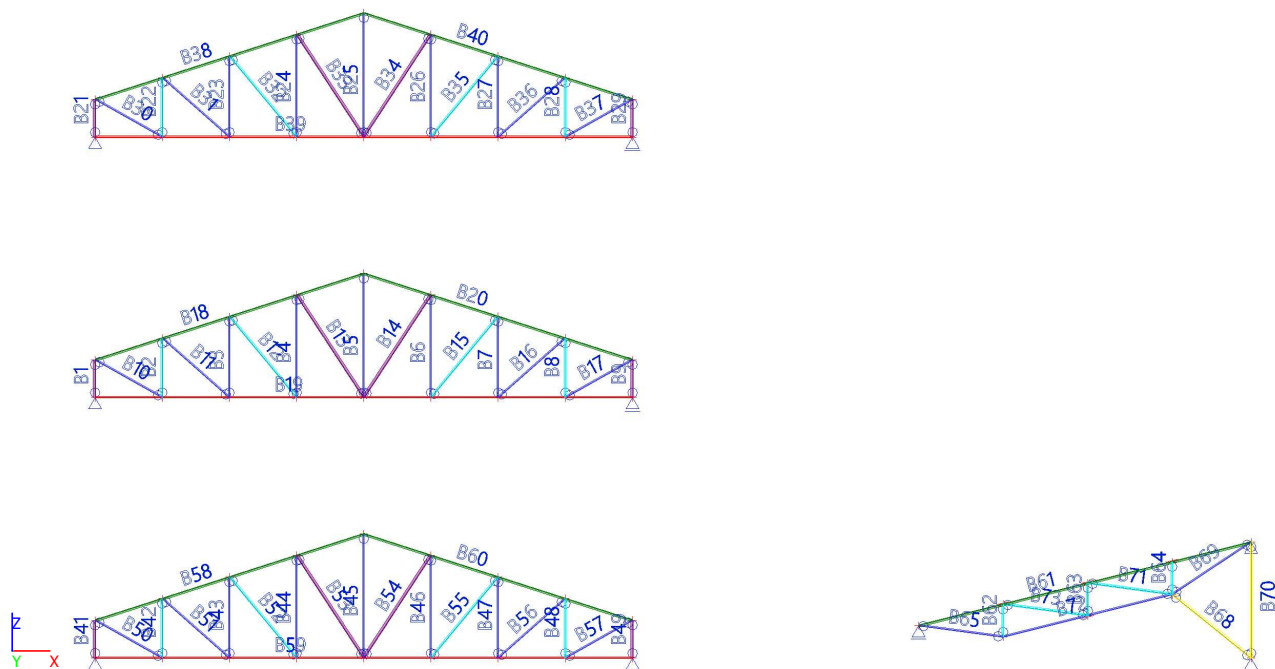


VAZNÍK (IV-VI)



NÁROZNÍ VAZNÍK





## 2.2. Materiály

Ocel EC3

| Jméno | $\rho$<br>[kg/m <sup>3</sup> ] | $E_{mod}$<br>[MPa] | $\mu$              | Dolní mez<br>[mm] | Horní mez<br>[mm] | $F_y$<br>[MPa] | $F_u$<br>[MPa] | Barva |
|-------|--------------------------------|--------------------|--------------------|-------------------|-------------------|----------------|----------------|-------|
|       |                                | $G_{mod}$<br>[MPa] | $\alpha$<br>[m/mK] |                   |                   |                |                |       |
| S 235 | 7850,0                         | 2,1000e+05         | 0.3                | 0                 | 40                | 235,0          | 360,0          | ■     |
|       |                                | 8,0769e+04         | 0,00               | 40                | 80                | 215,0          | 360,0          |       |

## 2.3. Průřezy

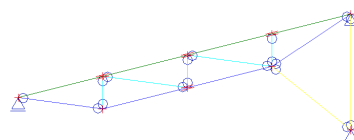
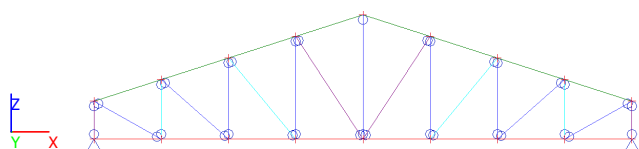
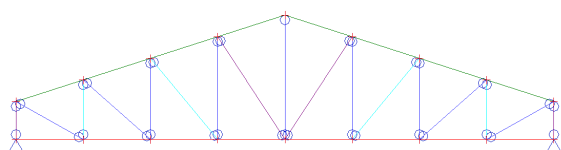
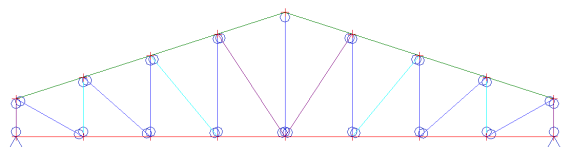
| Jméno | Typ             | Materiál | Výroba    | A<br>[m <sup>2</sup> ] | $A_y$<br>[m <sup>2</sup> ] | $I_y$<br>[m <sup>4</sup> ] | $W_{el,y}$<br>[m <sup>3</sup> ] | $W_{pl,y}$<br>[m <sup>3</sup> ] | Barva |
|-------|-----------------|----------|-----------|------------------------|----------------------------|----------------------------|---------------------------------|---------------------------------|-------|
|       | Detailní        |          |           |                        | $A_z$<br>[m <sup>2</sup> ] | $I_z$<br>[m <sup>4</sup> ] | $W_{el,z}$<br>[m <sup>3</sup> ] | $W_{pl,z}$<br>[m <sup>3</sup> ] |       |
| HP1   | 2LT<br>L50/5; 6 | S 235    | válcovaný | 9,6071e-04             | 6,7161e-04<br>4,7059e-04   | 2,1918e-07<br>4,9784e-07   | 6,0935e-06<br>9,3932e-06        | 1,1166e-05<br>1,6362e-05        | ■     |
| SP1   | 2LT<br>L40/4; 6 | S 235    | válcovaný | 6,1587e-04             | 4,5916e-04<br>3,0255e-04   | 8,9408e-08<br>2,1344e-07   | 3,1035e-06<br>4,9638e-06        | 5,7028e-06<br>8,7401e-06        | ■     |
| D1    | 2LT<br>L63/6; 6 | S 235    | válcovaný | 1,4568e-03             | 8,0625e-04<br>7,0840e-04   | 5,4112e-07<br>1,1689e-06   | 1,1961e-05<br>1,7711e-05        | 2,1659e-05<br>3,0242e-05        | ■     |
| D2    | 2LT<br>L50/5; 6 | S 235    | válcovaný | 9,6071e-04             | 6,7161e-04<br>4,7059e-04   | 2,1918e-07<br>4,9784e-07   | 6,0935e-06<br>9,3932e-06        | 1,1166e-05<br>1,6362e-05        | ■     |
| D3    | 2LT<br>L40/4; 6 | S 235    | válcovaný | 6,1587e-04             | 4,5916e-04<br>3,0255e-04   | 8,9408e-08<br>2,1344e-07   | 3,1035e-06<br>4,9638e-06        | 5,7028e-06<br>8,7401e-06        | ■     |
| HP2   | 2LT<br>L50/5; 6 | S 235    | válcovaný | 9,6071e-04             | 6,7161e-04<br>4,7059e-04   | 2,1918e-07<br>4,9784e-07   | 6,0935e-06<br>9,3932e-06        | 1,1166e-05<br>1,6362e-05        | ■     |
| D4    | 2LT<br>L50/5; 6 | S 235    | válcovaný | 9,6071e-04             | 6,7161e-04<br>4,7059e-04   | 2,1918e-07<br>4,9784e-07   | 6,0935e-06<br>9,3932e-06        | 1,1166e-05<br>1,6362e-05        | ■     |
| D5    | 2LT<br>L40/4; 6 | S 235    | válcovaný | 6,1587e-04             | 4,5916e-04<br>3,0255e-04   | 8,9408e-08<br>2,1344e-07   | 3,1035e-06<br>4,9638e-06        | 5,7028e-06<br>8,7401e-06        | ■     |
| D6    | 2LT<br>L63/6    | S 235    | válcovaný | 7,2800e-04             | 3,5420e-04<br>3,5420e-04   | 2,7056e-07<br>2,7056e-07   | 5,9900e-06<br>5,9900e-06        | 1,0829e-05<br>1,0829e-05        | ■     |



## 2.4. Zatěžovací stavy

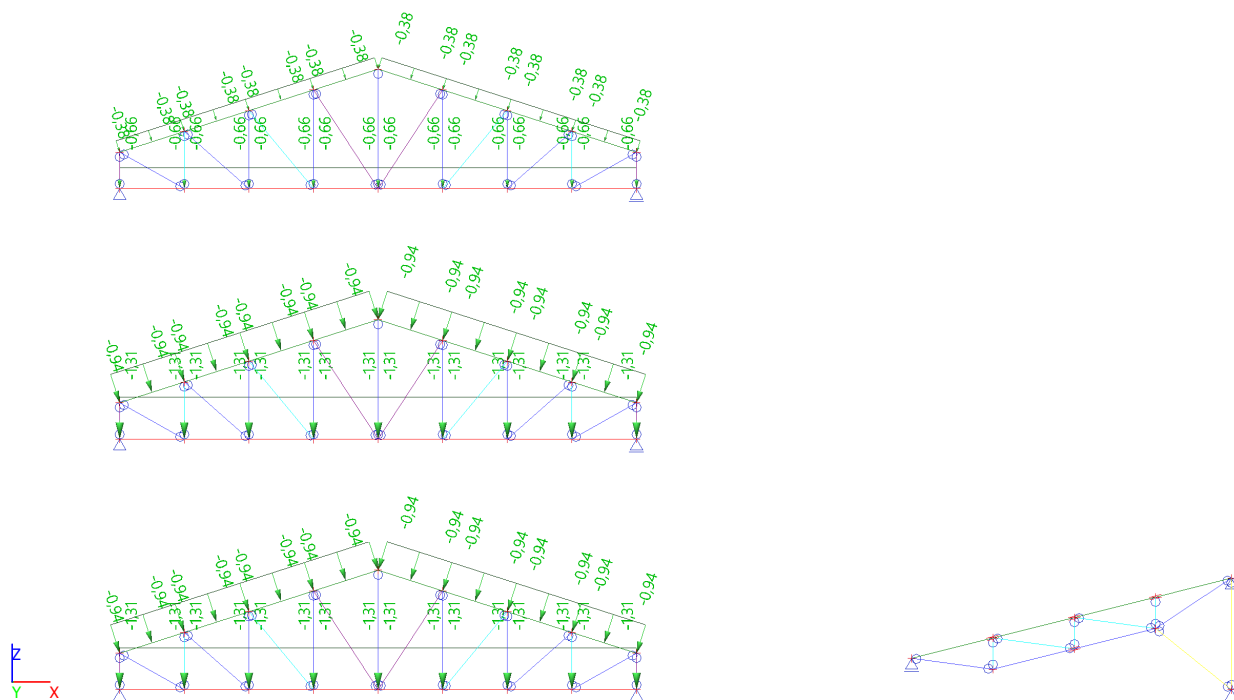
### 2.4.1. Zatěžovací stavy - ZS1

| Jméno | Popis        | Typ působení          | Skupina zatížení | Směr |
|-------|--------------|-----------------------|------------------|------|
|       | Spec         | Typ zatížení          |                  |      |
| ZS1   | Vlastní tíha | Stálé<br>Vlastní tíha | SZ1              | -Z   |



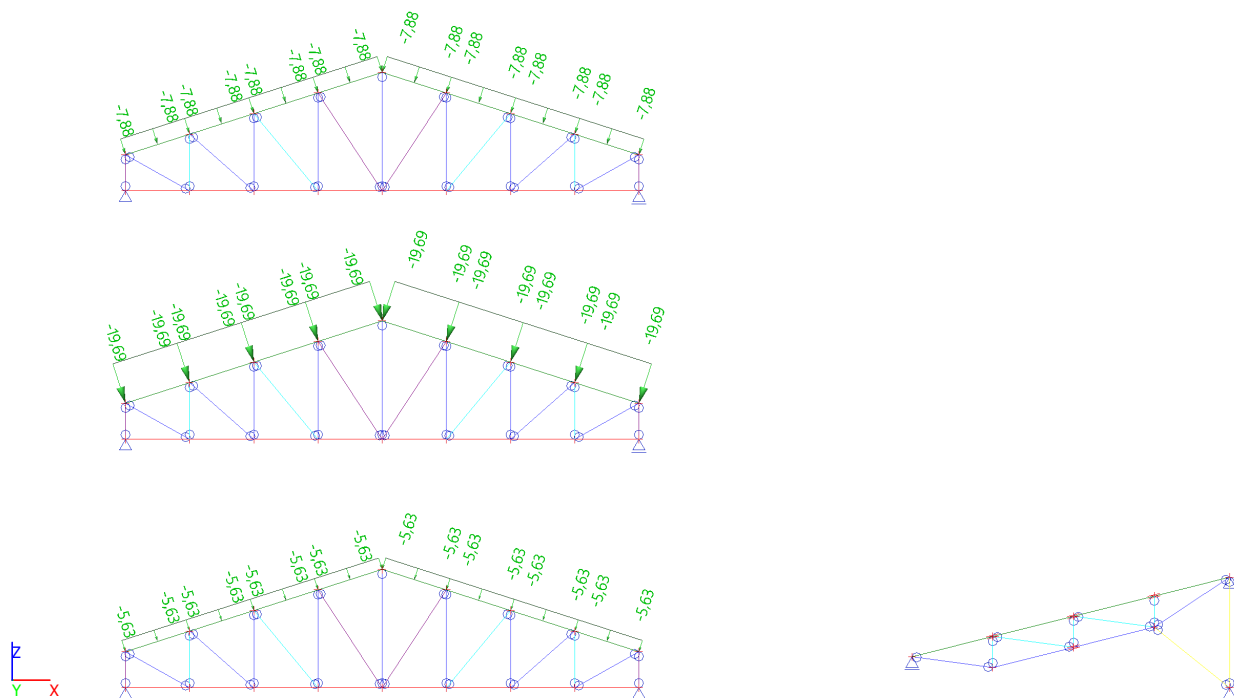
### 2.4.2. Zatěžovací stavy - ZS2

| Jméno | Popis                     | Typ působení | Skupina zatížení |
|-------|---------------------------|--------------|------------------|
|       | Spec                      | Typ zatížení |                  |
| ZS2   | STÁLÉ (podlaha + podhled) | Stálé        | SZ1              |
|       |                           | Standard     |                  |



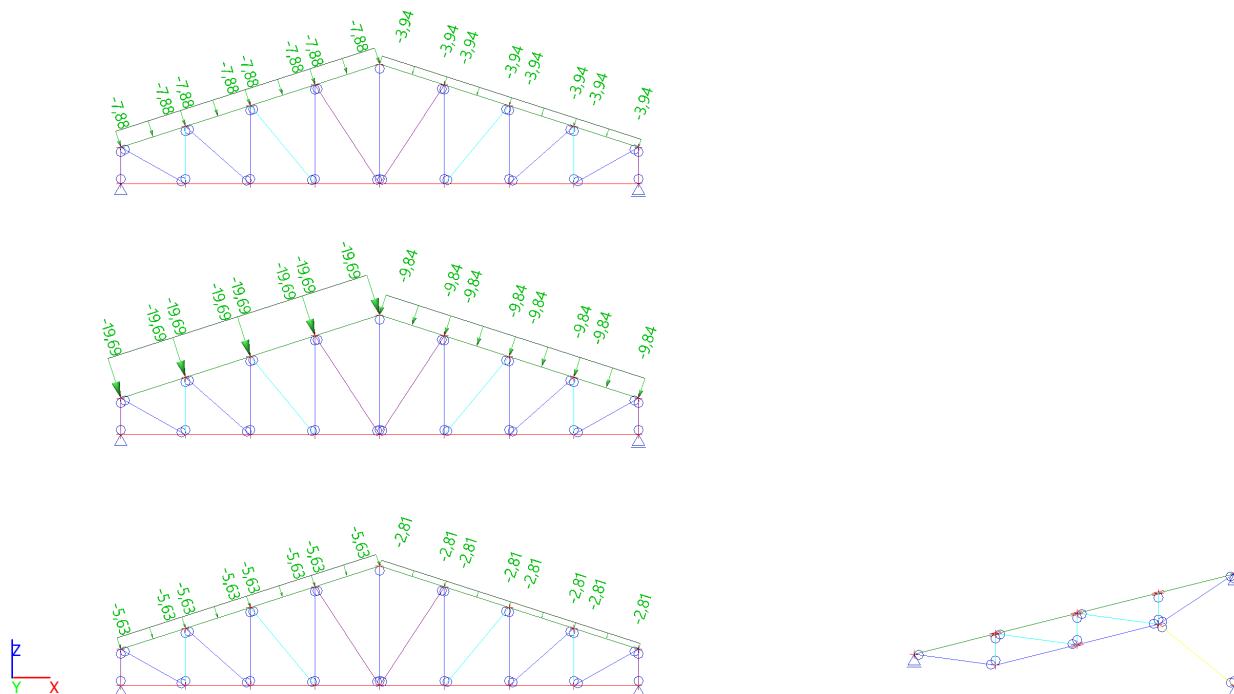
### 2.4.3. Zatěžovací stavy - ZS3

| Jméno | Popis       | Typ působení        | Skupina zatížení | Působení   | Řídící zat. stav |
|-------|-------------|---------------------|------------------|------------|------------------|
|       | <b>Spec</b> | <b>Typ zatížení</b> |                  |            |                  |
| ZS3   | SNÍH (1;1)  | Proměnné            | SNÍH             | Krátkodobé | Žádný            |
|       | Standard    | Statické            |                  |            |                  |



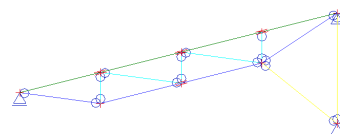
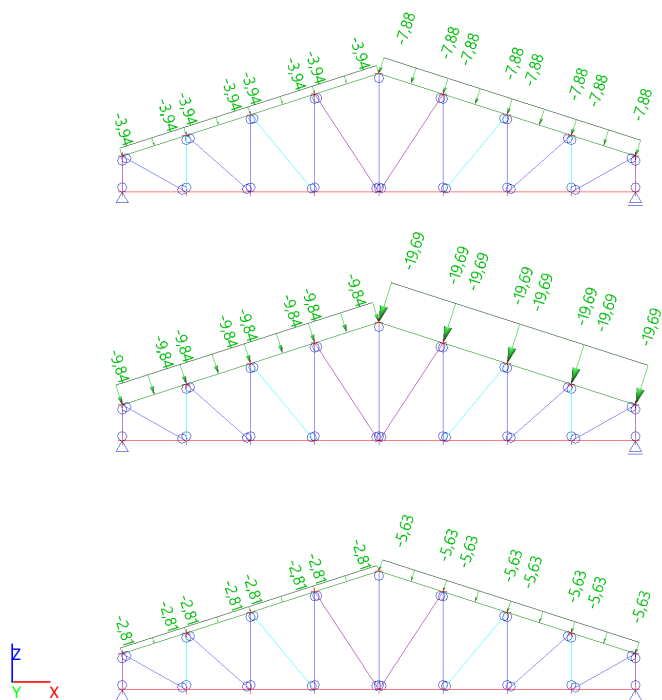
#### 2.4.4. Zatěžovací stavy - ZS4

| Jméno | Popis                    | Typ působení         | Skupina zatížení | Působení   | Řídící zat. stav |
|-------|--------------------------|----------------------|------------------|------------|------------------|
|       | Spec                     | Typ zatížení         |                  |            |                  |
| ZS4   | SNÍH (1;0,5)<br>Standard | Proměnné<br>Statické | SNÍH             | Krátkodobé | Žádný            |



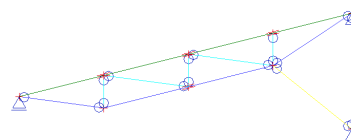
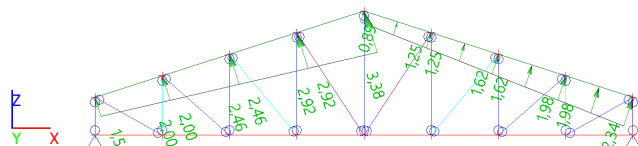
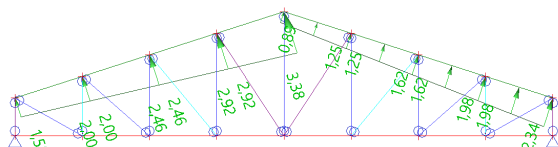
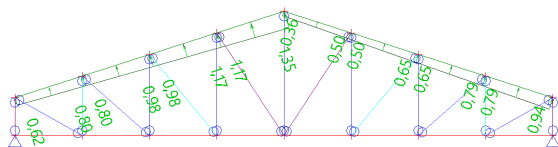
#### 2.4.5. Zatěžovací stavy - ZS5

| Jméno | Popis                    | Typ působení         | Skupina zatížení | Působení   | Řídící zat. stav |
|-------|--------------------------|----------------------|------------------|------------|------------------|
|       | Spec                     | Typ zatížení         |                  |            |                  |
| ZS5   | SNÍH (0,5;1)<br>Standard | Proměnné<br>Statické | SNÍH             | Krátkodobé | Žádný            |



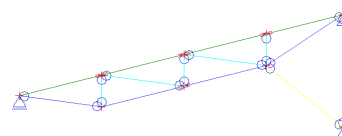
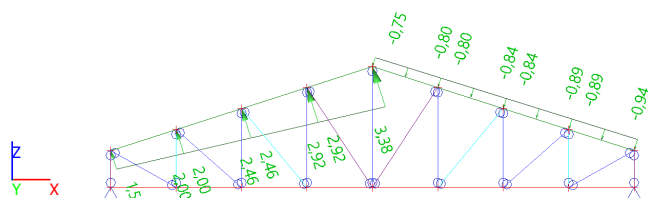
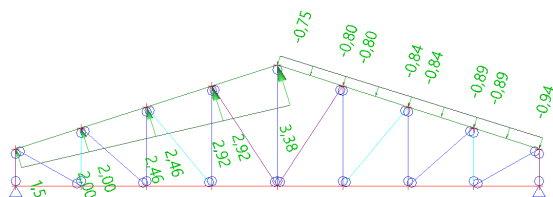
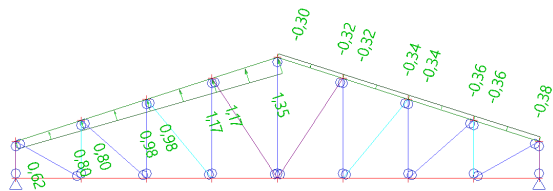
#### 2.4.6. Zatěžovací stavy - ZS6

| Jméno | Popis       | Typ působení        | Skupina zatížení | Působení   | Řídící zat. stav |
|-------|-------------|---------------------|------------------|------------|------------------|
|       | <b>Spec</b> | <b>Typ zatížení</b> |                  |            |                  |
| ZS6   | VÍTR (-;-)  | Proměnné            | VÍTR             | Krátkodobé | Žádný            |
|       | Standard    | Statické            |                  |            |                  |



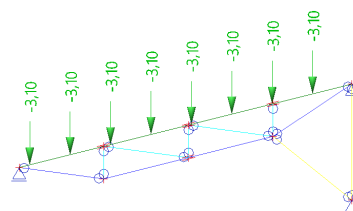
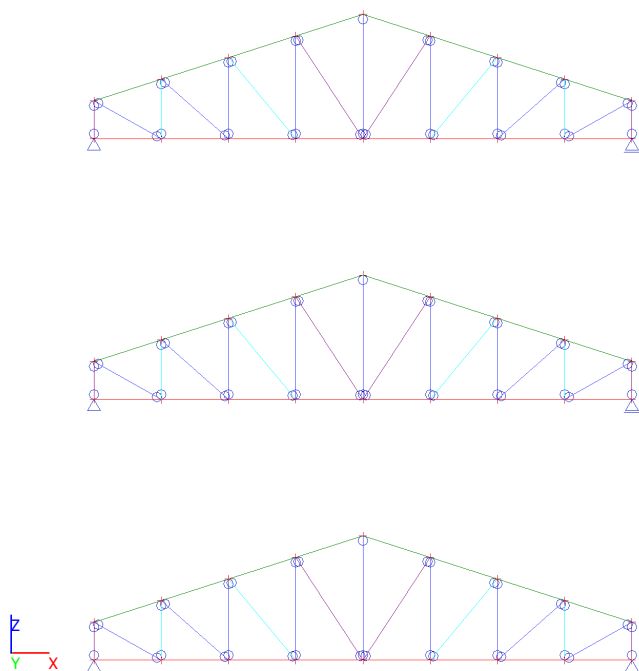
### 2.4.7. Zatěžovací stavy - ZS7

| Jméno | Popis      | Typ působení | Skupina zatížení | Působení   | Řídící zat. stav |
|-------|------------|--------------|------------------|------------|------------------|
|       | Spec       | Typ zatížení |                  |            |                  |
| ZS7   | VÍTR (-;+) | Proměnné     | VÍTR             | Krátkodobé | Žádný            |
|       | Standard   | Statické     |                  |            |                  |



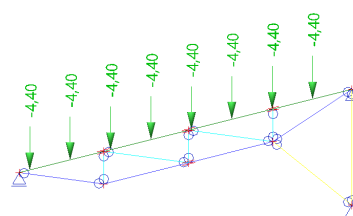
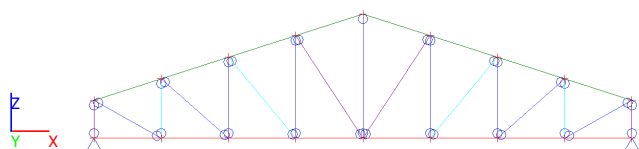
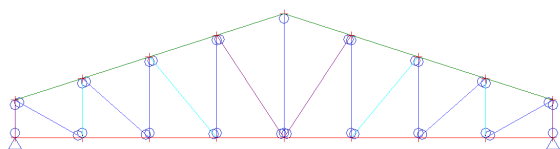
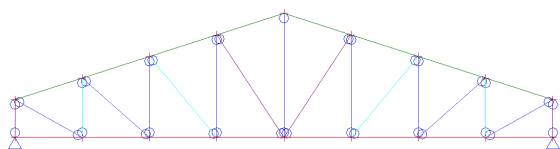
### 2.4.8. Zatěžovací stavy - ZS8

| Jméno | Popis | Typ působení | Skupina zatížení |
|-------|-------|--------------|------------------|
|       | Spec  | Typ zatížení |                  |
| ZS8   | (K)   | Stálé        | SZ1              |
|       |       | Standard     |                  |



## 2.4.9. Zatěžovací stavy - ZS9

| Jméno | Popis | Typ působení | Skupina zatížení |
|-------|-------|--------------|------------------|
|       | Spec  | Typ zatížení |                  |
| ZS9   | (D)   | Stálé        | SZ1              |
|       |       | Standard     |                  |



## 2.5. Kombinace

| Jméno             | Popis | Typ                     | Zatěžovací stavy   | Souč. [-] |
|-------------------|-------|-------------------------|--------------------|-----------|
| MSÚ-Sada B (auto) |       | EN-MSÚ (STR/GEO) Soubor | ZS1 - Vlastní tíha | 1,00      |

| Jméno           | Popis | Typ                     | Zatěžovací stavy                | Souč. [-] |
|-----------------|-------|-------------------------|---------------------------------|-----------|
|                 |       | B                       | ZS2 - STÁLÉ (podlaha + podhled) | 1,00      |
|                 |       |                         | ZS3 - SNÍH (1;1)                | 1,00      |
|                 |       |                         | ZS6 - VÍTR (-;-)                | 1,00      |
|                 |       |                         | ZS7 - VÍTR (-;+)                | 1,00      |
|                 |       |                         | ZS4 - SNÍH (1;0,5)              | 1,00      |
|                 |       |                         | ZS5 - SNÍH (0,5;1)              | 1,00      |
|                 |       |                         | ZS8 - (K)                       | 1,00      |
|                 |       |                         | ZS9 - (D)                       | 1,00      |
| MSP-Char (auto) |       | EN-MSP charakteristická | ZS1 - Vlastní tíha              | 1,00      |
|                 |       |                         | ZS2 - STÁLÉ (podlaha + podhled) | 1,00      |
|                 |       |                         | ZS3 - SNÍH (1;1)                | 1,00      |
|                 |       |                         | ZS6 - VÍTR (-;-)                | 1,00      |
|                 |       |                         | ZS7 - VÍTR (-;+)                | 1,00      |
|                 |       |                         | ZS4 - SNÍH (1;0,5)              | 1,00      |
|                 |       |                         | ZS5 - SNÍH (0,5;1)              | 1,00      |
|                 |       |                         | ZS8 - (K)                       | 1,00      |
|                 |       |                         | ZS9 - (D)                       | 1,00      |
| MS-POŽÁR        |       | EN-mimořádné 1          | ZS1 - Vlastní tíha              | 1,00      |
|                 |       |                         | ZS2 - STÁLÉ (podlaha + podhled) | 1,00      |
|                 |       |                         | ZS3 - SNÍH (1;1)                | 1,00      |
| MSP_NV          |       | Lineární - použitelnost | ZS1 - Vlastní tíha              | 1,00      |
|                 |       |                         | ZS8 - (K)                       | 1,00      |
| MSÚ_NV          |       | Lineární - únosnost     | ZS1 - Vlastní tíha              | 1,35      |
|                 |       |                         | ZS9 - (D)                       | 1,00      |

### 3. VÝSLEDKY

#### 3.1. 1D vnitřní síly

Lineární výpočet  
Třída: Všechny MSU  
Souřadný systém: Dílec  
Extrém 1D: Průřez  
Výběr: Vše

| Jméno | dx [m] | Stav                | Průřez                   | N [kN]         | V <sub>z</sub> [kN] | M <sub>y</sub> [kNm] |
|-------|--------|---------------------|--------------------------|----------------|---------------------|----------------------|
| B13   | 0,000  | MSÚ-Sada B (auto)/1 | D1 - 2LT (L(CSN)63/6; 6) | <b>7,43</b>    | 0,09                | 0,00                 |
| B13   | 2,826  | MSÚ-Sada B (auto)/2 | D1 - 2LT (L(CSN)63/6; 6) | -6,43          | <b>-0,12</b>        | 0,00                 |
| B13   | 0,000  | MSÚ-Sada B (auto)/2 | D1 - 2LT (L(CSN)63/6; 6) | -6,07          | <b>0,12</b>         | 0,00                 |
| B1    | 0,000  | MSÚ-Sada B (auto)/3 | D1 - 2LT (L(CSN)63/6; 6) | <b>-200,30</b> | 0,00                | <b>0,00</b>          |
| B13   | 1,507  | MSÚ-Sada B (auto)/2 | D1 - 2LT (L(CSN)63/6; 6) | -6,26          | -0,01               | <b>0,08</b>          |
| B12   | 0,000  | MSÚ-Sada B (auto)/4 | D2 - 2LT (L(CSN)50/5; 6) | <b>7,61</b>    | 0,06                | 0,00                 |
| B12   | 2,425  | MSÚ-Sada B (auto)/2 | D2 - 2LT (L(CSN)50/5; 6) | -0,95          | <b>-0,08</b>        | 0,00                 |
| B12   | 0,000  | MSÚ-Sada B (auto)/2 | D2 - 2LT (L(CSN)50/5; 6) | -0,77          | <b>0,08</b>         | 0,00                 |
| B2    | 0,000  | MSÚ-Sada B (auto)/3 | D2 - 2LT (L(CSN)50/5; 6) | <b>-111,37</b> | 0,00                | <b>0,00</b>          |
| B12   | 1,306  | MSÚ-Sada B (auto)/2 | D2 - 2LT (L(CSN)50/5; 6) | -0,87          | -0,01               | <b>0,05</b>          |
| B10   | 0,000  | MSÚ-Sada B (auto)/3 | D3 - 2LT (L(CSN)40/4; 6) | <b>233,11</b>  | 0,04                | 0,00                 |
| B10   | 1,777  | MSÚ-Sada B (auto)/2 | D3 - 2LT (L(CSN)40/4; 6) | 24,90          | <b>-0,05</b>        | 0,00                 |
| B10   | 0,000  | MSÚ-Sada B (auto)/2 | D3 - 2LT (L(CSN)40/4; 6) | 24,96          | <b>0,05</b>         | 0,00                 |
| B3    | 0,000  | MSÚ-Sada B (auto)/3 | D3 - 2LT (L(CSN)40/4; 6) | <b>-35,64</b>  | 0,00                | <b>0,00</b>          |

| Jméno | dx<br>[m] | Stav                    | Průřez                       | N<br>[kN]      | V <sub>z</sub><br>[kN] | M <sub>y</sub><br>[kNm] |
|-------|-----------|-------------------------|------------------------------|----------------|------------------------|-------------------------|
| B11   | 1,127     | MSÚ-Sada B<br>(auto)/2  | D3 - 2LT<br>(L(CSN)40/4; 6)  | 6,76           | 0,00                   | <b>0,03</b>             |
| B18   | 3,256+    | MSÚ-Sada B<br>(auto)/3  | HP1 - 2LT<br>(L(CSN)50/5; 6) | <b>-288,14</b> | 24,68                  | -6,22                   |
| B18   | 4,884-    | MSÚ-Sada B<br>(auto)/5  | HP1 - 2LT<br>(L(CSN)50/5; 6) | <b>6,57</b>    | 2,75                   | 0,86                    |
| B18   | 1,628-    | MSÚ-Sada B<br>(auto)/6  | HP1 - 2LT<br>(L(CSN)50/5; 6) | -187,31        | <b>-30,16</b>          | -8,43                   |
| B20   | 4,884+    | MSÚ-Sada B<br>(auto)/7  | HP1 - 2LT<br>(L(CSN)50/5; 6) | -185,38        | <b>30,97</b>           | <b>-8,67</b>            |
| B20   | 5,788     | MSÚ-Sada B<br>(auto)/8  | HP1 - 2LT<br>(L(CSN)50/5; 6) | -217,87        | 2,45                   | <b>6,48</b>             |
| B19   | 0,000     | MSÚ-Sada B<br>(auto)/7  | SP1 - 2LT<br>(L(CSN)40/4; 6) | <b>-35,30</b>  | 0,98                   | 0,00                    |
| B19   | 3,100+    | MSÚ-Sada B<br>(auto)/3  | SP1 - 2LT<br>(L(CSN)40/4; 6) | <b>246,40</b>  | 1,20                   | -0,25                   |
| B19   | 10,850+   | MSÚ-Sada B<br>(auto)/9  | SP1 - 2LT<br>(L(CSN)40/4; 6) | 0,00           | <b>1,72</b>            | -0,46                   |
| B19   | 1,550-    | MSÚ-Sada B<br>(auto)/9  | SP1 - 2LT<br>(L(CSN)40/4; 6) | -1,51          | <b>-1,72</b>           | <b>-0,46</b>            |
| B19   | 11,819    | MSÚ-Sada B<br>(auto)/10 | SP1 - 2LT<br>(L(CSN)40/4; 6) | 0,00           | -0,08                  | <b>0,36</b>             |
| B61   | 0,000     | MSÚ-Sada B<br>(auto)/2  | HP2 - 2LT<br>(L(CSN)50/5; 6) | <b>-52,81</b>  | 10,48                  | 0,00                    |
| B61   | 6,030-    | MSÚ-Sada B<br>(auto)/2  | HP2 - 2LT<br>(L(CSN)50/5; 6) | <b>40,96</b>   | <b>-15,52</b>          | -3,29                   |
| B61   | 2,008+    | MSÚ-Sada B<br>(auto)/2  | HP2 - 2LT<br>(L(CSN)50/5; 6) | -37,75         | <b>14,32</b>           | <b>-4,26</b>            |
| B61   | 1,210-    | MSÚ-Sada B<br>(auto)/2  | HP2 - 2LT<br>(L(CSN)50/5; 6) | -50,32         | 0,54                   | <b>3,18</b>             |
| B71   | 0,000     | MSÚ-Sada B<br>(auto)/2  | D4 - 2LT<br>(L(CSN)50/5; 6)  | <b>-69,75</b>  | 0,10                   | 0,00                    |
| B63   | 0,750     | MSÚ-Sada B<br>(auto)/2  | D4 - 2LT<br>(L(CSN)50/5; 6)  | <b>6,27</b>    | 0,00                   | <b>0,00</b>             |
| B73   | 1,973     | MSÚ-Sada B<br>(auto)/2  | D4 - 2LT<br>(L(CSN)50/5; 6)  | -15,67         | <b>-0,10</b>           | 0,00                    |
| B73   | 0,000     | MSÚ-Sada B<br>(auto)/2  | D4 - 2LT<br>(L(CSN)50/5; 6)  | -15,69         | <b>0,10</b>            | 0,00                    |
| B73   | 0,897     | MSÚ-Sada B<br>(auto)/2  | D4 - 2LT<br>(L(CSN)50/5; 6)  | -15,68         | 0,01                   | <b>0,05</b>             |
| B69   | 0,000     | MS-POŽÁR/11             | D5 - 2LT<br>(L(CSN)40/4; 6)  | <b>0,18</b>    | 0,04                   | 0,00                    |
| B72   | 2,016-    | MSÚ-Sada B<br>(auto)/2  | D5 - 2LT<br>(L(CSN)40/4; 6)  | <b>50,20</b>   | -0,06                  | 0,00                    |
| B72   | 2,016-    | MSÚ_NV/12               | D5 - 2LT<br>(L(CSN)40/4; 6)  | 22,48          | <b>-0,07</b>           | -0,02                   |
| B72   | 2,016+    | MSÚ_NV/12               | D5 - 2LT<br>(L(CSN)40/4; 6)  | 15,36          | <b>0,07</b>            | -0,02                   |
| B72   | 2,016-    | MS-POŽÁR/11             | D5 - 2LT<br>(L(CSN)40/4; 6)  | 0,87           | -0,06                  | <b>-0,02</b>            |
| B69   | 1,092     | MSÚ-Sada B<br>(auto)/2  | D5 - 2LT<br>(L(CSN)40/4; 6)  | 9,85           | 0,00                   | <b>0,03</b>             |
| B70   | 0,000     | MSÚ-Sada B<br>(auto)/2  | D6 - L63/6                   | <b>0,10</b>    | 0,00                   | 0,00                    |
| B68   | 2,336     | MSÚ-Sada B<br>(auto)/2  | D6 - L63/6                   | <b>-56,75</b>  | <b>-0,07</b>           | 0,00                    |
| B68   | 0,000     | MSÚ-Sada B<br>(auto)/2  | D6 - L63/6                   | -56,64         | <b>0,07</b>            | <b>0,00</b>             |
| B68   | 1,078     | MSÚ-Sada B<br>(auto)/2  | D6 - L63/6                   | -56,69         | 0,01                   | <b>0,04</b>             |

| Jméno               | Klíč kombinace                                       |
|---------------------|--|
| MSÚ-Sada B (auto)/1 | ZS1 + ZS2 + 1.50*ZS7 + ZS8 + ZS9                     |
| MSÚ-Sada B (auto)/2 | 1.35*ZS1 + 1.35*ZS2 + 1.35*ZS8 + 1.35*ZS9            |
| MSÚ-Sada B (auto)/3 | 1.15*ZS1 + 1.15*ZS2 + 1.50*ZS3 + 1.15*ZS8 + 1.15*ZS9 |
| MSÚ-Sada B (auto)/4 | ZS1 + ZS2 + 0.90*ZS7 + 1.50*ZS5 + ZS8 + ZS9          |
| MSÚ-Sada B (auto)/5 | ZS1 + ZS2 + 1.50*ZS6 + ZS8 + ZS9                     |
| MSÚ-Sada B (auto)/6 | 1.15*ZS1 + 1.15*ZS2 + 1.50*ZS4 + 1.15*ZS8 + 1.15*ZS9 |
| MSÚ-Sada B (auto)/7 | 1.15*ZS1 + 1.15*ZS2 + 0.90*ZS7 + 1.50*ZS5 + 1.15*ZS8 |



| Jméno                | Klíč kombinace   |
|----------------------|--|
|                      | + 1.15*ZS9   |
| MSÚ-Sada B (auto)/8  | 1.15*ZS1 + 1.15*ZS2 + 1.50*ZS3 + 0.90*ZS7 + 1.15*ZS8<br>+ 1.15*ZS9 |
| MSÚ-Sada B (auto)/9  | 1.35*ZS1 + 1.35*ZS2 + 0.90*ZS6 + 1.35*ZS8 + 1.35*ZS9               |
| MSÚ-Sada B (auto)/10 | 1.35*ZS1 + 1.35*ZS2 + 0.75*ZS3 + 0.90*ZS7 + 1.35*ZS8<br>+ 1.35*ZS9 |
| MS-POŽÁR/11          | ZS1 + ZS2  |
| MSÚ_NV/12            | 1.35*ZS1 + ZS9   |

Hodnoty:  $V_z$

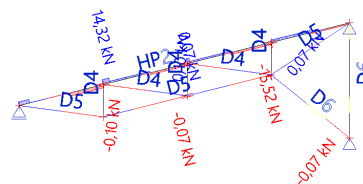
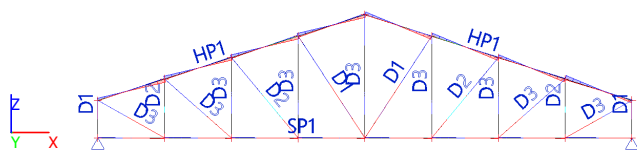
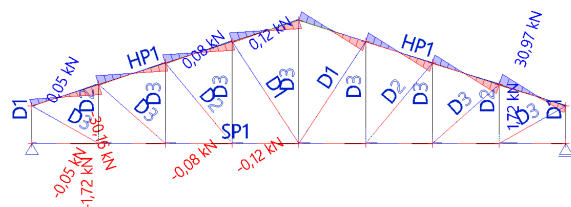
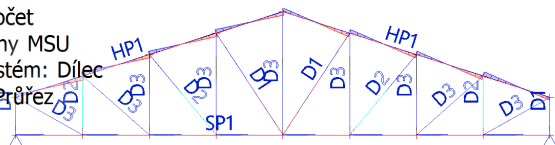
Lineární výpočet

Třída: Všechny MSU

Souřadný systém: Dílec

Extrém 1D: Průřez

Výběr: Vše



Hodnoty:  $M_y$

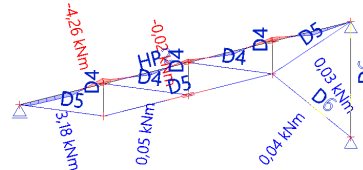
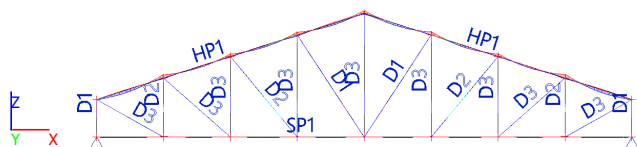
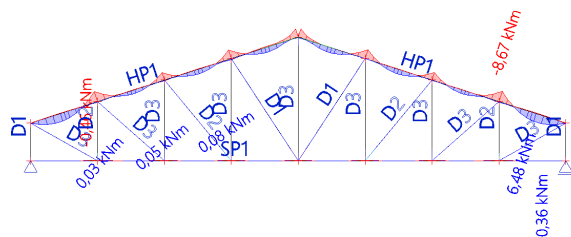
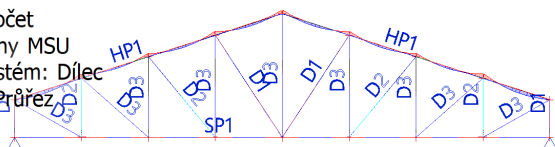
Lineární výpočet

Třída: Všechny MSU

Souřadný systém: Dílec

Extrém 1D: Průřez

Výběr: Vše



### 3.2. 3D přemístění

Lineární výpočet

Třída: Všechny MSP

Výběr: Vše

Poloha: V uzlech s průměrováním na makro. Systém: LSS prvku sítě

**Výsledky na 1D dílci:**

Extrém 1D: Dílec

| Jméno | dx<br>[m] | Vlákno | Stav                 | u <sub>x</sub><br>[mm] | u <sub>y</sub><br>[mm] | u <sub>z</sub><br>[mm] | φ <sub>x</sub><br>[mrad] | φ <sub>y</sub><br>[mrad] | φ <sub>z</sub><br>[mrad] | U <sub>total</sub><br>[mm] |
|-------|-----------|--------|----------------------|------------------------|------------------------|------------------------|--------------------------|--------------------------|--------------------------|----------------------------|
| B1    | 0,000     | 9      | MSP_NV/1             | 0,0                    | 0,0                    | 0,0                    | 0,0                      | 0,1                      | 0,0                      | <b>0,0</b>                 |
| B1    | 0,870     | 1      | MSP-Char<br>(auto)/2 | -0,5                   | 0,0                    | -4,4                   | 0,0                      | 5,1                      | 0,0                      | <b>4,5</b>                 |
| B2    | 0,000     | 12     | MSP_NV/1             | -0,2                   | 0,0                    | 0,0                    | 0,0                      | 0,1                      | 0,0                      | <b>0,2</b>                 |
| B2    | 1,367     | 1      | MSP-Char<br>(auto)/2 | -13,4                  | 0,0                    | -7,3                   | 0,0                      | 5,3                      | 0,0                      | <b>15,2</b>                |
| B3    | 0,000     | 12     | MSP_NV/1             | -0,3                   | 0,0                    | 0,0                    | 0,0                      | 0,0                      | 0,0                      | <b>0,3</b>                 |
| B3    | 1,865     | 1      | MSP-Char<br>(auto)/2 | -21,0                  | 0,0                    | -8,1                   | 0,0                      | 3,5                      | 0,0                      | <b>22,5</b>                |
| B4    | 0,000     | 12     | MSP_NV/1             | -0,3                   | 0,0                    | -0,1                   | 0,0                      | 0,0                      | 0,0                      | <b>0,4</b>                 |
| B4    | 2,362     | 1      | MSP-Char<br>(auto)/2 | -24,3                  | 0,0                    | -7,5                   | 0,0                      | 1,6                      | 0,0                      | <b>25,4</b>                |
| B5    | 2,860     | 1      | MSP_NV/1             | -0,3                   | 0,0                    | -0,1                   | 0,0                      | 0,0                      | 0,0                      | <b>0,3</b>                 |
| B5    | 0,000     | 1      | MSP-Char<br>(auto)/2 | -25,0                  | 0,0                    | -5,6                   | 0,0                      | 0,0                      | 0,0                      | <b>25,6</b>                |
| B6    | 2,362     | 1      | MSP_NV/1             | -0,3                   | 0,0                    | -0,1                   | 0,0                      | 0,0                      | 0,0                      | <b>0,4</b>                 |
| B6    | 0,000     | 12     | MSP-Char<br>(auto)/2 | -24,5                  | 0,0                    | -7,6                   | 0,0                      | -1,6                     | 0,0                      | <b>25,7</b>                |
| B7    | 1,865     | 1      | MSP_NV/1             | -0,3                   | 0,0                    | -0,1                   | 0,0                      | 0,0                      | 0,0                      | <b>0,3</b>                 |
| B7    | 0,000     | 12     | MSP-Char<br>(auto)/2 | -20,7                  | 0,0                    | -9,6                   | 0,0                      | -3,5                     | 0,0                      | <b>22,8</b>                |
| B8    | 1,367     | 1      | MSP_NV/1             | -0,2                   | 0,0                    | -0,1                   | 0,0                      | -0,1                     | 0,0                      | <b>0,2</b>                 |
| B8    | 0,000     | 12     | MSP-Char<br>(auto)/2 | -13,0                  | 0,0                    | -11,3                  | 0,0                      | -5,3                     | 0,0                      | <b>17,2</b>                |
| B9    | 0,870     | 1      | MSP-Char<br>(auto)/3 | 0,0                    | 0,0                    | -0,1                   | 0,0                      | -0,1                     | 0,0                      | <b>0,1</b>                 |
| B9    | 0,000     | 12     | MSP-Char<br>(auto)/2 | -0,2                   | 0,0                    | -11,3                  | 0,0                      | -5,1                     | 0,0                      | <b>11,3</b>                |
| B10   | 0,000     | 1      | MSP-Char<br>(auto)/3 | 0,0                    | 0,0                    | 0,0                    | 0,0                      | 0,6                      | 0,0                      | <b>0,0</b>                 |
| B10   | 1,777     | 12     | MSP-Char<br>(auto)/2 | 6,4                    | 0,0                    | -11,1                  | 0,0                      | 6,8                      | 0,0                      | <b>12,9</b>                |
| B11   | 0,000     | 1      | MSP_NV/1             | 0,2                    | 0,0                    | -0,1                   | 0,0                      | 0,8                      | 0,0                      | <b>0,2</b>                 |
| B11   | 2,067     | 12     | MSP-Char<br>(auto)/2 | 15,0                   | 0,0                    | -14,4                  | 0,0                      | 3,8                      | 0,0                      | <b>20,8</b>                |
| B12   | 0,000     | 1      | MSP_NV/1             | 0,3                    | 0,0                    | -0,1                   | 0,0                      | 0,6                      | 0,0                      | <b>0,3</b>                 |
| B12   | 2,425     | 12     | MSP-Char<br>(auto)/2 | 21,2                   | 0,0                    | -12,8                  | 0,0                      | 1,7                      | 0,0                      | <b>24,8</b>                |
| B13   | 2,826     | 12     | MSP_NV/1             | 0,3                    | 0,0                    | -0,1                   | 0,0                      | -0,5                     | 0,0                      | <b>0,3</b>                 |
| B13   | 1,884     | 12     | MSP-Char<br>(auto)/2 | 24,2                   | 0,0                    | -8,7                   | 0,0                      | 0,4                      | 0,0                      | <b>25,7</b>                |
| B14   | 0,000     | 1      | MSP_NV/1             | 0,2                    | 0,0                    | -0,2                   | 0,0                      | 0,5                      | 0,0                      | <b>0,3</b>                 |
| B14   | 2,826     | 12     | MSP-Char<br>(auto)/2 | 17,8                   | 0,0                    | -18,4                  | 0,0                      | 0,2                      | 0,0                      | <b>25,6</b>                |
| B15   | 0,000     | 1      | MSP_NV/1             | 0,2                    | 0,0                    | -0,2                   | 0,0                      | 0,6                      | 0,0                      | <b>0,3</b>                 |
| B15   | 2,425     | 12     | MSP-Char<br>(auto)/2 | 14,0                   | 0,0                    | -21,5                  | 0,0                      | 1,7                      | 0,0                      | <b>25,6</b>                |
| B16   | 0,000     | 1      | MSP_NV/1             | 0,1                    | 0,0                    | -0,2                   | 0,0                      | 0,8                      | 0,0                      | <b>0,2</b>                 |
| B16   | 2,067     | 12     | MSP-Char<br>(auto)/2 | 6,5                    | 0,0                    | -21,8                  | 0,0                      | 3,8                      | 0,0                      | <b>22,8</b>                |
| B17   | 0,000     | 12     | MSP-Char<br>(auto)/3 | -0,1                   | 0,0                    | -0,1                   | 0,0                      | 0,7                      | 0,0                      | <b>0,1</b>                 |
| B17   | 1,777     | 1      | MSP-Char<br>(auto)/2 | -3,7                   | 0,0                    | -16,7                  | 0,0                      | 6,8                      | 0,0                      | <b>17,1</b>                |
| B18   | 2,713     | 9      | MSP-Char<br>(auto)/3 | 0,0                    | 0,0                    | 0,0                    | 0,0                      | -0,8                     | 0,0                      | <b>0,0</b>                 |
| B18   | 4,070+    | 1      | MSP-Char<br>(auto)/2 | 0,5                    | 0,0                    | 33,9                   | 0,0                      | -1,3                     | 0,0                      | <b>33,9</b>                |
| B19   | 0,000     | 9      | MSP-Char<br>(auto)/4 | 0,0                    | 0,0                    | 0,0                    | 0,0                      | 7,5                      | 0,0                      | <b>0,0</b>                 |

| Jméno | dx<br>[m] | Vlákno | Stav                 | u <sub>x</sub><br>[mm] | u <sub>y</sub><br>[mm] | u <sub>z</sub><br>[mm] | φ <sub>x</sub><br>[mrad] | φ <sub>y</sub><br>[mrad] | φ <sub>z</sub><br>[mrad] | U <sub>total</sub><br>[mm] |
|-------|-----------|--------|----------------------|------------------------|------------------------|------------------------|--------------------------|--------------------------|--------------------------|----------------------------|
| B19   | 6,975-    | 1      | MSP-Char<br>(auto)/2 | 6,6                    | 0,0                    | -26,0                  | 0,0                      | -0,2                     | 0,0                      | <b>26,9</b>                |
| B20   | 6,512     | 12     | MSP-Char<br>(auto)/3 | 0,0                    | 0,0                    | 0,0                    | 0,0                      | -2,6                     | 0,0                      | <b>0,0</b>                 |
| B20   | 2,442-    | 12     | MSP-Char<br>(auto)/2 | 10,3                   | 0,0                    | 30,4                   | 0,0                      | 1,3                      | 0,0                      | <b>32,1</b>                |
| B21   | 0,000     | 9      | MSP_NV/1             | 0,0                    | 0,0                    | 0,0                    | 0,0                      | 0,1                      | 0,0                      | <b>0,0</b>                 |
| B21   | 0,870     | 1      | MSP-Char<br>(auto)/2 | -0,2                   | 0,0                    | -1,8                   | 0,0                      | 2,1                      | 0,0                      | <b>1,8</b>                 |
| B22   | 0,000     | 12     | MSP_NV/1             | -0,2                   | 0,0                    | 0,0                    | 0,0                      | 0,1                      | 0,0                      | <b>0,2</b>                 |
| B22   | 1,367     | 1      | MSP-Char<br>(auto)/2 | -5,5                   | 0,0                    | -3,0                   | 0,0                      | 2,2                      | 0,0                      | <b>6,3</b>                 |
| B23   | 0,000     | 12     | MSP_NV/1             | -0,3                   | 0,0                    | 0,0                    | 0,0                      | 0,0                      | 0,0                      | <b>0,3</b>                 |
| B23   | 1,865     | 1      | MSP-Char<br>(auto)/2 | -8,7                   | 0,0                    | -3,4                   | 0,0                      | 1,4                      | 0,0                      | <b>9,3</b>                 |
| B24   | 0,000     | 12     | MSP_NV/1             | -0,3                   | 0,0                    | -0,1                   | 0,0                      | 0,0                      | 0,0                      | <b>0,4</b>                 |
| B24   | 2,363     | 1      | MSP-Char<br>(auto)/2 | -10,1                  | 0,0                    | -3,1                   | 0,0                      | 0,7                      | 0,0                      | <b>10,5</b>                |
| B25   | 2,860     | 1      | MSP_NV/1             | -0,3                   | 0,0                    | -0,1                   | 0,0                      | 0,0                      | 0,0                      | <b>0,3</b>                 |
| B25   | 0,000     | 1      | MSP-Char<br>(auto)/2 | -10,4                  | 0,0                    | -2,3                   | 0,0                      | 0,0                      | 0,0                      | <b>10,6</b>                |
| B26   | 2,363     | 1      | MSP_NV/1             | -0,3                   | 0,0                    | -0,1                   | 0,0                      | 0,0                      | 0,0                      | <b>0,4</b>                 |
| B26   | 0,000     | 12     | MSP-Char<br>(auto)/2 | -10,2                  | 0,0                    | -3,1                   | 0,0                      | -0,7                     | 0,0                      | <b>10,6</b>                |
| B27   | 1,865     | 1      | MSP_NV/1             | -0,3                   | 0,0                    | -0,1                   | 0,0                      | 0,0                      | 0,0                      | <b>0,3</b>                 |
| B27   | 0,000     | 12     | MSP-Char<br>(auto)/2 | -8,6                   | 0,0                    | -4,0                   | 0,0                      | -1,4                     | 0,0                      | <b>9,5</b>                 |
| B28   | 1,367     | 1      | MSP_NV/1             | -0,2                   | 0,0                    | -0,1                   | 0,0                      | -0,1                     | 0,0                      | <b>0,2</b>                 |
| B28   | 0,000     | 12     | MSP-Char<br>(auto)/2 | -5,4                   | 0,0                    | -4,7                   | 0,0                      | -2,2                     | 0,0                      | <b>7,1</b>                 |
| B29   | 0,870     | 1      | MSP_NV/1             | 0,0                    | 0,0                    | -0,1                   | 0,0                      | -0,1                     | 0,0                      | <b>0,1</b>                 |
| B29   | 0,000     | 12     | MSP-Char<br>(auto)/2 | -0,1                   | 0,0                    | -4,7                   | 0,0                      | -2,1                     | 0,0                      | <b>4,7</b>                 |
| B30   | 0,000     | 1      | MSP_NV/1             | 0,0                    | 0,0                    | 0,0                    | 0,0                      | 0,6                      | 0,0                      | <b>0,1</b>                 |
| B30   | 1,777     | 12     | MSP-Char<br>(auto)/2 | 2,7                    | 0,0                    | -4,6                   | 0,0                      | 2,5                      | 0,0                      | <b>5,3</b>                 |
| B31   | 0,000     | 1      | MSP_NV/1             | 0,2                    | 0,0                    | -0,1                   | 0,0                      | 0,8                      | 0,0                      | <b>0,2</b>                 |
| B31   | 2,067     | 12     | MSP-Char<br>(auto)/2 | 6,2                    | 0,0                    | -5,9                   | 0,0                      | 1,2                      | 0,0                      | <b>8,6</b>                 |
| B32   | 0,000     | 1      | MSP_NV/1             | 0,3                    | 0,0                    | -0,1                   | 0,0                      | 0,6                      | 0,0                      | <b>0,3</b>                 |
| B32   | 2,425     | 12     | MSP-Char<br>(auto)/2 | 8,8                    | 0,0                    | -5,3                   | 0,0                      | 0,4                      | 0,0                      | <b>10,3</b>                |
| B33   | 2,826     | 12     | MSP_NV/1             | 0,3                    | 0,0                    | -0,1                   | 0,0                      | -0,5                     | 0,0                      | <b>0,3</b>                 |
| B33   | 1,507     | 12     | MSP-Char<br>(auto)/2 | 10,0                   | 0,0                    | -3,8                   | 0,0                      | 0,2                      | 0,0                      | <b>10,7</b>                |
| B34   | 0,000     | 1      | MSP_NV/1             | 0,2                    | 0,0                    | -0,2                   | 0,0                      | 0,5                      | 0,0                      | <b>0,3</b>                 |
| B34   | 1,884     | 12     | MSP-Char<br>(auto)/2 | 7,4                    | 0,0                    | -7,8                   | 0,0                      | 0,0                      | 0,0                      | <b>10,7</b>                |
| B35   | 0,000     | 1      | MSP_NV/1             | 0,2                    | 0,0                    | -0,2                   | 0,0                      | 0,6                      | 0,0                      | <b>0,3</b>                 |
| B35   | 2,425     | 12     | MSP-Char<br>(auto)/2 | 5,8                    | 0,0                    | -8,9                   | 0,0                      | 0,4                      | 0,0                      | <b>10,6</b>                |
| B36   | 0,000     | 1      | MSP_NV/1             | 0,1                    | 0,0                    | -0,2                   | 0,0                      | 0,8                      | 0,0                      | <b>0,2</b>                 |
| B36   | 2,067     | 12     | MSP-Char<br>(auto)/2 | 2,7                    | 0,0                    | -9,0                   | 0,0                      | 1,2                      | 0,0                      | <b>9,4</b>                 |
| B37   | 0,000     | 12     | MSP_NV/1             | -0,1                   | 0,0                    | -0,1                   | 0,0                      | 0,6                      | 0,0                      | <b>0,1</b>                 |
| B37   | 1,777     | 1      | MSP-Char<br>(auto)/2 | -1,5                   | 0,0                    | -6,9                   | 0,0                      | 2,5                      | 0,0                      | <b>7,1</b>                 |
| B38   | 5,426     | 10     | MSP-Char<br>(auto)/3 | 0,0                    | 0,0                    | 0,0                    | 0,0                      | 0,8                      | 0,0                      | <b>0,0</b>                 |
| B38   | 4,070+    | 1      | MSP-Char<br>(auto)/2 | 0,2                    | 0,0                    | 13,9                   | 0,0                      | -0,6                     | 0,0                      | <b>13,9</b>                |
| B39   | 0,000     | 9      | MSP-Char<br>(auto)/4 | 0,0                    | 0,0                    | 0,0                    | 0,0                      | 3,9                      | 0,0                      | <b>0,0</b>                 |
| B39   | 6,975+    | 1      | MSP-Char<br>(auto)/2 | 2,7                    | 0,0                    | -10,9                  | 0,0                      | -0,1                     | 0,0                      | <b>11,2</b>                |
| B40   | 6,512     | 1      | MSP_NV/1             | 0,1                    | 0,0                    | 0,0                    | 0,0                      | 0,3                      | 0,0                      | <b>0,1</b>                 |
| B40   | 2,442-    | 12     | MSP-Char<br>(auto)/2 | 4,3                    | 0,0                    | 12,5                   | 0,0                      | 0,6                      | 0,0                      | <b>13,2</b>                |

| Jméno | dx<br>[m] | Vlákno | Stav                 | u <sub>x</sub><br>[mm] | u <sub>y</sub><br>[mm] | u <sub>z</sub><br>[mm] | φ <sub>x</sub><br>[mrad] | φ <sub>y</sub><br>[mrad] | φ <sub>z</sub><br>[mrad] | U <sub>total</sub><br>[mm] |
|-------|-----------|--------|----------------------|------------------------|------------------------|------------------------|--------------------------|--------------------------|--------------------------|----------------------------|
| B41   | 0,000     | 9      | MSP_NV/1             | 0,0                    | 0,0                    | 0,0                    | 0,0                      | 0,1                      | 0,0                      | <b>0,0</b>                 |
| B41   | 0,870     | 1      | MSP-Char<br>(auto)/2 | -0,2                   | 0,0                    | -1,6                   | 0,0                      | 1,9                      | 0,0                      | <b>1,6</b>                 |
| B42   | 0,000     | 12     | MSP_NV/1             | -0,2                   | 0,0                    | 0,0                    | 0,0                      | 0,1                      | 0,0                      | <b>0,2</b>                 |
| B42   | 1,367     | 1      | MSP-Char<br>(auto)/2 | -4,9                   | 0,0                    | -2,7                   | 0,0                      | 2,0                      | 0,0                      | <b>5,6</b>                 |
| B43   | 0,000     | 12     | MSP_NV/1             | -0,3                   | 0,0                    | 0,0                    | 0,0                      | 0,0                      | 0,0                      | <b>0,3</b>                 |
| B43   | 1,865     | 1      | MSP-Char<br>(auto)/2 | -7,7                   | 0,0                    | -3,0                   | 0,0                      | 1,3                      | 0,0                      | <b>8,3</b>                 |
| B44   | 0,000     | 12     | MSP_NV/1             | -0,3                   | 0,0                    | -0,1                   | 0,0                      | 0,0                      | 0,0                      | <b>0,4</b>                 |
| B44   | 2,362     | 1      | MSP-Char<br>(auto)/2 | -8,9                   | 0,0                    | -2,8                   | 0,0                      | 0,6                      | 0,0                      | <b>9,3</b>                 |
| B45   | 2,860     | 1      | MSP_NV/1             | -0,3                   | 0,0                    | -0,1                   | 0,0                      | 0,0                      | 0,0                      | <b>0,3</b>                 |
| B45   | 0,000     | 1      | MSP-Char<br>(auto)/2 | -9,2                   | 0,0                    | -2,1                   | 0,0                      | 0,0                      | 0,0                      | <b>9,4</b>                 |
| B46   | 2,362     | 1      | MSP_NV/1             | -0,3                   | 0,0                    | -0,1                   | 0,0                      | 0,0                      | 0,0                      | <b>0,4</b>                 |
| B46   | 0,000     | 12     | MSP-Char<br>(auto)/2 | -9,0                   | 0,0                    | -2,8                   | 0,0                      | -0,6                     | 0,0                      | <b>9,4</b>                 |
| B47   | 1,865     | 1      | MSP_NV/1             | -0,3                   | 0,0                    | -0,1                   | 0,0                      | 0,0                      | 0,0                      | <b>0,3</b>                 |
| B47   | 0,000     | 12     | MSP-Char<br>(auto)/2 | -7,6                   | 0,0                    | -3,6                   | 0,0                      | -1,3                     | 0,0                      | <b>8,4</b>                 |
| B48   | 1,367     | 1      | MSP_NV/1             | -0,2                   | 0,0                    | -0,1                   | 0,0                      | -0,1                     | 0,0                      | <b>0,2</b>                 |
| B48   | 0,000     | 12     | MSP-Char<br>(auto)/2 | -4,8                   | 0,0                    | -4,2                   | 0,0                      | -2,0                     | 0,0                      | <b>6,3</b>                 |
| B49   | 0,870     | 1      | MSP-Char<br>(auto)/3 | 0,0                    | 0,0                    | -0,1                   | 0,0                      | -0,1                     | 0,0                      | <b>0,1</b>                 |
| B49   | 0,000     | 12     | MSP-Char<br>(auto)/2 | -0,1                   | 0,0                    | -4,2                   | 0,0                      | -1,9                     | 0,0                      | <b>4,2</b>                 |
| B50   | 0,000     | 1      | MSP-Char<br>(auto)/3 | 0,0                    | 0,0                    | 0,0                    | 0,0                      | 0,6                      | 0,0                      | <b>0,0</b>                 |
| B50   | 1,777     | 12     | MSP-Char<br>(auto)/2 | 2,4                    | 0,0                    | -4,1                   | 0,0                      | 2,2                      | 0,0                      | <b>4,7</b>                 |
| B51   | 0,000     | 1      | MSP_NV/1             | 0,2                    | 0,0                    | -0,1                   | 0,0                      | 0,8                      | 0,0                      | <b>0,2</b>                 |
| B51   | 2,067     | 12     | MSP-Char<br>(auto)/2 | 5,5                    | 0,0                    | -5,3                   | 0,0                      | 0,9                      | 0,0                      | <b>7,6</b>                 |
| B52   | 0,000     | 1      | MSP_NV/1             | 0,3                    | 0,0                    | -0,1                   | 0,0                      | 0,6                      | 0,0                      | <b>0,3</b>                 |
| B52   | 2,425     | 12     | MSP-Char<br>(auto)/2 | 7,8                    | 0,0                    | -4,7                   | 0,0                      | 0,2                      | 0,0                      | <b>9,1</b>                 |
| B53   | 2,826     | 12     | MSP_NV/1             | 0,3                    | 0,0                    | -0,1                   | 0,0                      | -0,5                     | 0,0                      | <b>0,3</b>                 |
| B53   | 1,507     | 12     | MSP-Char<br>(auto)/2 | 8,9                    | 0,0                    | -3,4                   | 0,0                      | 0,2                      | 0,0                      | <b>9,5</b>                 |
| B54   | 0,000     | 1      | MSP_NV/1             | 0,2                    | 0,0                    | -0,2                   | 0,0                      | 0,5                      | 0,0                      | <b>0,3</b>                 |
| B54   | 1,695     | 12     | MSP-Char<br>(auto)/2 | 6,6                    | 0,0                    | -6,9                   | 0,0                      | 0,1                      | 0,0                      | <b>9,6</b>                 |
| B55   | 0,000     | 1      | MSP_NV/1             | 0,2                    | 0,0                    | -0,2                   | 0,0                      | 0,6                      | 0,0                      | <b>0,3</b>                 |
| B55   | 2,425     | 12     | MSP-Char<br>(auto)/2 | 5,1                    | 0,0                    | -7,9                   | 0,0                      | 0,2                      | 0,0                      | <b>9,4</b>                 |
| B56   | 0,000     | 1      | MSP_NV/1             | 0,1                    | 0,0                    | -0,2                   | 0,0                      | 0,8                      | 0,0                      | <b>0,2</b>                 |
| B56   | 2,067     | 12     | MSP-Char<br>(auto)/2 | 2,4                    | 0,0                    | -8,0                   | 0,0                      | 0,9                      | 0,0                      | <b>8,4</b>                 |
| B57   | 0,000     | 12     | MSP-Char<br>(auto)/3 | -0,1                   | 0,0                    | -0,1                   | 0,0                      | 0,7                      | 0,0                      | <b>0,1</b>                 |
| B57   | 1,777     | 1      | MSP-Char<br>(auto)/2 | -1,4                   | 0,0                    | -6,1                   | 0,0                      | 2,2                      | 0,0                      | <b>6,3</b>                 |
| B58   | 2,713     | 9      | MSP-Char<br>(auto)/3 | 0,0                    | 0,0                    | 0,0                    | 0,0                      | -0,8                     | 0,0                      | <b>0,0</b>                 |
| B58   | 4,070+    | 1      | MSP-Char<br>(auto)/2 | 0,2                    | 0,0                    | 12,0                   | 0,0                      | -0,5                     | 0,0                      | <b>12,0</b>                |
| B59   | 0,000     | 9      | MSP-Char<br>(auto)/4 | 0,0                    | 0,0                    | 0,0                    | 0,0                      | 7,5                      | 0,0                      | <b>0,0</b>                 |
| B59   | 6,975+    | 1      | MSP-Char<br>(auto)/2 | 2,4                    | 0,0                    | -10,3                  | 0,0                      | -0,1                     | 0,0                      | <b>10,5</b>                |
| B60   | 6,512     | 12     | MSP-Char<br>(auto)/3 | 0,0                    | 0,0                    | 0,0                    | 0,0                      | -2,6                     | 0,0                      | <b>0,0</b>                 |
| B60   | 0,814+    | 12     | MSP-Char<br>(auto)/5 | 3,9                    | 0,0                    | 10,7                   | 0,0                      | 0,0                      | 0,0                      | <b>11,4</b>                |
| B61   | 7,907     | 9      | MSP-Char<br>(auto)/4 | 0,0                    | 0,0                    | 0,0                    | 0,0                      | 19,1                     | 0,0                      | <b>0,0</b>                 |

| Jméno | dx<br>[m] | Vlákno | Stav                 | u <sub>x</sub><br>[mm] | u <sub>y</sub><br>[mm] | u <sub>z</sub><br>[mm] | φ <sub>x</sub><br>[mrad] | φ <sub>y</sub><br>[mrad] | φ <sub>z</sub><br>[mrad] | U <sub>total</sub><br>[mm] |
|-------|-----------|--------|----------------------|------------------------|------------------------|------------------------|--------------------------|--------------------------|--------------------------|----------------------------|
| B61   | 1,018     | 1      | MSP-Char<br>(auto)/4 | -0,1                   | 0,0                    | 20,0                   | 0,0                      | 3,6                      | 0,0                      | <b>20,0</b>                |
| B62   | 0,000     | 12     | MSP_NV/1             | -1,7                   | 0,0                    | -0,1                   | 0,0                      | 0,3                      | 0,0                      | <b>1,7</b>                 |
| B62   | 0,750     | 1      | MSP-Char<br>(auto)/4 | -4,0                   | 0,0                    | -0,7                   | 0,0                      | 0,8                      | 0,0                      | <b>4,1</b>                 |
| B63   | 0,750     | 1      | MSP_NV/1             | -1,6                   | 0,0                    | -0,2                   | 0,0                      | -0,2                     | 0,0                      | <b>1,6</b>                 |
| B63   | 0,000     | 12     | MSP-Char<br>(auto)/4 | -3,7                   | 0,0                    | -0,7                   | 0,0                      | -0,4                     | 0,0                      | <b>3,8</b>                 |
| B64   | 0,375     | 1      | MSP_NV/1             | -0,3                   | 0,0                    | 0,0                    | 0,0                      | -0,2                     | 0,0                      | <b>0,3</b>                 |
| B64   | 0,750     | 12     | MSP-Char<br>(auto)/4 | -0,7                   | 0,0                    | 0,1                    | 0,0                      | -0,5                     | 0,0                      | <b>0,7</b>                 |
| B65   | 0,000     | 1      | MSP_NV/1             | 0,0                    | 0,0                    | 0,0                    | 0,0                      | 1,6                      | 0,0                      | <b>0,0</b>                 |
| B65   | 1,966     | 12     | MSP-Char<br>(auto)/4 | 0,7                    | 0,0                    | -3,9                   | 0,0                      | 1,2                      | 0,0                      | <b>4,0</b>                 |
| B68   | 2,336     | 11     | MSP_NV/1             | 0,0                    | 0,0                    | 0,0                    | 0,0                      | -0,5                     | 0,0                      | <b>0,0</b>                 |
| B68   | 0,000     | 14     | MSP-Char<br>(auto)/4 | 0,7                    | 0,0                    | -0,3                   | 0,0                      | 0,3                      | 0,0                      | <b>0,7</b>                 |
| B69   | 2,184     | 9      | MSP_NV/1             | 0,0                    | 0,0                    | 0,0                    | 0,0                      | -1,1                     | 0,0                      | <b>0,0</b>                 |
| B69   | 0,910     | 12     | MSP-Char<br>(auto)/4 | -0,1                   | 0,0                    | -1,0                   | 0,0                      | -0,1                     | 0,0                      | <b>1,0</b>                 |
| B70   | 0,000     | 1      | MSP-Char<br>(auto)/4 | 0,0                    | 0,0                    | 0,0                    | 0,0                      | 0,0                      | 0,0                      | <b>0,0</b>                 |
| B71   | 0,000     | 12     | MSP_NV/1             | -0,1                   | 0,0                    | -0,3                   | 0,0                      | 1,2                      | 0,0                      | <b>0,3</b>                 |
| B71   | 1,964     | 1      | MSP-Char<br>(auto)/4 | -0,9                   | 0,0                    | -3,6                   | 0,0                      | 1,0                      | 0,0                      | <b>3,7</b>                 |
| B72   | 4,022     | 12     | MSP_NV/1             | 0,0                    | 0,0                    | -0,3                   | 0,0                      | -1,2                     | 0,0                      | <b>0,3</b>                 |
| B72   | 0,916     | 1      | MSP-Char<br>(auto)/4 | -0,6                   | 0,0                    | -4,3                   | 0,0                      | 0,0                      | 0,0                      | <b>4,4</b>                 |
| B73   | 0,000     | 12     | MSP_NV/1             | -0,5                   | 0,0                    | -1,5                   | 0,0                      | 0,6                      | 0,0                      | <b>1,6</b>                 |
| B73   | 1,255     | 12     | MSP-Char<br>(auto)/4 | -1,2                   | 0,0                    | -4,1                   | 0,0                      | -0,1                     | 0,0                      | <b>4,3</b>                 |

| Jméno             | Klíč kombinace                         |
|-------------------|--|
| MSP_NV/1          | ZS1 + ZS8                              |
| MSP-Char (auto)/2 | ZS1 + ZS2 + ZS3 + ZS8 + ZS9            |
| MSP-Char (auto)/3 | ZS1 + ZS2 + ZS6 + ZS8 + ZS9            |
| MSP-Char (auto)/4 | ZS1 + ZS2 + ZS8 + ZS9                  |
| MSP-Char (auto)/5 | ZS1 + ZS2 + ZS3 + 0.60*ZS7 + ZS8 + ZS9 |

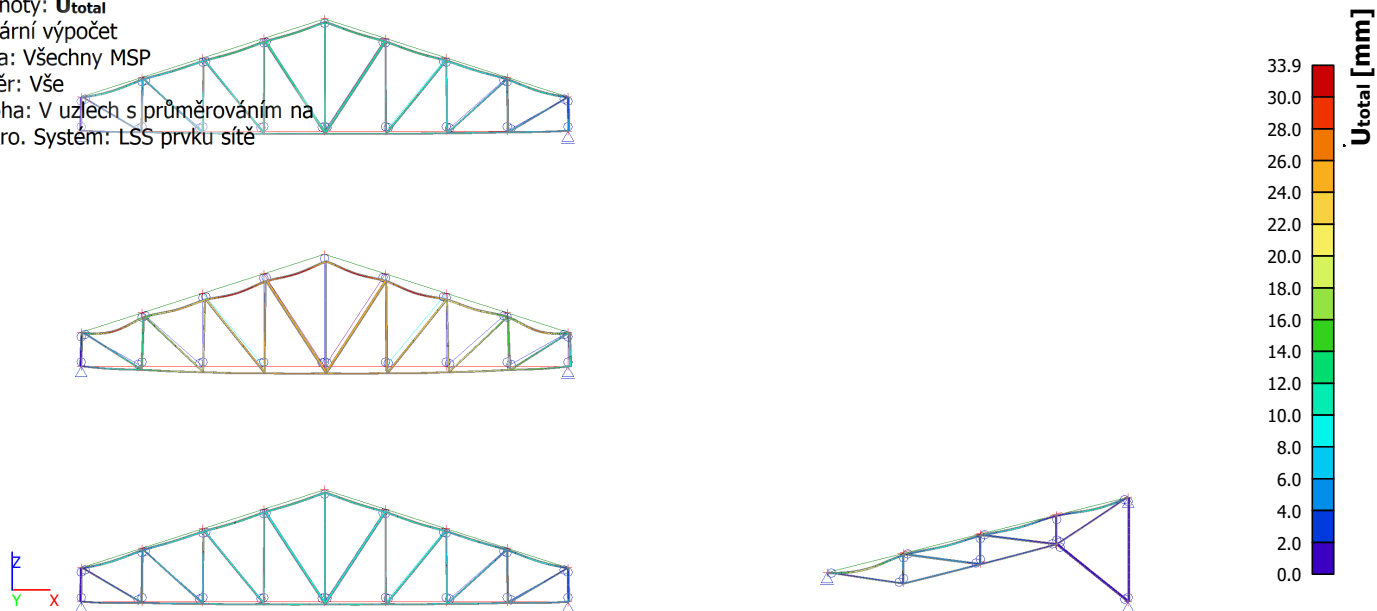
Hodnoty: **U<sub>total</sub>**

Lineární výpočet

Třída: Všechny MSP

Výběr: Vše

Poloha: V uzlech s průměrováním na makro. Systém: LSS prvku sítě



### 3.3. Reakce

Lineární výpočet  
 Třída: Všechny MSP  
 Systém: Globální  
 Extrém: Dílec  
 Výběr: Vše  
**Uzlové reakce**

| Jméno   | Stav              | R <sub>x</sub><br>[kN] | R <sub>z</sub><br>[kN] | M <sub>y</sub><br>[kNm] | e <sub>y</sub><br>[mm] |
|---------|-------------------|------------------------|------------------------|-------------------------|------------------------|
| Sn1/N1  | MSP-Char (auto)/1 | <b>23,53</b>           | 89,90                  | <b>0,00</b>             | 0,0                    |
| Sn1/N1  | MSP_NV/2          | 0,00                   | <b>1,92</b>            | 0,00                    | 0,0                    |
| Sn1/N1  | MSP-Char (auto)/3 | 0,00                   | <b>137,93</b>          | 0,00                    | 0,0                    |
| Sn1/N1  | MSP-Char (auto)/4 | <b>-19,59</b>          | 119,73                 | <b>0,00</b>             | 0,0                    |
| Sn2/N17 | MSP_NV/2          | 0,00                   | <b>1,92</b>            | 0,00                    | 0,0                    |
| Sn2/N17 | MSP-Char (auto)/3 | <b>0,00</b>            | <b>137,93</b>          | <b>0,00</b>             | 0,0                    |
| Sn3/N19 | MSP-Char (auto)/1 | <b>9,42</b>            | 37,95                  | <b>0,00</b>             | 0,0                    |
| Sn3/N19 | MSP_NV/2          | 0,00                   | <b>1,92</b>            | 0,00                    | 0,0                    |
| Sn3/N19 | MSP-Char (auto)/3 | 0,00                   | <b>57,14</b>           | 0,00                    | 0,0                    |
| Sn3/N19 | MSP-Char (auto)/4 | <b>-7,84</b>           | 49,88                  | <b>0,00</b>             | 0,0                    |
| Sn4/N35 | MSP_NV/2          | 0,00                   | <b>1,92</b>            | 0,00                    | 0,0                    |
| Sn4/N35 | MSP-Char (auto)/3 | <b>0,00</b>            | <b>57,14</b>           | <b>0,00</b>             | 0,0                    |
| Sn5/N37 | MSP-Char (auto)/1 | <b>9,55</b>            | 33,32                  | <b>0,00</b>             | 0,0                    |
| Sn5/N37 | MSP_NV/2          | 0,00                   | <b>1,92</b>            | 0,00                    | 0,0                    |
| Sn5/N37 | MSP-Char (auto)/3 | 0,00                   | <b>50,75</b>           | 0,00                    | 0,0                    |
| Sn5/N37 | MSP-Char (auto)/4 | <b>-5,60</b>           | 45,57                  | <b>0,00</b>             | 0,0                    |
| Sn6/N53 | MSP_NV/2          | 0,00                   | <b>1,92</b>            | 0,00                    | 0,0                    |
| Sn6/N53 | MSP-Char (auto)/3 | <b>0,00</b>            | <b>50,75</b>           | <b>0,00</b>             | 0,0                    |
| Sn7/N63 | MSP_NV/2          | <b>-14,02</b>          | <b>11,42</b>           | <b>0,00</b>             | 0,0                    |
| Sn7/N63 | MSP-Char (auto)/5 | <b>-32,73</b>          | <b>26,46</b>           | <b>0,00</b>             | 0,0                    |
| Sn8/N55 | MSP_NV/2          | <b>0,00</b>            | <b>9,32</b>            | <b>0,00</b>             | 0,0                    |
| Sn8/N55 | MSP-Char (auto)/5 | 0,00                   | <b>21,93</b>           | <b>0,00</b>             | 0,0                    |
| Sn9/N56 | MSP-Char (auto)/5 | <b>32,73</b>           | <b>13,31</b>           | <b>0,00</b>             | 0,0                    |
| Sn9/N56 | MSP_NV/2          | <b>14,02</b>           | <b>5,78</b>            | <b>0,00</b>             | 0,0                    |

| Jméno             | Klíč kombinace                         |
|-------------------|--|
| MSP-Char (auto)/1 | ZS1 + ZS2 + 0.60*ZS7 + ZS5 + ZS8 + ZS9 |
| MSP_NV/2          | ZS1 + ZS8                              |
| MSP-Char (auto)/3 | ZS1 + ZS2 + ZS3 + ZS8 + ZS9            |
| MSP-Char (auto)/4 | ZS1 + ZS2 + ZS4 + ZS8 + ZS9            |
| MSP-Char (auto)/5 | ZS1 + ZS2 + ZS8 + ZS9                  |

Hodnoty: **R<sub>x</sub>, R<sub>z</sub>**

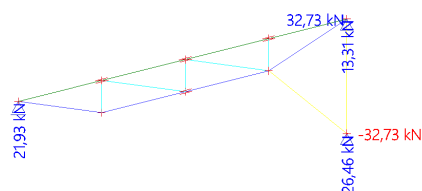
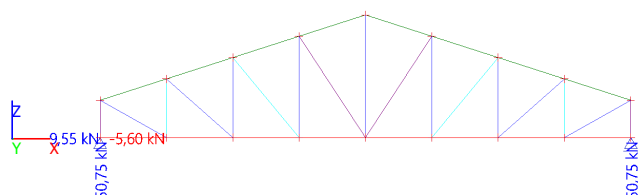
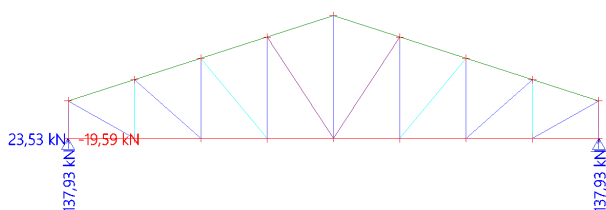
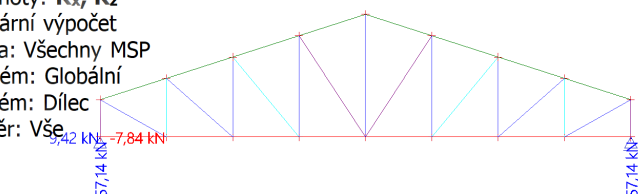
Lineární výpočet

Třída: Všechny MSP

Systém: Globální

Extrém: Dílec

Výběr: Vše



### 3.4. Reakce

Lineární výpočet  
 Třída: Všechny MSU  
 Systém: Globální  
 Extrém: Dílec  
 Výběr: Vše  
**Uzlové reakce**

| Jméno   | Stav                | R <sub>x</sub><br>[kN] | R <sub>z</sub><br>[kN] | M <sub>y</sub><br>[kNm] | e <sub>y</sub><br>[mm] |
|---------|---------------------|------------------------|------------------------|-------------------------|------------------------|
| Sn1/N1  | MSÚ-Sada B (auto)/1 | <b>35,30</b>           | 129,25                 | <b>0,00</b>             | 0,0                    |
| Sn1/N1  | MSÚ-Sada B (auto)/2 | 2,52                   | <b>-3,27</b>           | 0,00                    | 0,0                    |
| Sn1/N1  | MSÚ-Sada B (auto)/3 | 0,00                   | <b>201,31</b>          | 0,00                    | 0,0                    |
| Sn1/N1  | MSÚ-Sada B (auto)/4 | <b>-29,38</b>          | 174,00                 | <b>0,00</b>             | 0,0                    |
| Sn2/N17 | MSÚ-Sada B (auto)/2 | 0,00                   | <b>-2,90</b>           | 0,00                    | 0,0                    |
| Sn2/N17 | MSÚ-Sada B (auto)/3 | <b>0,00</b>            | <b>201,31</b>          | <b>0,00</b>             | 0,0                    |
| Sn3/N19 | MSÚ-Sada B (auto)/1 | <b>14,13</b>           | 53,99                  | <b>0,00</b>             | 0,0                    |
| Sn3/N19 | MSÚ-Sada B (auto)/2 | 1,01                   | <b>0,66</b>            | 0,00                    | 0,0                    |
| Sn3/N19 | MSÚ-Sada B (auto)/3 | 0,00                   | <b>82,78</b>           | 0,00                    | 0,0                    |
| Sn3/N19 | MSÚ-Sada B (auto)/4 | <b>-11,76</b>          | 71,90                  | <b>0,00</b>             | 0,0                    |
| Sn4/N35 | MSÚ-Sada B (auto)/2 | 0,00                   | <b>0,81</b>            | 0,00                    | 0,0                    |
| Sn4/N35 | MSÚ-Sada B (auto)/3 | <b>0,00</b>            | <b>82,78</b>           | <b>0,00</b>             | 0,0                    |
| Sn5/N37 | MSÚ-Sada B (auto)/1 | <b>14,32</b>           | 44,39                  | <b>0,00</b>             | 0,0                    |
| Sn5/N37 | MSÚ-Sada B (auto)/2 | 2,52                   | <b>-3,27</b>           | 0,00                    | 0,0                    |
| Sn5/N37 | MSÚ-Sada B (auto)/3 | 0,00                   | <b>70,52</b>           | 0,00                    | 0,0                    |
| Sn5/N37 | MSÚ-Sada B (auto)/4 | <b>-8,40</b>           | 62,76                  | <b>0,00</b>             | 0,0                    |
| Sn6/N53 | MSÚ-Sada B (auto)/2 | 0,00                   | <b>-2,90</b>           | 0,00                    | 0,0                    |
| Sn6/N53 | MSÚ-Sada B (auto)/3 | <b>0,00</b>            | <b>70,52</b>           | <b>0,00</b>             | 0,0                    |
| Sn7/N63 | MS-POŽÁR/5          | <b>-0,85</b>           | <b>0,82</b>            | <b>0,00</b>             | 0,0                    |
| Sn7/N63 | MSÚ-Sada B (auto)/6 | <b>-44,18</b>          | <b>35,72</b>           | <b>0,00</b>             | 0,0                    |
| Sn8/N55 | MS-POŽÁR/5          | <b>0,00</b>            | <b>0,43</b>            | <b>0,00</b>             | 0,0                    |
| Sn8/N55 | MSÚ-Sada B (auto)/6 | 0,00                   | <b>29,61</b>           | <b>0,00</b>             | 0,0                    |
| Sn9/N56 | MSÚ-Sada B (auto)/6 | <b>44,18</b>           | <b>17,97</b>           | <b>0,00</b>             | 0,0                    |
| Sn9/N56 | MS-POŽÁR/5          | <b>0,85</b>            | <b>0,46</b>            | <b>0,00</b>             | 0,0                    |

| Jméno               | Klíč kombinace  |
|---------------------|---|
| MSÚ-Sada B (auto)/1 | 1.15*ZS1 + 1.15*ZS2 + 0.90*ZS7 + 1.50*ZS5 + 1.15*ZS8 + 1.15*ZS9 |
| MSÚ-Sada B (auto)/2 | ZS1 + ZS2 + 1.50*ZS6 + ZS8 + ZS9                                |
| MSÚ-Sada B (auto)/3 | 1.15*ZS1 + 1.15*ZS2 + 1.50*ZS3 + 1.15*ZS8 + 1.15*ZS9            |
| MSÚ-Sada B (auto)/4 | 1.15*ZS1 + 1.15*ZS2 + 1.50*ZS4 + 1.15*ZS8 + 1.15*ZS9            |
| MS-POŽÁR/5          | ZS1 + ZS2   |
| MSÚ-Sada B (auto)/6 | 1.35*ZS1 + 1.35*ZS2 + 1.35*ZS8 + 1.35*ZS9                       |

Hodnoty:  $R_{xy}$   $R_z$

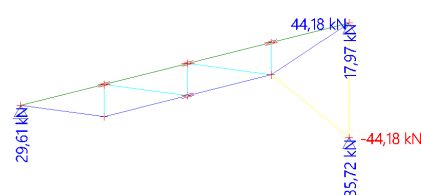
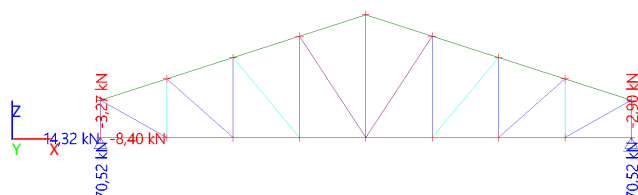
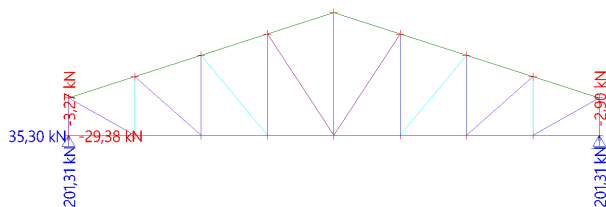
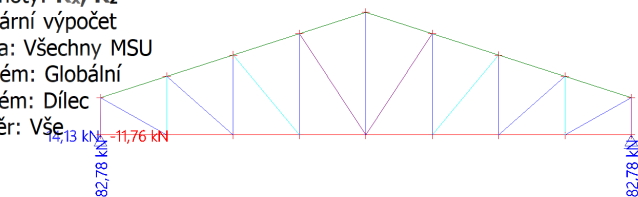
Lineární výpočet

Třída: Všechny MSU

Systém: Globální

Extrém: Dílec

Výběr: Vše



## 4. POSUDEK - OCEL

### 4.1. Posudek ocelových prvků na MSÚ EC-EN 1993

Lineární výpočet

Třída: Všechny MSU

Souřadný systém: Hlavní

Extrém 1D: Průřez

Výběr: Vše

**Celkový posudek**

| Jméno | dx<br>[m] | Stav                   | Průřez                       | Materiál | UC <sub>Celkový</sub><br>[-] | UC <sub>Průřez</sub><br>[-] | UC <sub>Stabilita</sub><br>[-] |
|-------|-----------|------------------------|------------------------------|----------|------------------------------|-----------------------------|--------------------------------|
| B14   | 2,826     | MSÚ-Sada B<br>(auto)/1 | D1 - 2LT<br>(L(CSN)63/6; 6)  | S 235    | <b>0,85</b>                  | 0,24                        | 0,85                           |
| B2    | 0,000     | MSÚ-Sada B<br>(auto)/2 | D2 - 2LT<br>(L(CSN)50/5; 6)  | S 235    | <b>0,88</b>                  | 0,49                        | 0,88                           |
| B10   | 0,790     | MSÚ-Sada B<br>(auto)/2 | D3 - 2LT<br>(L(CSN)40/4; 6)  | S 235    | <b>1,62</b>                  | 1,62                        | 0,00                           |
| B20   | 4,884-    | MSÚ-Sada B<br>(auto)/3 | HP1 - 2LT<br>(L(CSN)50/5; 6) | S 235    | <b>44,20</b>                 | 4,52                        | 44,20                          |
| B19   | 1,550-    | MSÚ-Sada B<br>(auto)/1 | SP1 - 2LT<br>(L(CSN)40/4; 6) | S 235    | <b>4,08</b>                  | 0,51                        | 4,08                           |
| B61   | 0,000     | MSÚ-Sada B<br>(auto)/4 | HP2 - 2LT<br>(L(CSN)50/5; 6) | S 235    | <b>8,20</b>                  | 0,23                        | 8,20                           |
| B71   | 0,000     | MSÚ-Sada B<br>(auto)/4 | D4 - 2LT<br>(L(CSN)50/5; 6)  | S 235    | <b>0,91</b>                  | 0,31                        | 0,91                           |
| B72   | 1,008-    | MSÚ-Sada B<br>(auto)/4 | D5 - 2LT<br>(L(CSN)40/4; 6)  | S 235    | <b>0,37</b>                  | 0,37                        | 0,00                           |
| B68   | 2,336     | MSÚ-Sada B<br>(auto)/4 | D6 - L63/6                   | S 235    | <b>0,82</b>                  | 0,33                        | 0,82                           |

| Jméno               | Klíč kombinace  |
|---------------------|---|
| MSÚ-Sada B (auto)/1 | 1.15*ZS1 + 1.15*ZS2 + 0.90*ZS7 + 1.50*ZS5 + 1.15*ZS8 + 1.15*ZS9 |
| MSÚ-Sada B (auto)/2 | 1.15*ZS1 + 1.15*ZS2 + 1.50*ZS3 + 1.15*ZS8 + 1.15*ZS9            |
| MSÚ-Sada B (auto)/3 | 1.15*ZS1 + 1.15*ZS2 + 1.50*ZS3 + 0.90*ZS7 + 1.15*ZS8 + 1.15*ZS9 |
| MSÚ-Sada B (auto)/4 | 1.35*ZS1 + 1.35*ZS2 + 1.35*ZS8 + 1.35*ZS9                       |



Hodnoty: **UC<sub>celkový</sub>**

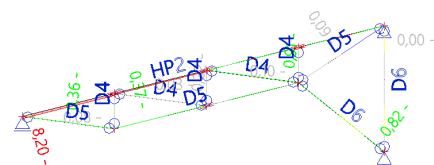
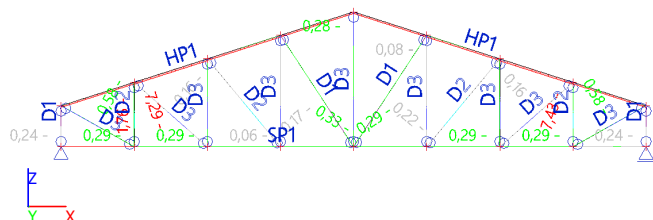
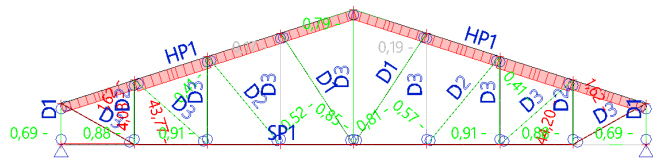
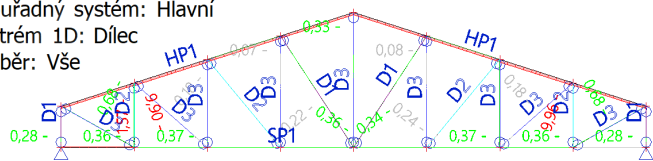
Lineární výpočet

Třída: Všechny MSU

Souřadný systém: Hlavní

Extrém 1D: Dílec

Výběr: Vše



## 4.2. 1D deformace; u<sub>z</sub>

Hodnoty: **u<sub>z</sub>**

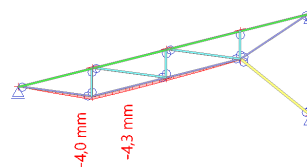
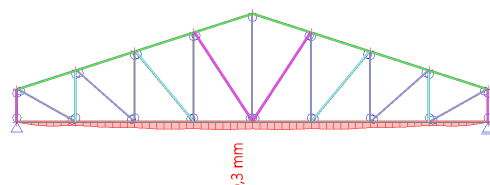
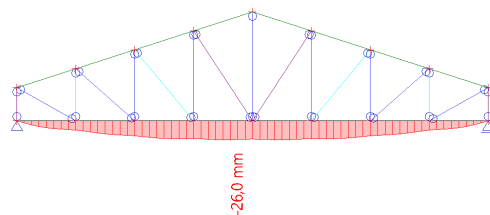
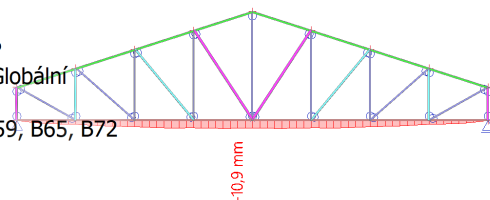
Lineární výpočet

Třída: Všechny MSP

Souřadný systém: Globální

Extrém 1D: Dílec

Výběr: B19, B39, B59, B65, B72



## Příloha č. IV.a - ZATÍŽENÍ ZÁKLADOVÝCH SPÁR

## 1 Kamenné základy - OBVOD

**ZZ1-0,95** - ZÁKLADOVÝ PÁS (ZP1\_K3)  $TL. = 0,95\text{ m}$  JEDNOTKOVÁ VÝŠKA = **1,00 m**  $\gamma_f = 1,35$

| skladba - popis vrstev   | tloušťka<br>[m] | výška<br>[m] | obj.hmot.<br>$\gamma$ [kN.m <sup>3</sup> ] | zatížení [kN.m <sup>-2</sup> ] |            |          |               |               |                       |
|--------------------------|-----------------|--------------|--|--------------------------------|------------|----------|---------------|---------------|-----------------------|
|                          |                 |              |  | charakteristické               | $\gamma_g$ | návrhové |               |               |                       |
| kamenný základ           | 0,950           | x            | 1,00                                       | x                              | 25,00      | =        | 0,000         | 1,35          | 0,000                 |
|                          |                 |              |  |                                |            |          | 23,750        | 1,35          | 32,063                |
|                          |                 |              |  |                                |            |          | 0,000         | 1,35          | 0,000                 |
|                          |                 |              |  |                                |            |          | $g_n = 23,75$ | $g_d = 32,06$ | [kN.m <sup>-1</sup> ] |
| UVAŽOVANÁ VÝŠKA = 0,45 m |                 |              |  |                                |            |          | $g_n = 10,69$ | $g_d = 14,43$ | [kN.m <sup>-1</sup> ] |

**ZZ1-0,85** - ZÁKLADOVÝ PÁS (ZP2\_K4)  $TL. = 0,85\text{ m}$  JEDNOTKOVÁ VÝŠKA = **1,00 m**  $\gamma_t = 1,35$

| skladba - popis vrstev   | tloušťka<br>[m] | výška<br>[m] | obj. hmot.<br>$\gamma$ [kN.m <sup>3</sup> ] | zatížení [kN.m <sup>-2</sup> ] |            |          |               |               |                       |
|--------------------------|-----------------|--------------|---|--------------------------------|------------|----------|---------------|---------------|-----------------------|
|                          |                 |              |   | charakteristické               | $\gamma_g$ | návrhové |               |               |                       |
| kamenný základ           | 0,850           | x            | 1,00  | x                              | 25,00      | =        | 0,000         | 1,35          | 0,000                 |
|                          |                 |              |   |                                |            |          | 21,250        | 1,35          | 28,688                |
|                          |                 |              |   |                                |            |          | 0,000         | 1,35          | 0,000                 |
|                          |                 |              |   |                                |            |          | $g_n = 21,25$ | $g_d = 28,69$ | [kN.m <sup>-1</sup> ] |
| UVAŽOVANÁ VÝŠKA = 0,40 m |                 |              |   |                                |            |          | $g_n = 8,50$  | $g_d = 11,48$ | [kN.m <sup>-1</sup> ] |

## 2 Podlaha v 1. PP

| STÁLÉ ZATÍŽENÍ - $g_n / g_d$ - plošné | tloušťka | obj.hmot.            | zatížení $[kN.m^{-2}]$ |              |               |
|---------------------------------------|----------|----------------------|------------------------|--------------|---------------|
|                                       | $[m]$    | $\gamma [kN.m^{-3}]$ | charakteristické       | $\gamma_g$   | návrhové      |
| cemnetový potěr                       | 0,020    | x 22,00              | = 0,440                | 1,35         | 0,594         |
| betonová mazanina                     | 0,100    | x 23,00              | = 2,300                | 1,35         | 3,105         |
|                                       |          |                      | $g_k = 2,74$           | $g_d = 3,70$ | $[kN.m^{-2}]$ |

DÉLKA MÍSTROSTI = 4,5 M DO ZÁKL. SPÁRY JDE CCA 1/4 TÍHY PODLAHY

|                                    |   | zatížení [kN.m <sup>-2</sup> ] |                              |                            | 25% |
|------------------------------------|---|--------------------------------|------------------------------|----------------------------|-----|
|                                    |   | charakteristické               | $\gamma_g$                   | návrhové                   |     |
| 1/4 plochy podlahy                 | = | 6,17                           | 1,35                         | 8,323                      |     |
| užitné zatížení kat. A (2,0 kN/m2) | = | 4,50                           | 1,5                          | 6,750                      |     |
|                                    |   | <b>g<sub>n</sub> = 10,67</b>   | <b>g<sub>d</sub> = 15,07</b> | <b>[kN.m<sup>-1</sup>]</b> |     |

### 3.1 Zděné stěny - OBVOD (ZP1\_K3)

**ZZ2-0,94** - ZDIVO NOSNÉ  $TL. = 0,94\ m$  JEDNOTKOVÁ VÝŠKA = **1,00 m**  $\gamma_f = 1,35$

| skladba - popis vrstev | tloušťka                 |   | výška |   | obj.hmot.               | zatížení [kN.m <sup>-2</sup> ] |                |                  |                                    |
|------------------------|--------------------------|---|-------|---|-------------------------|--------------------------------|----------------|------------------|------------------------------------|
|                        | [m]                      |   | [m]   |   | γ [kN.m <sup>-3</sup> ] | charakteristické               | γ <sub>g</sub> | návrhové         |                                    |
| omítka vnější          | 0,000                    | x | 1,00  | x | 20,00                   | =                              | 0,000          | 1,35             | 0,000                              |
| kamenné zdivo          | 0,940                    | x | 1,00  | x | 25,00                   | =                              | 23,500         | 1,35             | 31,725                             |
| omítka vnitřní         | 0,000                    | x | 1,00  | x | 20,00                   | =                              | 0,000          | 1,35             | 0,000                              |
|                        |                          |   |       |   |                         | g <sub>n</sub> =               | 23,50          | g <sub>d</sub> = | 31,73 [kN.m <sup>-1</sup> ]        |
| 1. PP                  | UVAŽOVANÁ VÝŠKA = 2,50 m |   |       |   |                         | g <sub>n</sub> =               | <b>58,75</b>   | g <sub>d</sub> = | <b>79,31</b> [kN.m <sup>-1</sup> ] |

**ZZ2-0,75** - ZDIVO NOSNÉ **TL. = 0,75 m** **JEDNOTKOVÁ VÝŠKA = 1,00 m**  **$\gamma_f = 1,35$**

| skladba - popis vrstev | tloušťka |   | výška |   | obj.hmot.                      | zatížení [kN.m <sup>-2</sup> ] |            |                  |                             |
|------------------------|----------|---|-------|---|--------------------------------|--------------------------------|------------|------------------|-----------------------------|
|                        | [m]      |   | [m]   |   | $\gamma$ [kN.m <sup>-3</sup> ] | charakteristické               | $\gamma_g$ | návrhové         |                             |
| omítka vnější          | 0,020    | x | 1,00  | x | 20,00                          | =                              | 0,400      | 1,35             | 0,540                       |
| zdivo z CPP na maltu   | 0,750    | x | 1,00  | x | 18,00                          | =                              | 13,500     | 1,35             | 18,225                      |
| omítka vnitřní         | 0,020    | x | 1,00  | x | 20,00                          | =                              | 0,400      | 1,35             | 0,540                       |
|                        |          |   |       |   |                                | q <sub>n</sub> =               | 14,30      | q <sub>d</sub> = | 19,31 [kN.m <sup>-1</sup> ] |

|       |                                 |         |              |         |              |                       |
|-------|---------------------------------|---------|--------------|---------|--------------|-----------------------|
| 1. NP | UVAŽOVANÁ VÝŠKA = <b>5,00 m</b> | $g_n =$ | <b>71,50</b> | $g_d =$ | <b>96,53</b> | [kN.m <sup>-1</sup> ] |
| 2. NP | UVAŽOVANÁ VÝŠKA = <b>5,00 m</b> | $g_n =$ | <b>71,50</b> | $g_d =$ | <b>96,53</b> | [kN.m <sup>-1</sup> ] |

ZZ2-0,56 - ZDIVO NOSNÉ TL. = **0,56 m** JEDNOTKOVÁ VÝŠKA = **1,00 m**  $\gamma_f = 1,35$

| skladba - popis vrstev                              | tloušťka |   | výška |   | obj.hmot.<br>$\gamma$ [kN.m <sup>3</sup> ] | zatížení [kN.m <sup>-2</sup> ] |             |          |                                    |
|---|----------|---|-------|---|--|--------------------------------|-------------|----------|------------------------------------|
|   | [m]      |   | [m]   |   |  | charakteristické               | $\gamma_g$  | návrhové |                                    |
| omítka vnější                                       | 0,020    | x | 1,00  | x | 20,00                                      | =                              | 0,400       | 1,35     | 0,540                              |
| zdivo z CPP na maltu                                | 0,560    | x | 1,00  | x | 18,00                                      | =                              | 10,080      | 1,35     | 13,608                             |
| omítka vnitřní                                      | 0,020    | x | 1,00  | x | 20,00                                      | =                              | 0,400       | 1,35     | 0,540                              |
|   |          |   |       |   |  | $g_n =$                        | 10,88       | $g_d =$  | 14,69 [kN.m <sup>-1</sup> ]        |
| POZEDNICOVÉ ZDIVO - UVAŽOVANÁ VÝŠKA = <b>0,90 m</b> |          |   |       |   |  | $g_n =$                        | <b>9,79</b> | $g_d =$  | <b>13,22</b> [kN.m <sup>-1</sup> ] |

### 3.2 Zděné stěny - OBVOD (ZP2\_K4)

ZZ2-0,85 - ZDIVO NOSNÉ TL. = **0,85 m** JEDNOTKOVÁ VÝŠKA = **1,00 m**  $\gamma_f = 1,35$

| skladba - popis vrstev | tloušťka                        |   | výška |   | obj.hmot.                     | zatížení [kN.m <sup>-2</sup> ] |              |          |              |                       |
|------------------------|---------------------------------|---|-------|---|-------------------------------|--------------------------------|--------------|----------|--------------|-----------------------|
|                        | [m]                             |   | [m]   |   | $\gamma$ [kN.m <sup>3</sup> ] | charakteristické               | $\gamma_g$   | návrhové |              |                       |
| omítka vnější          | 0,000                           | x | 1,00  | x | 20,00                         | =                              | 0,000        | 1,35     | 0,000        |                       |
| kamenné zdivo          | 0,850                           | x | 1,00  | x | 25,00                         | =                              | 21,250       | 1,35     | 28,688       |                       |
| omítka vnitřní         | 0,030                           | x | 1,00  | x | 20,00                         | =                              | 0,600        | 1,35     | 0,810        |                       |
| 1. PP                  | UVAŽOVANÁ VÝŠKA = <b>1,50 m</b> |   |       |   |                               | $g_n =$                        | 21,85        | $g_d =$  | 29,50        | [kN.m <sup>-1</sup> ] |
|                        |                                 |   |       |   |                               | $g_n =$                        | <b>32,78</b> | $g_d =$  | <b>44,25</b> | [kN.m <sup>-1</sup> ] |

ZZ2-0,8 - ZDIVO NOSNÉ TL. = **0,80 m** JEDNOTKOVÁ VÝŠKA = **1,00 m**  $\gamma_f = 1,35$

| skladba - popis vrstev | tloušťka                         |   | výška |   | obj.hmot.<br>$\gamma$ [kN.m <sup>3</sup> ] | zatížení [kN.m <sup>-2</sup> ] |               |          |                                     |
|------------------------|----------------------------------|---|-------|---|--|--------------------------------|---------------|----------|-------------------------------------|
|                        | [m]                              |   | [m]   |   |  | charakteristické               | $\gamma_g$    | návrhové |                                     |
| omítka vnější          | 0,010                            | x | 1,00  | x | 20,00                                      | =                              | 0,200         | 1,35     | 0,270                               |
| zdivo z CPP na maltu   | 0,800                            | x | 1,00  | x | 18,00                                      | =                              | 14,400        | 1,35     | 19,440                              |
| omítka vnitřní         | 0,010                            | x | 1,00  | x | 20,00                                      | =                              | 0,200         | 1,35     | 0,270                               |
|                        |                                  |   |       |   |  | $g_n =$                        | 14,80         | $g_d =$  | 19,98 [kN.m <sup>-1</sup> ]         |
| 1. PP                  | UVAŽOVANÁ VÝŠKA = <b>1,18 m</b>  |   |       |   |  | $g_n =$                        | <b>17,46</b>  | $g_d =$  | <b>23,58</b> [kN.m <sup>-1</sup> ]  |
| 1. NP + 2. NP          | UVAŽOVANÁ VÝŠKA = <b>10,95 m</b> |   |       |   |  | $g_n =$                        | <b>162,06</b> | $g_d =$  | <b>218,78</b> [kN.m <sup>-1</sup> ] |

## 4 Stropy

Reakce od stropních k-cí (viz příloha č. I)

|     |                      |         |                   |         |                   |            |               |
|-----|----------------------|---------|-------------------|---------|-------------------|------------|---------------|
| (1) | reakce stropu (NV2)  | $R_k =$ | <b>38,00</b> kN   | $R_d =$ | <b>54,00</b> kN   | $b =$      | <b>1,32</b> m |
|     |                      | $r_k =$ | <b>28,79</b> kN/m | $r_d =$ | <b>40,91</b> kN/m | $\gamma =$ | <b>1,42</b> - |
| (2) | reakce stropu (NV20) | $R_k =$ | <b>137,40</b> kN  | $R_d =$ | <b>197,10</b> kN  | $b =$      | <b>3,27</b> m |
|     |                      | $r_k =$ | <b>42,02</b> kN/m | $r_d =$ | <b>60,28</b> kN/m | $\gamma =$ | <b>1,43</b> - |
| (3) | reakce stropu (NV31) | $R_k =$ | <b>67,30</b> kN   | $R_d =$ | <b>92,68</b> kN   | $b =$      | <b>3,39</b> m |
|     |                      | $r_k =$ | <b>19,85</b> kN/m | $r_d =$ | <b>27,34</b> kN/m | $\gamma =$ | <b>1,38</b> - |
| (4) | reakce stropu (NV5)  | $R_k =$ | <b>35,00</b> kN   | $R_d =$ | <b>49,24</b> kN   | $b =$      | <b>1,42</b> m |
|     |                      | $r_k =$ | <b>24,65</b> kN/m | $r_d =$ | <b>34,68</b> kN/m | $\gamma =$ | <b>1,41</b> - |
| (5) | reakce stropu (NV25) | $R_k =$ | <b>134,60</b> kN  | $R_d =$ | <b>193,08</b> kN  | $b =$      | <b>3,08</b> m |
|     |                      | $r_k =$ | <b>43,70</b> kN/m | $r_d =$ | <b>62,69</b> kN/m | $\gamma =$ | <b>1,43</b> - |
| (6) | reakce stropu (NV28) | $R_k =$ | <b>60,00</b> kN   | $R_d =$ | <b>82,20</b> kN   | $b =$      | <b>3,01</b> m |
|     |                      | $r_k =$ | <b>19,93</b> kN/m | $r_d =$ | <b>27,31</b> kN/m | $\gamma =$ | <b>1,37</b> - |

## 5 Střechy

Reakce od střešních k-cí (viz příloha č. II, III)

|     |                                     |         |                   |         |                   |            |               |
|-----|-------------------------------------|---------|-------------------|---------|-------------------|------------|---------------|
| (1) | reakce krokve (K1) od pozednice (a) | $R_k =$ | <b>3,00</b> kN    | $R_d =$ | <b>4,00</b> kN    | $b =$      | <b>1</b> m    |
|     |                                     | $r_k =$ | <b>3,00</b> kN/m  | $r_d =$ | <b>4,00</b> kN/m  | $\gamma =$ | <b>1,33</b> - |
| (2) | reakce vazného trámu (VZ1)          | $R_k =$ | <b>36,00</b> kN   | $R_d =$ | <b>52,00</b> kN   | $b =$      | <b>3,15</b> m |
|     |                                     | $r_k =$ | <b>11,42</b> kN/m | $r_d =$ | <b>16,49</b> kN/m | $\gamma =$ | <b>1,44</b> - |

## ZS1 CELKOVÉ ZATÍŽENÍ ZÁKLADOVÉ SPÁRY POD OBVODOVOU NOSNOU STĚNOU

CELKOVÉ ZATÍŽENÍ -  $q_n$  /  $q_d$  - líniové

| <i>popis</i>               | <i>charakt.</i>                  | $\gamma_f$ | <i>návrhové</i>                  |                            |
|----------------------------|----------------------------------|------------|----------------------------------|----------------------------|
| základ                     | 10,69                            | x          | 1,35                             | 14,43                      |
| přítížení podlahou         | 10,67                            | x          | 1,41                             | 15,07                      |
| stěna 1. PP + 1.NP + 2. NP | 201,75                           | x          | 1,35                             | 272,36                     |
| strop nad 1. PP            | 28,79                            | x          | 1,42                             | 40,91                      |
| strop nad 1. NP            | 42,02                            | x          | 1,43                             | 60,28                      |
| strop nad 2. NP            | 19,85                            | x          | 1,38                             | 27,34                      |
| střecha (krov)             | 14,42                            | x          | 1,42                             | 20,49                      |
|                            | <b><math>q_k = 317,49</math></b> |            | <b><math>q_d = 436,45</math></b> | <b>[kN.m<sup>-1</sup>]</b> |
| Zatížení vč. základu ZP:   | $q_k = 328,18$                   |            | $q_d = 450,88$                   | <b>[kN.m<sup>-1</sup>]</b> |

**ZS2 CELKOVÉ ZATÍŽENÍ ZÁKLADOVÉ SPÁRY POD OBVODOVOU NOSNOU STĚNOU**CELKOVÉ ZATÍŽENÍ -  $q_n$  /  $q_d$  - líniové

| <i>popis</i>               | <i>charakt.</i>                  | $\gamma_f$ | <i>návrhové</i>                  |                            |
|----------------------------|----------------------------------|------------|----------------------------------|----------------------------|
| základ                     | 8,50                             | x          | 1,35                             | 11,48                      |
| přítížení podlahou         | 10,67                            | x          | 1,41                             | 15,07                      |
| stěna 1. PP + 1.NP + 2. NP | 212,30                           | x          | 1,35                             | 286,60                     |
| strop nad 1. PP            | 24,65                            | x          | 1,41                             | 34,68                      |
| strop nad 1. NP            | 43,70                            | x          | 1,43                             | 62,69                      |
| strop nad 2. NP            | 19,93                            | x          | 1,37                             | 27,31                      |
| střecha (krov)             | 14,42                            | x          | 1,42                             | 20,49                      |
|                            | <b><math>q_k = 325,66</math></b> |            | <b><math>q_d = 446,84</math></b> | <b>[kN.m<sup>-1</sup>]</b> |
| Zatížení vč. základu ZP:   | $q_k = 334,16$                   |            | $q_d = 458,32$                   | <b>[kN.m<sup>-1</sup>]</b> |

Posouzení plošného základu

Vstupní data

Projekt

Akce : Posudek základového pásu pod obvodovou stěnou (ZP1\_K3)  
Část : 4086.3– Český dům, Hlavní třída 113, Frýdek – Místek - statické posouzení stávajícího stavu nosných konstr  
Popis : Příloha č. IV.b  
Vypracoval : Ing. Martin Sležka  
Datum : 12.04.2025  
Číslo zakázky : 25\_11

Nastavení

Standardní - EN 1997 - DA2

Materiály a normy

Betonové konstrukce : EN 1992-1-1 (EC2)  
Součinitele EN 1992-1-1 : standardní

Sedání

Metoda výpočtu : ČSN 73 1001 (Výpočet pomocí edometrického modulu)  
Omezení deformační zóny : procentem Sigma,Or  
Koef. omezení deformační zóny : 10,0 [%]




Patky

Výpočet pro odvodněné podmínky : EC 7-1 (EN 1997-1:2003)  
Posouzení tažené patky : standardní postup  
Dovolená excentricita : 0,333  
Metodika posouzení : výpočet podle EN 1997  
Návrhový přístup : 2 - redukce zatížení a odporu

| Součinitele redukce zatížení (F) |      |            |          |
|----------------------------------|------|------------|----------|
| Trvalá návrhová situace          |      |            |          |
|                                  |      | Nepříznivé | Příznivé |
| Stálé zatížení :                 | YG = | 1,35 [-]   | 1,00 [-] |

| Součinitele redukce odporu (R)           |        |          |  |
|--|--------|----------|--|
| Trvalá návrhová situace                  |        |          |  |
| Součinitel redukce svislé únosnosti :    | YRvs = | 1,40 [-] |  |
| Součinitel redukce vodorovné únosnosti : | YRhs = | 1,10 [-] |  |

Základní parametry zemín

| Číslo | Název                                 | Vzorek  | Φ <sub>ef</sub><br>[°] | C <sub>ef</sub><br>[kPa] | γ<br>[kN/m³] | γ <sub>su</sub><br>[kN/m³] | δ<br>[°] |
|-------|---------------------------------------|---|------------------------|--------------------------|--------------|----------------------------|----------|
| 1     | Třída G3, středně ulehlá              |  | 35,00                  | 0,00                     | 27,40        | 17,40                      |          |
| 2     | Třída G1, středně ulehlá              |  | 39,00                  | 0,00                     | 27,40        | 17,40                      |          |
| 3     | Třída F6, konzistence pevná, Sr < 0,8 |  | 19,00                  | 30,00                    | 21,00        | 11,00                      |          |

Pro výpočet tlaku v klidu jsou všechny zeminy zadány jako nesoudržné.

Parametry zemín

Třída G3, středně ulehlá

Objemová tíha : γ = 27,40 kN/m³  
Úhel vnitřního tření : φ<sub>ef</sub> = 35,00 °

Soudržnost zeminy :  $c_{ef} = 0,00$  kPa  
Modul přetvárnosti :  $E_{def} = 90,00$  MPa  
Poissonovo číslo :  $\nu = 0,25$   
Obj.tíha sat.zeminy :  $\gamma_{sat} = 27,40$  kN/m<sup>3</sup>

#### Třída G1, středně ulehlá

Objemová tíha :  $\gamma = 27,40$  kN/m<sup>3</sup>  
Úhel vnitřního tření :  $\varphi_{ef} = 39,00$  °  
Soudržnost zeminy :  $c_{ef} = 0,00$  kPa  
Modul přetvárnosti :  $E_{def} = 360,00$  MPa  
Poissonovo číslo :  $\nu = 0,20$   
Obj.tíha sat.zeminy :  $\gamma_{sat} = 27,40$  kN/m<sup>3</sup>

#### Třída F6, konzistence pevná, $S_r < 0,8$

Objemová tíha :  $\gamma = 21,00$  kN/m<sup>3</sup>  
Úhel vnitřního tření :  $\varphi_{ef} = 19,00$  °  
Soudržnost zeminy :  $c_{ef} = 30,00$  kPa  
Edometrický modul :  $E_{oed} = 21,50$  MPa  
Obj.tíha sat.zeminy :  $\gamma_{sat} = 21,00$  kN/m<sup>3</sup>

### Založení

#### Typ základu: základový pas

Hloubka od původního terénu  $h_z = 0,45$  m  
Hloubka základové spáry  $d = 0,45$  m  
Tloušťka základu  $t = 0,45$  m  
Sklon upraveného terénu  $s_1 = 0,00$  °  
Sklon základové spáry  $s_2 = 0,00$  °

#### Nadloží

Typ: zadat objemovou tíhu  
Objemová tíha zeminy nad základem = 20,00 kN/m<sup>3</sup>

#### Geometrie konstrukce

#### Typ základu: základový pas

Čelková délka pasu = 1,00 m  
Šířka pasu (x) = 0,94 m  
Šířka sloupu ve směru x = 0,94 m

Zadané zatížení je uvažováno na 1bm délky pasu.

Objem pasu = 0,42 m<sup>3</sup>/m  
Objem výkopu = 0,42 m<sup>3</sup>/m  
Objem zásypu = 0,00 m<sup>3</sup>/m

#### Materiál konstrukce

Objemová tíha  $\gamma = 23,00$  kN/m<sup>3</sup>

Výpočet betonových konstrukcí proveden podle normy EN 1992-1-1 (EC2).

#### Beton: C 12/15

Válcová pevnost v tlaku  $f_{ck} = 12,00$  MPa  
Pevnost v tahu  $f_{ctm} = 1,60$  MPa  
Modul pružnosti  $E_{cm} = 27000,00$  MPa



#### Ocel podélná: B500B

Mez kluzu  $f_{yk} = 500,00$  MPa

#### Ocel příčná: B500B

Mez kluzu  $f_{yk} = 500,00$  MPa

Geologický profil a přiřazení zemin

| Číslo | Mocnost vrstvy<br>t [m] | Hloubka<br>z [m] | Přiřazená zemina                      | Vzorek  |
|-------|-------------------------|------------------|---------------------------------------|---|
| 1     | 1,90                    | 0,00 .. 1,90     | Třída G3, středně ulehlá              |  |
| 2     | -                       | 1,90 .. ∞        | Třída F6, konzistence pevná, Sr < 0,8 |  |

Zatížení

| Číslo | Zatížení |       | Název                    | Typ      | N<br>[kN/m] | M <sub>y</sub><br>[kNm/m] | H <sub>x</sub><br>[kN/m] |
|-------|----------|-------|--------------------------|----------|-------------|---------------------------|--------------------------|
|       | nové     | změna |                          |          |             |                           |                          |
| 1     | Ano      |       | Zatížení č. 1            | Návrhové | 436,45      | 0,00                      | 22,00                    |
| 2     | Ano      |       | Zatížení č. 2            | Návrhové | 436,45      | 0,00                      | 0,00                     |
| 3     | Ano      |       | Zatížení č. 1 - provozní | Užitné   | 318,58      | 0,00                      | 16,06                    |
| 4     | Ano      |       | Zatížení č. 2 - provozní | Užitné   | 318,58      | 0,00                      | 0,00                     |

Celkové nastavení výpočtu

Typ výpočtu : výpočet pro odvodněné podmínky

Nastavení výpočtu fáze

Návrhová situace : trvalá

Posouzení čís. 1

Posouzení zatěžovacích stavů

| Název         | VI. tíha<br>příznivě | e <sub>x</sub><br>[m] | e <sub>y</sub><br>[m] | σ<br>[kPa] | R <sub>d</sub><br>[kPa] | Využití<br>[%] | Vyhovuje |
|---------------|----------------------|-----------------------|-----------------------|------------|-------------------------|----------------|----------|
| Zatížení č. 1 | Ano                  | 0,02                  | 0,00                  | 498,18     | 638,56                  | 78,02          | Ano      |
| Zatížení č. 1 | Ne                   | 0,02                  | 0,00                  | 501,79     | 639,11                  | 78,51          | Ano      |
| Zatížení č. 2 | Ano                  | 0,00                  | 0,00                  | 474,66     | 713,13                  | 66,56          | Ano      |
| Zatížení č. 2 | Ne                   | 0,00                  | 0,00                  | 478,28     | 713,13                  | 67,07          | Ano      |

Výpočet proveden s automatickým výběrem nejnejpříznivějších zatěžovacích stavů.

Spočtená vlastní tíha pasu G = 13,13 kN/m

Spočtená tíha nadloží Z = 0,00 kN/m

Posouzení svislé únosnosti

Tvar kontaktního napětí : obdélník

Nejpříznivější zatěžovací stav číslo 1. (Zatížení č. 1)

Parametry smykové plochy pod základem:

Hloubka smykové plochy z<sub>sp</sub> = 1,63 m

Dosah smykové plochy l<sub>sp</sub> = 5,15 m

Výpočtová únosnost zákl. půdy R<sub>d</sub> = 639,11 kPa

Extrémní kontaktní napětí σ = 501,79 kPa

Svislá únosnost VYHOVUJE

Posouzení excentricity zatížení

Max. excentricita ve směru délky patky e<sub>x</sub> = 0,024<0,333

Max. excentricita ve směru šířky patky e<sub>y</sub> = 0,000<0,333

Max. prostorová excentricita e<sub>t</sub> = 0,024<0,333

Excentricita zatížení základu VYHOVUJE

Posouzení vodorovné únosnosti

Nejpříznivější zatěžovací stav číslo 1. (Zatížení č. 1)

Zemní odpor: klidový

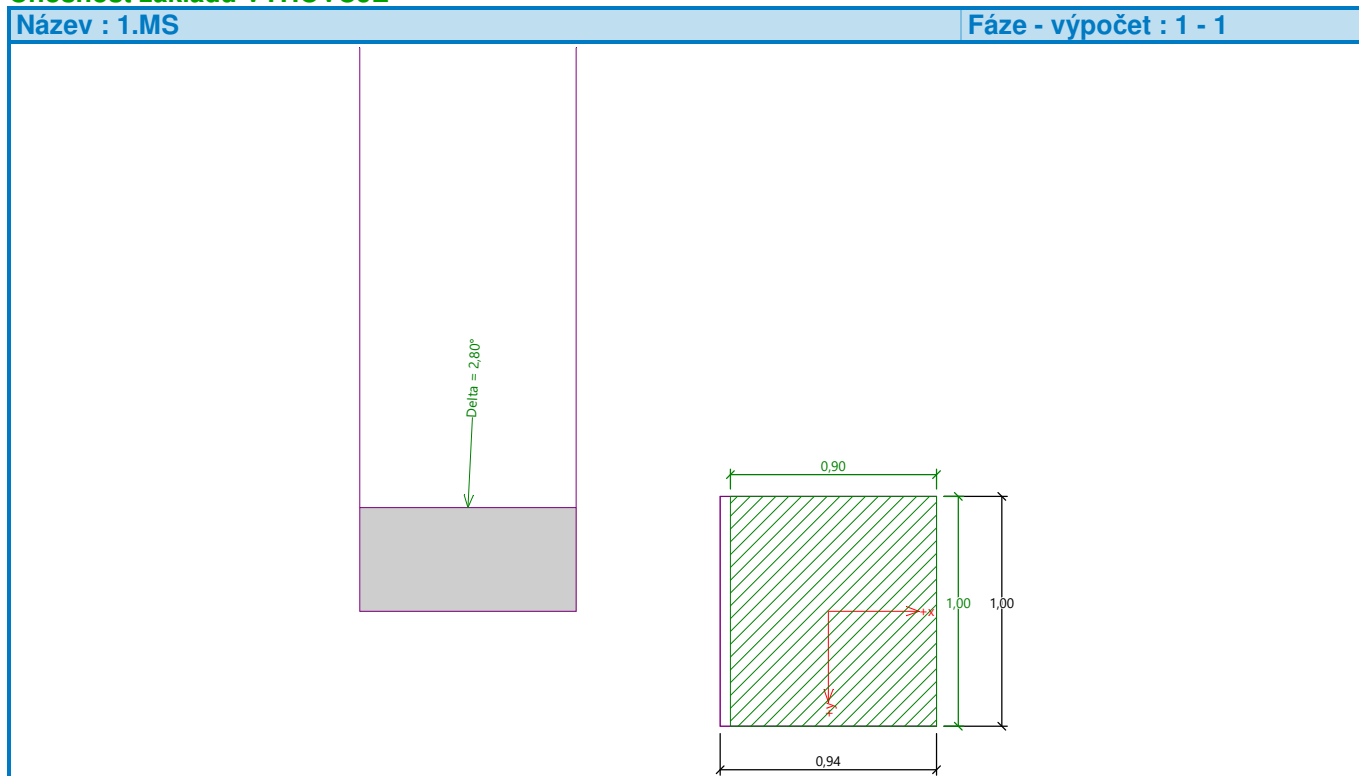
Výpočtová velikost zemního odporu  $S_{pd} = 1,11$  kN

Horizontální únosnost základu  $R_{dh} = 285,03$  kN

Extrémní horizontální síla  $H = 22,00$  kN

**Vodorovná únosnost VYHOVUJE**

**Únosnost základu VYHOVUJE**



## Posouzení čís. 1

### Sednutí a natočení základu - vstupní data

Výpočet proveden s automatickým výběrem nejnepříznivějších zatěžovacích stavů.

Výpočet proveden s uvažováním koeficientu  $k_1$  (vliv hloubky založení).

Napětí v základové spáře uvažováno od upraveného terénu.

Spočtená vlastní tíha pasu  $G = 9,73$  kN/m

Spočtená tíha nadloží  $Z = 0,00$  kN/m

Sednutí středu délkové hrany  $= 3,1$  mm

Sednutí středu šířkové hrany 1  $= 3,2$  mm

Sednutí středu šířkové hrany 2  $= 3,0$  mm

(1-hrana max.tlačená; 2-hrana min.tlačená)

### Sednutí a natočení základu - výsledky

#### Tuhost základu:

Spočtený vážený průměrný modul přetvárnosti  $E_{def} = 76,35$  MPa

Základ je ve směru délky tuhý ( $k=38,80$ )

Základ je ve směru šířky tuhý ( $k=32,22$ )

### Posouzení excentricity zatížení

Max. excentricita ve směru délky patky  $e_x = 0,023 < 0,333$

Max. excentricita ve směru šířky patky  $e_y = 0,000 < 0,333$

Max. prostorová excentricita  $e_t = 0,023 < 0,333$

**Excentricita zatížení základu VYHOVUJE**



### Celkové sednutí a natočení základu:

Sednutí základu = 3,3 mm

Hloubka deformační zóny = 3,57 m

Natočení ve směru šířky = 0,203 (tan\*1000); (1,2E-02 °)

### Dimenzace čís. 1

Výpočet proveden s automatickým výběrem nejnepříznivějších zatěžovacích stavů.

#### Posouzení podélné výztuže základu ve směru x

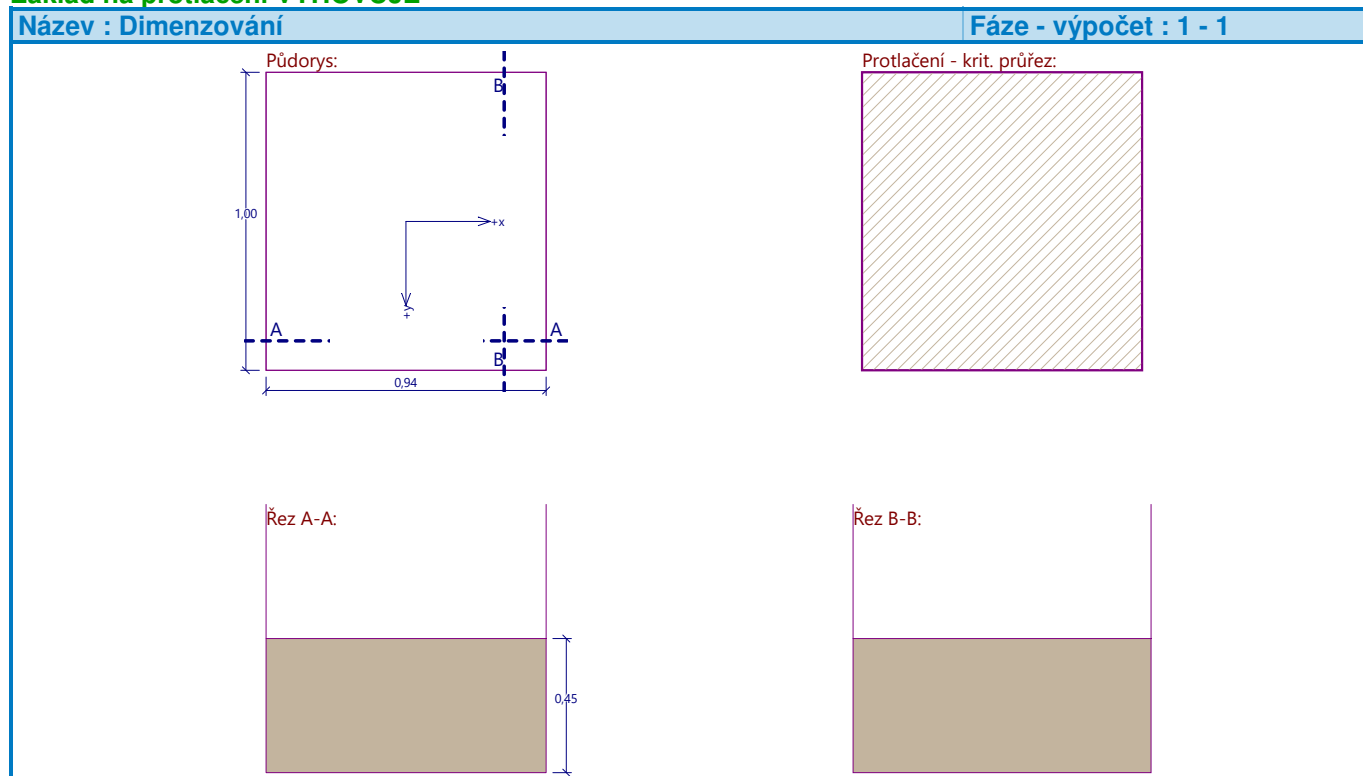
0,00 m ≤ 0,23 m

Maximální vyložení patky je menší než 0,50 \* tloušťka patky, výztuž není nutná.

#### Posouzení základu na protlačení

Délka kritického průřezu je rovna nule.

**Základ na protlačení VYHOVUJE**



Posouzení plošného základu

Vstupní data

Projekt

Akce : Posudek základového pásu pod obvodovou stěnou (ZP2\_K4)  
Část : 4086.3– Český dům, Hlavní třída 113, Frýdek – Místek - statické posouzení stávajícího stavu nosných konstr  
Popis : Příloha č. IV.c  
Vypracoval : Ing. Martin Sležka  
Datum : 12.04.2025  
Číslo zakázky : 25\_11

Nastavení

Standardní - EN 1997 - DA2

Materiály a normy

Betonové konstrukce : EN 1992-1-1 (EC2)  
Součinitele EN 1992-1-1 : standardní

Sedání

Metoda výpočtu : ČSN 73 1001 (Výpočet pomocí edometrického modulu)  
Omezení deformační zóny : procentem Sigma,Or  
Koef. omezení deformační zóny : 10,0 [%]




Patky

Výpočet pro odvodněné podmínky : EC 7-1 (EN 1997-1:2003)  
Posouzení tažené patky : standardní postup  
Dovolená excentricita : 0,333  
Metodika posouzení : výpočet podle EN 1997  
Návrhový přístup : 2 - redukce zatížení a odporu

| Součinitele redukce zatížení (F) |      |            |          |
|----------------------------------|------|------------|----------|
| Trvalá návrhová situace          |      |            |          |
|                                  |      | Nepříznivé | Příznivé |
| Stálé zatížení :                 | YG = | 1,35 [-]   | 1,00 [-] |

| Součinitele redukce odporu (R)           |        |          |  |
|--|--------|----------|--|
| Trvalá návrhová situace                  |        |          |  |
| Součinitel redukce svislé únosnosti :    | YRvs = | 1,40 [-] |  |
| Součinitel redukce vodorovné únosnosti : | YRhs = | 1,10 [-] |  |

Základní parametry zemín

| Číslo | Název                                 | Vzorek  | Φef<br>[°] | Cef<br>[kPa] | γ<br>[kN/m³] | γsu<br>[kN/m³] | δ<br>[°] |
|-------|---------------------------------------|---|------------|--------------|--------------|----------------|----------|
| 1     | Třída G3, středně ulehlá              |  | 35,00      | 0,00         | 27,40        | 17,40          |          |
| 2     | Třída G1, středně ulehlá              |  | 39,00      | 0,00         | 27,40        | 17,40          |          |
| 3     | Třída F6, konzistence pevná, Sr < 0,8 |  | 19,00      | 30,00        | 21,00        | 11,00          |          |

Pro výpočet tlaku v klidu jsou všechny zeminy zadány jako nesoudržné.

Parametry zemín

Třída G3, středně ulehlá

Objemová tíha : γ = 27,40 kN/m³  
Úhel vnitřního tření : φef = 35,00 °

Soudržnost zeminy :  $c_{ef} = 0,00$  kPa  
Modul přetvárnosti :  $E_{def} = 90,00$  MPa  
Poissonovo číslo :  $\nu = 0,25$   
Obj.tíha sat.zeminy :  $\gamma_{sat} = 27,40$  kN/m<sup>3</sup>

#### Třída G1, středně ulehlá

Objemová tíha :  $\gamma = 27,40$  kN/m<sup>3</sup>  
Úhel vnitřního tření :  $\varphi_{ef} = 39,00$  °  
Soudržnost zeminy :  $c_{ef} = 0,00$  kPa  
Modul přetvárnosti :  $E_{def} = 360,00$  MPa  
Poissonovo číslo :  $\nu = 0,20$   
Obj.tíha sat.zeminy :  $\gamma_{sat} = 27,40$  kN/m<sup>3</sup>

#### Třída F6, konzistence pevná, $S_r < 0,8$

Objemová tíha :  $\gamma = 21,00$  kN/m<sup>3</sup>  
Úhel vnitřního tření :  $\varphi_{ef} = 19,00$  °  
Soudržnost zeminy :  $c_{ef} = 30,00$  kPa  
Edometrický modul :  $E_{oed} = 21,50$  MPa  
Obj.tíha sat.zeminy :  $\gamma_{sat} = 21,00$  kN/m<sup>3</sup>

### Založení

#### Typ základu: základový pas

Hloubka od původního terénu  $h_z = 0,40$  m  
Hloubka základové spáry  $d = 0,40$  m  
Tloušťka základu  $t = 0,40$  m  
Sklon upraveného terénu  $s_1 = 0,00$  °  
Sklon základové spáry  $s_2 = 0,00$  °

#### Nadloží

Typ: zadat objemovou tíhu  
Objemová tíha zeminy nad základem = 20,00 kN/m<sup>3</sup>

#### Geometrie konstrukce

#### Typ základu: základový pas

Čelková délka pasu = 1,00 m  
Šířka pasu (x) = 0,85 m  
Šířka sloupu ve směru x = 0,85 m

Zadané zatížení je uvažováno na 1bm délky pasu.

Objem pasu = 0,34 m<sup>3</sup>/m  
Objem výkopu = 0,34 m<sup>3</sup>/m  
Objem zásypu = 0,00 m<sup>3</sup>/m

#### Materiál konstrukce

Objemová tíha  $\gamma = 23,00$  kN/m<sup>3</sup>

Výpočet betonových konstrukcí proveden podle normy EN 1992-1-1 (EC2).

#### Beton: C 8/10

Válcová pevnost v tlaku  $f_{ck} = 8,00$  MPa  
Pevnost v tahu  $f_{ctm} = 1,20$  MPa  
Modul pružnosti  $E_{cm} = 25000,00$  MPa



#### Ocel podélná: B500B

Mez kluzu  $f_{yk} = 500,00$  MPa

#### Ocel příčná: B500B

Mez kluzu  $f_{yk} = 500,00$  MPa

Geologický profil a přiřazení zemin

| Číslo | Mocnost vrstvy<br>t [m] | Hloubka<br>z [m] | Přiřazená zemina                      | Vzorek  |
|-------|-------------------------|------------------|---------------------------------------|---|
| 1     | 1,90                    | 0,00 .. 1,90     | Třída G1, středně ulehlá              |  |
| 2     | -                       | 1,90 .. ∞        | Třída F6, konzistence pevná, Sr < 0,8 |  |

Zatížení

| Číslo | Zatížení |       | Název                    | Typ      | N<br>[kN/m] | M <sub>y</sub><br>[kNm/m] | H <sub>x</sub><br>[kN/m] |
|-------|----------|-------|--------------------------|----------|-------------|---------------------------|--------------------------|
|       | nové     | změna |                          |          |             |                           |                          |
| 1     | Ano      |       | Zatížení č. 1            | Návrhové | 446,84      | 0,00                      | 22,34                    |
| 2     | Ano      |       | Zatížení č. 2            | Návrhové | 446,84      | 0,00                      | 0,00                     |
| 3     | Ano      |       | Zatížení č. 1 - provozní | Užitné   | 326,16      | 0,00                      | 16,31                    |
| 4     | Ano      |       | Zatížení č. 2 - provozní | Užitné   | 326,16      | 0,00                      | 0,00                     |

Celkové nastavení výpočtu

Typ výpočtu : výpočet pro odvodněné podmínky

Nastavení výpočtu fáze

Návrhová situace : trvalá

Posouzení čís. 1

Posouzení zatěžovacích stavů

| Název         | VI. tíha<br>příznivě | e <sub>x</sub><br>[m] | e <sub>y</sub><br>[m] | σ<br>[kPa] | R <sub>d</sub><br>[kPa] | Využití<br>[%] | Vyhovuje |
|---------------|----------------------|-----------------------|-----------------------|------------|-------------------------|----------------|----------|
| Zatížení č. 1 | Ano                  | 0,02                  | 0,00                  | 560,83     | 961,03                  | 58,36          | Ano      |
| Zatížení č. 1 | Ne                   | 0,02                  | 0,00                  | 564,04     | 961,71                  | 58,65          | Ano      |
| Zatížení č. 2 | Ano                  | 0,00                  | 0,00                  | 534,89     | 1080,46                 | 49,51          | Ano      |
| Zatížení č. 2 | Ne                   | 0,00                  | 0,00                  | 538,11     | 1080,46                 | 49,80          | Ano      |

Výpočet proveden s automatickým výběrem nejnepříznivějších zatěžovacích stavů.

Spočtená vlastní tíha pasu G = 10,56 kN/m

Spočtená tíha nadloží Z = 0,00 kN/m

Posouzení svislé únosnosti

Tvar kontaktního napětí : obdélník

Nejnepříznivější zatěžovací stav číslo 1. (Zatížení č. 1)

Parametry smykové plochy pod základem:

Hloubka smykové plochy z<sub>sp</sub> = 1,62 m

Dosah smykové plochy l<sub>sp</sub> = 5,32 m

Výpočtová únosnost zákl. půdy R<sub>d</sub> = 961,71 kPa

Extrémní kontaktní napětí σ = 564,04 kPa

Svislá únosnost VYHOVUJE

Posouzení excentricity zatížení

Max. excentricita ve směru délky patky e<sub>x</sub> = 0,023<0,333

Max. excentricita ve směru šířky patky e<sub>y</sub> = 0,000<0,333

Max. prostorová excentricita e<sub>t</sub> = 0,023<0,333

Excentricita zatížení základu VYHOVUJE

Posouzení vodorovné únosnosti

Nejnepříznivější zatěžovací stav číslo 1. (Zatížení č. 1)

Zemní odpor: klidový

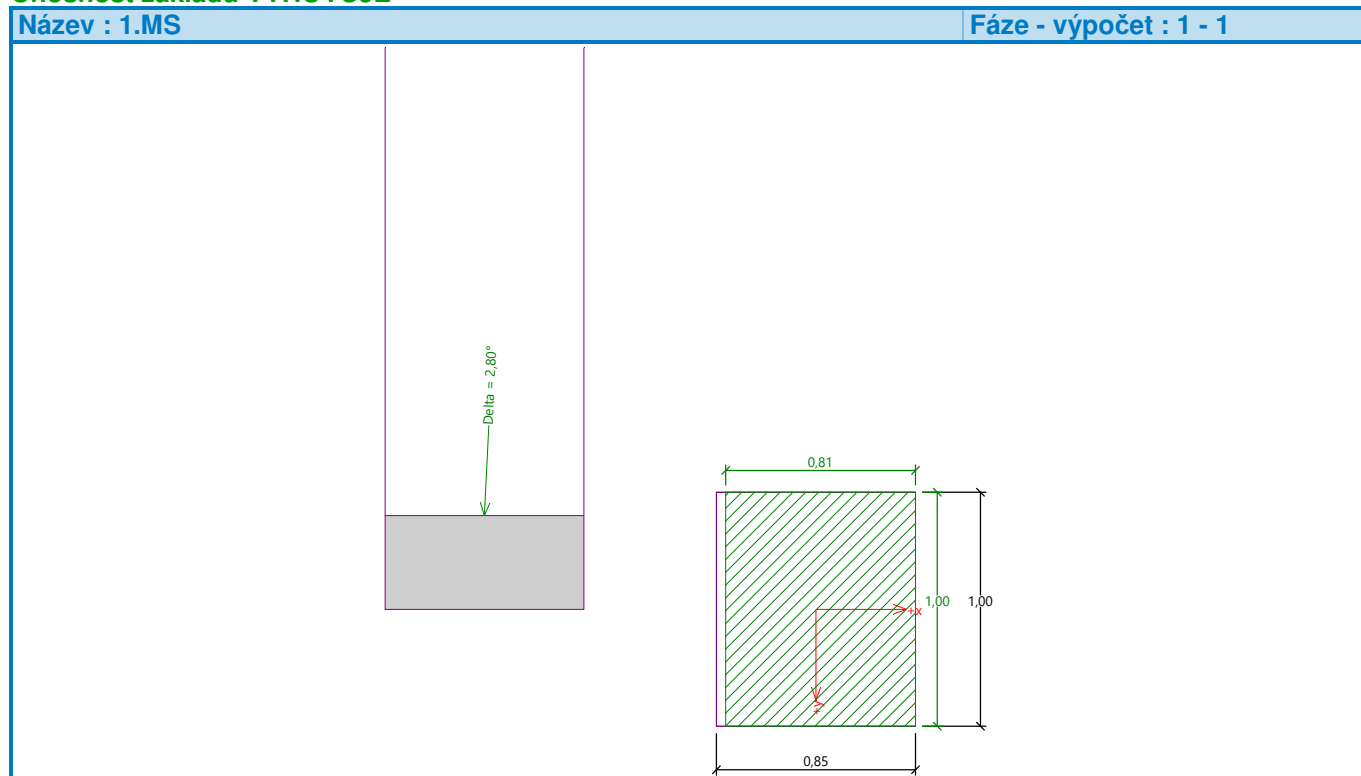
Výpočtová velikost zemního odporu  $S_{pd} = 0,69 \text{ kN}$

Horizontální únosnost základu  $R_{dh} = 335,33 \text{ kN}$

Extrémní horizontální síla  $H = 22,34 \text{ kN}$

**Vodorovná únosnost VYHOVUJE**

**Únosnost základu VYHOVUJE**



## Posouzení čís. 1

### Sednutí a natočení základu - vstupní data

Výpočet proveden s automatickým výběrem nejnepříznivějších zatěžovacích stavů.

Výpočet proveden s uvažováním koeficientu  $k_1$  (vliv hloubky založení).

Napětí v základové spáře uvažováno od upraveného terénu.

Spočtená vlastní tíha pasu  $G = 7,82 \text{ kN/m}$

Spočtená tíha nadloží  $Z = 0,00 \text{ kN/m}$

Sednutí středu délkové hrany  $= 2,3 \text{ mm}$

Sednutí středu šířkové hrany 1  $= 2,4 \text{ mm}$

Sednutí středu šířkové hrany 2  $= 2,3 \text{ mm}$

(1-hrana max.tlačená; 2-hrana min.tlačená)

### Sednutí a natočení základu - výsledky

#### Tuhost základu:

Spočtený vážený průměrný modul přetvárnosti  $E_{def} = 300,19 \text{ MPa}$

Základ je ve směru délky tuhý ( $k=8,68$ )

Základ je ve směru šířky tuhý ( $k=5,33$ )

### Posouzení excentricity zatížení

Max. excentricita ve směru délky patky  $e_x = 0,023 < 0,333$

Max. excentricita ve směru šířky patky  $e_y = 0,000 < 0,333$

Max. prostorová excentricita  $e_t = 0,023 < 0,333$

**Excentricita zatížení základu VYHOVUJE**

### Celkové sednutí a natočení základu:

Sednutí základu = 2,3 mm

Hloubka deformační zóny = 3,65 m

Natočení ve směru šířky = 0,088 (tan\*1000); (5,1E-03 °)

### Dimenzace čís. 1

Výpočet proveden s automatickým výběrem nejnepříznivějších zatěžovacích stavů.

#### Posouzení podélné výztuže základu ve směru x

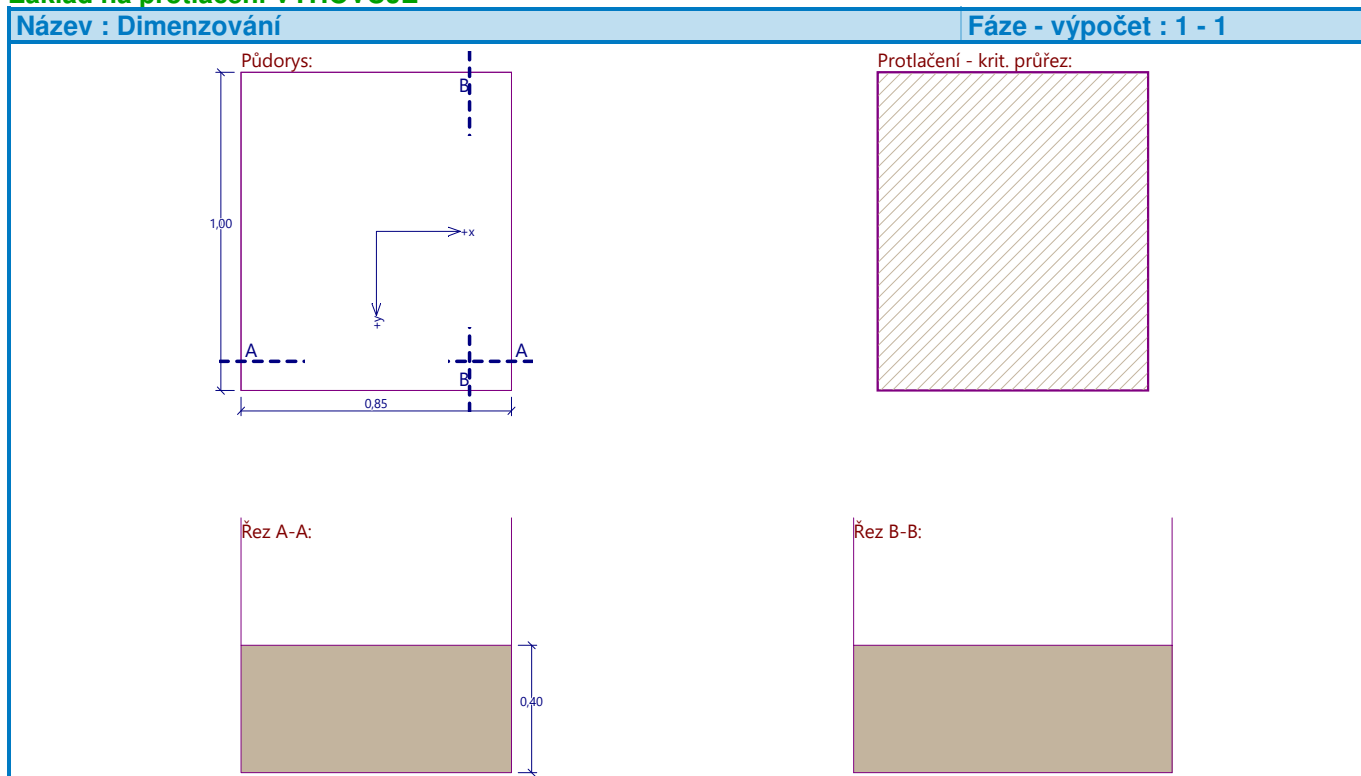
0,00 m ≤ 0,20 m

Maximální vyložení patky je menší než 0,50 \* tloušťka patky, výztuž není nutná.

#### Posouzení základu na protlačení

Délka kritického průřezu je rovna nule.

**Základ na protlačení VYHOVUJE**



Posouzení plošného základu

Vstupní data

Projekt

Akce : Posudek základové patky pod sloupem ocelové vestavby (ZP3\_K6)  
Část : 4086.3– Český dům, Hlavní třída 113, Frýdek – Místek - statické posouzení stávajícího stavu nosných konstr  
Popis : Příloha č. IV.d  
Vypracoval : Ing. Martin Sležka  
Datum : 12.04.2025  
Číslo zakázky : 25\_11

Nastavení

Standardní - EN 1997 - DA2

Materiály a normy

Betonové konstrukce : EN 1992-1-1 (EC2)  
Součinitele EN 1992-1-1 : standardní

Sedání

Metoda výpočtu : ČSN 73 1001 (Výpočet pomocí edometrického modulu)  
Omezení deformační zóny : procentem Sigma,Or  
Koef. omezení deformační zóny : 10,0 [%]

Patky

Výpočet pro odvodněné podmínky : EC 7-1 (EN 1997-1:2003)  
Posouzení tažené patky : standardní postup  
Dovolená excentricita : 0,333  
Metodika posouzení : výpočet podle EN 1997  
Návrhový přístup : 2 - redukce zatížení a odporu

| Součinitele redukce zatížení (F) |      |            |          |
|----------------------------------|------|------------|----------|
| Trvalá návrhová situace          |      |            |          |
|                                  |      | Nepříznivé | Příznivé |
| Stálé zatížení :                 | YG = | 1,35 [-]   | 1,00 [-] |

| Součinitele redukce odporu (R)           |        |          |  |
|--|--------|----------|--|
| Trvalá návrhová situace                  |        |          |  |
| Součinitel redukce svislé únosnosti :    | YRvs = | 1,40 [-] |  |
| Součinitel redukce vodorovné únosnosti : | YRhs = | 1,10 [-] |  |

Základní parametry zemín

| Číslo | Název                                 | Vzorek | φ <sub>ef</sub><br>[°] | c <sub>ef</sub><br>[kPa] | γ<br>[kN/m³] | γ <sub>su</sub><br>[kN/m³] | δ<br>[°] |
|-------|---------------------------------------|--------|------------------------|--------------------------|--------------|----------------------------|----------|
| 1     | Třída G3, středně ulehlá              |        | 35,00                  | 0,00                     | 27,40        | 17,40                      |          |
| 2     | Třída F6, konzistence pevná, Sr < 0,8 |        | 19,00                  | 30,00                    | 21,00        | 11,00                      |          |

Pro výpočet tlaku v klidu jsou všechny zeminy zadány jako nesoudržné.

Parametry zemín

Třída G3, středně ulehlá

Objemová tíha : γ = 27,40 kN/m³  
Úhel vnitřního tření : φ<sub>ef</sub> = 35,00 °  
Soudržnost zeminy : c<sub>ef</sub> = 0,00 kPa  
Modul přetvárnosti : E<sub>def</sub> = 90,00 MPa  
Poissonovo číslo : ν = 0,25

Obj.tíha sat.zeminy :  $\gamma_{\text{sat}} = 27,40 \text{ kN/m}^3$

#### Třída F6, konzistence pevná, $S_r < 0,8$

Objemová tíha :  $\gamma = 21,00 \text{ kN/m}^3$

Úhel vnitřního tření :  $\varphi_{\text{ef}} = 19,00^\circ$

Soudržnost zeminy :  $c_{\text{ef}} = 30,00 \text{ kPa}$

Edometrický modul :  $E_{\text{oed}} = 21,50 \text{ MPa}$

Obj.tíha sat.zeminy :  $\gamma_{\text{sat}} = 21,00 \text{ kN/m}^3$

### Založení

#### Typ základu: excentrická patka

Hloubka od původního terénu  $h_z = 1,10 \text{ m}$

Hloubka základové spáry  $d = 1,10 \text{ m}$

Tloušťka základu  $t = 0,40 \text{ m}$

Sklon upraveného terénu  $s_1 = 0,00^\circ$

Sklon základové spáry  $s_2 = 0,00^\circ$

#### Nadloží

Typ: zadat objemovou tíhu

Objemová tíha zeminy nad základem =  $20,00 \text{ kN/m}^3$

### Geometrie konstrukce

#### Typ základu: excentrická patka

Délka patky  $x = 1,00 \text{ m}$

Šířka patky  $y = 1,40 \text{ m}$

Šířka sloupu ve směru  $x$   $c_x = 0,40 \text{ m}$

Šířka sloupu ve směru  $y$   $c_y = 0,60 \text{ m}$

Vzdál. osy sloupu od kraje patky ve směru  $x = 0,52 \text{ m}$

Vzdál. osy sloupu od kraje patky ve směru  $y = 0,60 \text{ m}$

Objem patky =  $0,56 \text{ m}^3$

Objem výkopu =  $1,54 \text{ m}^3$

Objem zásypu =  $0,81 \text{ m}^3$

### Materiál konstrukce

Objemová tíha  $\gamma = 23,00 \text{ kN/m}^3$

Výpočet betonových konstrukcí proveden podle normy EN 1992-1-1 (EC2).

#### Beton: C 12/15

Válcová pevnost v tlaku  $f_{\text{ck}} = 12,00 \text{ MPa}$

Pevnost v tahu  $f_{\text{ctm}} = 1,60 \text{ MPa}$

Modul pružnosti  $E_{\text{cm}} = 27000,00 \text{ MPa}$



#### Ocel podélná: B500B

Mez kluzu  $f_{\text{yk}} = 500,00 \text{ MPa}$

#### Ocel příčná: B500B

Mez kluzu  $f_{\text{yk}} = 500,00 \text{ MPa}$

### Geologický profil a přiřazení zemín

| Číslo | Mocnost vrstvy<br>$t$ [m] | Hloubka<br>$z$ [m] | Přiřazená zemina                         | Vzorek  |
|-------|---------------------------|--------------------|--|---|
| 1     | 1,90                      | 0,00 .. 1,90       | Třída G3, středně ulehlá                 |  |
| 2     | -                         | 1,90 .. ∞          | Třída F6, konzistence pevná, $S_r < 0,8$ |  |



Zatížení

| Číslo | Zatížení |       | Název                    | Typ      | N<br>[kN] | M <sub>x</sub><br>[kNm] | M <sub>y</sub><br>[kNm] | H <sub>x</sub><br>[kN] | H <sub>y</sub><br>[kN] |
|-------|----------|-------|--------------------------|----------|-----------|-------------------------|-------------------------|------------------------|------------------------|
|       | nové     | změna |                          |          |           |                         |                         |                        |                        |
| 1     | Ano      |       | Zatížení č. 1            | Návrhové | 255,00    | 0,00                    | 0,00                    | 0,00                   | 0,00                   |
| 2     | Ano      |       | Zatížení č. 1 - provozní | Užitné   | 188,89    | 0,00                    | 0,00                    | 0,00                   | 0,00                   |

Celkové nastavení výpočtu

Typ výpočtu : výpočet pro odvodněné podmínky

Nastavení výpočtu fáze

Návrhová situace : trvalá

Posouzení čís. 1

Posouzení zatěžovacích stavů

| Název         | VI. tíha<br>příznivě | e <sub>x</sub><br>[m] | e <sub>y</sub><br>[m] | σ<br>[kPa] | R <sub>d</sub><br>[kPa] | Využití<br>[%] | Vyhovuje |
|---------------|----------------------|-----------------------|-----------------------|------------|-------------------------|----------------|----------|
| Zatížení č. 1 | Ano                  | 0,02                  | -0,09                 | 243,73     | 803,93                  | 30,32          | Ano      |
| Zatížení č. 1 | Ne                   | 0,02                  | -0,09                 | 250,78     | 803,47                  | 31,21          | Ano      |

Výpočet proveden s automatickým výběrem nejnepříznivějších zatěžovacích stavů.

Spočtená vlastní tíha patky G = 17,39 kN

Spočtená tíha nadloží Z = 21,92 kN

Posouzení svislé únosnosti

Tvar kontaktního napětí : obdélník

Nejnepříznivější zatěžovací stav číslo 1. (Zatížení č. 1)

Parametry smykové plochy pod základem:

Hloubka smykové plochy z<sub>sp</sub> = 1,41 m

Dosah smykové plochy l<sub>sp</sub> = 4,03 m

Výpočtová únosnost zákl. půdy R<sub>d</sub> = 803,47 kPa

Extrémní kontaktní napětí σ = 250,78 kPa

Svislá únosnost VYHOVUJE

Posouzení excentricity zatížení

Max. excentricita ve směru délky patky e<sub>x</sub> = 0,022<0,333

Max. excentricita ve směru šířky patky e<sub>y</sub> = 0,064<0,333

Max. prostorová excentricita e<sub>t</sub> = 0,068<0,333

Excentricita zatížení základu VYHOVUJE

Posouzení vodorovné únosnosti

Nejnepříznivější zatěžovací stav číslo 1. (Zatížení č. 1)

Zemní odpor: klidový

Výpočtová velikost zemního odporu S<sub>pd</sub> = 4,21 kN

Horizontální únosnost základu R<sub>dh</sub> = 184,68 kN

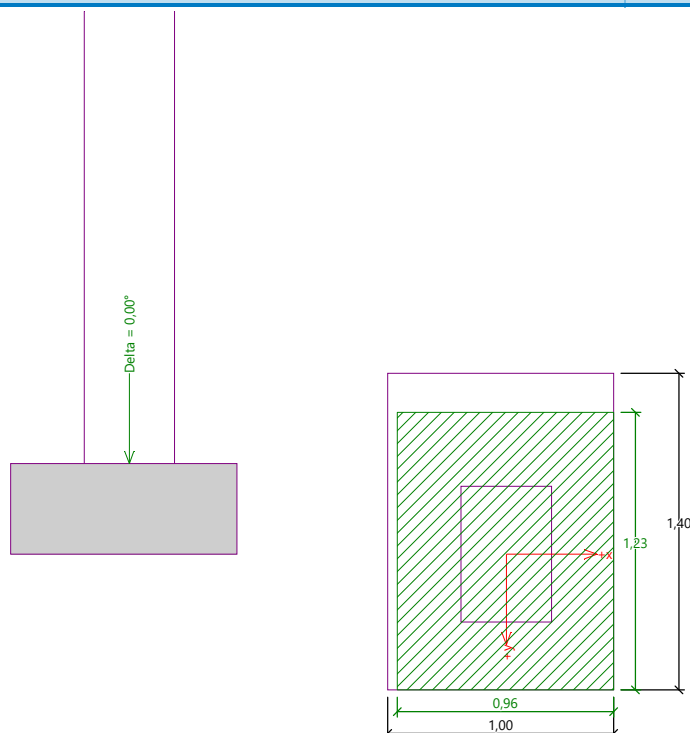
Extrémní horizontální síla H = 0,00 kN

Vodorovná únosnost VYHOVUJE

Únosnost základu VYHOVUJE

Název : 1.MS

Fáze - výpočet : 1 - 1



## Posouzení čís. 1

### Sednutí a natočení základu - vstupní data

Výpočet proveden s automatickým výběrem nejneprůznivějších zatěžovacích stavů.

Výpočet proveden s uvažováním koeficientu  $k_1$  (vliv hloubky založení).

Napětí v základové spáře uvažováno od upraveného terénu.

Spočtená vlastní tíha patky  $G = 12,88 \text{ kN}$

Spočtená tíha nadloží  $Z = 16,24 \text{ kN}$

Sednutí středu hrany x - 1 = 1,7 mm

Sednutí středu hrany x - 2 = 1,2 mm

Sednutí středu hrany y - 1 = 1,7 mm

Sednutí středu hrany y - 2 = 1,6 mm

Sednutí středu základu = 2,2 mm

Sednutí charakterist. bodu = 1,6 mm

(1-hrana max.tlačená; 2-hrana min.tlačená)

### Sednutí a natočení základu - výsledky

#### Tuhost základu:

Spočtený vážený průměrný modul přetvárnosti  $E_{\text{def}} = 64,60 \text{ MPa}$

Základ je ve směru délky tuhý ( $k=26,75$ )

Základ je ve směru šířky tuhý ( $k=9,75$ )

### Posouzení excentricity zatížení

Max. excentricita ve směru délky patky  $e_x = 0,022 < 0,333$

Max. excentricita ve směru šířky patky  $e_y = 0,062 < 0,333$

Max. prostorová excentricita  $e_t = 0,066 < 0,333$

### Excentricita zatížení základu VYHOVUJE

#### Celkové sednutí a natočení základu:

Sednutí základu = 1,6 mm

Hloubka deformační zóny = 2,37 m

Natočení ve směru x = 0,117 ( $\tan \cdot 1000$ ); ( $6,7E-03^\circ$ )

Natočení ve směru  $y = 0,341$  ( $\tan \cdot 1000$ ); ( $2,0E-02^\circ$ )

## Dimenzace čís. 1

Výpočet proveden s automatickým výběrem nejnepříznivějších zatěžovacích stavů.

### Posouzení podélné výztuže základu ve směru x

$0,33 \text{ m} > 0,20 \text{ m}$

**Maximální vyložení patky je větší než  $0,50 \cdot$  tloušťka patky, nutno zmenšit půdorys patky nebo ji vyztužit.**

### Posouzení podélné výztuže základu ve směru y

$0,50 \text{ m} > 0,20 \text{ m}$

**Maximální vyložení patky je větší než  $0,50 \cdot$  tloušťka patky, nutno zmenšit půdorys patky nebo ji vyztužit.**

### Posouzení základu na protlačení

Normálová síla v sloupu = 255,00 kN

### Maximální únosnost na obvodu sloupu

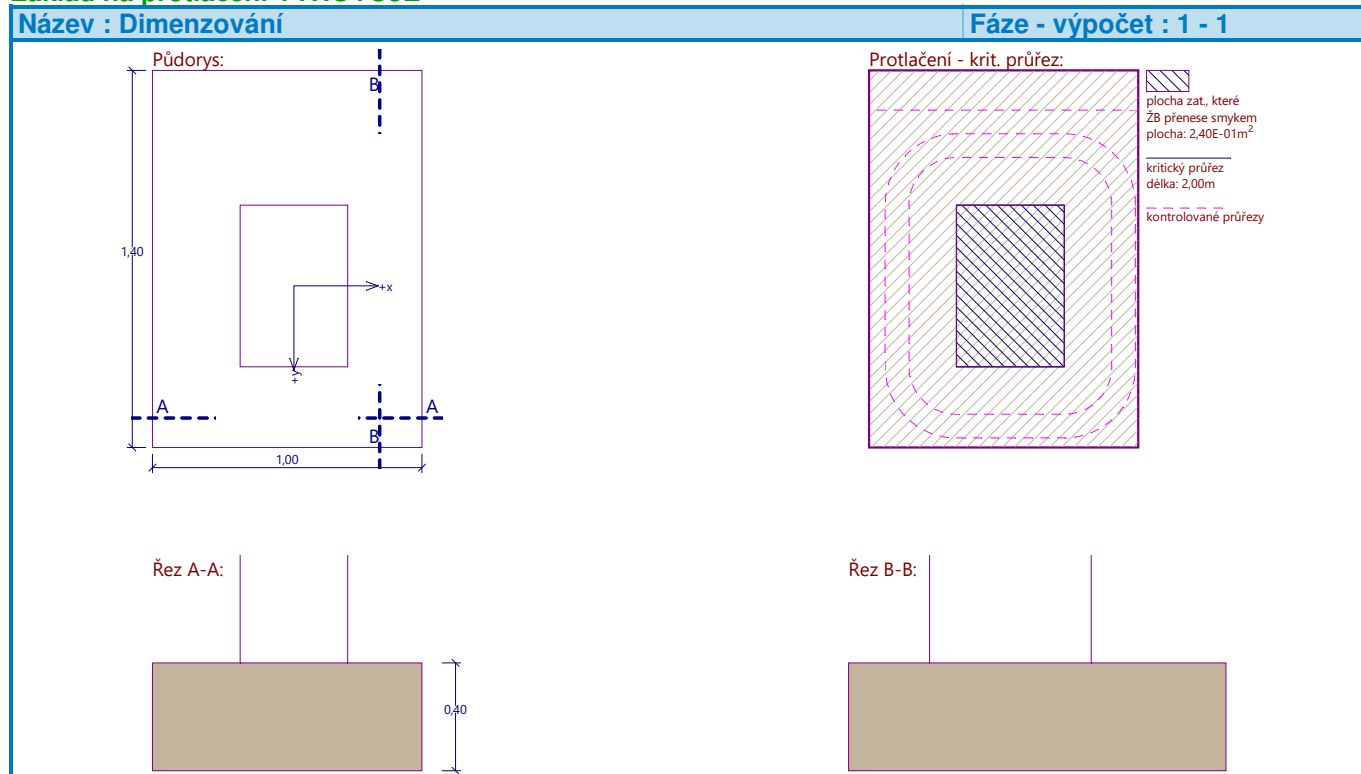
|   |              |            |
|---|--------------|------------|
| Síla přenesená roznášením do zákl. půdy | =            | 43,71 kN   |
| Síla přenášená smykovou pevností patky  | =            | 211,29 kN  |
| Uvažovaný obvod sloupu                  | $u_0$        | = 2,00 m   |
| Smykové napětí na obvodu sloupu         | $v_{Ed,max}$ | = 0,30 MPa |
| Únosnost na obvodu sloupu               | $v_{Rd,max}$ | = 1,83 MPa |

### Kritický průřez bez smykové výztuže

|   |            |            |
|---|------------|------------|
| Síla přenesená roznášením do zákl. půdy | =          | 228,23 kN  |
| Síla přenášená smykovou pevností patky  | =          | 26,77 kN   |
| Vzdálenost průřezu od sloupu            | =          | 0,35 m     |
| Délka průřezu                           | $u$        | = 1,00 m   |
| Smykové napětí na průřezu               | $v_{Ed}$   | = 0,08 MPa |
| Únosnost nevyztuženého průřezu          | $v_{Rd,c}$ | = 0,56 MPa |

$v_{Ed} < v_{Rd,c} \Rightarrow$  Výztuž není nutná

## Základ na protlačení VYHOVUJE



Posouzení plošného základu

Vstupní data

Projekt

Akce : Posudek základové patky pod sloupem ocelové vestavby (ZP4\_K8)  
Část : 4086.3– Český dům, Hlavní třída 113, Frýdek – Místek - statické posouzení stávajícího stavu nosných konstr  
Popis : Příloha č. IV.e  
Vypracoval : Ing. Martin Sležka  
Datum : 12.04.2025  
Číslo zakázky : 25\_11

Nastavení

Standardní - EN 1997 - DA2

Materiály a normy

Betonové konstrukce : EN 1992-1-1 (EC2)  
Součinitele EN 1992-1-1 : standardní

Sedání

Metoda výpočtu : ČSN 73 1001 (Výpočet pomocí edometrického modulu)  
Omezení deformační zóny : procentem Sigma,Or  
Koef. omezení deformační zóny : 10,0 [%]



Patky

Výpočet pro odvodněné podmínky : EC 7-1 (EN 1997-1:2003)  
Posouzení tažené patky : standardní postup  
Dovolená excentricita : 0,333  
Metodika posouzení : výpočet podle EN 1997  
Návrhový přístup : 2 - redukce zatížení a odporu

| Součinitele redukce zatížení (F) |      |            |          |
|----------------------------------|------|------------|----------|
| Trvalá návrhová situace          |      |            |          |
|                                  |      | Nepříznivé | Příznivé |
| Stálé zatížení :                 | YG = | 1,35 [-]   | 1,00 [-] |

| Součinitele redukce odporu (R)           |        |          |  |
|--|--------|----------|--|
| Trvalá návrhová situace                  |        |          |  |
| Součinitel redukce svislé únosnosti :    | YRvs = | 1,40 [-] |  |
| Součinitel redukce vodorovné únosnosti : | YRhs = | 1,10 [-] |  |

Základní parametry zemín

| Číslo | Název                                 | Vzorek  | φ <sub>ef</sub><br>[°] | c <sub>ef</sub><br>[kPa] | γ<br>[kN/m³] | γ <sub>su</sub><br>[kN/m³] | δ<br>[°] |
|-------|---------------------------------------|---|------------------------|--------------------------|--------------|----------------------------|----------|
| 1     | Třída G3, středně ulehlá              |  | 35,00                  | 0,00                     | 27,40        | 17,40                      |          |
| 2     | Třída F6, konzistence pevná, Sr < 0,8 |  | 19,00                  | 30,00                    | 21,00        | 11,00                      |          |

Pro výpočet tlaku v klidu jsou všechny zeminy zadány jako nesoudržné.

Parametry zemín

Třída G3, středně ulehlá

Objemová tíha : γ = 27,40 kN/m³  
Úhel vnitřního tření : φ<sub>ef</sub> = 35,00 °  
Soudržnost zeminy : c<sub>ef</sub> = 0,00 kPa  
Modul přetvárnosti : E<sub>def</sub> = 90,00 MPa  
Poissonovo číslo : ν = 0,25

Obj.tíha sat.zeminy :  $\gamma_{\text{sat}} = 27,40 \text{ kN/m}^3$

### Třída F6, konzistence pevná, $S_r < 0,8$

Objemová tíha :  $\gamma = 21,00 \text{ kN/m}^3$

Úhel vnitřního tření :  $\varphi_{\text{ef}} = 19,00^\circ$

Soudržnost zeminy :  $c_{\text{ef}} = 30,00 \text{ kPa}$

Edometrický modul :  $E_{\text{oed}} = 21,50 \text{ MPa}$

Obj.tíha sat.zeminy :  $\gamma_{\text{sat}} = 21,00 \text{ kN/m}^3$

## Založení

### Typ základu: excentrická patka

Hloubka od původního terénu  $h_z = 1,35 \text{ m}$

Hloubka základové spáry  $d = 1,35 \text{ m}$

Tloušťka základu  $t = 0,65 \text{ m}$

Sklon upraveného terénu  $s_1 = 0,00^\circ$

Sklon základové spáry  $s_2 = 0,00^\circ$

### Nadloží

Typ: zadat objemovou tíhu

Objemová tíha zeminy nad základem =  $20,00 \text{ kN/m}^3$

## Geometrie konstrukce

### Typ základu: excentrická patka

Délka patky  $x = 1,10 \text{ m}$

Šířka patky  $y = 1,26 \text{ m}$

Šířka sloupu ve směru  $x$   $c_x = 0,40 \text{ m}$

Šířka sloupu ve směru  $y$   $c_y = 0,60 \text{ m}$

Vzdál. osy sloupu od kraje patky ve směru  $x = 0,57 \text{ m}$

Vzdál. osy sloupu od kraje patky ve směru  $y = 0,58 \text{ m}$

Objem patky =  $0,90 \text{ m}^3$

Objem výkopu =  $1,87 \text{ m}^3$

Objem zásypu =  $0,80 \text{ m}^3$

## Materiál konstrukce

Objemová tíha  $\gamma = 23,00 \text{ kN/m}^3$

Výpočet betonových konstrukcí proveden podle normy EN 1992-1-1 (EC2).

### Beton: C 12/15

Válcová pevnost v tlaku  $f_{\text{ck}} = 12,00 \text{ MPa}$

Pevnost v tahu  $f_{\text{ctm}} = 1,60 \text{ MPa}$

Modul pružnosti  $E_{\text{cm}} = 27000,00 \text{ MPa}$



### Ocel podélná: B500B

Mez kluzu  $f_{\text{yk}} = 500,00 \text{ MPa}$

### Ocel příčná: B500B

Mez kluzu  $f_{\text{yk}} = 500,00 \text{ MPa}$

## Geologický profil a přiřazení zemín

| Číslo | Mocnost vrstvy<br>$t$ [m] | Hloubka<br>$z$ [m] | Přiřazená zemina                         | Vzorek  |
|-------|---------------------------|--------------------|--|---|
| 1     | 1,90                      | 0,00 .. 1,90       | Třída G3, středně ulehlá                 |  |
| 2     | -                         | 1,90 .. ∞          | Třída F6, konzistence pevná, $S_r < 0,8$ |  |

Zatížení

| Číslo | Zatížení |       | Název                    | Typ      | N<br>[kN] | M <sub>x</sub><br>[kNm] | M <sub>y</sub><br>[kNm] | H <sub>x</sub><br>[kN] | H <sub>y</sub><br>[kN] |
|-------|----------|-------|--------------------------|----------|-----------|-------------------------|-------------------------|------------------------|------------------------|
|       | nové     | změna |                          |          |           |                         |                         |                        |                        |
| 1     | Ano      |       | Zatížení č. 1            | Návrhové | 255,00    | 0,00                    | 0,00                    | 0,00                   | 0,00                   |
| 2     | Ano      |       | Zatížení č. 1 - provozní | Užitné   | 188,89    | 0,00                    | 0,00                    | 0,00                   | 0,00                   |

Celkové nastavení výpočtu

Typ výpočtu : výpočet pro odvodněné podmínky

Nastavení výpočtu fáze

Návrhová situace : trvalá

Posouzení čís. 1

Posouzení zatěžovacích stavů

| Název         | VI. tíha<br>příznivě | e <sub>x</sub><br>[m] | e <sub>y</sub><br>[m] | σ<br>[kPa] | R <sub>d</sub><br>[kPa] | Využití<br>[%] | Vyhovuje |
|---------------|----------------------|-----------------------|-----------------------|------------|-------------------------|----------------|----------|
| Zatížení č. 1 | Ano                  | 0,02                  | -0,04                 | 235,56     | 803,62                  | 29,31          | Ano      |
| Zatížení č. 1 | Ne                   | 0,02                  | -0,04                 | 244,75     | 803,45                  | 30,46          | Ano      |

Výpočet proveden s automatickým výběrem nejnepříznivějších zatěžovacích stavů.

Spočtená vlastní tíha patky G = 27,97 kN

Spočtená tíha nadloží Z = 21,66 kN

Posouzení svislé únosnosti

Tvar kontaktního napětí : obdélník

Nejnepříznivější zatěžovací stav číslo 1. (Zatížení č. 1)

Parametry smykové plochy pod základem:

Hloubka smykové plochy z<sub>sp</sub> = 1,44 m

Dosah smykové plochy l<sub>sp</sub> = 3,98 m

Výpočtová únosnost zákl. půdy R<sub>d</sub> = 803,45 kPa

Extrémní kontaktní napětí σ = 244,75 kPa

Svislá únosnost VYHOVUJE

Posouzení excentricity zatížení

Max. excentricita ve směru délky patky e<sub>x</sub> = 0,020<0,333

Max. excentricita ve směru šířky patky e<sub>y</sub> = 0,035<0,333

Max. prostorová excentricita e<sub>t</sub> = 0,040<0,333

Excentricita zatížení základu VYHOVUJE

Posouzení vodorovné únosnosti

Nejnepříznivější zatěžovací stav číslo 1. (Zatížení č. 1)

Zemní odpor: klidový

Výpočtová velikost zemního odporu S<sub>pd</sub> = 8,56 kN

Horizontální únosnost základu R<sub>dh</sub> = 193,51 kN

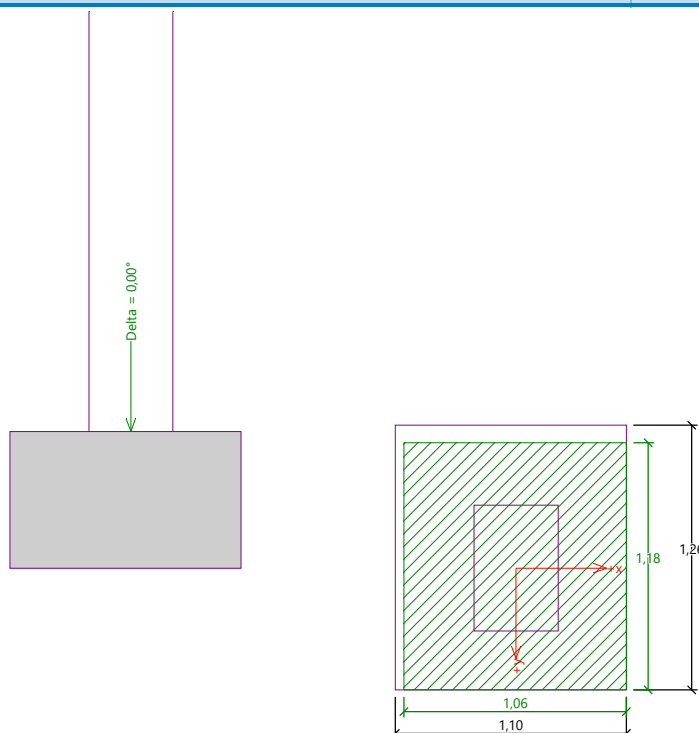
Extrémní horizontální síla H = 0,00 kN

Vodorovná únosnost VYHOVUJE

Únosnost základu VYHOVUJE

Název : 1.MS

Fáze - výpočet : 1 - 1



## Posouzení čís. 1

### Sednutí a natočení základu - vstupní data

Výpočet proveden s automatickým výběrem nejneprůznivějších zatěžovacích stavů.

Výpočet proveden s uvažováním koeficientu  $k_1$  (vliv hloubky založení).

Napětí v základové spáře uvažováno od upraveného terénu.

Spočtená vlastní tíha patky  $G = 20,72 \text{ kN}$

Spočtená tíha nadloží  $Z = 16,04 \text{ kN}$

Sednutí středu hrany x - 1 = 1,9 mm

Sednutí středu hrany x - 2 = 1,6 mm

Sednutí středu hrany y - 1 = 1,9 mm

Sednutí středu hrany y - 2 = 1,8 mm

Sednutí středu základu = 2,6 mm

Sednutí charakterist. bodu = 1,9 mm

(1-hrana max.tlačená; 2-hrana min.tlačená)

### Sednutí a natočení základu - výsledky

#### Tuhost základu:

Spočtený vážený průměrný modul přetvárnosti  $E_{\text{def}} = 54,53 \text{ MPa}$

Základ je ve směru délky tuhý ( $k=102,17$ )

Základ je ve směru šířky tuhý ( $k=67,98$ )

### Posouzení excentricity zatížení

Max. excentricita ve směru délky patky  $e_x = 0,019 < 0,333$

Max. excentricita ve směru šířky patky  $e_y = 0,033 < 0,333$

Max. prostorová excentricita  $e_t = 0,038 < 0,333$

### Excentricita zatížení základu VYHOVUJE

#### Celkové sednutí a natočení základu:

Sednutí základu = 1,9 mm

Hloubka deformační zóny = 2,24 m

Natočení ve směru x = 0,134 ( $\tan \cdot 1000$ ); ( $7,7 \cdot 10^{-3}^\circ$ )

Natočení ve směru  $y = 0,225 (\tan \cdot 1000)$ ;  $(1,3E-02^\circ)$

## Dimenzace čís. 1

Výpočet proveden s automatickým výběrem nejnepříznivějších zatěžovacích stavů.

### Posouzení podélné výztuže základu ve směru x

$0,38 \text{ m} > 0,33 \text{ m}$

**Maximální vyložení patky je větší než  $0,50 \cdot$  tloušťka patky, nutno zmenšit půdorys patky nebo ji vyztužit.**

### Posouzení podélné výztuže základu ve směru y

$0,38 \text{ m} > 0,33 \text{ m}$

**Maximální vyložení patky je větší než  $0,50 \cdot$  tloušťka patky, nutno zmenšit půdorys patky nebo ji vyztužit.**

### Posouzení základu na protlačení

Normálová síla v sloupu = 255,00 kN

### Maximální únosnost na obvodu sloupu

|   |              |            |
|---|--------------|------------|
| Síla přenesená roznášením do zákl. půdy | =            | 44,16 kN   |
| Síla přenášená smykovou pevností patky  | =            | 210,84 kN  |
| Uvažovaný obvod sloupu                  | $u_0$        | = 2,00 m   |
| Smykové napětí na obvodu sloupu         | $v_{Ed,max}$ | = 0,17 MPa |
| Únosnost na obvodu sloupu               | $v_{Rd,max}$ | = 1,83 MPa |

### Kritický průřez bez smykové výztuže

|   |            |            |
|---|------------|------------|
| Síla přenesená roznášením do zákl. půdy | =          | 210,84 kN  |
| Síla přenášená smykovou pevností patky  | =          | 44,16 kN   |
| Vzdálenost průřezu od sloupu            | =          | 0,30 m     |
| Délka průřezu                           | $u$        | = 3,11 m   |
| Smykové napětí na průřezu               | $v_{Ed}$   | = 0,02 MPa |
| Únosnost nevyztuženého průřezu          | $v_{Rd,c}$ | = 0,96 MPa |

$v_{Ed} < v_{Rd,c} \Rightarrow$  Výztuž není nutná

## Základ na protlačení VYHOVUJE

